

Ein und Ausgabe:
 Farbmatisches Drucker-Reflektiv-System ORS18_95aM

Daten für jede Farbe:

$lab^{*}ch^{*}$ und $lab^{*}icu^{*}$

Elementar-Bunttontext:

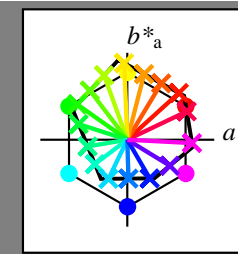
$u^{*} = 16$ Bunttöne $r00j$, $r25j$, ..., $b75r$

Kontrastreduzierungsfaktor:

$c_R = 1.0$

ORS18_95aM; adaptierte CIELAB-Daten

	$L^{*}=L^{*}_a$	a^{*}_a	b^{*}_a	$C^{*}_{ab,a}$	$h^{*}_{ab,a}$
r00j	48.0	68.4	32.59	75.77	25
r25j	51.32	59.36	53.8	80.11	42
r50j	62.67	39.12	64.83	75.72	59
r75j	73.73	19.4	75.58	78.03	76
j00g	86.61	-3.55	88.09	88.17	92
j25g	78.07	-26.64	74.05	78.7	110
j50g	65.83	-42.94	56.44	70.93	127
j75g	54.87	-57.53	40.67	70.47	145
g00b	52.54	-55.91	17.93	58.72	162
g25b	55.02	-45.5	-7.69	46.16	190
g50b	56.98	-37.23	-28.04	46.62	217
g75b	53.92	-21.56	-44.93	49.84	244
b00r	41.64	1.36	-44.7	44.73	272
b25r	28.53	25.85	-44.45	51.43	300
b50r	34.77	48.93	-29.85	57.32	329
b75r	48.12	74.52	-3.84	74.62	357



%Umfang

$u^{*}_{rel} = 93$

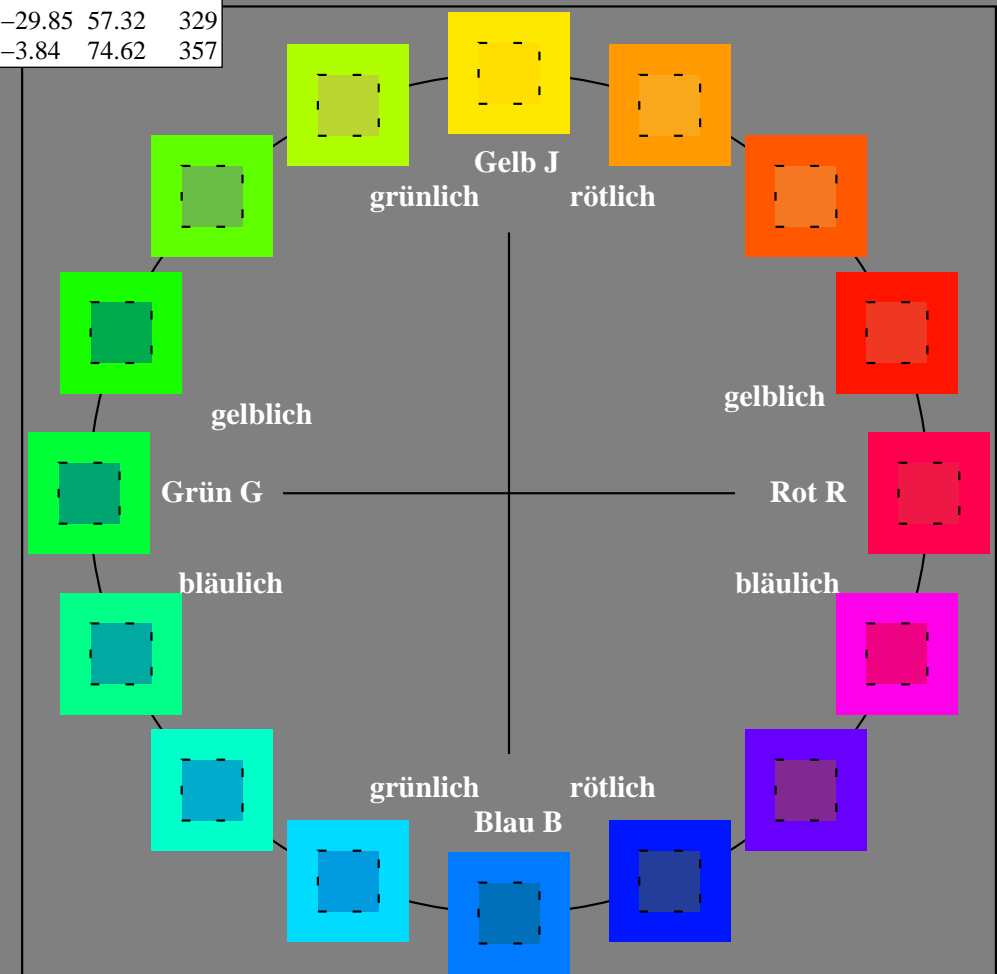
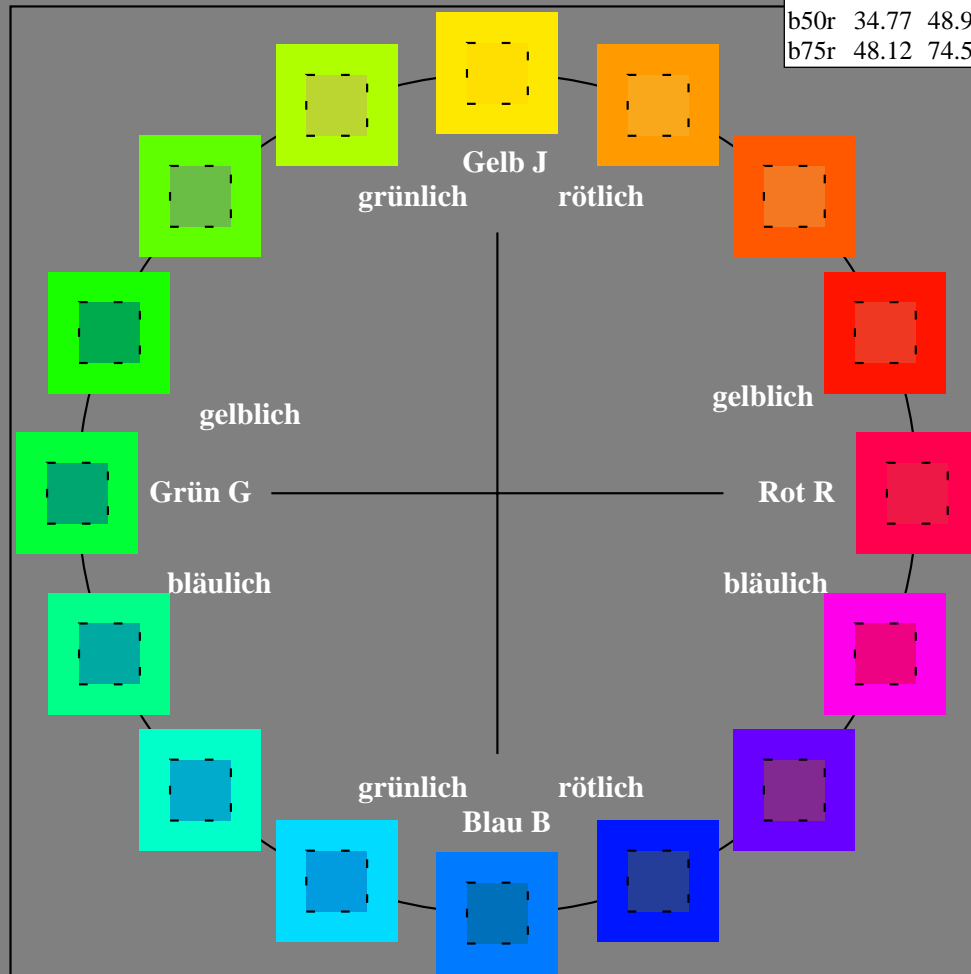
%Regularität

$g^{*}_{H,rel} = 57$

$g^{*}_{C,rel} = 59$

ORS18_95aM; adaptierte CIELAB-Daten

	$L^{*}=L^{*}_a$	a^{*}_a	b^{*}_a	$C^{*}_{ab,a}$	$h^{*}_{ab,a}$
O _{Ma}	47.94	65.39	50.52	82.63	38
Y _{Ma}	90.37	-10.26	91.75	92.32	96
L _{Ma}	50.9	-62.83	34.96	71.91	151
C _{Ma}	58.62	-30.34	-45.01	54.3	236
V _{Ma}	25.72	31.1	-44.4	54.22	305
M _{Ma}	48.13	75.28	-8.36	75.74	354
N _{Ma}	18.01	0.0	0.0	0.0	0
W _{Ma}	95.41	0.0	0.0	0.0	0
R _{CIE}	39.92	58.74	27.99	65.07	25
J _{CIE}	81.26	-2.88	71.56	71.62	92
G _{CIE}	52.23	-42.41	13.6	44.55	162
B _{CIE}	30.57	1.41	-46.46	46.49	272



Daten für jede Farbe:

lab^*ich^* und lab^*icu^*

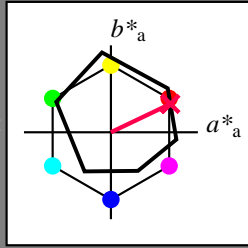
Elementar-Bunttontext:

$u^* = r00j$

Kontrastreduzierungsfaktor:

$c_R = 1.0$

Dreiecks-Helligkeit t^*



ORS18_95aM; adaptierte CIELAB-Daten

	$L^*=L^*_a$	a^*_a	b^*_a	$C^*_{ab,a}$	$h^*_{ab,a}$
O _{Ma}	47.94	65.39	50.52	82.63	38
Y _{Ma}	90.37	-10.26	91.75	92.32	96
L _{Ma}	50.9	-62.83	34.96	71.91	151
C _{Ma}	58.62	-30.34	-45.01	54.3	236
V _{Ma}	25.72	31.1	-44.4	54.22	305
M _{Ma}	48.13	75.28	-8.36	75.74	354
N _{Ma}	18.01	0.0	0.0	0.0	0
W _{Ma}	95.41	0.0	0.0	0.0	0
R _{CIE}	39.92	58.74	27.99	65.07	25
J _{CIE}	81.26	-2.88	71.56	71.62	92
G _{CIE}	52.23	-42.41	13.6	44.55	162
B _{CIE}	30.57	1.41	-46.46	46.49	272

Daten für Maximalfarbe (Ma):

LAB^*LAB^*Ma : 48 68 33

LAB^*LCH^*Ma : 48 76 25

lab^*rgb^*Ma : 1.0 0.0 0.0

lab^*olv^*Ma : 1.0 0.0 0.3

ORS18_95aM; adaptierte CIELAB-Daten

	$L^*=L^*_a$	a^*_a	b^*_a	$C^*_{ab,a}$	$h^*_{ab,a}$
r00j	48.0	68.4	32.59	75.77	25
r25j	51.32	59.36	53.8	80.11	42
r50j	62.67	39.12	64.83	75.72	59
r75j	73.73	19.4	75.58	78.03	76
j00g	86.61	-3.55	88.09	88.17	92
j25g	78.07	-26.64	74.05	78.7	110
j50g	65.83	-42.94	56.44	70.93	127
j75g	54.87	-57.53	40.67	70.47	145
g00b	52.54	-55.91	17.93	58.72	162
g25b	55.02	-45.5	-7.69	46.16	190
g50b	56.98	-37.23	-28.04	46.62	217
g75b	53.92	-21.56	-44.93	49.84	244
b00r	41.64	1.36	-44.7	44.73	272
b25r	28.53	25.85	-44.45	51.43	300
b50r	34.77	48.93	-29.85	57.32	329
b75r	48.12	74.52	-3.84	74.62	357

Dreiecks-Helligkeit t^*

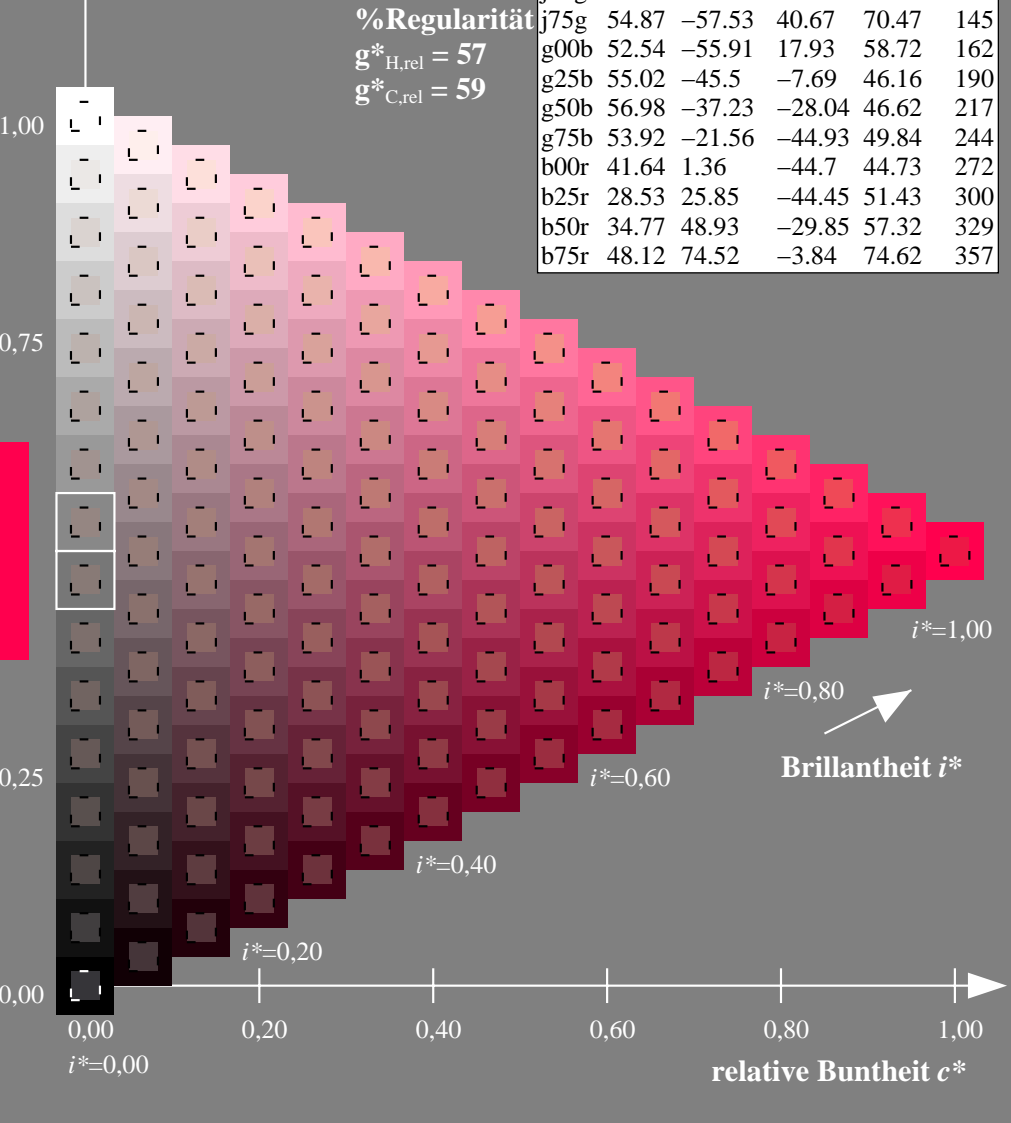
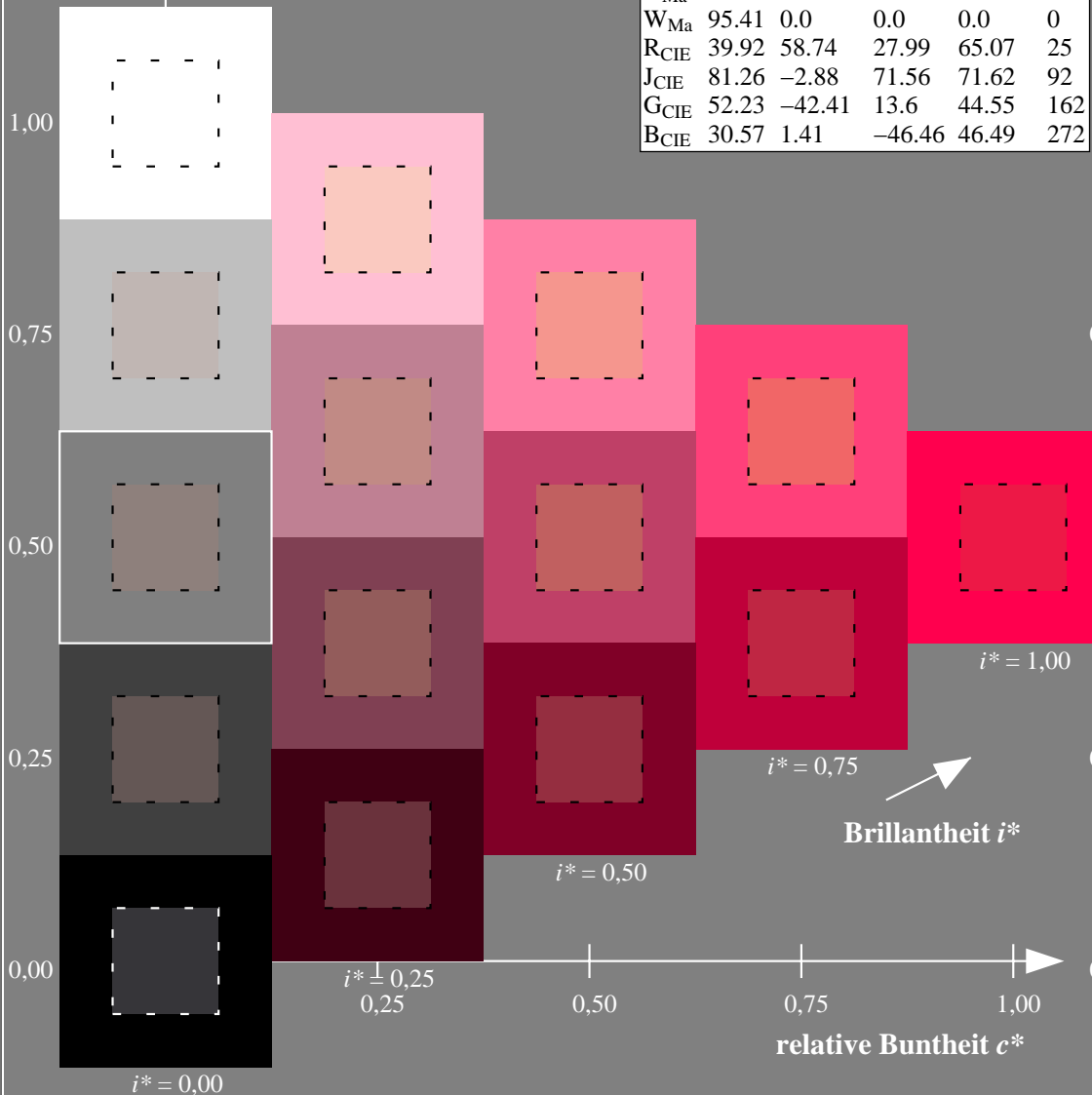
%Umfang

$u^*_{rel} = 93$

%Regularität

$g^*_{H,rel} = 57$

$g^*_{C,rel} = 59$



Daten für jede Farbe:

lab^*ich^* und lab^*icu^*

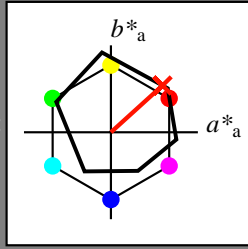
Elementar-Bunntext:

$u^* = r25j$

Kontrastreduzierungsfaktor:

$c_R = 1.0$

Dreiecks-Helligkeit t^*



ORS18_95aM; adaptierte CIELAB-Daten

	$L^*=L^*_a$	a^*_a	b^*_a	$C^*_{ab,a}$	$h^*_{ab,a}$
O _{Ma}	47.94	65.39	50.52	82.63	38
Y _{Ma}	90.37	-10.26	91.75	92.32	96
L _{Ma}	50.9	-62.83	34.96	71.91	151
C _{Ma}	58.62	-30.34	-45.01	54.3	236
V _{Ma}	25.72	31.1	-44.4	54.22	305
M _{Ma}	48.13	75.28	-8.36	75.74	354
N _{Ma}	18.01	0.0	0.0	0.0	0
W _{Ma}	95.41	0.0	0.0	0.0	0
R _{CIE}	39.92	58.74	27.99	65.07	25
J _{CIE}	81.26	-2.88	71.56	71.62	92
G _{CIE}	52.23	-42.41	13.6	44.55	162
B _{CIE}	30.57	1.41	-46.46	46.49	272

Daten für Maximalfarbe (Ma):

$LAB^*LAB^*_{Ma}$: 51 59 54

$LAB^*LCH^*_{Ma}$: 51 80 42

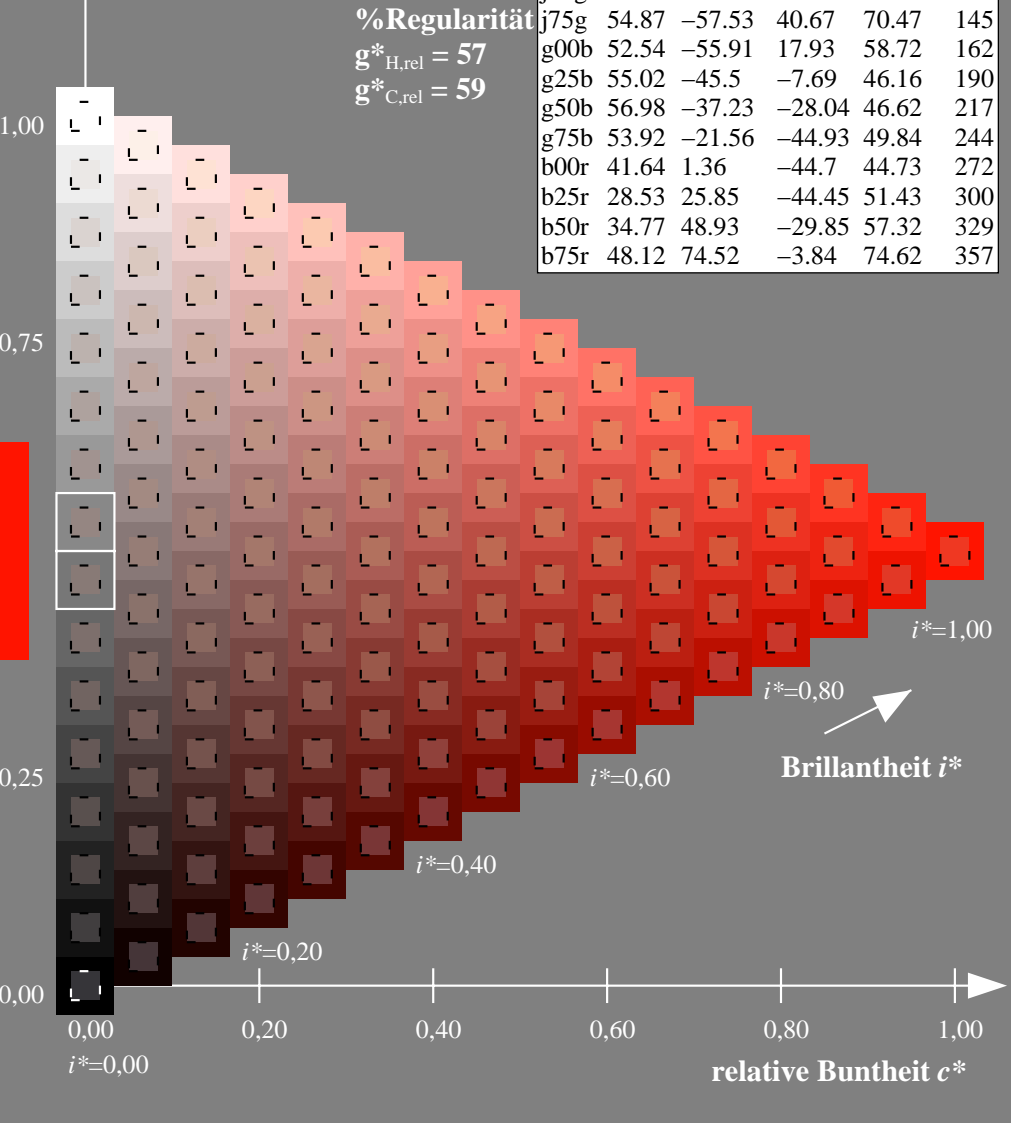
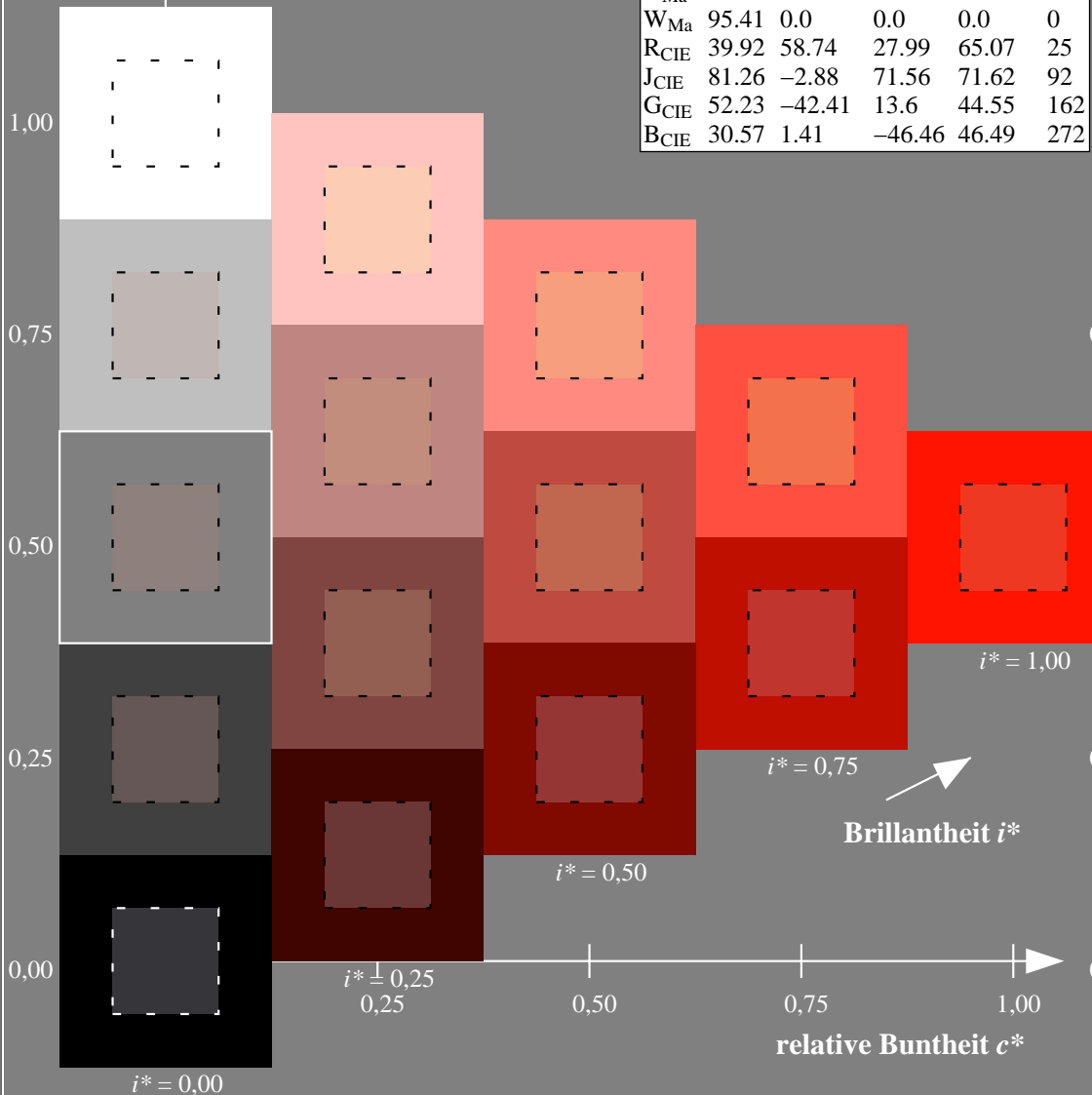
$lab^*rgb^*_{Ma}$: 1.0 0.25 0.0

$lab^*olv^*_{Ma}$: 1.0 0.08 0.0

Dreiecks-Helligkeit t^*

ORS18_95aM; adaptierte CIELAB-Daten

	$L^*=L^*_a$	a^*_a	b^*_a	$C^*_{ab,a}$	$h^*_{ab,a}$
r00j	48.0	68.4	32.59	75.77	25
r25j	51.32	59.36	53.8	80.11	42
r50j	62.67	39.12	64.83	75.72	59
r75j	73.73	19.4	75.58	78.03	76
j00g	86.61	-3.55	88.09	88.17	92
j25g	78.07	-26.64	74.05	78.7	110
j50g	65.83	-42.94	56.44	70.93	127
j75g	54.87	-57.53	40.67	70.47	145
g00b	52.54	-55.91	17.93	58.72	162
g25b	55.02	-45.5	-7.69	46.16	190
g50b	56.98	-37.23	-28.04	46.62	217
g75b	53.92	-21.56	-44.93	49.84	244
b00r	41.64	1.36	-44.7	44.73	272
b25r	28.53	25.85	-44.45	51.43	300
b50r	34.77	48.93	-29.85	57.32	329
b75r	48.12	74.52	-3.84	74.62	357



Daten für jede Farbe:

lab^*ich^* und lab^*icu^*

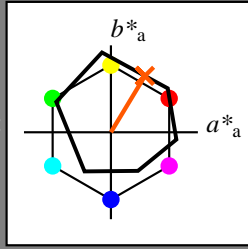
Elementar-Bunntext:

$u^* = r50j$

Kontrastreduzierungsfaktor:

$c_R = 1.0$

Dreiecks-Helligkeit t^*



ORS18_95aM; adaptierte CIELAB-Daten

	$L^*=L^*_a$	a^*_a	b^*_a	$C^*_{ab,a}$	$h^*_{ab,a}$
O _{Ma}	47.94	65.39	50.52	82.63	38
Y _{Ma}	90.37	-10.26	91.75	92.32	96
L _{Ma}	50.9	-62.83	34.96	71.91	151
C _{Ma}	58.62	-30.34	-45.01	54.3	236
V _{Ma}	25.72	31.1	-44.4	54.22	305
M _{Ma}	48.13	75.28	-8.36	75.74	354
N _{Ma}	18.01	0.0	0.0	0.0	0
W _{Ma}	95.41	0.0	0.0	0.0	0
R _{CIE}	39.92	58.74	27.99	65.07	25
J _{CIE}	81.26	-2.88	71.56	71.62	92
G _{CIE}	52.23	-42.41	13.6	44.55	162
B _{CIE}	30.57	1.41	-46.46	46.49	272

Daten für Maximalfarbe (Ma):

LAB^*LAB^*Ma : 63 39 65

LAB^*LCH^*Ma : 63 76 59

lab^*rgb^*Ma : 1.0 0.5 0.0

lab^*olv^*Ma : 1.0 0.35 0.0

ORS18_95aM; adaptierte CIELAB-Daten

	$L^*=L^*_a$	a^*_a	b^*_a	$C^*_{ab,a}$	$h^*_{ab,a}$
r00j	48.0	68.4	32.59	75.77	25
r25j	51.32	59.36	53.8	80.11	42
r50j	62.67	39.12	64.83	75.72	59
r75j	73.73	19.4	75.58	78.03	76
j00g	86.61	-3.55	88.09	88.17	92
j25g	78.07	-26.64	74.05	78.7	110
j50g	65.83	-42.94	56.44	70.93	127
j75g	54.87	-57.53	40.67	70.47	145
g00b	52.54	-55.91	17.93	58.72	162
g25b	55.02	-45.5	-7.69	46.16	190
g50b	56.98	-37.23	-28.04	46.62	217
g75b	53.92	-21.56	-44.93	49.84	244
b00r	41.64	1.36	-44.7	44.73	272
b25r	28.53	25.85	-44.45	51.43	300
b50r	34.77	48.93	-29.85	57.32	329
b75r	48.12	74.52	-3.84	74.62	357

Dreiecks-Helligkeit t^*

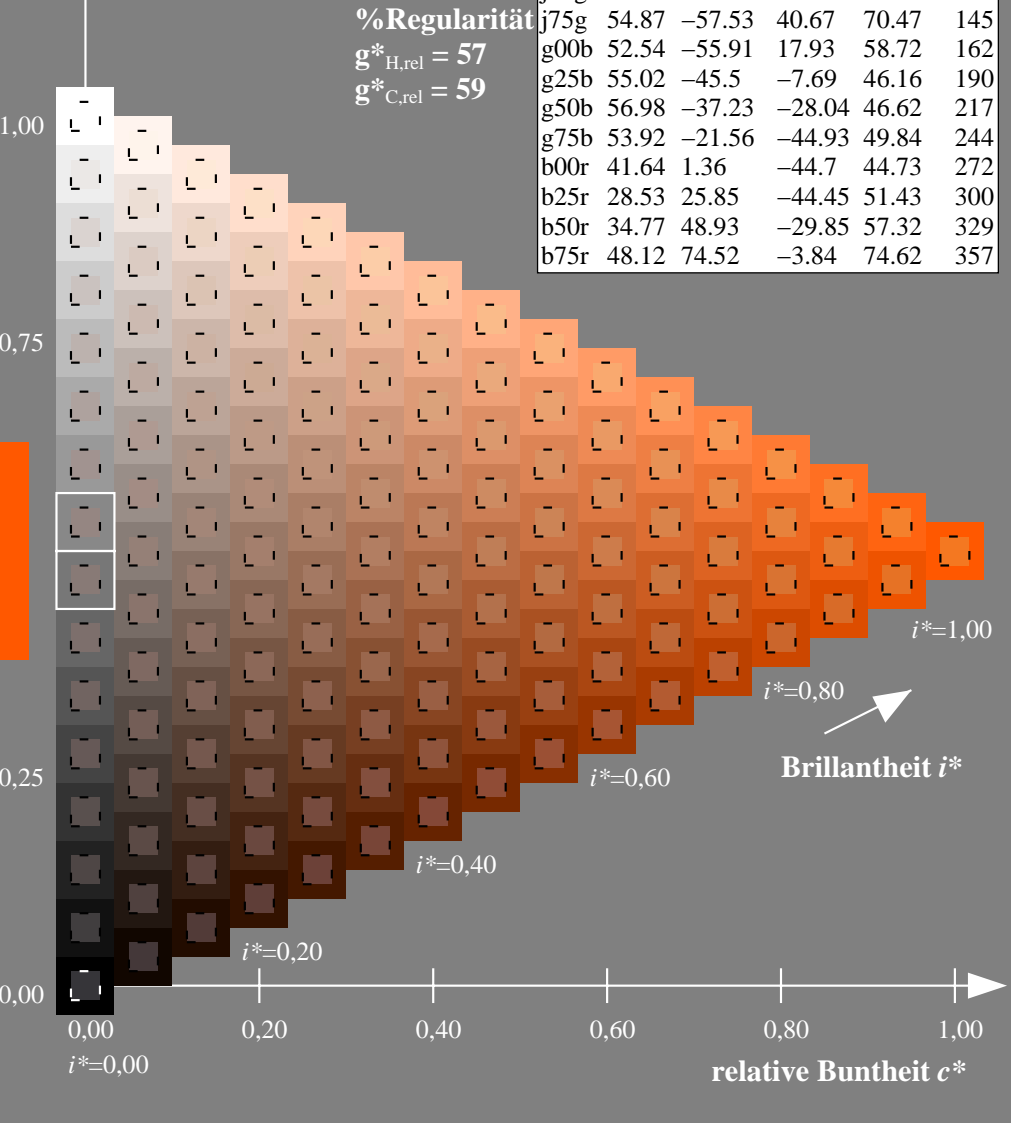
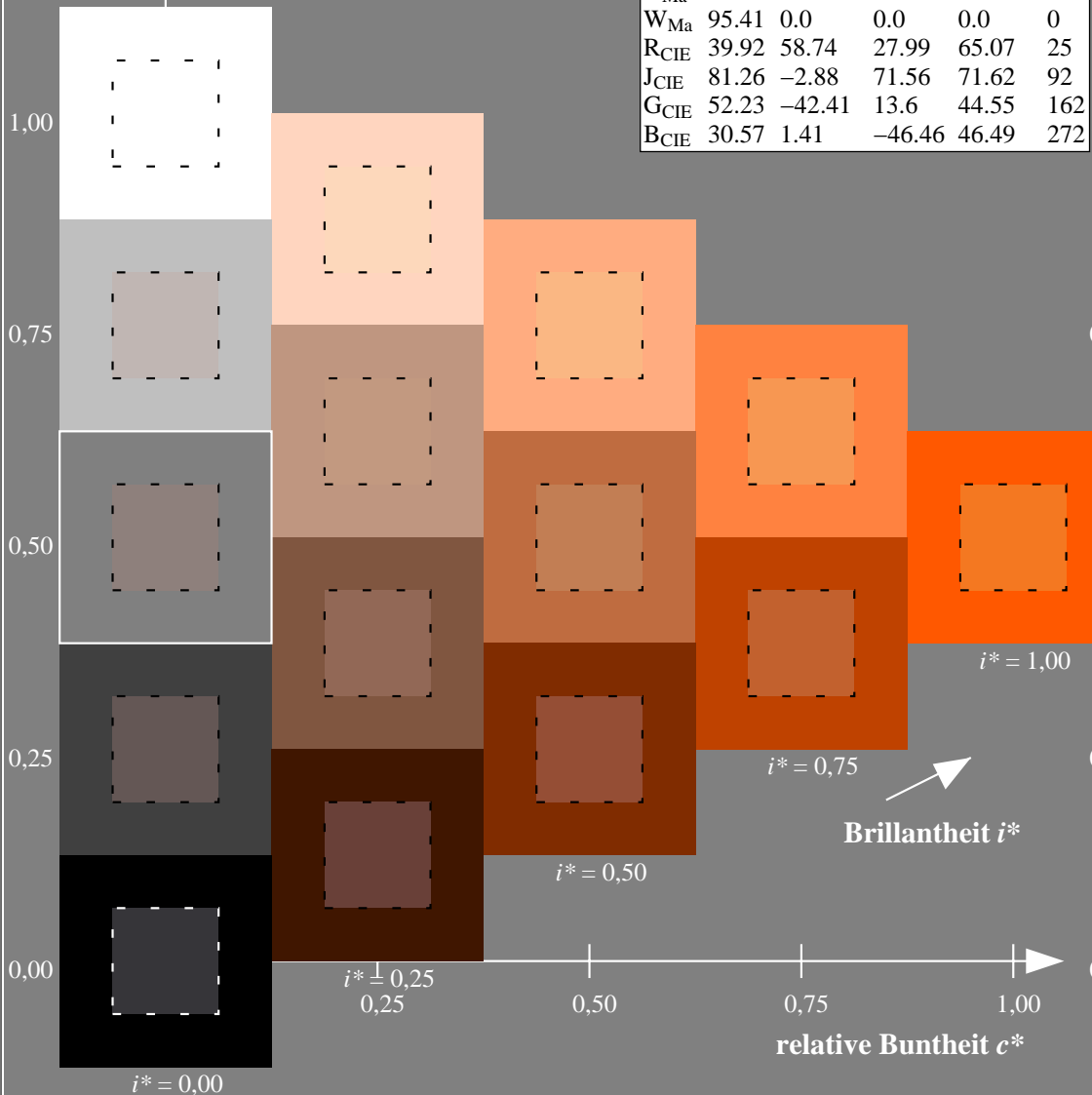
%Umfang

$u^*_{rel} = 93$

%Regularität

$g^*_{H,rel} = 57$

$g^*_{C,rel} = 59$



Daten für jede Farbe:

lab^*ich^* und lab^*icu^*

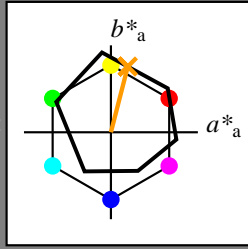
Elementar-Buntontext:

$u^* = r75j$

Kontrastreduzierungsfaktor:

$c_R = 1.0$

Dreiecks-Helligkeit t^*



ORS18_95aM; adaptierte CIELAB-Daten

	$L^*=L^*_a$	a^*_a	b^*_a	$C^*_{ab,a}$	$h^*_{ab,a}$
O _{Ma}	47.94	65.39	50.52	82.63	38
Y _{Ma}	90.37	-10.26	91.75	92.32	96
L _{Ma}	50.9	-62.83	34.96	71.91	151
C _{Ma}	58.62	-30.34	-45.01	54.3	236
V _{Ma}	25.72	31.1	-44.4	54.22	305
M _{Ma}	48.13	75.28	-8.36	75.74	354
N _{Ma}	18.01	0.0	0.0	0.0	0
W _{Ma}	95.41	0.0	0.0	0.0	0
R _{CIE}	39.92	58.74	27.99	65.07	25
J _{CIE}	81.26	-2.88	71.56	71.62	92
G _{CIE}	52.23	-42.41	13.6	44.55	162
B _{CIE}	30.57	1.41	-46.46	46.49	272

Daten für Maximalfarbe (Ma):

LAB^*LAB^*Ma : 74 19 76

LAB^*LCH^*Ma : 74 78 76

lab^*rgb^*Ma : 1.0 0.75 0.0

lab^*olv^*Ma : 1.0 0.61 0.0

Dreiecks-Helligkeit t^*

%Umfang

$u^*_{rel} = 93$

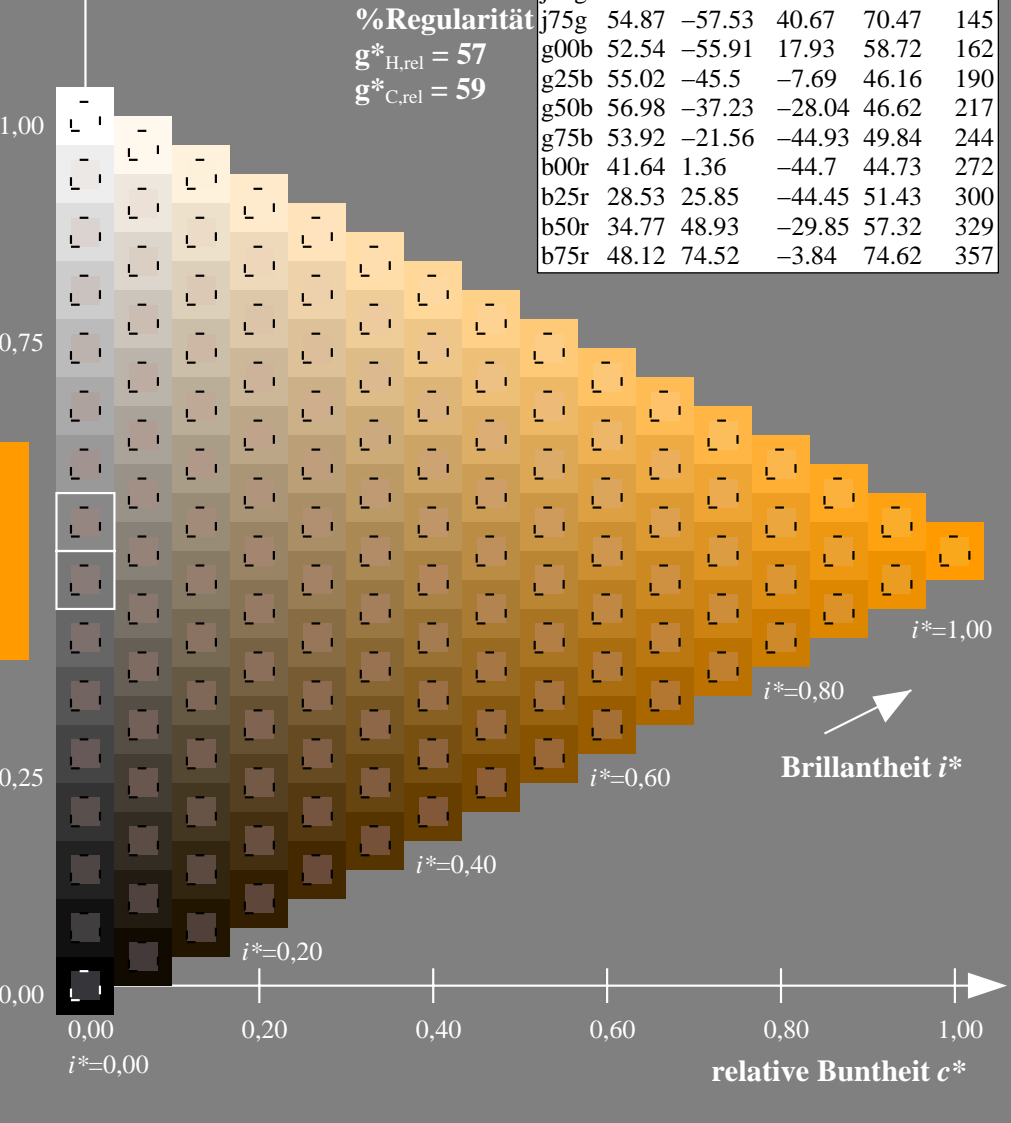
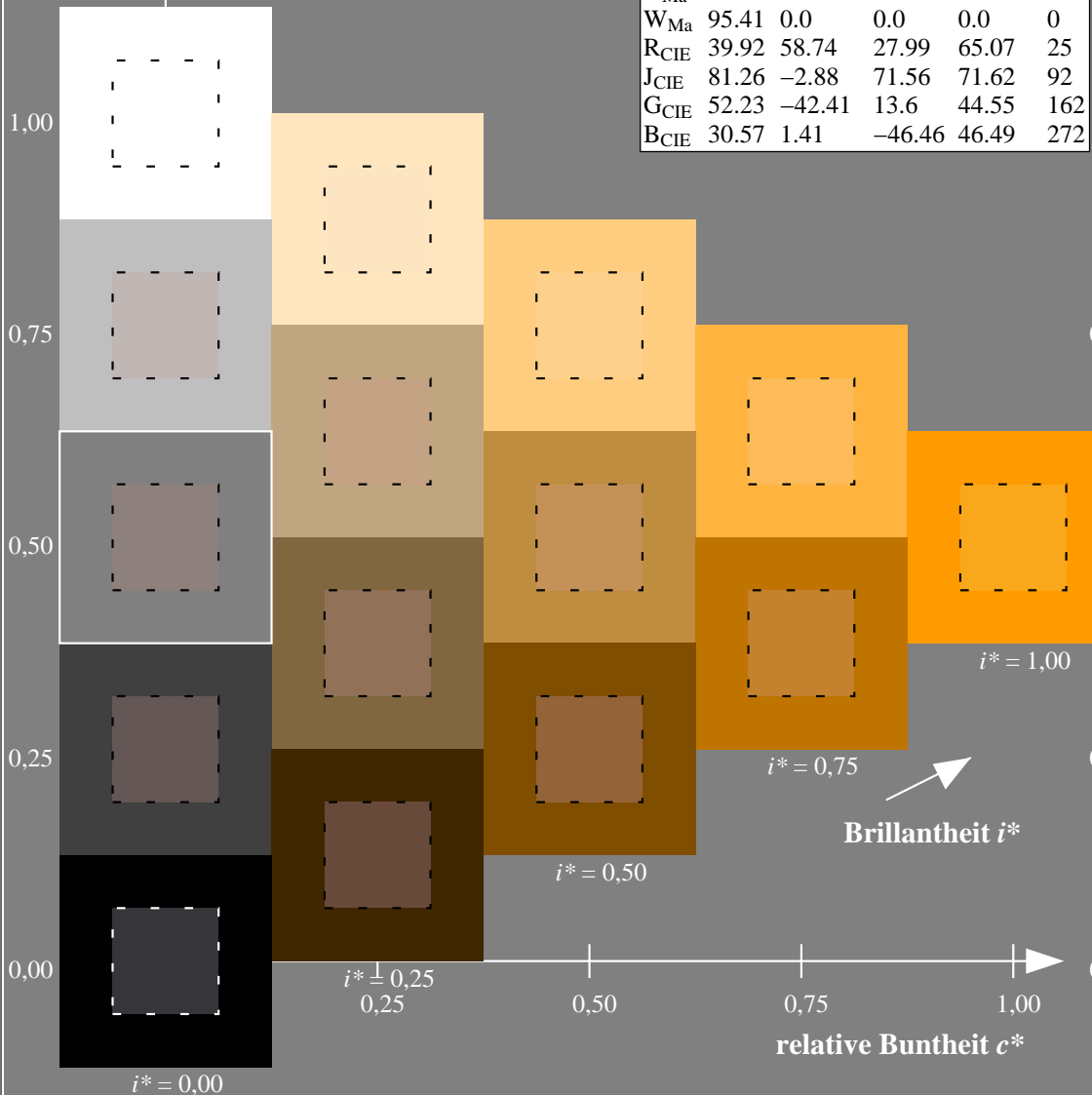
%Regularität

$g^*_{H,rel} = 57$

$g^*_{C,rel} = 59$

ORS18_95aM; adaptierte CIELAB-Daten

	$L^*=L^*_a$	a^*_a	b^*_a	$C^*_{ab,a}$	$h^*_{ab,a}$
r00j	48.0	68.4	32.59	75.77	25
r25j	51.32	59.36	53.8	80.11	42
r50j	62.67	39.12	64.83	75.72	59
r75j	73.73	19.4	75.58	78.03	76
j00g	86.61	-3.55	88.09	88.17	92
j25g	78.07	-26.64	74.05	78.7	110
j50g	65.83	-42.94	56.44	70.93	127
j75g	54.87	-57.53	40.67	70.47	145
g00b	52.54	-55.91	17.93	58.72	162
g25b	55.02	-45.5	-7.69	46.16	190
g50b	56.98	-37.23	-28.04	46.62	217
g75b	53.92	-21.56	-44.93	49.84	244
b00r	41.64	1.36	-44.7	44.73	272
b25r	28.53	25.85	-44.45	51.43	300
b50r	34.77	48.93	-29.85	57.32	329
b75r	48.12	74.52	-3.84	74.62	357



Daten für jede Farbe:

lab^*ich^* und lab^*icu^*

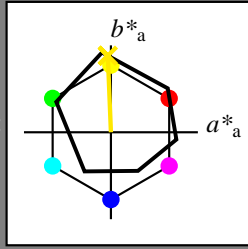
Elementar-Bunntext:

$u^* = j00g$

Kontrastreduzierungsfaktor:

$c_R = 1.0$

Dreiecks-Helligkeit t^*



ORS18_95aM; adaptierte CIELAB-Daten

	$L^*=L^*_a$	a^*_a	b^*_a	$C^*_{ab,a}$	$h^*_{ab,a}$
O _{Ma}	47.94	65.39	50.52	82.63	38
Y _{Ma}	90.37	-10.26	91.75	92.32	96
L _{Ma}	50.9	-62.83	34.96	71.91	151
C _{Ma}	58.62	-30.34	-45.01	54.3	236
V _{Ma}	25.72	31.1	-44.4	54.22	305
M _{Ma}	48.13	75.28	-8.36	75.74	354
N _{Ma}	18.01	0.0	0.0	0.0	0
W _{Ma}	95.41	0.0	0.0	0.0	0
R _{CIE}	39.92	58.74	27.99	65.07	25
J _{CIE}	81.26	-2.88	71.56	71.62	92
G _{CIE}	52.23	-42.41	13.6	44.55	162
B _{CIE}	30.57	1.41	-46.46	46.49	272

Daten für Maximalfarbe (Ma):

$LAB^*LAB^*_{Ma}$: 87 -3 88

$LAB^*LCH^*_{Ma}$: 87 88 92

$lab^*rgb^*_{Ma}$: 1.0 1.0 0.0

$lab^*olv^*_{Ma}$: 1.0 0.91 0.0

ORS18_95aM; adaptierte CIELAB-Daten

	$L^*=L^*_a$	a^*_a	b^*_a	$C^*_{ab,a}$	$h^*_{ab,a}$
r00j	48.0	68.4	32.59	75.77	25
r25j	51.32	59.36	53.8	80.11	42
r50j	62.67	39.12	64.83	75.72	59
r75j	73.73	19.4	75.58	78.03	76
j00g	86.61	-3.55	88.09	88.17	92
j25g	78.07	-26.64	74.05	78.7	110
j50g	65.83	-42.94	56.44	70.93	127
j75g	54.87	-57.53	40.67	70.47	145
g00b	52.54	-55.91	17.93	58.72	162
g25b	55.02	-45.5	-7.69	46.16	190
g50b	56.98	-37.23	-28.04	46.62	217
g75b	53.92	-21.56	-44.93	49.84	244
b00r	41.64	1.36	-44.7	44.73	272
b25r	28.53	25.85	-44.45	51.43	300
b50r	34.77	48.93	-29.85	57.32	329
b75r	48.12	74.52	-3.84	74.62	357

Dreiecks-Helligkeit t^*

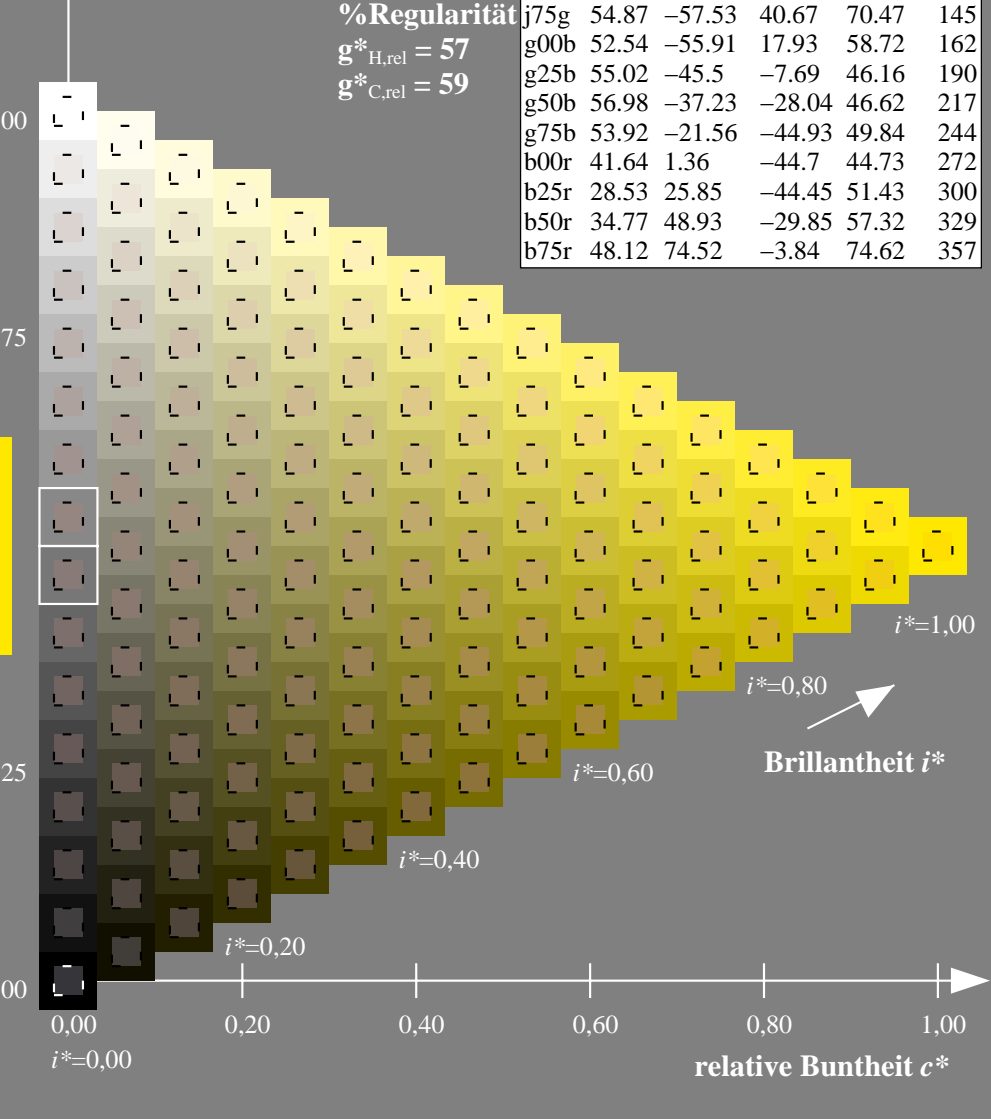
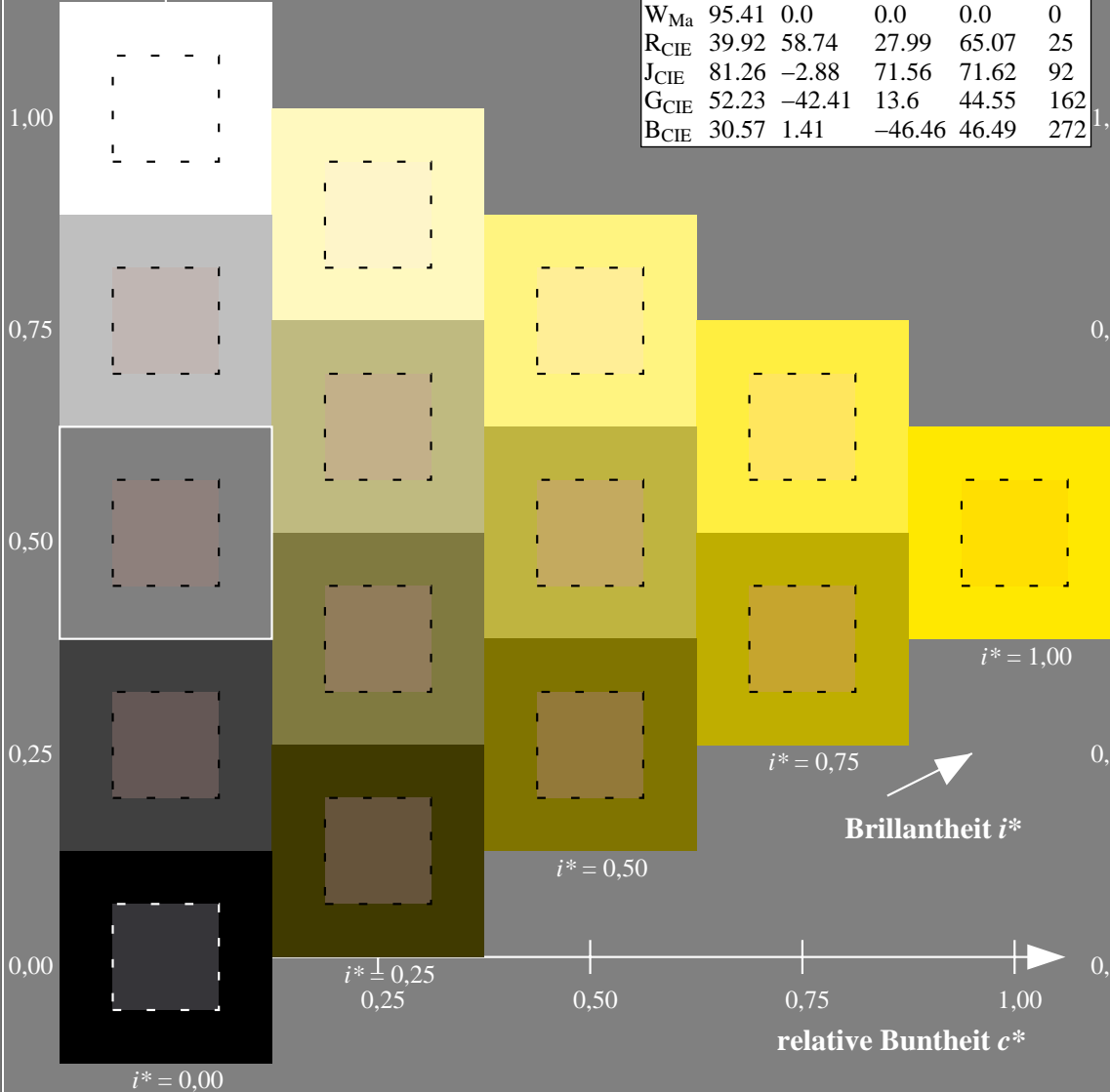
%Umfang

$u^*_{rel} = 93$

%Regularität

$g^*_{H,rel} = 57$

$g^*_{C,rel} = 59$



Daten für jede Farbe:

lab^*ich^* und lab^*icu^*

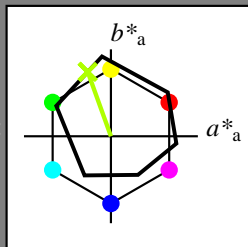
Elementar-Buntontext:

$u^* = j25g$

Kontrastreduzierungsfaktor:

$c_R = 1.0$

Dreiecks-Helligkeit t^*



ORS18_95aM; adaptierte CIELAB-Daten

	$L^*=L^*_a$	a^*_a	b^*_a	$C^*_{ab,a}$	$h^*_{ab,a}$
O _{Ma}	47.94	65.39	50.52	82.63	38
Y _{Ma}	90.37	-10.26	91.75	92.32	96
L _{Ma}	50.9	-62.83	34.96	71.91	151
C _{Ma}	58.62	-30.34	-45.01	54.3	236
V _{Ma}	25.72	31.1	-44.4	54.22	305
M _{Ma}	48.13	75.28	-8.36	75.74	354
N _{Ma}	18.01	0.0	0.0	0.0	0
W _{Ma}	95.41	0.0	0.0	0.0	0
R _{CIE}	39.92	58.74	27.99	65.07	25
J _{CIE}	81.26	-2.88	71.56	71.62	92
G _{CIE}	52.23	-42.41	13.6	44.55	162
B _{CIE}	30.57	1.41	-46.46	46.49	272

Daten für Maximalfarbe (Ma):

$LAB^*LAB^*_{Ma}$: 78 -26 74

$LAB^*LCH^*_{Ma}$: 78 79 110

$lab^*rgb^*_{Ma}$: 0.75 1.0 0.0

$lab^*olv^*_{Ma}$: 0.69 1.0 0.0

ORS18_95aM; adaptierte CIELAB-Daten

	$L^*=L^*_a$	a^*_a	b^*_a	$C^*_{ab,a}$	$h^*_{ab,a}$
r00j	48.0	68.4	32.59	75.77	25
r25j	51.32	59.36	53.8	80.11	42
r50j	62.67	39.12	64.83	75.72	59
r75j	73.73	19.4	75.58	78.03	76
j00g	86.61	-3.55	88.09	88.17	92
j25g	78.07	-26.64	74.05	78.7	110
j50g	65.83	-42.94	56.44	70.93	127
j75g	54.87	-57.53	40.67	70.47	145
g00b	52.54	-55.91	17.93	58.72	162
g25b	55.02	-45.5	-7.69	46.16	190
g50b	56.98	-37.23	-28.04	46.62	217
g75b	53.92	-21.56	-44.93	49.84	244
b00r	41.64	1.36	-44.7	44.73	272
b25r	28.53	25.85	-44.45	51.43	300
b50r	34.77	48.93	-29.85	57.32	329
b75r	48.12	74.52	-3.84	74.62	357

Dreiecks-Helligkeit t^*

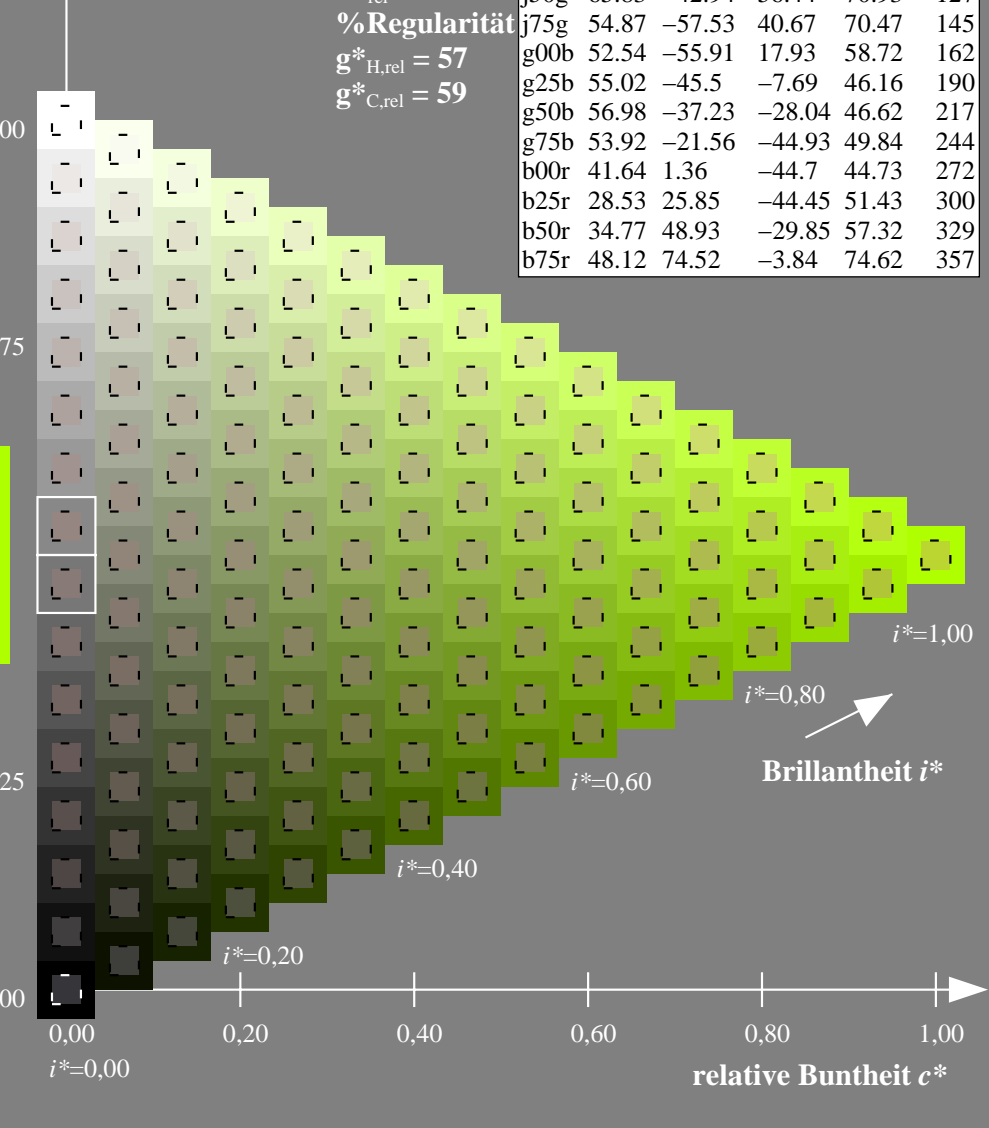
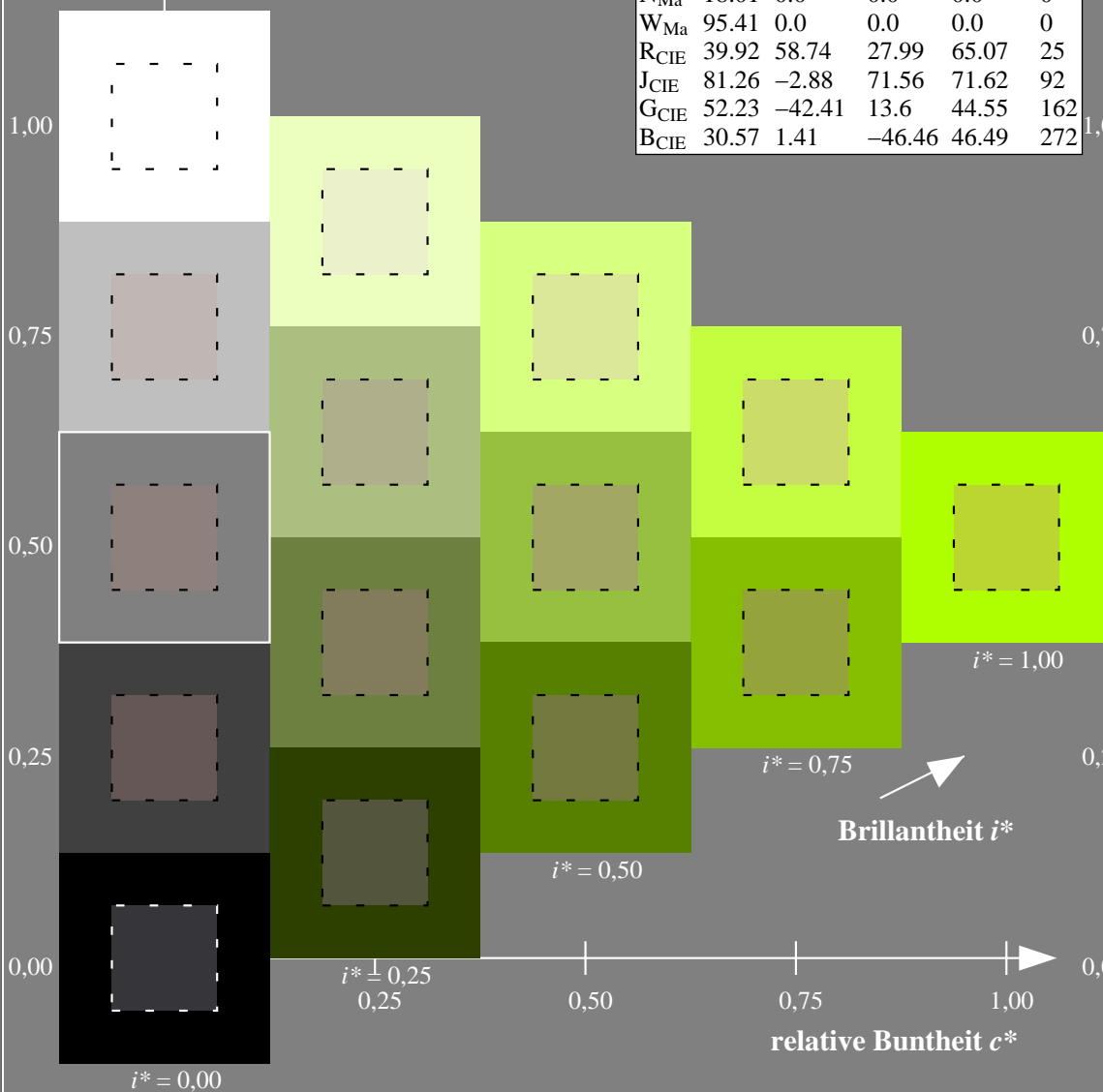
%Umfang

$u^*_{rel} = 93$

%Regularität

$g^*_{H,rel} = 57$

$g^*_{C,rel} = 59$



Daten für jede Farbe:

lab^*ich^* und lab^*icu^*

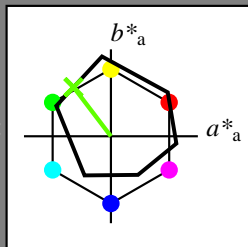
Elementar-Buntontext:

$u^* = j50g$

Kontrastreduzierungsfaktor:

$c_R = 1.0$

Dreiecks-Helligkeit t^*



ORS18_95aM; adaptierte CIELAB-Daten

	$L^*=L^*_a$	a^*_a	b^*_a	$C^*_{ab,a}$	$h^*_{ab,a}$
O _{Ma}	47.94	65.39	50.52	82.63	38
Y _{Ma}	90.37	-10.26	91.75	92.32	96
L _{Ma}	50.9	-62.83	34.96	71.91	151
C _{Ma}	58.62	-30.34	-45.01	54.3	236
V _{Ma}	25.72	31.1	-44.4	54.22	305
M _{Ma}	48.13	75.28	-8.36	75.74	354
N _{Ma}	18.01	0.0	0.0	0.0	0
W _{Ma}	95.41	0.0	0.0	0.0	0
R _{CIE}	39.92	58.74	27.99	65.07	25
J _{CIE}	81.26	-2.88	71.56	71.62	92
G _{CIE}	52.23	-42.41	13.6	44.55	162
B _{CIE}	30.57	1.41	-46.46	46.49	272

Daten für Maximalfarbe (Ma):

$LAB^*LAB^*Ma: 66 -42 56$

$LAB^*LCH^*Ma: 66 71 127$

$lab^*rgb^*Ma: 0.5 1.0 0.0$

$lab^*olv^*Ma: 0.38 1.0 0.0$

ORS18_95aM; adaptierte CIELAB-Daten

	$L^*=L^*_a$	a^*_a	b^*_a	$C^*_{ab,a}$	$h^*_{ab,a}$
r00j	48.0	68.4	32.59	75.77	25
r25j	51.32	59.36	53.8	80.11	42
r50j	62.67	39.12	64.83	75.72	59
r75j	73.73	19.4	75.58	78.03	76
j00g	86.61	-3.55	88.09	88.17	92
j25g	78.07	-26.64	74.05	78.7	110
j50g	65.83	-42.94	56.44	70.93	127
j75g	54.87	-57.53	40.67	70.47	145
g00b	52.54	-55.91	17.93	58.72	162
g25b	55.02	-45.5	-7.69	46.16	190
g50b	56.98	-37.23	-28.04	46.62	217
g75b	53.92	-21.56	-44.93	49.84	244
b00r	41.64	1.36	-44.7	44.73	272
b25r	28.53	25.85	-44.45	51.43	300
b50r	34.77	48.93	-29.85	57.32	329
b75r	48.12	74.52	-3.84	74.62	357

Dreiecks-Helligkeit t^*

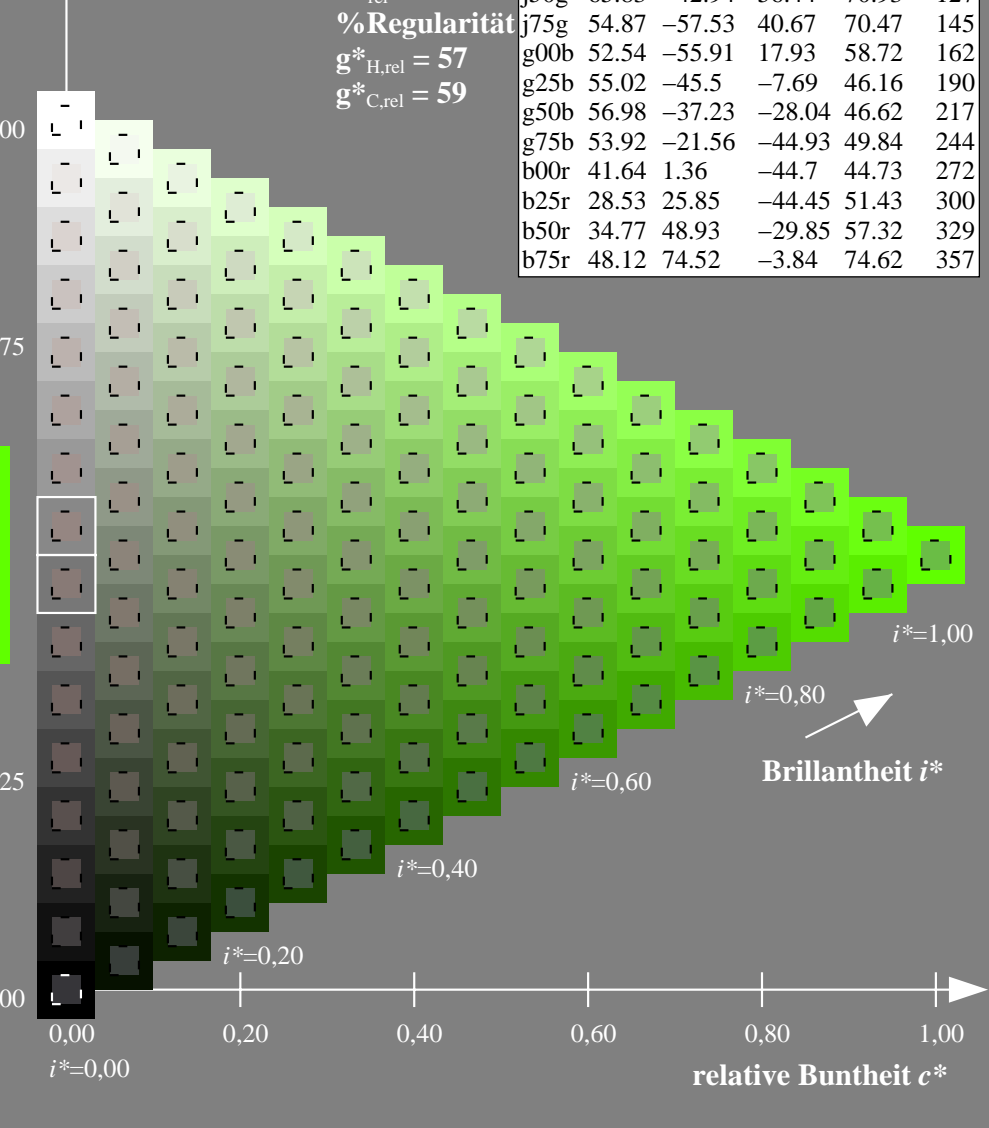
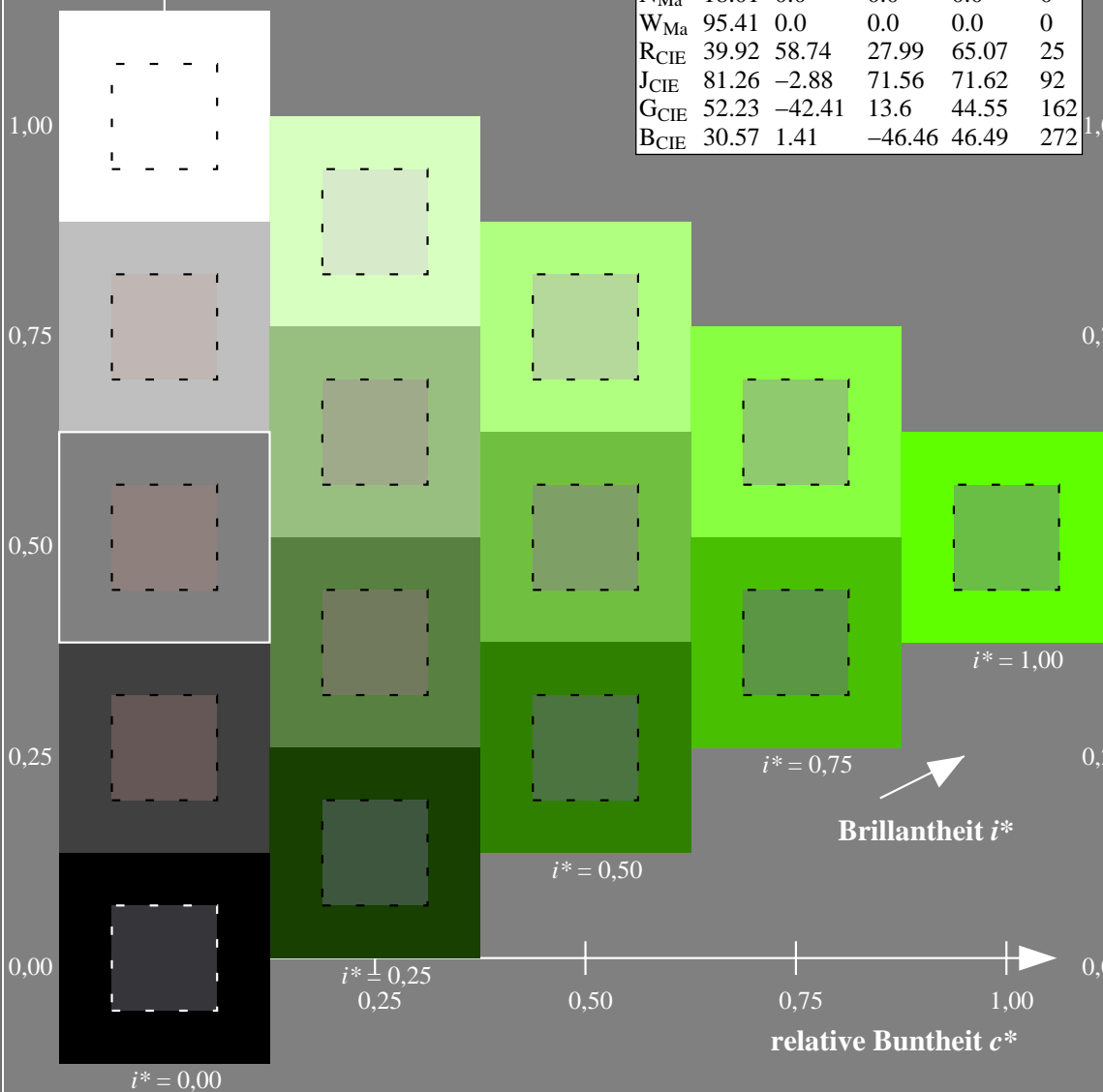
%Umfang

$u^*_{rel} = 93$

%Regularität

$g^*_{H,rel} = 57$

$g^*_{C,rel} = 59$



Daten für jede Farbe:

lab^*ich^* und lab^*icu^*

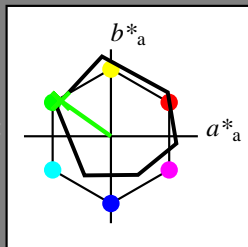
Elementar-Buntontext:

$u^* = j75g$

Kontrastreduzierungsfaktor:

$c_R = 1.0$

Dreiecks-Helligkeit t^*



ORS18_95aM; adaptierte CIELAB-Daten

	$L^*=L^*_a$	a^*_a	b^*_a	$C^*_{ab,a}$	$h^*_{ab,a}$
O _{Ma}	47.94	65.39	50.52	82.63	38
Y _{Ma}	90.37	-10.26	91.75	92.32	96
L _{Ma}	50.9	-62.83	34.96	71.91	151
C _{Ma}	58.62	-30.34	-45.01	54.3	236
V _{Ma}	25.72	31.1	-44.4	54.22	305
M _{Ma}	48.13	75.28	-8.36	75.74	354
N _{Ma}	18.01	0.0	0.0	0.0	0
W _{Ma}	95.41	0.0	0.0	0.0	0
R _{CIE}	39.92	58.74	27.99	65.07	25
J _{CIE}	81.26	-2.88	71.56	71.62	92
G _{CIE}	52.23	-42.41	13.6	44.55	162
B _{CIE}	30.57	1.41	-46.46	46.49	272

Daten für Maximalfarbe (Ma):

$LAB^*LAB^*_{Ma}$: 55 -57 41

$LAB^*LCH^*_{Ma}$: 55 70 145

$lab^*rgb^*_{Ma}$: 0.25 1.0 0.0

$lab^*olv^*_{Ma}$: 0.1 1.0 0.0

ORS18_95aM; adaptierte CIELAB-Daten

	$L^*=L^*_a$	a^*_a	b^*_a	$C^*_{ab,a}$	$h^*_{ab,a}$
r00j	48.0	68.4	32.59	75.77	25
r25j	51.32	59.36	53.8	80.11	42
r50j	62.67	39.12	64.83	75.72	59
r75j	73.73	19.4	75.58	78.03	76
j00g	86.61	-3.55	88.09	88.17	92
j25g	78.07	-26.64	74.05	78.7	110
j50g	65.83	-42.94	56.44	70.93	127
j75g	54.87	-57.53	40.67	70.47	145
g00b	52.54	-55.91	17.93	58.72	162
g25b	55.02	-45.5	-7.69	46.16	190
g50b	56.98	-37.23	-28.04	46.62	217
g75b	53.92	-21.56	-44.93	49.84	244
b00r	41.64	1.36	-44.7	44.73	272
b25r	28.53	25.85	-44.45	51.43	300
b50r	34.77	48.93	-29.85	57.32	329
b75r	48.12	74.52	-3.84	74.62	357

Dreiecks-Helligkeit t^*

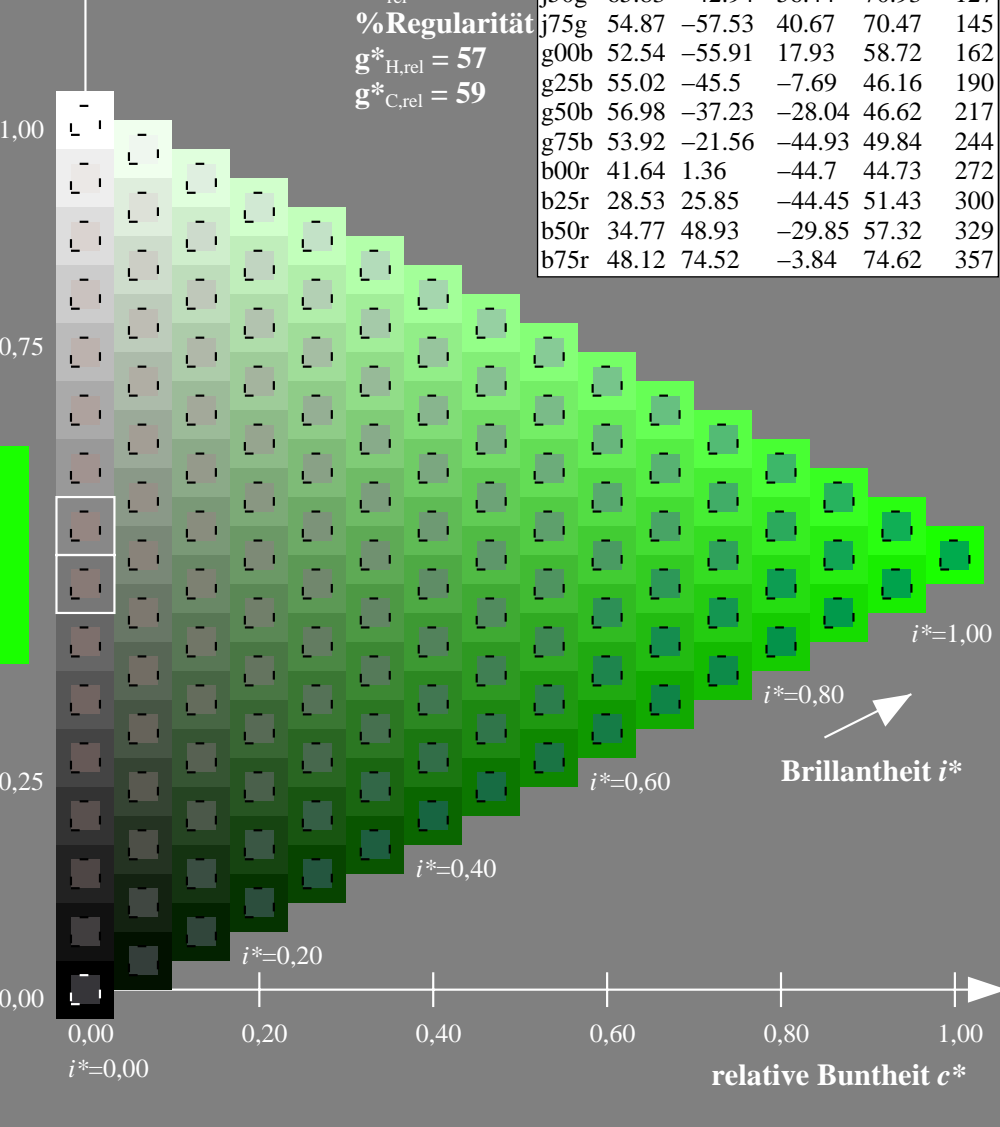
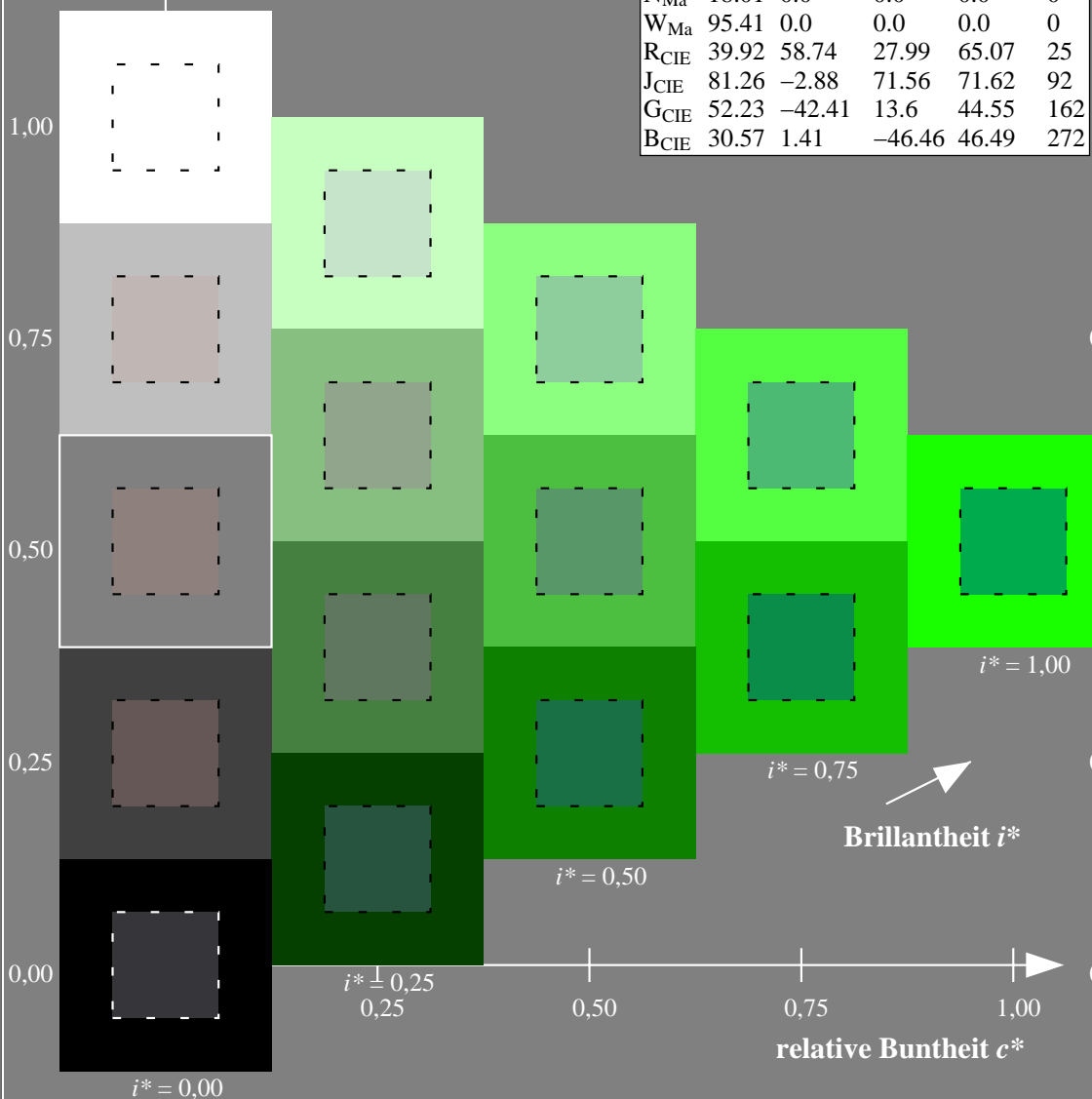
%Umfang

$u^*_{rel} = 93$

%Regularität

$g^*_{H,rel} = 57$

$g^*_{C,rel} = 59$



Daten für jede Farbe:

lab^*ich^* und lab^*icu^*

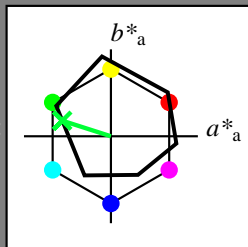
Elementar-Buntontext:

$u^* = g00b$

Kontrastreduzierungsfaktor:

$c_R = 1.0$

Dreiecks-Helligkeit t^*



ORS18_95aM; adaptierte CIELAB-Daten

	$L^*=L^*_a$	a^*_a	b^*_a	$C^*_{ab,a}$	$h^*_{ab,a}$
O _{Ma}	47.94	65.39	50.52	82.63	38
Y _{Ma}	90.37	-10.26	91.75	92.32	96
L _{Ma}	50.9	-62.83	34.96	71.91	151
C _{Ma}	58.62	-30.34	-45.01	54.3	236
V _{Ma}	25.72	31.1	-44.4	54.22	305
M _{Ma}	48.13	75.28	-8.36	75.74	354
N _{Ma}	18.01	0.0	0.0	0.0	0
W _{Ma}	95.41	0.0	0.0	0.0	0
R _{CIE}	39.92	58.74	27.99	65.07	25
J _{CIE}	81.26	-2.88	71.56	71.62	92
G _{CIE}	52.23	-42.41	13.6	44.55	162
B _{CIE}	30.57	1.41	-46.46	46.49	272

Daten für Maximalfarbe (Ma):

$LAB^*LAB^*_{Ma}$: 53 -55 18

$LAB^*LCH^*_{Ma}$: 53 59 162

$lab^*rgb^*_{Ma}$: 0.0 1.0 0.0

$lab^*olv^*_{Ma}$: 0.0 1.0 0.21

ORS18_95aM; adaptierte CIELAB-Daten

	$L^*=L^*_a$	a^*_a	b^*_a	$C^*_{ab,a}$	$h^*_{ab,a}$
r00j	48.0	68.4	32.59	75.77	25
r25j	51.32	59.36	53.8	80.11	42
r50j	62.67	39.12	64.83	75.72	59
r75j	73.73	19.4	75.58	78.03	76
j00g	86.61	-3.55	88.09	88.17	92
j25g	78.07	-26.64	74.05	78.7	110
j50g	65.83	-42.94	56.44	70.93	127
j75g	54.87	-57.53	40.67	70.47	145
g00b	52.54	-55.91	17.93	58.72	162
g25b	55.02	-45.5	-7.69	46.16	190
g50b	56.98	-37.23	-28.04	46.62	217
g75b	53.92	-21.56	-44.93	49.84	244
b00r	41.64	1.36	-44.7	44.73	272
b25r	28.53	25.85	-44.45	51.43	300
b50r	34.77	48.93	-29.85	57.32	329
b75r	48.12	74.52	-3.84	74.62	357

Dreiecks-Helligkeit t^*

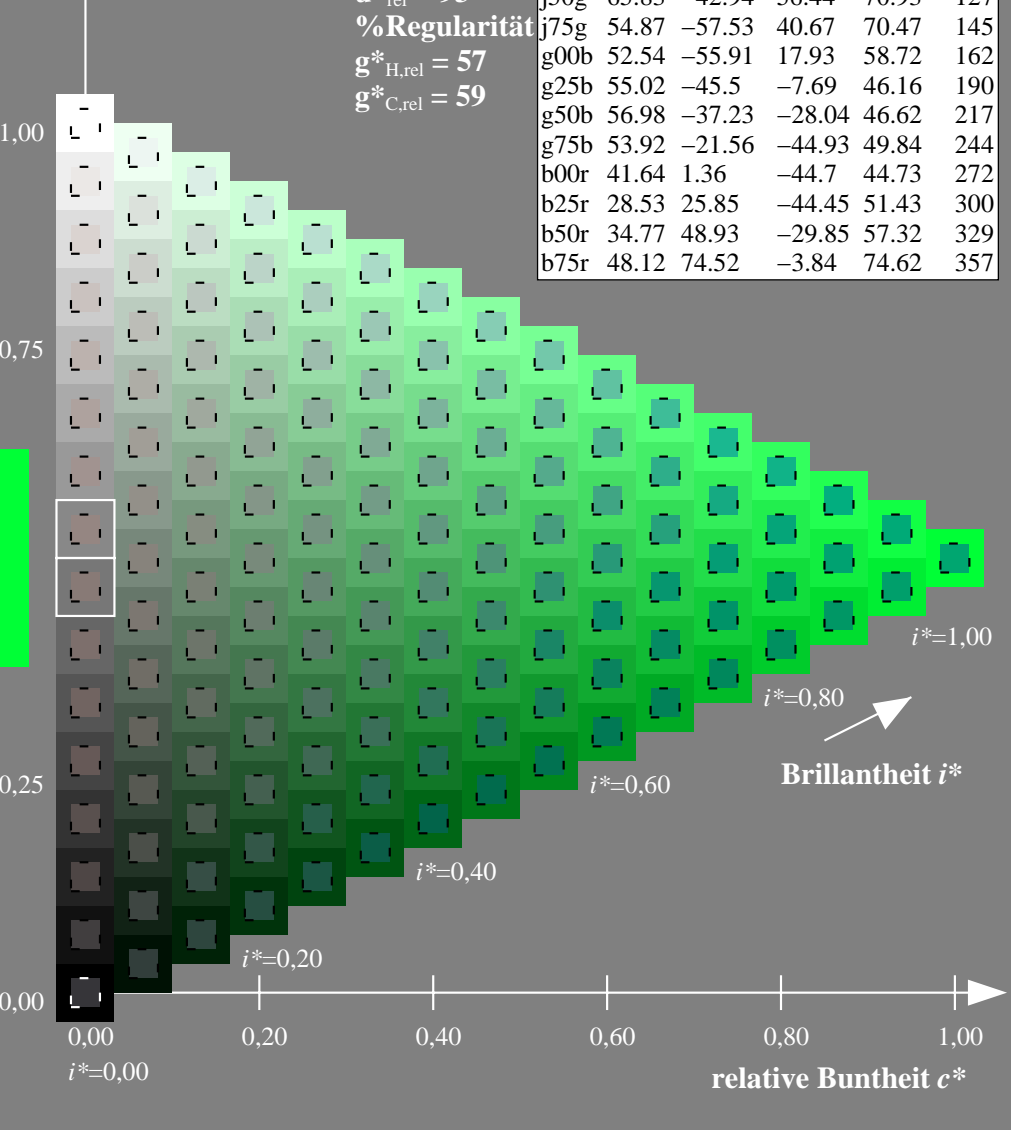
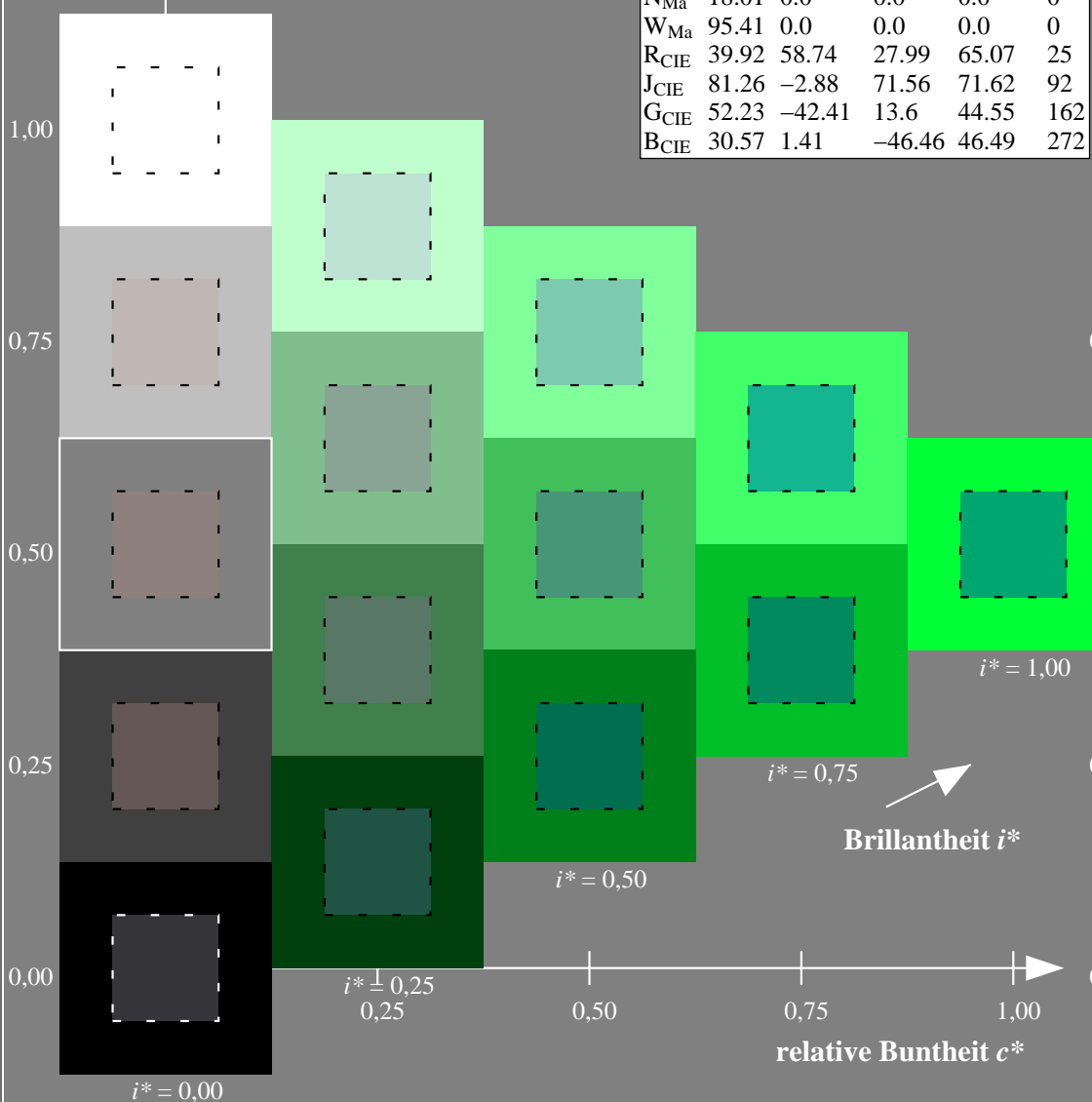
%Umfang

$u^*_{rel} = 93$

%Regularität

$g^*_{H,rel} = 57$

$g^*_{C,rel} = 59$



Ein und Ausgabe: Farbmetrisches Drucker-Reflektiv-System ORS18_95aM für relativen CIELAB-Bunton $h^* = lab^*h^* = h_{ab}/360 = 190/360 = 0.527 u^* = g25b$

Daten für jede Farbe:

lab^*ich^* und lab^*icu^*

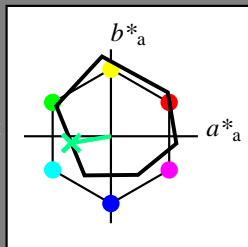
Elementar-Buntontext:

$u^* = g25b$

Kontrastreduzierungsfaktor:

$c_R = 1.0$

Dreiecks-Helligkeit t^*



ORS18_95aM; adaptierte CIELAB-Daten

	$L^*=L^*_a$	a^*_a	b^*_a	$C^*_{ab,a}$	$h^*_{ab,a}$
O _{Ma}	47.94	65.39	50.52	82.63	38
Y _{Ma}	90.37	-10.26	91.75	92.32	96
L _{Ma}	50.9	-62.83	34.96	71.91	151
C _{Ma}	58.62	-30.34	-45.01	54.3	236
V _{Ma}	25.72	31.1	-44.4	54.22	305
M _{Ma}	48.13	75.28	-8.36	75.74	354
N _{Ma}	18.01	0.0	0.0	0.0	0
W _{Ma}	95.41	0.0	0.0	0.0	0
R _{CIE}	39.92	58.74	27.99	65.07	25
J _{CIE}	81.26	-2.88	71.56	71.62	92
G _{CIE}	52.23	-42.41	13.6	44.55	162
B _{CIE}	30.57	1.41	-46.46	46.49	272

Daten für Maximalfarbe (Ma):

$LAB^*LAB^*Ma: 55 -45 -7$

$LAB^*LCH^*Ma: 55 46 190$

$lab^*rgb^*Ma: 0.0 1.0 0.5$

$lab^*olv^*Ma: 0.0 1.0 0.53$

ORS18_95aM; adaptierte CIELAB-Daten

	$L^*=L^*_a$	a^*_a	b^*_a	$C^*_{ab,a}$	$h^*_{ab,a}$
r00j	48.0	68.4	32.59	75.77	25
r25j	51.32	59.36	53.8	80.11	42
r50j	62.67	39.12	64.83	75.72	59
r75j	73.73	19.4	75.58	78.03	76
j00g	86.61	-3.55	88.09	88.17	92
j25g	78.07	-26.64	74.05	78.7	110
j50g	65.83	-42.94	56.44	70.93	127
j75g	54.87	-57.53	40.67	70.47	145
g00b	52.54	-55.91	17.93	58.72	162
g25b	55.02	-45.5	-7.69	46.16	190
g50b	56.98	-37.23	-28.04	46.62	217
g75b	53.92	-21.56	-44.93	49.84	244
b00r	41.64	1.36	-44.7	44.73	272
b25r	28.53	25.85	-44.45	51.43	300
b50r	34.77	48.93	-29.85	57.32	329
b75r	48.12	74.52	-3.84	74.62	357

Dreiecks-Helligkeit t^*

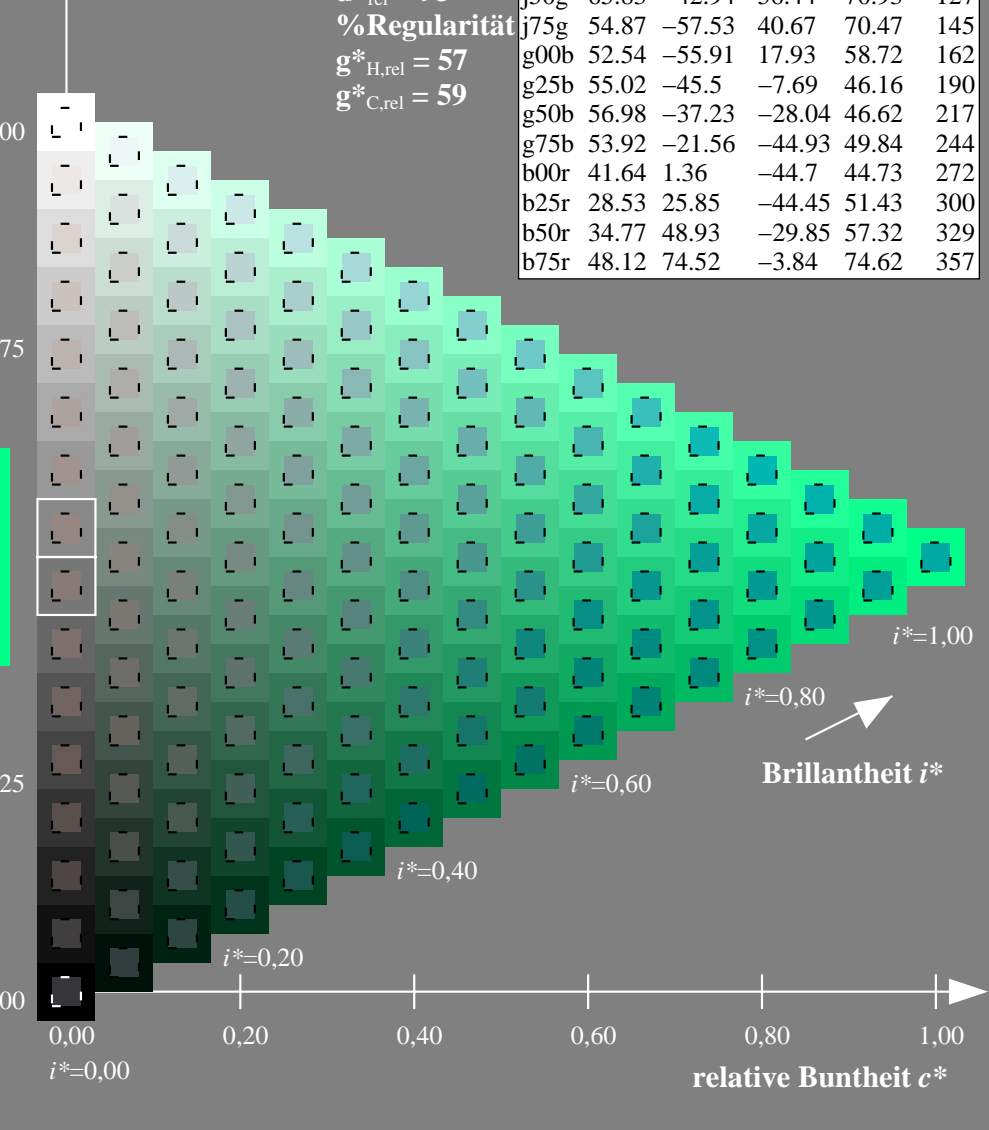
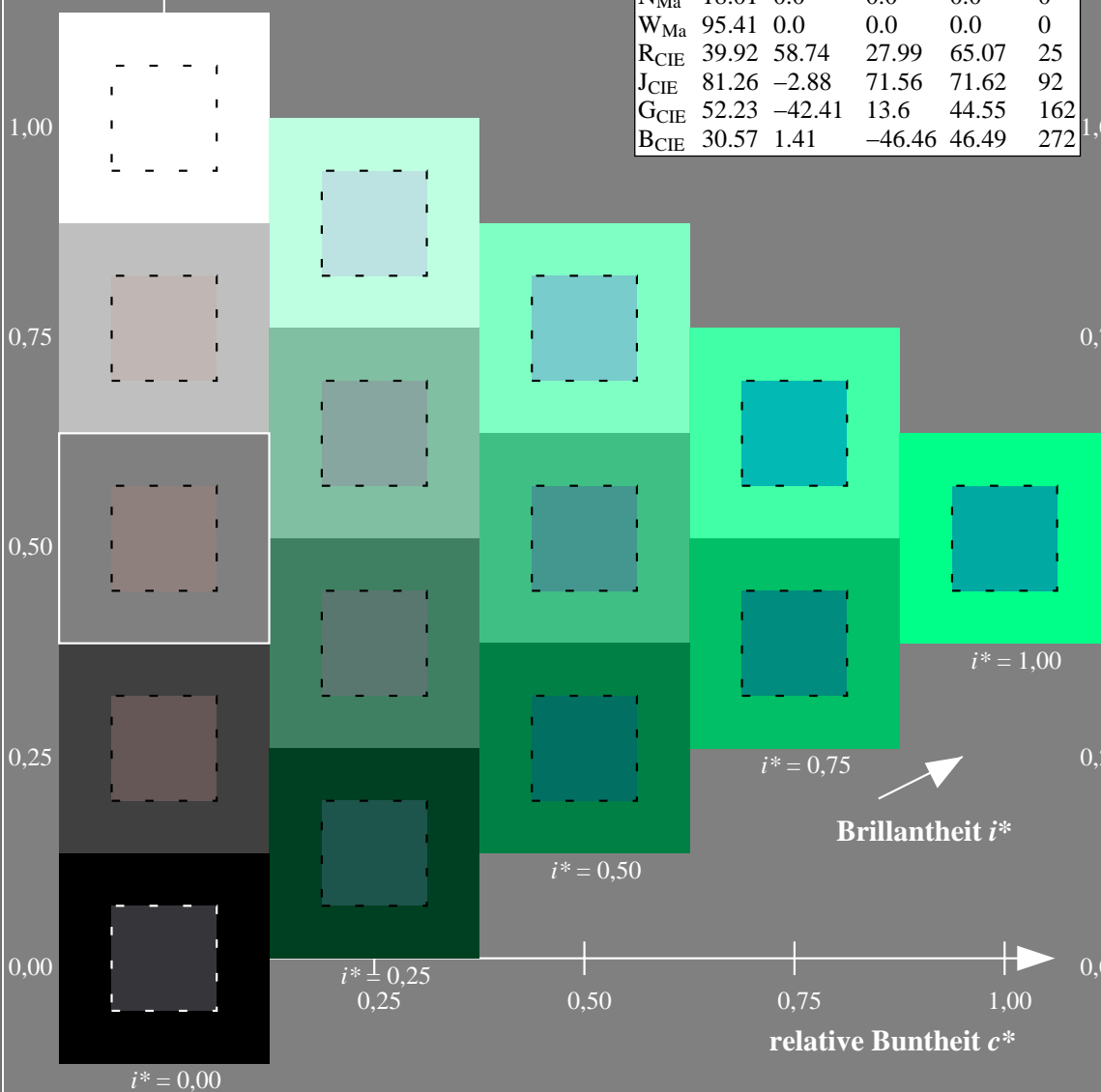
%Umfang

$u^*_{rel} = 93$

%Regularität

$g^*_{H,rel} = 57$

$g^*_{C,rel} = 59$



Daten für jede Farbe:

lab^*ich^* und lab^*icu^*

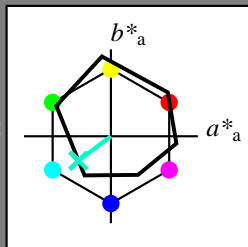
Elementar-Buntontext:

$u^* = g50b$

Kontrastreduzierungsfaktor:

$c_R = 1.0$

Dreiecks-Helligkeit t^*



ORS18_95aM; adaptierte CIELAB-Daten

	$L^*=L^*_a$	a^*_a	b^*_a	$C^*_{ab,a}$	$h^*_{ab,a}$
O _{Ma}	47.94	65.39	50.52	82.63	38
Y _{Ma}	90.37	-10.26	91.75	92.32	96
L _{Ma}	50.9	-62.83	34.96	71.91	151
C _{Ma}	58.62	-30.34	-45.01	54.3	236
V _{Ma}	25.72	31.1	-44.4	54.22	305
M _{Ma}	48.13	75.28	-8.36	75.74	354
N _{Ma}	18.01	0.0	0.0	0.0	0
W _{Ma}	95.41	0.0	0.0	0.0	0
R _{CIE}	39.92	58.74	27.99	65.07	25
J _{CIE}	81.26	-2.88	71.56	71.62	92
G _{CIE}	52.23	-42.41	13.6	44.55	162
B _{CIE}	30.57	1.41	-46.46	46.49	272

Daten für Maximalfarbe (Ma):

$LAB^*LAB^*_{Ma}$: 57 -36 -27

$LAB^*LCH^*_{Ma}$: 57 47 217

$lab^*rgb^*_{Ma}$: 0.0 1.0 1.0

$lab^*olv^*_{Ma}$: 0.0 1.0 0.79

ORS18_95aM; adaptierte CIELAB-Daten

	$L^*=L^*_a$	a^*_a	b^*_a	$C^*_{ab,a}$	$h^*_{ab,a}$
r00j	48.0	68.4	32.59	75.77	25
r25j	51.32	59.36	53.8	80.11	42
r50j	62.67	39.12	64.83	75.72	59
r75j	73.73	19.4	75.58	78.03	76
j00g	86.61	-3.55	88.09	88.17	92
j25g	78.07	-26.64	74.05	78.7	110
j50g	65.83	-42.94	56.44	70.93	127
j75g	54.87	-57.53	40.67	70.47	145
g00b	52.54	-55.91	17.93	58.72	162
g25b	55.02	-45.5	-7.69	46.16	190
g50b	56.98	-37.23	-28.04	46.62	217
g75b	53.92	-21.56	-44.93	49.84	244
b00r	41.64	1.36	-44.7	44.73	272
b25r	28.53	25.85	-44.45	51.43	300
b50r	34.77	48.93	-29.85	57.32	329
b75r	48.12	74.52	-3.84	74.62	357

Dreiecks-Helligkeit t^*

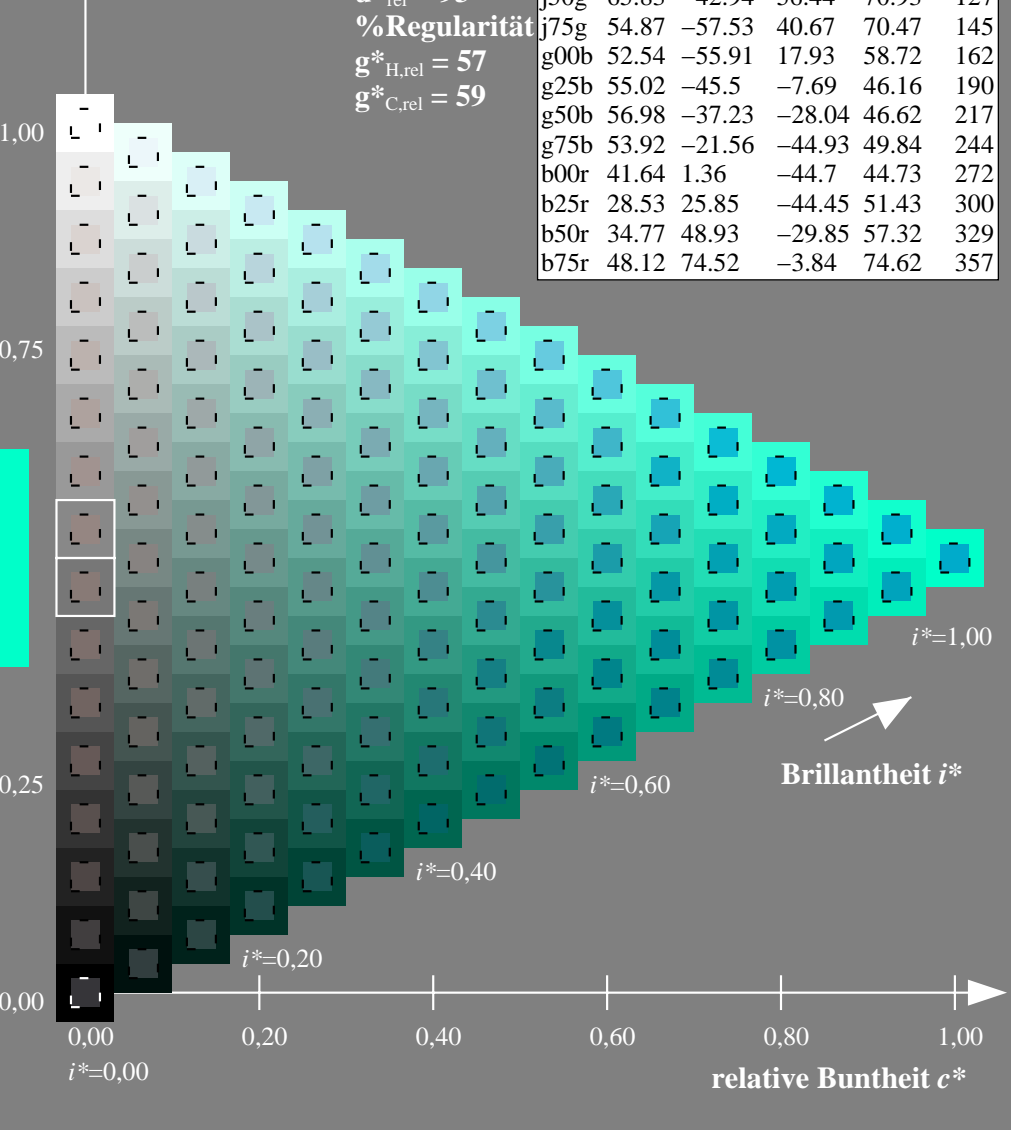
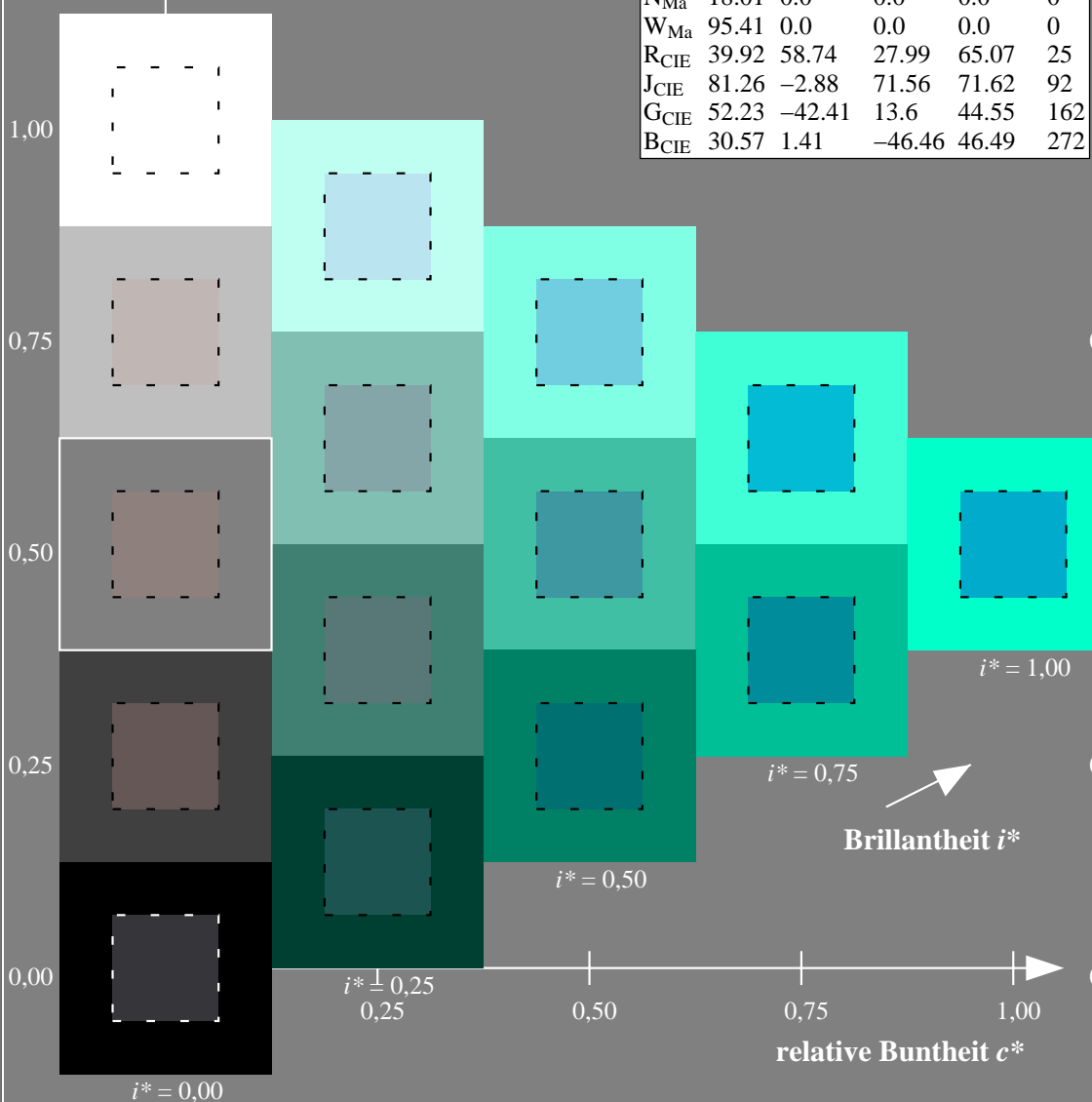
%Umfang

$u^*_{rel} = 93$

%Regularität

$g^*_{H,rel} = 57$

$g^*_{C,rel} = 59$



Ein und Ausgabe: Farbmetrisches Drucker-Reflektiv-System ORS18_95aM für relativen CIELAB-Bunnton $h^* = lab^*h^* = h_{ab}/360 = 244/360 = 0.679$ $u^* = g75b$

Daten für jede Farbe:

lab^*ich^* und lab^*icu^*

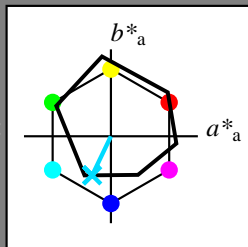
Elementar-Bunntext:

$u^* = g75b$

Kontrastreduzierungsfaktor:

$c_R = 1.0$

Dreiecks-Helligkeit t^*



ORS18_95aM; adaptierte CIELAB-Daten

	$L^*=L^*_a$	a^*_a	b^*_a	$C^*_{ab,a}$	$h^*_{ab,a}$
O _{Ma}	47.94	65.39	50.52	82.63	38
Y _{Ma}	90.37	-10.26	91.75	92.32	96
L _{Ma}	50.9	-62.83	34.96	71.91	151
C _{Ma}	58.62	-30.34	-45.01	54.3	236
V _{Ma}	25.72	31.1	-44.4	54.22	305
M _{Ma}	48.13	75.28	-8.36	75.74	354
N _{Ma}	18.01	0.0	0.0	0.0	0
W _{Ma}	95.41	0.0	0.0	0.0	0
R _{CIE}	39.92	58.74	27.99	65.07	25
J _{CIE}	81.26	-2.88	71.56	71.62	92
G _{CIE}	52.23	-42.41	13.6	44.55	162
B _{CIE}	30.57	1.41	-46.46	46.49	272

Daten für Maximalfarbe (Ma):

$LAB^*LAB^*_{Ma}$: 54 -21 -44

$LAB^*LCH^*_{Ma}$: 54 50 244

$lab^*rgb^*_{Ma}$: 0.0 0.5 1.0

$lab^*olv^*_{Ma}$: 0.0 0.86 1.0

ORS18_95aM; adaptierte CIELAB-Daten

	$L^*=L^*_a$	a^*_a	b^*_a	$C^*_{ab,a}$	$h^*_{ab,a}$
r00j	48.0	68.4	32.59	75.77	25
r25j	51.32	59.36	53.8	80.11	42
r50j	62.67	39.12	64.83	75.72	59
r75j	73.73	19.4	75.58	78.03	76
j00g	86.61	-3.55	88.09	88.17	92
j25g	78.07	-26.64	74.05	78.7	110
j50g	65.83	-42.94	56.44	70.93	127
j75g	54.87	-57.53	40.67	70.47	145
g00b	52.54	-55.91	17.93	58.72	162
g25b	55.02	-45.5	-7.69	46.16	190
g50b	56.98	-37.23	-28.04	46.62	217
g75b	53.92	-21.56	-44.93	49.84	244
b00r	41.64	1.36	-44.7	44.73	272
b25r	28.53	25.85	-44.45	51.43	300
b50r	34.77	48.93	-29.85	57.32	329
b75r	48.12	74.52	-3.84	74.62	357

Dreiecks-Helligkeit t^*

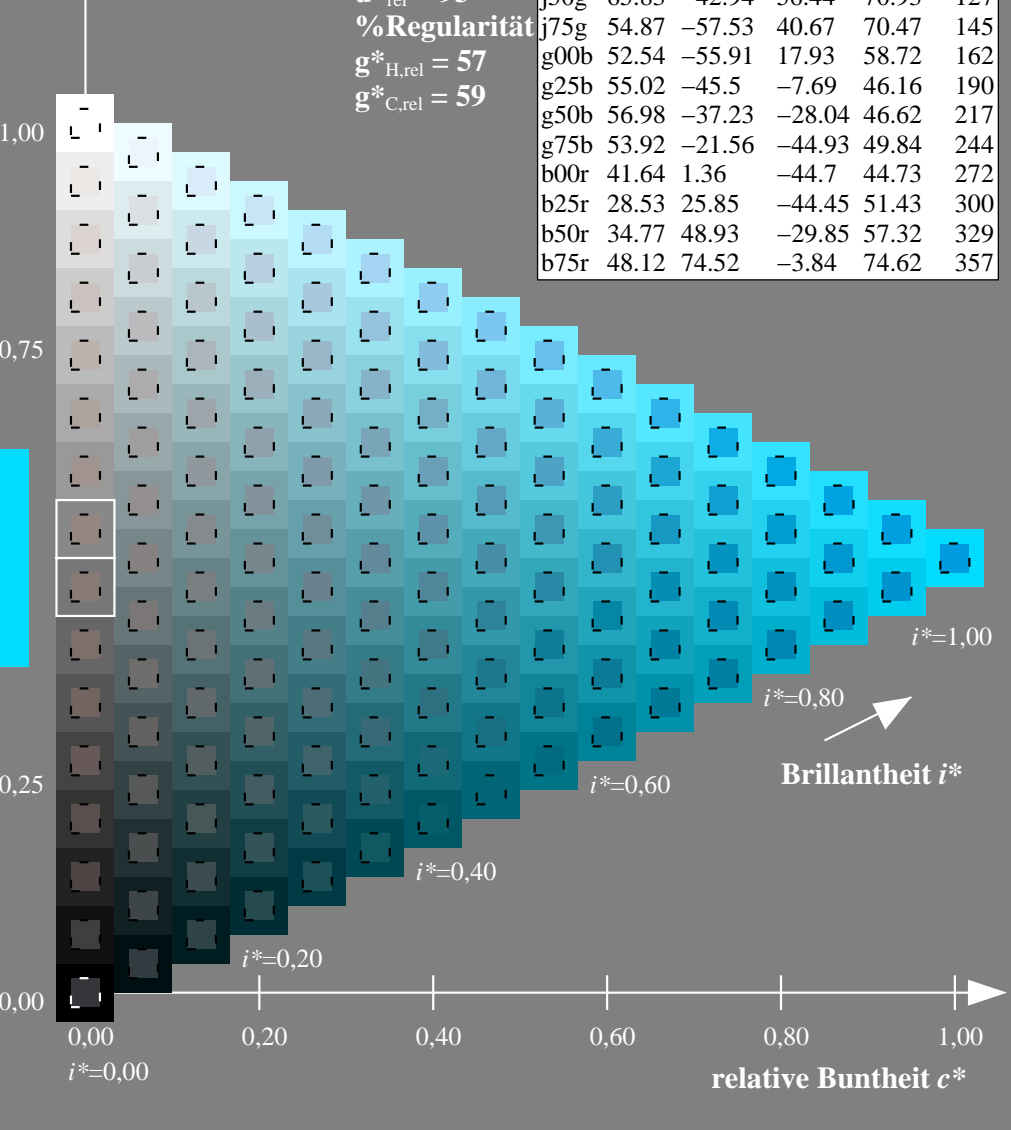
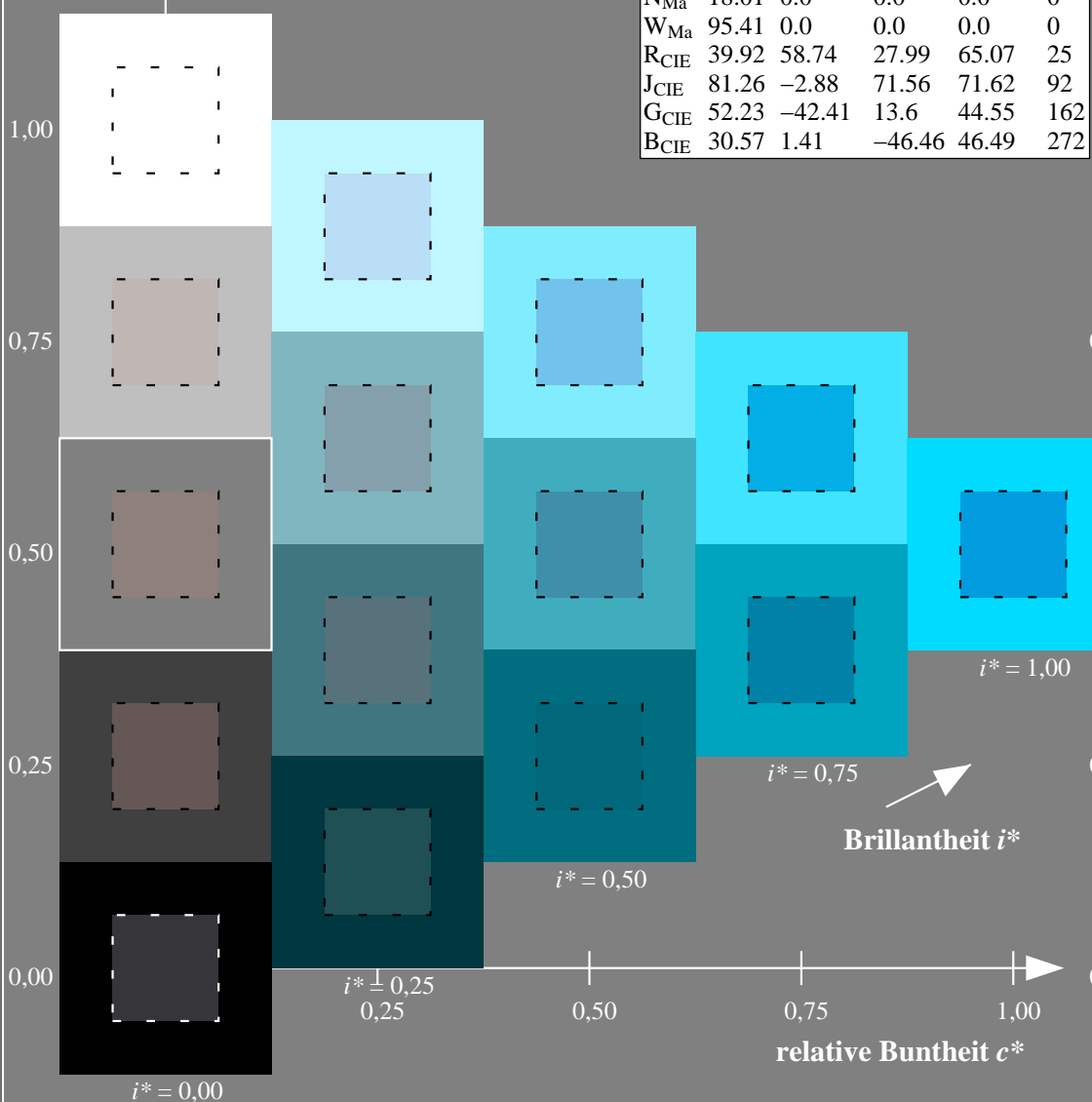
%Umfang

$u^*_{rel} = 93$

%Regularität

$g^*_{H,rel} = 57$

$g^*_{C,rel} = 59$



Daten für jede Farbe:

lab^*ich^* und lab^*icu^*

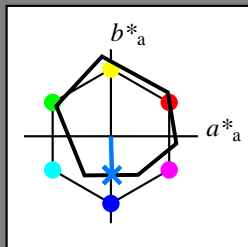
Elementar-Buntontext:

$u^* = b00r$

Kontrastreduzierungsfaktor:

$c_R = 1.0$

Dreiecks-Helligkeit t^*



ORS18_95aM; adaptierte CIELAB-Daten

	$L^*=L^*_a$	a^*_a	b^*_a	$C^*_{ab,a}$	$h^*_{ab,a}$
O _{Ma}	47.94	65.39	50.52	82.63	38
Y _{Ma}	90.37	-10.26	91.75	92.32	96
L _{Ma}	50.9	-62.83	34.96	71.91	151
C _{Ma}	58.62	-30.34	-45.01	54.3	236
V _{Ma}	25.72	31.1	-44.4	54.22	305
M _{Ma}	48.13	75.28	-8.36	75.74	354
N _{Ma}	18.01	0.0	0.0	0.0	0
W _{Ma}	95.41	0.0	0.0	0.0	0
R _{CIE}	39.92	58.74	27.99	65.07	25
J _{CIE}	81.26	-2.88	71.56	71.62	92
G _{CIE}	52.23	-42.41	13.6	44.55	162
B _{CIE}	30.57	1.41	-46.46	46.49	272

Daten für Maximalfarbe (Ma):

$LAB^*LAB^*_{Ma}$: 42 1 -44

$LAB^*LCH^*_{Ma}$: 42 45 272

$lab^*rgb^*_{Ma}$: 0.0 0.0 1.0

$lab^*olv^*_{Ma}$: 0.0 0.48 1.0

ORS18_95aM; adaptierte CIELAB-Daten

	$L^*=L^*_a$	a^*_a	b^*_a	$C^*_{ab,a}$	$h^*_{ab,a}$
r00j	48.0	68.4	32.59	75.77	25
r25j	51.32	59.36	53.8	80.11	42
r50j	62.67	39.12	64.83	75.72	59
r75j	73.73	19.4	75.58	78.03	76
j00g	86.61	-3.55	88.09	88.17	92
j25g	78.07	-26.64	74.05	78.7	110
j50g	65.83	-42.94	56.44	70.93	127
j75g	54.87	-57.53	40.67	70.47	145
g00b	52.54	-55.91	17.93	58.72	162
g25b	55.02	-45.5	-7.69	46.16	190
g50b	56.98	-37.23	-28.04	46.62	217
g75b	53.92	-21.56	-44.93	49.84	244
b00r	41.64	1.36	-44.7	44.73	272
b25r	28.53	25.85	-44.45	51.43	300
b50r	34.77	48.93	-29.85	57.32	329
b75r	48.12	74.52	-3.84	74.62	357

Dreiecks-Helligkeit t^*

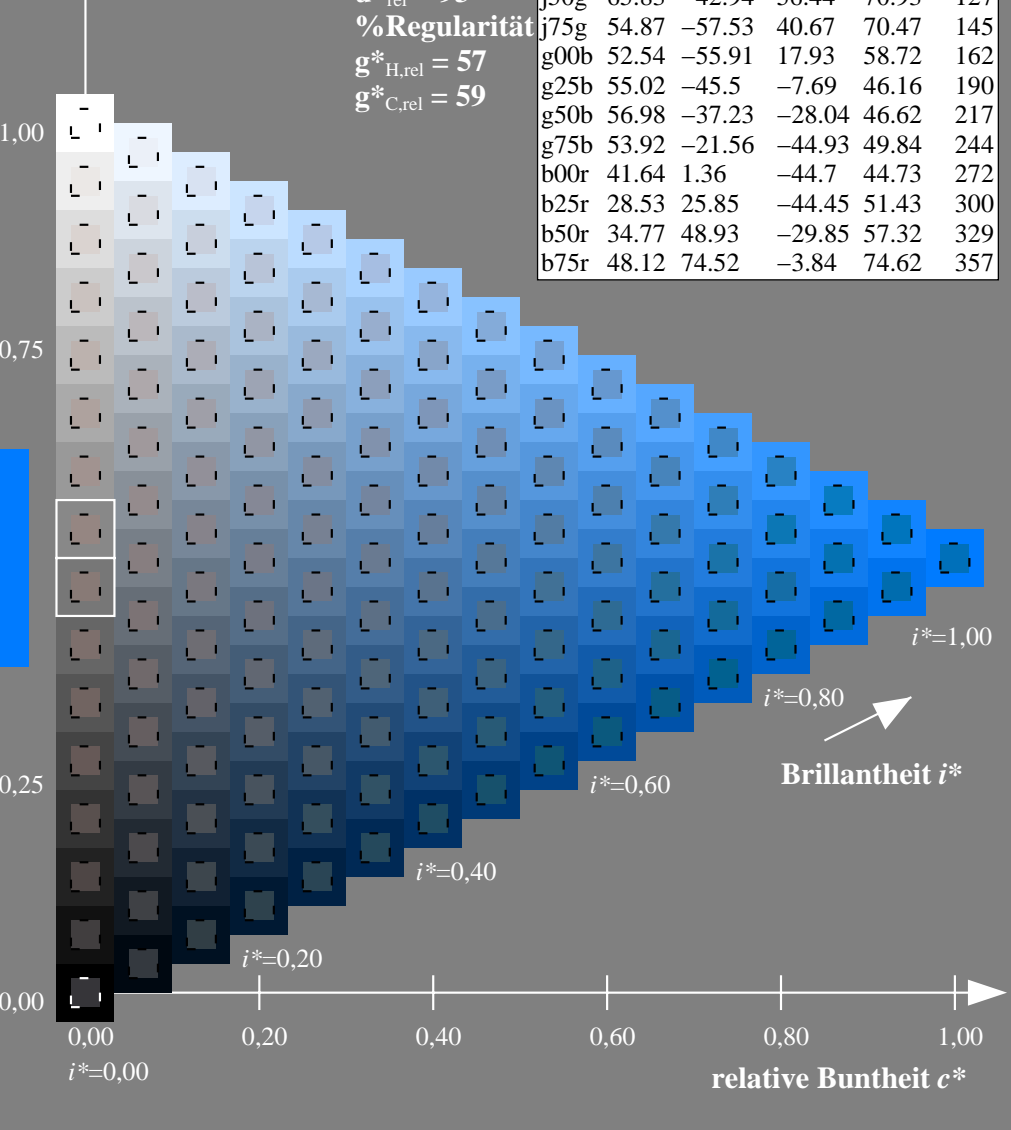
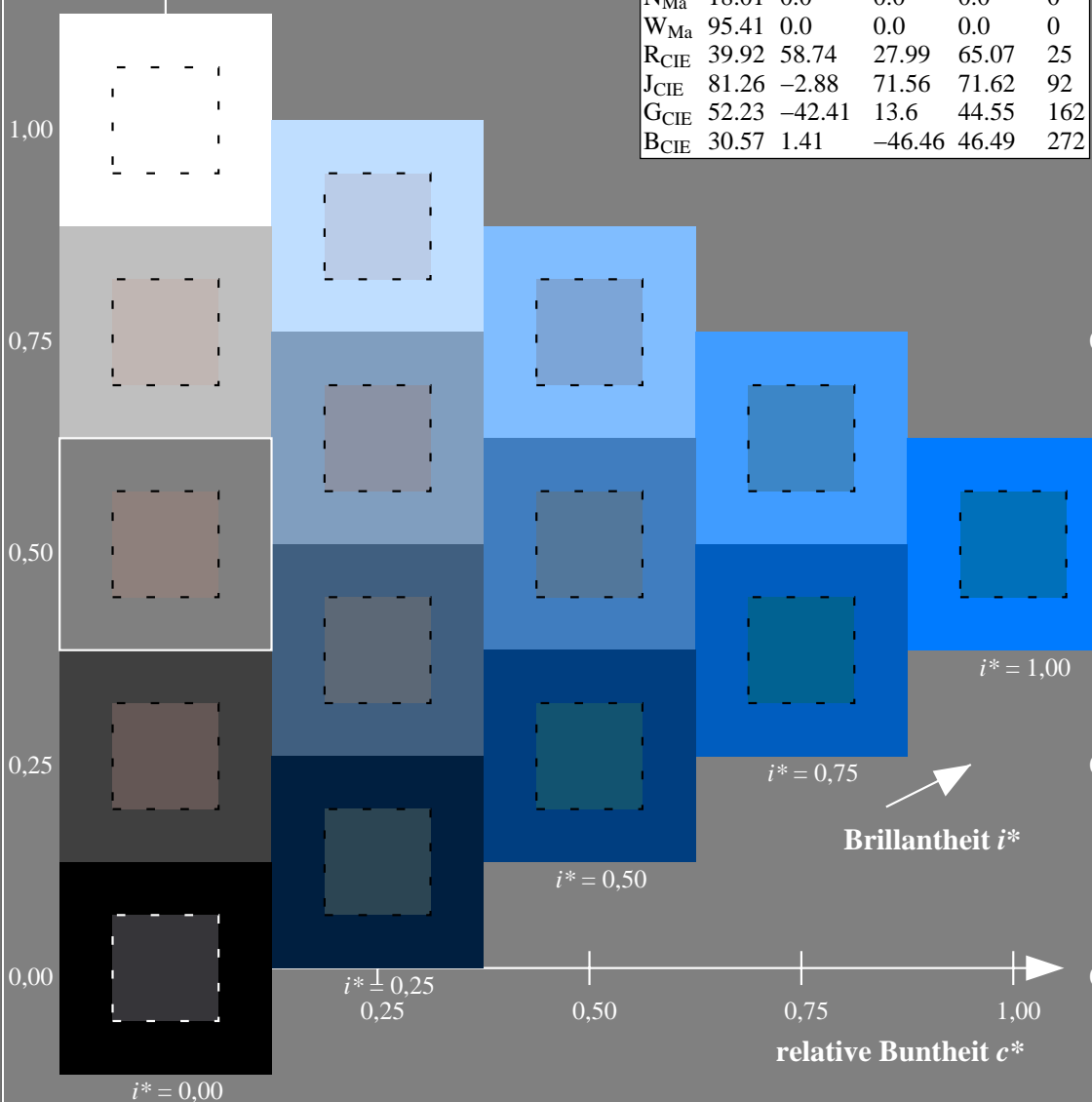
%Umfang

$u^*_{rel} = 93$

%Regularität

$g^*_{H,rel} = 57$

$g^*_{C,rel} = 59$



Daten für jede Farbe:

lab^*ich^* und lab^*icu^*

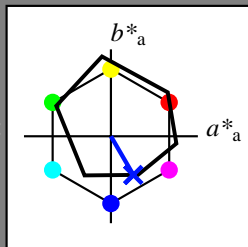
Elementar-Buntontext:

$u^* = b25r$

Kontrastreduzierungsfaktor:

$c_R = 1.0$

Dreiecks-Helligkeit t^*



ORS18_95aM; adaptierte CIELAB-Daten

	$L^*=L^*_a$	a^*_a	b^*_a	$C^*_{ab,a}$	$h^*_{ab,a}$
O _{Ma}	47.94	65.39	50.52	82.63	38
Y _{Ma}	90.37	-10.26	91.75	92.32	96
L _{Ma}	50.9	-62.83	34.96	71.91	151
C _{Ma}	58.62	-30.34	-45.01	54.3	236
V _{Ma}	25.72	31.1	-44.4	54.22	305
M _{Ma}	48.13	75.28	-8.36	75.74	354
N _{Ma}	18.01	0.0	0.0	0.0	0
W _{Ma}	95.41	0.0	0.0	0.0	0
R _{CIE}	39.92	58.74	27.99	65.07	25
J _{CIE}	81.26	-2.88	71.56	71.62	92
G _{CIE}	52.23	-42.41	13.6	44.55	162
B _{CIE}	30.57	1.41	-46.46	46.49	272

Daten für Maximalfarbe (Ma):

$LAB^*LAB^*_{Ma}$: 29 26 -43

$LAB^*LCH^*_{Ma}$: 29 51 300

$lab^*rgb^*_{Ma}$: 0.5 0.0 1.0

$lab^*olv^*_{Ma}$: 0.0 0.09 1.0

ORS18_95aM; adaptierte CIELAB-Daten

	$L^*=L^*_a$	a^*_a	b^*_a	$C^*_{ab,a}$	$h^*_{ab,a}$
r00j	48.0	68.4	32.59	75.77	25
r25j	51.32	59.36	53.8	80.11	42
r50j	62.67	39.12	64.83	75.72	59
r75j	73.73	19.4	75.58	78.03	76
j00g	86.61	-3.55	88.09	88.17	92
j25g	78.07	-26.64	74.05	78.7	110
j50g	65.83	-42.94	56.44	70.93	127
j75g	54.87	-57.53	40.67	70.47	145
g00b	52.54	-55.91	17.93	58.72	162
g25b	55.02	-45.5	-7.69	46.16	190
g50b	56.98	-37.23	-28.04	46.62	217
g75b	53.92	-21.56	-44.93	49.84	244
b00r	41.64	1.36	-44.7	44.73	272
b25r	28.53	25.85	-44.45	51.43	300
b50r	34.77	48.93	-29.85	57.32	329
b75r	48.12	74.52	-3.84	74.62	357

Dreiecks-Helligkeit t^*

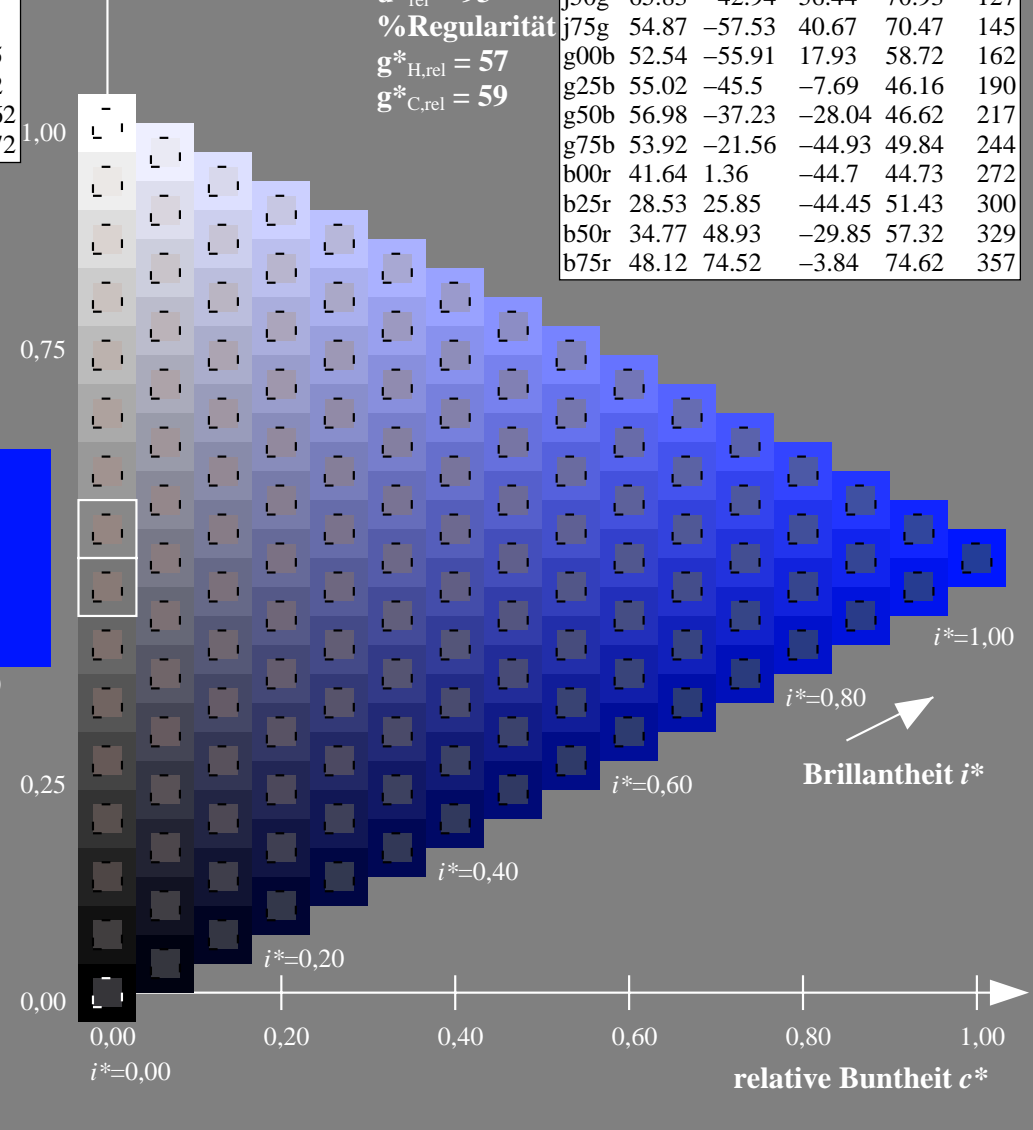
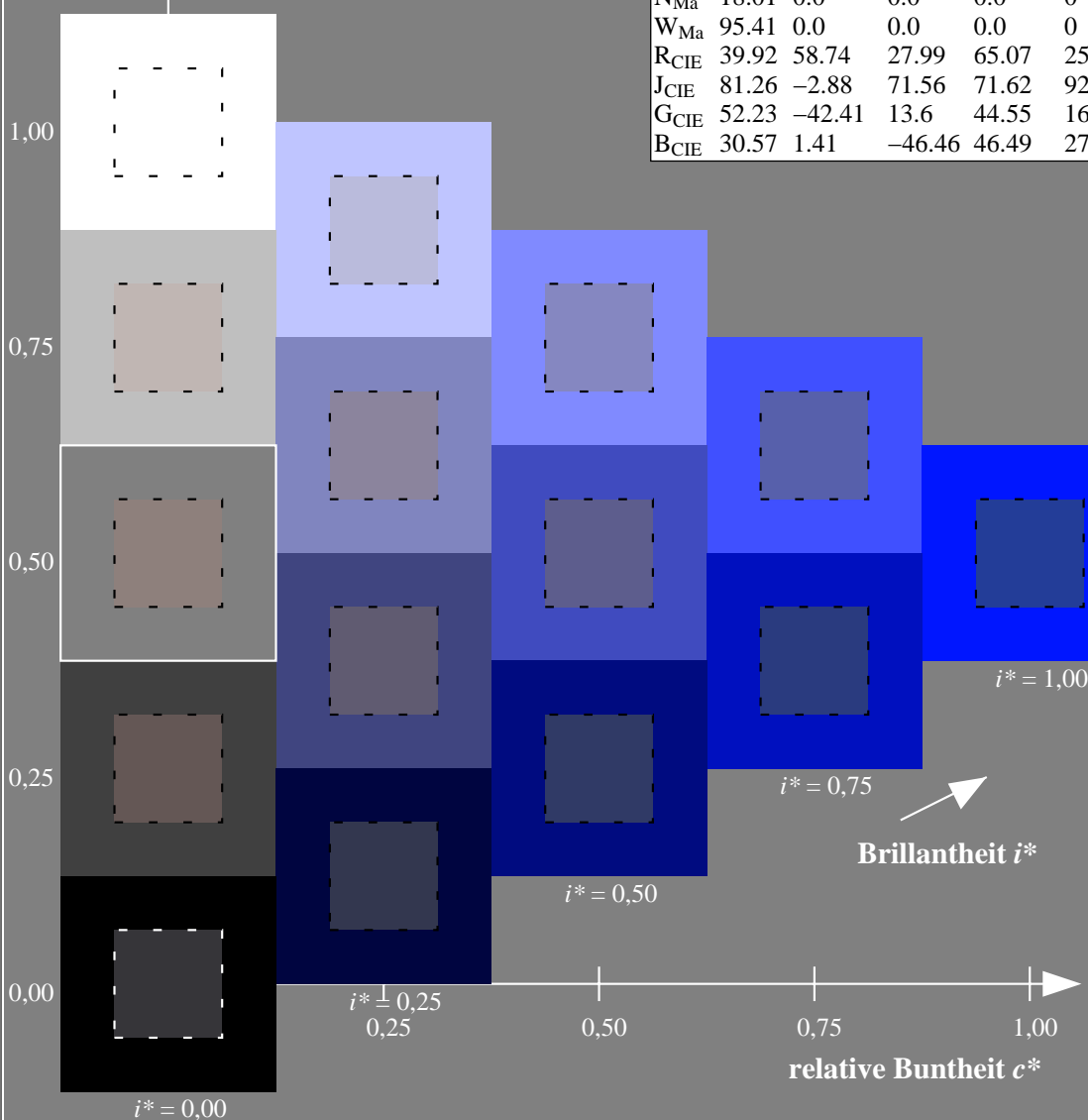
%Umfang

$u^*_{rel} = 93$

%Regularität

$g^*_{H,rel} = 57$

$g^*_{C,rel} = 59$



Daten für jede Farbe:

lab^*ich^* und lab^*icu^*

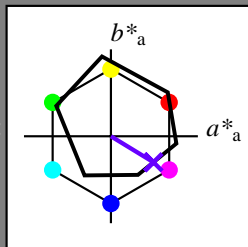
Elementar-Buntontext:

$u^* = b50r$

Kontrastreduzierungsfaktor:

$c_R = 1.0$

Dreiecks-Helligkeit t^*



ORS18_95aM; adaptierte CIELAB-Daten

	$L^*=L^*_a$	a^*_a	b^*_a	$C^*_{ab,a}$	$h^*_{ab,a}$
O _{Ma}	47.94	65.39	50.52	82.63	38
Y _{Ma}	90.37	-10.26	91.75	92.32	96
L _{Ma}	50.9	-62.83	34.96	71.91	151
C _{Ma}	58.62	-30.34	-45.01	54.3	236
V _{Ma}	25.72	31.1	-44.4	54.22	305
M _{Ma}	48.13	75.28	-8.36	75.74	354
N _{Ma}	18.01	0.0	0.0	0.0	0
W _{Ma}	95.41	0.0	0.0	0.0	0
R _{CIE}	39.92	58.74	27.99	65.07	25
J _{CIE}	81.26	-2.88	71.56	71.62	92
G _{CIE}	52.23	-42.41	13.6	44.55	162
B _{CIE}	30.57	1.41	-46.46	46.49	272

Daten für Maximalfarbe (Ma):

$LAB^*LAB^*_{Ma}$: 35 49 -29

$LAB^*LCH^*_{Ma}$: 35 57 329

$lab^*rgb^*_{Ma}$: 1.0 0.0 1.0

$lab^*olv^*_{Ma}$: 0.4 0.0 1.0

ORS18_95aM; adaptierte CIELAB-Daten

	$L^*=L^*_a$	a^*_a	b^*_a	$C^*_{ab,a}$	$h^*_{ab,a}$
r00j	48.0	68.4	32.59	75.77	25
r25j	51.32	59.36	53.8	80.11	42
r50j	62.67	39.12	64.83	75.72	59
r75j	73.73	19.4	75.58	78.03	76
j00g	86.61	-3.55	88.09	88.17	92
j25g	78.07	-26.64	74.05	78.7	110
j50g	65.83	-42.94	56.44	70.93	127
j75g	54.87	-57.53	40.67	70.47	145
g00b	52.54	-55.91	17.93	58.72	162
g25b	55.02	-45.5	-7.69	46.16	190
g50b	56.98	-37.23	-28.04	46.62	217
g75b	53.92	-21.56	-44.93	49.84	244
b00r	41.64	1.36	-44.7	44.73	272
b25r	28.53	25.85	-44.45	51.43	300
b50r	34.77	48.93	-29.85	57.32	329
b75r	48.12	74.52	-3.84	74.62	357

Dreiecks-Helligkeit t^*

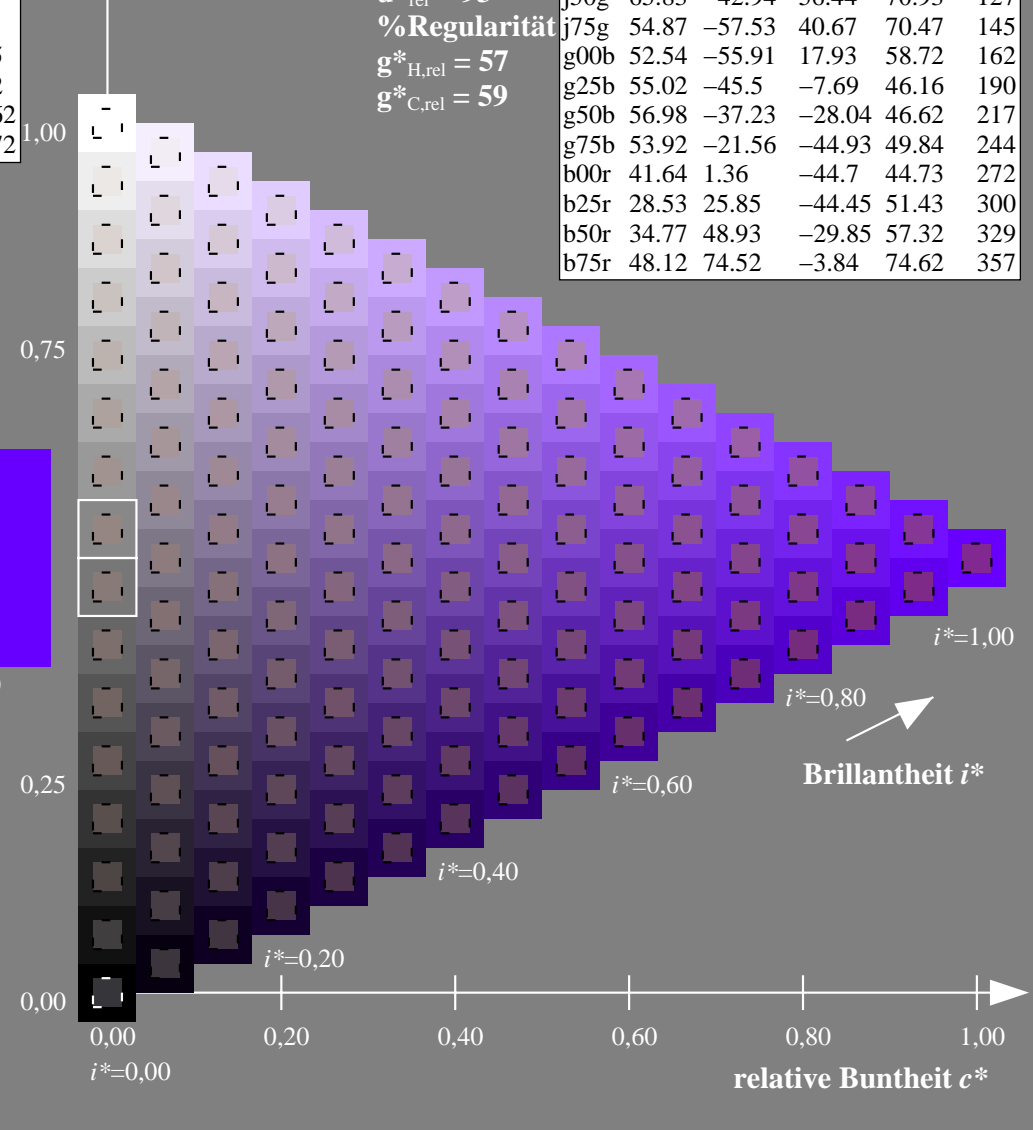
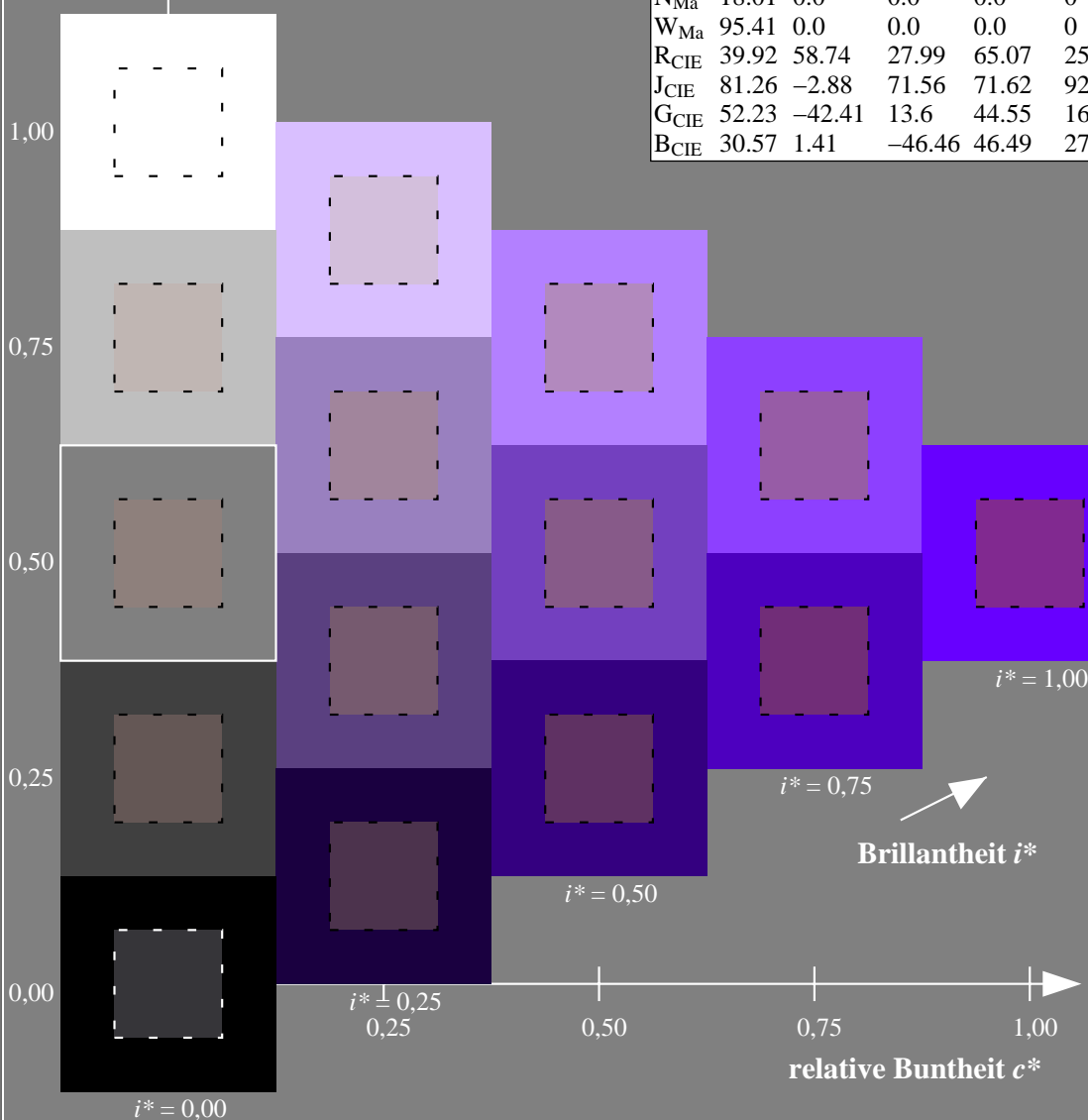
%Umfang

$u^*_{rel} = 93$

%Regularität

$g^*_{H,rel} = 57$

$g^*_{C,rel} = 59$



Daten für jede Farbe:

lab^*ich^* und lab^*icu^*

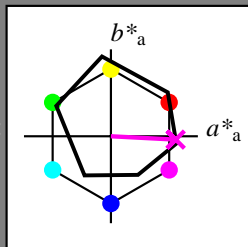
Elementar-Buntontext:

$u^* = b75r$

Kontrastreduzierungsfaktor:

$c_R = 1.0$

Dreiecks-Helligkeit t^*



ORS18_95aM; adaptierte CIELAB-Daten

	$L^*=L^*_a$	a^*_a	b^*_a	$C^*_{ab,a}$	$h^*_{ab,a}$
O _{Ma}	47.94	65.39	50.52	82.63	38
Y _{Ma}	90.37	-10.26	91.75	92.32	96
L _{Ma}	50.9	-62.83	34.96	71.91	151
C _{Ma}	58.62	-30.34	-45.01	54.3	236
V _{Ma}	25.72	31.1	-44.4	54.22	305
M _{Ma}	48.13	75.28	-8.36	75.74	354
N _{Ma}	18.01	0.0	0.0	0.0	0
W _{Ma}	95.41	0.0	0.0	0.0	0
R _{CIE}	39.92	58.74	27.99	65.07	25
J _{CIE}	81.26	-2.88	71.56	71.62	92
G _{CIE}	52.23	-42.41	13.6	44.55	162
B _{CIE}	30.57	1.41	-46.46	46.49	272

Daten für Maximalfarbe (Ma):

$LAB^*LAB^*_{Ma}$: 48 75 -3

$LAB^*LCH^*_{Ma}$: 48 75 357

$lab^*rgb^*_{Ma}$: 1.0 0.0 0.5

$lab^*olv^*_{Ma}$: 1.0 0.0 0.92

ORS18_95aM; adaptierte CIELAB-Daten

	$L^*=L^*_a$	a^*_a	b^*_a	$C^*_{ab,a}$	$h^*_{ab,a}$
r00j	48.0	68.4	32.59	75.77	25
r25j	51.32	59.36	53.8	80.11	42
r50j	62.67	39.12	64.83	75.72	59
r75j	73.73	19.4	75.58	78.03	76
j00g	86.61	-3.55	88.09	88.17	92
j25g	78.07	-26.64	74.05	78.7	110
j50g	65.83	-42.94	56.44	70.93	127
j75g	54.87	-57.53	40.67	70.47	145
g00b	52.54	-55.91	17.93	58.72	162
g25b	55.02	-45.5	-7.69	46.16	190
g50b	56.98	-37.23	-28.04	46.62	217
g75b	53.92	-21.56	-44.93	49.84	244
b00r	41.64	1.36	-44.7	44.73	272
b25r	28.53	25.85	-44.45	51.43	300
b50r	34.77	48.93	-29.85	57.32	329
b75r	48.12	74.52	-3.84	74.62	357

Dreiecks-Helligkeit t^*

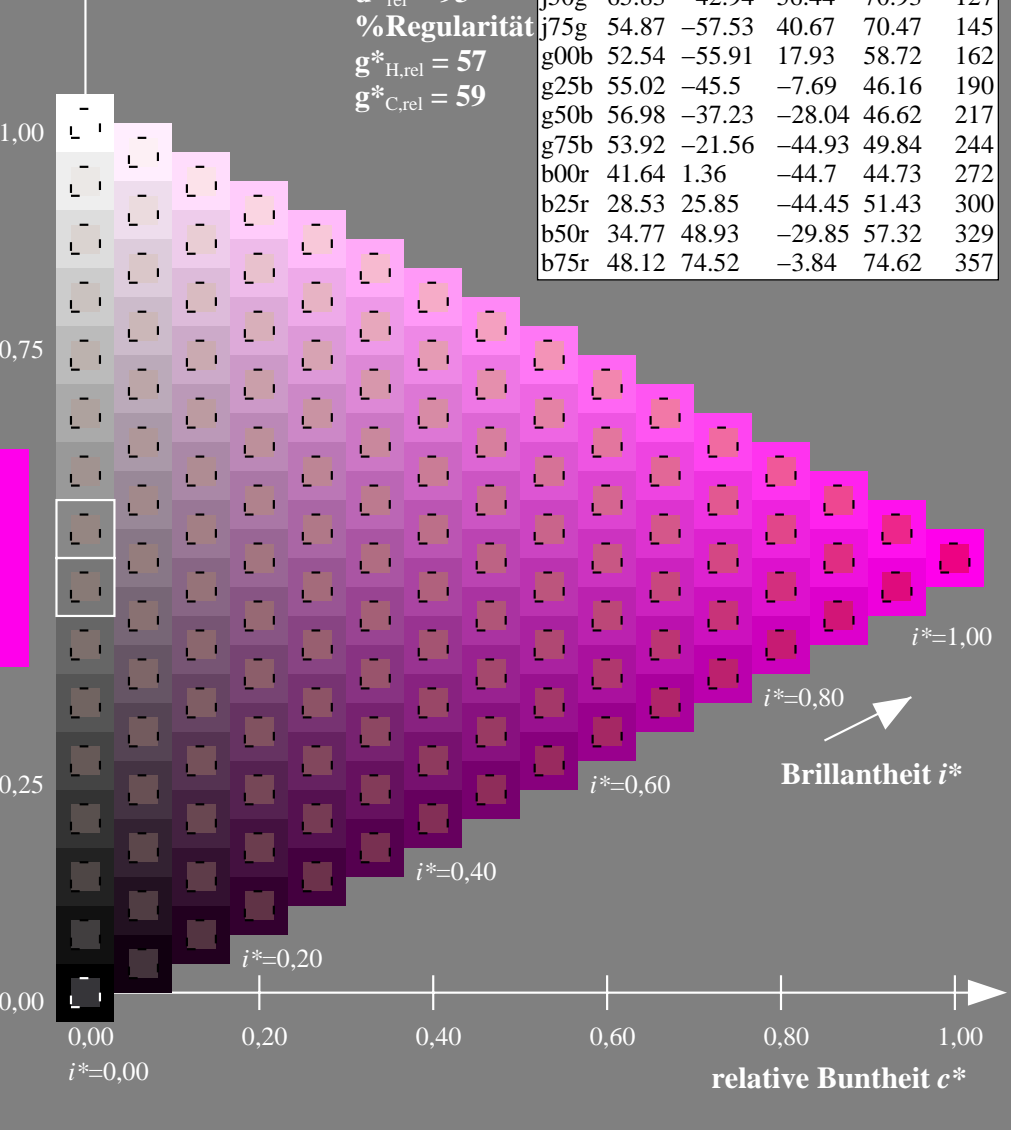
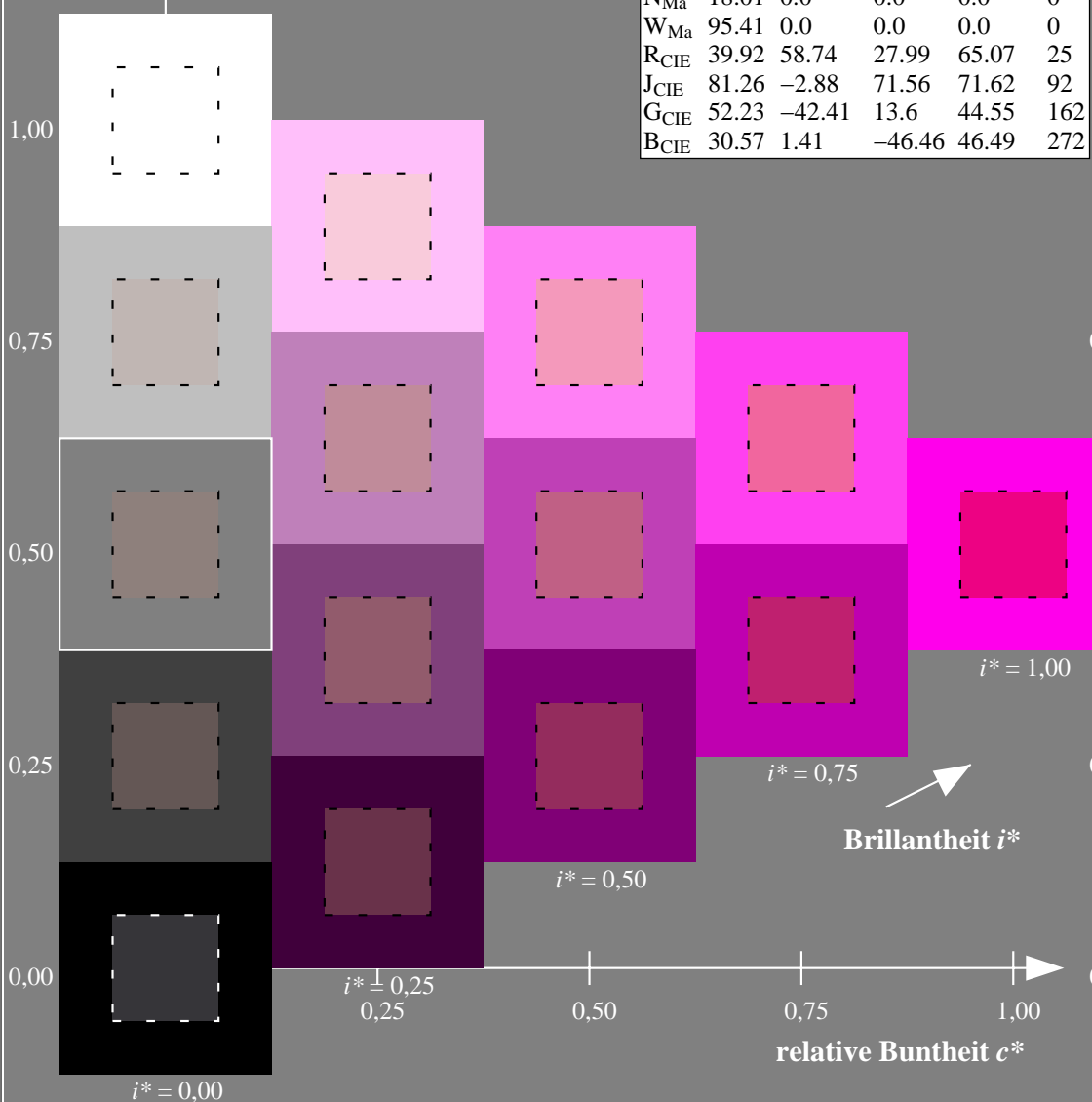
%Umfang

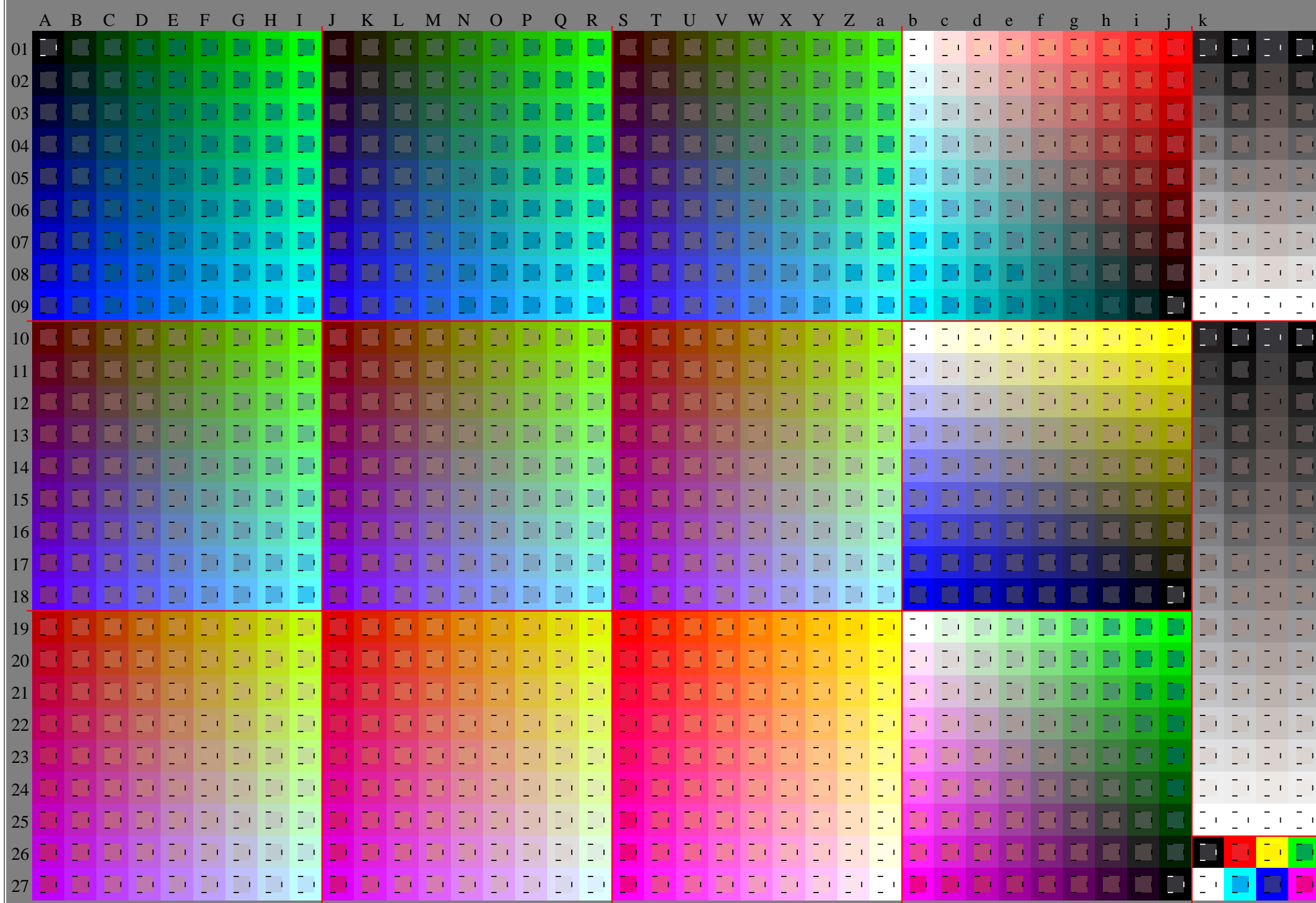
$u^*_{rel} = 93$

%Regularität

$g^*_{H,rel} = 57$

$g^*_{C,rel} = 59$





Ein und Ausgabe:
 Farbmatisches Drucker-Reflektiv-System ORS18_95aM

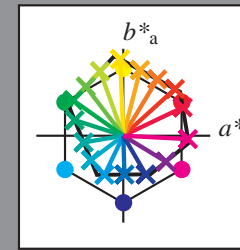
Daten für jede Farbe:
 $lab^{*}ch^{*}$ und $lab^{*}icu^{*}$

Elementar-Bunttontext:
 $u^{*} = 16$ Bunttöne $r00j, r25j, \dots, b75r$

Kontrastreduzierungsfaktor:
 $c_R = 1.0$

ORS18_95aM; adaptierte CIELAB-Daten

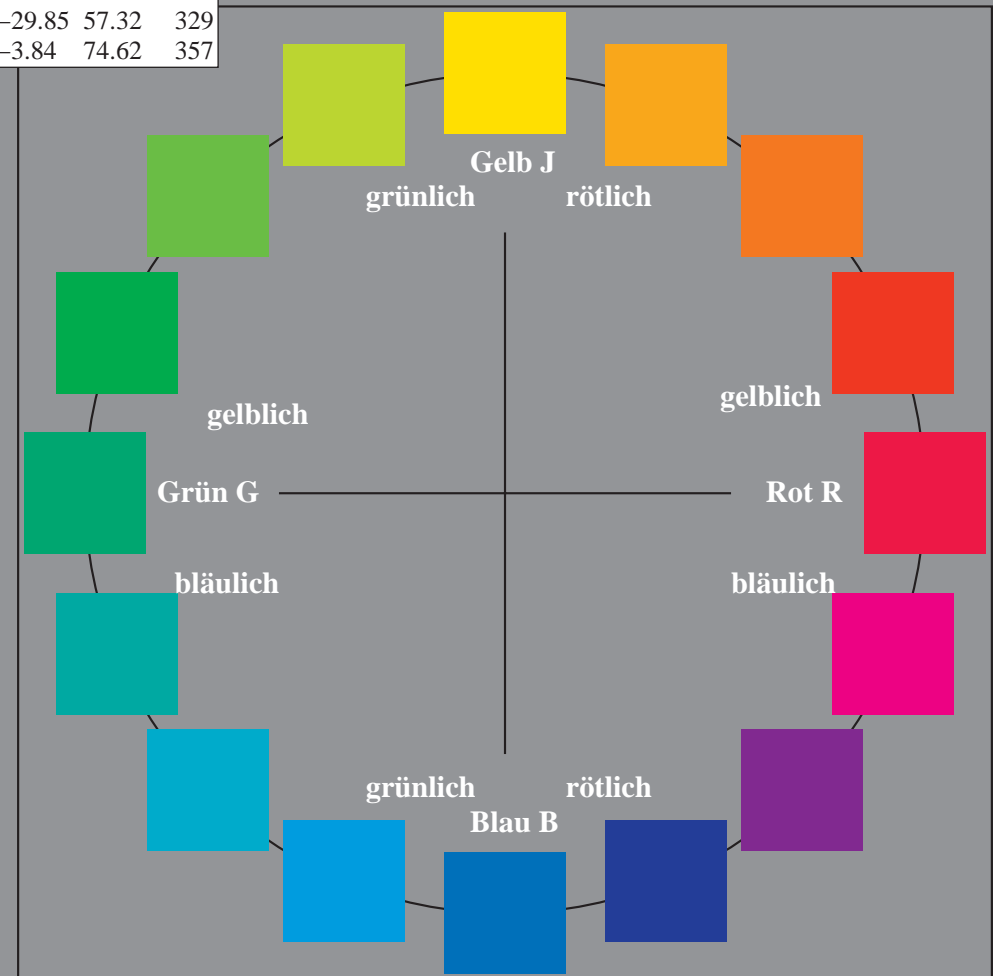
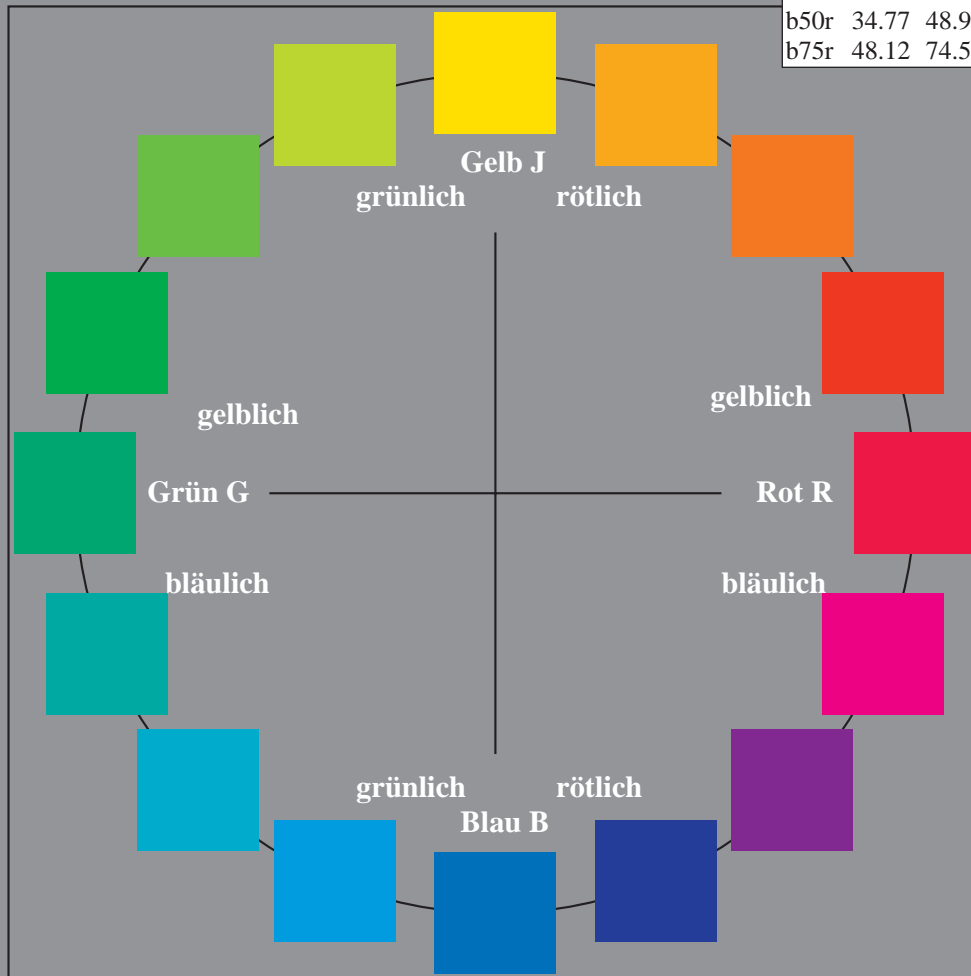
	$L^{*}=L^{*}_a$	a^{*}_a	b^{*}_a	$C^{*}_{ab,a}$	$h^{*}_{ab,a}$
r00j	48.0	68.4	32.59	75.77	25
r25j	51.32	59.36	53.8	80.11	42
r50j	62.67	39.12	64.83	75.72	59
r75j	73.73	19.4	75.58	78.03	76
j00g	86.61	-3.55	88.09	88.17	92
j25g	78.07	-26.64	74.05	78.7	110
j50g	65.83	-42.94	56.44	70.93	127
j75g	54.87	-57.53	40.67	70.47	145
g00b	52.54	-55.91	17.93	58.72	162
g25b	55.02	-45.5	-7.69	46.16	190
g50b	56.98	-37.23	-28.04	46.62	217
g75b	53.92	-21.56	-44.93	49.84	244
b00r	41.64	1.36	-44.7	44.73	272
b25r	28.53	25.85	-44.45	51.43	300
b50r	34.77	48.93	-29.85	57.32	329
b75r	48.12	74.52	-3.84	74.62	357



%Umfang
 $u^{*}_{rel} = 93$
 %Regularität
 $g^{*}_{H,rel} = 57$
 $g^{*}_{C,rel} = 59$

ORS18_95aM; adaptierte CIELAB-Daten

	$L^{*}=L^{*}_a$	a^{*}_a	b^{*}_a	$C^{*}_{ab,a}$	$h^{*}_{ab,a}$
O _{Ma}	47.94	65.39	50.52	82.63	38
Y _{Ma}	90.37	-10.26	91.75	92.32	96
L _{Ma}	50.9	-62.83	34.96	71.91	151
C _{Ma}	58.62	-30.34	-45.01	54.3	236
V _{Ma}	25.72	31.1	-44.4	54.22	305
M _{Ma}	48.13	75.28	-8.36	75.74	354
N _{Ma}	18.01	0.0	0.0	0.0	0
W _{Ma}	95.41	0.0	0.0	0.0	0
R _{CIE}	39.92	58.74	27.99	65.07	25
J _{CIE}	81.26	-2.88	71.56	71.62	92
G _{CIE}	52.23	-42.41	13.6	44.55	162
B _{CIE}	30.57	1.41	-46.46	46.49	272



Daten für jede Farbe:

lab^*ch^* und lab^*icu^*

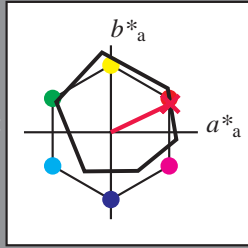
Elementar-Buntontext:

$u^* = r00j$

Kontrastreduzierungsfaktor:

$c_R = 1.0$

Dreiecks-Helligkeit t^*



ORS18_95aM; adaptierte CIELAB-Daten

	$L^*=L^*_a$	a^*_a	b^*_a	$C^*_{ab,a}$	$h^*_{ab,a}$
O _{Ma}	47.94	65.39	50.52	82.63	38
Y _{Ma}	90.37	-10.26	91.75	92.32	96
L _{Ma}	50.9	-62.83	34.96	71.91	151
C _{Ma}	58.62	-30.34	-45.01	54.3	236
V _{Ma}	25.72	31.1	-44.4	54.22	305
M _{Ma}	48.13	75.28	-8.36	75.74	354
N _{Ma}	18.01	0.0	0.0	0.0	0
W _{Ma}	95.41	0.0	0.0	0.0	0
R _{CIE}	39.92	58.74	27.99	65.07	25
J _{CIE}	81.26	-2.88	71.56	71.62	92
G _{CIE}	52.23	-42.41	13.6	44.55	162
B _{CIE}	30.57	1.41	-46.46	46.49	272

Daten für Maximalfarbe (Ma):

LAB^*LAB^*Ma : 48 68 33

LAB^*LCH^*Ma : 48 76 25

lab^*rgb^*Ma : 1.0 0.0 0.0

lab^*olv^*Ma : 1.0 0.0 0.3

ORS18_95aM; adaptierte CIELAB-Daten

	$L^*=L^*_a$	a^*_a	b^*_a	$C^*_{ab,a}$	$h^*_{ab,a}$
r00j	48.0	68.4	32.59	75.77	25
r25j	51.32	59.36	53.8	80.11	42
r50j	62.67	39.12	64.83	75.72	59
r75j	73.73	19.4	75.58	78.03	76
j00g	86.61	-3.55	88.09	88.17	92
j25g	78.07	-26.64	74.05	78.7	110
j50g	65.83	-42.94	56.44	70.93	127
j75g	54.87	-57.53	40.67	70.47	145
g00b	52.54	-55.91	17.93	58.72	162
g25b	55.02	-45.5	-7.69	46.16	190
g50b	56.98	-37.23	-28.04	46.62	217
g75b	53.92	-21.56	-44.93	49.84	244
b00r	41.64	1.36	-44.7	44.73	272
b25r	28.53	25.85	-44.45	51.43	300
b50r	34.77	48.93	-29.85	57.32	329
b75r	48.12	74.52	-3.84	74.62	357

Dreiecks-Helligkeit t^*

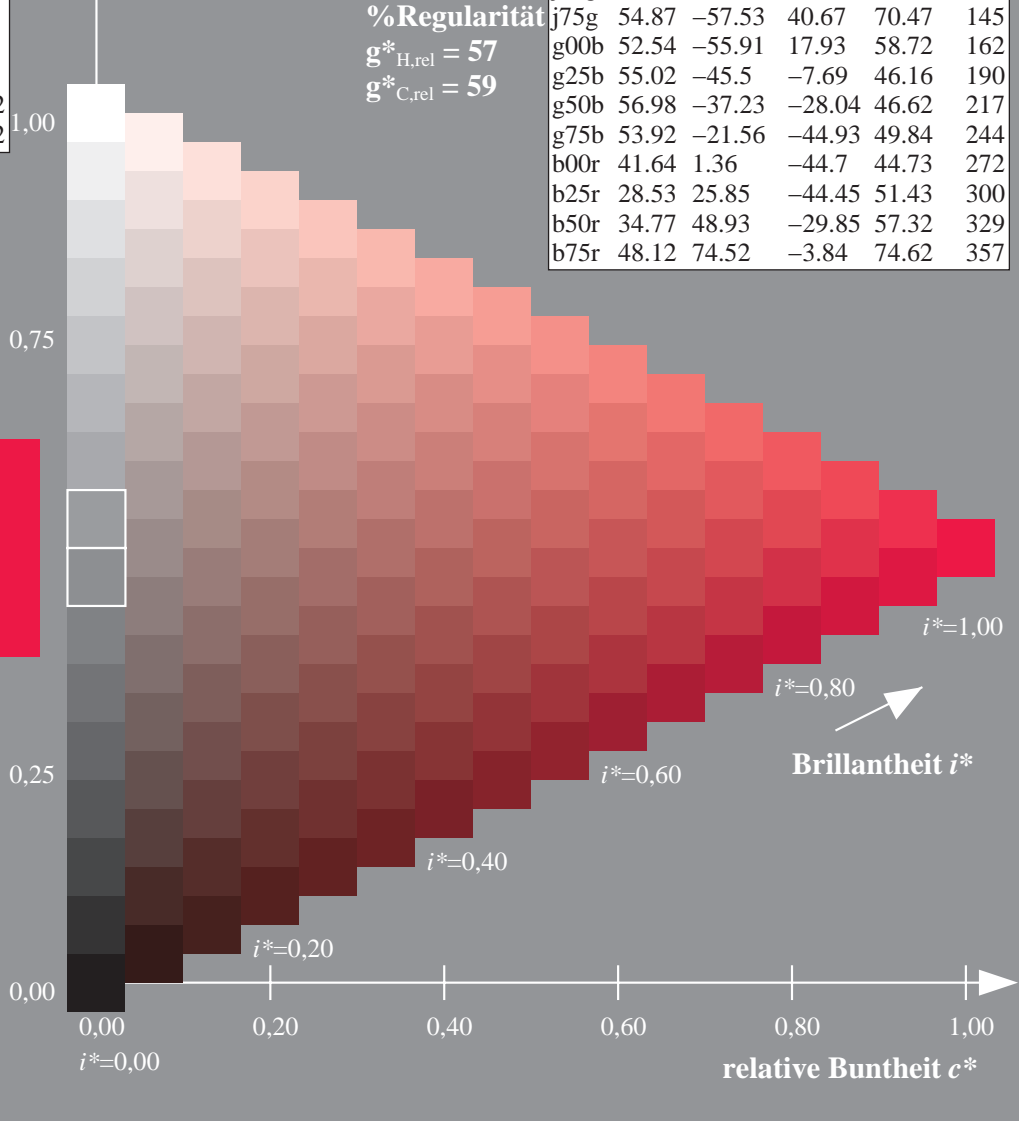
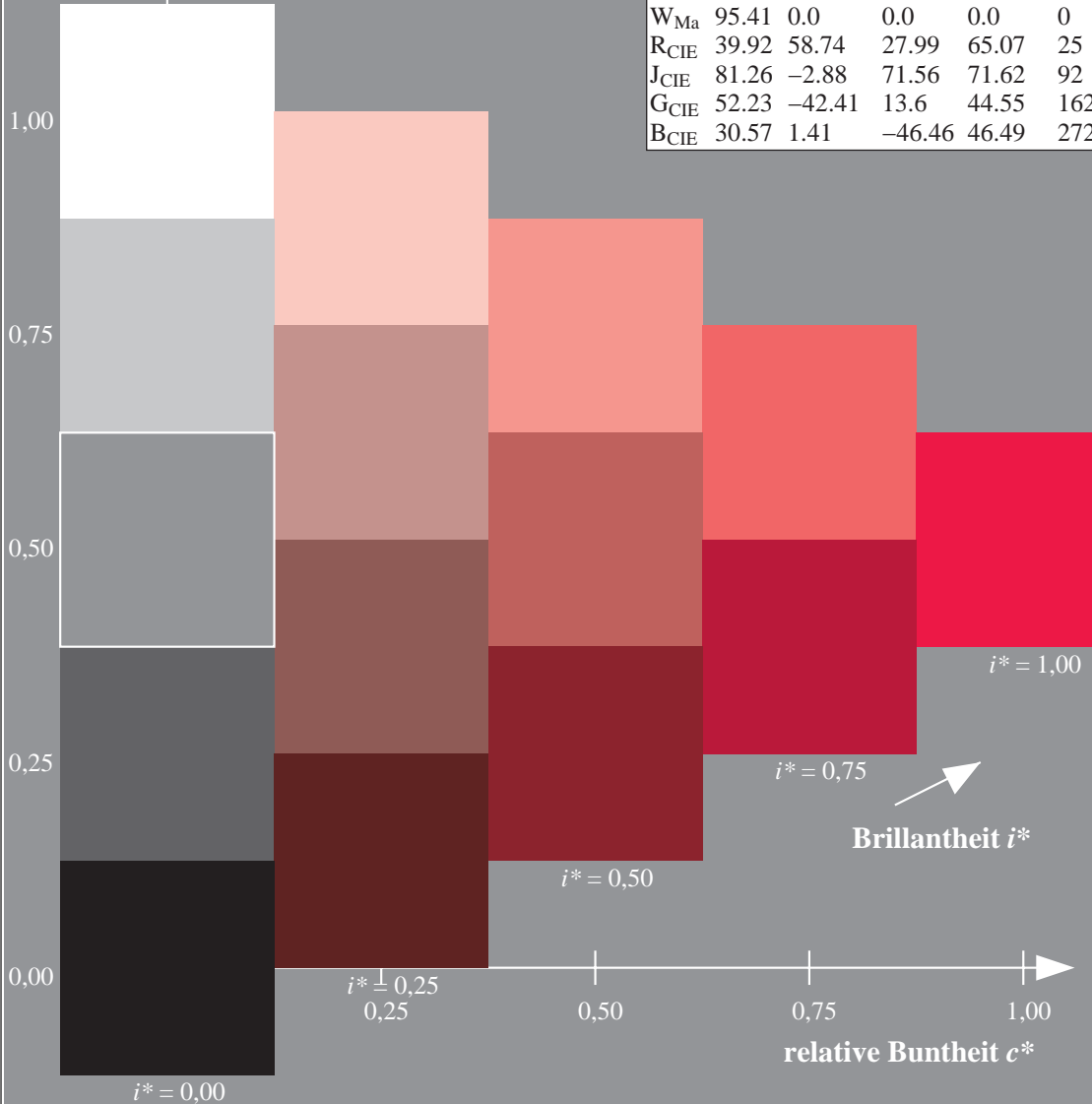
%Umfang

$u^*_{rel} = 93$

%Regularität

$g^*_{H,rel} = 57$

$g^*_{C,rel} = 59$



Daten für jede Farbe:

lab^*ch^* und lab^*icu^*

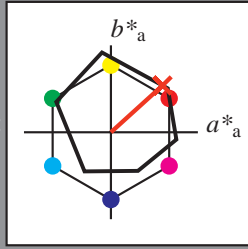
Elementar-Buntontext:

$u^* = r25j$

Kontrastreduzierungsfaktor:

$c_R = 1.0$

Dreiecks-Helligkeit t^*



ORS18_95aM; adaptierte CIELAB-Daten

	$L^*=L^*_a$	a^*_a	b^*_a	$C^*_{ab,a}$	$h^*_{ab,a}$
O _{Ma}	47.94	65.39	50.52	82.63	38
Y _{Ma}	90.37	-10.26	91.75	92.32	96
L _{Ma}	50.9	-62.83	34.96	71.91	151
C _{Ma}	58.62	-30.34	-45.01	54.3	236
V _{Ma}	25.72	31.1	-44.4	54.22	305
M _{Ma}	48.13	75.28	-8.36	75.74	354
N _{Ma}	18.01	0.0	0.0	0.0	0
W _{Ma}	95.41	0.0	0.0	0.0	0
R _{CIE}	39.92	58.74	27.99	65.07	25
J _{CIE}	81.26	-2.88	71.56	71.62	92
G _{CIE}	52.23	-42.41	13.6	44.55	162
B _{CIE}	30.57	1.41	-46.46	46.49	272

Daten für Maximalfarbe (Ma):

$LAB^*LAB^*_{Ma}$: 51 59 54

$LAB^*LCH^*_{Ma}$: 51 80 42

$lab^*rgb^*_{Ma}$: 1.0 0.25 0.0

$lab^*olv^*_{Ma}$: 1.0 0.08 0.0

ORS18_95aM; adaptierte CIELAB-Daten

	$L^*=L^*_a$	a^*_a	b^*_a	$C^*_{ab,a}$	$h^*_{ab,a}$
r00j	48.0	68.4	32.59	75.77	25
r25j	51.32	59.36	53.8	80.11	42
r50j	62.67	39.12	64.83	75.72	59
r75j	73.73	19.4	75.58	78.03	76
j00g	86.61	-3.55	88.09	88.17	92
j25g	78.07	-26.64	74.05	78.7	110
j50g	65.83	-42.94	56.44	70.93	127
j75g	54.87	-57.53	40.67	70.47	145
g00b	52.54	-55.91	17.93	58.72	162
g25b	55.02	-45.5	-7.69	46.16	190
g50b	56.98	-37.23	-28.04	46.62	217
g75b	53.92	-21.56	-44.93	49.84	244
b00r	41.64	1.36	-44.7	44.73	272
b25r	28.53	25.85	-44.45	51.43	300
b50r	34.77	48.93	-29.85	57.32	329
b75r	48.12	74.52	-3.84	74.62	357

Dreiecks-Helligkeit t^*

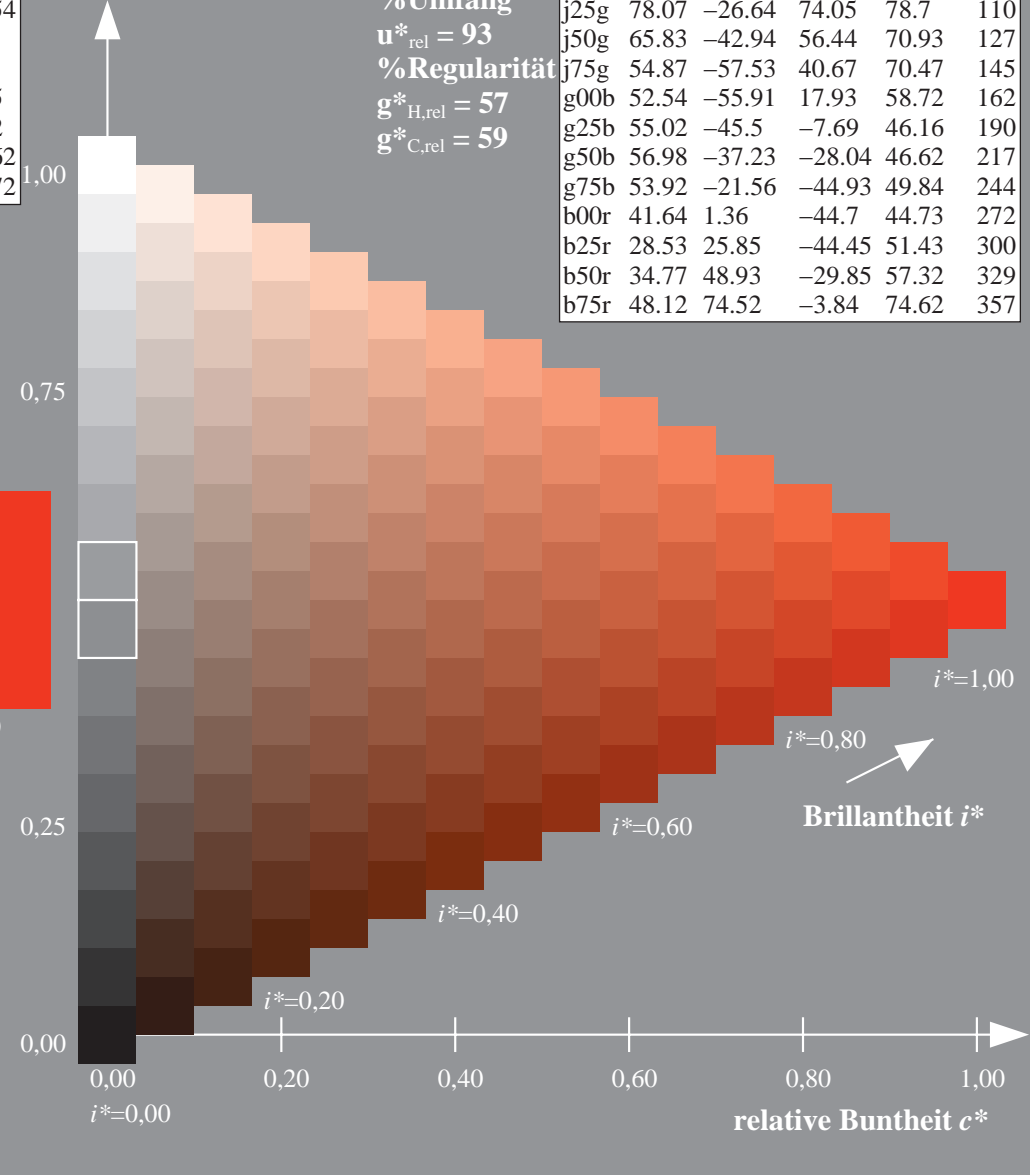
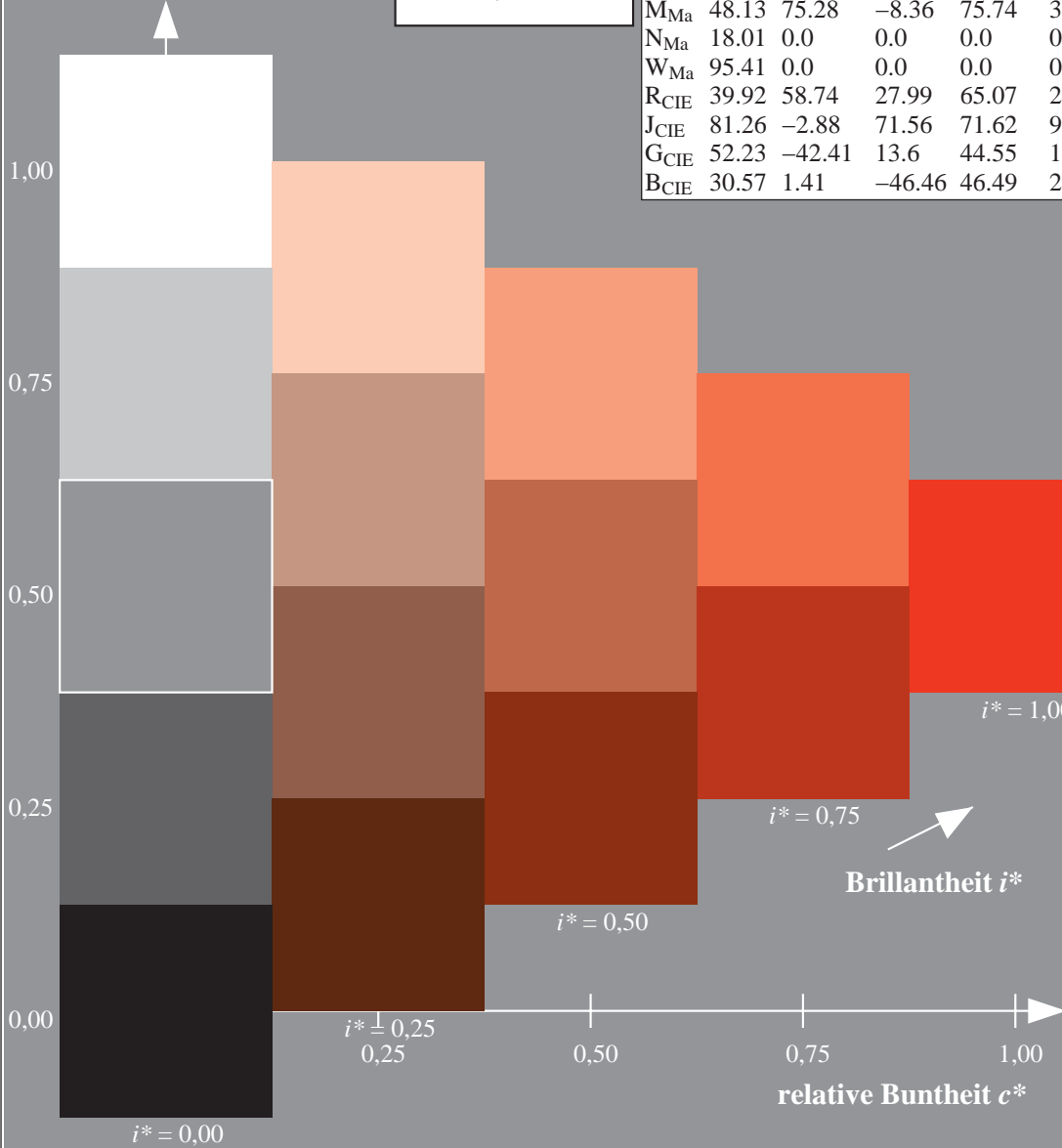
%Umfang

$u^*_{rel} = 93$

%Regularität

$g^*_{H,rel} = 57$

$g^*_{C,rel} = 59$



Daten für jede Farbe:

lab^*ch^* und lab^*icu^*

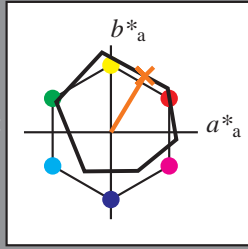
Elementar-Buntontext:

$u^* = r50j$

Kontrastreduzierungsfaktor:

$c_R = 1.0$

Dreiecks-Helligkeit t^*



ORS18_95aM; adaptierte CIELAB-Daten

	$L^*=L^*_a$	a^*_a	b^*_a	$C^*_{ab,a}$	$h^*_{ab,a}$
O _{Ma}	47.94	65.39	50.52	82.63	38
Y _{Ma}	90.37	-10.26	91.75	92.32	96
L _{Ma}	50.9	-62.83	34.96	71.91	151
C _{Ma}	58.62	-30.34	-45.01	54.3	236
V _{Ma}	25.72	31.1	-44.4	54.22	305
M _{Ma}	48.13	75.28	-8.36	75.74	354
N _{Ma}	18.01	0.0	0.0	0.0	0
W _{Ma}	95.41	0.0	0.0	0.0	0
R _{CIE}	39.92	58.74	27.99	65.07	25
J _{CIE}	81.26	-2.88	71.56	71.62	92
G _{CIE}	52.23	-42.41	13.6	44.55	162
B _{CIE}	30.57	1.41	-46.46	46.49	272

Daten für Maximalfarbe (Ma):

LAB^*LAB^*Ma : 63 39 65

LAB^*LCH^*Ma : 63 76 59

lab^*rgb^*Ma : 1.0 0.5 0.0

lab^*olv^*Ma : 1.0 0.35 0.0

ORS18_95aM; adaptierte CIELAB-Daten

	$L^*=L^*_a$	a^*_a	b^*_a	$C^*_{ab,a}$	$h^*_{ab,a}$
r00j	48.0	68.4	32.59	75.77	25
r25j	51.32	59.36	53.8	80.11	42
r50j	62.67	39.12	64.83	75.72	59
r75j	73.73	19.4	75.58	78.03	76
j00g	86.61	-3.55	88.09	88.17	92
j25g	78.07	-26.64	74.05	78.7	110
j50g	65.83	-42.94	56.44	70.93	127
j75g	54.87	-57.53	40.67	70.47	145
g00b	52.54	-55.91	17.93	58.72	162
g25b	55.02	-45.5	-7.69	46.16	190
g50b	56.98	-37.23	-28.04	46.62	217
g75b	53.92	-21.56	-44.93	49.84	244
b00r	41.64	1.36	-44.7	44.73	272
b25r	28.53	25.85	-44.45	51.43	300
b50r	34.77	48.93	-29.85	57.32	329
b75r	48.12	74.52	-3.84	74.62	357

Dreiecks-Helligkeit t^*

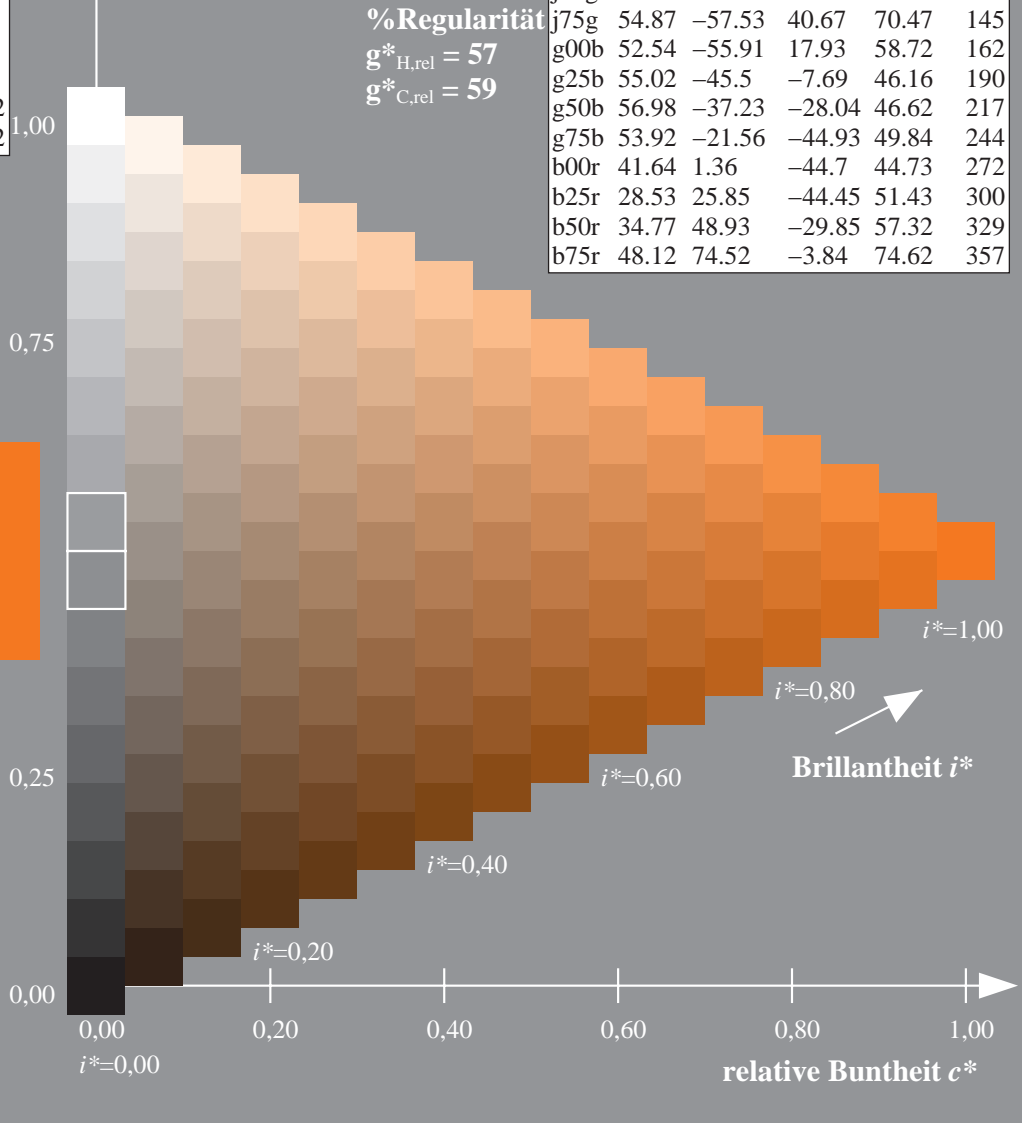
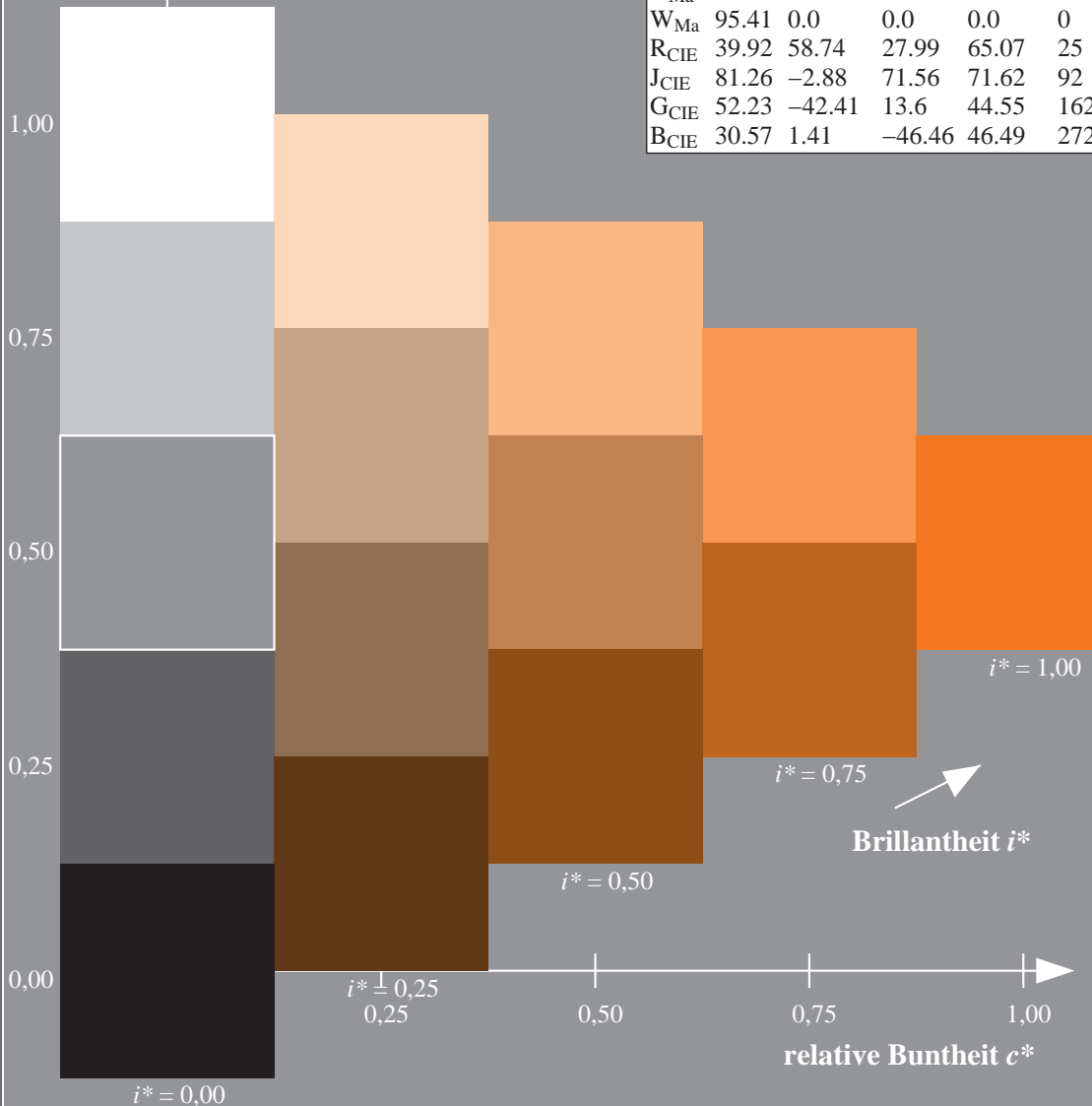
%Umfang

$u^*_{rel} = 93$

%Regularität

$g^*_{H,rel} = 57$

$g^*_{C,rel} = 59$



Daten für jede Farbe:

lab^*ch^* und lab^*icu^*

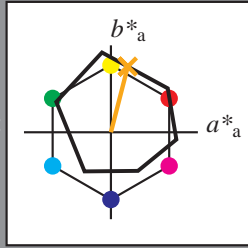
Elementar-Buntontext:

$u^* = r75j$

Kontrastreduzierungsfaktor:

$c_R = 1.0$

Dreiecks-Helligkeit t^*



ORS18_95aM; adaptierte CIELAB-Daten

	$L^*=L^*_a$	a^*_a	b^*_a	$C^*_{ab,a}$	$h^*_{ab,a}$
O _{Ma}	47.94	65.39	50.52	82.63	38
Y _{Ma}	90.37	-10.26	91.75	92.32	96
L _{Ma}	50.9	-62.83	34.96	71.91	151
C _{Ma}	58.62	-30.34	-45.01	54.3	236
V _{Ma}	25.72	31.1	-44.4	54.22	305
M _{Ma}	48.13	75.28	-8.36	75.74	354
N _{Ma}	18.01	0.0	0.0	0.0	0
W _{Ma}	95.41	0.0	0.0	0.0	0
R _{CIE}	39.92	58.74	27.99	65.07	25
J _{CIE}	81.26	-2.88	71.56	71.62	92
G _{CIE}	52.23	-42.41	13.6	44.55	162
B _{CIE}	30.57	1.41	-46.46	46.49	272

Daten für Maximalfarbe (Ma):

$LAB^*LAB^*Ma: 74\ 19\ 76$

$LAB^*LCH^*Ma: 74\ 78\ 76$

$lab^*rgb^*Ma: 1.0\ 0.75\ 0.0$

$lab^*olv^*Ma: 1.0\ 0.61\ 0.0$

ORS18_95aM; adaptierte CIELAB-Daten

	$L^*=L^*_a$	a^*_a	b^*_a	$C^*_{ab,a}$	$h^*_{ab,a}$
r00j	48.0	68.4	32.59	75.77	25
r25j	51.32	59.36	53.8	80.11	42
r50j	62.67	39.12	64.83	75.72	59
r75j	73.73	19.4	75.58	78.03	76
j00g	86.61	-3.55	88.09	88.17	92
j25g	78.07	-26.64	74.05	78.7	110
j50g	65.83	-42.94	56.44	70.93	127
j75g	54.87	-57.53	40.67	70.47	145
g00b	52.54	-55.91	17.93	58.72	162
g25b	55.02	-45.5	-7.69	46.16	190
g50b	56.98	-37.23	-28.04	46.62	217
g75b	53.92	-21.56	-44.93	49.84	244
b00r	41.64	1.36	-44.7	44.73	272
b25r	28.53	25.85	-44.45	51.43	300
b50r	34.77	48.93	-29.85	57.32	329
b75r	48.12	74.52	-3.84	74.62	357

Dreiecks-Helligkeit t^*

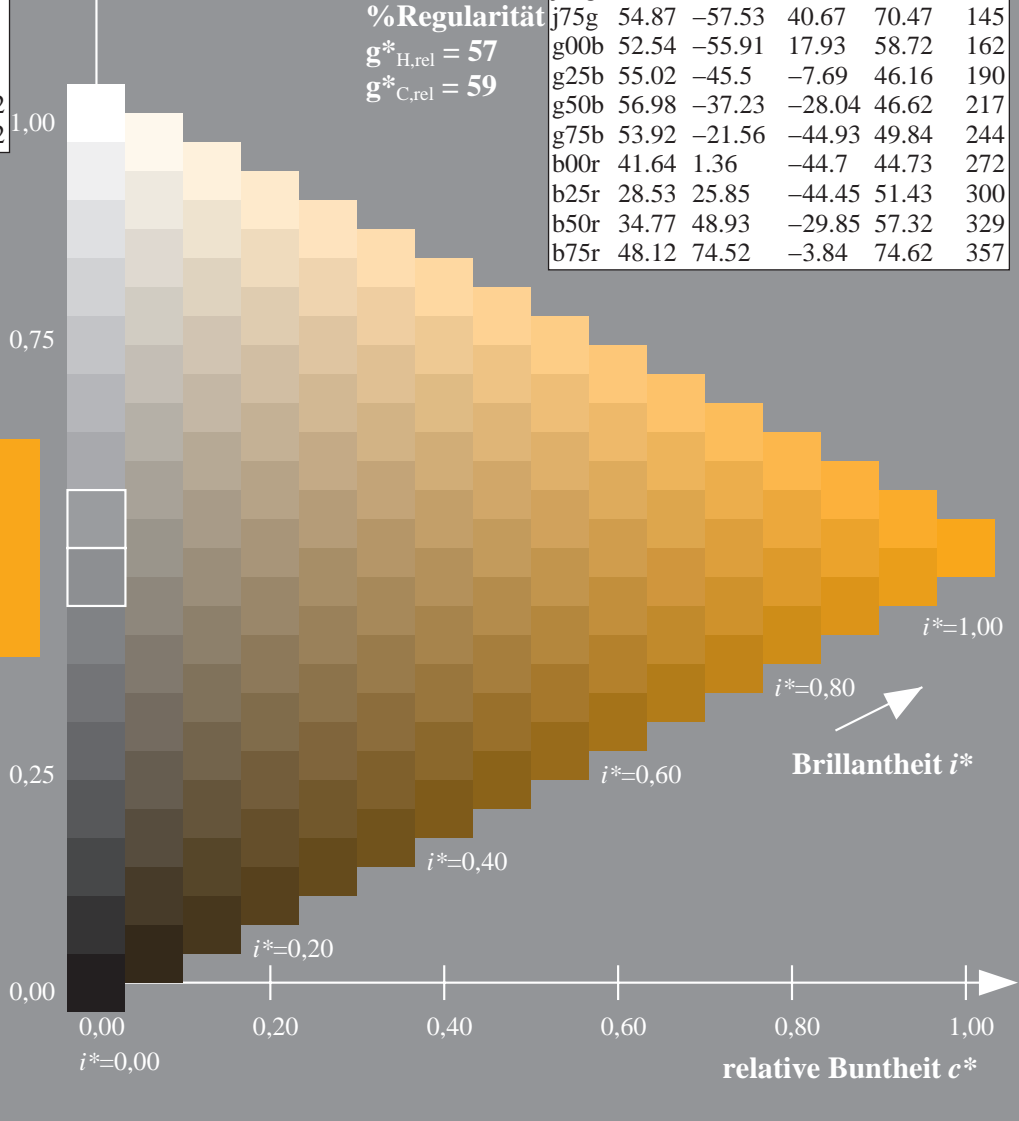
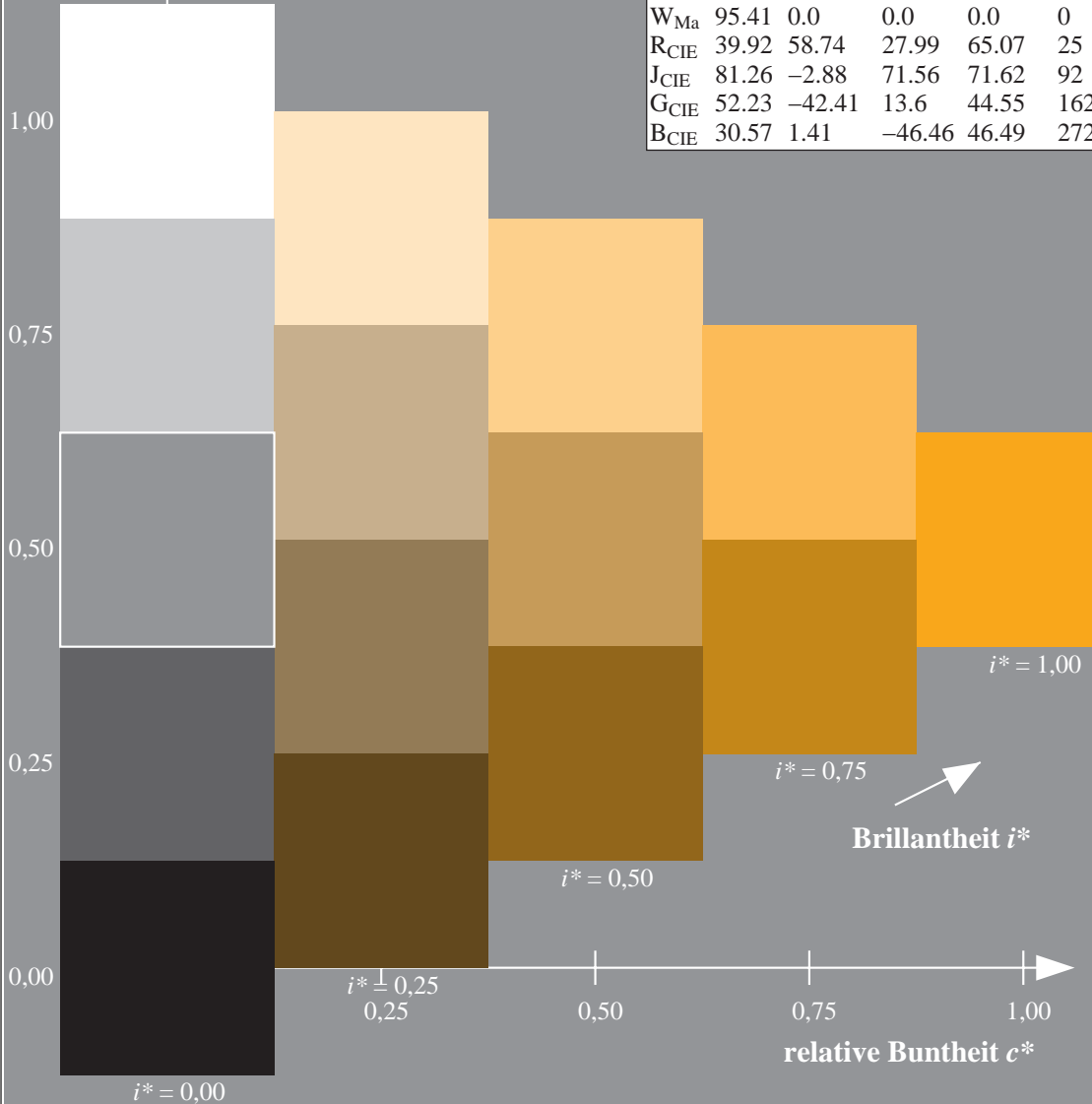
%Umfang

$u^*_{rel} = 93$

%Regularität

$g^*_{H,rel} = 57$

$g^*_{C,rel} = 59$



Daten für jede Farbe:

lab^*ch^* und lab^*icu^*

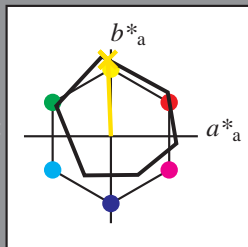
Elementar-Buntontext:

$u^* = j00g$

Kontrastreduzierungsfaktor:

$c_R = 1.0$

Dreiecks-Helligkeit t^*



ORS18_95aM; adaptierte CIELAB-Daten

	$L^*=L^*_a$	a^*_a	b^*_a	$C^*_{ab,a}$	$h^*_{ab,a}$
O _{Ma}	47.94	65.39	50.52	82.63	38
Y _{Ma}	90.37	-10.26	91.75	92.32	96
L _{Ma}	50.9	-62.83	34.96	71.91	151
C _{Ma}	58.62	-30.34	-45.01	54.3	236
V _{Ma}	25.72	31.1	-44.4	54.22	305
M _{Ma}	48.13	75.28	-8.36	75.74	354
N _{Ma}	18.01	0.0	0.0	0.0	0
W _{Ma}	95.41	0.0	0.0	0.0	0
R _{CIE}	39.92	58.74	27.99	65.07	25
J _{CIE}	81.26	-2.88	71.56	71.62	92
G _{CIE}	52.23	-42.41	13.6	44.55	162
B _{CIE}	30.57	1.41	-46.46	46.49	272

Daten für Maximalfarbe (Ma):

$LAB^*LAB^*Ma: 87 -3 88$

$LAB^*LCH^*Ma: 87 88 92$

$lab^*rgb^*Ma: 1.0 1.0 0.0$

$lab^*olv^*Ma: 1.0 0.91 0.0$

ORS18_95aM; adaptierte CIELAB-Daten

	$L^*=L^*_a$	a^*_a	b^*_a	$C^*_{ab,a}$	$h^*_{ab,a}$
r00j	48.0	68.4	32.59	75.77	25
r25j	51.32	59.36	53.8	80.11	42
r50j	62.67	39.12	64.83	75.72	59
r75j	73.73	19.4	75.58	78.03	76
j00g	86.61	-3.55	88.09	88.17	92
j25g	78.07	-26.64	74.05	78.7	110
j50g	65.83	-42.94	56.44	70.93	127
j75g	54.87	-57.53	40.67	70.47	145
g00b	52.54	-55.91	17.93	58.72	162
g25b	55.02	-45.5	-7.69	46.16	190
g50b	56.98	-37.23	-28.04	46.62	217
g75b	53.92	-21.56	-44.93	49.84	244
b00r	41.64	1.36	-44.7	44.73	272
b25r	28.53	25.85	-44.45	51.43	300
b50r	34.77	48.93	-29.85	57.32	329
b75r	48.12	74.52	-3.84	74.62	357

Dreiecks-Helligkeit t^*

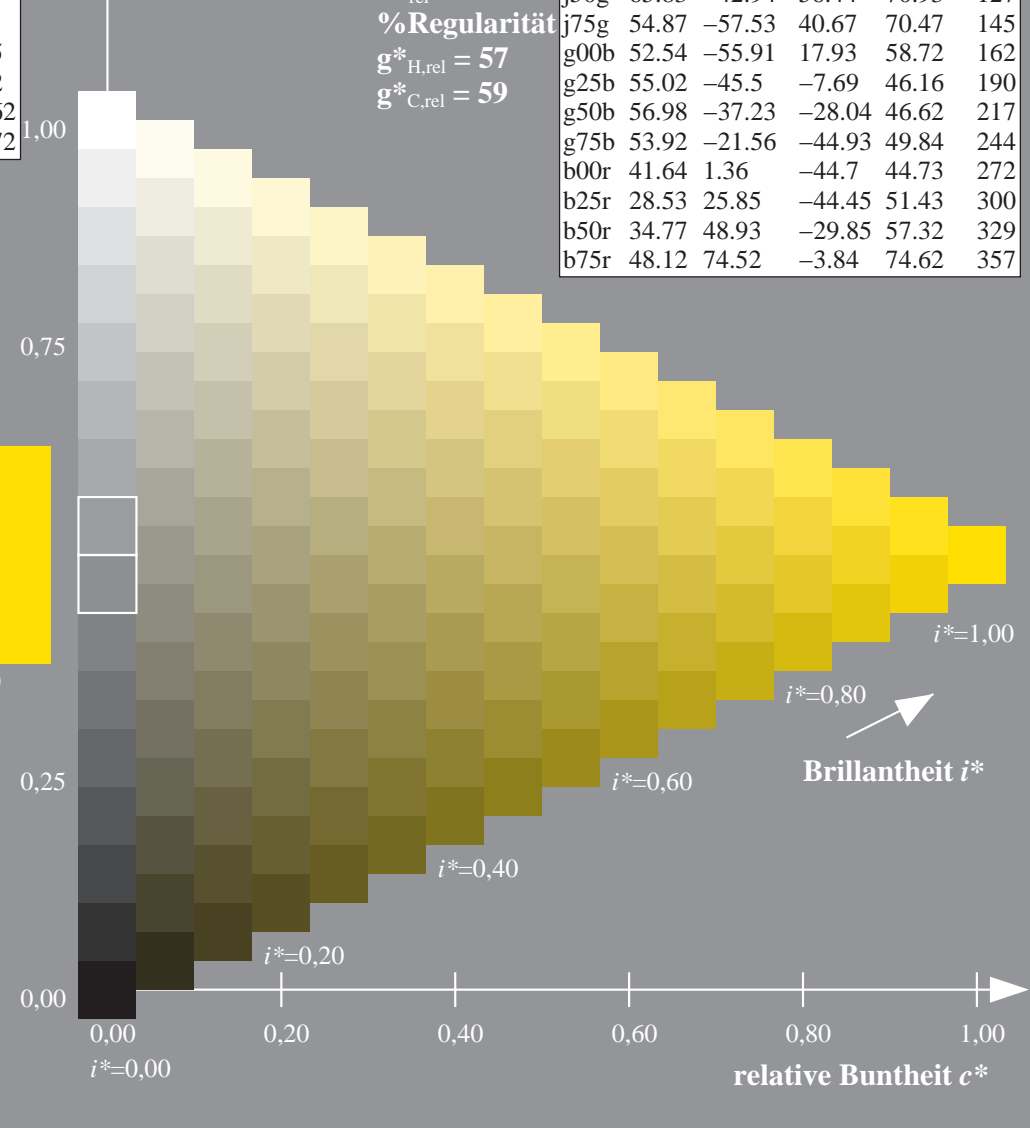
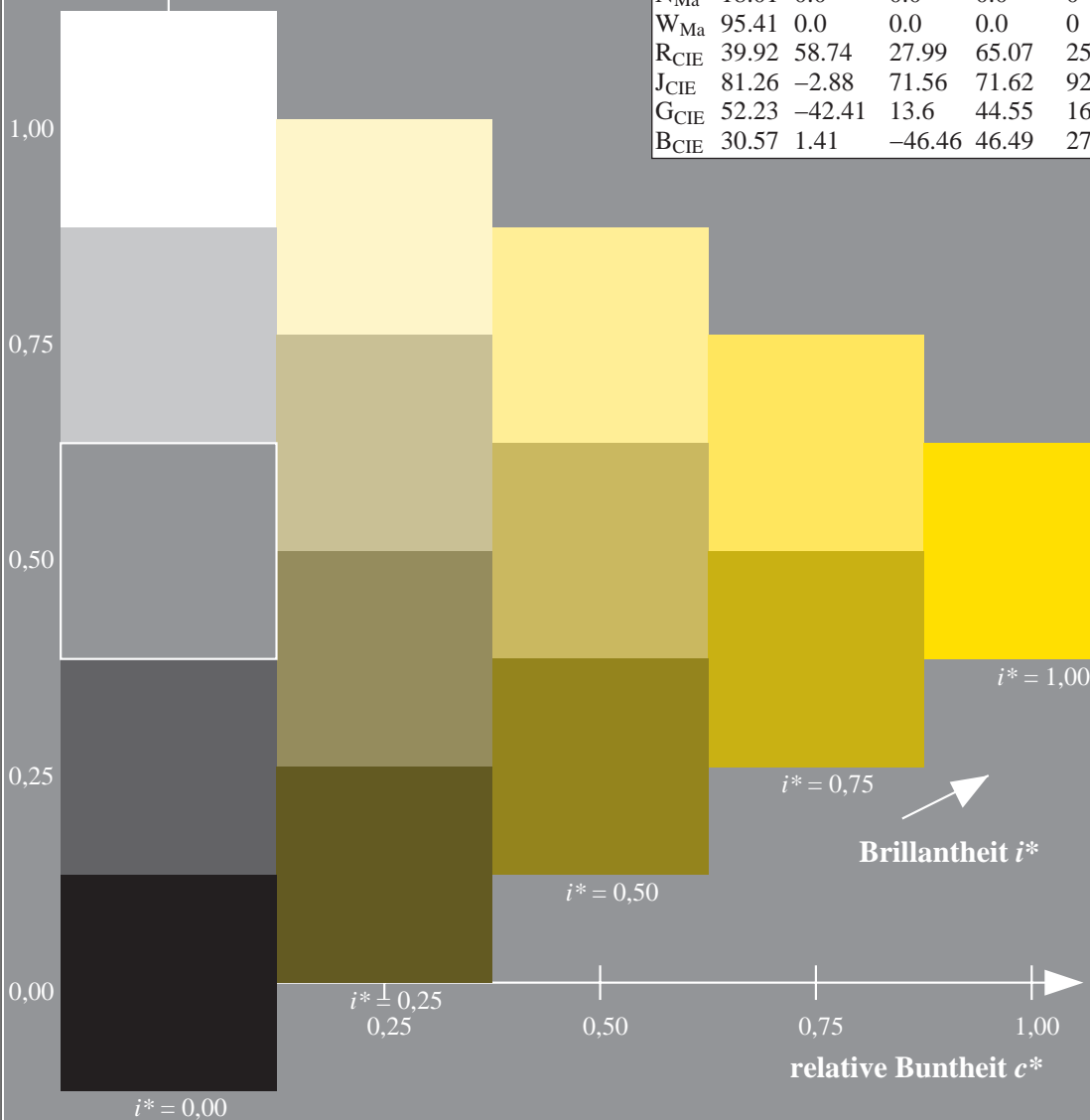
%Umfang

$u^*_{rel} = 93$

%Regularität

$g^*_{H,rel} = 57$

$g^*_{C,rel} = 59$



Daten für jede Farbe:

lab^*ch^* und lab^*icu^*

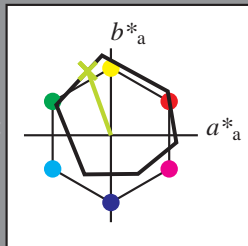
Elementar-Buntontext:

$u^* = j25g$

Kontrastreduzierungsfaktor:

$c_R = 1.0$

Dreiecks-Helligkeit t^*



ORS18_95aM; adaptierte CIELAB-Daten

	$L^*=L^*_a$	a^*_a	b^*_a	$C^*_{ab,a}$	$h^*_{ab,a}$
O _{Ma}	47.94	65.39	50.52	82.63	38
Y _{Ma}	90.37	-10.26	91.75	92.32	96
L _{Ma}	50.9	-62.83	34.96	71.91	151
C _{Ma}	58.62	-30.34	-45.01	54.3	236
V _{Ma}	25.72	31.1	-44.4	54.22	305
M _{Ma}	48.13	75.28	-8.36	75.74	354
N _{Ma}	18.01	0.0	0.0	0.0	0
W _{Ma}	95.41	0.0	0.0	0.0	0
R _{CIE}	39.92	58.74	27.99	65.07	25
J _{CIE}	81.26	-2.88	71.56	71.62	92
G _{CIE}	52.23	-42.41	13.6	44.55	162
B _{CIE}	30.57	1.41	-46.46	46.49	272

Daten für Maximalfarbe (Ma):

$LAB^*LAB^*_{Ma}$: 78 -26 74

$LAB^*LCH^*_{Ma}$: 78 79 110

$lab^*rgb^*_{Ma}$: 0.75 1.0 0.0

$lab^*olv^*_{Ma}$: 0.69 1.0 0.0

ORS18_95aM; adaptierte CIELAB-Daten

	$L^*=L^*_a$	a^*_a	b^*_a	$C^*_{ab,a}$	$h^*_{ab,a}$
r00j	48.0	68.4	32.59	75.77	25
r25j	51.32	59.36	53.8	80.11	42
r50j	62.67	39.12	64.83	75.72	59
r75j	73.73	19.4	75.58	78.03	76
j00g	86.61	-3.55	88.09	88.17	92
j25g	78.07	-26.64	74.05	78.7	110
j50g	65.83	-42.94	56.44	70.93	127
j75g	54.87	-57.53	40.67	70.47	145
g00b	52.54	-55.91	17.93	58.72	162
g25b	55.02	-45.5	-7.69	46.16	190
g50b	56.98	-37.23	-28.04	46.62	217
g75b	53.92	-21.56	-44.93	49.84	244
b00r	41.64	1.36	-44.7	44.73	272
b25r	28.53	25.85	-44.45	51.43	300
b50r	34.77	48.93	-29.85	57.32	329
b75r	48.12	74.52	-3.84	74.62	357

Dreiecks-Helligkeit t^*

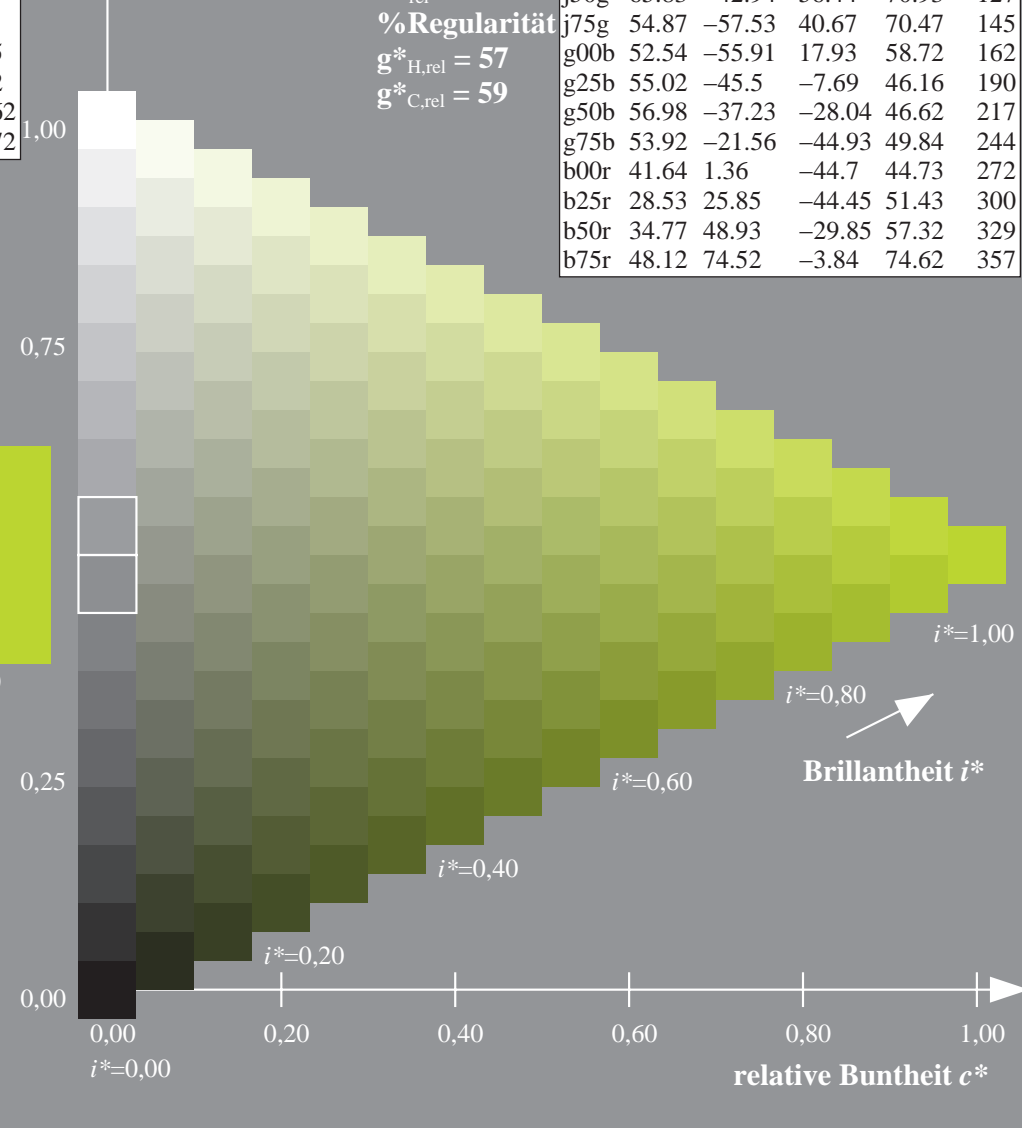
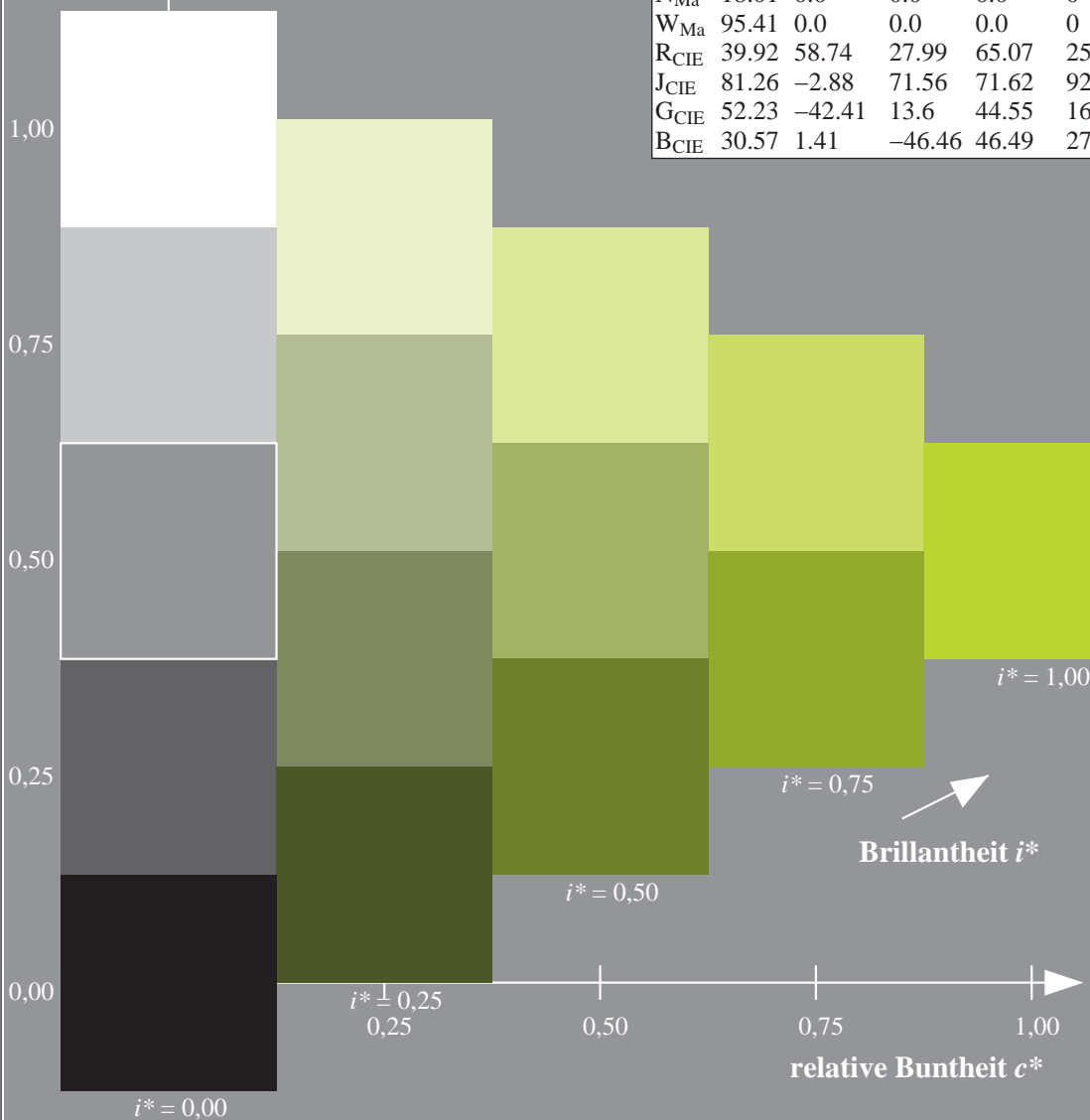
%Umfang

$u^*_{rel} = 93$

%Regularität

$g^*_{H,rel} = 57$

$g^*_{C,rel} = 59$



Daten für jede Farbe:

lab^*ch^* und lab^*icu^*

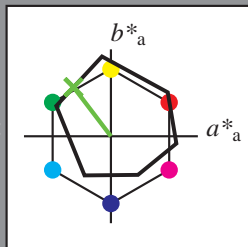
Elementar-Buntontext:

$u^* = j50g$

Kontrastreduzierungsfaktor:

$c_R = 1.0$

Dreiecks-Helligkeit t^*



ORS18_95aM; adaptierte CIELAB-Daten

	$L^*=L^*_a$	a^*_a	b^*_a	$C^*_{ab,a}$	$h^*_{ab,a}$
O _{Ma}	47.94	65.39	50.52	82.63	38
Y _{Ma}	90.37	-10.26	91.75	92.32	96
L _{Ma}	50.9	-62.83	34.96	71.91	151
C _{Ma}	58.62	-30.34	-45.01	54.3	236
V _{Ma}	25.72	31.1	-44.4	54.22	305
M _{Ma}	48.13	75.28	-8.36	75.74	354
N _{Ma}	18.01	0.0	0.0	0.0	0
W _{Ma}	95.41	0.0	0.0	0.0	0
R _{CIE}	39.92	58.74	27.99	65.07	25
J _{CIE}	81.26	-2.88	71.56	71.62	92
G _{CIE}	52.23	-42.41	13.6	44.55	162
B _{CIE}	30.57	1.41	-46.46	46.49	272

Daten für Maximalfarbe (Ma):

$LAB^*LAB^*Ma: 66 -42 56$

$LAB^*LCH^*Ma: 66 71 127$

$lab^*rgb^*Ma: 0.5 1.0 0.0$

$lab^*olv^*Ma: 0.38 1.0 0.0$

ORS18_95aM; adaptierte CIELAB-Daten

	$L^*=L^*_a$	a^*_a	b^*_a	$C^*_{ab,a}$	$h^*_{ab,a}$
r00j	48.0	68.4	32.59	75.77	25
r25j	51.32	59.36	53.8	80.11	42
r50j	62.67	39.12	64.83	75.72	59
r75j	73.73	19.4	75.58	78.03	76
j00g	86.61	-3.55	88.09	88.17	92
j25g	78.07	-26.64	74.05	78.7	110
j50g	65.83	-42.94	56.44	70.93	127
j75g	54.87	-57.53	40.67	70.47	145
g00b	52.54	-55.91	17.93	58.72	162
g25b	55.02	-45.5	-7.69	46.16	190
g50b	56.98	-37.23	-28.04	46.62	217
g75b	53.92	-21.56	-44.93	49.84	244
b00r	41.64	1.36	-44.7	44.73	272
b25r	28.53	25.85	-44.45	51.43	300
b50r	34.77	48.93	-29.85	57.32	329
b75r	48.12	74.52	-3.84	74.62	357

Dreiecks-Helligkeit t^*

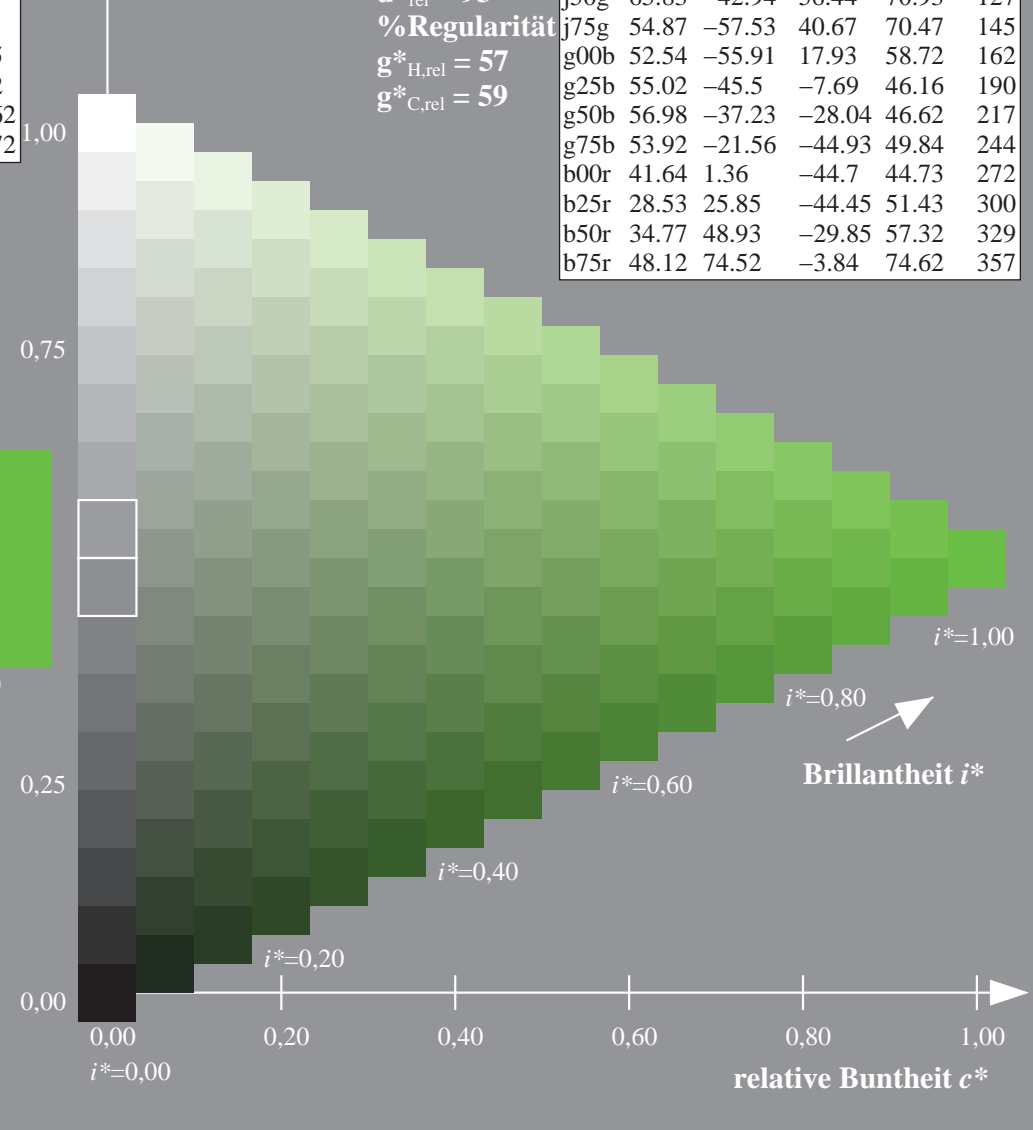
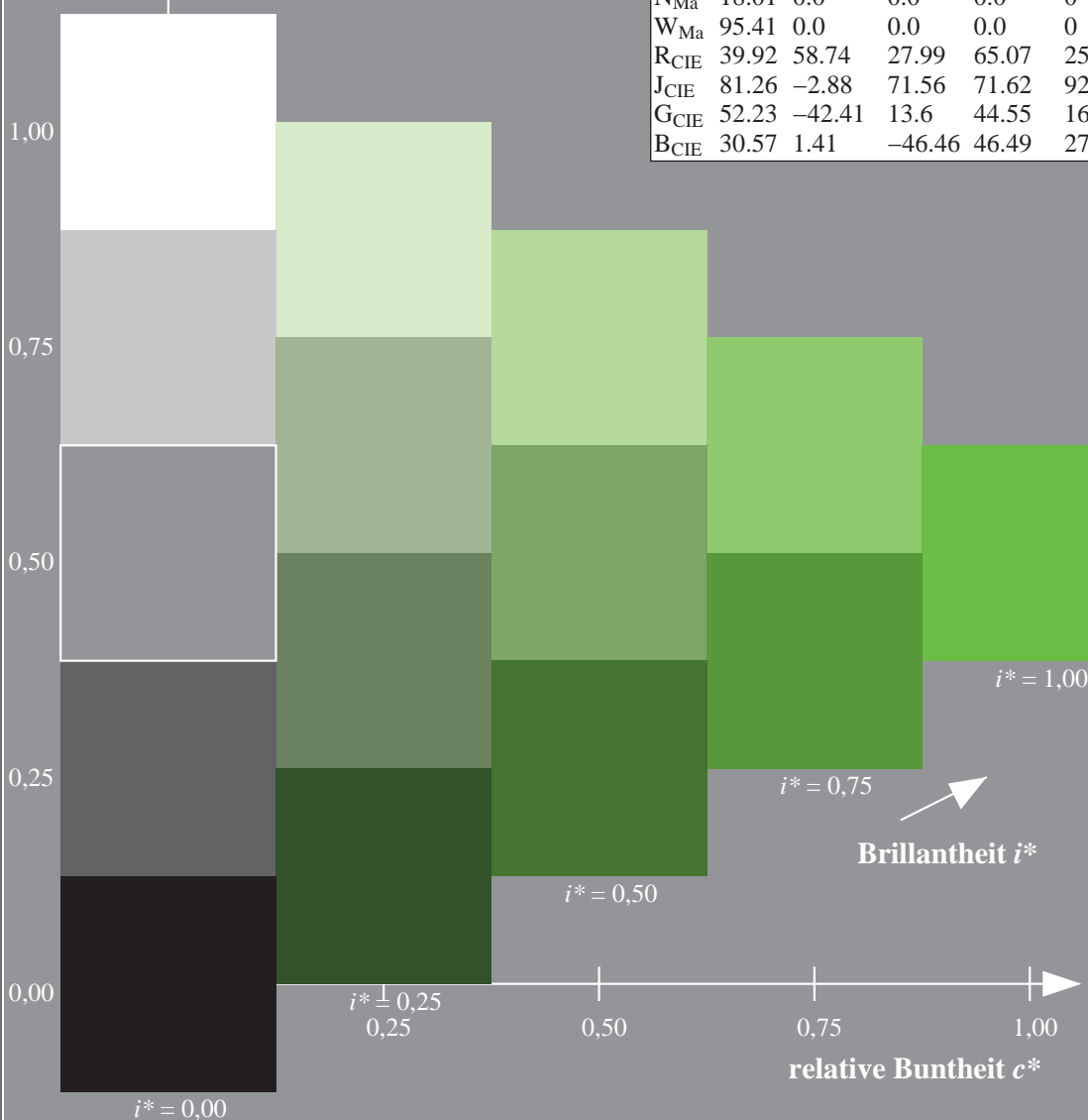
%Umfang

$u^*_{rel} = 93$

%Regularität

$g^*_{H,rel} = 57$

$g^*_{C,rel} = 59$



Daten für jede Farbe:

lab^*ch^* und lab^*icu^*

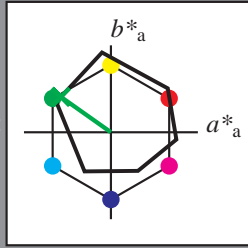
Elementar-Buntontext:

$u^* = j75g$

Kontrastreduzierungsfaktor:

$c_R = 1.0$

Dreiecks-Helligkeit t^*



ORS18_95aM; adaptierte CIELAB-Daten

	$L^*=L^*_a$	a^*_a	b^*_a	$C^*_{ab,a}$	$h^*_{ab,a}$
O _{Ma}	47.94	65.39	50.52	82.63	38
Y _{Ma}	90.37	-10.26	91.75	92.32	96
L _{Ma}	50.9	-62.83	34.96	71.91	151
C _{Ma}	58.62	-30.34	-45.01	54.3	236
V _{Ma}	25.72	31.1	-44.4	54.22	305
M _{Ma}	48.13	75.28	-8.36	75.74	354
N _{Ma}	18.01	0.0	0.0	0.0	0
W _{Ma}	95.41	0.0	0.0	0.0	0
R _{CIE}	39.92	58.74	27.99	65.07	25
J _{CIE}	81.26	-2.88	71.56	71.62	92
G _{CIE}	52.23	-42.41	13.6	44.55	162
B _{CIE}	30.57	1.41	-46.46	46.49	272

Daten für Maximalfarbe (Ma):

$LAB^*LAB^*_{Ma}$: 55 -57 41

$LAB^*LCH^*_{Ma}$: 55 70 145

$lab^*rgb^*_{Ma}$: 0.25 1.0 0.0

$lab^*olv^*_{Ma}$: 0.1 1.0 0.0

ORS18_95aM; adaptierte CIELAB-Daten

	$L^*=L^*_a$	a^*_a	b^*_a	$C^*_{ab,a}$	$h^*_{ab,a}$
r00j	48.0	68.4	32.59	75.77	25
r25j	51.32	59.36	53.8	80.11	42
r50j	62.67	39.12	64.83	75.72	59
r75j	73.73	19.4	75.58	78.03	76
j00g	86.61	-3.55	88.09	88.17	92
j25g	78.07	-26.64	74.05	78.7	110
j50g	65.83	-42.94	56.44	70.93	127
j75g	54.87	-57.53	40.67	70.47	145
g00b	52.54	-55.91	17.93	58.72	162
g25b	55.02	-45.5	-7.69	46.16	190
g50b	56.98	-37.23	-28.04	46.62	217
g75b	53.92	-21.56	-44.93	49.84	244
b00r	41.64	1.36	-44.7	44.73	272
b25r	28.53	25.85	-44.45	51.43	300
b50r	34.77	48.93	-29.85	57.32	329
b75r	48.12	74.52	-3.84	74.62	357

Dreiecks-Helligkeit t^*

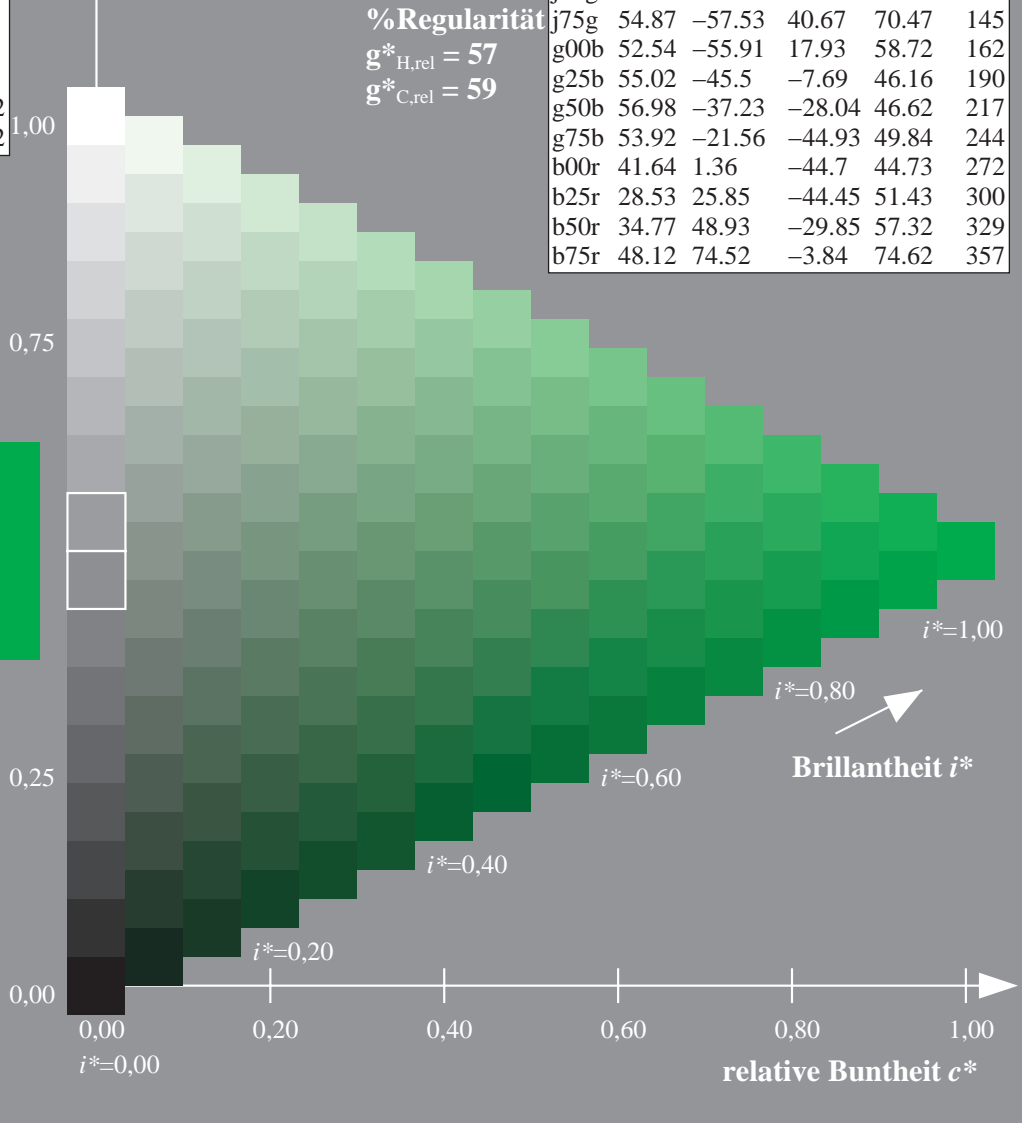
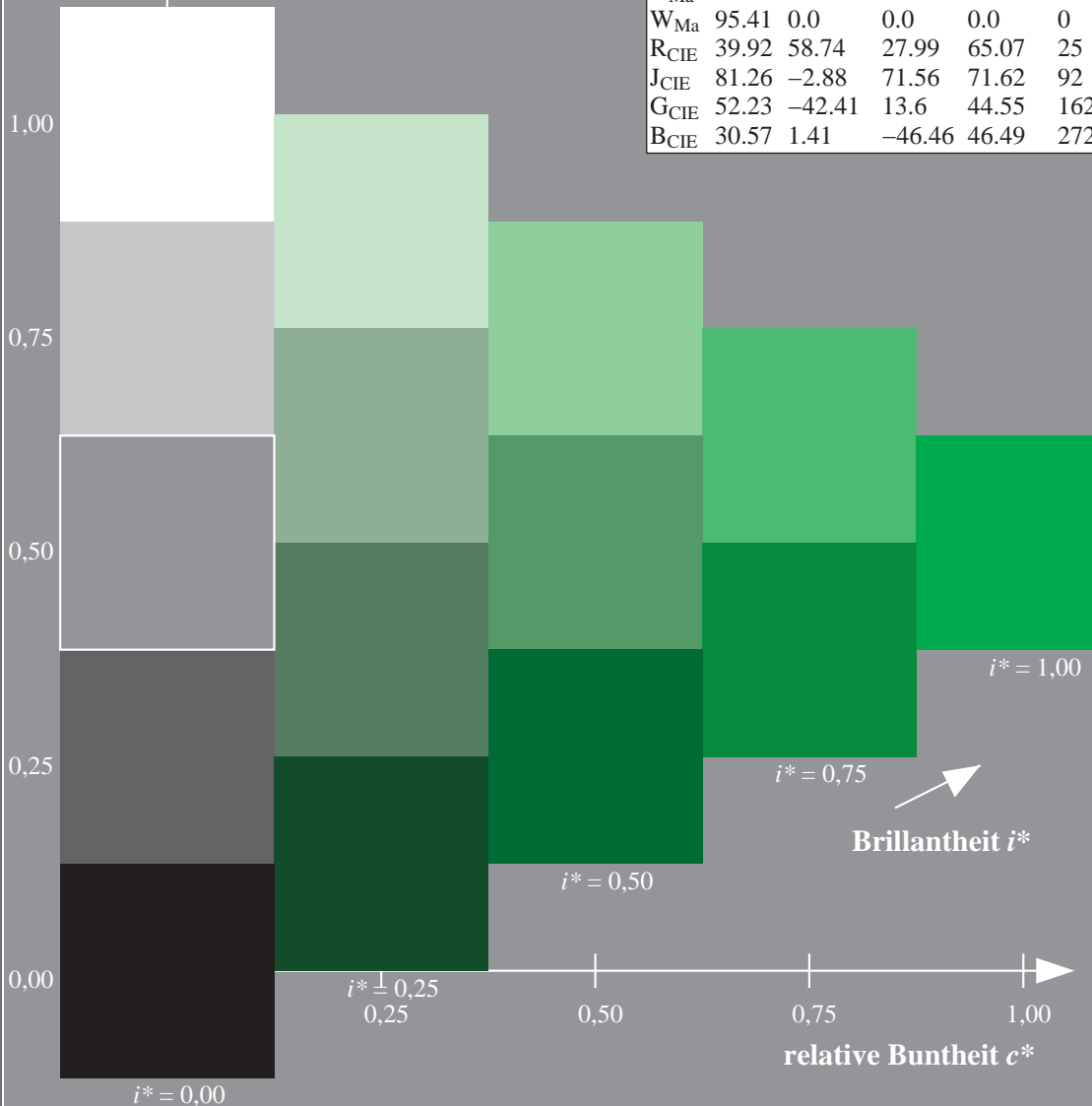
%Umfang

$u^*_{rel} = 93$

%Regularität

$g^*_{H,rel} = 57$

$g^*_{C,rel} = 59$



Daten für jede Farbe:

lab^*ch^* und lab^*icu^*

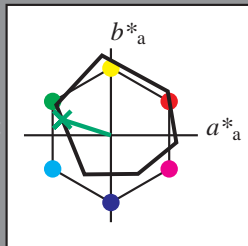
Elementar-Buntontext:

$u^* = g00b$

Kontrastreduzierungsfaktor:

$c_R = 1.0$

Dreiecks-Helligkeit t^*



ORS18_95aM; adaptierte CIELAB-Daten

	$L^*=L^*_a$	a^*_a	b^*_a	$C^*_{ab,a}$	$h^*_{ab,a}$
O _{Ma}	47.94	65.39	50.52	82.63	38
Y _{Ma}	90.37	-10.26	91.75	92.32	96
L _{Ma}	50.9	-62.83	34.96	71.91	151
C _{Ma}	58.62	-30.34	-45.01	54.3	236
V _{Ma}	25.72	31.1	-44.4	54.22	305
M _{Ma}	48.13	75.28	-8.36	75.74	354
N _{Ma}	18.01	0.0	0.0	0.0	0
W _{Ma}	95.41	0.0	0.0	0.0	0
R _{CIE}	39.92	58.74	27.99	65.07	25
J _{CIE}	81.26	-2.88	71.56	71.62	92
G _{CIE}	52.23	-42.41	13.6	44.55	162
B _{CIE}	30.57	1.41	-46.46	46.49	272

Daten für Maximalfarbe (Ma):

$LAB^*LAB^*_{Ma}$: 53 -55 18

$LAB^*LCH^*_{Ma}$: 53 59 162

$lab^*rgb^*_{Ma}$: 0.0 1.0 0.0

$lab^*olv^*_{Ma}$: 0.0 1.0 0.21

Dreiecks-Helligkeit t^*

%Umfang

$u^*_{rel} = 93$

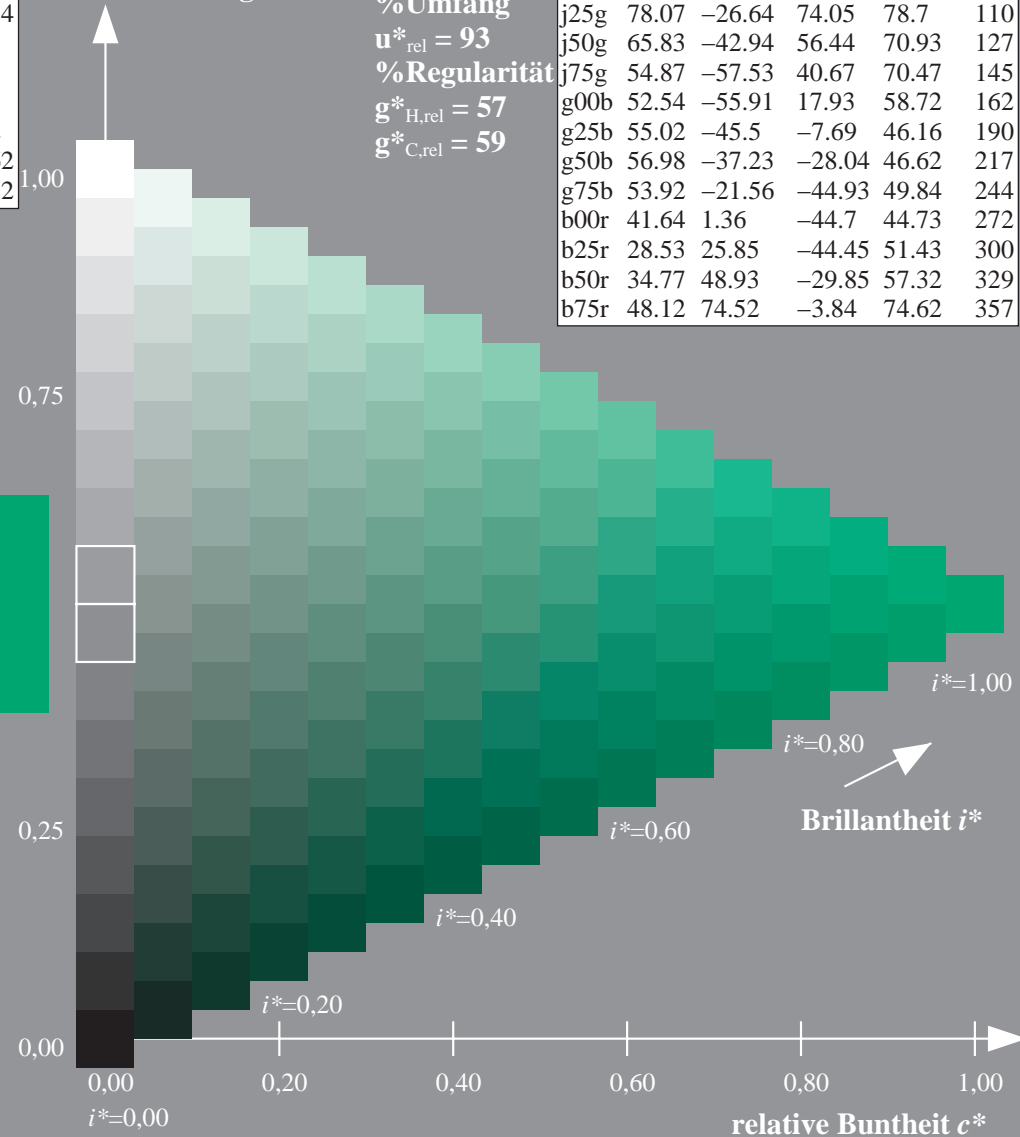
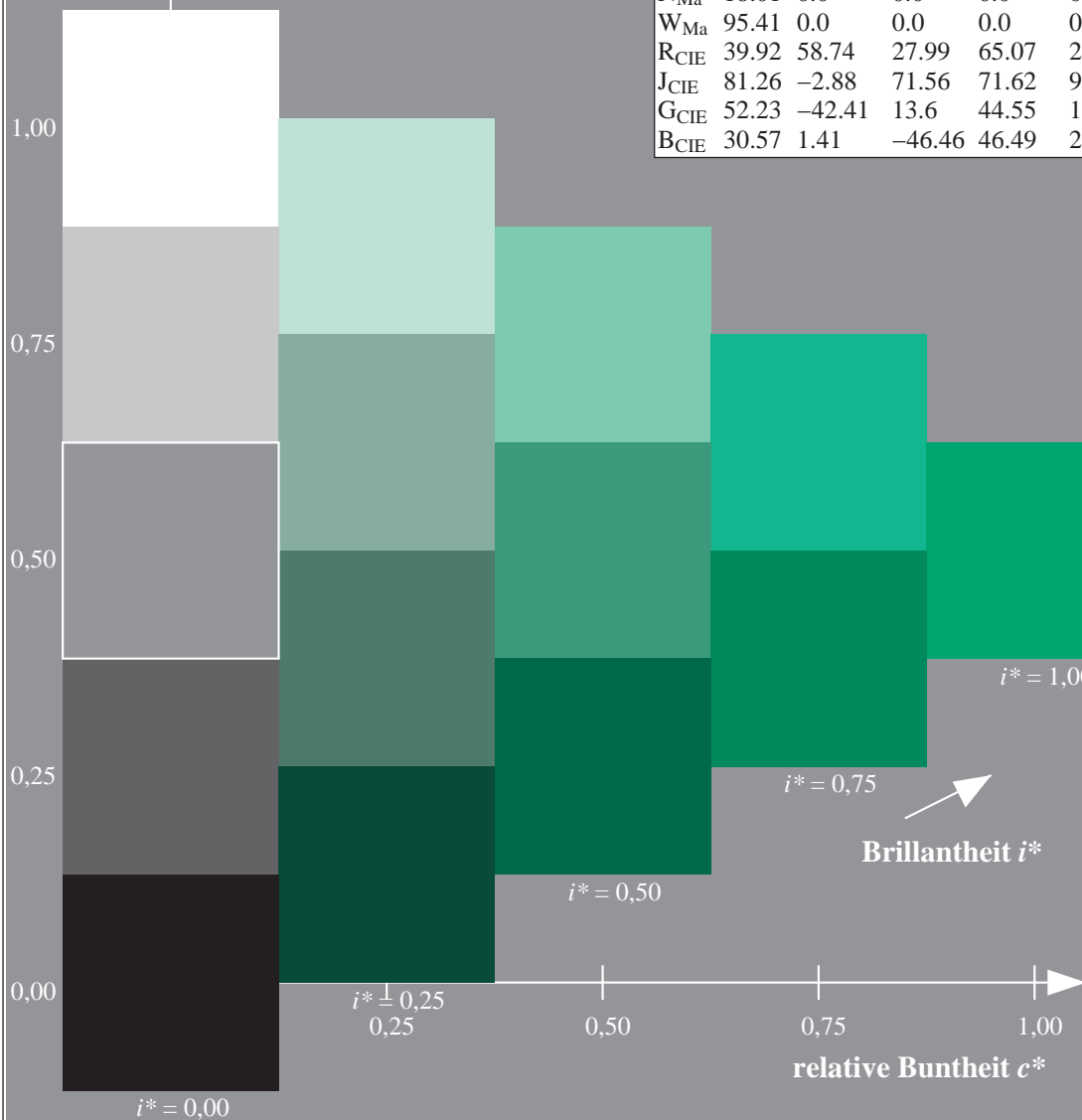
%Regularität

$g^*_{H,rel} = 57$

$g^*_{C,rel} = 59$

ORS18_95aM; adaptierte CIELAB-Daten

	$L^*=L^*_a$	a^*_a	b^*_a	$C^*_{ab,a}$	$h^*_{ab,a}$
r00j	48.0	68.4	32.59	75.77	25
r25j	51.32	59.36	53.8	80.11	42
r50j	62.67	39.12	64.83	75.72	59
r75j	73.73	19.4	75.58	78.03	76
j00g	86.61	-3.55	88.09	88.17	92
j25g	78.07	-26.64	74.05	78.7	110
j50g	65.83	-42.94	56.44	70.93	127
j75g	54.87	-57.53	40.67	70.47	145
g00b	52.54	-55.91	17.93	58.72	162
g25b	55.02	-45.5	-7.69	46.16	190
g50b	56.98	-37.23	-28.04	46.62	217
g75b	53.92	-21.56	-44.93	49.84	244
b00r	41.64	1.36	-44.7	44.73	272
b25r	28.53	25.85	-44.45	51.43	300
b50r	34.77	48.93	-29.85	57.32	329
b75r	48.12	74.52	-3.84	74.62	357



Daten für jede Farbe:

lab^*ch^* und lab^*icu^*

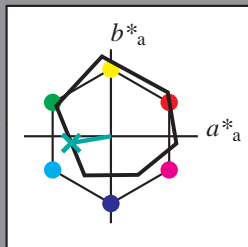
Elementar-Buntontext:

$u^* = g25b$

Kontrastreduzierungsfaktor:

$c_R = 1.0$

Dreiecks-Helligkeit t^*



ORS18_95aM; adaptierte CIELAB-Daten

	$L^*=L^*_a$	a^*_a	b^*_a	$C^*_{ab,a}$	$h^*_{ab,a}$
O _{Ma}	47.94	65.39	50.52	82.63	38
Y _{Ma}	90.37	-10.26	91.75	92.32	96
L _{Ma}	50.9	-62.83	34.96	71.91	151
C _{Ma}	58.62	-30.34	-45.01	54.3	236
V _{Ma}	25.72	31.1	-44.4	54.22	305
M _{Ma}	48.13	75.28	-8.36	75.74	354
N _{Ma}	18.01	0.0	0.0	0.0	0
W _{Ma}	95.41	0.0	0.0	0.0	0
R _{CIE}	39.92	58.74	27.99	65.07	25
J _{CIE}	81.26	-2.88	71.56	71.62	92
G _{CIE}	52.23	-42.41	13.6	44.55	162
B _{CIE}	30.57	1.41	-46.46	46.49	272

Daten für Maximalfarbe (Ma):

$LAB^*LAB^*_{Ma}: 55 -45 -7$

$LAB^*LCH^*_{Ma}: 55 46 190$

$lab^*rgb^*_{Ma}: 0.0 1.0 0.5$

$lab^*olv^*_{Ma}: 0.0 1.0 0.53$

ORS18_95aM; adaptierte CIELAB-Daten

	$L^*=L^*_a$	a^*_a	b^*_a	$C^*_{ab,a}$	$h^*_{ab,a}$
r00j	48.0	68.4	32.59	75.77	25
r25j	51.32	59.36	53.8	80.11	42
r50j	62.67	39.12	64.83	75.72	59
r75j	73.73	19.4	75.58	78.03	76
j00g	86.61	-3.55	88.09	88.17	92
j25g	78.07	-26.64	74.05	78.7	110
j50g	65.83	-42.94	56.44	70.93	127
j75g	54.87	-57.53	40.67	70.47	145
g00b	52.54	-55.91	17.93	58.72	162
g25b	55.02	-45.5	-7.69	46.16	190
g50b	56.98	-37.23	-28.04	46.62	217
g75b	53.92	-21.56	-44.93	49.84	244
b00r	41.64	1.36	-44.7	44.73	272
b25r	28.53	25.85	-44.45	51.43	300
b50r	34.77	48.93	-29.85	57.32	329
b75r	48.12	74.52	-3.84	74.62	357

Dreiecks-Helligkeit t^*

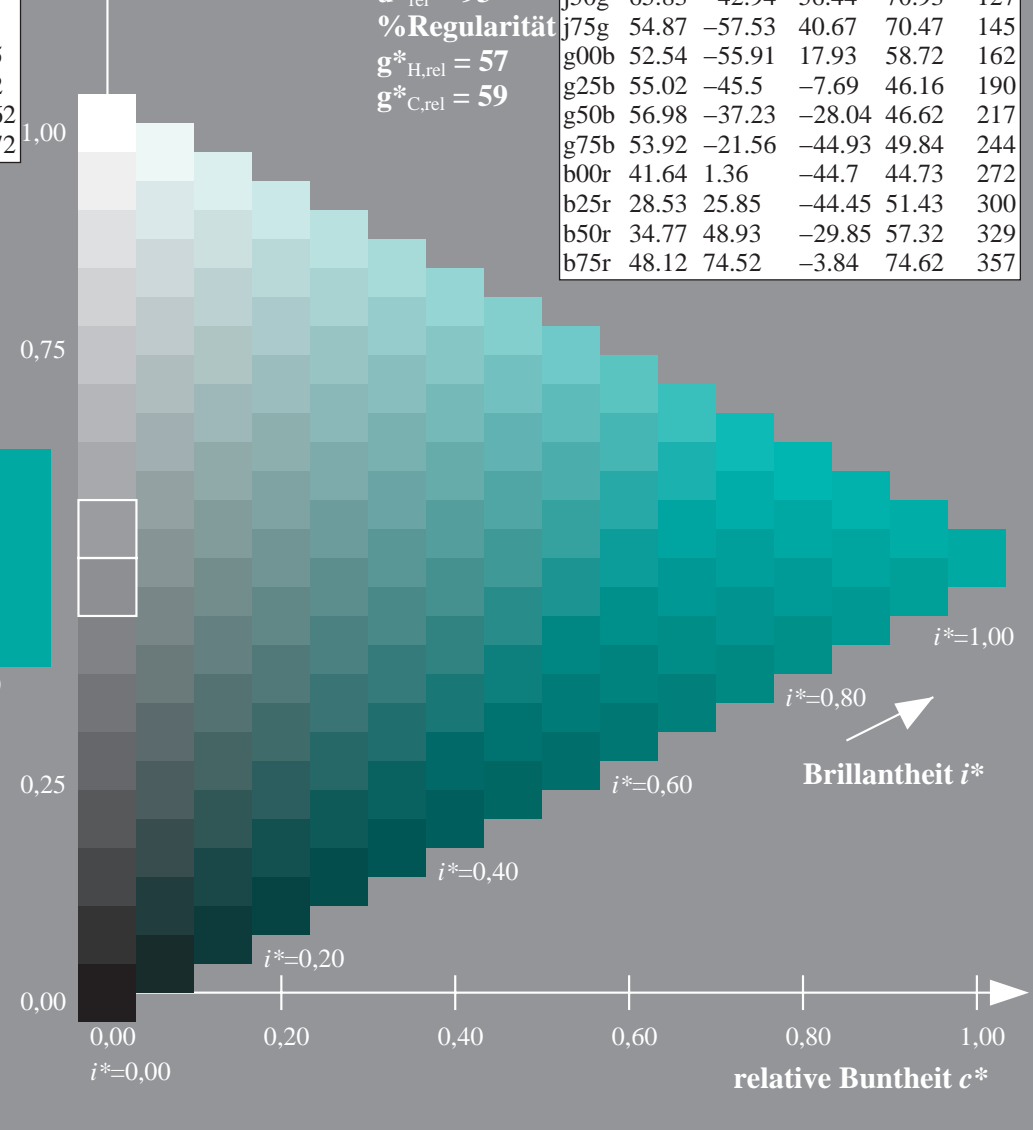
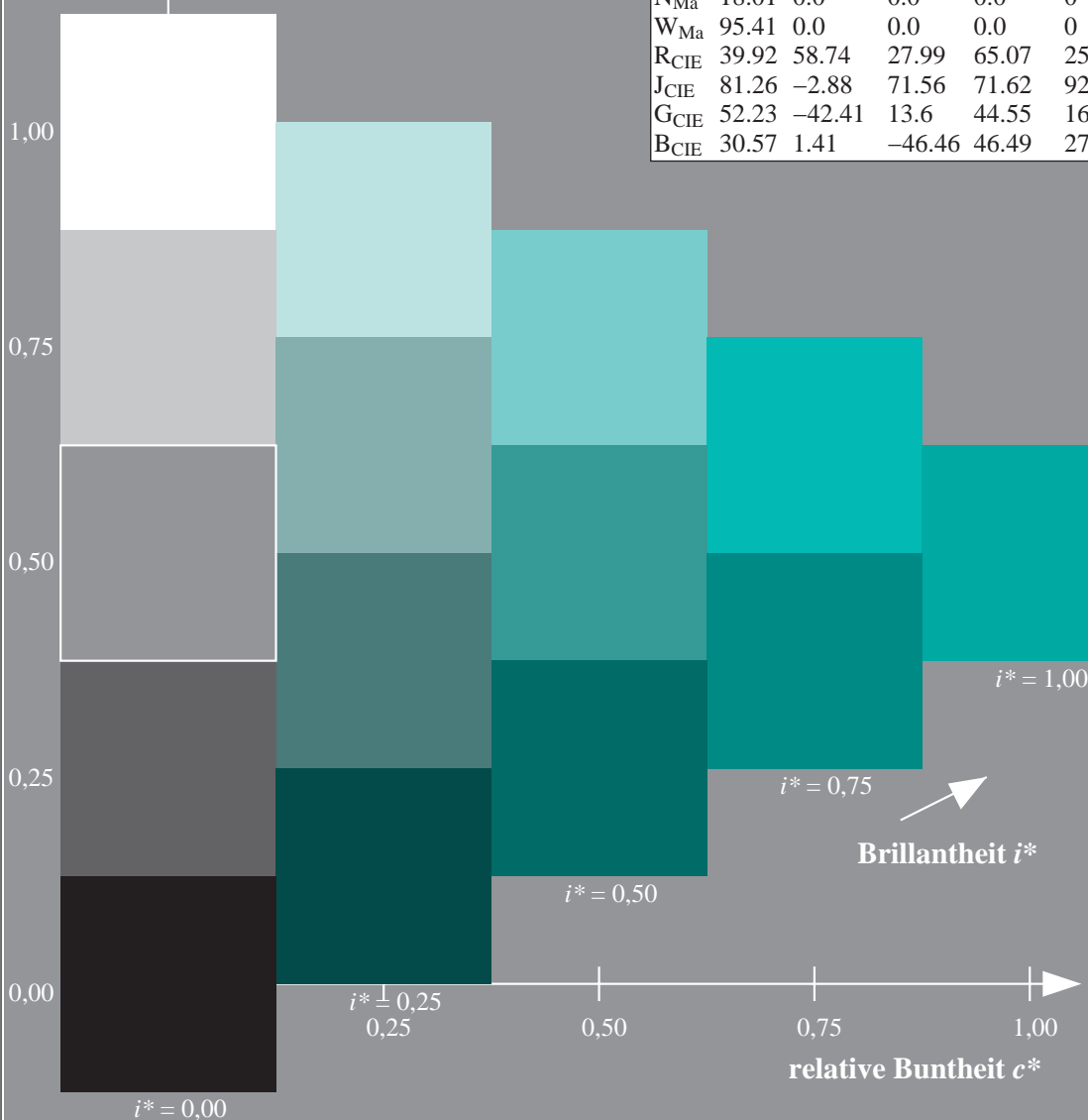
%Umfang

$u^*_{rel} = 93$

%Regularität

$g^*_{H,rel} = 57$

$g^*_{C,rel} = 59$



Daten für jede Farbe:

lab^*ch^* und lab^*icu^*

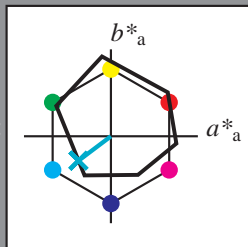
Elementar-Buntontext:

$u^* = g50b$

Kontrastreduzierungsfaktor:

$c_R = 1.0$

Dreiecks-Helligkeit t^*



ORS18_95aM; adaptierte CIELAB-Daten

	$L^*=L^*_a$	a^*_a	b^*_a	$C^*_{ab,a}$	$h^*_{ab,a}$
O _{Ma}	47.94	65.39	50.52	82.63	38
Y _{Ma}	90.37	-10.26	91.75	92.32	96
L _{Ma}	50.9	-62.83	34.96	71.91	151
C _{Ma}	58.62	-30.34	-45.01	54.3	236
V _{Ma}	25.72	31.1	-44.4	54.22	305
M _{Ma}	48.13	75.28	-8.36	75.74	354
N _{Ma}	18.01	0.0	0.0	0.0	0
W _{Ma}	95.41	0.0	0.0	0.0	0
R _{CIE}	39.92	58.74	27.99	65.07	25
J _{CIE}	81.26	-2.88	71.56	71.62	92
G _{CIE}	52.23	-42.41	13.6	44.55	162
B _{CIE}	30.57	1.41	-46.46	46.49	272

Daten für Maximalfarbe (Ma):

$LAB^*LAB^*_{Ma}$: 57 -36 -27

$LAB^*LCH^*_{Ma}$: 57 47 217

$lab^*rgb^*_{Ma}$: 0.0 1.0 1.0

$lab^*olv^*_{Ma}$: 0.0 1.0 0.79

ORS18_95aM; adaptierte CIELAB-Daten

	$L^*=L^*_a$	a^*_a	b^*_a	$C^*_{ab,a}$	$h^*_{ab,a}$
r00j	48.0	68.4	32.59	75.77	25
r25j	51.32	59.36	53.8	80.11	42
r50j	62.67	39.12	64.83	75.72	59
r75j	73.73	19.4	75.58	78.03	76
j00g	86.61	-3.55	88.09	88.17	92
j25g	78.07	-26.64	74.05	78.7	110
j50g	65.83	-42.94	56.44	70.93	127
j75g	54.87	-57.53	40.67	70.47	145
g00b	52.54	-55.91	17.93	58.72	162
g25b	55.02	-45.5	-7.69	46.16	190
g50b	56.98	-37.23	-28.04	46.62	217
g75b	53.92	-21.56	-44.93	49.84	244
b00r	41.64	1.36	-44.7	44.73	272
b25r	28.53	25.85	-44.45	51.43	300
b50r	34.77	48.93	-29.85	57.32	329
b75r	48.12	74.52	-3.84	74.62	357

Dreiecks-Helligkeit t^*

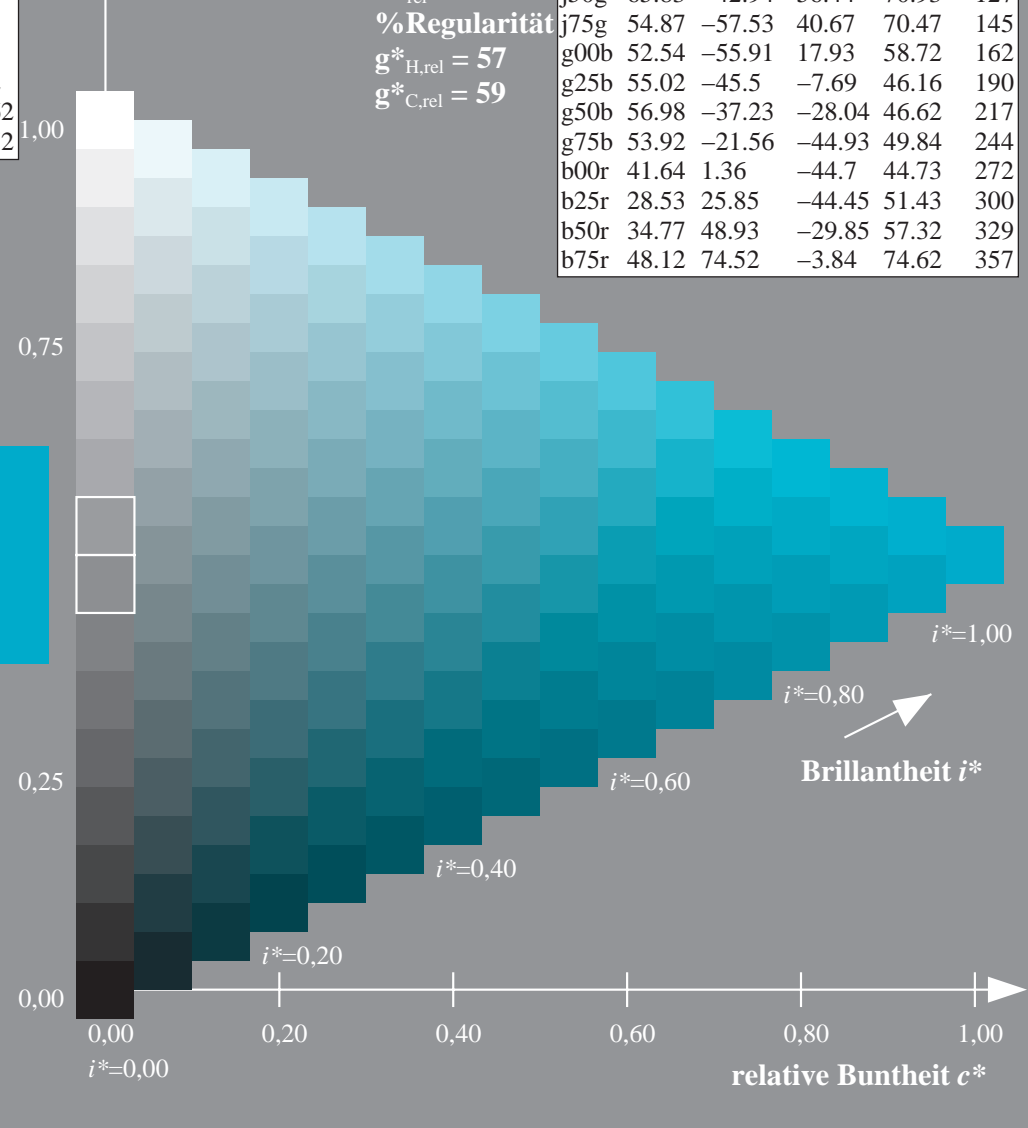
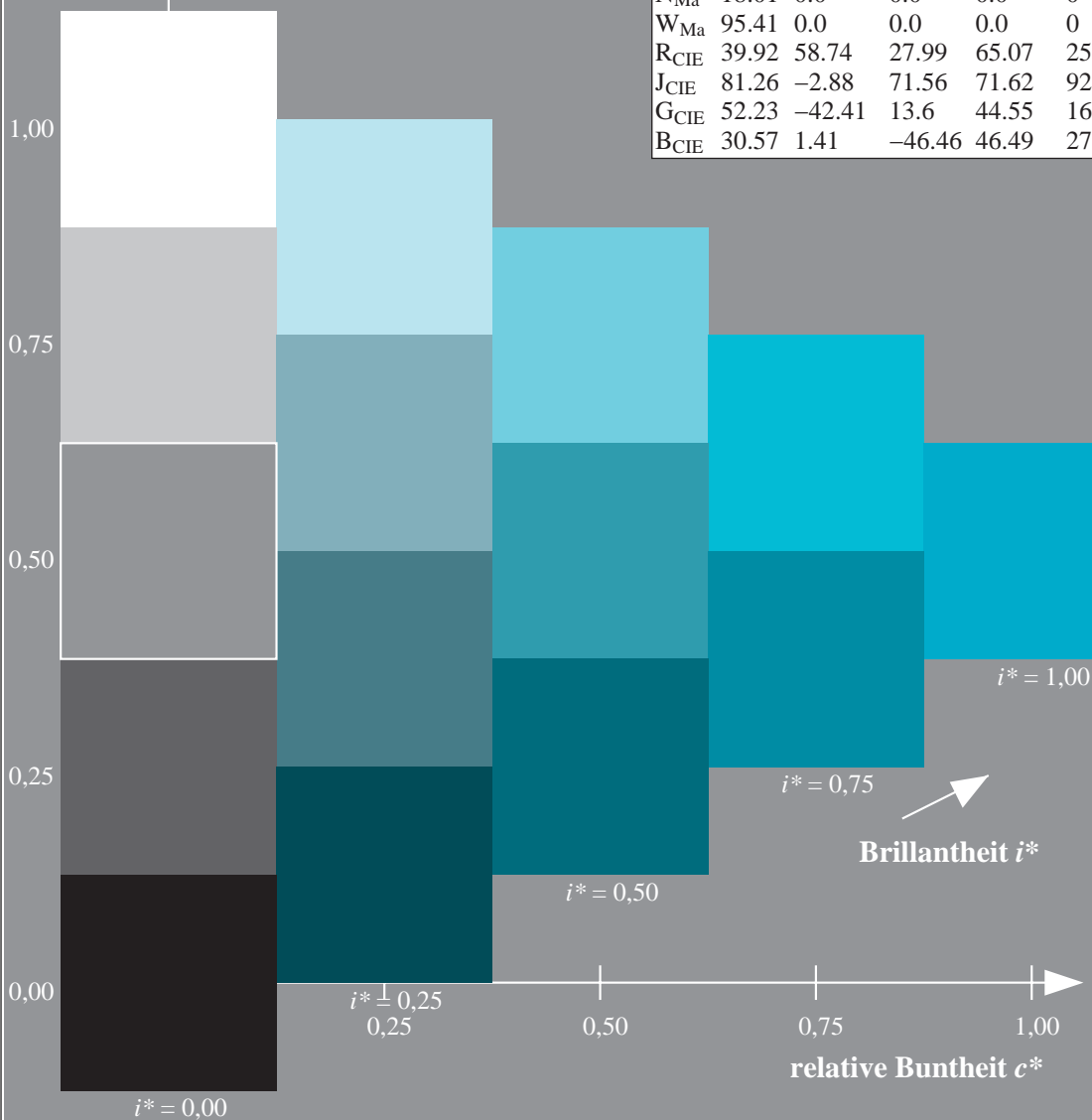
%Umfang

$u^*_{rel} = 93$

%Regularität

$g^*_{H,rel} = 57$

$g^*_{C,rel} = 59$



Daten für jede Farbe:

lab^*ch^* und lab^*icu^*

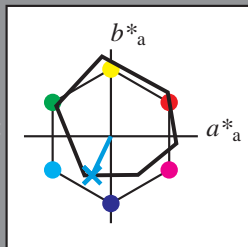
Elementar-Buntontext:

$u^* = g75b$

Kontrastreduzierungsfaktor:

$c_R = 1.0$

Dreiecks-Helligkeit t^*



ORS18_95aM; adaptierte CIELAB-Daten

	$L^*=L^*_a$	a^*_a	b^*_a	$C^*_{ab,a}$	$h^*_{ab,a}$
O _{Ma}	47.94	65.39	50.52	82.63	38
Y _{Ma}	90.37	-10.26	91.75	92.32	96
L _{Ma}	50.9	-62.83	34.96	71.91	151
C _{Ma}	58.62	-30.34	-45.01	54.3	236
V _{Ma}	25.72	31.1	-44.4	54.22	305
M _{Ma}	48.13	75.28	-8.36	75.74	354
N _{Ma}	18.01	0.0	0.0	0.0	0
W _{Ma}	95.41	0.0	0.0	0.0	0
R _{CIE}	39.92	58.74	27.99	65.07	25
J _{CIE}	81.26	-2.88	71.56	71.62	92
G _{CIE}	52.23	-42.41	13.6	44.55	162
B _{CIE}	30.57	1.41	-46.46	46.49	272

Daten für Maximalfarbe (Ma):

$LAB^*LAB^*_{Ma}$: 54 -21 -44

$LAB^*LCH^*_{Ma}$: 54 50 244

$lab^*rgb^*_{Ma}$: 0.0 0.5 1.0

$lab^*olv^*_{Ma}$: 0.0 0.86 1.0

ORS18_95aM; adaptierte CIELAB-Daten

	$L^*=L^*_a$	a^*_a	b^*_a	$C^*_{ab,a}$	$h^*_{ab,a}$
r00j	48.0	68.4	32.59	75.77	25
r25j	51.32	59.36	53.8	80.11	42
r50j	62.67	39.12	64.83	75.72	59
r75j	73.73	19.4	75.58	78.03	76
j00g	86.61	-3.55	88.09	88.17	92
j25g	78.07	-26.64	74.05	78.7	110
j50g	65.83	-42.94	56.44	70.93	127
j75g	54.87	-57.53	40.67	70.47	145
g00b	52.54	-55.91	17.93	58.72	162
g25b	55.02	-45.5	-7.69	46.16	190
g50b	56.98	-37.23	-28.04	46.62	217
g75b	53.92	-21.56	-44.93	49.84	244
b00r	41.64	1.36	-44.7	44.73	272
b25r	28.53	25.85	-44.45	51.43	300
b50r	34.77	48.93	-29.85	57.32	329
b75r	48.12	74.52	-3.84	74.62	357

Dreiecks-Helligkeit t^*

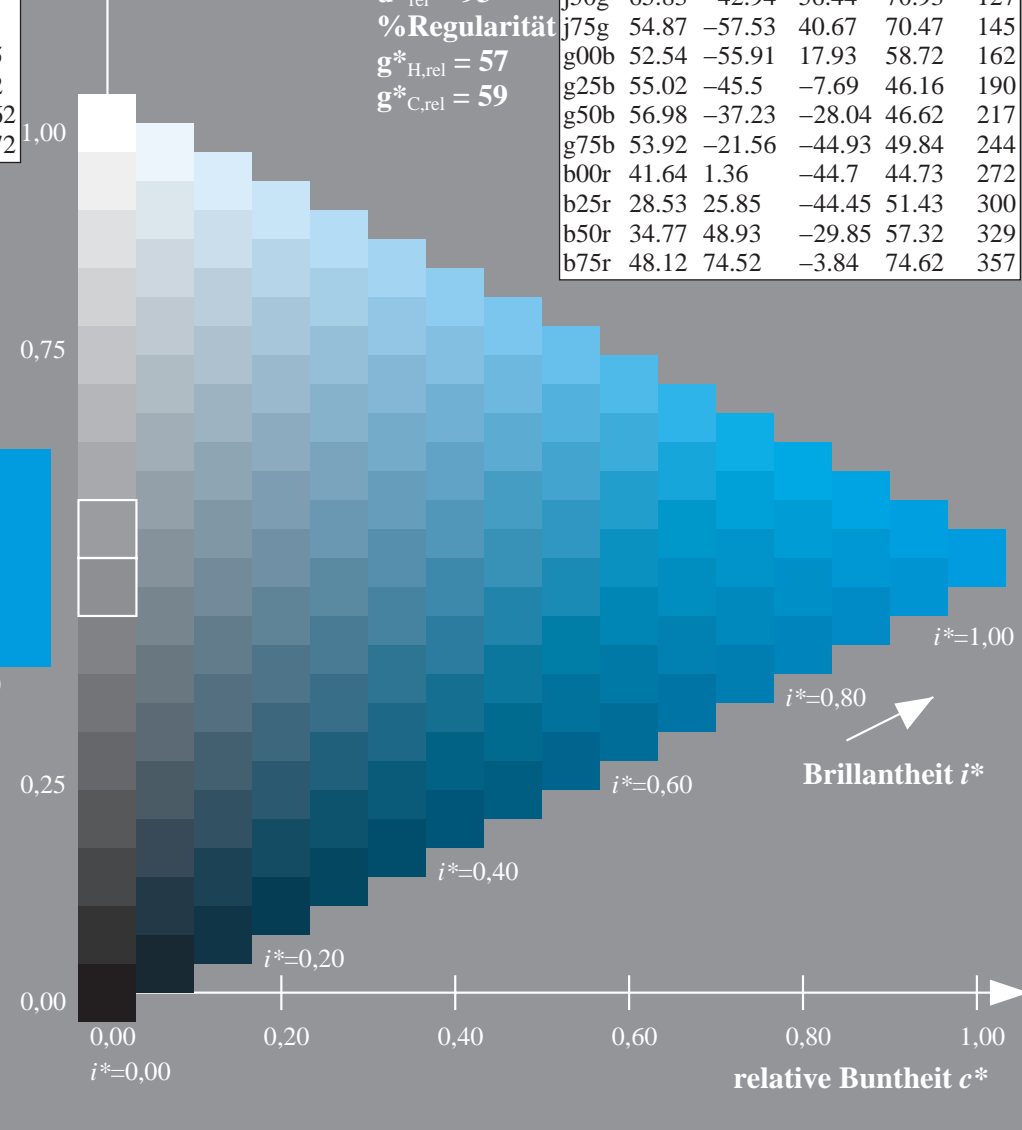
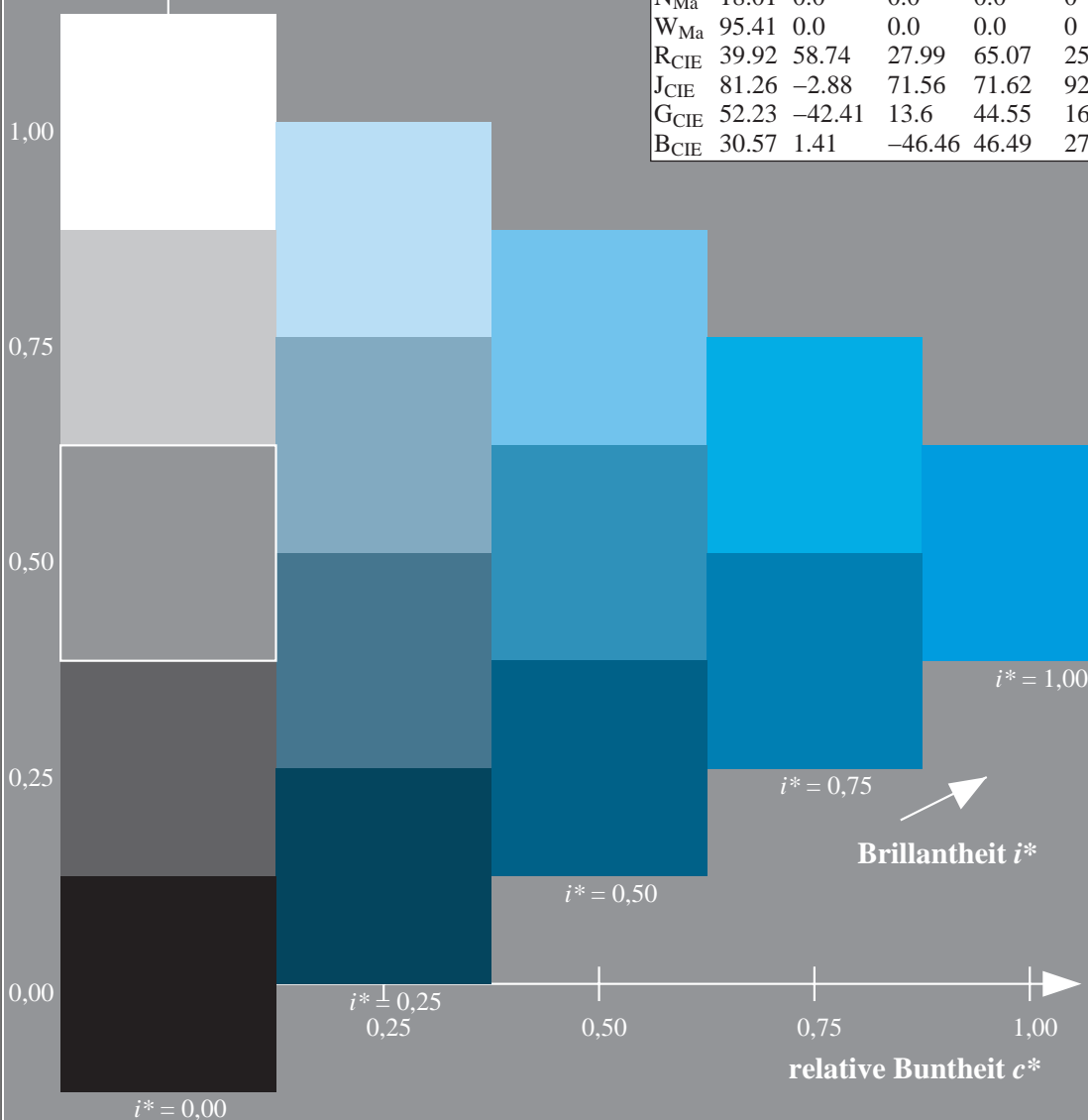
%Umfang

$u^*_{rel} = 93$

%Regularität

$g^*_{H,rel} = 57$

$g^*_{C,rel} = 59$



Daten für jede Farbe:

lab^*ch^* und lab^*icu^*

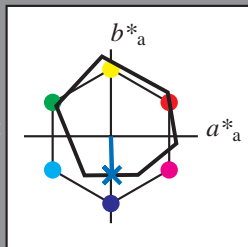
Elementar-Buntontext:

$u^* = b00r$

Kontrastreduzierungsfaktor:

$c_R = 1.0$

Dreiecks-Helligkeit t^*



ORS18_95aM; adaptierte CIELAB-Daten

	$L^*=L^*_a$	a^*_a	b^*_a	$C^*_{ab,a}$	$h^*_{ab,a}$
O _{Ma}	47.94	65.39	50.52	82.63	38
Y _{Ma}	90.37	-10.26	91.75	92.32	96
L _{Ma}	50.9	-62.83	34.96	71.91	151
C _{Ma}	58.62	-30.34	-45.01	54.3	236
V _{Ma}	25.72	31.1	-44.4	54.22	305
M _{Ma}	48.13	75.28	-8.36	75.74	354
N _{Ma}	18.01	0.0	0.0	0.0	0
W _{Ma}	95.41	0.0	0.0	0.0	0
R _{CIE}	39.92	58.74	27.99	65.07	25
J _{CIE}	81.26	-2.88	71.56	71.62	92
G _{CIE}	52.23	-42.41	13.6	44.55	162
B _{CIE}	30.57	1.41	-46.46	46.49	272

Daten für Maximalfarbe (Ma):

$LAB^*LAB^*Ma: 42 \ 1 \ -44$

$LAB^*LCH^*Ma: 42 \ 45 \ 272$

$lab^*rgb^*Ma: 0.0 \ 0.0 \ 1.0$

$lab^*olv^*Ma: 0.0 \ 0.48 \ 1.0$

ORS18_95aM; adaptierte CIELAB-Daten

	$L^*=L^*_a$	a^*_a	b^*_a	$C^*_{ab,a}$	$h^*_{ab,a}$
r00j	48.0	68.4	32.59	75.77	25
r25j	51.32	59.36	53.8	80.11	42
r50j	62.67	39.12	64.83	75.72	59
r75j	73.73	19.4	75.58	78.03	76
j00g	86.61	-3.55	88.09	88.17	92
j25g	78.07	-26.64	74.05	78.7	110
j50g	65.83	-42.94	56.44	70.93	127
j75g	54.87	-57.53	40.67	70.47	145
g00b	52.54	-55.91	17.93	58.72	162
g25b	55.02	-45.5	-7.69	46.16	190
g50b	56.98	-37.23	-28.04	46.62	217
g75b	53.92	-21.56	-44.93	49.84	244
b00r	41.64	1.36	-44.7	44.73	272
b25r	28.53	25.85	-44.45	51.43	300
b50r	34.77	48.93	-29.85	57.32	329
b75r	48.12	74.52	-3.84	74.62	357

Dreiecks-Helligkeit t^*

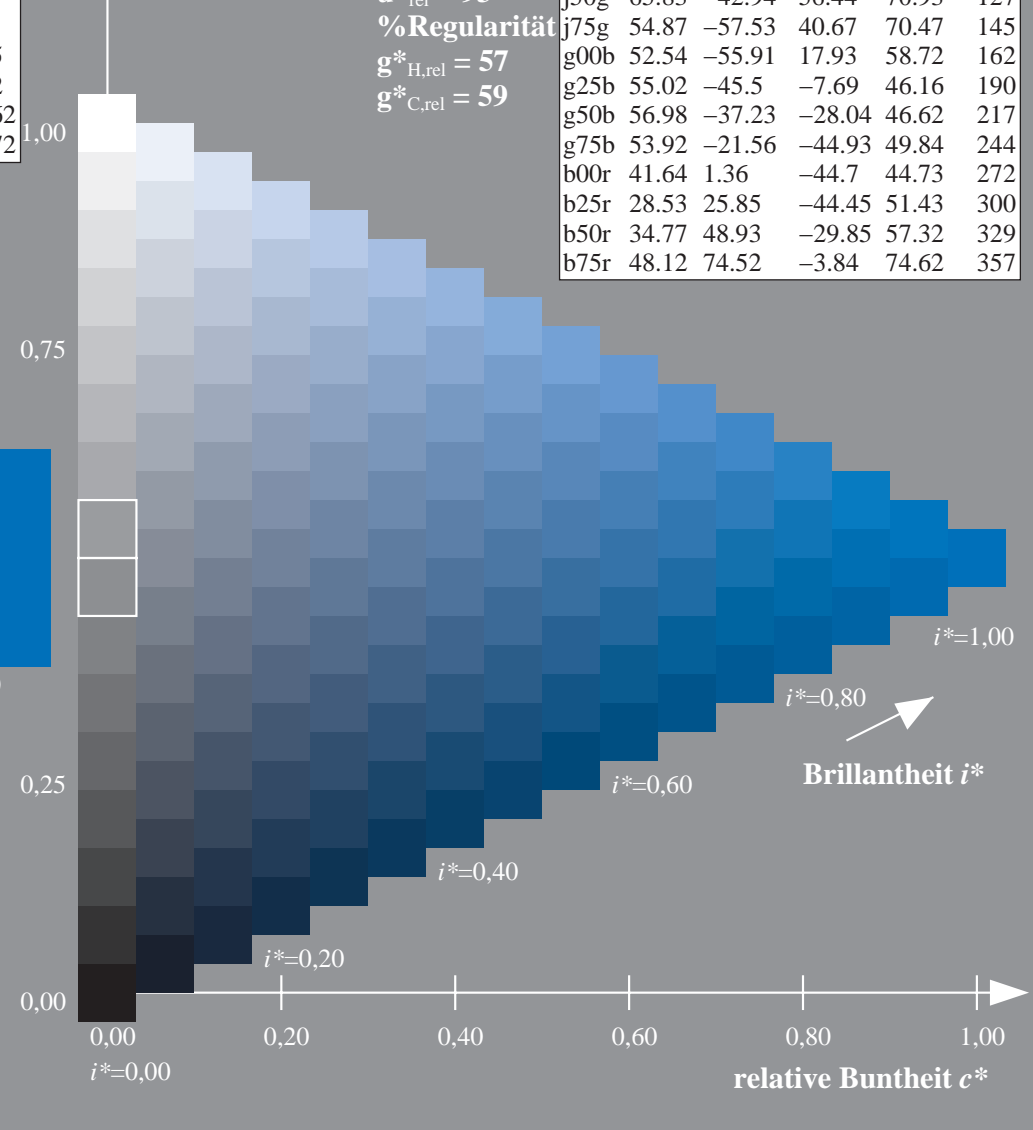
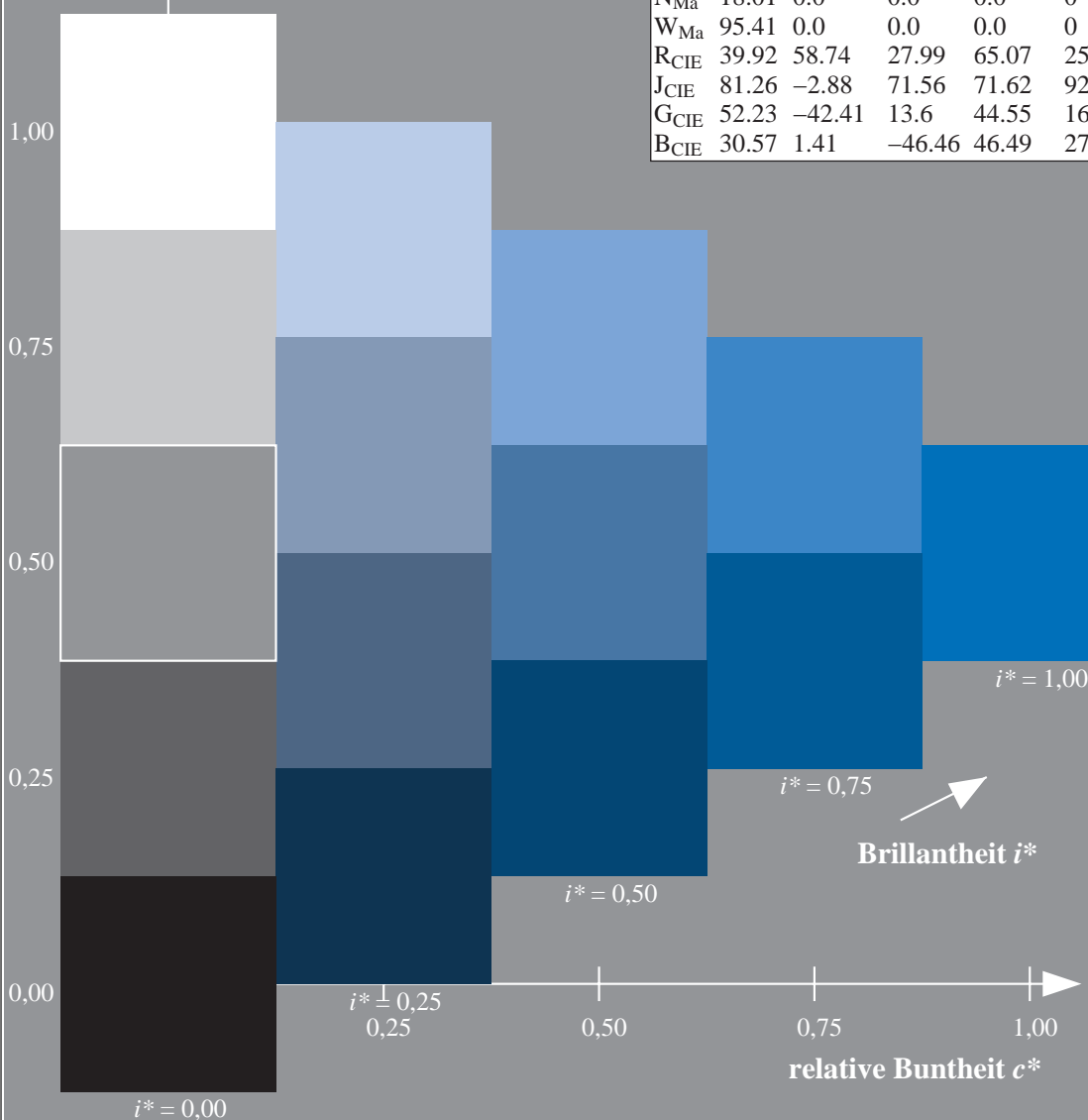
%Umfang

$u^*_{rel} = 93$

%Regularität

$g^*_{H,rel} = 57$

$g^*_{C,rel} = 59$



Daten für jede Farbe:

lab^*ch^* und lab^*icu^*

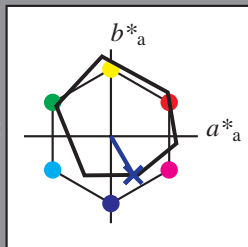
Elementar-Buntontext:

$u^* = b25r$

Kontrastreduzierungsfaktor:

$c_R = 1.0$

Dreiecks-Helligkeit t^*



ORS18_95aM; adaptierte CIELAB-Daten

	$L^*=L^*_a$	a^*_a	b^*_a	$C^*_{ab,a}$	$h^*_{ab,a}$
O _{Ma}	47.94	65.39	50.52	82.63	38
Y _{Ma}	90.37	-10.26	91.75	92.32	96
L _{Ma}	50.9	-62.83	34.96	71.91	151
C _{Ma}	58.62	-30.34	-45.01	54.3	236
V _{Ma}	25.72	31.1	-44.4	54.22	305
M _{Ma}	48.13	75.28	-8.36	75.74	354
N _{Ma}	18.01	0.0	0.0	0.0	0
W _{Ma}	95.41	0.0	0.0	0.0	0
R _{CIE}	39.92	58.74	27.99	65.07	25
J _{CIE}	81.26	-2.88	71.56	71.62	92
G _{CIE}	52.23	-42.41	13.6	44.55	162
B _{CIE}	30.57	1.41	-46.46	46.49	272

Daten für Maximalfarbe (Ma):

$LAB^*LAB^*Ma: 29\ 26\ -43$

$LAB^*LCH^*Ma: 29\ 51\ 300$

$lab^*rgb^*Ma: 0.5\ 0.0\ 1.0$

$lab^*olv^*Ma: 0.0\ 0.09\ 1.0$

ORS18_95aM; adaptierte CIELAB-Daten

	$L^*=L^*_a$	a^*_a	b^*_a	$C^*_{ab,a}$	$h^*_{ab,a}$
r00j	48.0	68.4	32.59	75.77	25
r25j	51.32	59.36	53.8	80.11	42
r50j	62.67	39.12	64.83	75.72	59
r75j	73.73	19.4	75.58	78.03	76
j00g	86.61	-3.55	88.09	88.17	92
j25g	78.07	-26.64	74.05	78.7	110
j50g	65.83	-42.94	56.44	70.93	127
j75g	54.87	-57.53	40.67	70.47	145
g00b	52.54	-55.91	17.93	58.72	162
g25b	55.02	-45.5	-7.69	46.16	190
g50b	56.98	-37.23	-28.04	46.62	217
g75b	53.92	-21.56	-44.93	49.84	244
b00r	41.64	1.36	-44.7	44.73	272
b25r	28.53	25.85	-44.45	51.43	300
b50r	34.77	48.93	-29.85	57.32	329
b75r	48.12	74.52	-3.84	74.62	357

Dreiecks-Helligkeit t^*

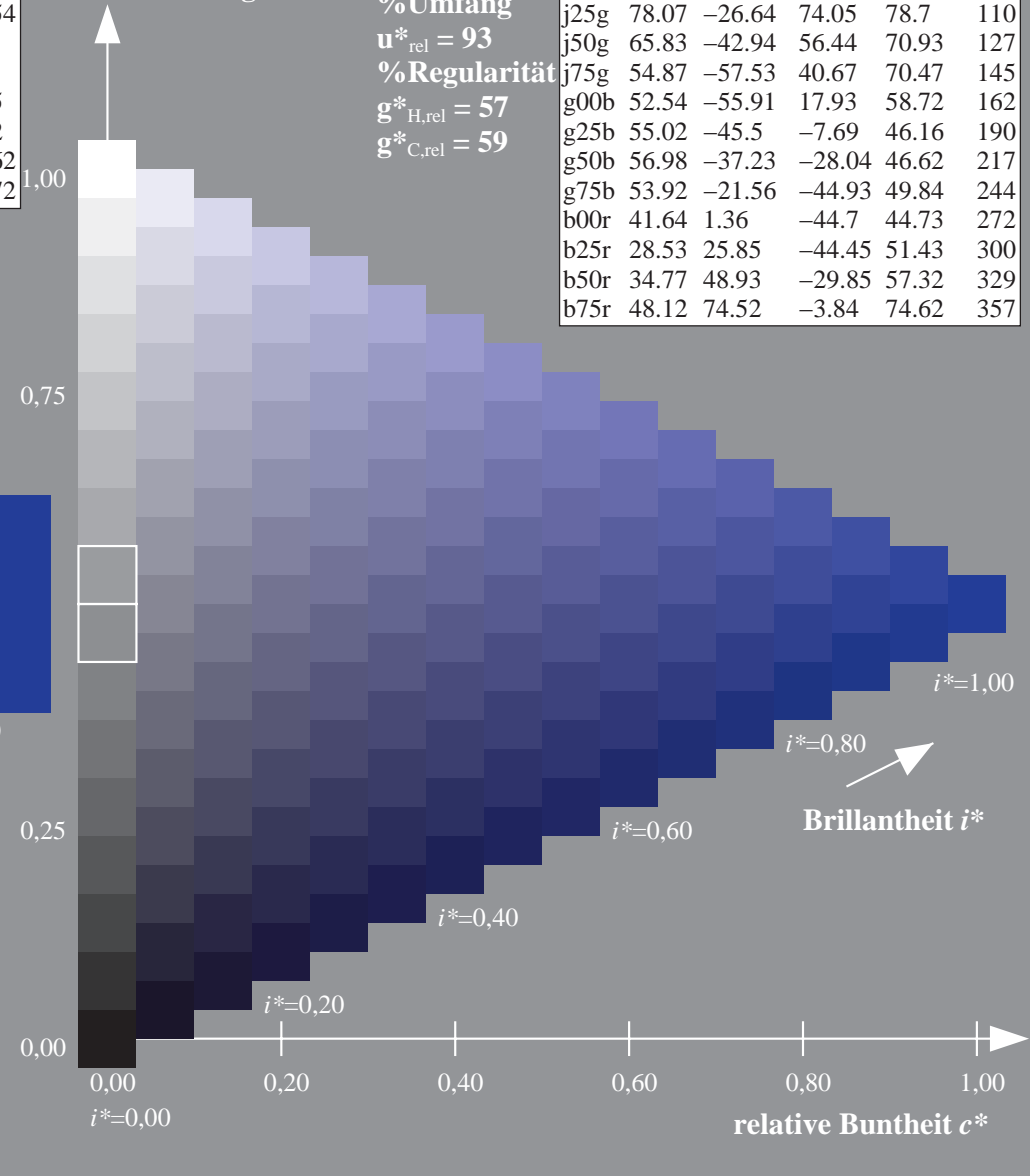
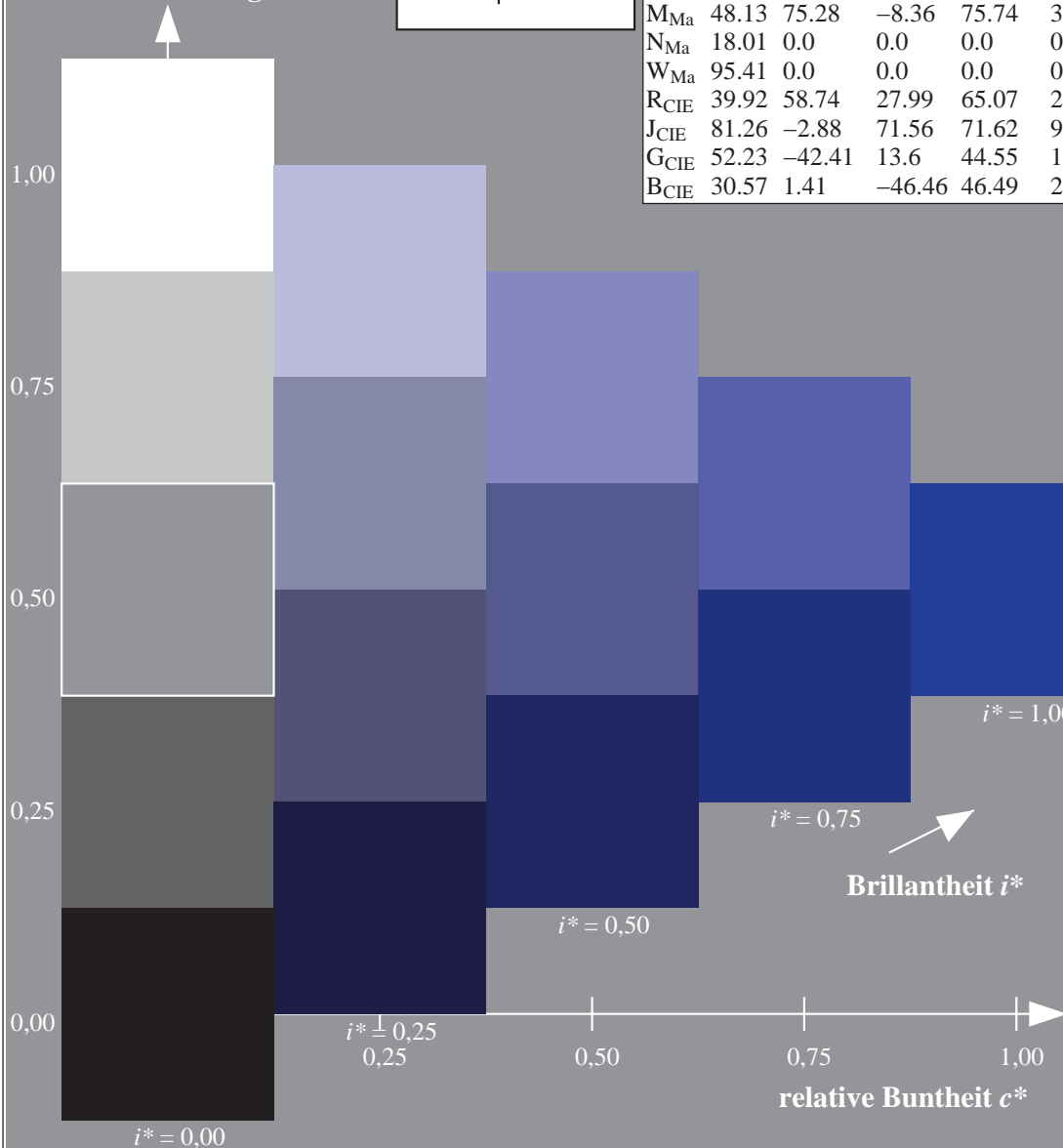
%Umfang

$u^*_{rel} = 93$

%Regularität

$g^*_{H,rel} = 57$

$g^*_{C,rel} = 59$



Daten für jede Farbe:

lab^*ch^* und lab^*icu^*

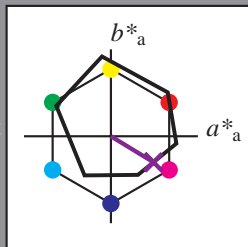
Elementar-Buntontext:

$u^* = b50r$

Kontrastreduzierungsfaktor:

$c_R = 1.0$

Dreiecks-Helligkeit t^*



ORS18_95aM; adaptierte CIELAB-Daten

	$L^*=L^*_a$	a^*_a	b^*_a	$C^*_{ab,a}$	$h^*_{ab,a}$
O _{Ma}	47.94	65.39	50.52	82.63	38
Y _{Ma}	90.37	-10.26	91.75	92.32	96
L _{Ma}	50.9	-62.83	34.96	71.91	151
C _{Ma}	58.62	-30.34	-45.01	54.3	236
V _{Ma}	25.72	31.1	-44.4	54.22	305
M _{Ma}	48.13	75.28	-8.36	75.74	354
N _{Ma}	18.01	0.0	0.0	0.0	0
W _{Ma}	95.41	0.0	0.0	0.0	0
R _{CIE}	39.92	58.74	27.99	65.07	25
J _{CIE}	81.26	-2.88	71.56	71.62	92
G _{CIE}	52.23	-42.41	13.6	44.55	162
B _{CIE}	30.57	1.41	-46.46	46.49	272

Daten für Maximalfarbe (Ma):

$LAB^*LAB^*_{Ma}$: 35 49 -29

$LAB^*LCH^*_{Ma}$: 35 57 329

$lab^*rgb^*_{Ma}$: 1.0 0.0 1.0

$lab^*olv^*_{Ma}$: 0.4 0.0 1.0

ORS18_95aM; adaptierte CIELAB-Daten

	$L^*=L^*_a$	a^*_a	b^*_a	$C^*_{ab,a}$	$h^*_{ab,a}$
r00j	48.0	68.4	32.59	75.77	25
r25j	51.32	59.36	53.8	80.11	42
r50j	62.67	39.12	64.83	75.72	59
r75j	73.73	19.4	75.58	78.03	76
j00g	86.61	-3.55	88.09	88.17	92
j25g	78.07	-26.64	74.05	78.7	110
j50g	65.83	-42.94	56.44	70.93	127
j75g	54.87	-57.53	40.67	70.47	145
g00b	52.54	-55.91	17.93	58.72	162
g25b	55.02	-45.5	-7.69	46.16	190
g50b	56.98	-37.23	-28.04	46.62	217
g75b	53.92	-21.56	-44.93	49.84	244
b00r	41.64	1.36	-44.7	44.73	272
b25r	28.53	25.85	-44.45	51.43	300
b50r	34.77	48.93	-29.85	57.32	329
b75r	48.12	74.52	-3.84	74.62	357

Dreiecks-Helligkeit t^*

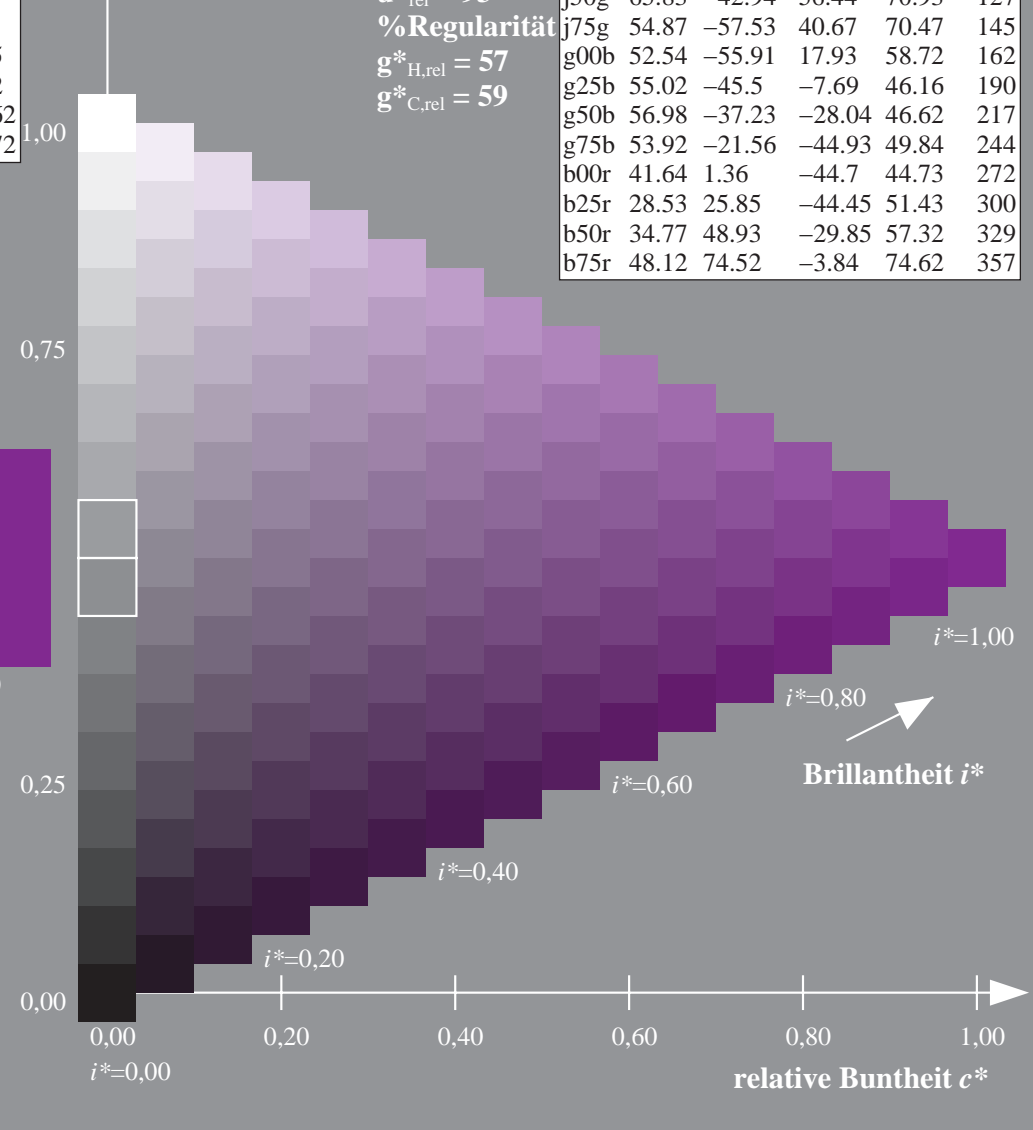
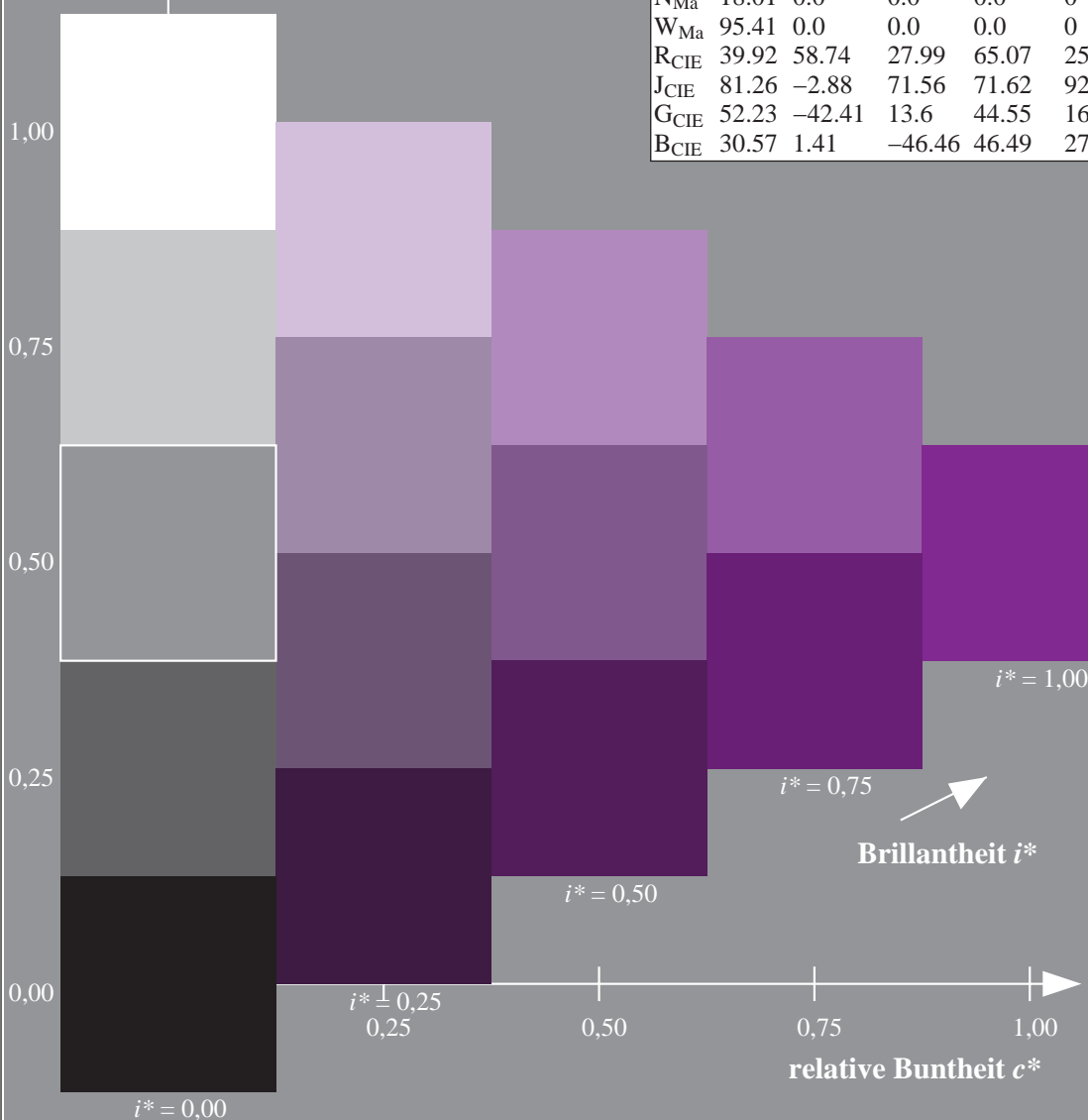
%Umfang

$u^*_{rel} = 93$

%Regularität

$g^*_{H,rel} = 57$

$g^*_{C,rel} = 59$



Daten für jede Farbe:

lab^*ch^* und lab^*icu^*

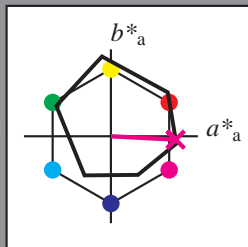
Elementar-Buntontext:

$u^* = b75r$

Kontrastreduzierungsfaktor:

$c_R = 1.0$

Dreiecks-Helligkeit t^*



ORS18_95aM; adaptierte CIELAB-Daten

	$L^*=L^*_a$	a^*_a	b^*_a	$C^*_{ab,a}$	$h^*_{ab,a}$
O _{Ma}	47.94	65.39	50.52	82.63	38
Y _{Ma}	90.37	-10.26	91.75	92.32	96
L _{Ma}	50.9	-62.83	34.96	71.91	151
C _{Ma}	58.62	-30.34	-45.01	54.3	236
V _{Ma}	25.72	31.1	-44.4	54.22	305
M _{Ma}	48.13	75.28	-8.36	75.74	354
N _{Ma}	18.01	0.0	0.0	0.0	0
W _{Ma}	95.41	0.0	0.0	0.0	0
R _{CIE}	39.92	58.74	27.99	65.07	25
J _{CIE}	81.26	-2.88	71.56	71.62	92
G _{CIE}	52.23	-42.41	13.6	44.55	162
B _{CIE}	30.57	1.41	-46.46	46.49	272

Daten für Maximalfarbe (Ma):

$LAB^*LAB^*Ma: 48\ 75\ -3$

$LAB^*LCH^*Ma: 48\ 75\ 357$

$lab^*rgb^*Ma: 1.0\ 0.0\ 0.5$

$lab^*olv^*Ma: 1.0\ 0.0\ 0.92$

ORS18_95aM; adaptierte CIELAB-Daten

	$L^*=L^*_a$	a^*_a	b^*_a	$C^*_{ab,a}$	$h^*_{ab,a}$
r00j	48.0	68.4	32.59	75.77	25
r25j	51.32	59.36	53.8	80.11	42
r50j	62.67	39.12	64.83	75.72	59
r75j	73.73	19.4	75.58	78.03	76
j00g	86.61	-3.55	88.09	88.17	92
j25g	78.07	-26.64	74.05	78.7	110
j50g	65.83	-42.94	56.44	70.93	127
j75g	54.87	-57.53	40.67	70.47	145
g00b	52.54	-55.91	17.93	58.72	162
g25b	55.02	-45.5	-7.69	46.16	190
g50b	56.98	-37.23	-28.04	46.62	217
g75b	53.92	-21.56	-44.93	49.84	244
b00r	41.64	1.36	-44.7	44.73	272
b25r	28.53	25.85	-44.45	51.43	300
b50r	34.77	48.93	-29.85	57.32	329
b75r	48.12	74.52	-3.84	74.62	357

Dreiecks-Helligkeit t^*

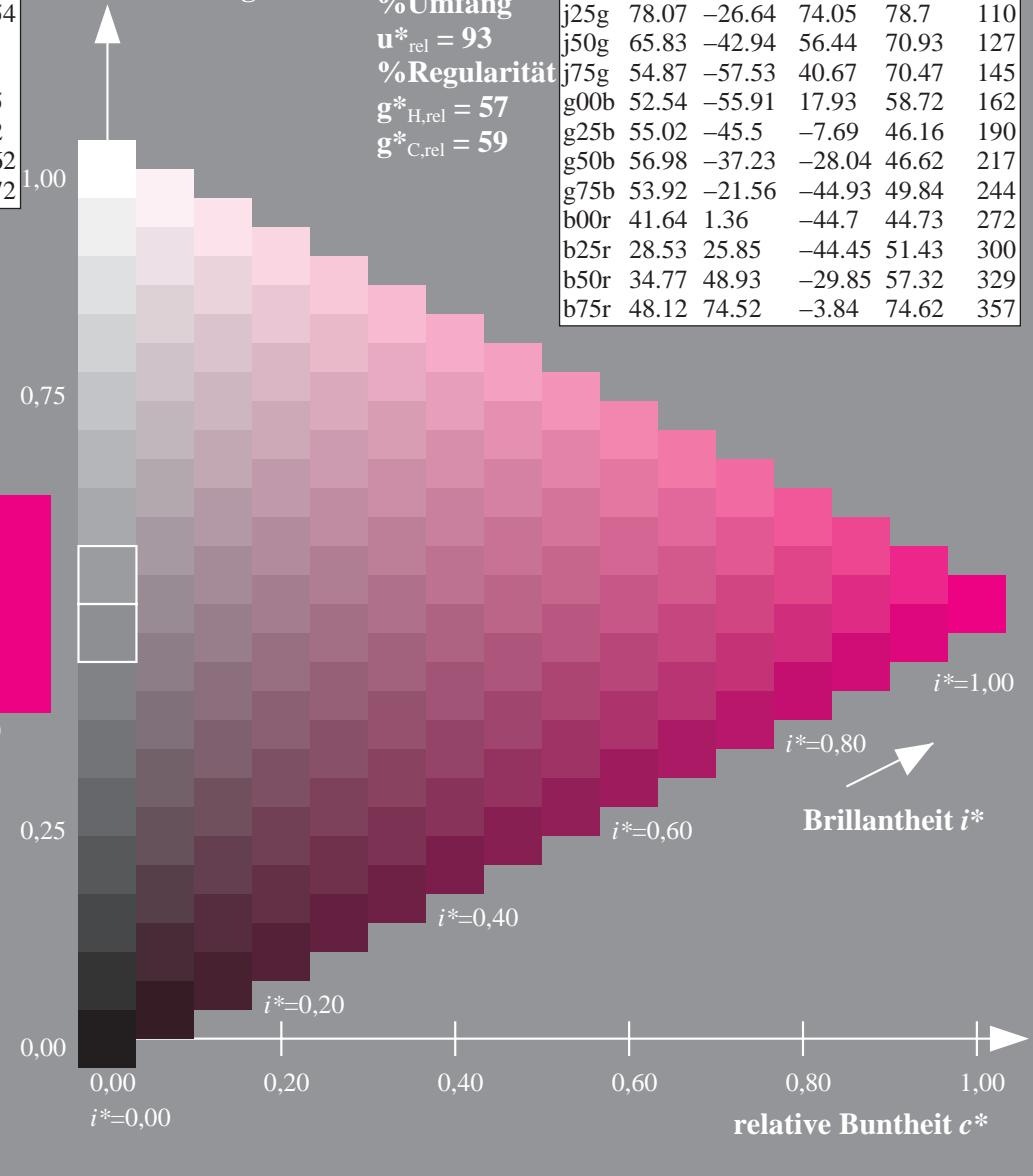
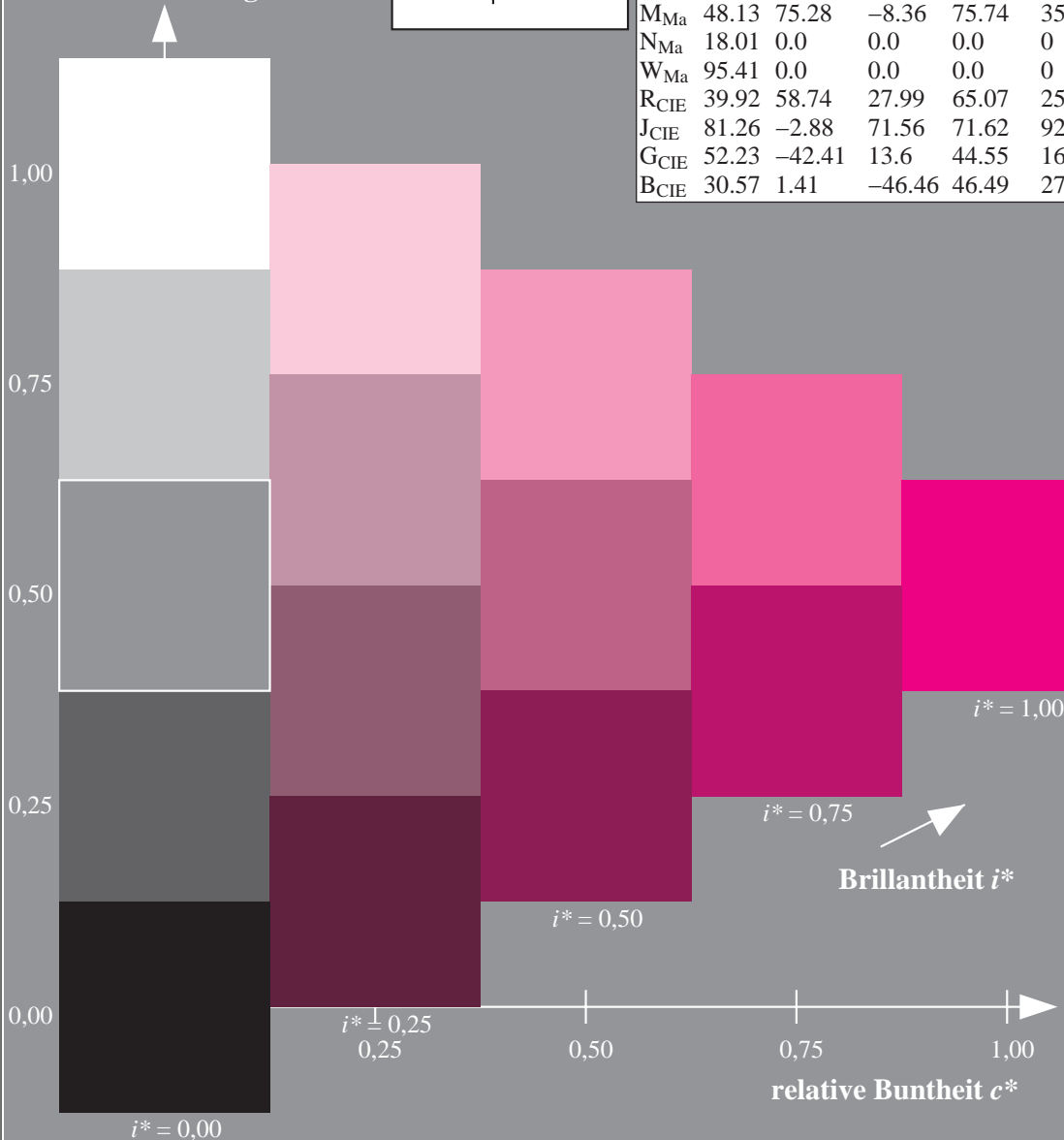
%Umfang

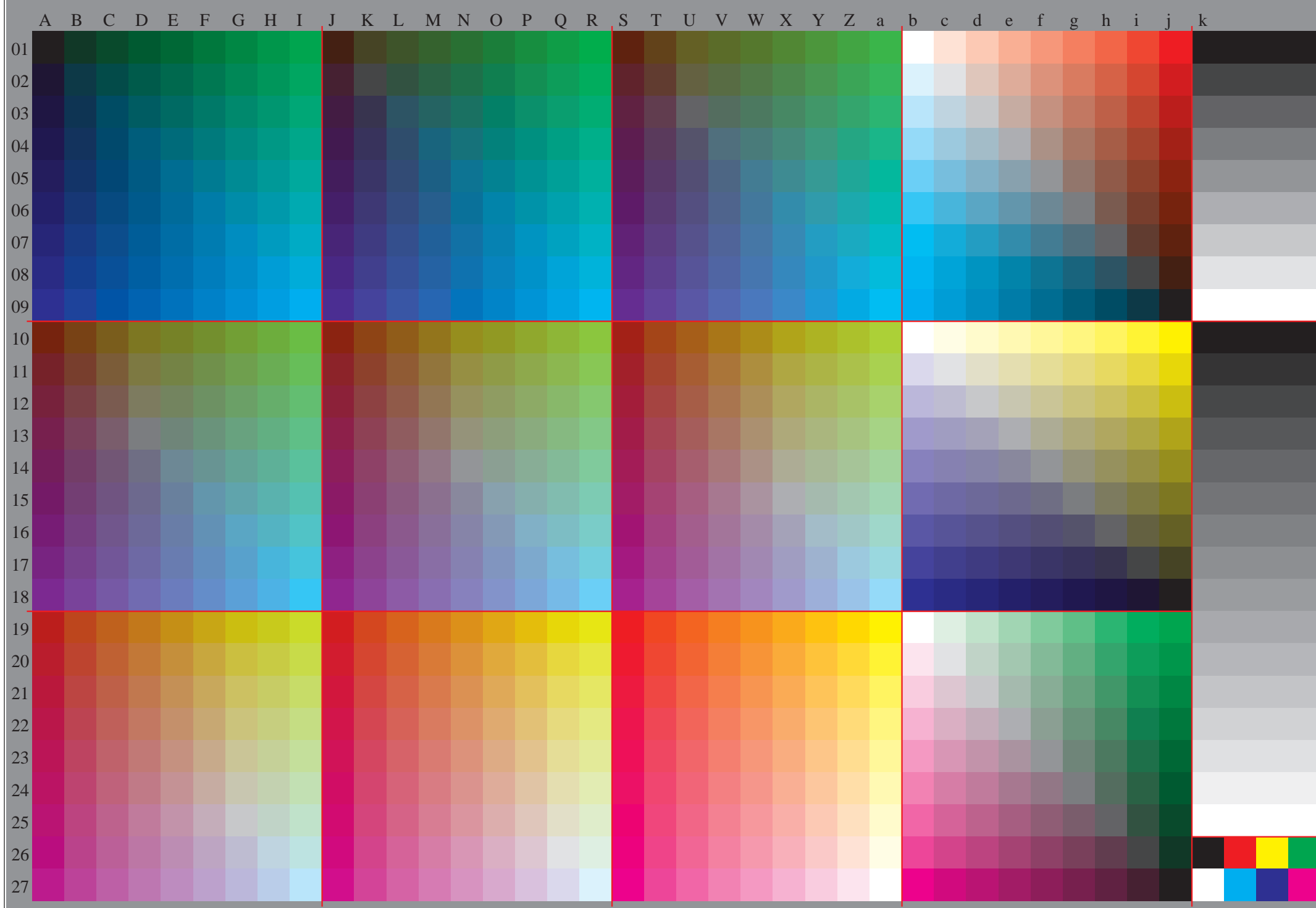
$u^*_{rel} = 93$

%Regularität

$g^*_{H,rel} = 57$

$g^*_{C,rel} = 59$





Ein und Ausgabe:
Farbmetrisches Drucker-Reflektiv-System ORS18_95aM

Daten für jede Farbe:
 $lab^*_{tch^*}$ und $lab^*_{icu^*}$

Elementar-Bunttontext:

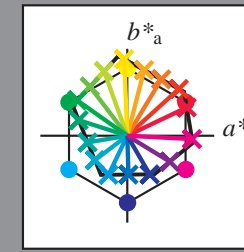
$u^* = 16$ Buntttöne $r00j, r25j, \dots, b75r$

Kontrastreduzierungsfaktor:

$c_R = 1.0$

ORS18_95aM; adaptierte CIELAB-Daten

	$L^*=L^*_a$	a^*_a	b^*_a	$C^*_{ab,a}$	$h^*_{ab,a}$
r00j	48.0	68.4	32.59	75.77	25
r25j	51.32	59.36	53.8	80.11	42
r50j	62.67	39.12	64.83	75.72	59
r75j	73.73	19.4	75.58	78.03	76
j00g	86.61	-3.55	88.09	88.17	92
j25g	78.07	-26.64	74.05	78.7	110
j50g	65.83	-42.94	56.44	70.93	127
j75g	54.87	-57.53	40.67	70.47	145
g00b	52.54	-55.91	17.93	58.72	162
g25b	55.02	-45.5	-7.69	46.16	190
g50b	56.98	-37.23	-28.04	46.62	217
g75b	53.92	-21.56	-44.93	49.84	244
b00r	41.64	1.36	-44.7	44.73	272
b25r	28.53	25.85	-44.45	51.43	300
b50r	34.77	48.93	-29.85	57.32	329
b75r	48.12	74.52	-3.84	74.62	357



%Umfang

$u^*_{rel} = 93$

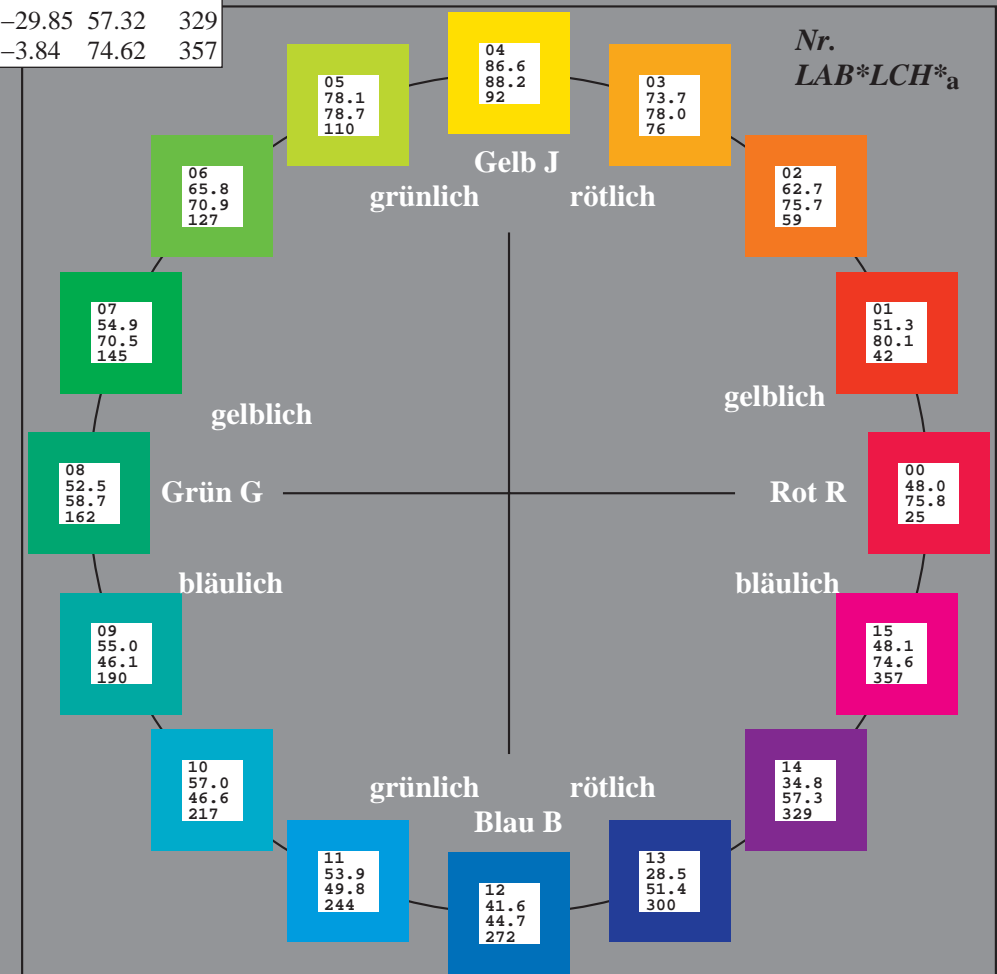
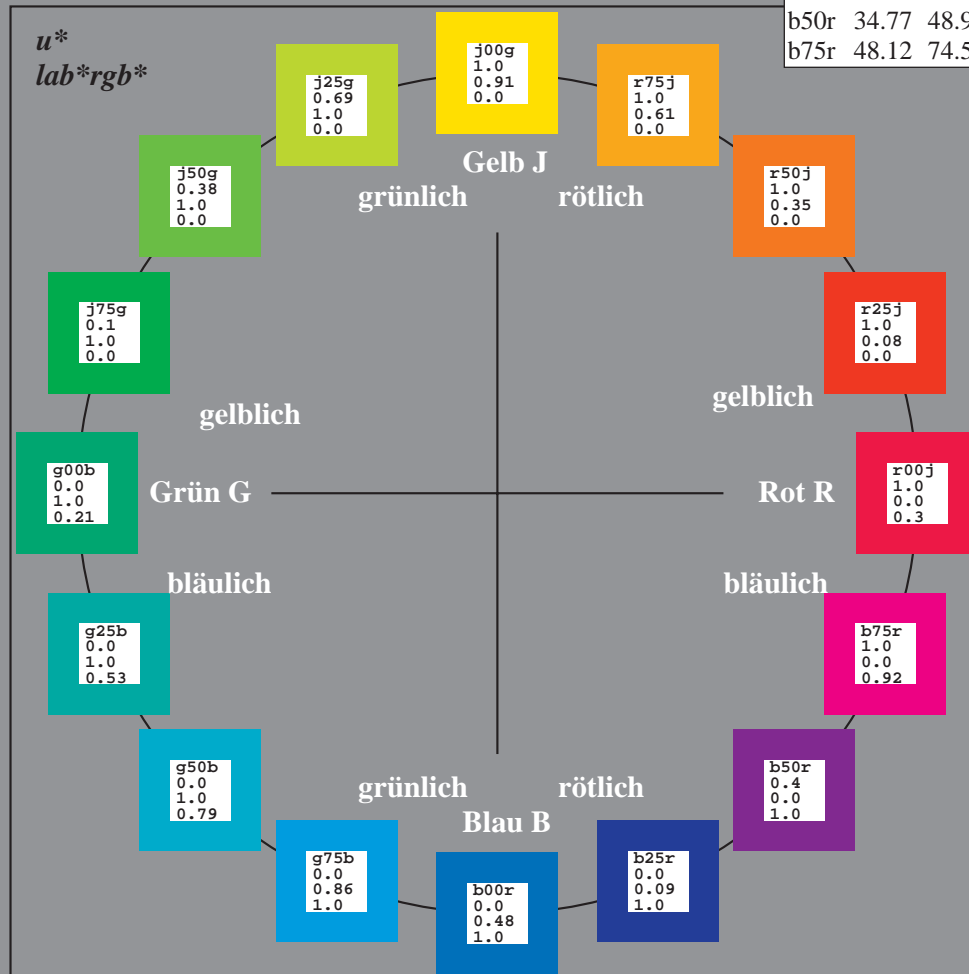
%Regularität

$g^*_{H,rel} = 57$

$g^*_{C,rel} = 59$

ORS18_95aM; adaptierte CIELAB-Daten

	$L^*=L^*_a$	a^*_a	b^*_a	$C^*_{ab,a}$	$h^*_{ab,a}$
O _{Ma}	47.94	65.39	50.52	82.63	38
Y _{Ma}	90.37	-10.26	91.75	92.32	96
L _{Ma}	50.9	-62.83	34.96	71.91	151
C _{Ma}	58.62	-30.34	-45.01	54.3	236
V _{Ma}	25.72	31.1	-44.4	54.22	305
M _{Ma}	48.13	75.28	-8.36	75.74	354
N _{Ma}	18.01	0.0	0.0	0.0	0
W _{Ma}	95.41	0.0	0.0	0.0	0
R _{CIE}	39.92	58.74	27.99	65.07	25
J _{CIE}	81.26	-2.88	71.56	71.62	92
G _{CIE}	52.23	-42.41	13.6	44.55	162
B _{CIE}	30.57	1.41	-46.46	46.49	272



Daten für jede Farbe:

lab^*ch^* und lab^*icu^*

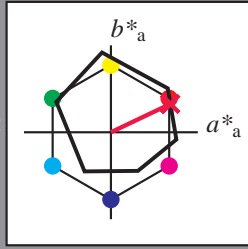
Elementar-Buntontext:

$u^* = r00j$

Kontrastreduzierungsfaktor:

$c_R = 1.0$

Dreiecks-Helligkeit t^*



ORS18_95aM; adaptierte CIELAB-Daten

	$L^*=L^*_a$	a^*_a	b^*_a	$C^*_{ab,a}$	$h^*_{ab,a}$
O _{Ma}	47.94	65.39	50.52	82.63	38
Y _{Ma}	90.37	-10.26	91.75	92.32	96
L _{Ma}	50.9	-62.83	34.96	71.91	151
C _{Ma}	58.62	-30.34	-45.01	54.3	236
V _{Ma}	25.72	31.1	-44.4	54.22	305
M _{Ma}	48.13	75.28	-8.36	75.74	354
N _{Ma}	18.01	0.0	0.0	0.0	0
W _{Ma}	95.41	0.0	0.0	0.0	0
R _{CIE}	39.92	58.74	27.99	65.07	25
J _{CIE}	81.26	-2.88	71.56	71.62	92
G _{CIE}	52.23	-42.41	13.6	44.55	162
B _{CIE}	30.57	1.41	-46.46	46.49	272

Daten für Maximalfarbe (Ma):

LAB*LAB*Ma: 48 68 33

LAB*LCH*Ma: 48 76 25

lab*rgb*Ma: 1.0 0.0 0.0

lab*olv*Ma: 1.0 0.0 0.3

ORS18_95aM; adaptierte CIELAB-Daten

	$L^*=L^*_a$	a^*_a	b^*_a	$C^*_{ab,a}$	$h^*_{ab,a}$
r00j	48.0	68.4	32.59	75.77	25
r25j	51.32	59.36	53.8	80.11	42
r50j	62.67	39.12	64.83	75.72	59
r75j	73.73	19.4	75.58	78.03	76
j00g	86.61	-3.55	88.09	88.17	92
j25g	78.07	-26.64	74.05	78.7	110
j50g	65.83	-42.94	56.44	70.93	127
j75g	54.87	-57.53	40.67	70.47	145
g00b	52.54	-55.91	17.93	58.72	162
g25b	55.02	-45.5	-7.69	46.16	190
g50b	56.98	-37.23	-28.04	46.62	217
g75b	53.92	-21.56	-44.93	49.84	244
b00r	41.64	1.36	-44.7	44.73	272
b25r	28.53	25.85	-44.45	51.43	300
b50r	34.77	48.93	-29.85	57.32	329
b75r	48.12	74.52	-3.84	74.62	357

Dreiecks-Helligkeit t^*

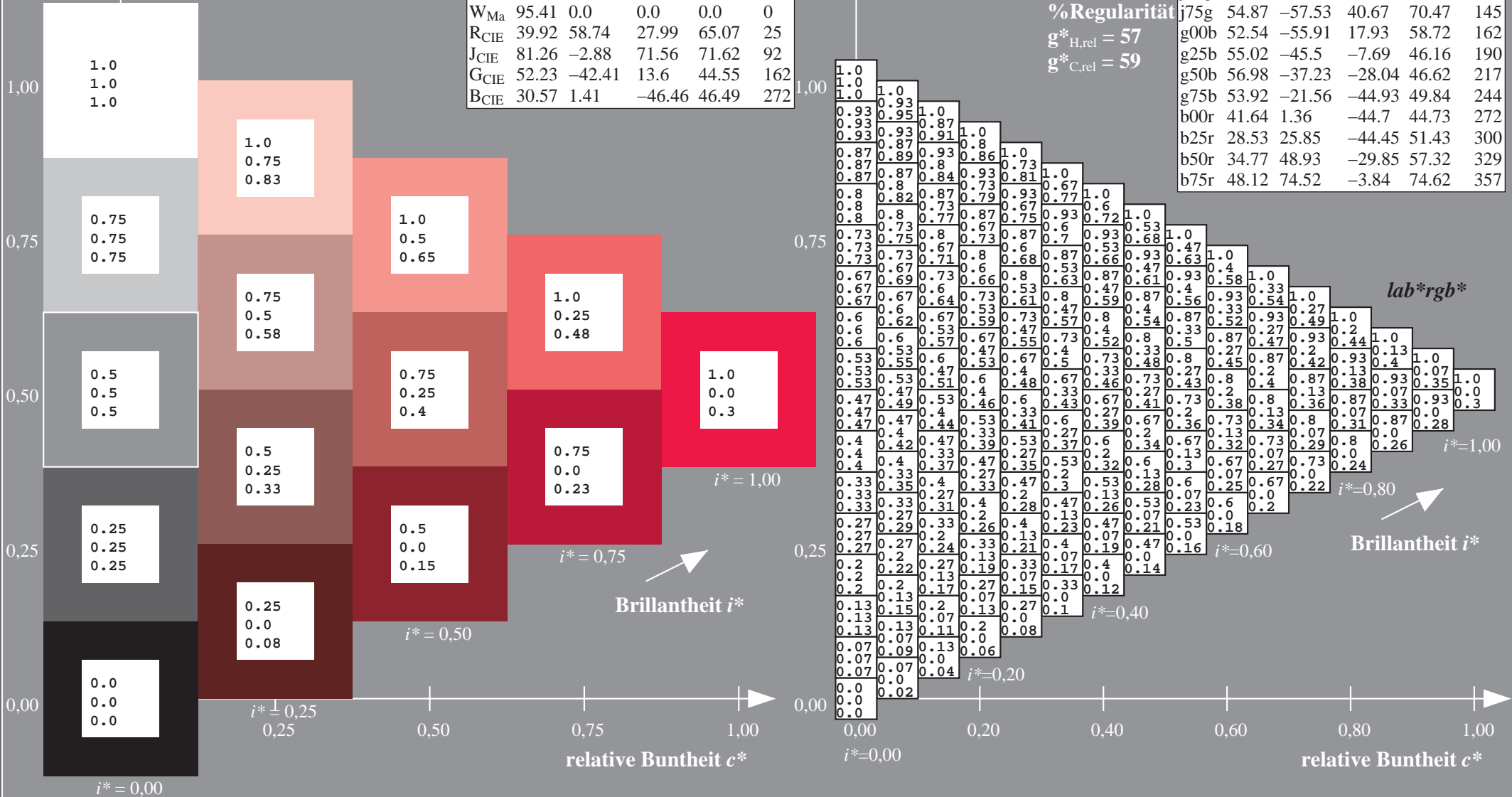
%Umfang

$u^*_{rel} = 93$

%Regularität

$g^*_{H,rel} = 57$

$g^*_{C,rel} = 59$



Daten für jede Farbe:

lab^*ch^* und lab^*icu^*

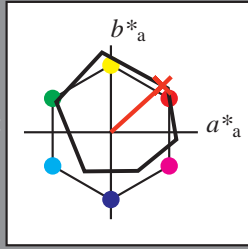
Elementar-Buntontext:

$u^* = r25j$

Kontrastreduzierungsfaktor:

$c_R = 1.0$

Dreiecks-Helligkeit t^*



ORS18_95aM; adaptierte CIELAB-Daten

	$L^*=L^*_a$	a^*_a	b^*_a	$C^*_{ab,a}$	$h^*_{ab,a}$
O _{Ma}	47.94	65.39	50.52	82.63	38
Y _{Ma}	90.37	-10.26	91.75	92.32	96
L _{Ma}	50.9	-62.83	34.96	71.91	151
C _{Ma}	58.62	-30.34	-45.01	54.3	236
V _{Ma}	25.72	31.1	-44.4	54.22	305
M _{Ma}	48.13	75.28	-8.36	75.74	354
N _{Ma}	18.01	0.0	0.0	0.0	0
W _{Ma}	95.41	0.0	0.0	0.0	0
R _{CIE}	39.92	58.74	27.99	65.07	25
J _{CIE}	81.26	-2.88	71.56	71.62	92
G _{CIE}	52.23	-42.41	13.6	44.55	162
B _{CIE}	30.57	1.41	-46.46	46.49	272

Daten für Maximalfarbe (Ma):

$LAB^*LAB^*_{Ma}$: 51 59 54

$LAB^*LCH^*_{Ma}$: 51 80 42

$lab^*rgb^*_{Ma}$: 1.0 0.25 0.0

$lab^*olv^*_{Ma}$: 1.0 0.08 0.0

ORS18_95aM; adaptierte CIELAB-Daten

	$L^*=L^*_a$	a^*_a	b^*_a	$C^*_{ab,a}$	$h^*_{ab,a}$
r00j	48.0	68.4	32.59	75.77	25
r25j	51.32	59.36	53.8	80.11	42
r50j	62.67	39.12	64.83	75.72	59
r75j	73.73	19.4	75.58	78.03	76
j00g	86.61	-3.55	88.09	88.17	92
j25g	78.07	-26.64	74.05	78.7	110
j50g	65.83	-42.94	56.44	70.93	127
j75g	54.87	-57.53	40.67	70.47	145
g00b	52.54	-55.91	17.93	58.72	162
g25b	55.02	-45.5	-7.69	46.16	190
g50b	56.98	-37.23	-28.04	46.62	217
g75b	53.92	-21.56	-44.93	49.84	244
b00r	41.64	1.36	-44.7	44.73	272
b25r	28.53	25.85	-44.45	51.43	300
b50r	34.77	48.93	-29.85	57.32	329
b75r	48.12	74.52	-3.84	74.62	357

Dreiecks-Helligkeit t^*

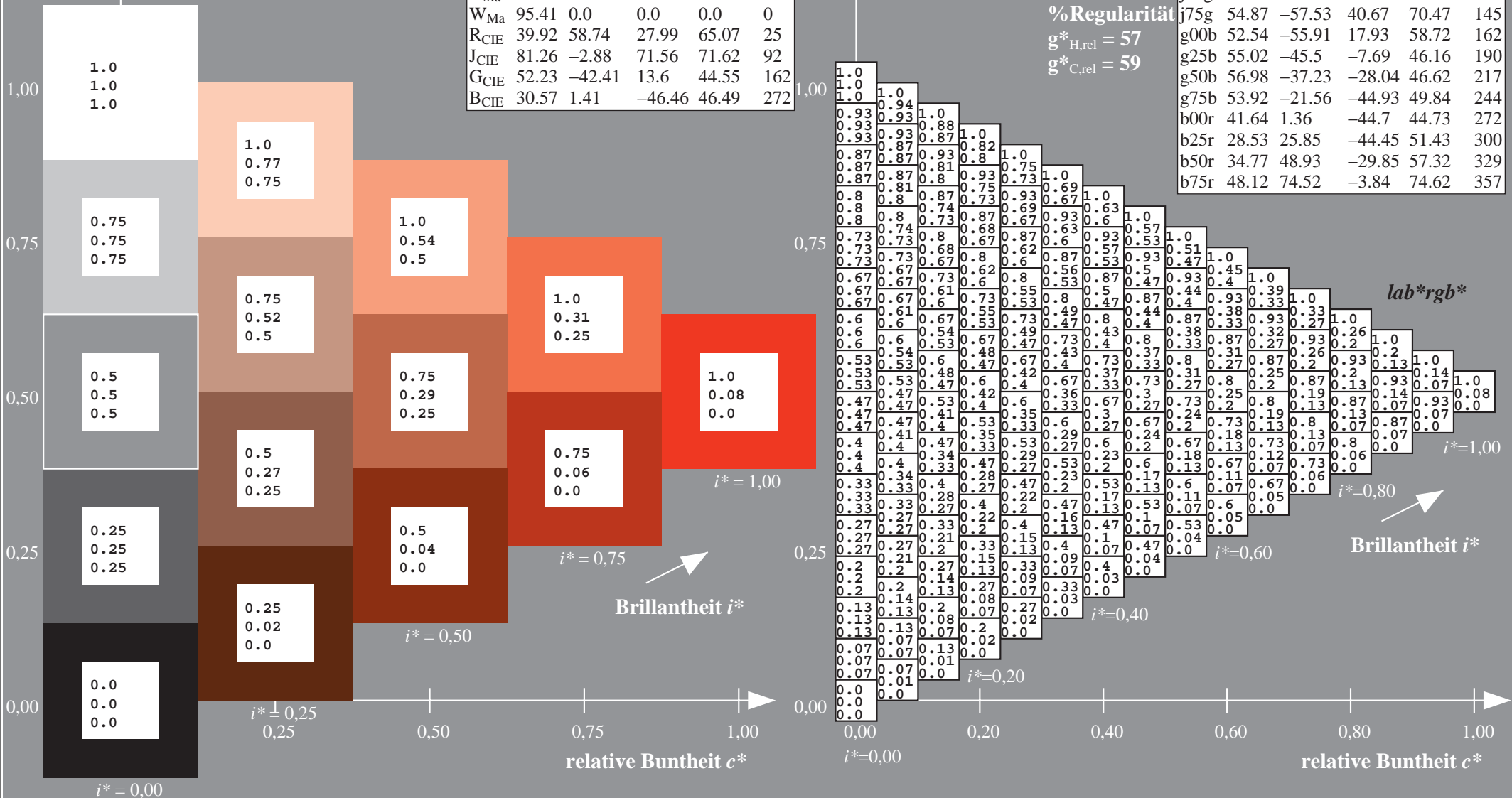
%Umfang

$u^*_{rel} = 93$

%Regularität

$g^*_{H,rel} = 57$

$g^*_{C,rel} = 59$



Daten für jede Farbe:

lab^*ch^* und lab^*icu^*

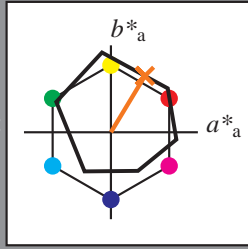
Elementar-Buntontext:

$u^* = r50j$

Kontrastreduzierungsfaktor:

$c_R = 1.0$

Dreiecks-Helligkeit t^*



ORS18_95aM; adaptierte CIELAB-Daten

	$L^*=L^*_a$	a^*_a	b^*_a	$C^*_{ab,a}$	$h^*_{ab,a}$
O _{Ma}	47.94	65.39	50.52	82.63	38
Y _{Ma}	90.37	-10.26	91.75	92.32	96
L _{Ma}	50.9	-62.83	34.96	71.91	151
C _{Ma}	58.62	-30.34	-45.01	54.3	236
V _{Ma}	25.72	31.1	-44.4	54.22	305
M _{Ma}	48.13	75.28	-8.36	75.74	354
N _{Ma}	18.01	0.0	0.0	0.0	0
W _{Ma}	95.41	0.0	0.0	0.0	0
R _{CIE}	39.92	58.74	27.99	65.07	25
J _{CIE}	81.26	-2.88	71.56	71.62	92
G _{CIE}	52.23	-42.41	13.6	44.55	162
B _{CIE}	30.57	1.41	-46.46	46.49	272

Daten für Maximalfarbe (Ma):

LAB*LAB*Ma: 63 39 65

LAB*LCH*Ma: 63 76 59

lab*rgb*Ma: 1.0 0.5 0.0

lab*olv*Ma: 1.0 0.35 0.0

ORS18_95aM; adaptierte CIELAB-Daten

	$L^*=L^*_a$	a^*_a	b^*_a	$C^*_{ab,a}$	$h^*_{ab,a}$
r00j	48.0	68.4	32.59	75.77	25
r25j	51.32	59.36	53.8	80.11	42
r50j	62.67	39.12	64.83	75.72	59
r75j	73.73	19.4	75.58	78.03	76
j00g	86.61	-3.55	88.09	88.17	92
j25g	78.07	-26.64	74.05	78.7	110
j50g	65.83	-42.94	56.44	70.93	127
j75g	54.87	-57.53	40.67	70.47	145
g00b	52.54	-55.91	17.93	58.72	162
g25b	55.02	-45.5	-7.69	46.16	190
g50b	56.98	-37.23	-28.04	46.62	217
g75b	53.92	-21.56	-44.93	49.84	244
b00r	41.64	1.36	-44.7	44.73	272
b25r	28.53	25.85	-44.45	51.43	300
b50r	34.77	48.93	-29.85	57.32	329
b75r	48.12	74.52	-3.84	74.62	357

Dreiecks-Helligkeit t^*

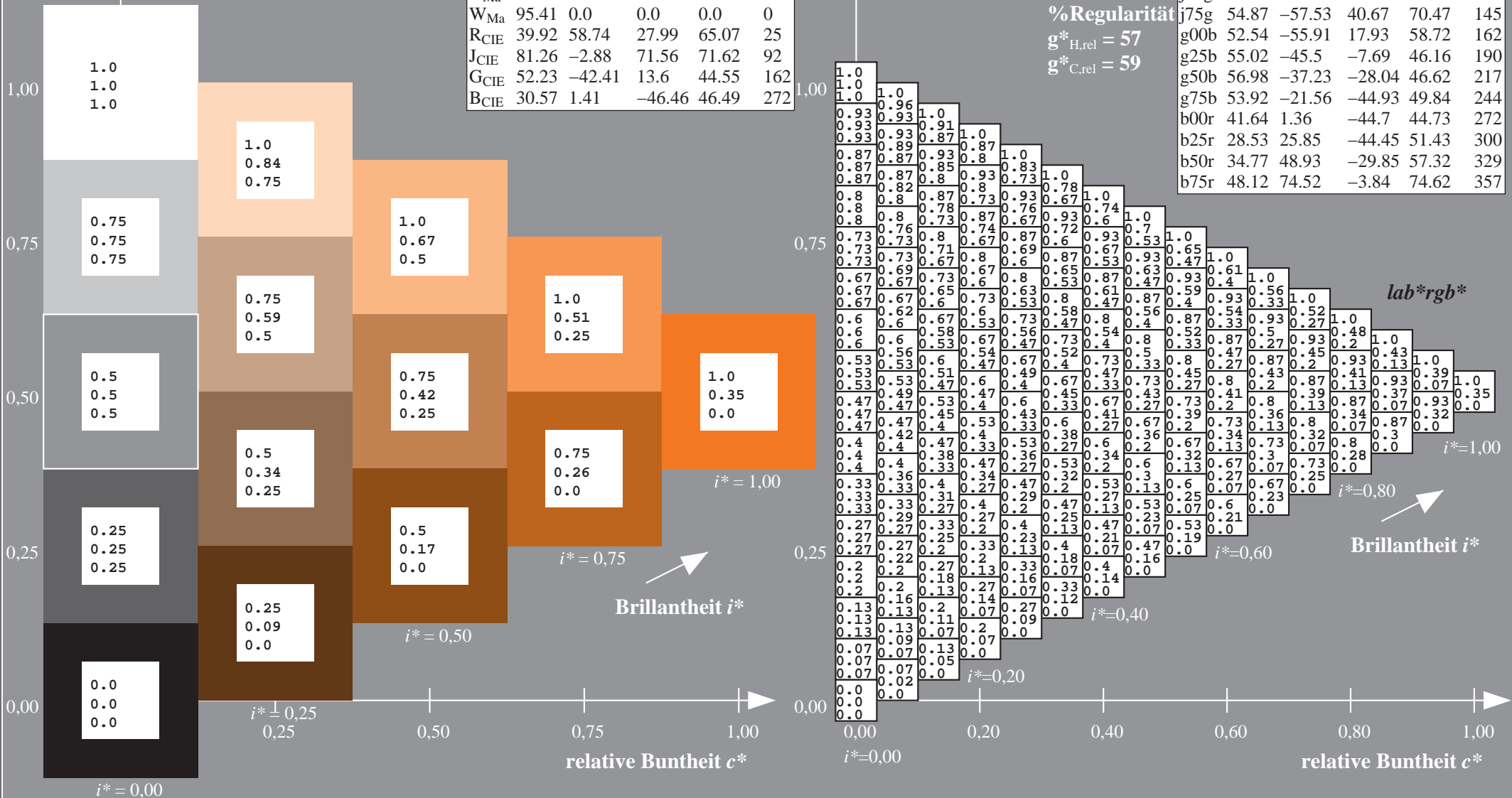
%Umfang

$u^*_{rel} = 93$

%Regularität

$g^*_{H,rel} = 57$

$g^*_{C,rel} = 59$



Daten für jede Farbe:

lab^*ch^* und lab^*icu^*

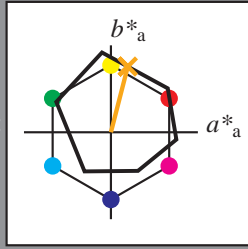
Elementar-Buntontext:

$u^* = r75j$

Kontrastreduzierungsfaktor:

$c_R = 1.0$

Dreiecks-Helligkeit t^*



ORS18_95aM; adaptierte CIELAB-Daten

	$L^*=L^*_a$	a^*_a	b^*_a	$C^*_{ab,a}$	$h^*_{ab,a}$
O _{Ma}	47.94	65.39	50.52	82.63	38
Y _{Ma}	90.37	-10.26	91.75	92.32	96
L _{Ma}	50.9	-62.83	34.96	71.91	151
C _{Ma}	58.62	-30.34	-45.01	54.3	236
V _{Ma}	25.72	31.1	-44.4	54.22	305
M _{Ma}	48.13	75.28	-8.36	75.74	354
N _{Ma}	18.01	0.0	0.0	0.0	0
W _{Ma}	95.41	0.0	0.0	0.0	0
R _{CIE}	39.92	58.74	27.99	65.07	25
J _{CIE}	81.26	-2.88	71.56	71.62	92
G _{CIE}	52.23	-42.41	13.6	44.55	162
B _{CIE}	30.57	1.41	-46.46	46.49	272

Daten für Maximalfarbe (Ma):

LAB*LAB*Ma: 74 19 76

LAB*LCH*Ma: 74 78 76

lab*rgb*Ma: 1.0 0.75 0.0

lab*olv*Ma: 1.0 0.61 0.0

Dreiecks-Helligkeit t^*

%Umfang

$u^*_{rel} = 93$

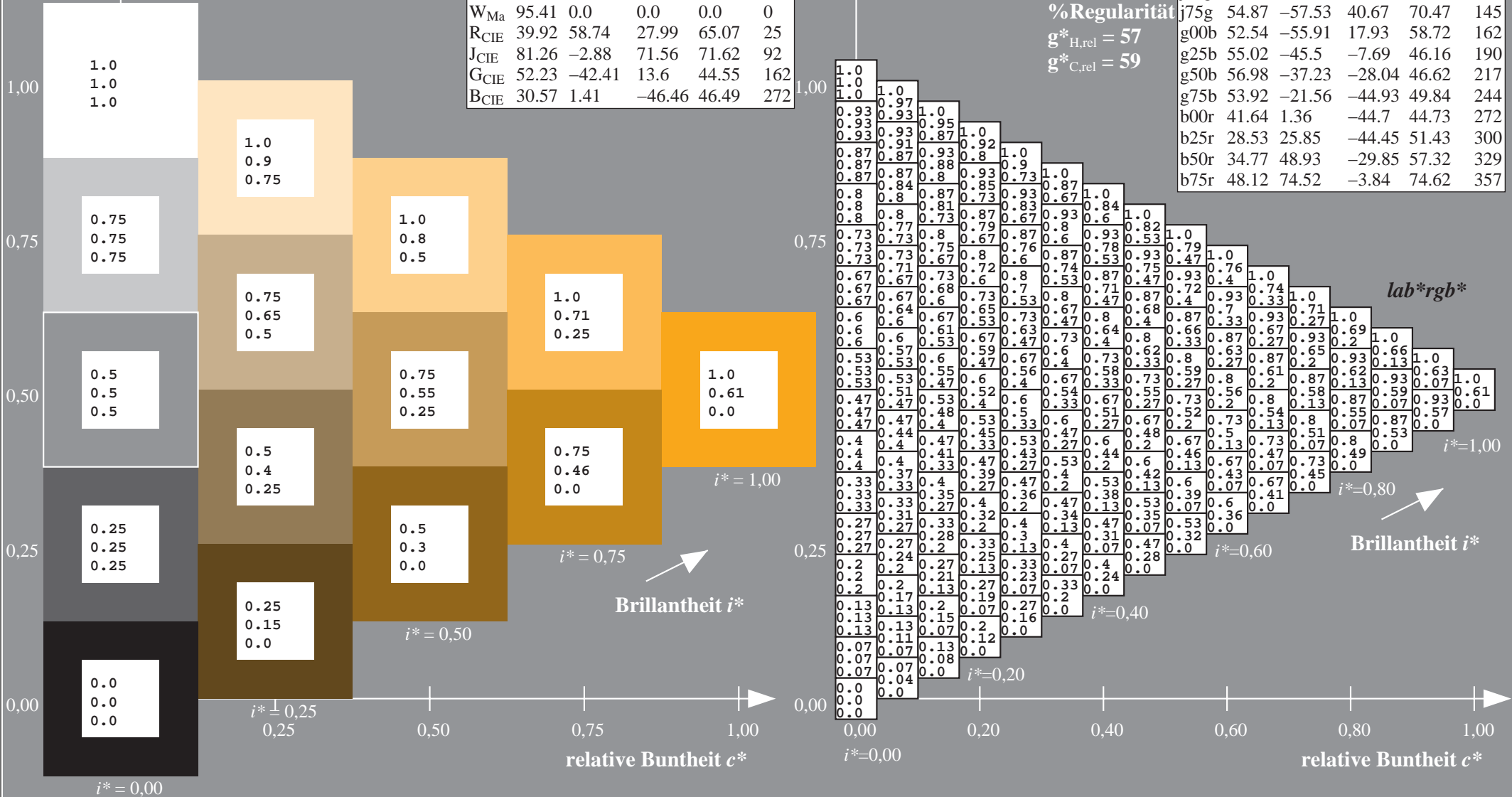
%Regularität

$g^*_{H,rel} = 57$

$g^*_{C,rel} = 59$

ORS18_95aM; adaptierte CIELAB-Daten

	$L^*=L^*_a$	a^*_a	b^*_a	$C^*_{ab,a}$	$h^*_{ab,a}$
r00j	48.0	68.4	32.59	75.77	25
r25j	51.32	59.36	53.8	80.11	42
r50j	62.67	39.12	64.83	75.72	59
r75j	73.73	19.4	75.58	78.03	76
j00g	86.61	-3.55	88.09	88.17	92
j25g	78.07	-26.64	74.05	78.7	110
j50g	65.83	-42.94	56.44	70.93	127
j75g	54.87	-57.53	40.67	70.47	145
g00b	52.54	-55.91	17.93	58.72	162
g25b	55.02	-45.5	-7.69	46.16	190
g50b	56.98	-37.23	-28.04	46.62	217
g75b	53.92	-21.56	-44.93	49.84	244
b00r	41.64	1.36	-44.7	44.73	272
b25r	28.53	25.85	-44.45	51.43	300
b50r	34.77	48.93	-29.85	57.32	329
b75r	48.12	74.52	-3.84	74.62	357



Daten für jede Farbe:

lab^*ch^* und lab^*icu^*

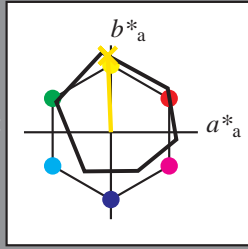
Elementar-Buntontext:

$u^* = j00g$

Kontrastreduzierungsfaktor:

$c_R = 1.0$

Dreiecks-Helligkeit t^*



ORS18_95aM; adaptierte CIELAB-Daten

	$L^*=L^*_a$	a^*_a	b^*_a	$C^*_{ab,a}$	$h^*_{ab,a}$
O _{Ma}	47.94	65.39	50.52	82.63	38
Y _{Ma}	90.37	-10.26	91.75	92.32	96
L _{Ma}	50.9	-62.83	34.96	71.91	151
C _{Ma}	58.62	-30.34	-45.01	54.3	236
V _{Ma}	25.72	31.1	-44.4	54.22	305
M _{Ma}	48.13	75.28	-8.36	75.74	354
N _{Ma}	18.01	0.0	0.0	0.0	0
W _{Ma}	95.41	0.0	0.0	0.0	0
R _{CIE}	39.92	58.74	27.99	65.07	25
J _{CIE}	81.26	-2.88	71.56	71.62	92
G _{CIE}	52.23	-42.41	13.6	44.55	162
B _{CIE}	30.57	1.41	-46.46	46.49	272

Daten für Maximalfarbe (Ma):

$LAB^*LAB^*_{Ma}$: 87 -3 88

$LAB^*LCH^*_{Ma}$: 87 88 92

$lab^*rgb^*_{Ma}$: 1.0 1.0 0.0

$lab^*olv^*_{Ma}$: 1.0 0.91 0.0

ORS18_95aM; adaptierte CIELAB-Daten

	$L^*=L^*_a$	a^*_a	b^*_a	$C^*_{ab,a}$	$h^*_{ab,a}$
r00j	48.0	68.4	32.59	75.77	25
r25j	51.32	59.36	53.8	80.11	42
r50j	62.67	39.12	64.83	75.72	59
r75j	73.73	19.4	75.58	78.03	76
j00g	86.61	-3.55	88.09	88.17	92
j25g	78.07	-26.64	74.05	78.7	110
j50g	65.83	-42.94	56.44	70.93	127
j75g	54.87	-57.53	40.67	70.47	145
g00b	52.54	-55.91	17.93	58.72	162
g25b	55.02	-45.5	-7.69	46.16	190
g50b	56.98	-37.23	-28.04	46.62	217
g75b	53.92	-21.56	-44.93	49.84	244
b00r	41.64	1.36	-44.7	44.73	272
b25r	28.53	25.85	-44.45	51.43	300
b50r	34.77	48.93	-29.85	57.32	329
b75r	48.12	74.52	-3.84	74.62	357

Dreiecks-Helligkeit t^*

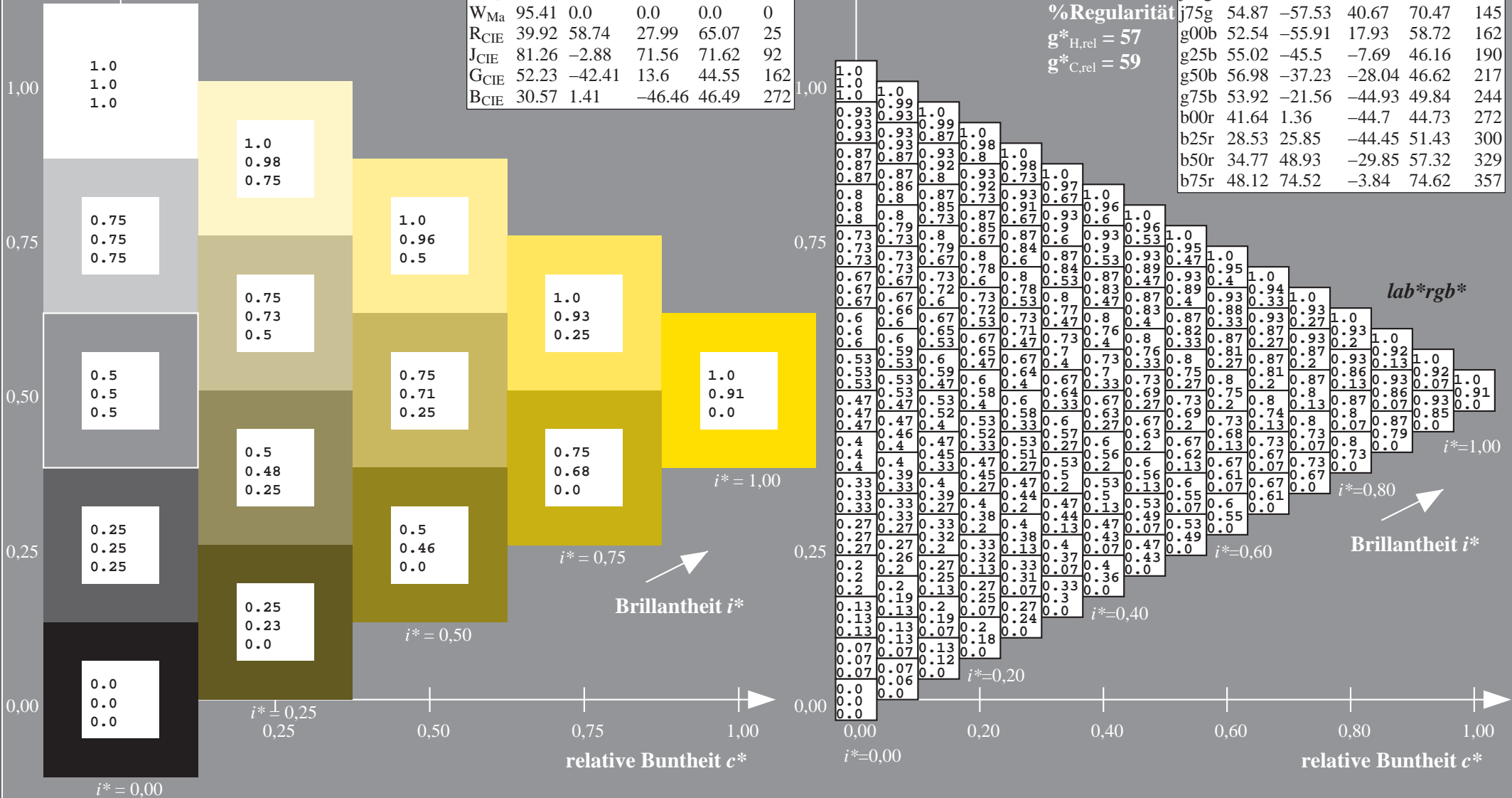
%Umfang

$u^*_{rel} = 93$

%Regularität

$g^*_{H,rel} = 57$

$g^*_{C,rel} = 59$



Ein und Ausgabe: Farbmetrisches Drucker-Reflektiv-System ORS18_95aM für relative CIELAB-Bunton $h^* = lab^*h^* = h_{ab}/360 = 110/360 = 0.305$ $u^* = j25g$

Daten für jede Farbe:

lab^*ch^* und lab^*icu^*

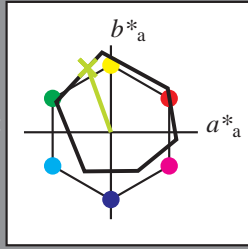
Elementar-Buntonkontext:

$u^* = j25g$

Kontrastreduzierungsfaktor:

$c_R = 1.0$

Dreiecks-Helligkeit t^*



ORS18_95aM; adaptierte CIELAB-Daten

	$L^*=L^*_a$	a^*_a	b^*_a	$C^*_{ab,a}$	$h^*_{ab,a}$
O _{Ma}	47.94	65.39	50.52	82.63	38
Y _{Ma}	90.37	-10.26	91.75	92.32	96
L _{Ma}	50.9	-62.83	34.96	71.91	151
C _{Ma}	58.62	-30.34	-45.01	54.3	236
V _{Ma}	25.72	31.1	-44.4	54.22	305
M _{Ma}	48.13	75.28	-8.36	75.74	354
N _{Ma}	18.01	0.0	0.0	0.0	0
W _{Ma}	95.41	0.0	0.0	0.0	0
R _{CIE}	39.92	58.74	27.99	65.07	25
J _{CIE}	81.26	-2.88	71.56	71.62	92
G _{CIE}	52.23	-42.41	13.6	44.55	162
B _{CIE}	30.57	1.41	-46.46	46.49	272

Daten für Maximalfarbe (Ma):

$LAB^*LAB^*_{Ma}$: 78 -26 74

$LAB^*LCH^*_{Ma}$: 78 79 110

$lab^*rgb^*_{Ma}$: 0.75 1.0 0.0

$lab^*olv^*_{Ma}$: 0.69 1.0 0.0

Dreiecks-Helligkeit t^*

%Umfang

$u^*_{rel} = 93$

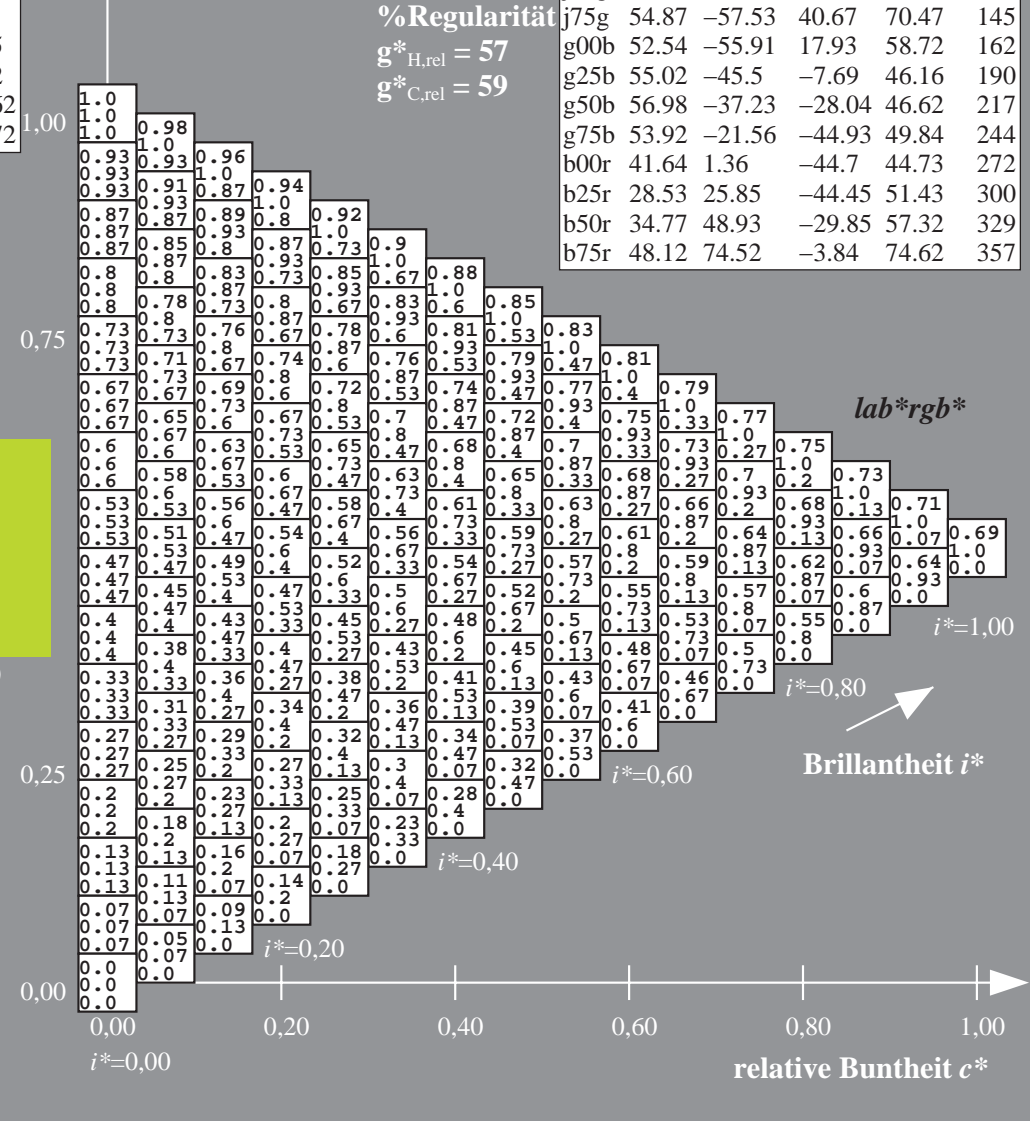
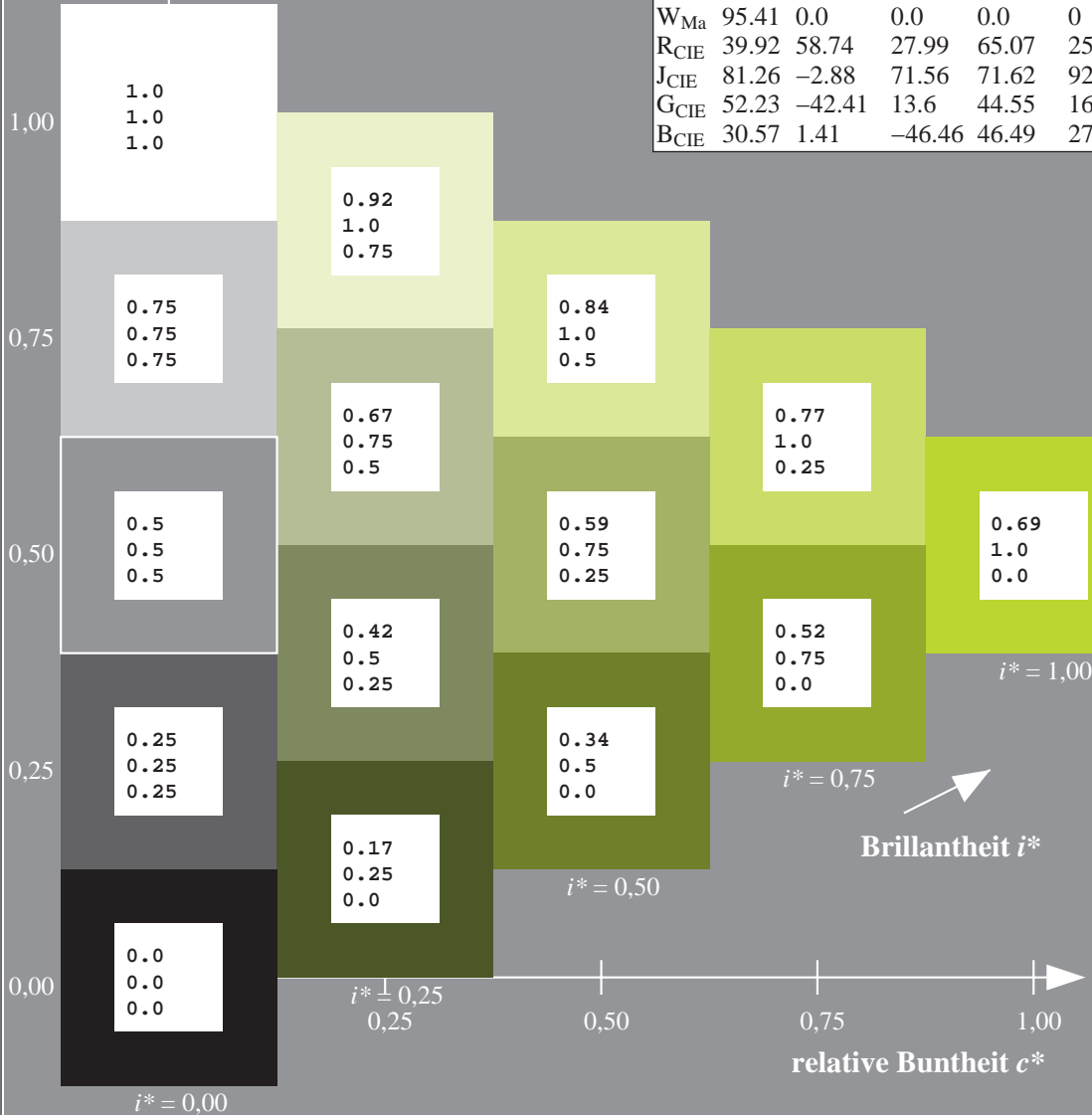
%Regularität

$g^*_{H,rel} = 57$

$g^*_{C,rel} = 59$

ORS18_95aM; adaptierte CIELAB-Daten

	$L^*=L^*_a$	a^*_a	b^*_a	$C^*_{ab,a}$	$h^*_{ab,a}$
r00j	48.0	68.4	32.59	75.77	25
r25j	51.32	59.36	53.8	80.11	42
r50j	62.67	39.12	64.83	75.72	59
r75j	73.73	19.4	75.58	78.03	76
j00g	86.61	-3.55	88.09	88.17	92
j25g	78.07	-26.64	74.05	78.7	110
j50g	65.83	-42.94	56.44	70.93	127
j75g	54.87	-57.53	40.67	70.47	145
g00b	52.54	-55.91	17.93	58.72	162
g25b	55.02	-45.5	-7.69	46.16	190
g50b	56.98	-37.23	-28.04	46.62	217
g75b	53.92	-21.56	-44.93	49.84	244
b00r	41.64	1.36	-44.7	44.73	272
b25r	28.53	25.85	-44.45	51.43	300
b50r	34.77	48.93	-29.85	57.32	329
b75r	48.12	74.52	-3.84	74.62	357



Daten für jede Farbe:

lab^*ch^* und lab^*icu^*

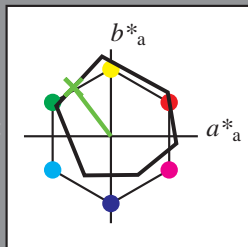
Elementar-Buntontext:

$u^* = j50g$

Kontrastreduzierungsfaktor:

$c_R = 1.0$

Dreiecks-Helligkeit t^*



ORS18_95aM; adaptierte CIELAB-Daten

	$L^*=L^*_a$	a^*_a	b^*_a	$C^*_{ab,a}$	$h^*_{ab,a}$
O _{Ma}	47.94	65.39	50.52	82.63	38
Y _{Ma}	90.37	-10.26	91.75	92.32	96
L _{Ma}	50.9	-62.83	34.96	71.91	151
C _{Ma}	58.62	-30.34	-45.01	54.3	236
V _{Ma}	25.72	31.1	-44.4	54.22	305
M _{Ma}	48.13	75.28	-8.36	75.74	354
N _{Ma}	18.01	0.0	0.0	0.0	0
W _{Ma}	95.41	0.0	0.0	0.0	0
R _{CIE}	39.92	58.74	27.99	65.07	25
J _{CIE}	81.26	-2.88	71.56	71.62	92
G _{CIE}	52.23	-42.41	13.6	44.55	162
B _{CIE}	30.57	1.41	-46.46	46.49	272

Daten für Maximalfarbe (Ma):

$LAB^*LAB^*Ma: 66 -42 56$

$LAB^*LCH^*Ma: 66 71 127$

$lab^*rgb^*Ma: 0.5 1.0 0.0$

$lab^*olv^*Ma: 0.38 1.0 0.0$

Dreiecks-Helligkeit t^*

%Umfang

$u^*_{rel} = 93$

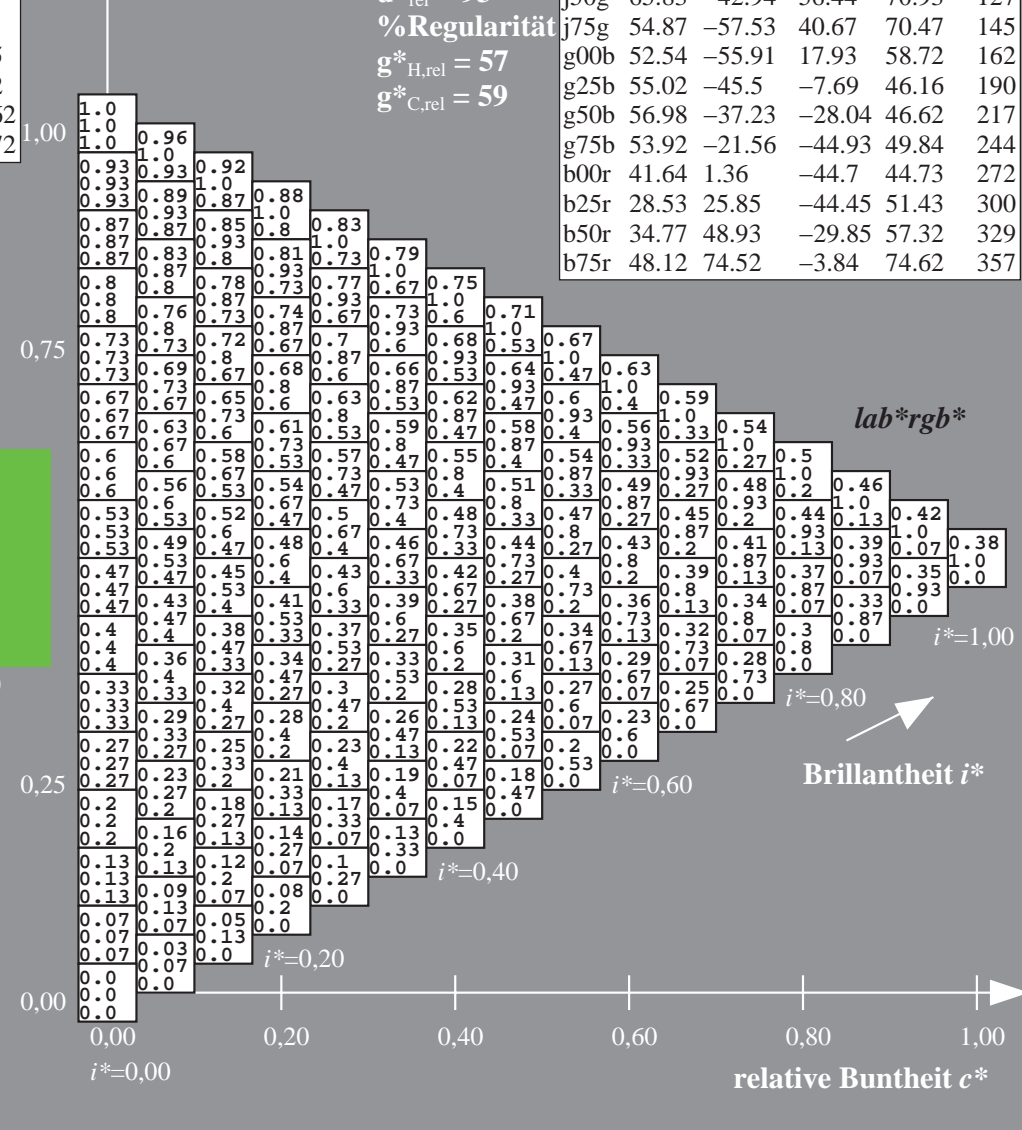
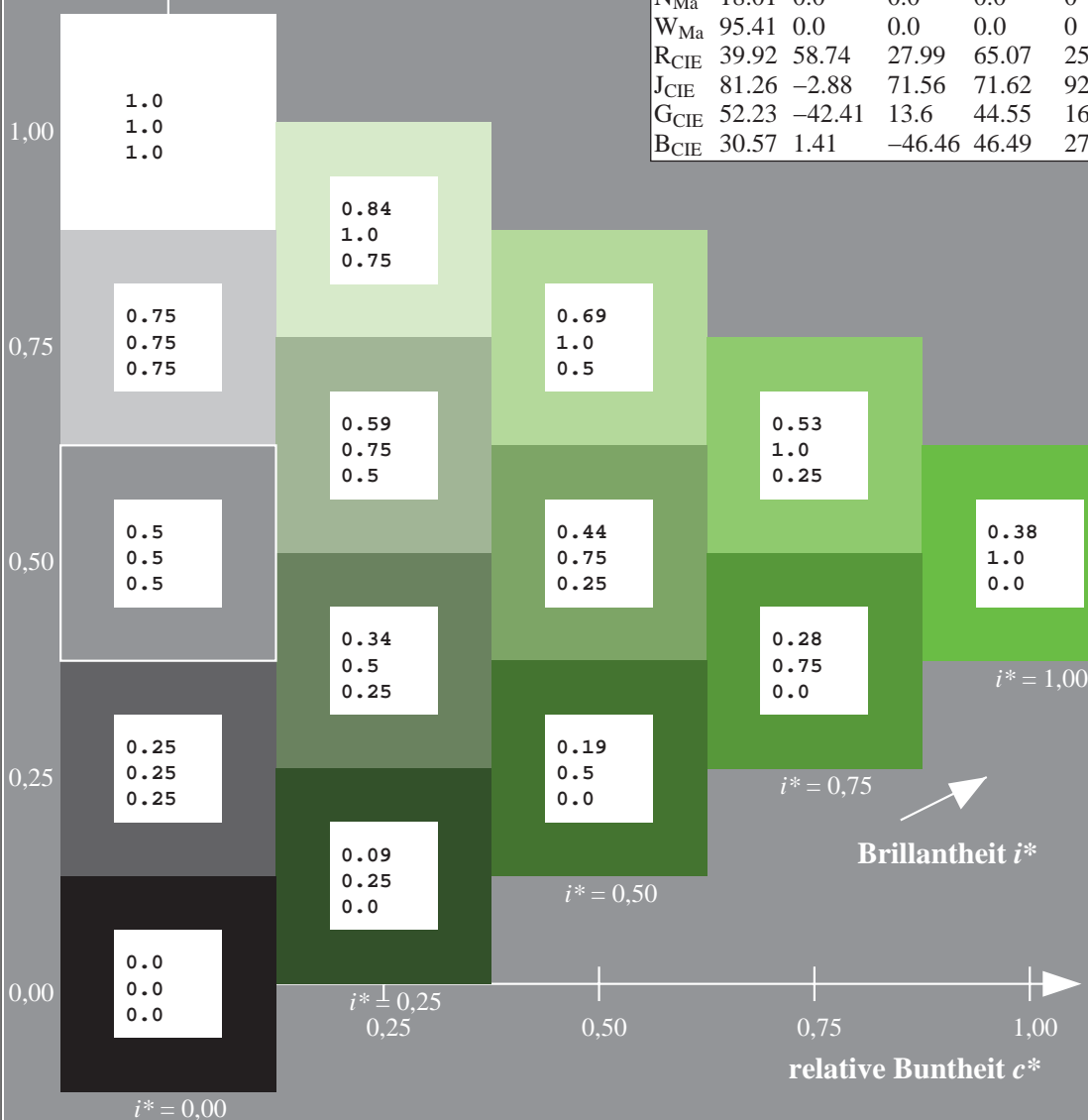
%Regularität

$g^*_{H,rel} = 57$

$g^*_{C,rel} = 59$

ORS18_95aM; adaptierte CIELAB-Daten

	$L^*=L^*_a$	a^*_a	b^*_a	$C^*_{ab,a}$	$h^*_{ab,a}$
r00j	48.0	68.4	32.59	75.77	25
r25j	51.32	59.36	53.8	80.11	42
r50j	62.67	39.12	64.83	75.72	59
r75j	73.73	19.4	75.58	78.03	76
j00g	86.61	-3.55	88.09	88.17	92
j25g	78.07	-26.64	74.05	78.7	110
j50g	65.83	-42.94	56.44	70.93	127
j75g	54.87	-57.53	40.67	70.47	145
g00b	52.54	-55.91	17.93	58.72	162
g25b	55.02	-45.5	-7.69	46.16	190
g50b	56.98	-37.23	-28.04	46.62	217
g75b	53.92	-21.56	-44.93	49.84	244
b00r	41.64	1.36	-44.7	44.73	272
b25r	28.53	25.85	-44.45	51.43	300
b50r	34.77	48.93	-29.85	57.32	329
b75r	48.12	74.52	-3.84	74.62	357



Ein und Ausgabe: Farbmetrisches Drucker-Reflektiv-System ORS18_95aM für relativen CIELAB-Bunton $h^* = lab^*h^* = h_{ab}/360 = 145/360 = 0.402 u^* = j75g$

Daten für jede Farbe:

lab^*ch^* und lab^*icu^*

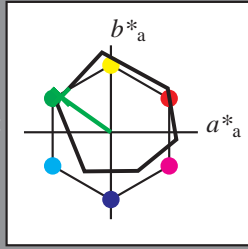
Elementar-Buntontext:

$u^* = j75g$

Kontrastreduzierungsfaktor:

$c_R = 1.0$

Dreiecks-Helligkeit t^*



ORS18_95aM; adaptierte CIELAB-Daten

	$L^*=L^*_a$	a^*_a	b^*_a	$C^*_{ab,a}$	$h^*_{ab,a}$
O _{Ma}	47.94	65.39	50.52	82.63	38
Y _{Ma}	90.37	-10.26	91.75	92.32	96
L _{Ma}	50.9	-62.83	34.96	71.91	151
C _{Ma}	58.62	-30.34	-45.01	54.3	236
V _{Ma}	25.72	31.1	-44.4	54.22	305
M _{Ma}	48.13	75.28	-8.36	75.74	354
N _{Ma}	18.01	0.0	0.0	0.0	0
W _{Ma}	95.41	0.0	0.0	0.0	0
R _{CIE}	39.92	58.74	27.99	65.07	25
J _{CIE}	81.26	-2.88	71.56	71.62	92
G _{CIE}	52.23	-42.41	13.6	44.55	162
B _{CIE}	30.57	1.41	-46.46	46.49	272

Daten für Maximalfarbe (Ma):

$LAB^*LAB^*_{Ma}$: 55 -57 41

$LAB^*LCH^*_{Ma}$: 55 70 145

$lab^*rgb^*_{Ma}$: 0.25 1.0 0.0

$lab^*olv^*_{Ma}$: 0.1 1.0 0.0

Dreiecks-Helligkeit t^*

%Umfang

$u^*_{rel} = 93$

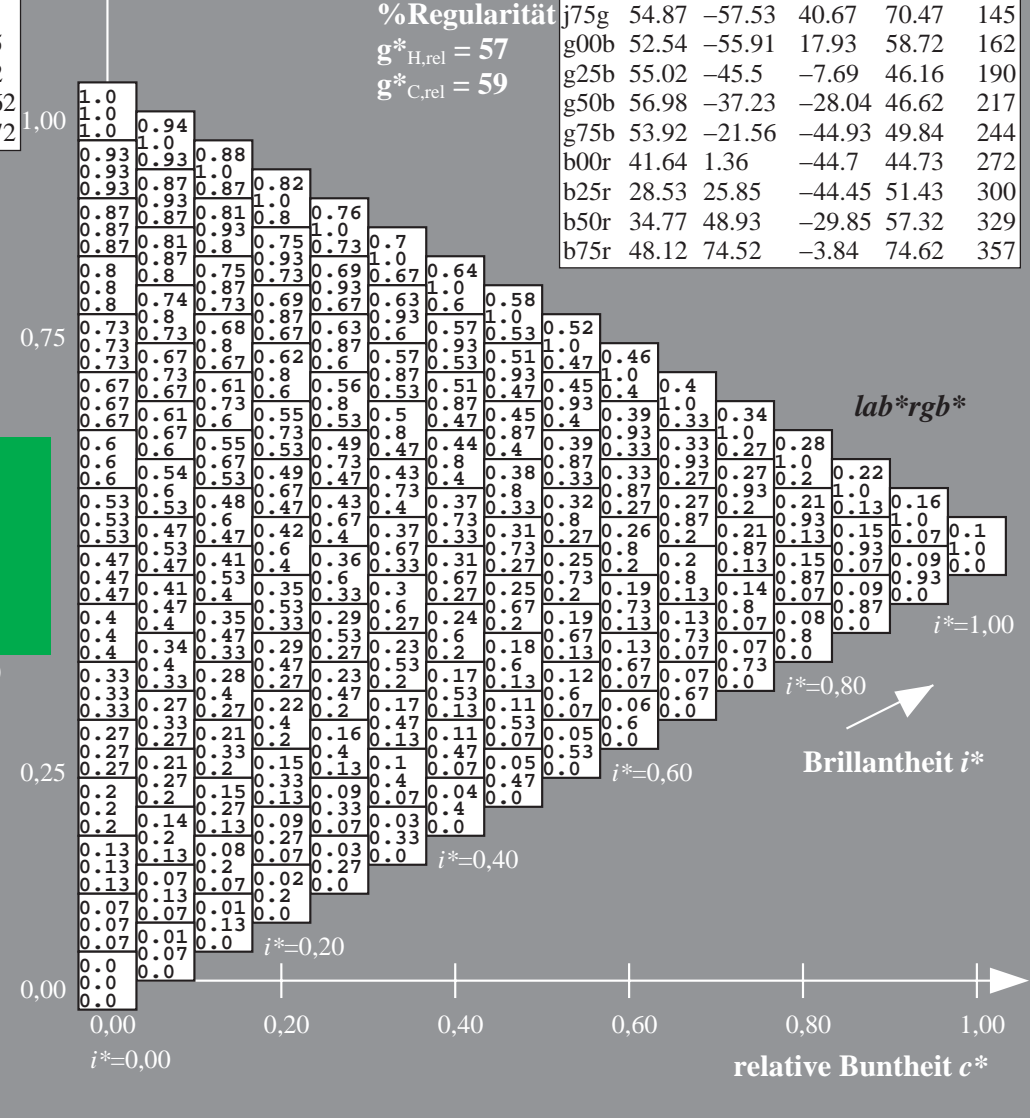
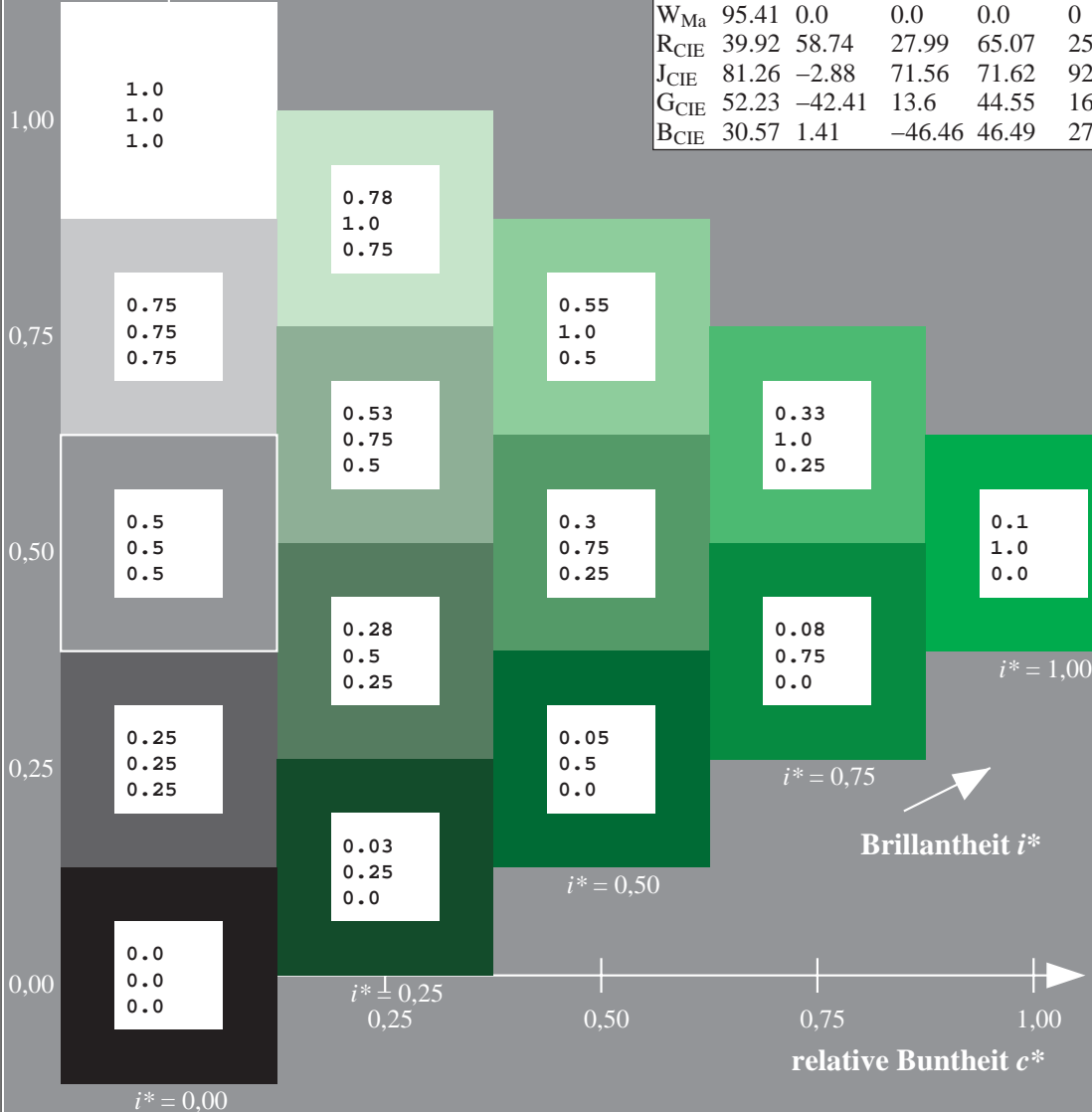
%Regularität

$g^*_{H,rel} = 57$

$g^*_{C,rel} = 59$

ORS18_95aM; adaptierte CIELAB-Daten

	$L^*=L^*_a$	a^*_a	b^*_a	$C^*_{ab,a}$	$h^*_{ab,a}$
r00j	48.0	68.4	32.59	75.77	25
r25j	51.32	59.36	53.8	80.11	42
r50j	62.67	39.12	64.83	75.72	59
r75j	73.73	19.4	75.58	78.03	76
j00g	86.61	-3.55	88.09	88.17	92
j25g	78.07	-26.64	74.05	78.7	110
j50g	65.83	-42.94	56.44	70.93	127
j75g	54.87	-57.53	40.67	70.47	145
g00b	52.54	-55.91	17.93	58.72	162
g25b	55.02	-45.5	-7.69	46.16	190
g50b	56.98	-37.23	-28.04	46.62	217
g75b	53.92	-21.56	-44.93	49.84	244
b00r	41.64	1.36	-44.7	44.73	272
b25r	28.53	25.85	-44.45	51.43	300
b50r	34.77	48.93	-29.85	57.32	329
b75r	48.12	74.52	-3.84	74.62	357



Daten für jede Farbe:

lab^*ch^* und lab^*icu^*

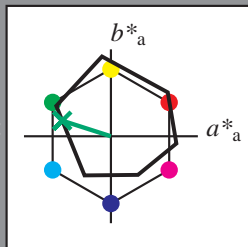
Elementar-Buntontext:

$u^* = g00b$

Kontrastreduzierungsfaktor:

$c_R = 1.0$

Dreiecks-Helligkeit t^*



ORS18_95aM; adaptierte CIELAB-Daten

	$L^*=L^*_a$	a^*_a	b^*_a	$C^*_{ab,a}$	$h^*_{ab,a}$
O _{Ma}	47.94	65.39	50.52	82.63	38
Y _{Ma}	90.37	-10.26	91.75	92.32	96
L _{Ma}	50.9	-62.83	34.96	71.91	151
C _{Ma}	58.62	-30.34	-45.01	54.3	236
V _{Ma}	25.72	31.1	-44.4	54.22	305
M _{Ma}	48.13	75.28	-8.36	75.74	354
N _{Ma}	18.01	0.0	0.0	0.0	0
W _{Ma}	95.41	0.0	0.0	0.0	0
R _{CIE}	39.92	58.74	27.99	65.07	25
J _{CIE}	81.26	-2.88	71.56	71.62	92
G _{CIE}	52.23	-42.41	13.6	44.55	162
B _{CIE}	30.57	1.41	-46.46	46.49	272

Daten für Maximalfarbe (Ma):

$LAB^*LAB^*_{Ma}$: 53 -55 18

$LAB^*LCH^*_{Ma}$: 53 59 162

$lab^*rgb^*_{Ma}$: 0.0 1.0 0.0

$lab^*olv^*_{Ma}$: 0.0 1.0 0.21

Dreiecks-Helligkeit t^*

%Umfang

$u^*_{rel} = 93$

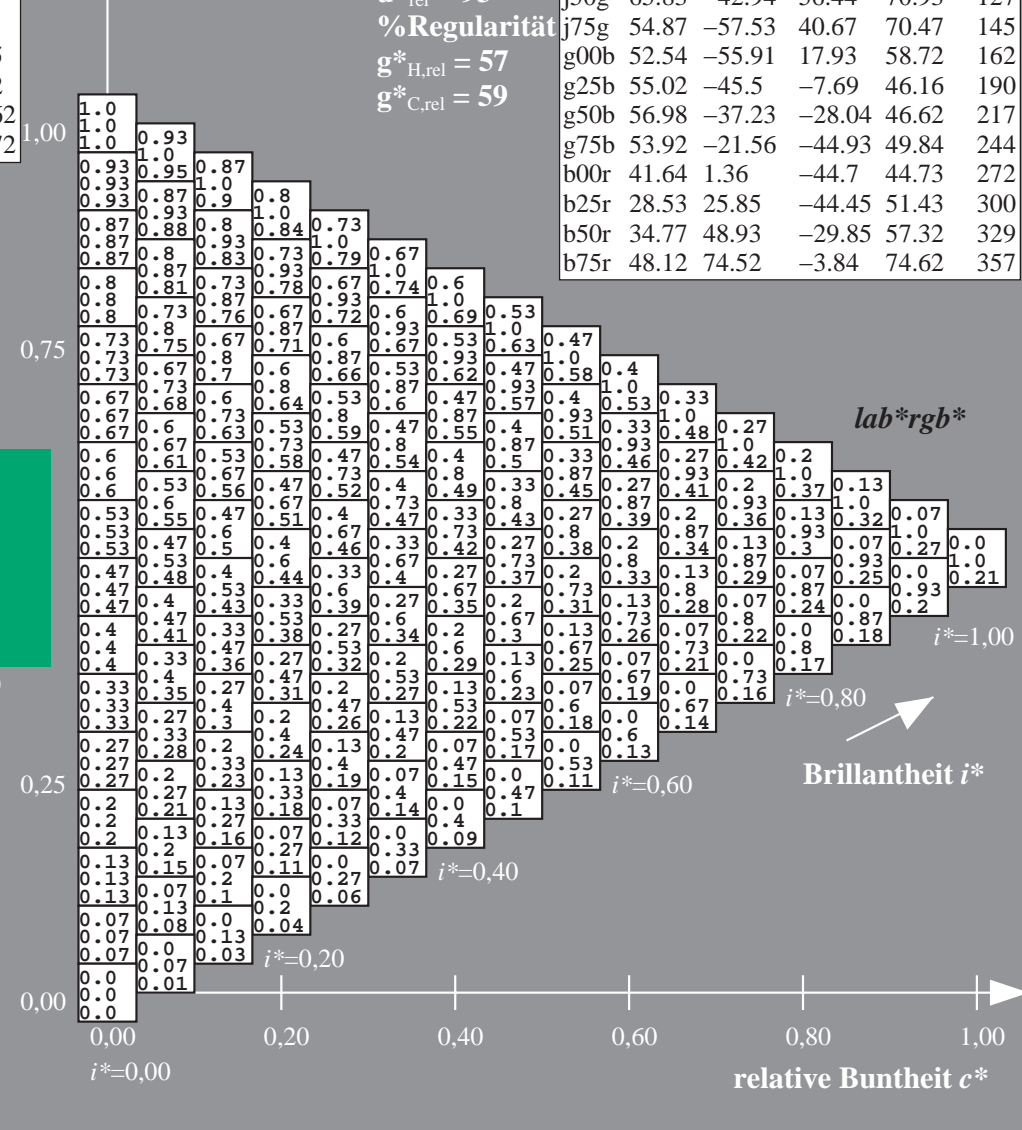
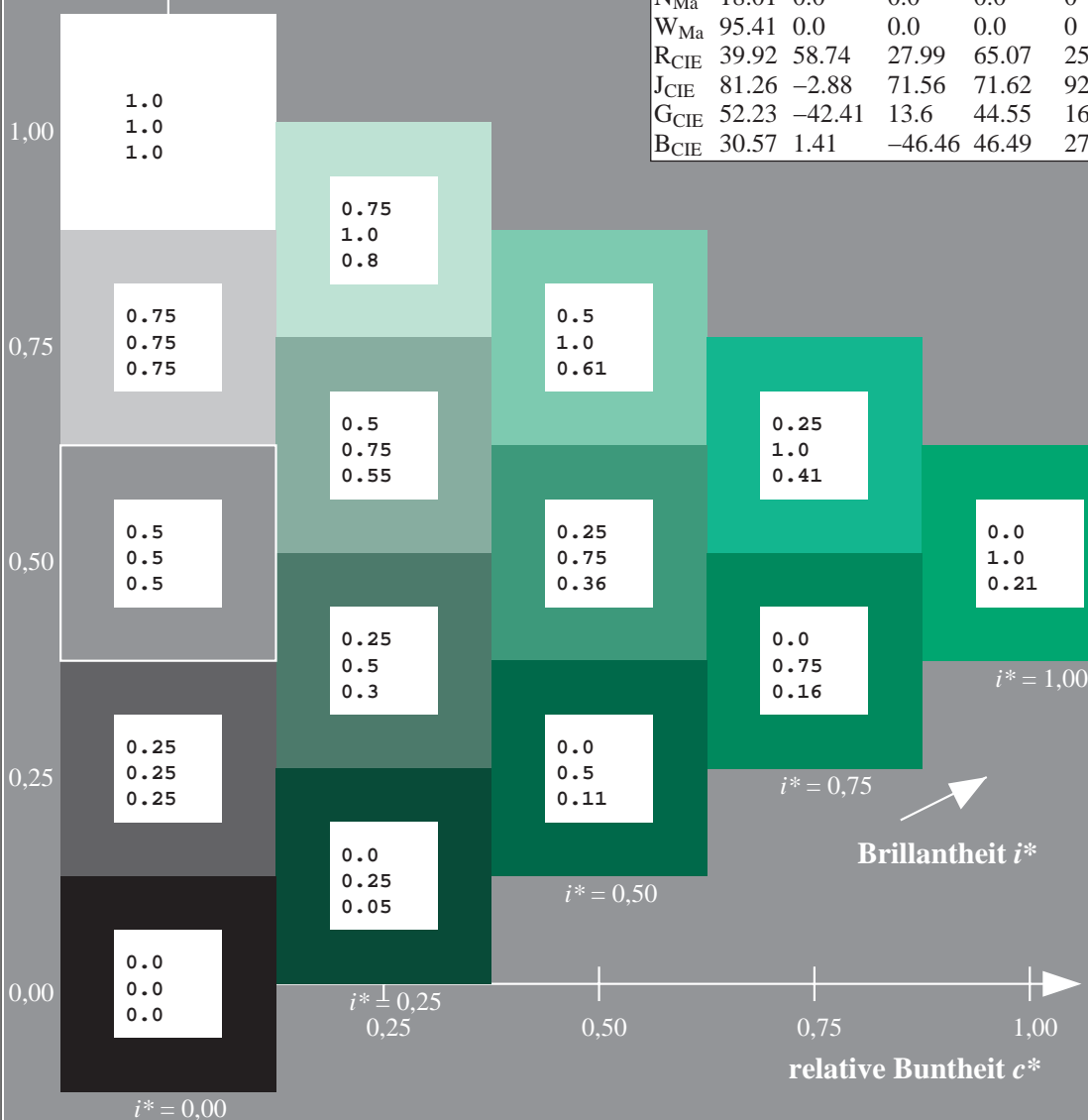
%Regularität

$g^*_{H,rel} = 57$

$g^*_{C,rel} = 59$

ORS18_95aM; adaptierte CIELAB-Daten

	$L^*=L^*_a$	a^*_a	b^*_a	$C^*_{ab,a}$	$h^*_{ab,a}$
r00j	48.0	68.4	32.59	75.77	25
r25j	51.32	59.36	53.8	80.11	42
r50j	62.67	39.12	64.83	75.72	59
r75j	73.73	19.4	75.58	78.03	76
j00g	86.61	-3.55	88.09	88.17	92
j25g	78.07	-26.64	74.05	78.7	110
j50g	65.83	-42.94	56.44	70.93	127
j75g	54.87	-57.53	40.67	70.47	145
g00b	52.54	-55.91	17.93	58.72	162
g25b	55.02	-45.5	-7.69	46.16	190
g50b	56.98	-37.23	-28.04	46.62	217
g75b	53.92	-21.56	-44.93	49.84	244
b00r	41.64	1.36	-44.7	44.73	272
b25r	28.53	25.85	-44.45	51.43	300
b50r	34.77	48.93	-29.85	57.32	329
b75r	48.12	74.52	-3.84	74.62	357



Daten für jede Farbe:

lab^*ch^* und lab^*icu^*

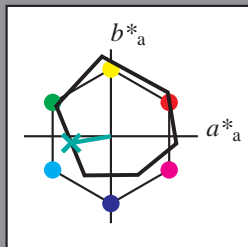
Elementar-Buntontext:

$u^* = g25b$

Kontrastreduzierungsfaktor:

$c_R = 1.0$

Dreiecks-Helligkeit t^*



ORS18_95aM; adaptierte CIELAB-Daten

	$L^*=L^*_a$	a^*_a	b^*_a	$C^*_{ab,a}$	$h^*_{ab,a}$
O _{Ma}	47.94	65.39	50.52	82.63	38
Y _{Ma}	90.37	-10.26	91.75	92.32	96
L _{Ma}	50.9	-62.83	34.96	71.91	151
C _{Ma}	58.62	-30.34	-45.01	54.3	236
V _{Ma}	25.72	31.1	-44.4	54.22	305
M _{Ma}	48.13	75.28	-8.36	75.74	354
N _{Ma}	18.01	0.0	0.0	0.0	0
W _{Ma}	95.41	0.0	0.0	0.0	0
R _{CIE}	39.92	58.74	27.99	65.07	25
J _{CIE}	81.26	-2.88	71.56	71.62	92
G _{CIE}	52.23	-42.41	13.6	44.55	162
B _{CIE}	30.57	1.41	-46.46	46.49	272

Daten für Maximalfarbe (Ma):

$LAB^*LAB^*Ma: 55 -45 -7$

$LAB^*LCH^*Ma: 55 46 190$

$lab^*rgb^*Ma: 0.0 1.0 0.5$

$lab^*olv^*Ma: 0.0 1.0 0.53$

Dreiecks-Helligkeit t^*

%Umfang

$u^*_{rel} = 93$

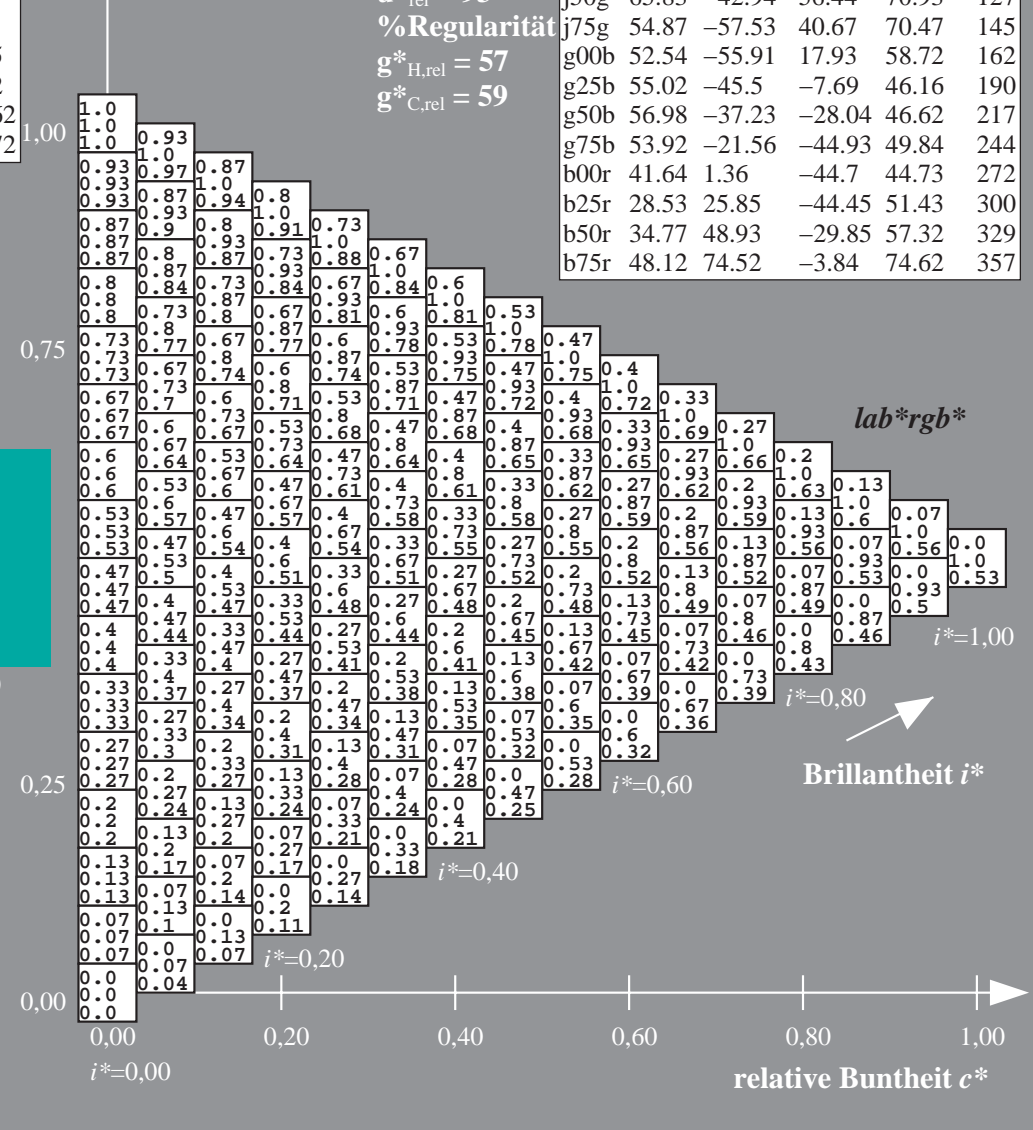
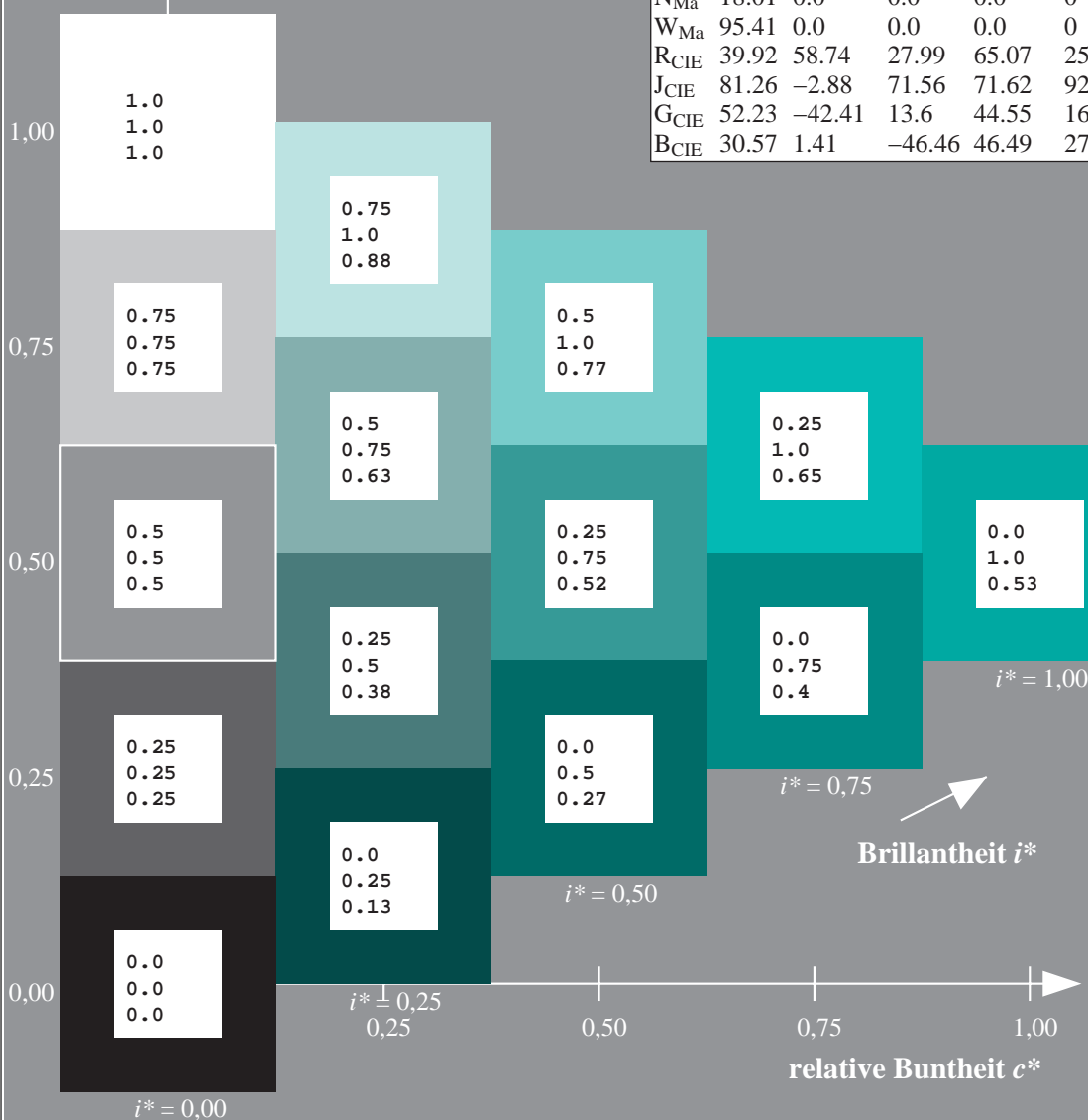
%Regularität

$g^*_{H,rel} = 57$

$g^*_{C,rel} = 59$

ORS18_95aM; adaptierte CIELAB-Daten

	$L^*=L^*_a$	a^*_a	b^*_a	$C^*_{ab,a}$	$h^*_{ab,a}$
r00j	48.0	68.4	32.59	75.77	25
r25j	51.32	59.36	53.8	80.11	42
r50j	62.67	39.12	64.83	75.72	59
r75j	73.73	19.4	75.58	78.03	76
j00g	86.61	-3.55	88.09	88.17	92
j25g	78.07	-26.64	74.05	78.7	110
j50g	65.83	-42.94	56.44	70.93	127
j75g	54.87	-57.53	40.67	70.47	145
g00b	52.54	-55.91	17.93	58.72	162
g25b	55.02	-45.5	-7.69	46.16	190
g50b	56.98	-37.23	-28.04	46.62	217
g75b	53.92	-21.56	-44.93	49.84	244
b00r	41.64	1.36	-44.7	44.73	272
b25r	28.53	25.85	-44.45	51.43	300
b50r	34.77	48.93	-29.85	57.32	329
b75r	48.12	74.52	-3.84	74.62	357



Daten für jede Farbe:

lab^*ch^* und lab^*icu^*

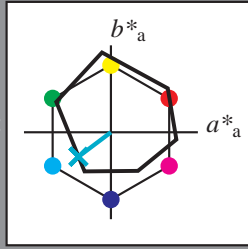
Elementar-Buntontext:

$u^* = g50b$

Kontrastreduzierungsfaktor:

$c_R = 1.0$

Dreiecks-Helligkeit t^*



ORS18_95aM; adaptierte CIELAB-Daten

	$L^*=L^*_a$	a^*_a	b^*_a	$C^*_{ab,a}$	$h^*_{ab,a}$
O _{Ma}	47.94	65.39	50.52	82.63	38
Y _{Ma}	90.37	-10.26	91.75	92.32	96
L _{Ma}	50.9	-62.83	34.96	71.91	151
C _{Ma}	58.62	-30.34	-45.01	54.3	236
V _{Ma}	25.72	31.1	-44.4	54.22	305
M _{Ma}	48.13	75.28	-8.36	75.74	354
N _{Ma}	18.01	0.0	0.0	0.0	0
W _{Ma}	95.41	0.0	0.0	0.0	0
R _{CIE}	39.92	58.74	27.99	65.07	25
J _{CIE}	81.26	-2.88	71.56	71.62	92
G _{CIE}	52.23	-42.41	13.6	44.55	162
B _{CIE}	30.57	1.41	-46.46	46.49	272

Daten für Maximalfarbe (Ma):

$LAB^*LAB^*_{Ma}$: 57 -36 -27

$LAB^*LCH^*_{Ma}$: 57 47 217

$lab^*rgb^*_{Ma}$: 0.0 1.0 1.0

$lab^*olv^*_{Ma}$: 0.0 1.0 0.79

Dreiecks-Helligkeit t^*

%Umfang

$u^*_{rel} = 93$

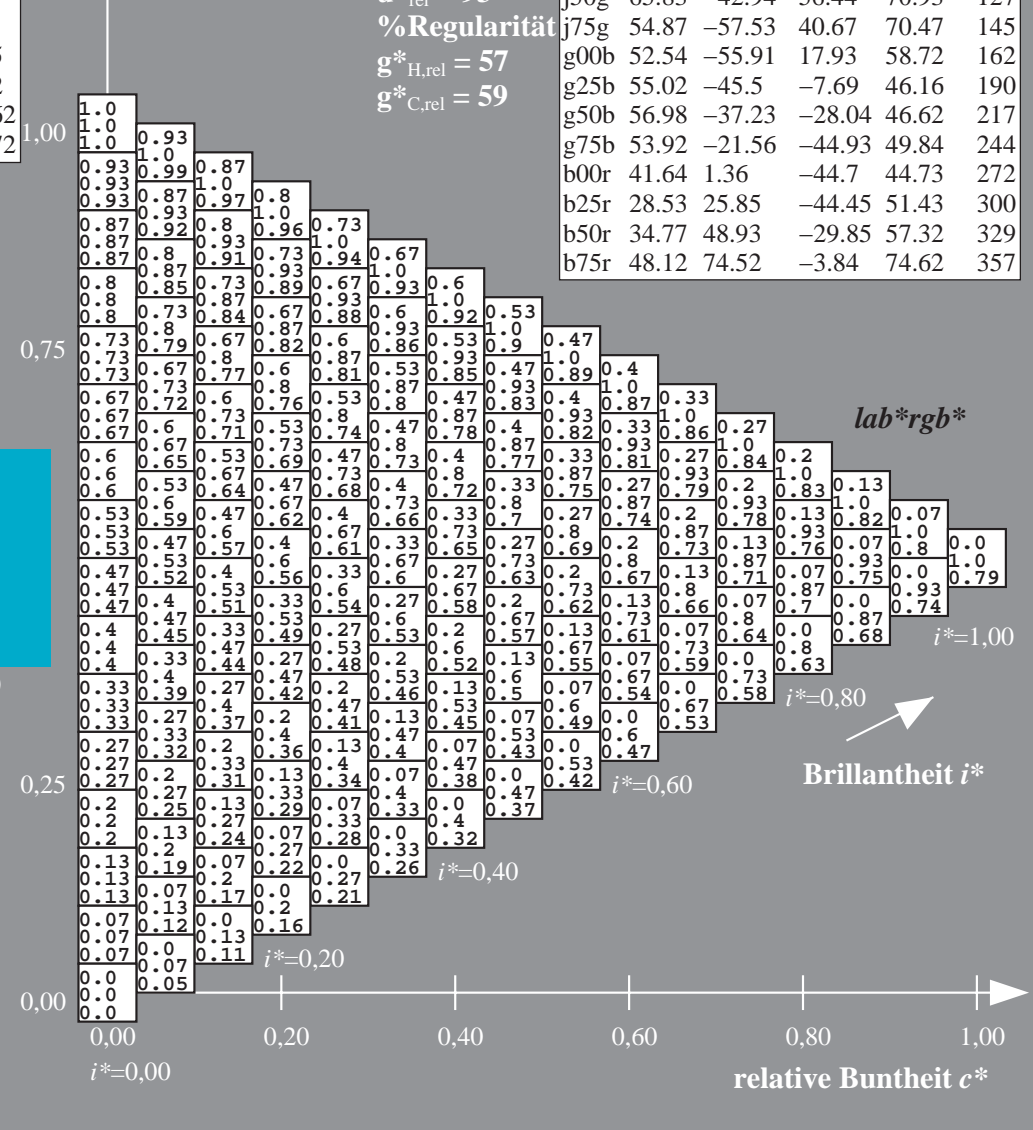
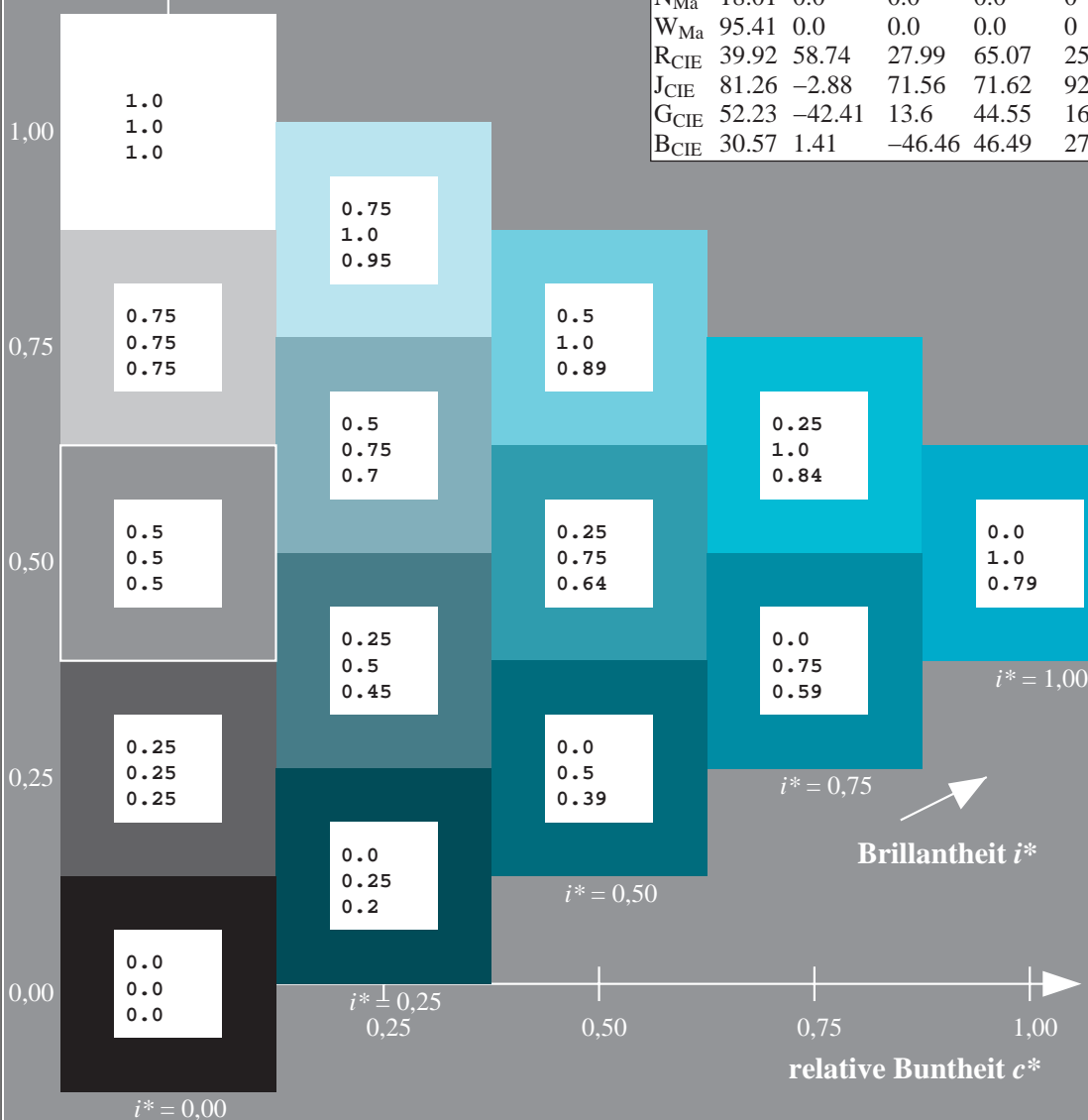
%Regularität

$g^*_{H,rel} = 57$

$g^*_{C,rel} = 59$

ORS18_95aM; adaptierte CIELAB-Daten

	$L^*=L^*_a$	a^*_a	b^*_a	$C^*_{ab,a}$	$h^*_{ab,a}$
r00j	48.0	68.4	32.59	75.77	25
r25j	51.32	59.36	53.8	80.11	42
r50j	62.67	39.12	64.83	75.72	59
r75j	73.73	19.4	75.58	78.03	76
j00g	86.61	-3.55	88.09	88.17	92
j25g	78.07	-26.64	74.05	78.7	110
j50g	65.83	-42.94	56.44	70.93	127
j75g	54.87	-57.53	40.67	70.47	145
g00b	52.54	-55.91	17.93	58.72	162
g25b	55.02	-45.5	-7.69	46.16	190
g50b	56.98	-37.23	-28.04	46.62	217
g75b	53.92	-21.56	-44.93	49.84	244
b00r	41.64	1.36	-44.7	44.73	272
b25r	28.53	25.85	-44.45	51.43	300
b50r	34.77	48.93	-29.85	57.32	329
b75r	48.12	74.52	-3.84	74.62	357



Daten für jede Farbe:

lab^*ch^* und lab^*icu^*

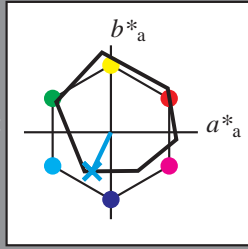
Elementar-Buntontext:

$u^* = g75b$

Kontrastreduzierungsfaktor:

$c_R = 1.0$

Dreiecks-Helligkeit t^*



ORS18_95aM; adaptierte CIELAB-Daten

	$L^*=L^*_a$	a^*_a	b^*_a	$C^*_{ab,a}$	$h^*_{ab,a}$
O _{Ma}	47.94	65.39	50.52	82.63	38
Y _{Ma}	90.37	-10.26	91.75	92.32	96
L _{Ma}	50.9	-62.83	34.96	71.91	151
C _{Ma}	58.62	-30.34	-45.01	54.3	236
V _{Ma}	25.72	31.1	-44.4	54.22	305
M _{Ma}	48.13	75.28	-8.36	75.74	354
N _{Ma}	18.01	0.0	0.0	0.0	0
W _{Ma}	95.41	0.0	0.0	0.0	0
R _{CIE}	39.92	58.74	27.99	65.07	25
J _{CIE}	81.26	-2.88	71.56	71.62	92
G _{CIE}	52.23	-42.41	13.6	44.55	162
B _{CIE}	30.57	1.41	-46.46	46.49	272

Daten für Maximalfarbe (Ma):

$LAB^*LAB^*_{Ma}$: 54 -21 -44

$LAB^*LCH^*_{Ma}$: 54 50 244

$lab^*rgb^*_{Ma}$: 0.0 0.5 1.0

$lab^*olv^*_{Ma}$: 0.0 0.86 1.0

Dreiecks-Helligkeit t^*

%Umfang

$u^*_{rel} = 93$

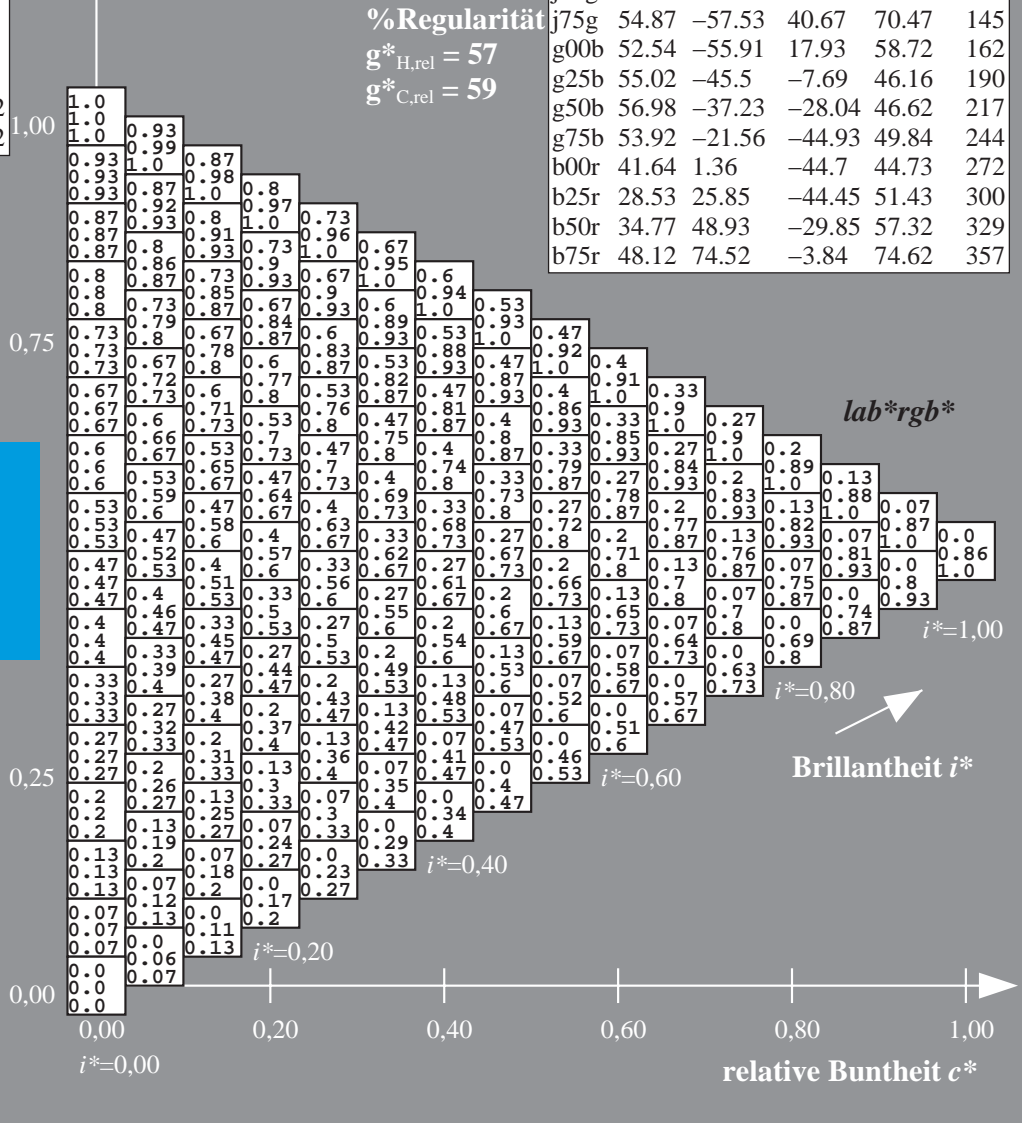
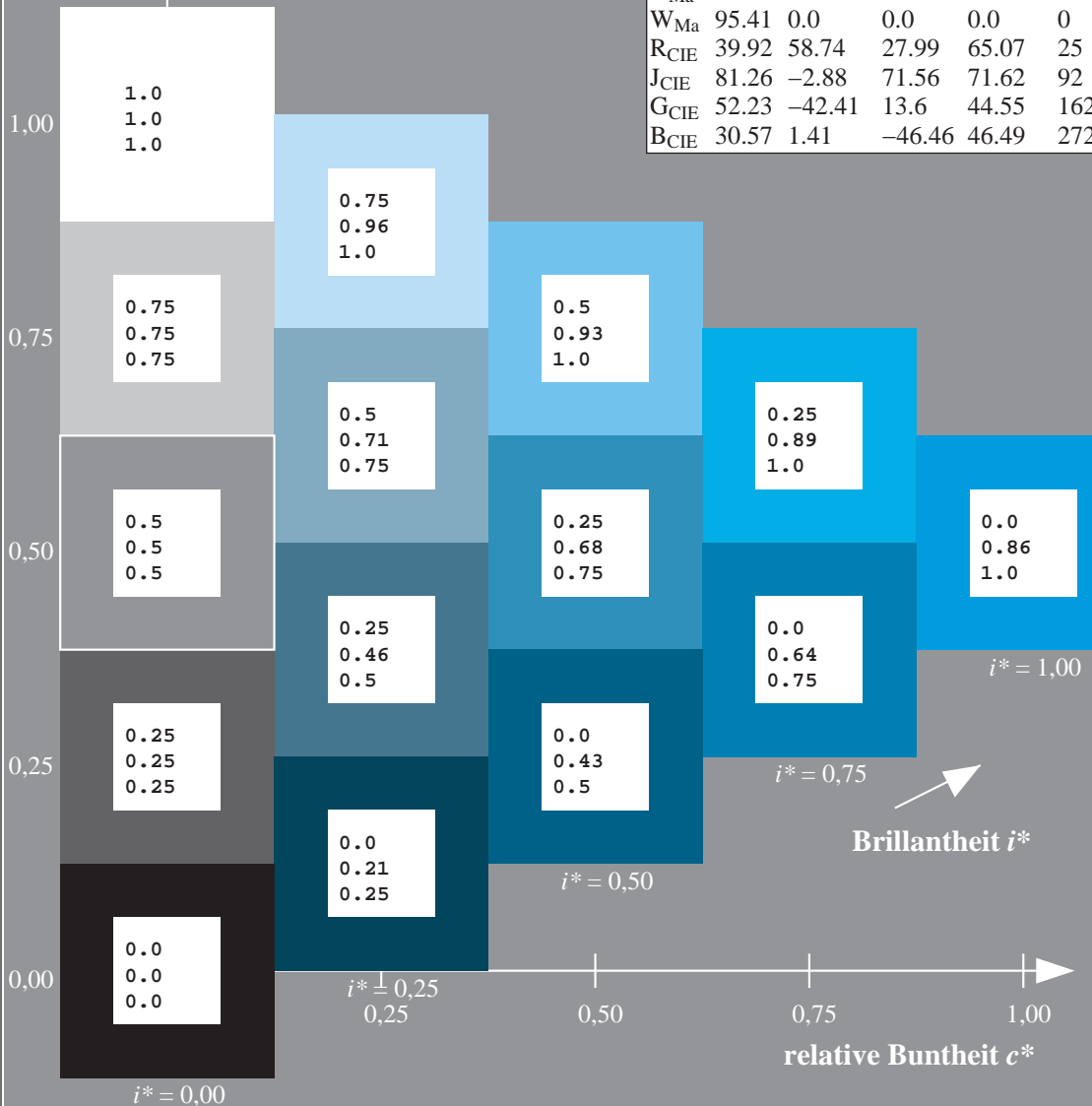
%Regularität

$g^*_{H,rel} = 57$

$g^*_{C,rel} = 59$

ORS18_95aM; adaptierte CIELAB-Daten

	$L^*=L^*_a$	a^*_a	b^*_a	$C^*_{ab,a}$	$h^*_{ab,a}$
r00j	48.0	68.4	32.59	75.77	25
r25j	51.32	59.36	53.8	80.11	42
r50j	62.67	39.12	64.83	75.72	59
r75j	73.73	19.4	75.58	78.03	76
j00g	86.61	-3.55	88.09	88.17	92
j25g	78.07	-26.64	74.05	78.7	110
j50g	65.83	-42.94	56.44	70.93	127
j75g	54.87	-57.53	40.67	70.47	145
g00b	52.54	-55.91	17.93	58.72	162
g25b	55.02	-45.5	-7.69	46.16	190
g50b	56.98	-37.23	-28.04	46.62	217
g75b	53.92	-21.56	-44.93	49.84	244
b00r	41.64	1.36	-44.7	44.73	272
b25r	28.53	25.85	-44.45	51.43	300
b50r	34.77	48.93	-29.85	57.32	329
b75r	48.12	74.52	-3.84	74.62	357



Daten für jede Farbe:

lab^*ch^* und lab^*icu^*

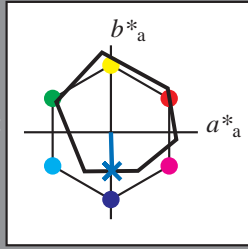
Elementar-Buntontext:

$u^* = b00r$

Kontrastreduzierungsfaktor:

$c_R = 1.0$

Dreiecks-Helligkeit t^*



ORS18_95aM; adaptierte CIELAB-Daten

	$L^*=L^*_a$	a^*_a	b^*_a	$C^*_{ab,a}$	$h^*_{ab,a}$
O _{Ma}	47.94	65.39	50.52	82.63	38
Y _{Ma}	90.37	-10.26	91.75	92.32	96
L _{Ma}	50.9	-62.83	34.96	71.91	151
C _{Ma}	58.62	-30.34	-45.01	54.3	236
V _{Ma}	25.72	31.1	-44.4	54.22	305
M _{Ma}	48.13	75.28	-8.36	75.74	354
N _{Ma}	18.01	0.0	0.0	0.0	0
W _{Ma}	95.41	0.0	0.0	0.0	0
R _{CIE}	39.92	58.74	27.99	65.07	25
J _{CIE}	81.26	-2.88	71.56	71.62	92
G _{CIE}	52.23	-42.41	13.6	44.55	162
B _{CIE}	30.57	1.41	-46.46	46.49	272

Daten für Maximalfarbe (Ma):

$LAB^*LAB^*Ma: 42 \ 1 \ -44$

$LAB^*LCH^*Ma: 42 \ 45 \ 272$

$lab^*rgb^*Ma: 0.0 \ 0.0 \ 1.0$

$lab^*olv^*Ma: 0.0 \ 0.48 \ 1.0$

Dreiecks-Helligkeit t^*

%Umfang

$u^*_{rel} = 93$

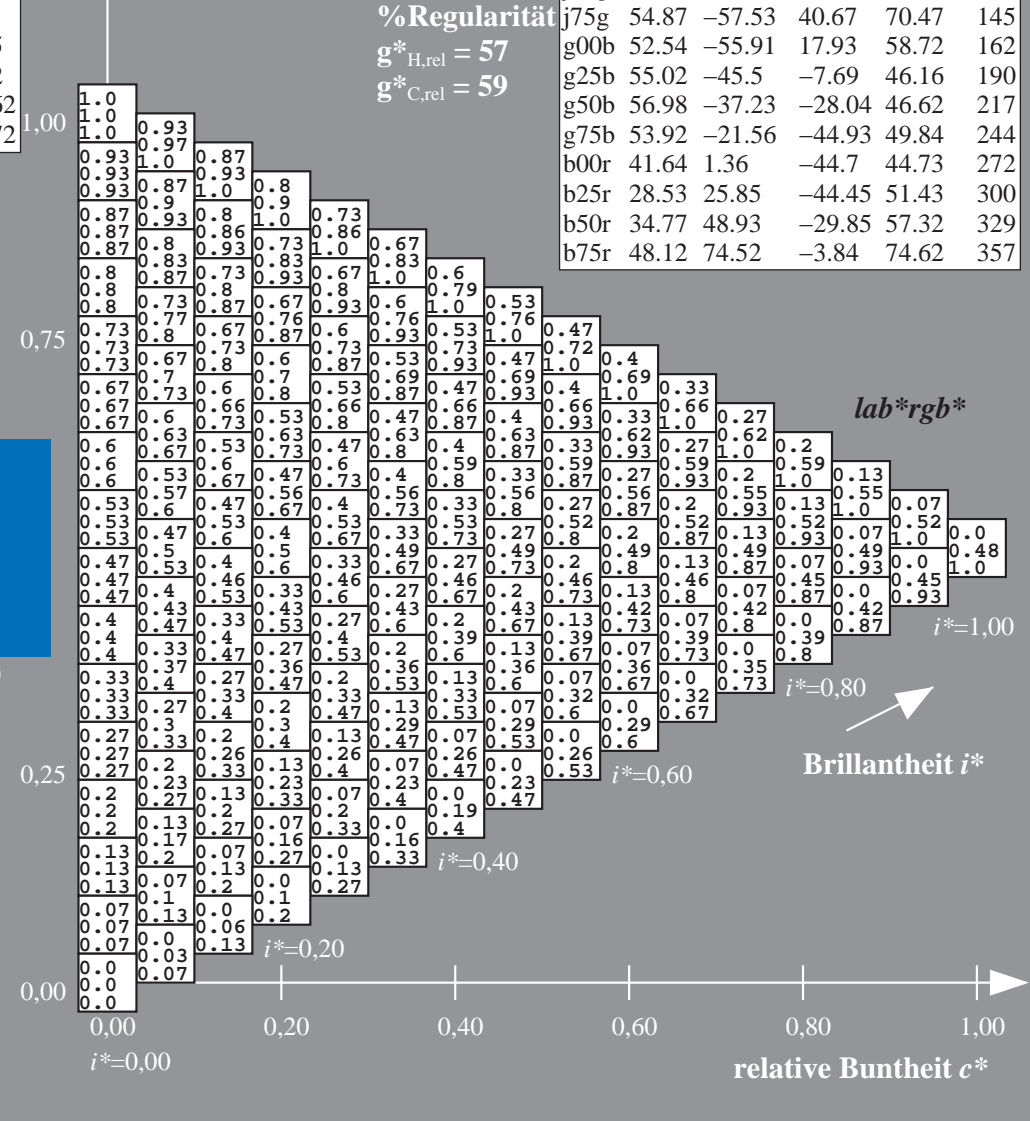
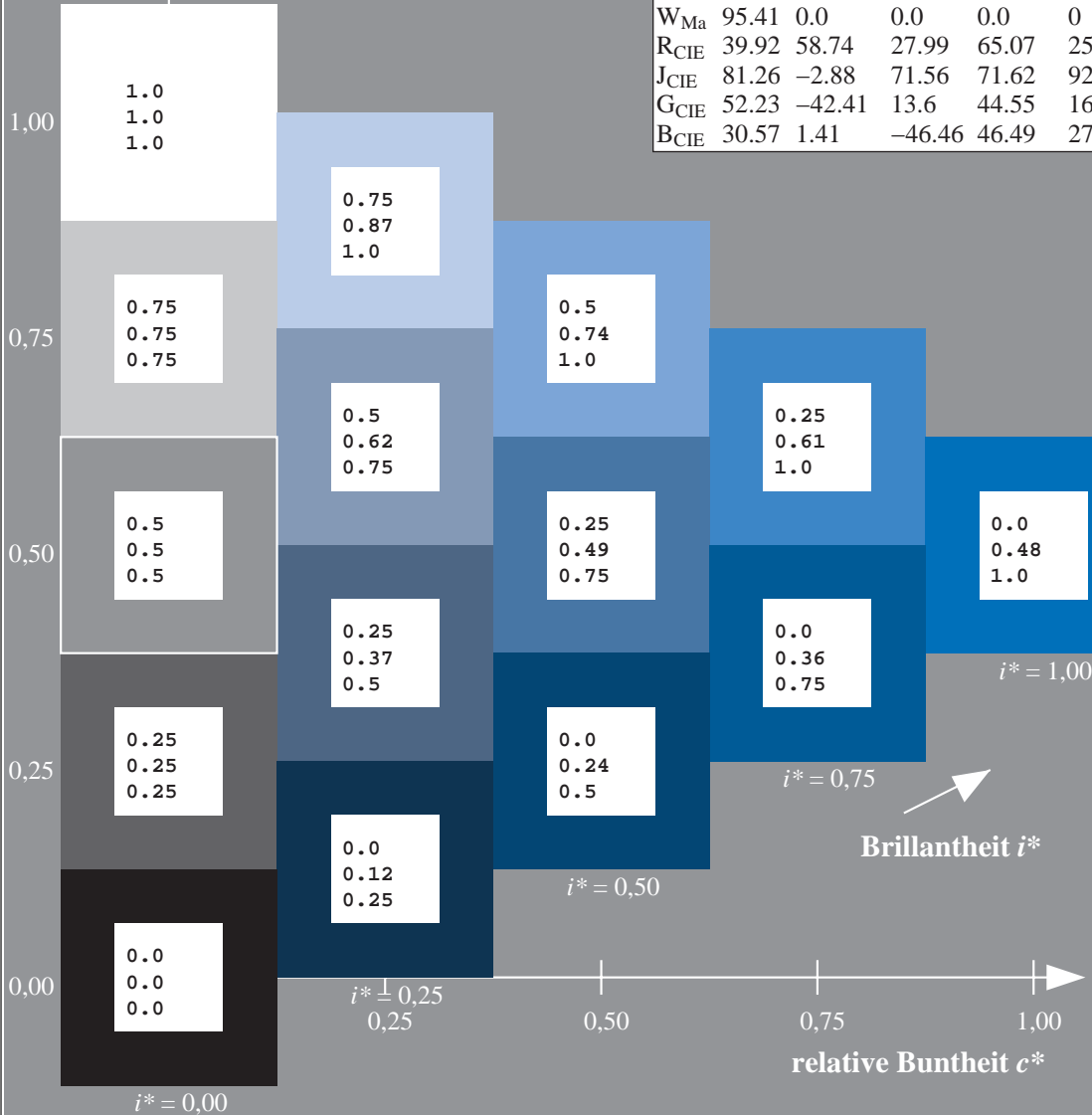
%Regularität

$g^*_{H,rel} = 57$

$g^*_{C,rel} = 59$

ORS18_95aM; adaptierte CIELAB-Daten

	$L^*=L^*_a$	a^*_a	b^*_a	$C^*_{ab,a}$	$h^*_{ab,a}$
r00j	48.0	68.4	32.59	75.77	25
r25j	51.32	59.36	53.8	80.11	42
r50j	62.67	39.12	64.83	75.72	59
r75j	73.73	19.4	75.58	78.03	76
j00g	86.61	-3.55	88.09	88.17	92
j25g	78.07	-26.64	74.05	78.7	110
j50g	65.83	-42.94	56.44	70.93	127
j75g	54.87	-57.53	40.67	70.47	145
g00b	52.54	-55.91	17.93	58.72	162
g25b	55.02	-45.5	-7.69	46.16	190
g50b	56.98	-37.23	-28.04	46.62	217
g75b	53.92	-21.56	-44.93	49.84	244
b00r	41.64	1.36	-44.7	44.73	272
b25r	28.53	25.85	-44.45	51.43	300
b50r	34.77	48.93	-29.85	57.32	329
b75r	48.12	74.52	-3.84	74.62	357



Daten für jede Farbe:

lab^*ch^* und lab^*icu^*

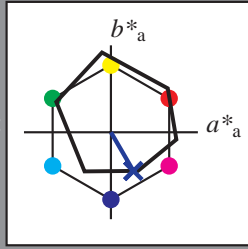
Elementar-Buntontext:

$u^* = b25r$

Kontrastreduzierungsfaktor:

$c_R = 1.0$

Dreiecks-Helligkeit t^*



ORS18_95aM; adaptierte CIELAB-Daten

	$L^*=L^*_a$	a^*_a	b^*_a	$C^*_{ab,a}$	$h^*_{ab,a}$
O _{Ma}	47.94	65.39	50.52	82.63	38
Y _{Ma}	90.37	-10.26	91.75	92.32	96
L _{Ma}	50.9	-62.83	34.96	71.91	151
C _{Ma}	58.62	-30.34	-45.01	54.3	236
V _{Ma}	25.72	31.1	-44.4	54.22	305
M _{Ma}	48.13	75.28	-8.36	75.74	354
N _{Ma}	18.01	0.0	0.0	0.0	0
W _{Ma}	95.41	0.0	0.0	0.0	0
R _{CIE}	39.92	58.74	27.99	65.07	25
J _{CIE}	81.26	-2.88	71.56	71.62	92
G _{CIE}	52.23	-42.41	13.6	44.55	162
B _{CIE}	30.57	1.41	-46.46	46.49	272

Daten für Maximalfarbe (Ma):

$LAB^*LAB^*Ma: 29\ 26\ -43$

$LAB^*LCH^*Ma: 29\ 51\ 300$

$lab^*rgb^*Ma: 0.5\ 0.0\ 1.0$

$lab^*olv^*Ma: 0.0\ 0.09\ 1.0$

Dreiecks-Helligkeit t^*

%Umfang

$u^*_{rel} = 93$

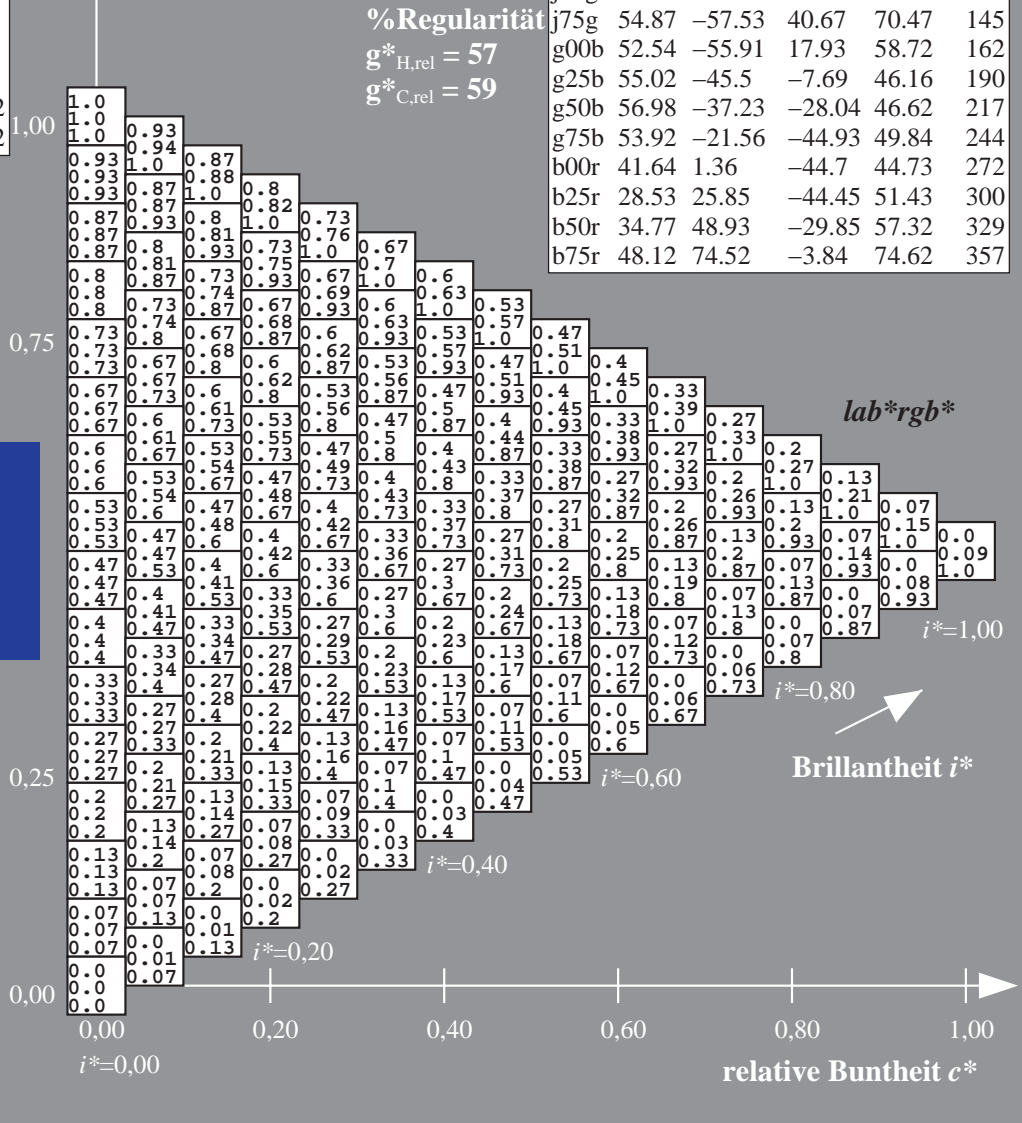
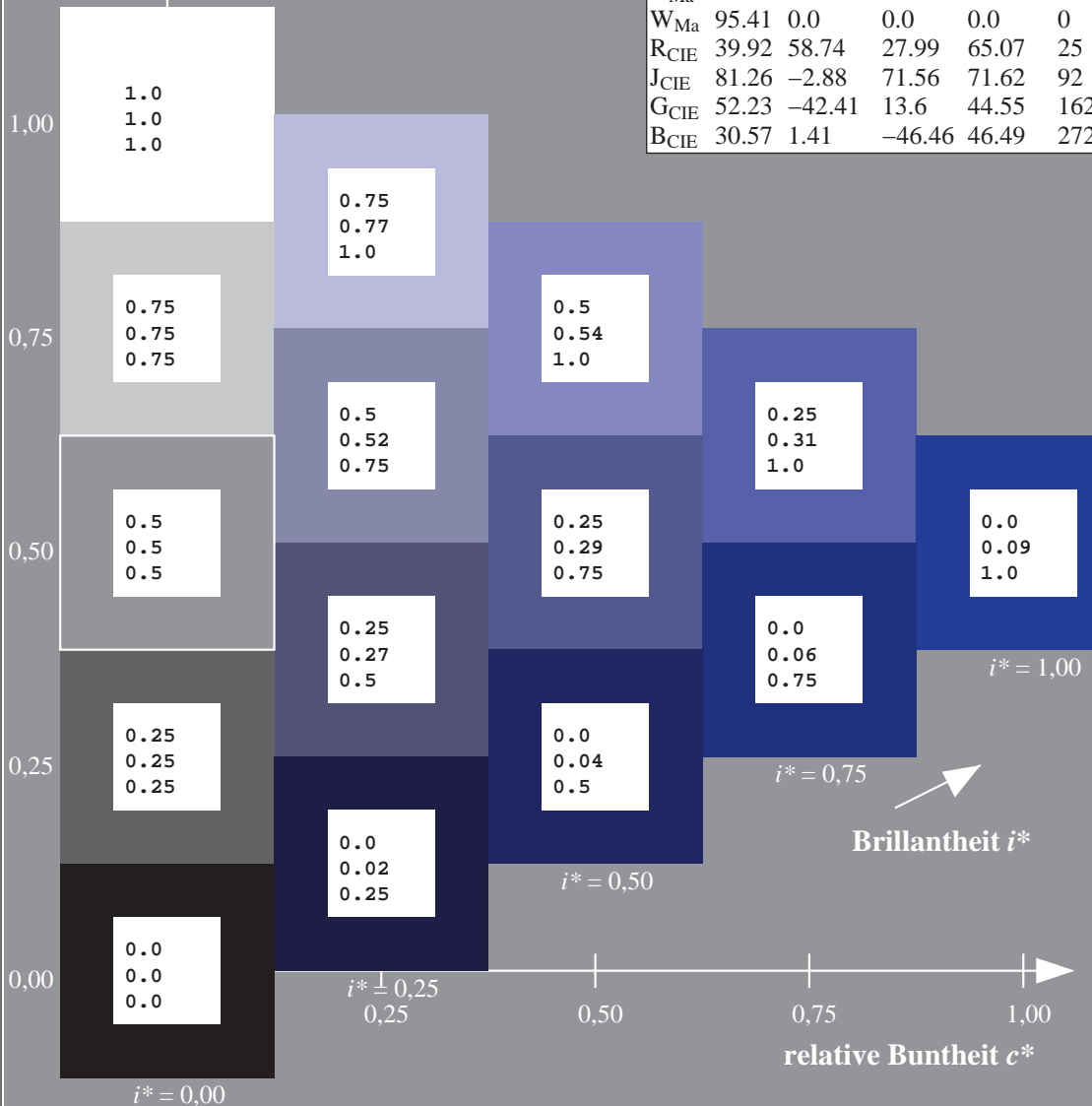
%Regularität

$g^*_{H,rel} = 57$

$g^*_{C,rel} = 59$

ORS18_95aM; adaptierte CIELAB-Daten

	$L^*=L^*_a$	a^*_a	b^*_a	$C^*_{ab,a}$	$h^*_{ab,a}$
r00j	48.0	68.4	32.59	75.77	25
r25j	51.32	59.36	53.8	80.11	42
r50j	62.67	39.12	64.83	75.72	59
r75j	73.73	19.4	75.58	78.03	76
j00g	86.61	-3.55	88.09	88.17	92
j25g	78.07	-26.64	74.05	78.7	110
j50g	65.83	-42.94	56.44	70.93	127
j75g	54.87	-57.53	40.67	70.47	145
g00b	52.54	-55.91	17.93	58.72	162
g25b	55.02	-45.5	-7.69	46.16	190
g50b	56.98	-37.23	-28.04	46.62	217
g75b	53.92	-21.56	-44.93	49.84	244
b00r	41.64	1.36	-44.7	44.73	272
b25r	28.53	25.85	-44.45	51.43	300
b50r	34.77	48.93	-29.85	57.32	329
b75r	48.12	74.52	-3.84	74.62	357



Daten für jede Farbe:

lab^*ch^* und lab^*icu^*

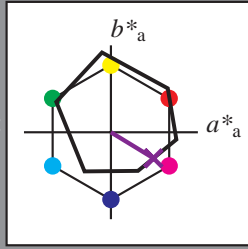
Elementar-Buntontext:

$u^* = b50r$

Kontrastreduzierungsfaktor:

$c_R = 1.0$

Dreiecks-Helligkeit t^*



ORS18_95aM; adaptierte CIELAB-Daten

	$L^*=L^*_a$	a^*_a	b^*_a	$C^*_{ab,a}$	$h^*_{ab,a}$
O _{Ma}	47.94	65.39	50.52	82.63	38
Y _{Ma}	90.37	-10.26	91.75	92.32	96
L _{Ma}	50.9	-62.83	34.96	71.91	151
C _{Ma}	58.62	-30.34	-45.01	54.3	236
V _{Ma}	25.72	31.1	-44.4	54.22	305
M _{Ma}	48.13	75.28	-8.36	75.74	354
N _{Ma}	18.01	0.0	0.0	0.0	0
W _{Ma}	95.41	0.0	0.0	0.0	0
R _{CIE}	39.92	58.74	27.99	65.07	25
J _{CIE}	81.26	-2.88	71.56	71.62	92
G _{CIE}	52.23	-42.41	13.6	44.55	162
B _{CIE}	30.57	1.41	-46.46	46.49	272

Daten für Maximalfarbe (Ma):

$LAB^*LAB^*_{Ma}$: 35 49 -29

$LAB^*LCH^*_{Ma}$: 35 57 329

$lab^*rgb^*_{Ma}$: 1.0 0.0 1.0

$lab^*olv^*_{Ma}$: 0.4 0.0 1.0

Dreiecks-Helligkeit t^*

%Umfang

$u^*_{rel} = 93$

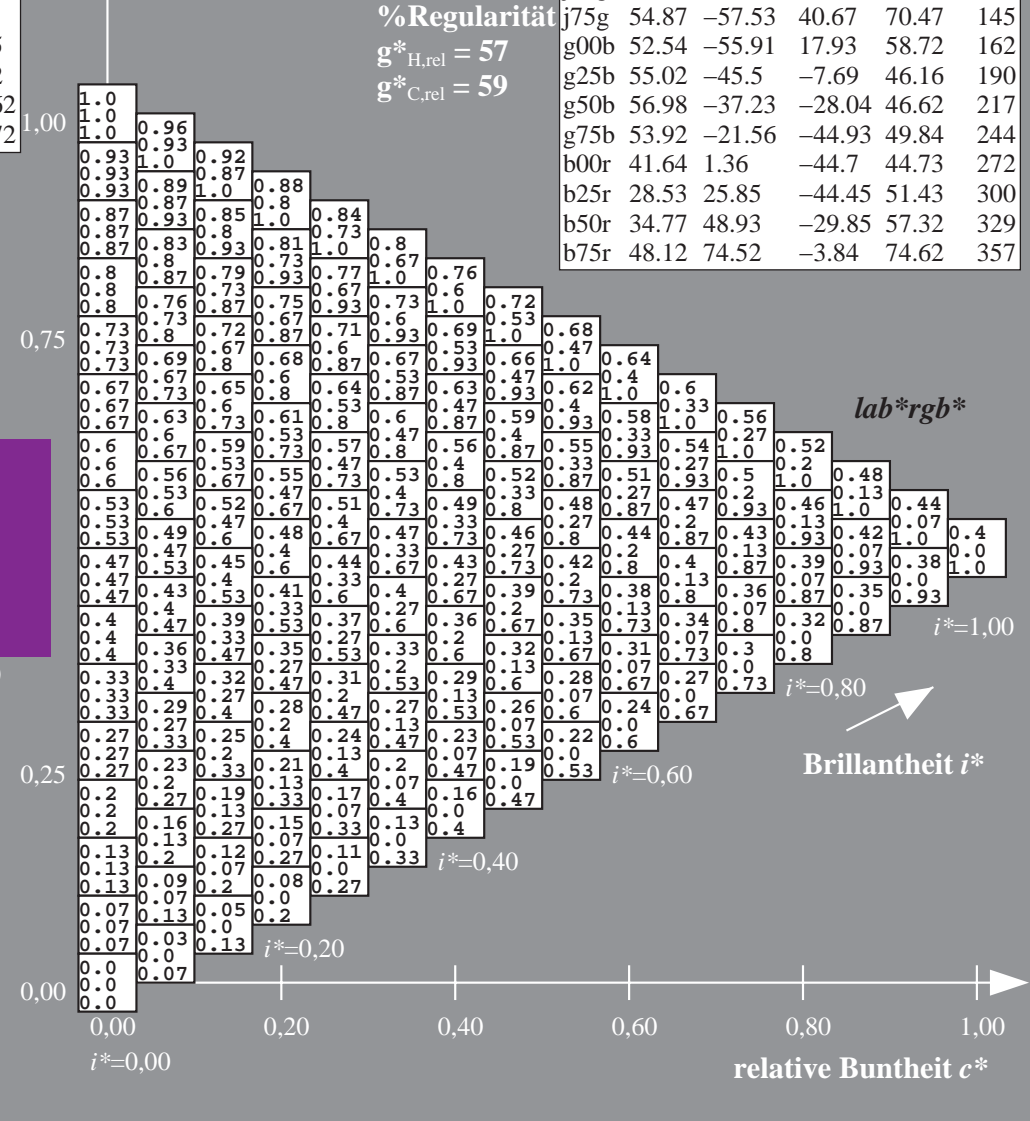
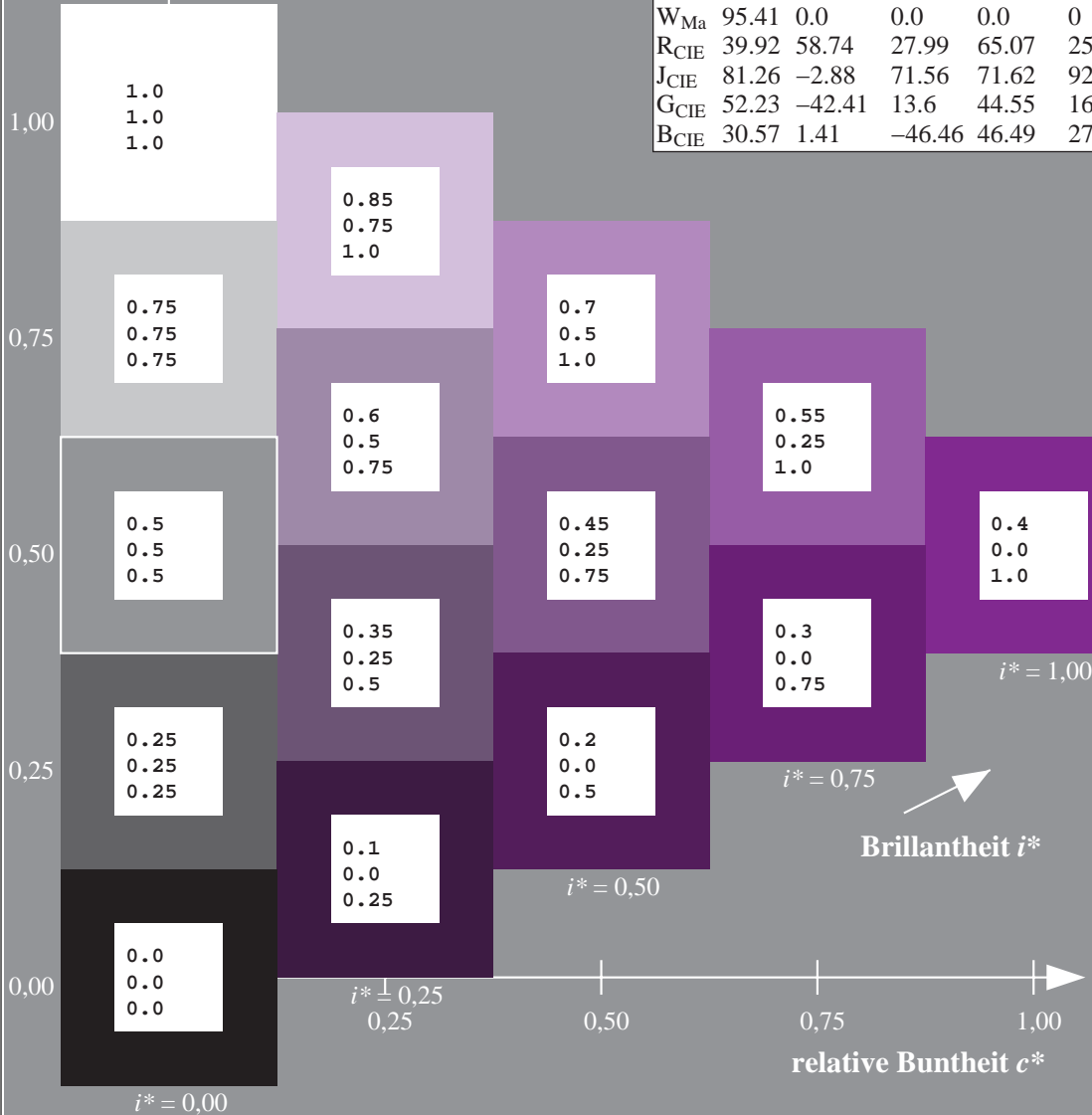
%Regularität

$g^*_{H,rel} = 57$

$g^*_{C,rel} = 59$

ORS18_95aM; adaptierte CIELAB-Daten

	$L^*=L^*_a$	a^*_a	b^*_a	$C^*_{ab,a}$	$h^*_{ab,a}$
r00j	48.0	68.4	32.59	75.77	25
r25j	51.32	59.36	53.8	80.11	42
r50j	62.67	39.12	64.83	75.72	59
r75j	73.73	19.4	75.58	78.03	76
j00g	86.61	-3.55	88.09	88.17	92
j25g	78.07	-26.64	74.05	78.7	110
j50g	65.83	-42.94	56.44	70.93	127
j75g	54.87	-57.53	40.67	70.47	145
g00b	52.54	-55.91	17.93	58.72	162
g25b	55.02	-45.5	-7.69	46.16	190
g50b	56.98	-37.23	-28.04	46.62	217
g75b	53.92	-21.56	-44.93	49.84	244
b00r	41.64	1.36	-44.7	44.73	272
b25r	28.53	25.85	-44.45	51.43	300
b50r	34.77	48.93	-29.85	57.32	329
b75r	48.12	74.52	-3.84	74.62	357



Daten für jede Farbe:

lab^*ch^* und lab^*icu^*

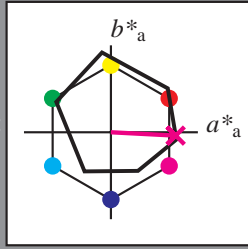
Elementar-Buntontext:

$u^* = b75r$

Kontrastreduzierungsfaktor:

$c_R = 1.0$

Dreiecks-Helligkeit t^*



ORS18_95aM; adaptierte CIELAB-Daten

	$L^*=L^*_a$	a^*_a	b^*_a	$C^*_{ab,a}$	$h^*_{ab,a}$
O _{Ma}	47.94	65.39	50.52	82.63	38
Y _{Ma}	90.37	-10.26	91.75	92.32	96
L _{Ma}	50.9	-62.83	34.96	71.91	151
C _{Ma}	58.62	-30.34	-45.01	54.3	236
V _{Ma}	25.72	31.1	-44.4	54.22	305
M _{Ma}	48.13	75.28	-8.36	75.74	354
N _{Ma}	18.01	0.0	0.0	0.0	0
W _{Ma}	95.41	0.0	0.0	0.0	0
R _{CIE}	39.92	58.74	27.99	65.07	25
J _{CIE}	81.26	-2.88	71.56	71.62	92
G _{CIE}	52.23	-42.41	13.6	44.55	162
B _{CIE}	30.57	1.41	-46.46	46.49	272

Daten für Maximalfarbe (Ma):

$LAB^*LAB^*_{Ma}$: 48 75 -3

$LAB^*LCH^*_{Ma}$: 48 75 357

$lab^*rgb^*_{Ma}$: 1.0 0.0 0.5

$lab^*olv^*_{Ma}$: 1.0 0.0 0.92

Dreiecks-Helligkeit t^*

%Umfang

$u^*_{rel} = 93$

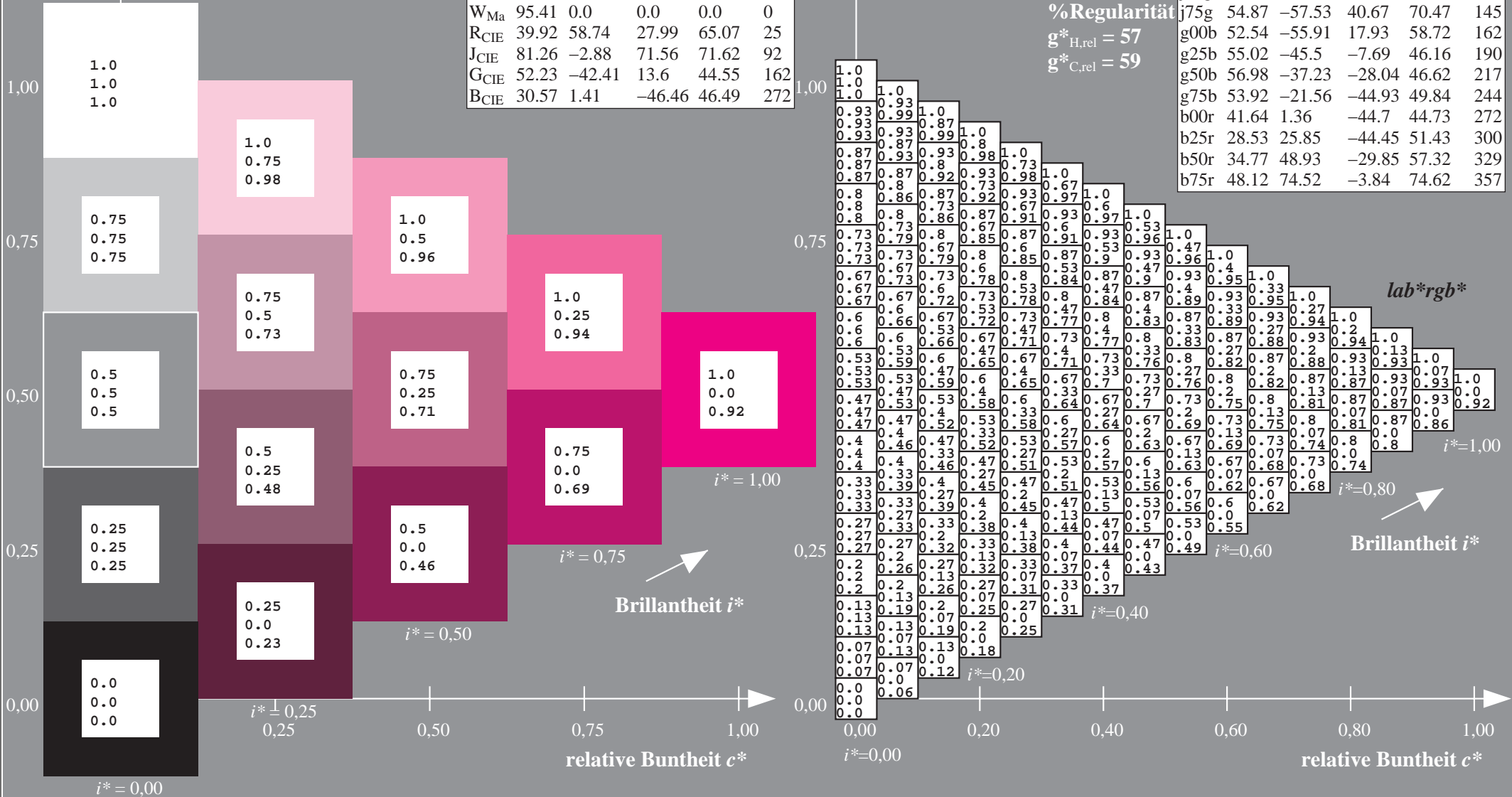
%Regularität

$g^*_{H,rel} = 57$

$g^*_{C,rel} = 59$

ORS18_95aM; adaptierte CIELAB-Daten

	$L^*=L^*_a$	a^*_a	b^*_a	$C^*_{ab,a}$	$h^*_{ab,a}$
r00j	48.0	68.4	32.59	75.77	25
r25j	51.32	59.36	53.8	80.11	42
r50j	62.67	39.12	64.83	75.72	59
r75j	73.73	19.4	75.58	78.03	76
j00g	86.61	-3.55	88.09	88.17	92
j25g	78.07	-26.64	74.05	78.7	110
j50g	65.83	-42.94	56.44	70.93	127
j75g	54.87	-57.53	40.67	70.47	145
g00b	52.54	-55.91	17.93	58.72	162
g25b	55.02	-45.5	-7.69	46.16	190
g50b	56.98	-37.23	-28.04	46.62	217
g75b	53.92	-21.56	-44.93	49.84	244
b00r	41.64	1.36	-44.7	44.73	272
b25r	28.53	25.85	-44.45	51.43	300
b50r	34.77	48.93	-29.85	57.32	329
b75r	48.12	74.52	-3.84	74.62	357



Ein und Ausgabe:
 Farbmimetrisches Drucker-Reflektiv-System ORS18_95aM

Daten für jede Farbe:
lab^{tch*}* und *lab*^{icu*}*

Elementar-Bunttontext:

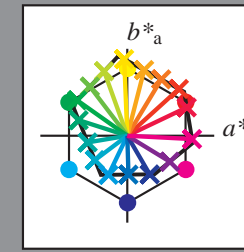
*u** = 16 Buntttöne *r00j*, *r25j*, ..., *b75r*

Kontrastreduzierungsfaktor:

c_R = 1.0

ORS18_95aM; adaptierte CIELAB-Daten

	<i>L* = L*_a</i>	<i>a*_a</i>	<i>b*_a</i>	<i>C*_{ab,a}</i>	<i>h*_{ab,a}</i>
r00j	48.0	68.4	32.59	75.77	25
r25j	51.32	59.36	53.8	80.11	42
r50j	62.67	39.12	64.83	75.72	59
r75j	73.73	19.4	75.58	78.03	76
j00g	86.61	-3.55	88.09	88.17	92
j25g	78.07	-26.64	74.05	78.7	110
j50g	65.83	-42.94	56.44	70.93	127
j75g	54.87	-57.53	40.67	70.47	145
g00b	52.54	-55.91	17.93	58.72	162
g25b	55.02	-45.5	-7.69	46.16	190
g50b	56.98	-37.23	-28.04	46.62	217
g75b	53.92	-21.56	-44.93	49.84	244
b00r	41.64	1.36	-44.7	44.73	272
b25r	28.53	25.85	-44.45	51.43	300
b50r	34.77	48.93	-29.85	57.32	329
b75r	48.12	74.52	-3.84	74.62	357



%Umfang

*u*_{rel}* = 93

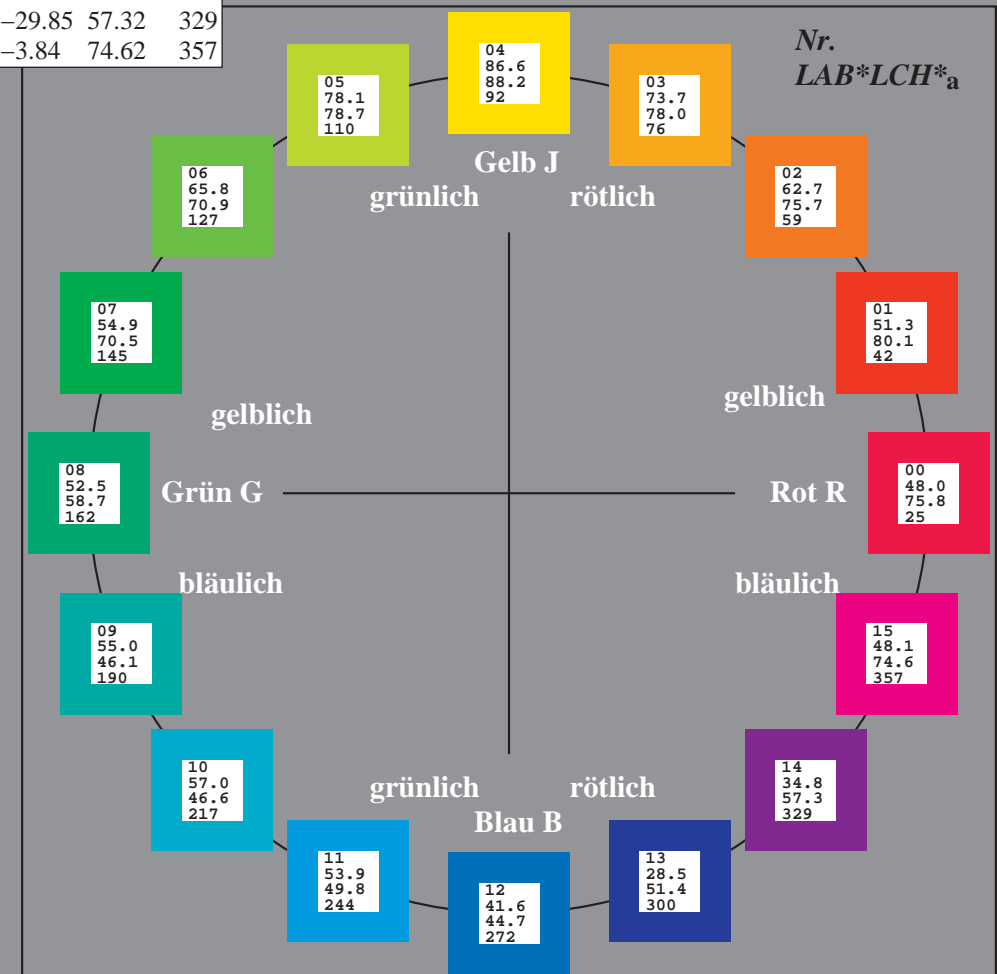
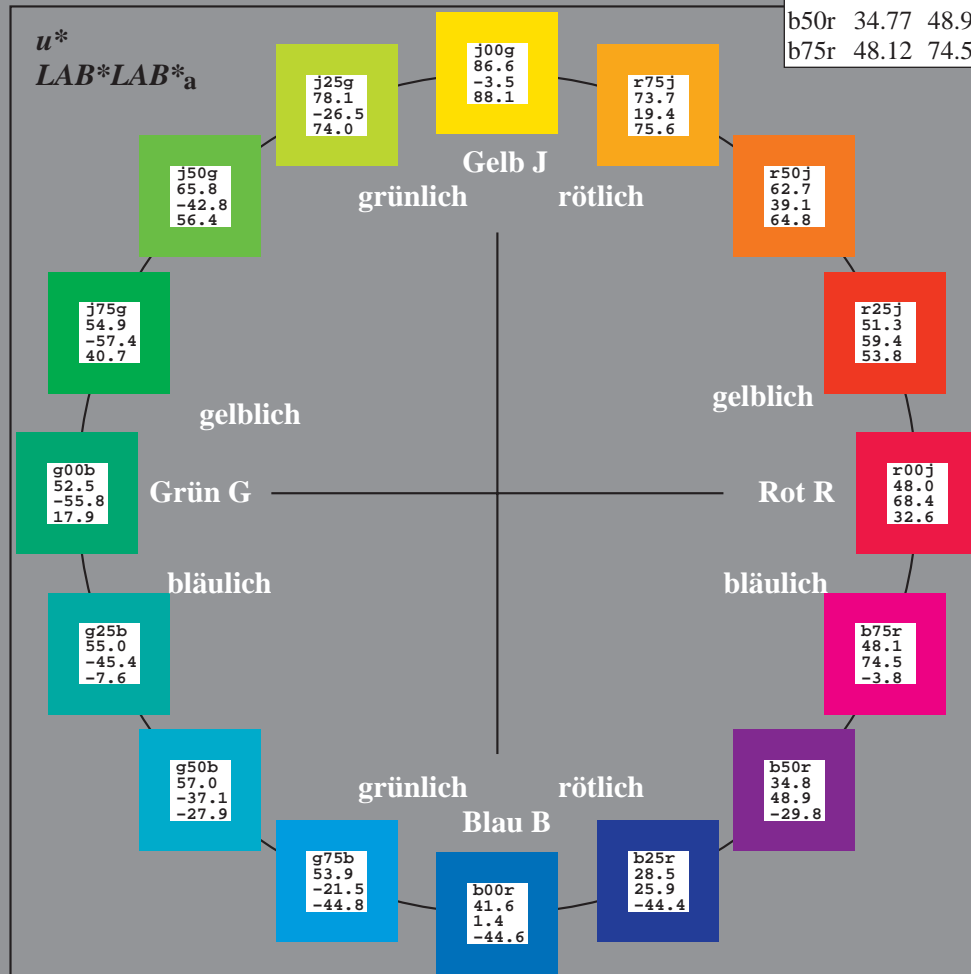
%Regularität

*g*_{H,rel}* = 57

*g*_{C,rel}* = 59

ORS18_95aM; adaptierte CIELAB-Daten

	<i>L* = L*_a</i>	<i>a*_a</i>	<i>b*_a</i>	<i>C*_{ab,a}</i>	<i>h*_{ab,a}</i>
O _{Ma}	47.94	65.39	50.52	82.63	38
Y _{Ma}	90.37	-10.26	91.75	92.32	96
L _{Ma}	50.9	-62.83	34.96	71.91	151
C _{Ma}	58.62	-30.34	-45.01	54.3	236
V _{Ma}	25.72	31.1	-44.4	54.22	305
M _{Ma}	48.13	75.28	-8.36	75.74	354
N _{Ma}	18.01	0.0	0.0	0.0	0
W _{Ma}	95.41	0.0	0.0	0.0	0
R _{CIE}	39.92	58.74	27.99	65.07	25
J _{CIE}	81.26	-2.88	71.56	71.62	92
G _{CIE}	52.23	-42.41	13.6	44.55	162
B _{CIE}	30.57	1.41	-46.46	46.49	272



Daten für jede Farbe:

lab^*ch^* und lab^*icu^*

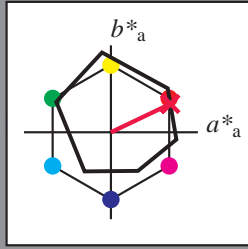
Elementar-Buntontext:

$u^* = r00j$

Kontrastreduzierungsfaktor:

$c_R = 1.0$

Dreiecks-Helligkeit t^*



ORS18_95aM; adaptierte CIELAB-Daten

	$L^*=L^*_a$	a^*_a	b^*_a	$C^*_{ab,a}$	$h^*_{ab,a}$
O _{Ma}	47.94	65.39	50.52	82.63	38
Y _{Ma}	90.37	-10.26	91.75	92.32	96
L _{Ma}	50.9	-62.83	34.96	71.91	151
C _{Ma}	58.62	-30.34	-45.01	54.3	236
V _{Ma}	25.72	31.1	-44.4	54.22	305
M _{Ma}	48.13	75.28	-8.36	75.74	354
N _{Ma}	18.01	0.0	0.0	0.0	0
W _{Ma}	95.41	0.0	0.0	0.0	0
R _{CIE}	39.92	58.74	27.99	65.07	25
J _{CIE}	81.26	-2.88	71.56	71.62	92
G _{CIE}	52.23	-42.41	13.6	44.55	162
B _{CIE}	30.57	1.41	-46.46	46.49	272

Daten für Maximalfarbe (Ma):

$LAB^*LAB^*_Ma$: 48 68 33

$LAB^*LCH^*_Ma$: 48 76 25

$lab^*rgb^*_Ma$: 1.0 0.0 0.0

$lab^*olv^*_Ma$: 1.0 0.0 0.3

Dreiecks-Helligkeit t^*

%Umfang

$u^*_{rel} = 93$

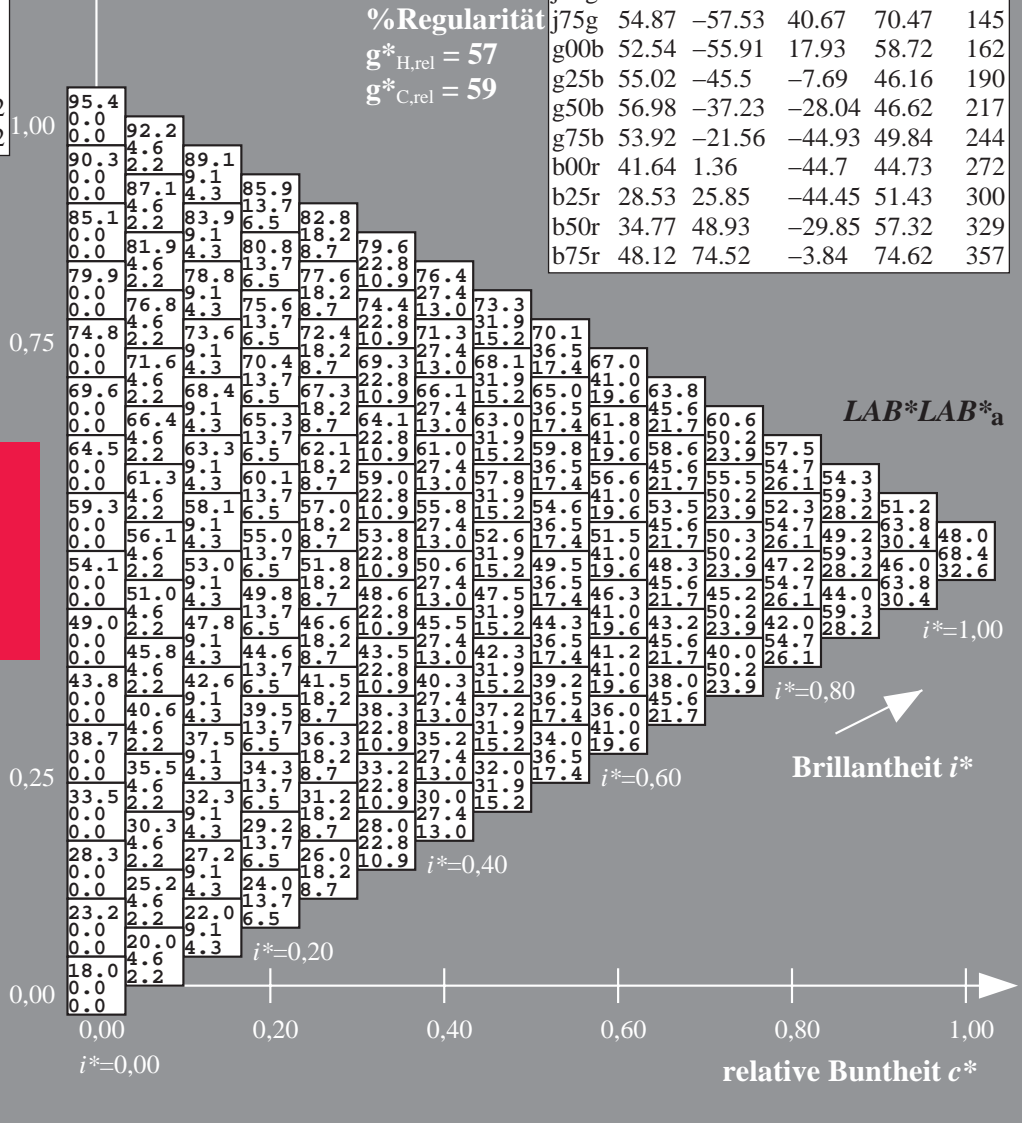
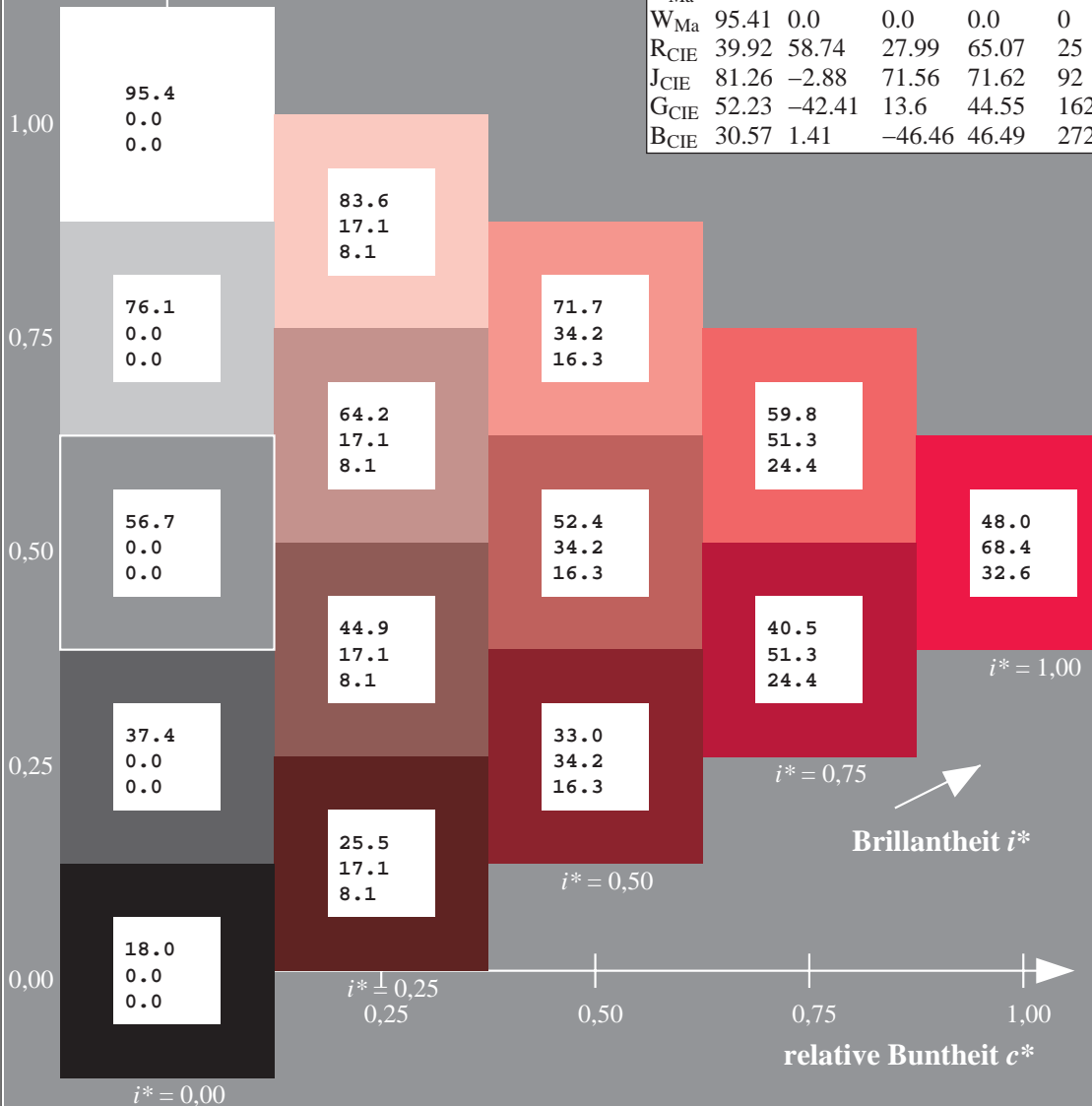
%Regularität

$g^*_{H,rel} = 57$

$g^*_{C,rel} = 59$

ORS18_95aM; adaptierte CIELAB-Daten

	$L^*=L^*_a$	a^*_a	b^*_a	$C^*_{ab,a}$	$h^*_{ab,a}$
r00j	48.0	68.4	32.59	75.77	25
r25j	51.32	59.36	53.8	80.11	42
r50j	62.67	39.12	64.83	75.72	59
r75j	73.73	19.4	75.58	78.03	76
j00g	86.61	-3.55	88.09	88.17	92
j25g	78.07	-26.64	74.05	78.7	110
j50g	65.83	-42.94	56.44	70.93	127
j75g	54.87	-57.53	40.67	70.47	145
g00b	52.54	-55.91	17.93	58.72	162
g25b	55.02	-45.5	-7.69	46.16	190
g50b	56.98	-37.23	-28.04	46.62	217
g75b	53.92	-21.56	-44.93	49.84	244
b00r	41.64	1.36	-44.7	44.73	272
b25r	28.53	25.85	-44.45	51.43	300
b50r	34.77	48.93	-29.85	57.32	329
b75r	48.12	74.52	-3.84	74.62	357



Daten für jede Farbe:

lab^*ch^* und lab^*icu^*

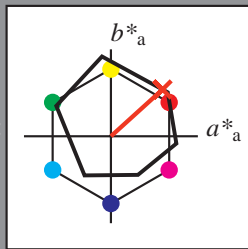
Elementar-Buntontext:

$u^* = r25j$

Kontrastreduzierungsfaktor:

$c_R = 1.0$

Dreiecks-Helligkeit t^*



ORS18_95aM; adaptierte CIELAB-Daten

	$L^*=L^*_a$	a^*_a	b^*_a	$C^*_{ab,a}$	$h^*_{ab,a}$
O _{Ma}	47.94	65.39	50.52	82.63	38
Y _{Ma}	90.37	-10.26	91.75	92.32	96
L _{Ma}	50.9	-62.83	34.96	71.91	151
C _{Ma}	58.62	-30.34	-45.01	54.3	236
V _{Ma}	25.72	31.1	-44.4	54.22	305
M _{Ma}	48.13	75.28	-8.36	75.74	354
N _{Ma}	18.01	0.0	0.0	0.0	0
W _{Ma}	95.41	0.0	0.0	0.0	0
R _{CIE}	39.92	58.74	27.99	65.07	25
J _{CIE}	81.26	-2.88	71.56	71.62	92
G _{CIE}	52.23	-42.41	13.6	44.55	162
B _{CIE}	30.57	1.41	-46.46	46.49	272

Daten für Maximalfarbe (Ma):

$LAB^*LAB^*_Ma$: 51 59 54

$LAB^*LCH^*_Ma$: 51 80 42

$lab^*rgb^*_Ma$: 1.0 0.25 0.0

$lab^*olv^*_Ma$: 1.0 0.08 0.0

Dreiecks-Helligkeit t^*

%Umfang

$u^*_{rel} = 93$

%Regularität

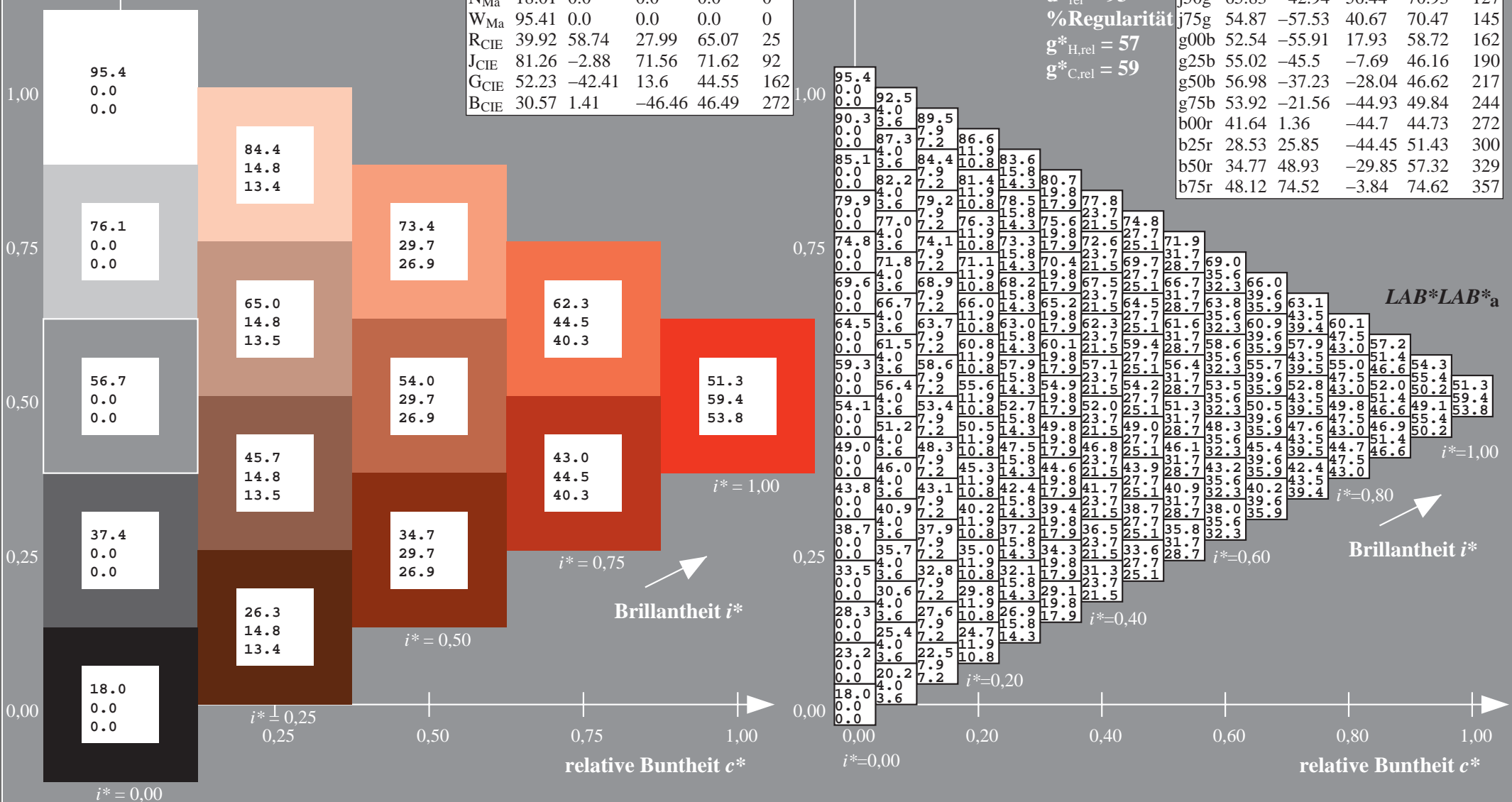
$g^*_{H,rel} = 57$

$g^*_{C,rel} = 59$

$LAB^*LAB^*_a$

ORS18_95aM; adaptierte CIELAB-Daten

	$L^*=L^*_a$	a^*_a	b^*_a	$C^*_{ab,a}$	$h^*_{ab,a}$
r00j	48.0	68.4	32.59	75.77	25
r25j	51.32	59.36	53.8	80.11	42
r50j	62.67	39.12	64.83	75.72	59
r75j	73.73	19.4	75.58	78.03	76
j00g	86.61	-3.55	88.09	88.17	92
j25g	78.07	-26.64	74.05	78.7	110
j50g	65.83	-42.94	56.44	70.93	127
j75g	54.87	-57.53	40.67	70.47	145
g00b	52.54	-55.91	17.93	58.72	162
g25b	55.02	-45.5	-7.69	46.16	190
g50b	56.98	-37.23	-28.04	46.62	217
g75b	53.92	-21.56	-44.93	49.84	244
b00r	41.64	1.36	-44.7	44.73	272
b25r	28.53	25.85	-44.45	51.43	300
b50r	34.77	48.93	-29.85	57.32	329
b75r	48.12	74.52	-3.84	74.62	357



Daten für jede Farbe:

lab^*ch^* und lab^*icu^*

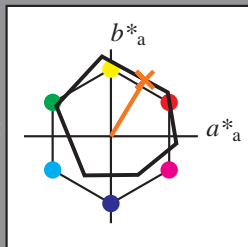
Elementar-Buntontext:

$u^* = r50j$

Kontrastreduzierungsfaktor:

$c_R = 1.0$

Dreiecks-Helligkeit t^*



ORS18_95aM; adaptierte CIELAB-Daten

	$L^*=L^*_a$	a^*_a	b^*_a	$C^*_{ab,a}$	$h^*_{ab,a}$
O _{Ma}	47.94	65.39	50.52	82.63	38
Y _{Ma}	90.37	-10.26	91.75	92.32	96
L _{Ma}	50.9	-62.83	34.96	71.91	151
C _{Ma}	58.62	-30.34	-45.01	54.3	236
V _{Ma}	25.72	31.1	-44.4	54.22	305
M _{Ma}	48.13	75.28	-8.36	75.74	354
N _{Ma}	18.01	0.0	0.0	0.0	0
W _{Ma}	95.41	0.0	0.0	0.0	0
R _{CIE}	39.92	58.74	27.99	65.07	25
J _{CIE}	81.26	-2.88	71.56	71.62	92
G _{CIE}	52.23	-42.41	13.6	44.55	162
B _{CIE}	30.57	1.41	-46.46	46.49	272

Daten für Maximalfarbe (Ma):

$LAB^*LAB^*_Ma$: 63 39 65

$LAB^*LCH^*_Ma$: 63 76 59

$lab^*rgb^*_Ma$: 1.0 0.5 0.0

$lab^*olv^*_Ma$: 1.0 0.35 0.0

Dreiecks-Helligkeit t^*

%Umfang

$u^*_{rel} = 93$

%Regularität

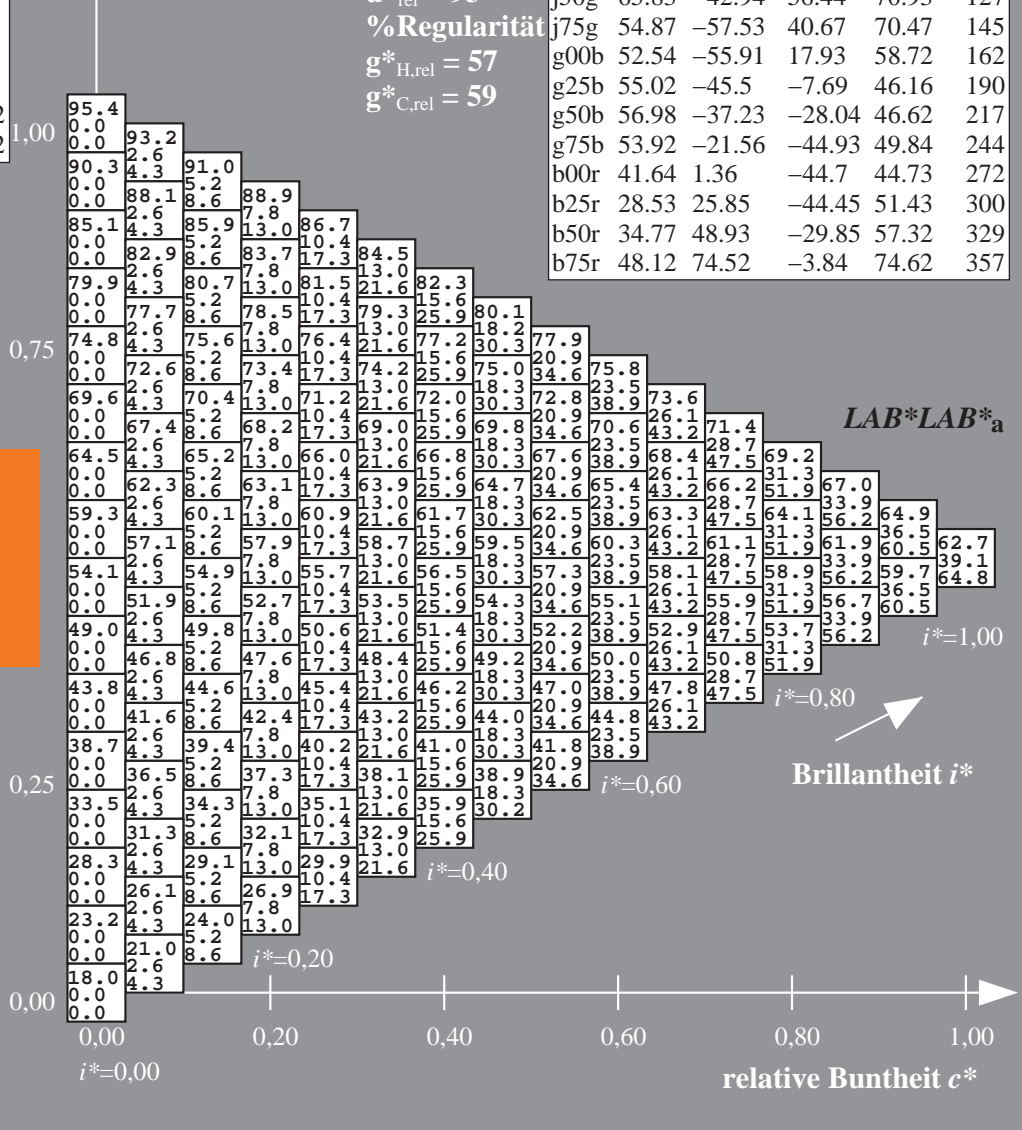
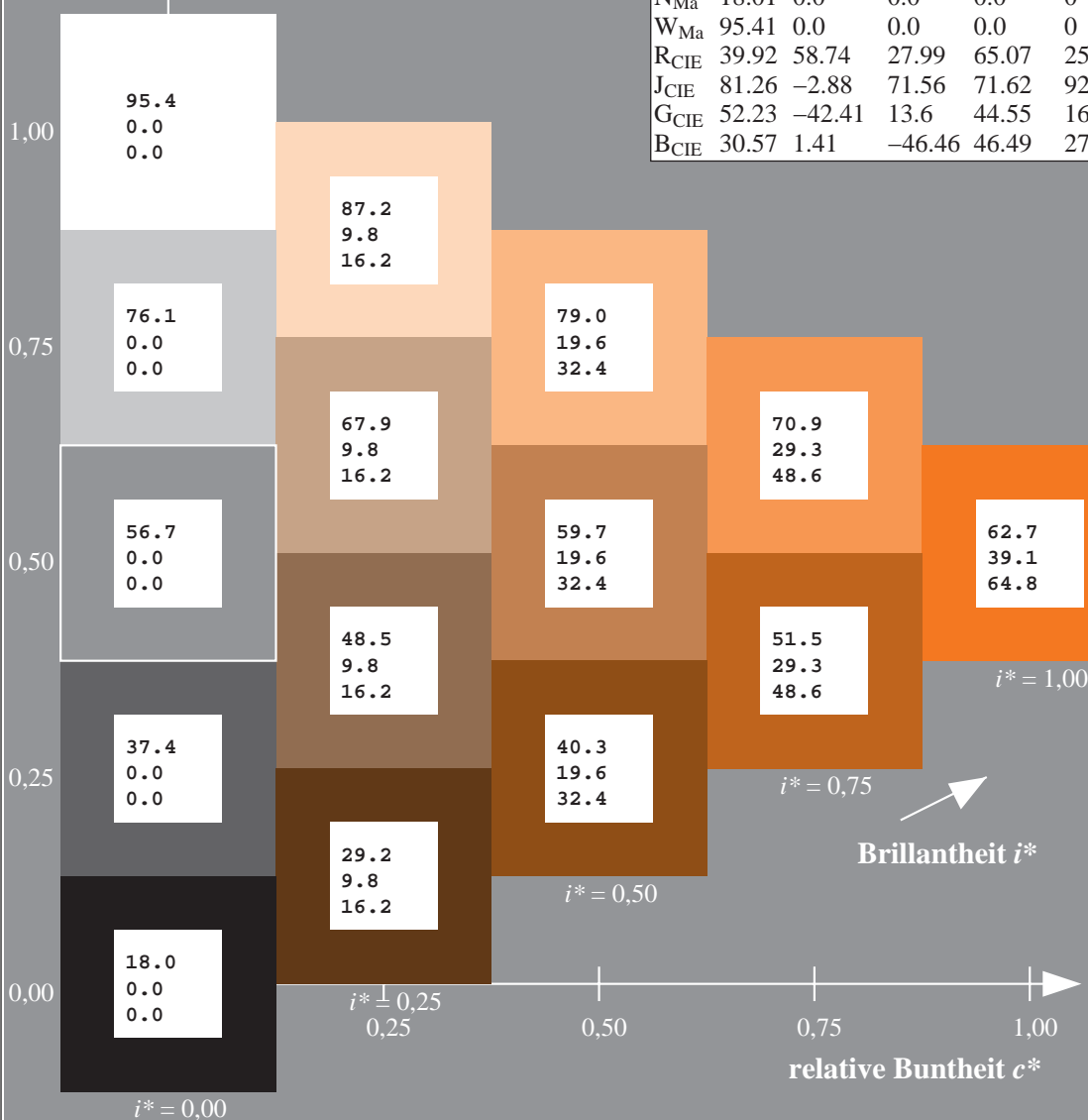
$g^*_{H,rel} = 57$

$g^*_{C,rel} = 59$

$LAB^*LAB^*_a$

ORS18_95aM; adaptierte CIELAB-Daten

	$L^*=L^*_a$	a^*_a	b^*_a	$C^*_{ab,a}$	$h^*_{ab,a}$
r00j	48.0	68.4	32.59	75.77	25
r25j	51.32	59.36	53.8	80.11	42
r50j	62.67	39.12	64.83	75.72	59
r75j	73.73	19.4	75.58	78.03	76
j00g	86.61	-3.55	88.09	88.17	92
j25g	78.07	-26.64	74.05	78.7	110
j50g	65.83	-42.94	56.44	70.93	127
j75g	54.87	-57.53	40.67	70.47	145
g00b	52.54	-55.91	17.93	58.72	162
g25b	55.02	-45.5	-7.69	46.16	190
g50b	56.98	-37.23	-28.04	46.62	217
g75b	53.92	-21.56	-44.93	49.84	244
b00r	41.64	1.36	-44.7	44.73	272
b25r	28.53	25.85	-44.45	51.43	300
b50r	34.77	48.93	-29.85	57.32	329
b75r	48.12	74.52	-3.84	74.62	357



Daten für jede Farbe:

lab^*ch^* und lab^*icu^*

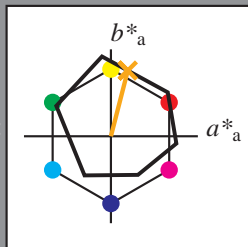
Elementar-Buntontext:

$u^* = r75j$

Kontrastreduzierungsfaktor:

$c_R = 1.0$

Dreiecks-Helligkeit t^*



ORS18_95aM; adaptierte CIELAB-Daten

	$L^*=L^*_a$	a^*_a	b^*_a	$C^*_{ab,a}$	$h^*_{ab,a}$
O _{Ma}	47.94	65.39	50.52	82.63	38
Y _{Ma}	90.37	-10.26	91.75	92.32	96
L _{Ma}	50.9	-62.83	34.96	71.91	151
C _{Ma}	58.62	-30.34	-45.01	54.3	236
V _{Ma}	25.72	31.1	-44.4	54.22	305
M _{Ma}	48.13	75.28	-8.36	75.74	354
N _{Ma}	18.01	0.0	0.0	0.0	0
W _{Ma}	95.41	0.0	0.0	0.0	0
R _{CIE}	39.92	58.74	27.99	65.07	25
J _{CIE}	81.26	-2.88	71.56	71.62	92
G _{CIE}	52.23	-42.41	13.6	44.55	162
B _{CIE}	30.57	1.41	-46.46	46.49	272

Daten für Maximalfarbe (Ma):

$LAB^*LAB^*_Ma$: 74 19 76

$LAB^*LCH^*_Ma$: 74 78 76

$lab^*rgb^*_Ma$: 1.0 0.75 0.0

$lab^*olv^*_Ma$: 1.0 0.61 0.0

Dreiecks-Helligkeit t^*

%Umfang

$u^*_{rel} = 93$

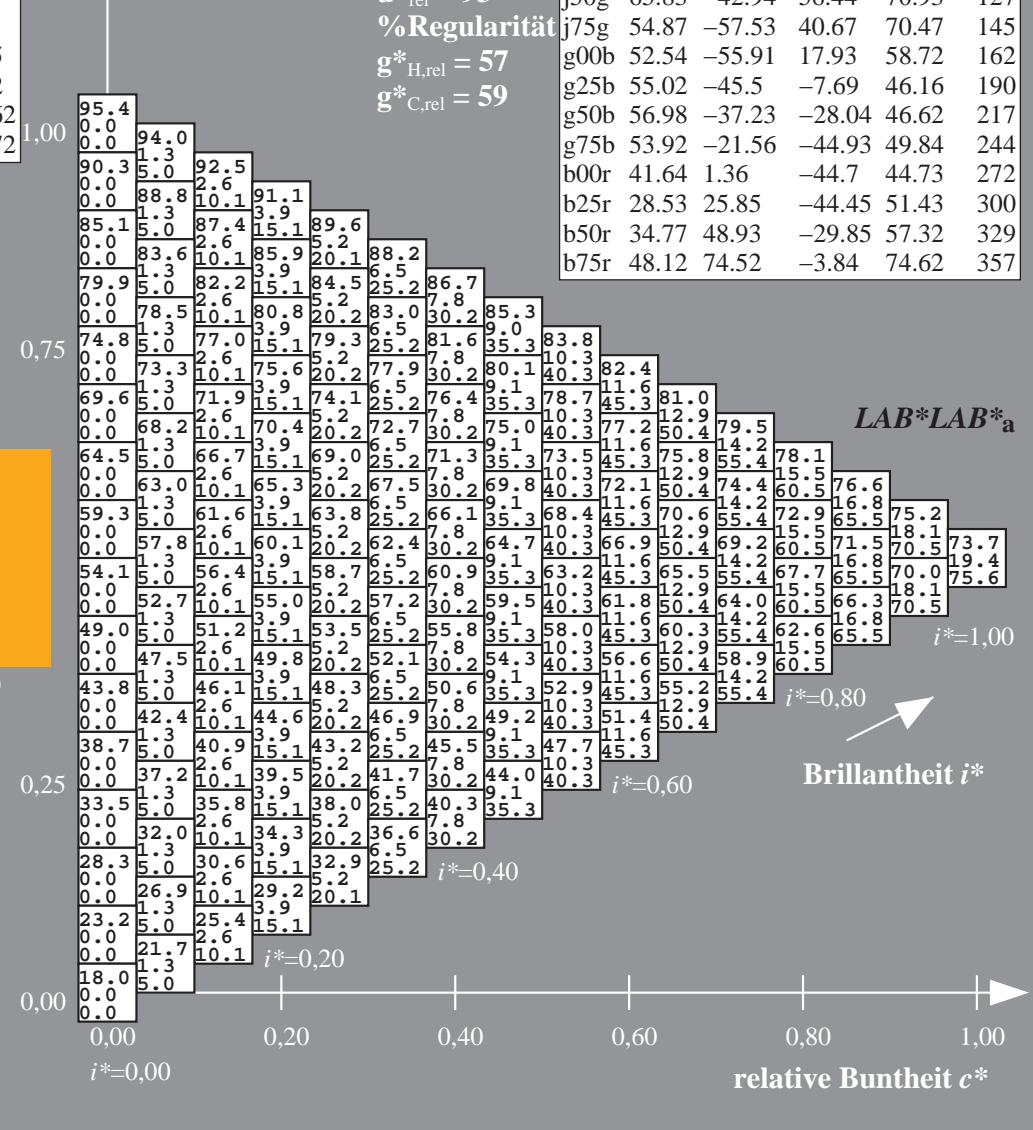
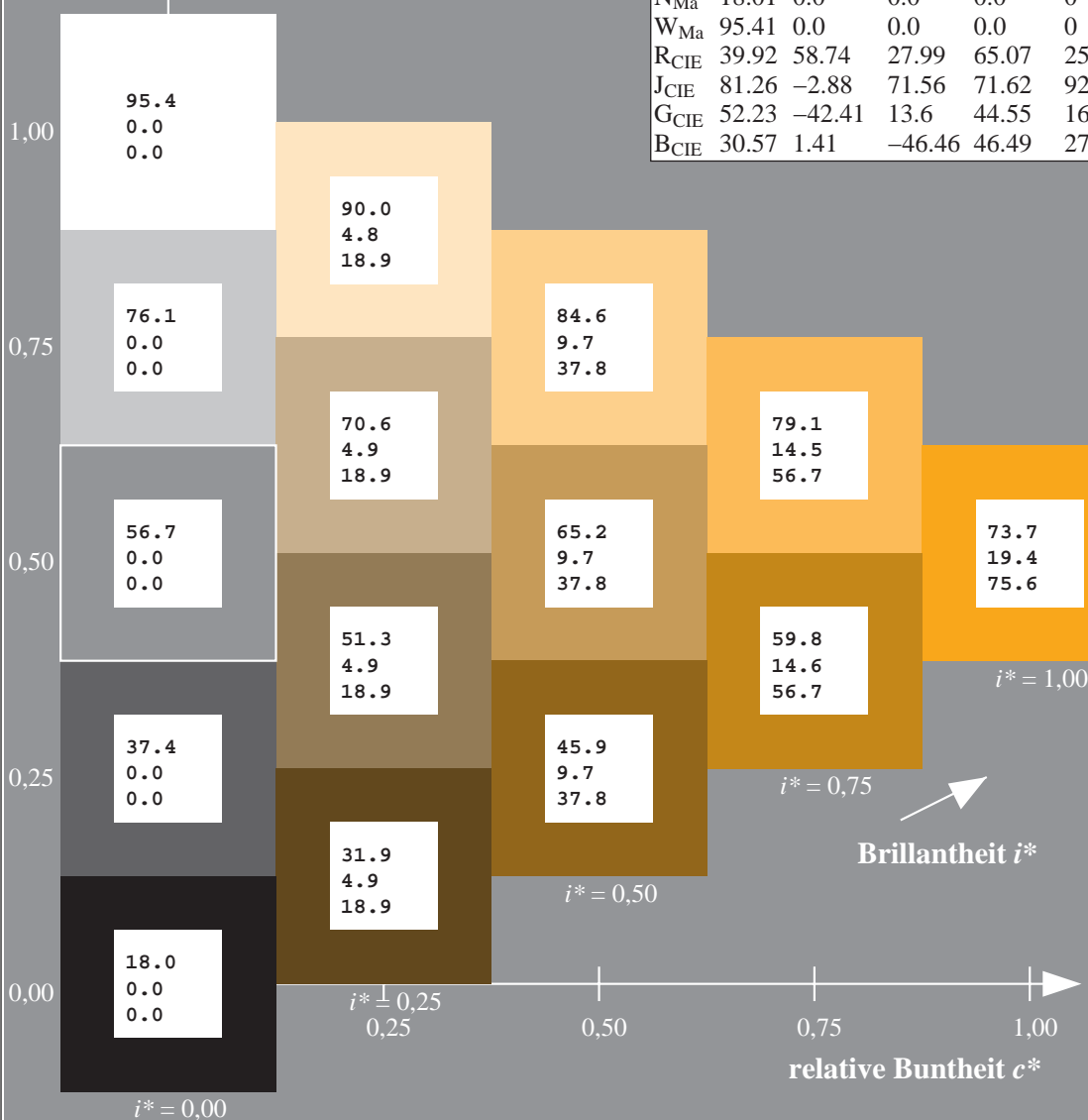
%Regularität

$g^*_{H,rel} = 57$

$g^*_{C,rel} = 59$

ORS18_95aM; adaptierte CIELAB-Daten

	$L^*=L^*_a$	a^*_a	b^*_a	$C^*_{ab,a}$	$h^*_{ab,a}$
r00j	48.0	68.4	32.59	75.77	25
r25j	51.32	59.36	53.8	80.11	42
r50j	62.67	39.12	64.83	75.72	59
r75j	73.73	19.4	75.58	78.03	76
j00g	86.61	-3.55	88.09	88.17	92
j25g	78.07	-26.64	74.05	78.7	110
j50g	65.83	-42.94	56.44	70.93	127
j75g	54.87	-57.53	40.67	70.47	145
g00b	52.54	-55.91	17.93	58.72	162
g25b	55.02	-45.5	-7.69	46.16	190
g50b	56.98	-37.23	-28.04	46.62	217
g75b	53.92	-21.56	-44.93	49.84	244
b00r	41.64	1.36	-44.7	44.73	272
b25r	28.53	25.85	-44.45	51.43	300
b50r	34.77	48.93	-29.85	57.32	329
b75r	48.12	74.52	-3.84	74.62	357



Daten für jede Farbe:

lab^*ch^* und lab^*icu^*

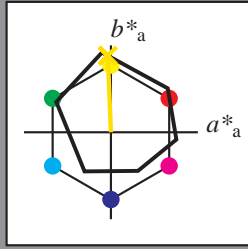
Elementar-Buntontext:

$u^* = j00g$

Kontrastreduzierungsfaktor:

$c_R = 1.0$

Dreiecks-Helligkeit t^*



ORS18_95aM; adaptierte CIELAB-Daten

	$L^*=L^*_a$	a^*_a	b^*_a	$C^*_{ab,a}$	$h^*_{ab,a}$
O _{Ma}	47.94	65.39	50.52	82.63	38
Y _{Ma}	90.37	-10.26	91.75	92.32	96
L _{Ma}	50.9	-62.83	34.96	71.91	151
C _{Ma}	58.62	-30.34	-45.01	54.3	236
V _{Ma}	25.72	31.1	-44.4	54.22	305
M _{Ma}	48.13	75.28	-8.36	75.74	354
N _{Ma}	18.01	0.0	0.0	0.0	0
W _{Ma}	95.41	0.0	0.0	0.0	0
R _{CIE}	39.92	58.74	27.99	65.07	25
J _{CIE}	81.26	-2.88	71.56	71.62	92
G _{CIE}	52.23	-42.41	13.6	44.55	162
B _{CIE}	30.57	1.41	-46.46	46.49	272

Daten für Maximalfarbe (Ma):

$LAB^*LAB^*_Ma: 87 -3 88$

$LAB^*LCH^*_Ma: 87 88 92$

$lab^*rgb^*_Ma: 1.0 1.0 0.0$

$lab^*olv^*_Ma: 1.0 0.91 0.0$

Dreiecks-Helligkeit t^*

%Umfang

$u^*_{rel} = 93$

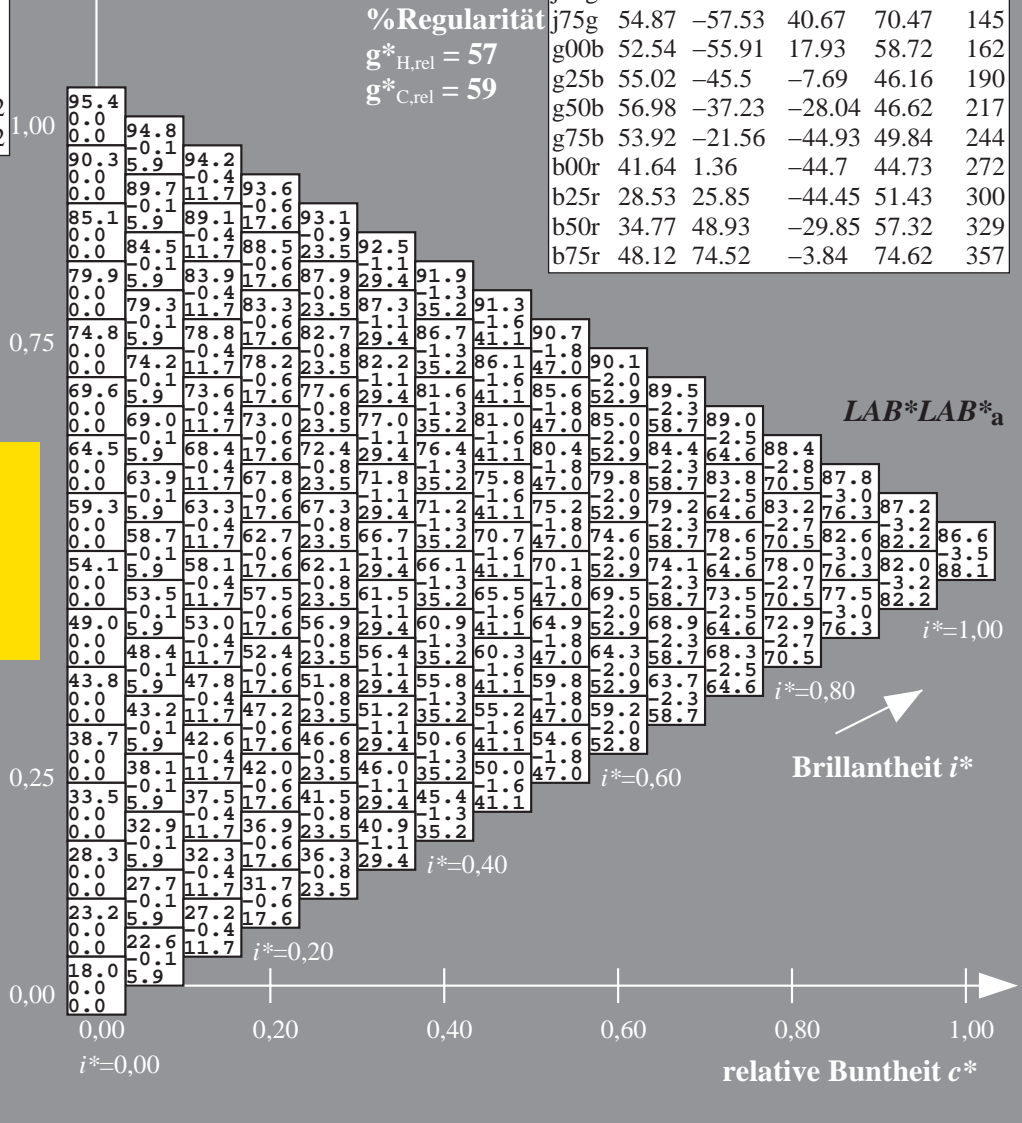
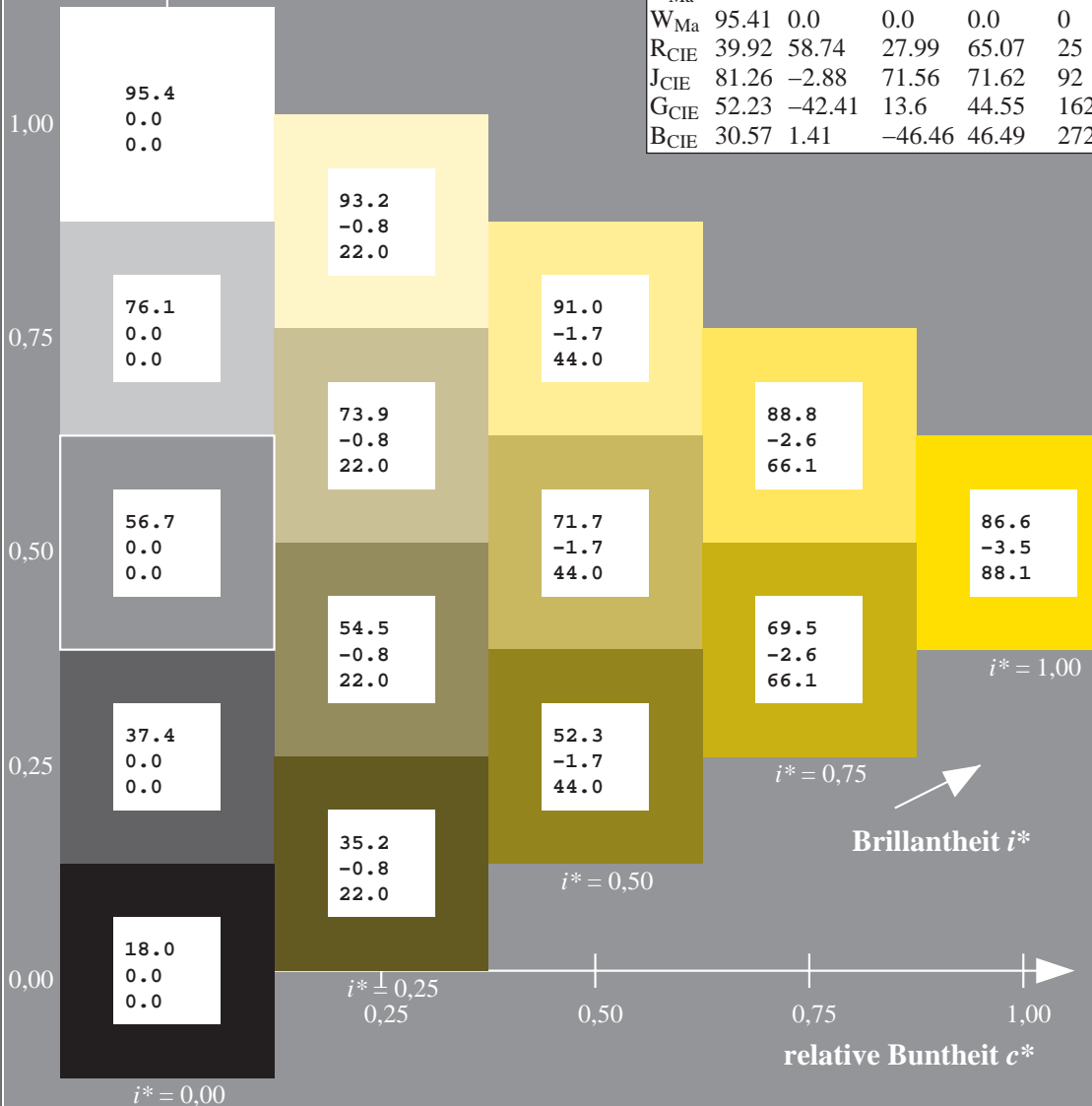
%Regularität

$g^*_{H,rel} = 57$

$g^*_{C,rel} = 59$

$LAB^*LAB^*_a$

	$L^*=L^*_a$	a^*_a	b^*_a	$C^*_{ab,a}$	$h^*_{ab,a}$
r00j	48.0	68.4	32.59	75.77	25
r25j	51.32	59.36	53.8	80.11	42
r50j	62.67	39.12	64.83	75.72	59
r75j	73.73	19.4	75.58	78.03	76
j00g	86.61	-3.55	88.09	88.17	92
j25g	78.07	-26.64	74.05	78.7	110
j50g	65.83	-42.94	56.44	70.93	127
j75g	54.87	-57.53	40.67	70.47	145
g00b	52.54	-55.91	17.93	58.72	162
g25b	55.02	-45.5	-7.69	46.16	190
g50b	56.98	-37.23	-28.04	46.62	217
g75b	53.92	-21.56	-44.93	49.84	244
b00r	41.64	1.36	-44.7	44.73	272
b25r	28.53	25.85	-44.45	51.43	300
b50r	34.77	48.93	-29.85	57.32	329
b75r	48.12	74.52	-3.84	74.62	357



Daten für jede Farbe:

lab^*ch^* und lab^*icu^*

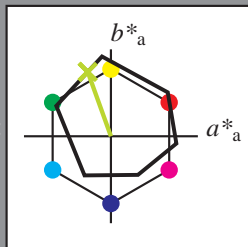
Elementar-Buntontext:

$u^* = j25g$

Kontrastreduzierungsfaktor:

$c_R = 1.0$

Dreiecks-Helligkeit t^*



ORS18_95aM; adaptierte CIELAB-Daten

	$L^*=L^*_a$	a^*_a	b^*_a	$C^*_{ab,a}$	$h^*_{ab,a}$
O _{Ma}	47.94	65.39	50.52	82.63	38
Y _{Ma}	90.37	-10.26	91.75	92.32	96
L _{Ma}	50.9	-62.83	34.96	71.91	151
C _{Ma}	58.62	-30.34	-45.01	54.3	236
V _{Ma}	25.72	31.1	-44.4	54.22	305
M _{Ma}	48.13	75.28	-8.36	75.74	354
N _{Ma}	18.01	0.0	0.0	0.0	0
W _{Ma}	95.41	0.0	0.0	0.0	0
R _{CIE}	39.92	58.74	27.99	65.07	25
J _{CIE}	81.26	-2.88	71.56	71.62	92
G _{CIE}	52.23	-42.41	13.6	44.55	162
B _{CIE}	30.57	1.41	-46.46	46.49	272

Daten für Maximalfarbe (Ma):

$LAB^*LAB^*_Ma$: 78 -26 74

$LAB^*LCH^*_Ma$: 78 79 110

$lab^*rgb^*_Ma$: 0.75 1.0 0.0

$lab^*olv^*_Ma$: 0.69 1.0 0.0

Dreiecks-Helligkeit t^*

%Umfang

$u^*_{rel} = 93$

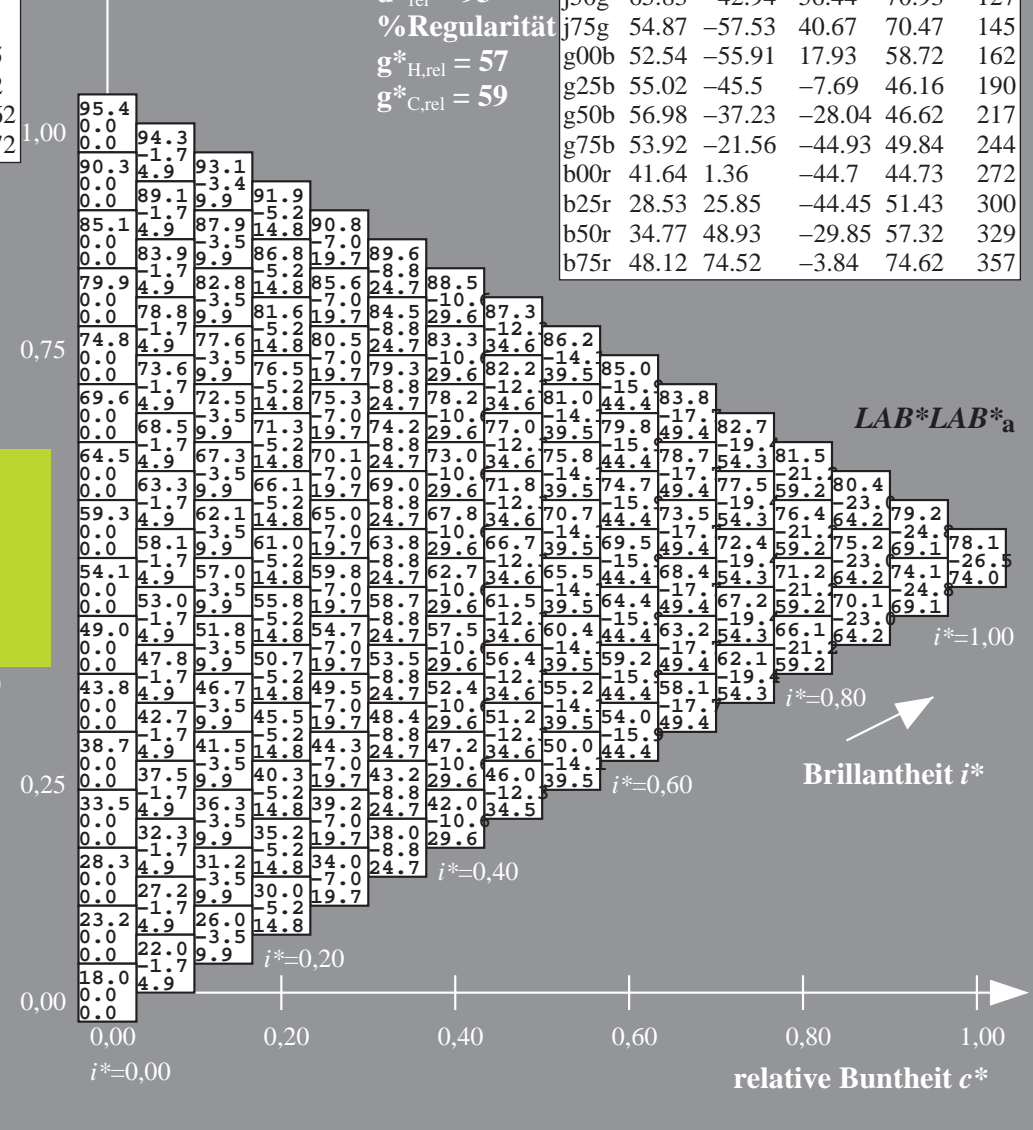
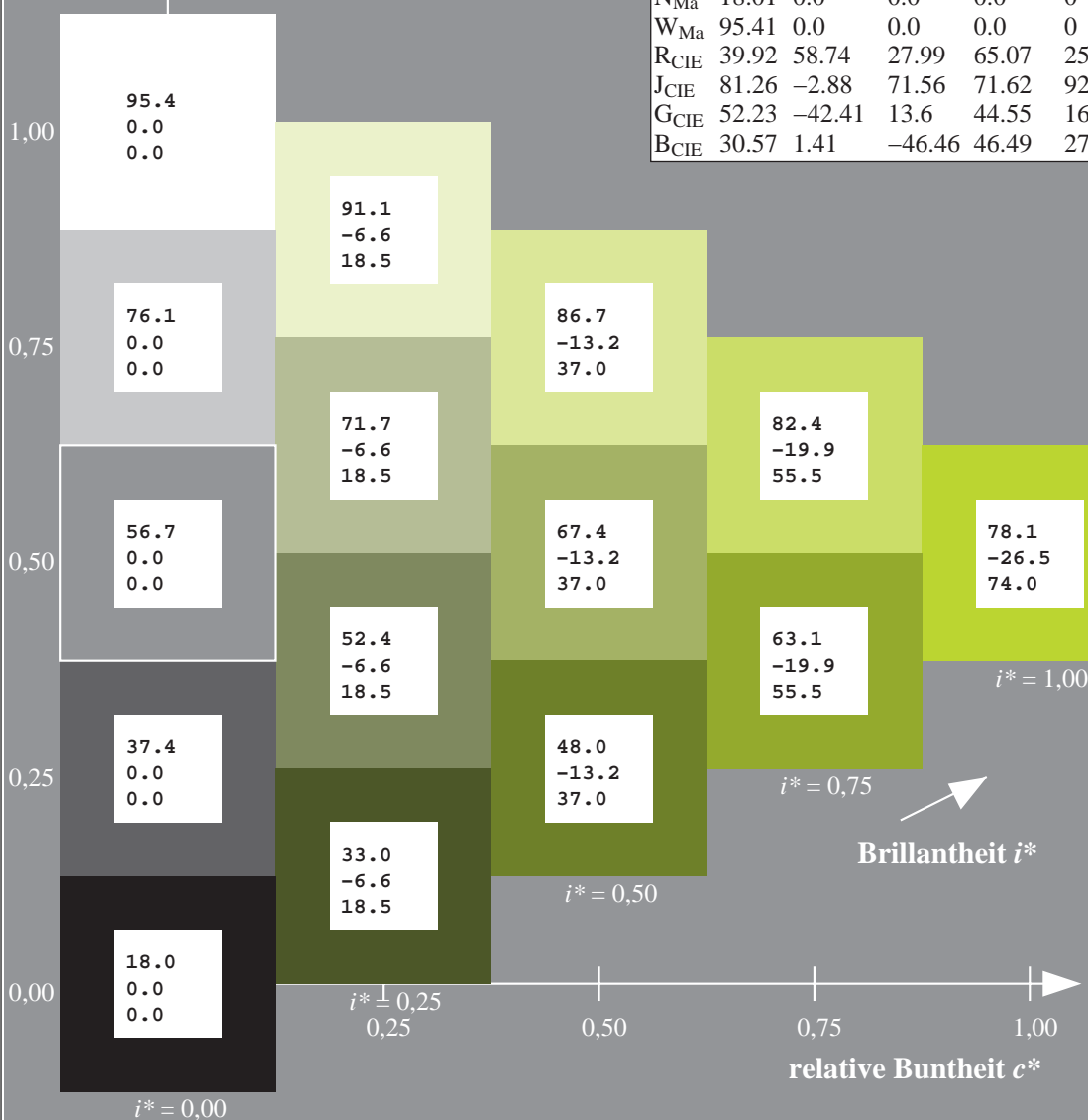
%Regularität

$g^*_{H,rel} = 57$

$g^*_{C,rel} = 59$

$LAB^*LAB^*_a$

	$L^*=L^*_a$	a^*_a	b^*_a	$C^*_{ab,a}$	$h^*_{ab,a}$
r00j	48.0	68.4	32.59	75.77	25
r25j	51.32	59.36	53.8	80.11	42
r50j	62.67	39.12	64.83	75.72	59
r75j	73.73	19.4	75.58	78.03	76
j00g	86.61	-3.55	88.09	88.17	92
j25g	78.07	-26.64	74.05	78.7	110
j50g	65.83	-42.94	56.44	70.93	127
j75g	54.87	-57.53	40.67	70.47	145
g00b	52.54	-55.91	17.93	58.72	162
g25b	55.02	-45.5	-7.69	46.16	190
g50b	56.98	-37.23	-28.04	46.62	217
g75b	53.92	-21.56	-44.93	49.84	244
b00r	41.64	1.36	-44.7	44.73	272
b25r	28.53	25.85	-44.45	51.43	300
b50r	34.77	48.93	-29.85	57.32	329
b75r	48.12	74.52	-3.84	74.62	357



Daten für jede Farbe:

lab^*ch^* und lab^*icu^*

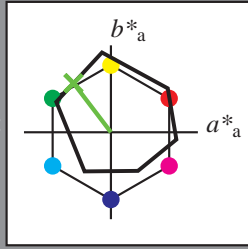
Elementar-Buntontext:

$u^* = j50g$

Kontrastreduzierungsfaktor:

$c_R = 1.0$

Dreiecks-Helligkeit t^*



ORS18_95aM; adaptierte CIELAB-Daten

	$L^*=L^*_a$	a^*_a	b^*_a	$C^*_{ab,a}$	$h^*_{ab,a}$
O _{Ma}	47.94	65.39	50.52	82.63	38
Y _{Ma}	90.37	-10.26	91.75	92.32	96
L _{Ma}	50.9	-62.83	34.96	71.91	151
C _{Ma}	58.62	-30.34	-45.01	54.3	236
V _{Ma}	25.72	31.1	-44.4	54.22	305
M _{Ma}	48.13	75.28	-8.36	75.74	354
N _{Ma}	18.01	0.0	0.0	0.0	0
W _{Ma}	95.41	0.0	0.0	0.0	0
R _{CIE}	39.92	58.74	27.99	65.07	25
J _{CIE}	81.26	-2.88	71.56	71.62	92
G _{CIE}	52.23	-42.41	13.6	44.55	162
B _{CIE}	30.57	1.41	-46.46	46.49	272

Daten für Maximalfarbe (Ma):

$LAB^*LAB^*_Ma: 66 -42 56$

$LAB^*LCH^*_Ma: 66 71 127$

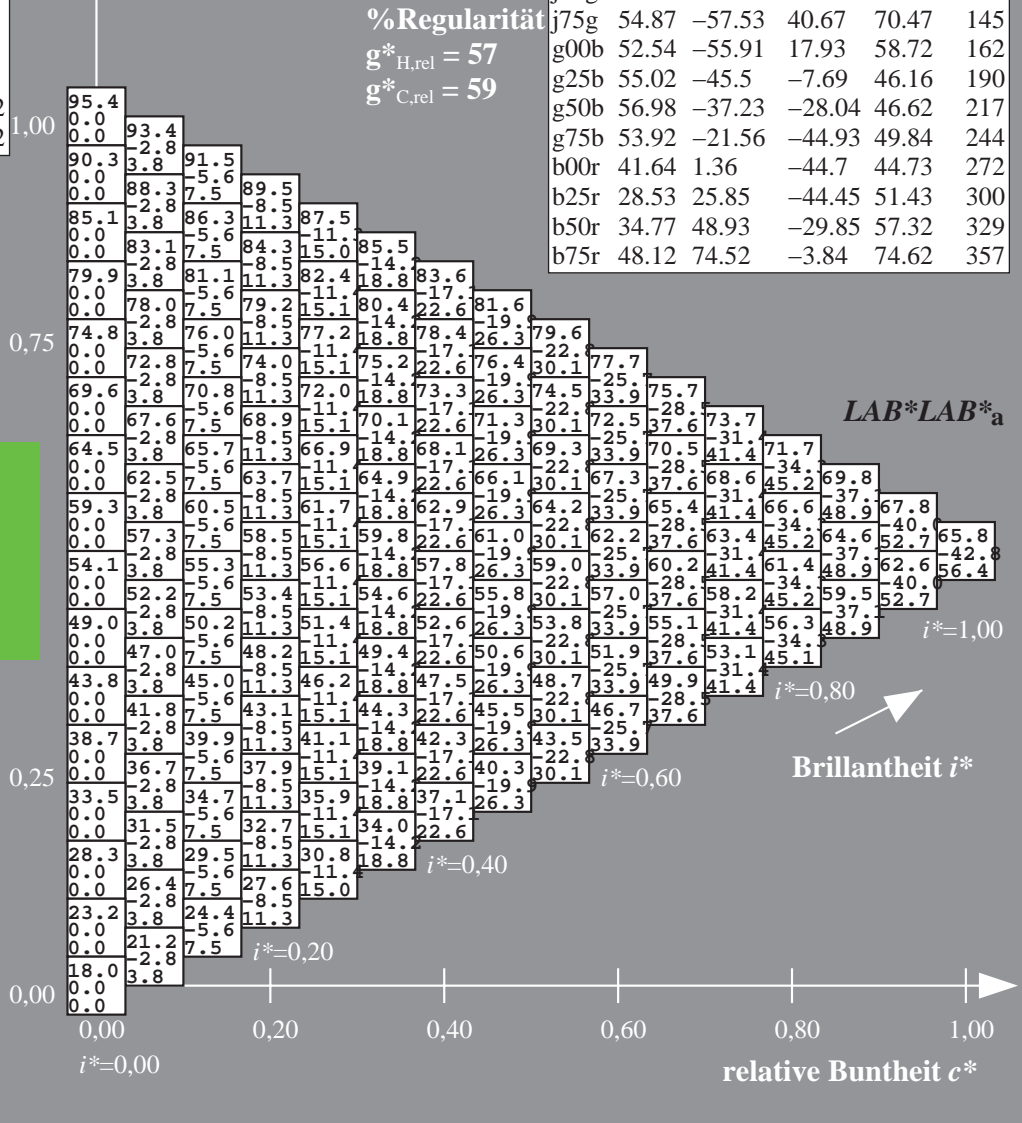
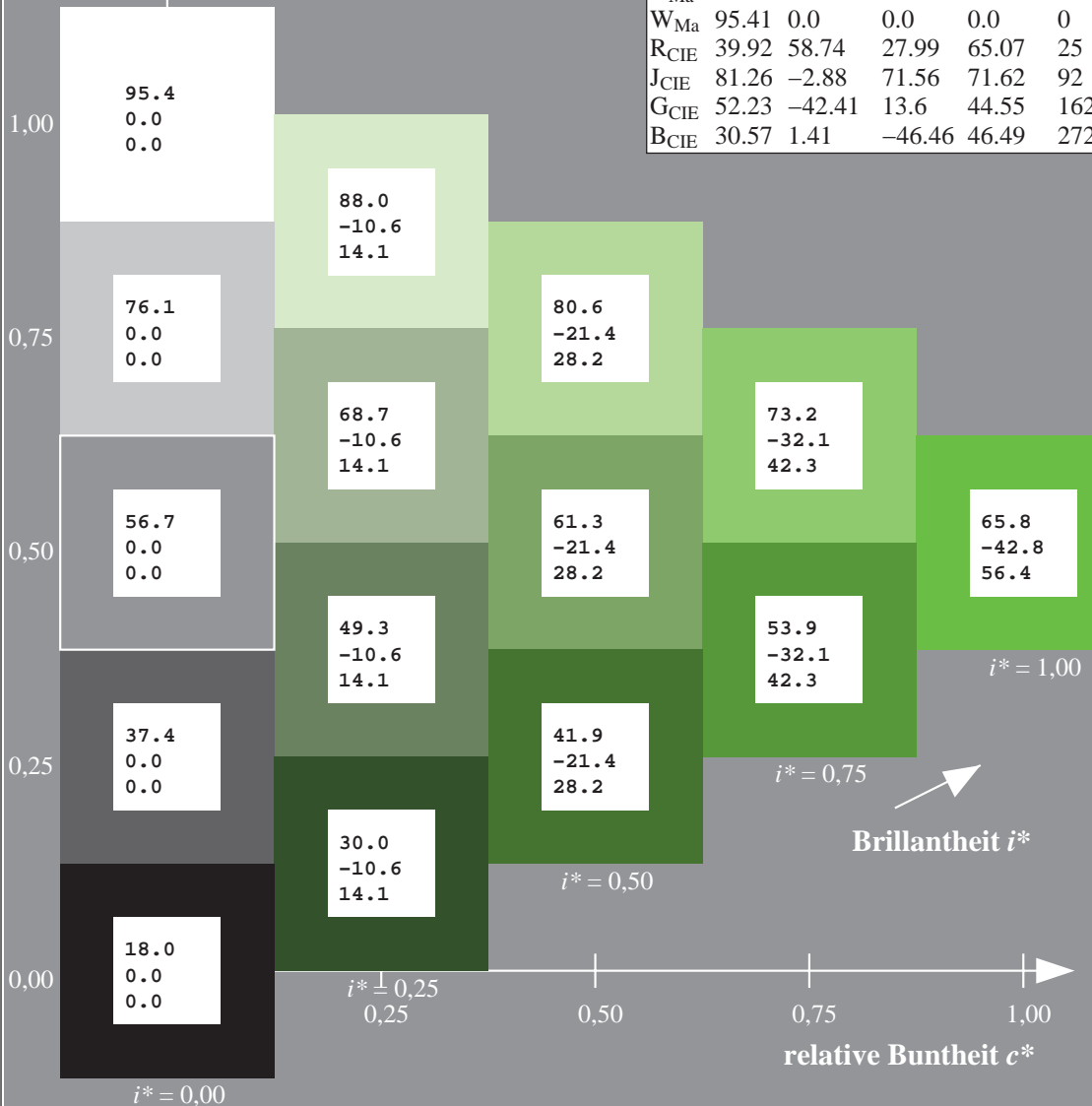
$lab^*rgb^*_Ma: 0.5 1.0 0.0$

$lab^*olv^*_Ma: 0.38 1.0 0.0$

$LAB^*LAB^*_a$

ORS18_95aM; adaptierte CIELAB-Daten

	$L^*=L^*_a$	a^*_a	b^*_a	$C^*_{ab,a}$	$h^*_{ab,a}$
r00j	48.0	68.4	32.59	75.77	25
r25j	51.32	59.36	53.8	80.11	42
r50j	62.67	39.12	64.83	75.72	59
r75j	73.73	19.4	75.58	78.03	76
j00g	86.61	-3.55	88.09	88.17	92
j25g	78.07	-26.64	74.05	78.7	110
j50g	65.83	-42.94	56.44	70.93	127
j75g	54.87	-57.53	40.67	70.47	145
g00b	52.54	-55.91	17.93	58.72	162
g25b	55.02	-45.5	-7.69	46.16	190
g50b	56.98	-37.23	-28.04	46.62	217
g75b	53.92	-21.56	-44.93	49.84	244
b00r	41.64	1.36	-44.7	44.73	272
b25r	28.53	25.85	-44.45	51.43	300
b50r	34.77	48.93	-29.85	57.32	329
b75r	48.12	74.52	-3.84	74.62	357



Daten für jede Farbe:

lab^*ch^* und lab^*icu^*

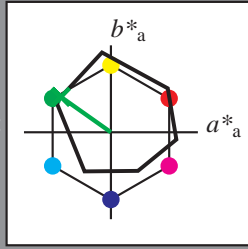
Elementar-Buntontext:

$u^* = j75g$

Kontrastreduzierungsfaktor:

$c_R = 1.0$

Dreiecks-Helligkeit t^*



ORS18_95aM; adaptierte CIELAB-Daten

	$L^*=L^*_a$	a^*_a	b^*_a	$C^*_{ab,a}$	$h^*_{ab,a}$
O _{Ma}	47.94	65.39	50.52	82.63	38
Y _{Ma}	90.37	-10.26	91.75	92.32	96
L _{Ma}	50.9	-62.83	34.96	71.91	151
C _{Ma}	58.62	-30.34	-45.01	54.3	236
V _{Ma}	25.72	31.1	-44.4	54.22	305
M _{Ma}	48.13	75.28	-8.36	75.74	354
N _{Ma}	18.01	0.0	0.0	0.0	0
W _{Ma}	95.41	0.0	0.0	0.0	0
R _{CIE}	39.92	58.74	27.99	65.07	25
J _{CIE}	81.26	-2.88	71.56	71.62	92
G _{CIE}	52.23	-42.41	13.6	44.55	162
B _{CIE}	30.57	1.41	-46.46	46.49	272

Daten für Maximalfarbe (Ma):

$LAB^*LAB^*_Ma$: 55 -57 41

$LAB^*LCH^*_Ma$: 55 70 145

$lab^*rgb^*_Ma$: 0.25 1.0 0.0

$lab^*olv^*_Ma$: 0.1 1.0 0.0

Dreiecks-Helligkeit t^*

%Umfang

$u^*_{rel} = 93$

%Regularität

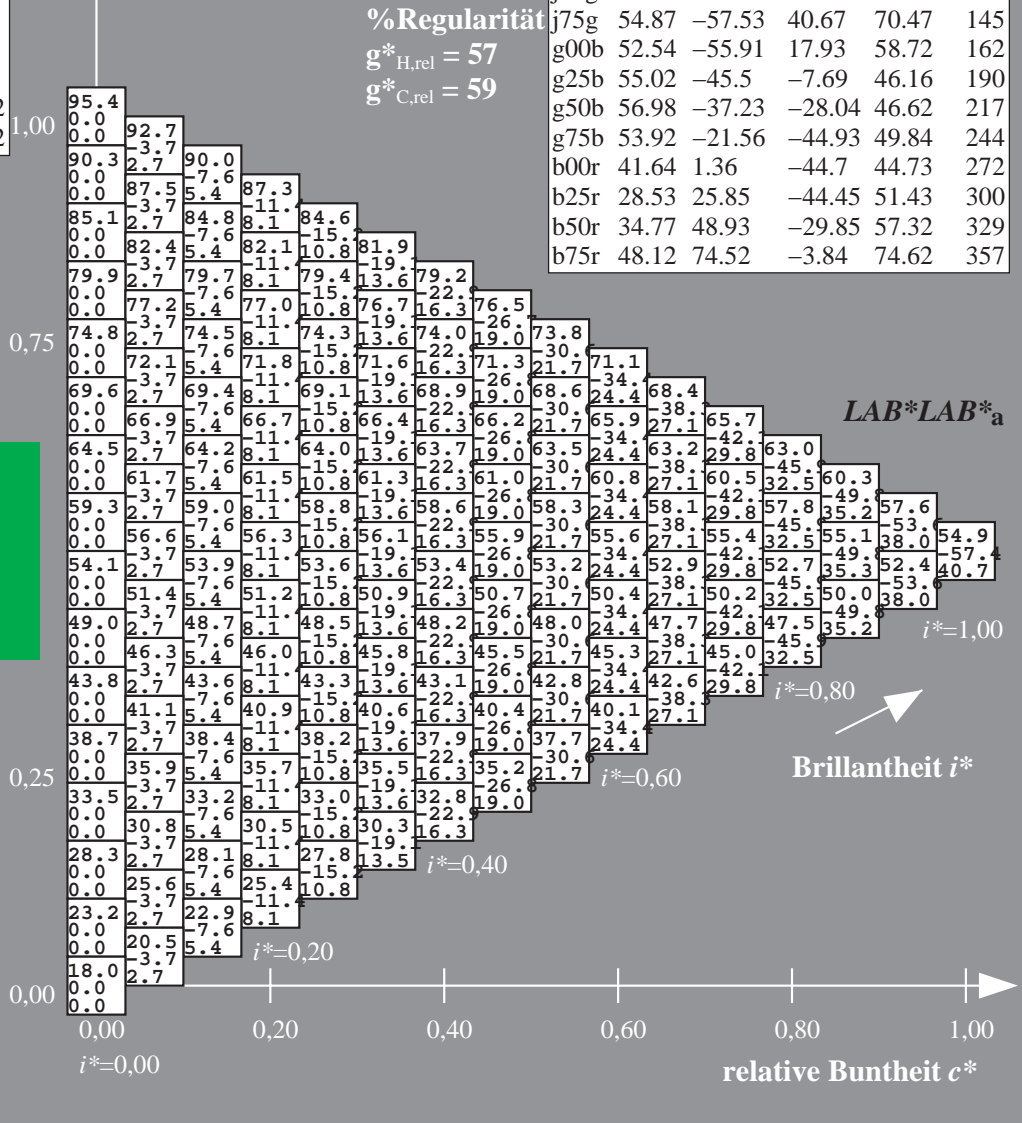
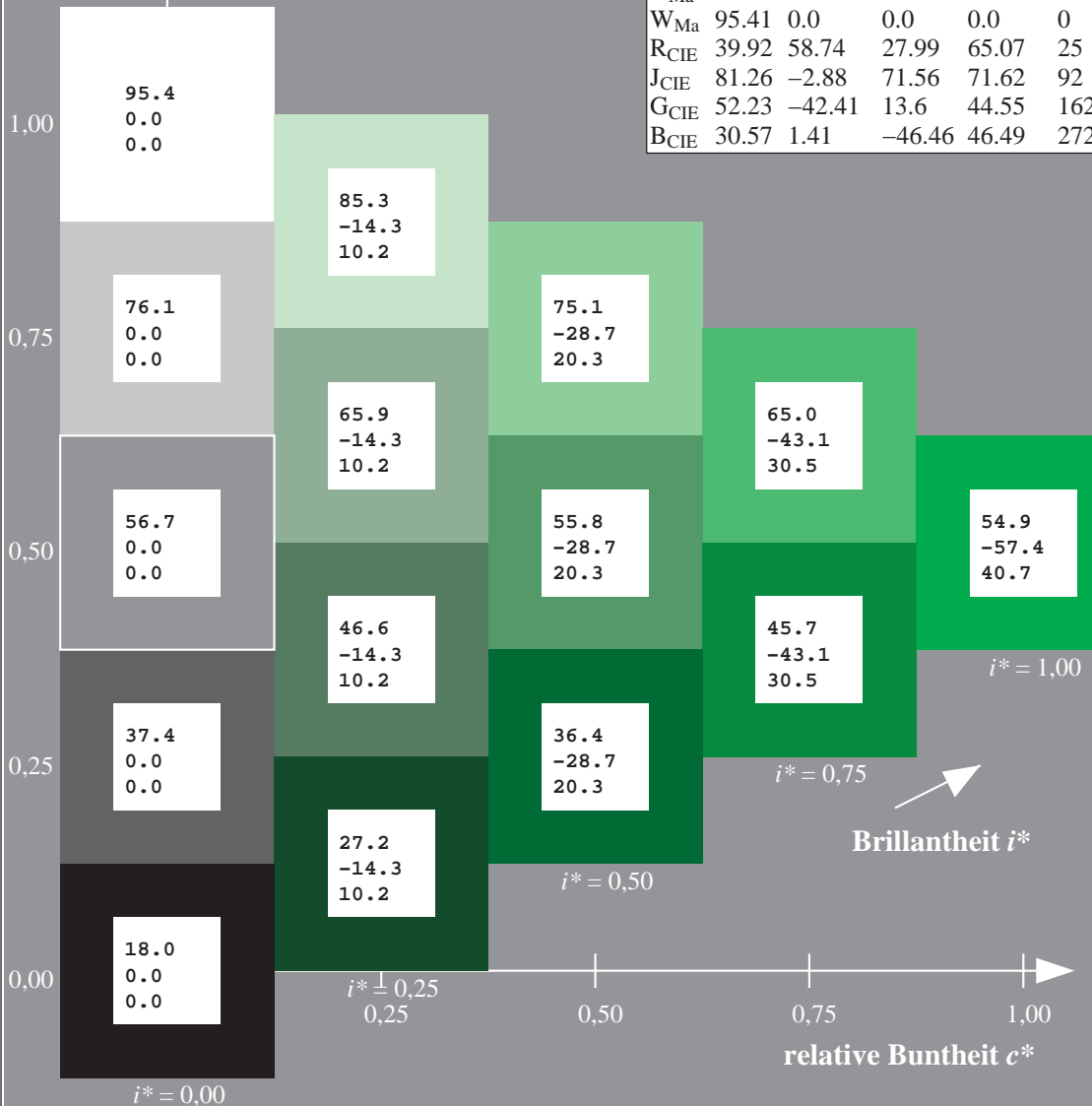
$g^*_{H,rel} = 57$

$g^*_{C,rel} = 59$

$LAB^*LAB^*_a$

ORS18_95aM; adaptierte CIELAB-Daten

	$L^*=L^*_a$	a^*_a	b^*_a	$C^*_{ab,a}$	$h^*_{ab,a}$
r00j	48.0	68.4	32.59	75.77	25
r25j	51.32	59.36	53.8	80.11	42
r50j	62.67	39.12	64.83	75.72	59
r75j	73.73	19.4	75.58	78.03	76
j00g	86.61	-3.55	88.09	88.17	92
j25g	78.07	-26.64	74.05	78.7	110
j50g	65.83	-42.94	56.44	70.93	127
j75g	54.87	-57.53	40.67	70.47	145
g00b	52.54	-55.91	17.93	58.72	162
g25b	55.02	-45.5	-7.69	46.16	190
g50b	56.98	-37.23	-28.04	46.62	217
g75b	53.92	-21.56	-44.93	49.84	244
b00r	41.64	1.36	-44.7	44.73	272
b25r	28.53	25.85	-44.45	51.43	300
b50r	34.77	48.93	-29.85	57.32	329
b75r	48.12	74.52	-3.84	74.62	357



Daten für jede Farbe:

lab^*ch^* und lab^*icu^*

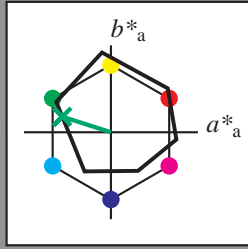
Elementar-Buntontext:

$u^* = g00b$

Kontrastreduzierungsfaktor:

$c_R = 1.0$

Dreiecks-Helligkeit t^*



ORS18_95aM; adaptierte CIELAB-Daten

	$L^*=L^*_a$	a^*_a	b^*_a	$C^*_{ab,a}$	$h^*_{ab,a}$
O _{Ma}	47.94	65.39	50.52	82.63	38
Y _{Ma}	90.37	-10.26	91.75	92.32	96
L _{Ma}	50.9	-62.83	34.96	71.91	151
C _{Ma}	58.62	-30.34	-45.01	54.3	236
V _{Ma}	25.72	31.1	-44.4	54.22	305
M _{Ma}	48.13	75.28	-8.36	75.74	354
N _{Ma}	18.01	0.0	0.0	0.0	0
W _{Ma}	95.41	0.0	0.0	0.0	0
R _{CIE}	39.92	58.74	27.99	65.07	25
J _{CIE}	81.26	-2.88	71.56	71.62	92
G _{CIE}	52.23	-42.41	13.6	44.55	162
B _{CIE}	30.57	1.41	-46.46	46.49	272

Daten für Maximalfarbe (Ma):

$LAB^*LAB^*_Ma$: 53 -55 18

$LAB^*LCH^*_Ma$: 53 59 162

$lab^*rgb^*_Ma$: 0.0 1.0 0.0

$lab^*olv^*_Ma$: 0.0 1.0 0.21

Dreiecks-Helligkeit t^*

%Umfang

$u^*_{rel} = 93$

%Regularität

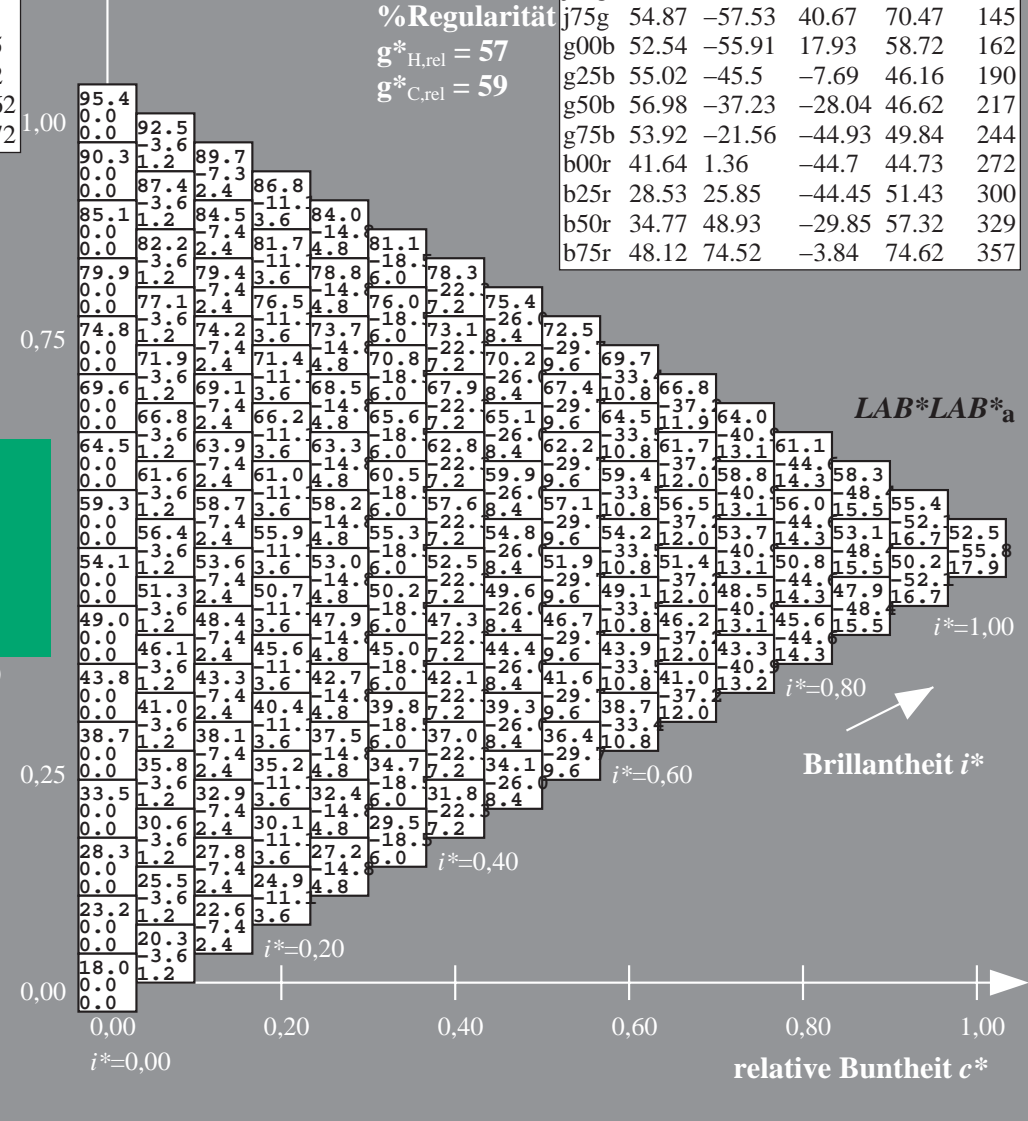
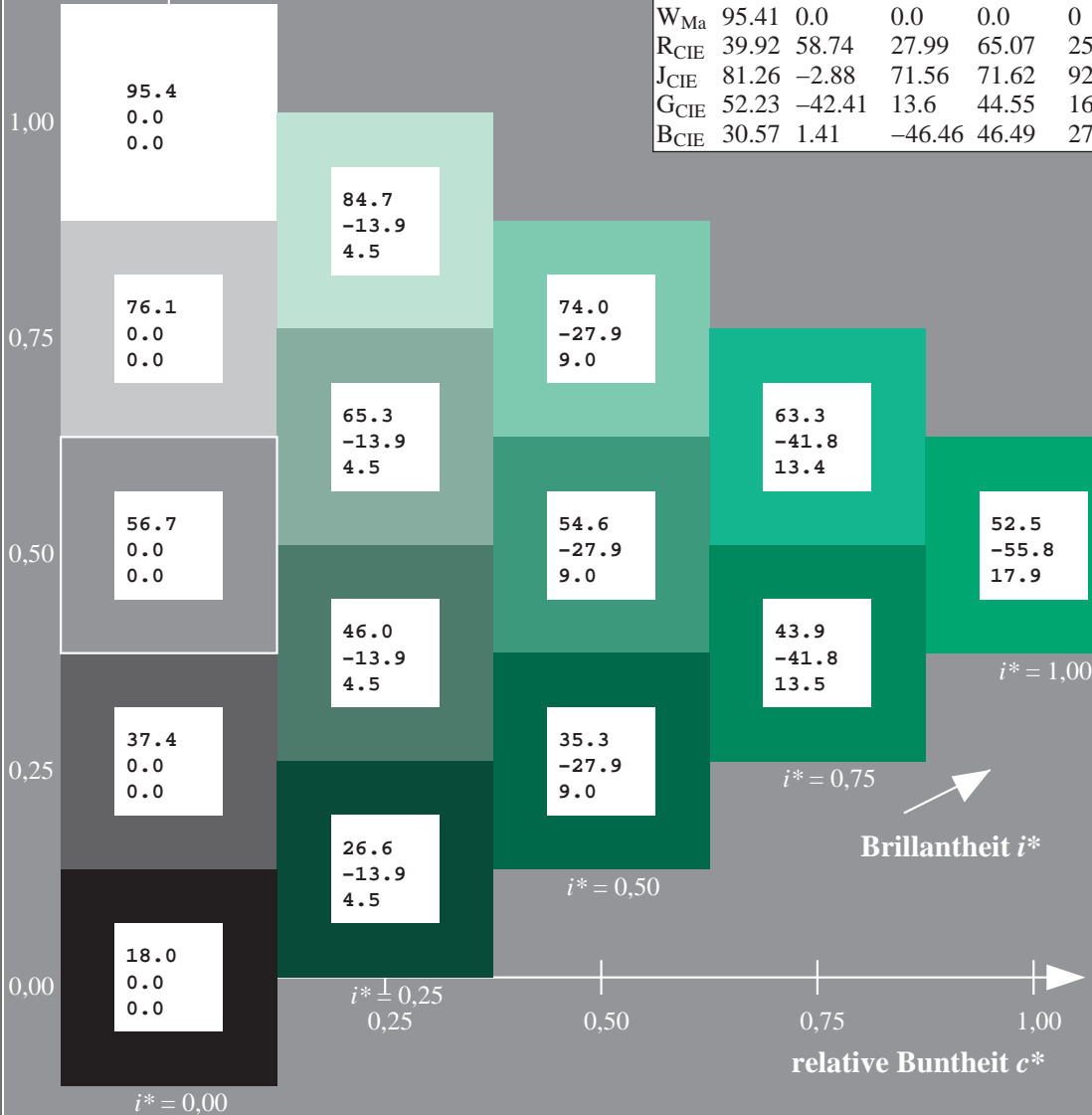
$g^*_{H,rel} = 57$

$g^*_{C,rel} = 59$

$LAB^*LAB^*_a$

ORS18_95aM; adaptierte CIELAB-Daten

	$L^*=L^*_a$	a^*_a	b^*_a	$C^*_{ab,a}$	$h^*_{ab,a}$
r00j	48.0	68.4	32.59	75.77	25
r25j	51.32	59.36	53.8	80.11	42
r50j	62.67	39.12	64.83	75.72	59
r75j	73.73	19.4	75.58	78.03	76
j00g	86.61	-3.55	88.09	88.17	92
j25g	78.07	-26.64	74.05	78.7	110
j50g	65.83	-42.94	56.44	70.93	127
j75g	54.87	-57.53	40.67	70.47	145
g00b	52.54	-55.91	17.93	58.72	162
g25b	55.02	-45.5	-7.69	46.16	190
g50b	56.98	-37.23	-28.04	46.62	217
g75b	53.92	-21.56	-44.93	49.84	244
b00r	41.64	1.36	-44.7	44.73	272
b25r	28.53	25.85	-44.45	51.43	300
b50r	34.77	48.93	-29.85	57.32	329
b75r	48.12	74.52	-3.84	74.62	357



Ein und Ausgabe: Farbmetrisches Drucker-Reflektiv-System ORS18_95aM für relativen CIELAB-Bunton $h^* = lab^*h^* = h_{ab}/360 = 190/360 = 0.527$ $u^* = g25b$

Daten für jede Farbe:

lab^*ch^* und lab^*icu^*

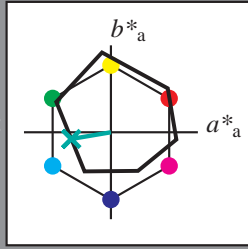
Elementar-Buntoncontext:

$u^* = g25b$

Kontrastreduzierungsfaktor:

$c_R = 1.0$

Dreiecks-Helligkeit t^*



ORS18_95aM; adaptierte CIELAB-Daten

	$L^*=L^*_a$	a^*_a	b^*_a	$C^*_{ab,a}$	$h^*_{ab,a}$
O _{Ma}	47.94	65.39	50.52	82.63	38
Y _{Ma}	90.37	-10.26	91.75	92.32	96
L _{Ma}	50.9	-62.83	34.96	71.91	151
C _{Ma}	58.62	-30.34	-45.01	54.3	236
V _{Ma}	25.72	31.1	-44.4	54.22	305
M _{Ma}	48.13	75.28	-8.36	75.74	354
N _{Ma}	18.01	0.0	0.0	0.0	0
W _{Ma}	95.41	0.0	0.0	0.0	0
R _{CIE}	39.92	58.74	27.99	65.07	25
J _{CIE}	81.26	-2.88	71.56	71.62	92
G _{CIE}	52.23	-42.41	13.6	44.55	162
B _{CIE}	30.57	1.41	-46.46	46.49	272

Daten für Maximalfarbe (Ma):

$LAB^*LAB^*_Ma: 55 -45 -7$

$LAB^*LCH^*_Ma: 55 46 190$

$lab^*rgb^*_Ma: 0.0 1.0 0.5$

$lab^*olv^*_Ma: 0.0 1.0 0.53$

Dreiecks-Helligkeit t^*

%Umfang

$u^*_{rel} = 93$

%Regularität

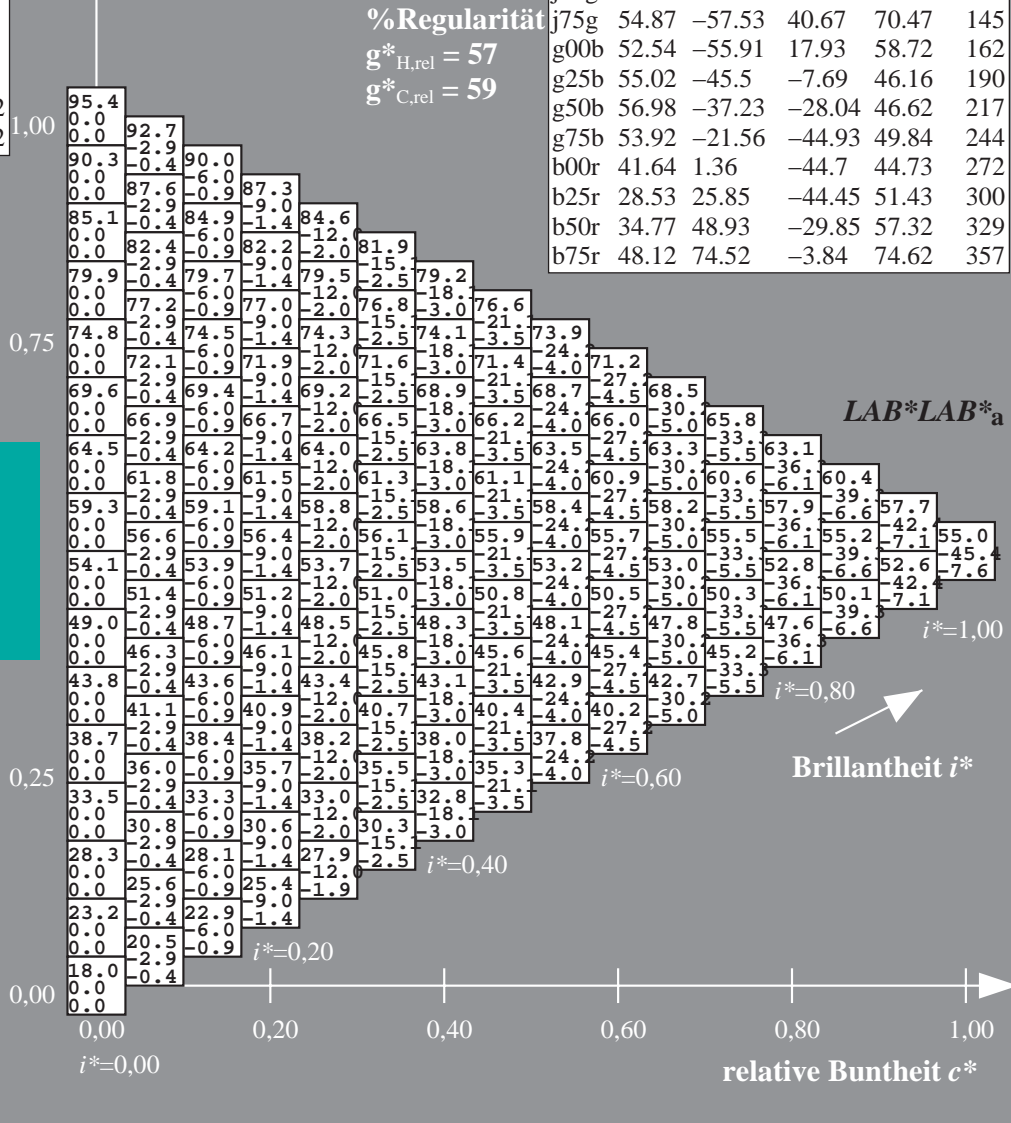
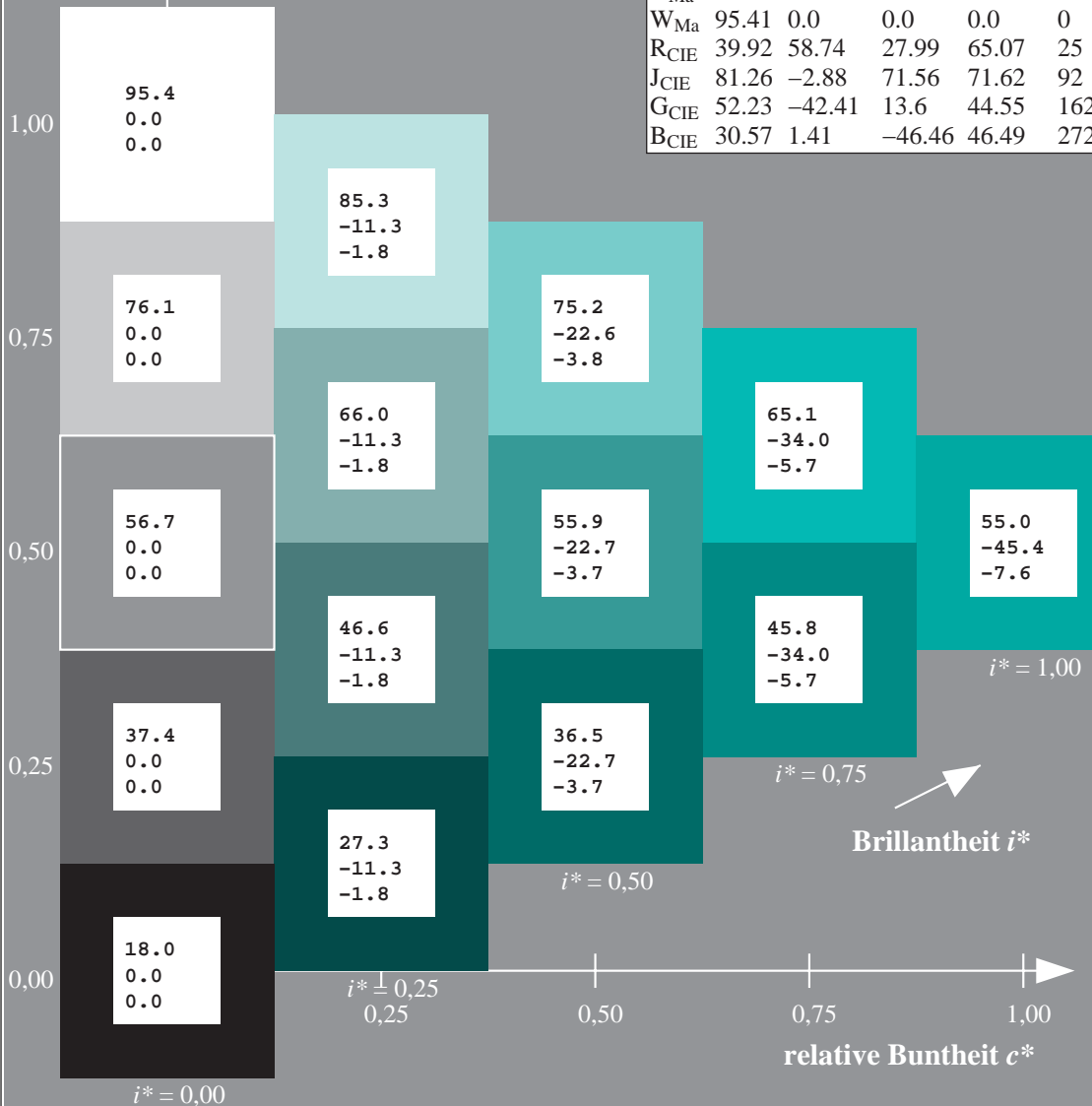
$g^*_{H,rel} = 57$

$g^*_{C,rel} = 59$

$LAB^*LAB^*_a$

ORS18_95aM; adaptierte CIELAB-Daten

	$L^*=L^*_a$	a^*_a	b^*_a	$C^*_{ab,a}$	$h^*_{ab,a}$
r00j	48.0	68.4	32.59	75.77	25
r25j	51.32	59.36	53.8	80.11	42
r50j	62.67	39.12	64.83	75.72	59
r75j	73.73	19.4	75.58	78.03	76
j00g	86.61	-3.55	88.09	88.17	92
j25g	78.07	-26.64	74.05	78.7	110
j50g	65.83	-42.94	56.44	70.93	127
j75g	54.87	-57.53	40.67	70.47	145
g00b	52.54	-55.91	17.93	58.72	162
g25b	55.02	-45.5	-7.69	46.16	190
g50b	56.98	-37.23	-28.04	46.62	217
g75b	53.92	-21.56	-44.93	49.84	244
b00r	41.64	1.36	-44.7	44.73	272
b25r	28.53	25.85	-44.45	51.43	300
b50r	34.77	48.93	-29.85	57.32	329
b75r	48.12	74.52	-3.84	74.62	357



Daten für jede Farbe:

lab^*ch^* und lab^*icu^*

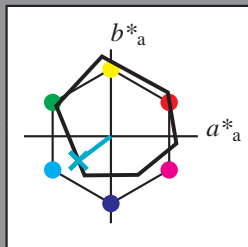
Elementar-Buntontext:

$u^* = g50b$

Kontrastreduzierungsfaktor:

$c_R = 1.0$

Dreiecks-Helligkeit t^*



ORS18_95aM; adaptierte CIELAB-Daten

	$L^*=L^*_a$	a^*_a	b^*_a	$C^*_{ab,a}$	$h^*_{ab,a}$
O _{Ma}	47.94	65.39	50.52	82.63	38
Y _{Ma}	90.37	-10.26	91.75	92.32	96
L _{Ma}	50.9	-62.83	34.96	71.91	151
C _{Ma}	58.62	-30.34	-45.01	54.3	236
V _{Ma}	25.72	31.1	-44.4	54.22	305
M _{Ma}	48.13	75.28	-8.36	75.74	354
N _{Ma}	18.01	0.0	0.0	0.0	0
W _{Ma}	95.41	0.0	0.0	0.0	0
R _{CIE}	39.92	58.74	27.99	65.07	25
J _{CIE}	81.26	-2.88	71.56	71.62	92
G _{CIE}	52.23	-42.41	13.6	44.55	162
B _{CIE}	30.57	1.41	-46.46	46.49	272

Daten für Maximalfarbe (Ma):

$LAB^*LAB^*_Ma: 57 -36 -27$

$LAB^*LCH^*_Ma: 57 47 217$

$lab^*rgb^*_Ma: 0.0 1.0 1.0$

$lab^*olv^*_Ma: 0.0 1.0 0.79$

Dreiecks-Helligkeit t^*

%Umfang

$u^*_{rel} = 93$

%Regularität

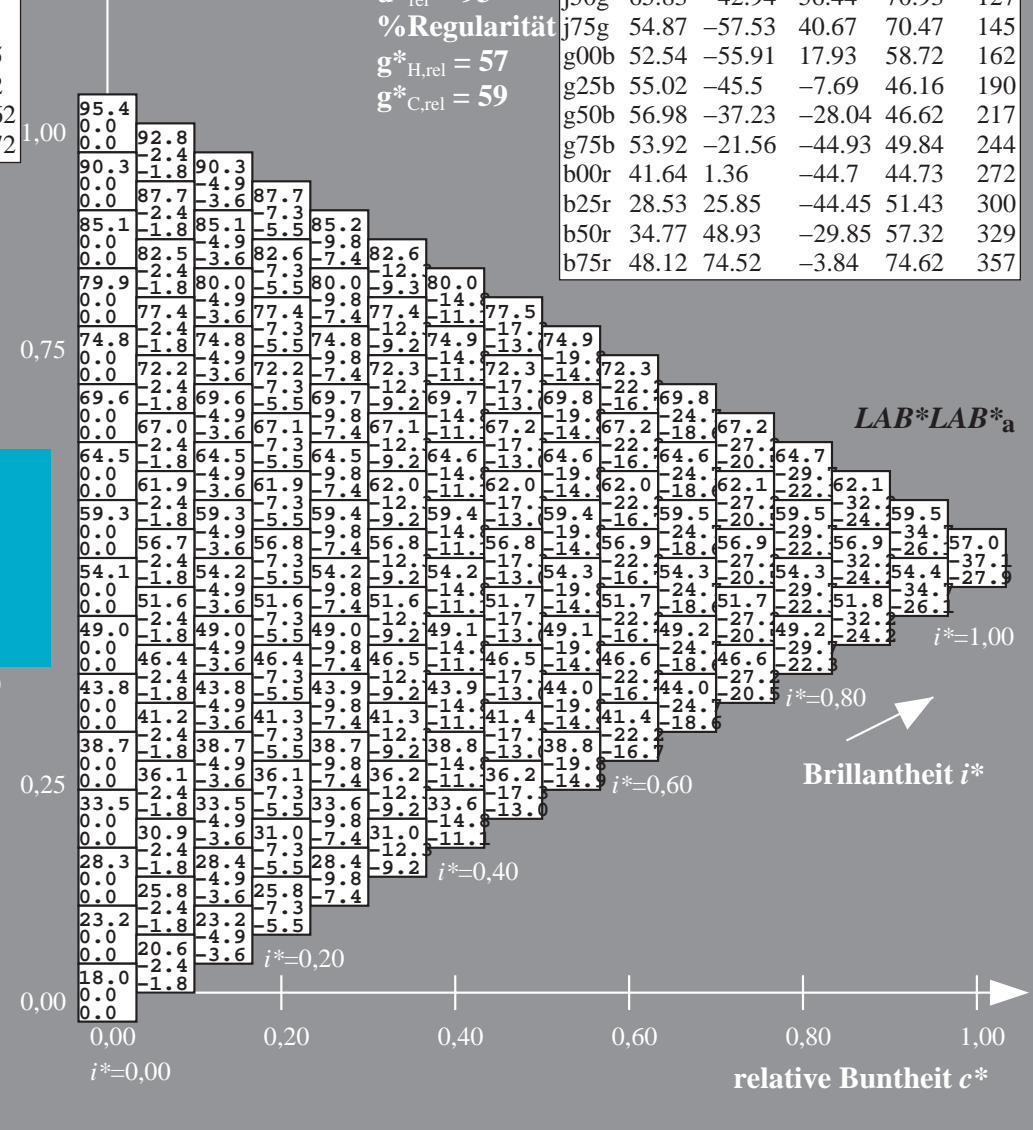
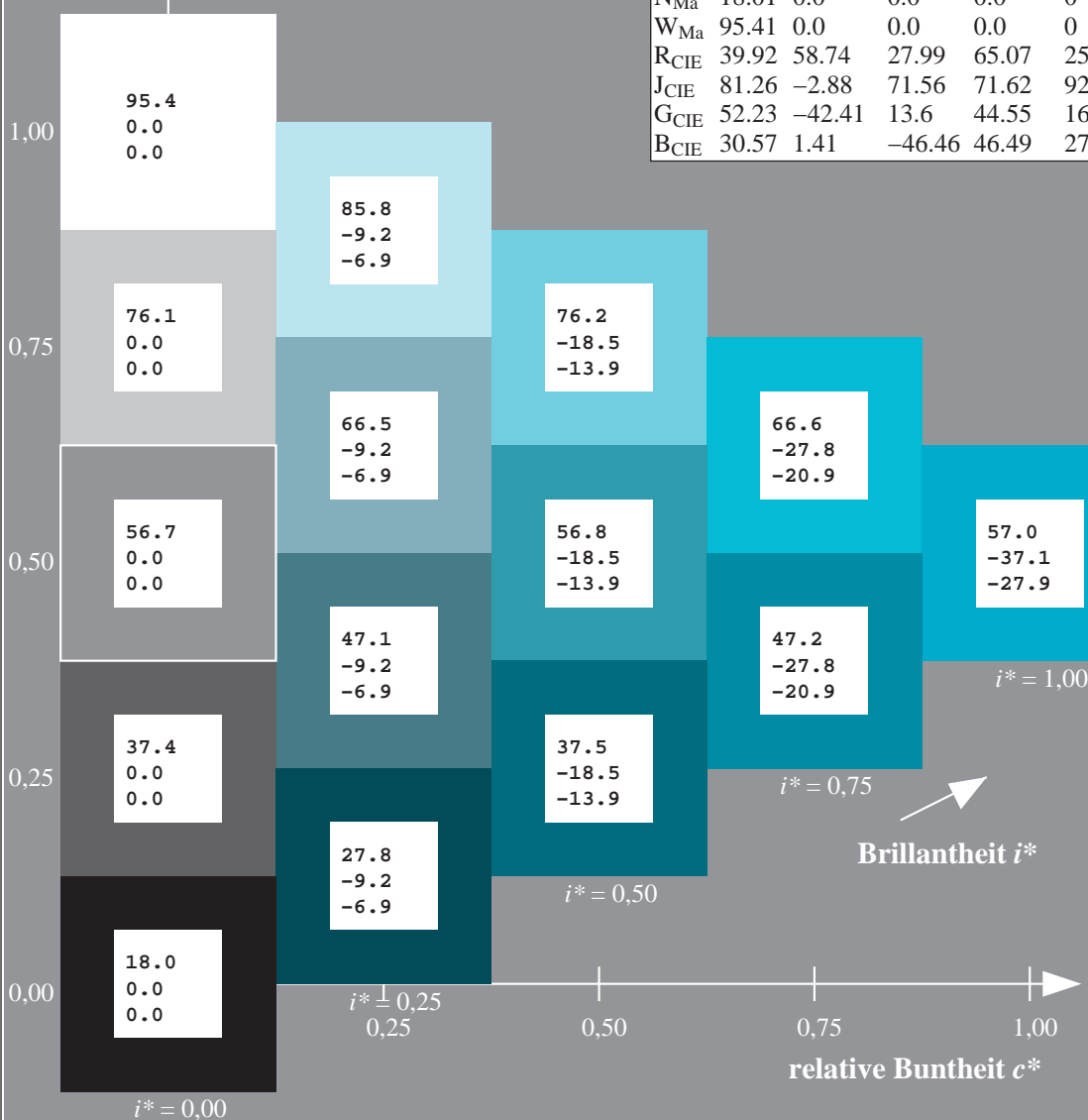
$g^*_{H,rel} = 57$

$g^*_{C,rel} = 59$

$LAB^*LAB^*_a$

ORS18_95aM; adaptierte CIELAB-Daten

	$L^*=L^*_a$	a^*_a	b^*_a	$C^*_{ab,a}$	$h^*_{ab,a}$
r00j	48.0	68.4	32.59	75.77	25
r25j	51.32	59.36	53.8	80.11	42
r50j	62.67	39.12	64.83	75.72	59
r75j	73.73	19.4	75.58	78.03	76
j00g	86.61	-3.55	88.09	88.17	92
j25g	78.07	-26.64	74.05	78.7	110
j50g	65.83	-42.94	56.44	70.93	127
j75g	54.87	-57.53	40.67	70.47	145
g00b	52.54	-55.91	17.93	58.72	162
g25b	55.02	-45.5	-7.69	46.16	190
g50b	56.98	-37.23	-28.04	46.62	217
g75b	53.92	-21.56	-44.93	49.84	244
b00r	41.64	1.36	-44.7	44.73	272
b25r	28.53	25.85	-44.45	51.43	300
b50r	34.77	48.93	-29.85	57.32	329
b75r	48.12	74.52	-3.84	74.62	357



Daten für jede Farbe:

lab^*ch^* und lab^*icu^*

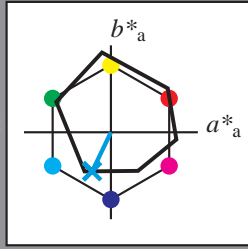
Elementar-Buntontext:

$u^* = g75b$

Kontrastreduzierungsfaktor:

$c_R = 1.0$

Dreiecks-Helligkeit t^*



ORS18_95aM; adaptierte CIELAB-Daten

	$L^*=L^*_a$	a^*_a	b^*_a	$C^*_{ab,a}$	$h^*_{ab,a}$
O _{Ma}	47.94	65.39	50.52	82.63	38
Y _{Ma}	90.37	-10.26	91.75	92.32	96
L _{Ma}	50.9	-62.83	34.96	71.91	151
C _{Ma}	58.62	-30.34	-45.01	54.3	236
V _{Ma}	25.72	31.1	-44.4	54.22	305
M _{Ma}	48.13	75.28	-8.36	75.74	354
N _{Ma}	18.01	0.0	0.0	0.0	0
W _{Ma}	95.41	0.0	0.0	0.0	0
R _{CIE}	39.92	58.74	27.99	65.07	25
J _{CIE}	81.26	-2.88	71.56	71.62	92
G _{CIE}	52.23	-42.41	13.6	44.55	162
B _{CIE}	30.57	1.41	-46.46	46.49	272

Daten für Maximalfarbe (Ma):

$LAB^*LAB^*_Ma$: 54 -21 -44

$LAB^*LCH^*_Ma$: 54 50 244

$lab^*rgb^*_Ma$: 0.0 0.5 1.0

$lab^*olv^*_Ma$: 0.0 0.86 1.0

Dreiecks-Helligkeit t^*

%Umfang

$u^*_{rel} = 93$

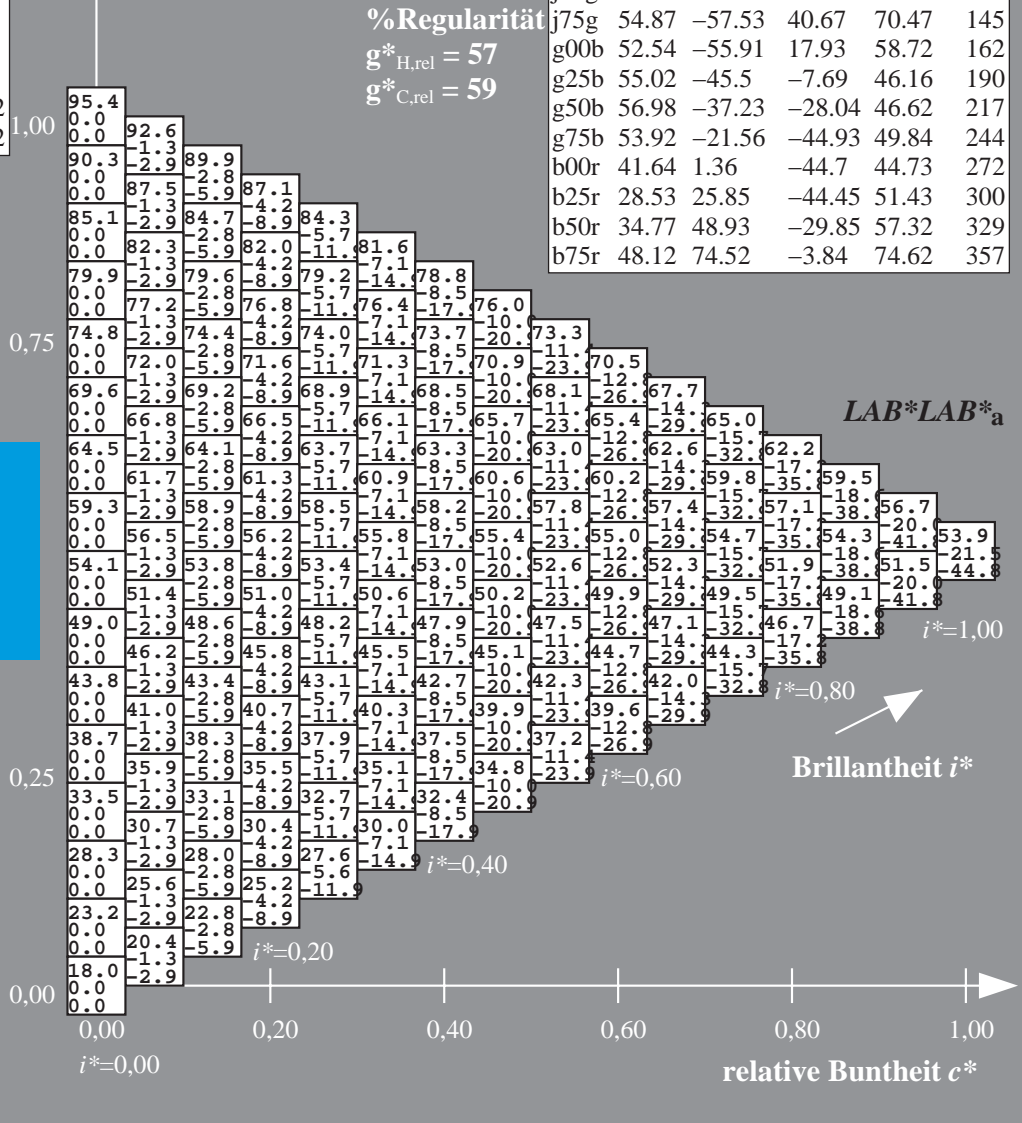
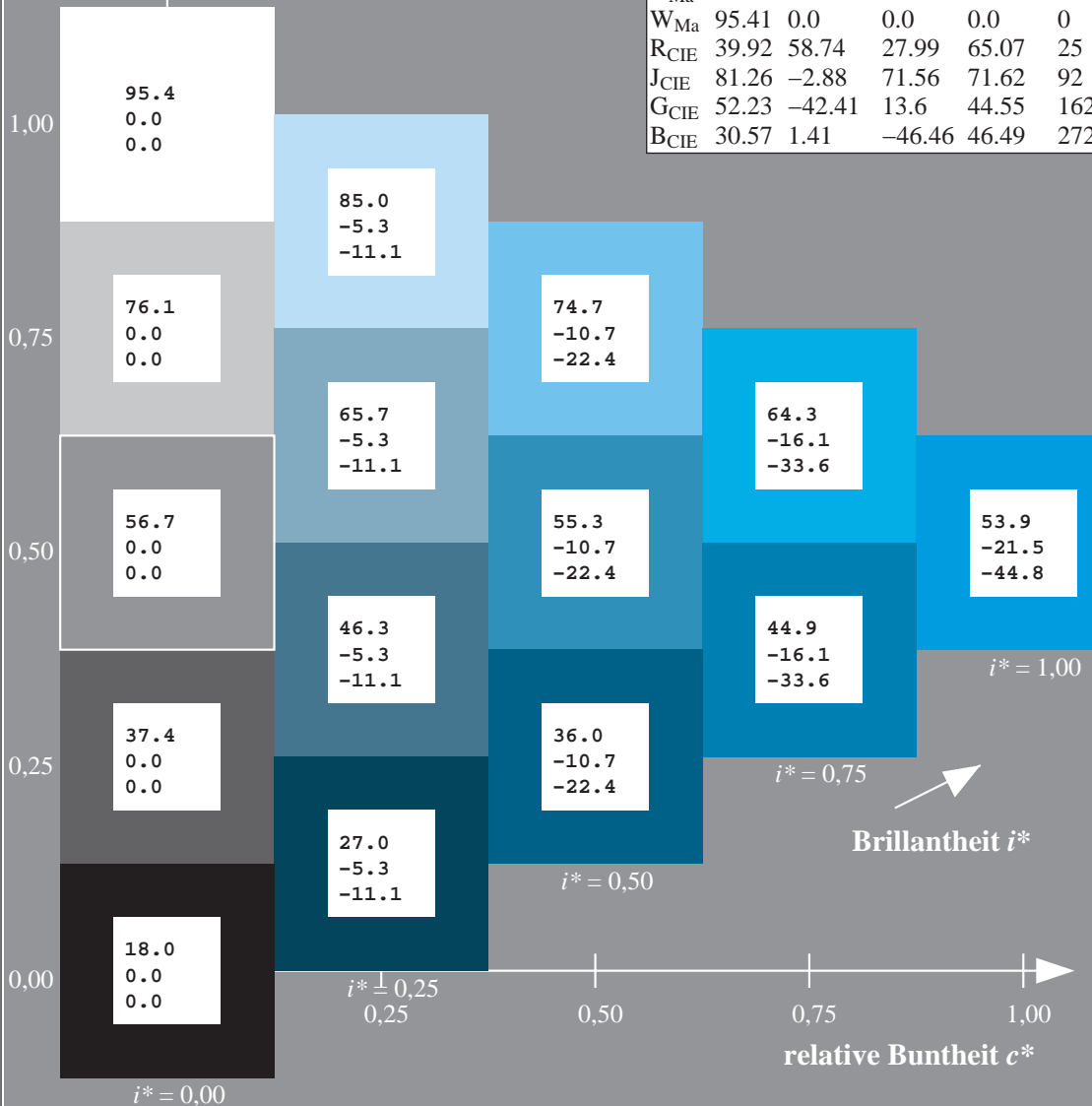
%Regularität

$g^*_{H,rel} = 57$

$g^*_{C,rel} = 59$

$LAB^*LAB^*_a$

	$L^*=L^*_a$	a^*_a	b^*_a	$C^*_{ab,a}$	$h^*_{ab,a}$
r00j	48.0	68.4	32.59	75.77	25
r25j	51.32	59.36	53.8	80.11	42
r50j	62.67	39.12	64.83	75.72	59
r75j	73.73	19.4	75.58	78.03	76
j00g	86.61	-3.55	88.09	88.17	92
j25g	78.07	-26.64	74.05	78.7	110
j50g	65.83	-42.94	56.44	70.93	127
j75g	54.87	-57.53	40.67	70.47	145
g00b	52.54	-55.91	17.93	58.72	162
g25b	55.02	-45.5	-7.69	46.16	190
g50b	56.98	-37.23	-28.04	46.62	217
g75b	53.92	-21.56	-44.93	49.84	244
b00r	41.64	1.36	-44.7	44.73	272
b25r	28.53	25.85	-44.45	51.43	300
b50r	34.77	48.93	-29.85	57.32	329
b75r	48.12	74.52	-3.84	74.62	357



Daten für jede Farbe:

lab^*ch^* und lab^*icu^*

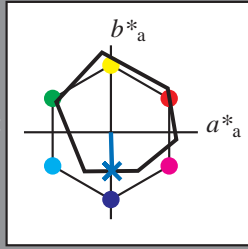
Elementar-Buntontext:

$u^* = b00r$

Kontrastreduzierungsfaktor:

$c_R = 1.0$

Dreiecks-Helligkeit t^*



ORS18_95aM; adaptierte CIELAB-Daten

	$L^*=L^*_a$	a^*_a	b^*_a	$C^*_{ab,a}$	$h^*_{ab,a}$
O _{Ma}	47.94	65.39	50.52	82.63	38
Y _{Ma}	90.37	-10.26	91.75	92.32	96
L _{Ma}	50.9	-62.83	34.96	71.91	151
C _{Ma}	58.62	-30.34	-45.01	54.3	236
V _{Ma}	25.72	31.1	-44.4	54.22	305
M _{Ma}	48.13	75.28	-8.36	75.74	354
N _{Ma}	18.01	0.0	0.0	0.0	0
W _{Ma}	95.41	0.0	0.0	0.0	0
R _{CIE}	39.92	58.74	27.99	65.07	25
J _{CIE}	81.26	-2.88	71.56	71.62	92
G _{CIE}	52.23	-42.41	13.6	44.55	162
B _{CIE}	30.57	1.41	-46.46	46.49	272

Daten für Maximalfarbe (Ma):

$\text{LAB}^*\text{LAB}^*_{Ma}$: 42 1 -44

$\text{LAB}^*\text{LCH}^*_{Ma}$: 42 45 272

$\text{lab}^*\text{rgb}^*_{Ma}$: 0.0 0.0 1.0

$\text{lab}^*\text{olv}^*_{Ma}$: 0.0 0.48 1.0

Dreiecks-Helligkeit t^*

%Umfang

$u^*_{rel} = 93$

%Regularität

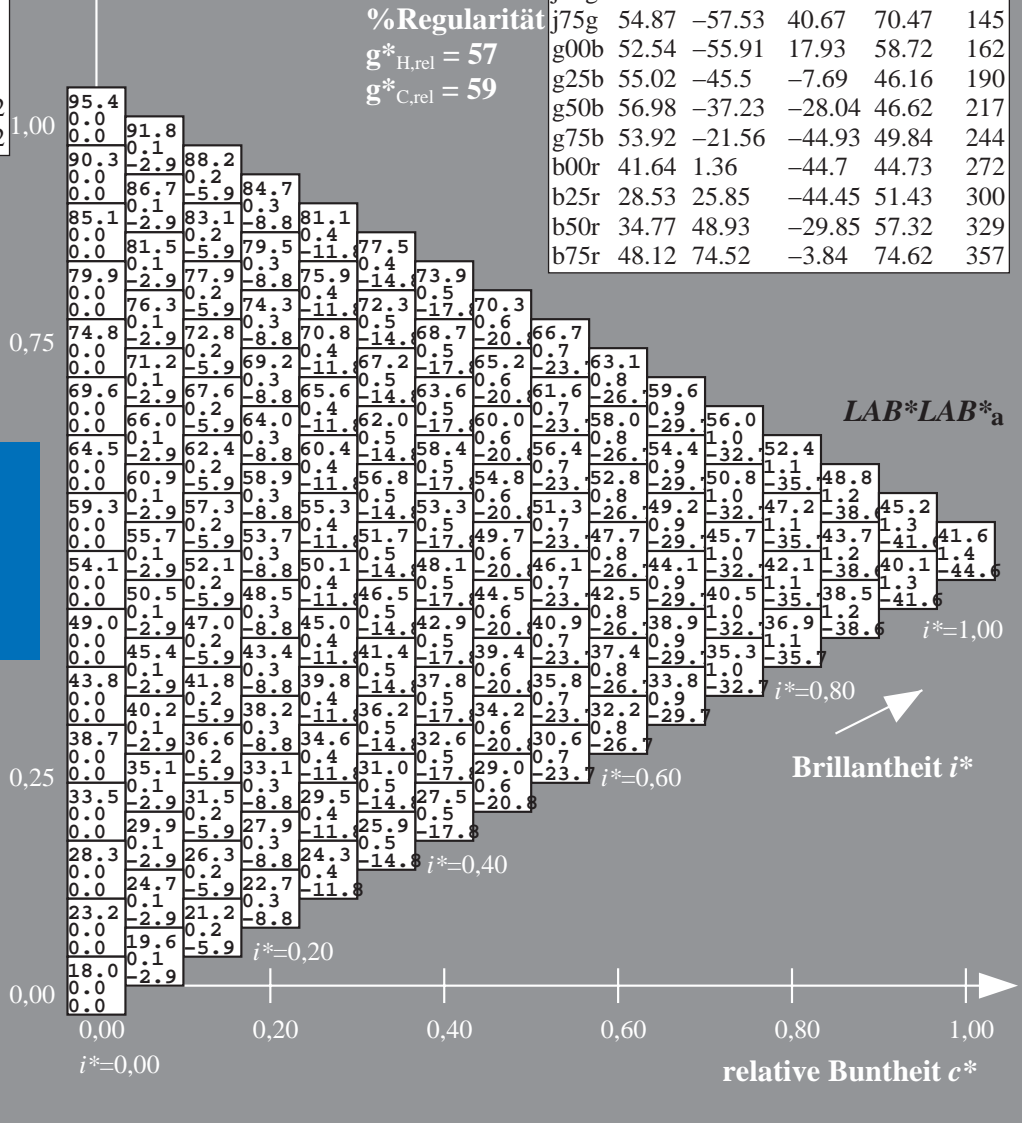
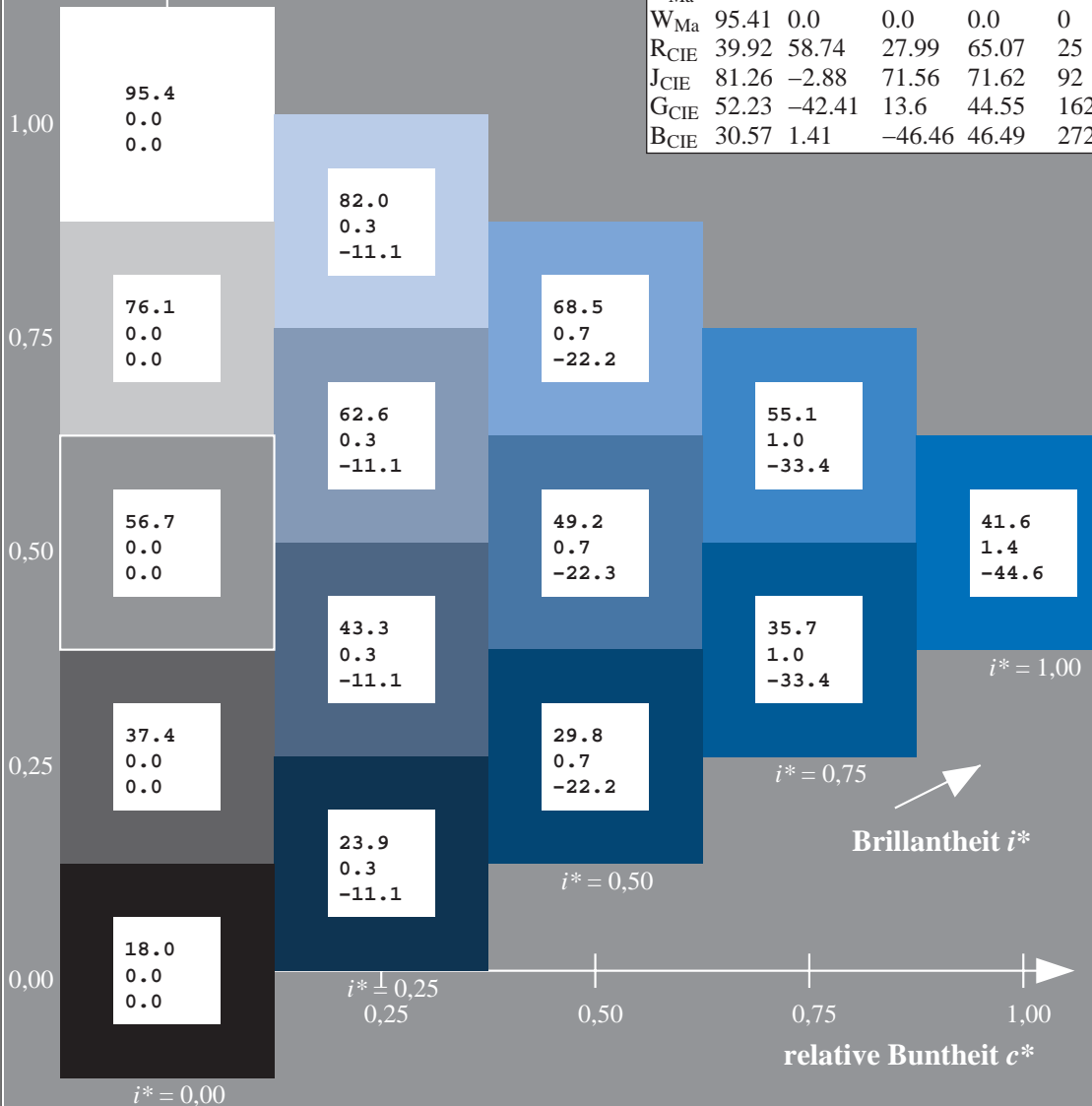
$g^*_{H,rel} = 57$

$g^*_{C,rel} = 59$

$\text{LAB}^*\text{LAB}^*_a$

ORS18_95aM; adaptierte CIELAB-Daten

	$L^*=L^*_a$	a^*_a	b^*_a	$C^*_{ab,a}$	$h^*_{ab,a}$
r00j	48.0	68.4	32.59	75.77	25
r25j	51.32	59.36	53.8	80.11	42
r50j	62.67	39.12	64.83	75.72	59
r75j	73.73	19.4	75.58	78.03	76
j00g	86.61	-3.55	88.09	88.17	92
j25g	78.07	-26.64	74.05	78.7	110
j50g	65.83	-42.94	56.44	70.93	127
j75g	54.87	-57.53	40.67	70.47	145
g00b	52.54	-55.91	17.93	58.72	162
g25b	55.02	-45.5	-7.69	46.16	190
g50b	56.98	-37.23	-28.04	46.62	217
g75b	53.92	-21.56	-44.93	49.84	244
b00r	41.64	1.36	-44.7	44.73	272
b25r	28.53	25.85	-44.45	51.43	300
b50r	34.77	48.93	-29.85	57.32	329
b75r	48.12	74.52	-3.84	74.62	357



Ein und Ausgabe: Farbmetrisches Drucker-Reflektiv-System ORS18_95aM für relativen CIELAB-Bunton $h^* = lab^*h^* = h_{ab}/360 = 300/360 = 0.834 u^* = b25r$

Daten für jede Farbe:

lab^*ch^* und lab^*icu^*

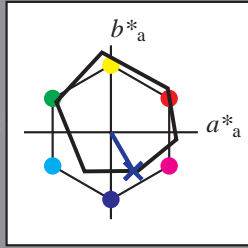
Elementar-Buntontext:

$u^* = b25r$

Kontrastreduzierungsfaktor:

$c_R = 1.0$

Dreiecks-Helligkeit t^*



ORS18_95aM; adaptierte CIELAB-Daten

	$L^*=L^*_a$	a^*_a	b^*_a	$C^*_{ab,a}$	$h^*_{ab,a}$
O _{Ma}	47.94	65.39	50.52	82.63	38
Y _{Ma}	90.37	-10.26	91.75	92.32	96
L _{Ma}	50.9	-62.83	34.96	71.91	151
C _{Ma}	58.62	-30.34	-45.01	54.3	236
V _{Ma}	25.72	31.1	-44.4	54.22	305
M _{Ma}	48.13	75.28	-8.36	75.74	354
N _{Ma}	18.01	0.0	0.0	0.0	0
W _{Ma}	95.41	0.0	0.0	0.0	0
R _{CIE}	39.92	58.74	27.99	65.07	25
J _{CIE}	81.26	-2.88	71.56	71.62	92
G _{CIE}	52.23	-42.41	13.6	44.55	162
B _{CIE}	30.57	1.41	-46.46	46.49	272

Daten für Maximalfarbe (Ma):

$LAB^*LAB^*_Ma$: 29 26 -43

$LAB^*LCH^*_Ma$: 29 51 300

$lab^*rgb^*_Ma$: 0.5 0.0 1.0

$lab^*olv^*_Ma$: 0.0 0.09 1.0

Dreiecks-Helligkeit t^*

%Umfang

$u^*_{rel} = 93$

%Regularität

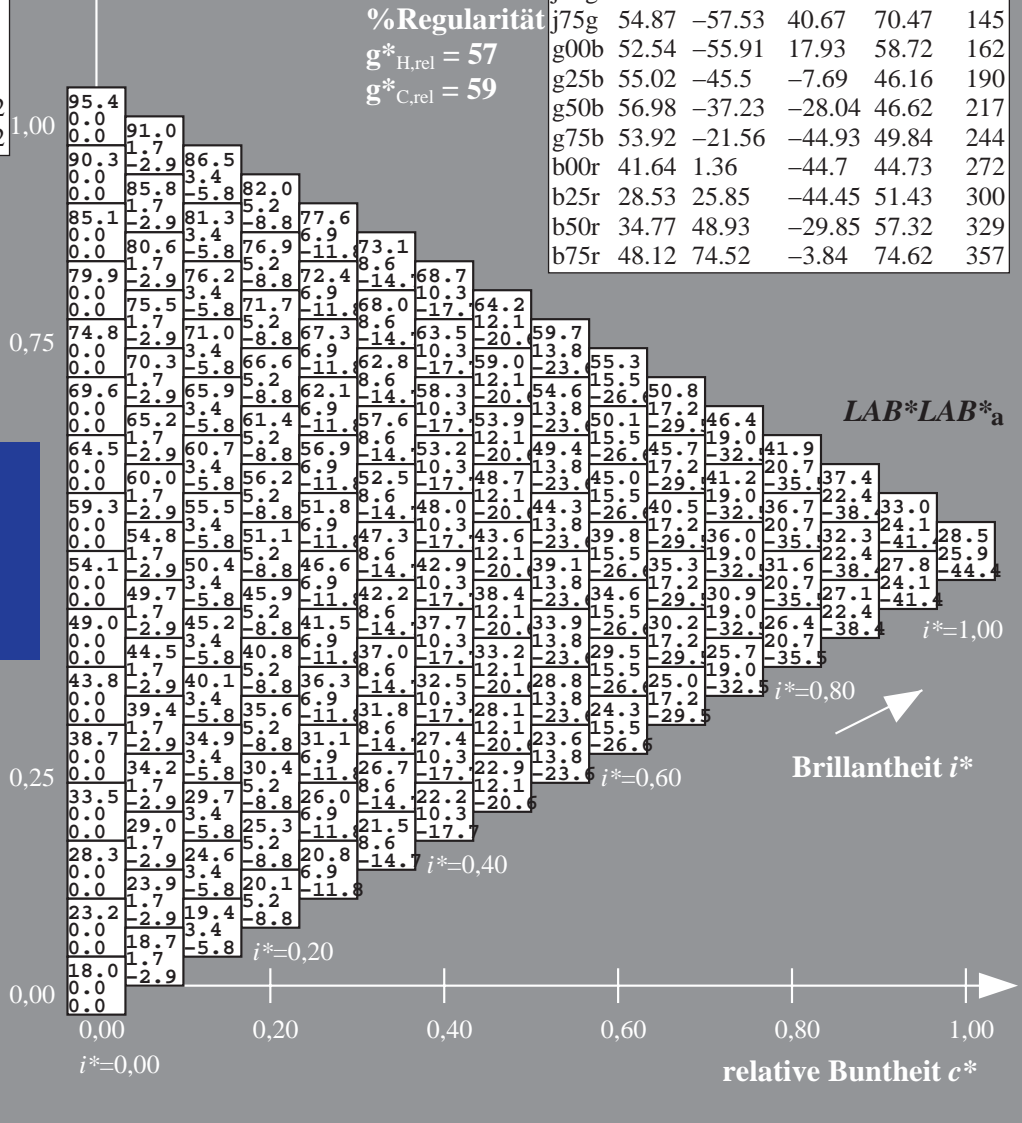
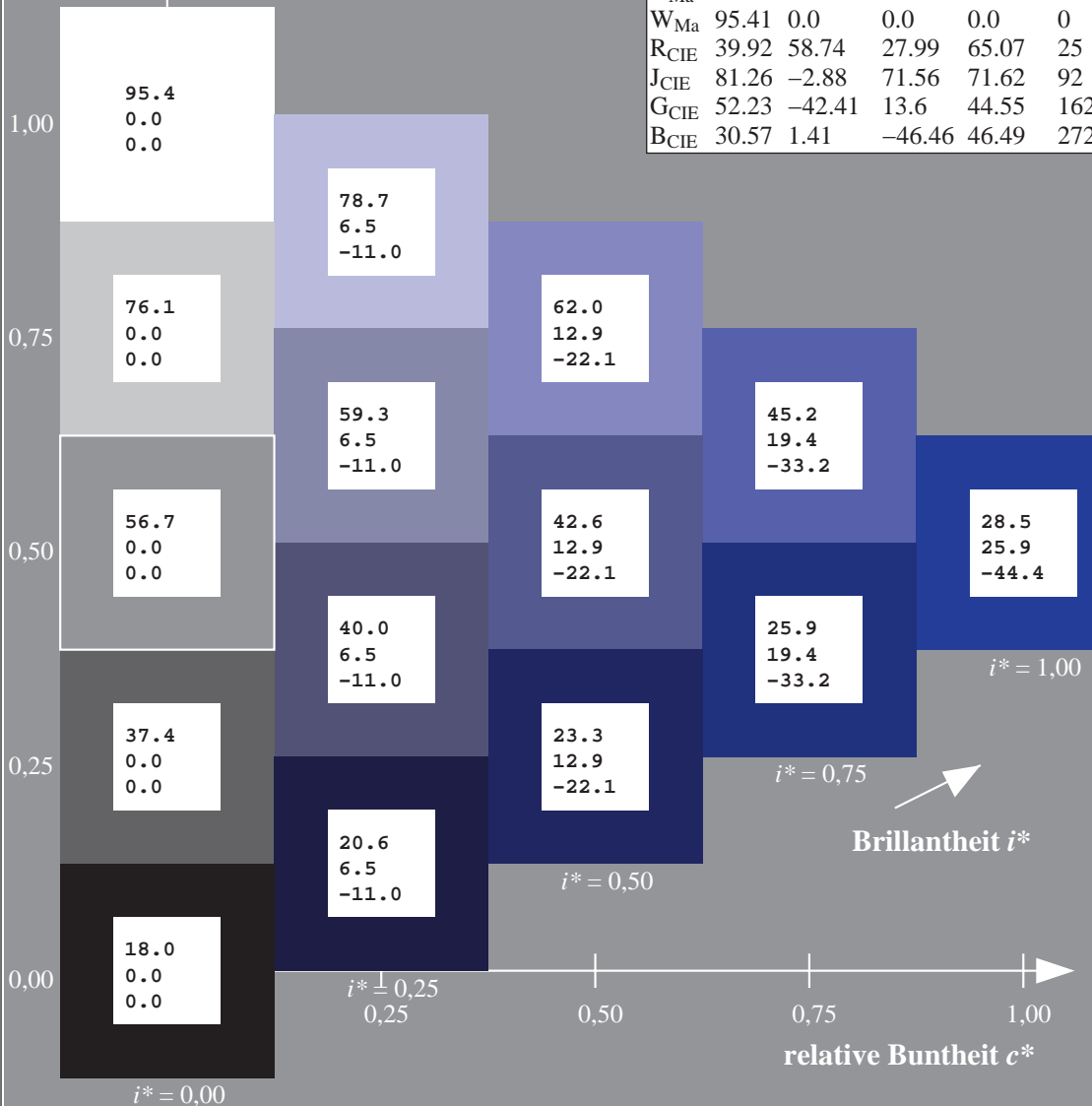
$g^*_{H,rel} = 57$

$g^*_{C,rel} = 59$

$LAB^*LAB^*_a$

ORS18_95aM; adaptierte CIELAB-Daten

	$L^*=L^*_a$	a^*_a	b^*_a	$C^*_{ab,a}$	$h^*_{ab,a}$
r00j	48.0	68.4	32.59	75.77	25
r25j	51.32	59.36	53.8	80.11	42
r50j	62.67	39.12	64.83	75.72	59
r75j	73.73	19.4	75.58	78.03	76
j00g	86.61	-3.55	88.09	88.17	92
j25g	78.07	-26.64	74.05	78.7	110
j50g	65.83	-42.94	56.44	70.93	127
j75g	54.87	-57.53	40.67	70.47	145
g00b	52.54	-55.91	17.93	58.72	162
g25b	55.02	-45.5	-7.69	46.16	190
g50b	56.98	-37.23	-28.04	46.62	217
g75b	53.92	-21.56	-44.93	49.84	244
b00r	41.64	1.36	-44.7	44.73	272
b25r	28.53	25.85	-44.45	51.43	300
b50r	34.77	48.93	-29.85	57.32	329
b75r	48.12	74.52	-3.84	74.62	357



Daten für jede Farbe:

lab^*ch^* und lab^*icu^*

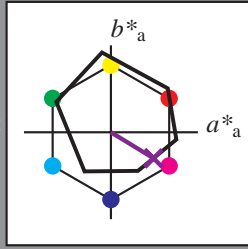
Elementar-Buntontext:

$u^* = b50r$

Kontrastreduzierungsfaktor:

$c_R = 1.0$

Dreiecks-Helligkeit t^*



ORS18_95aM; adaptierte CIELAB-Daten

	$L^*=L^*_a$	a^*_a	b^*_a	$C^*_{ab,a}$	$h^*_{ab,a}$
O _{Ma}	47.94	65.39	50.52	82.63	38
Y _{Ma}	90.37	-10.26	91.75	92.32	96
L _{Ma}	50.9	-62.83	34.96	71.91	151
C _{Ma}	58.62	-30.34	-45.01	54.3	236
V _{Ma}	25.72	31.1	-44.4	54.22	305
M _{Ma}	48.13	75.28	-8.36	75.74	354
N _{Ma}	18.01	0.0	0.0	0.0	0
W _{Ma}	95.41	0.0	0.0	0.0	0
R _{CIE}	39.92	58.74	27.99	65.07	25
J _{CIE}	81.26	-2.88	71.56	71.62	92
G _{CIE}	52.23	-42.41	13.6	44.55	162
B _{CIE}	30.57	1.41	-46.46	46.49	272

Daten für Maximalfarbe (Ma):

$LAB^*LAB^*_Ma$: 35 49 -29

$LAB^*LCH^*_Ma$: 35 57 329

$lab^*rgb^*_Ma$: 1.0 0.0 1.0

$lab^*olv^*_Ma$: 0.4 0.0 1.0

Dreiecks-Helligkeit t^*

%Umfang

$u^*_{rel} = 93$

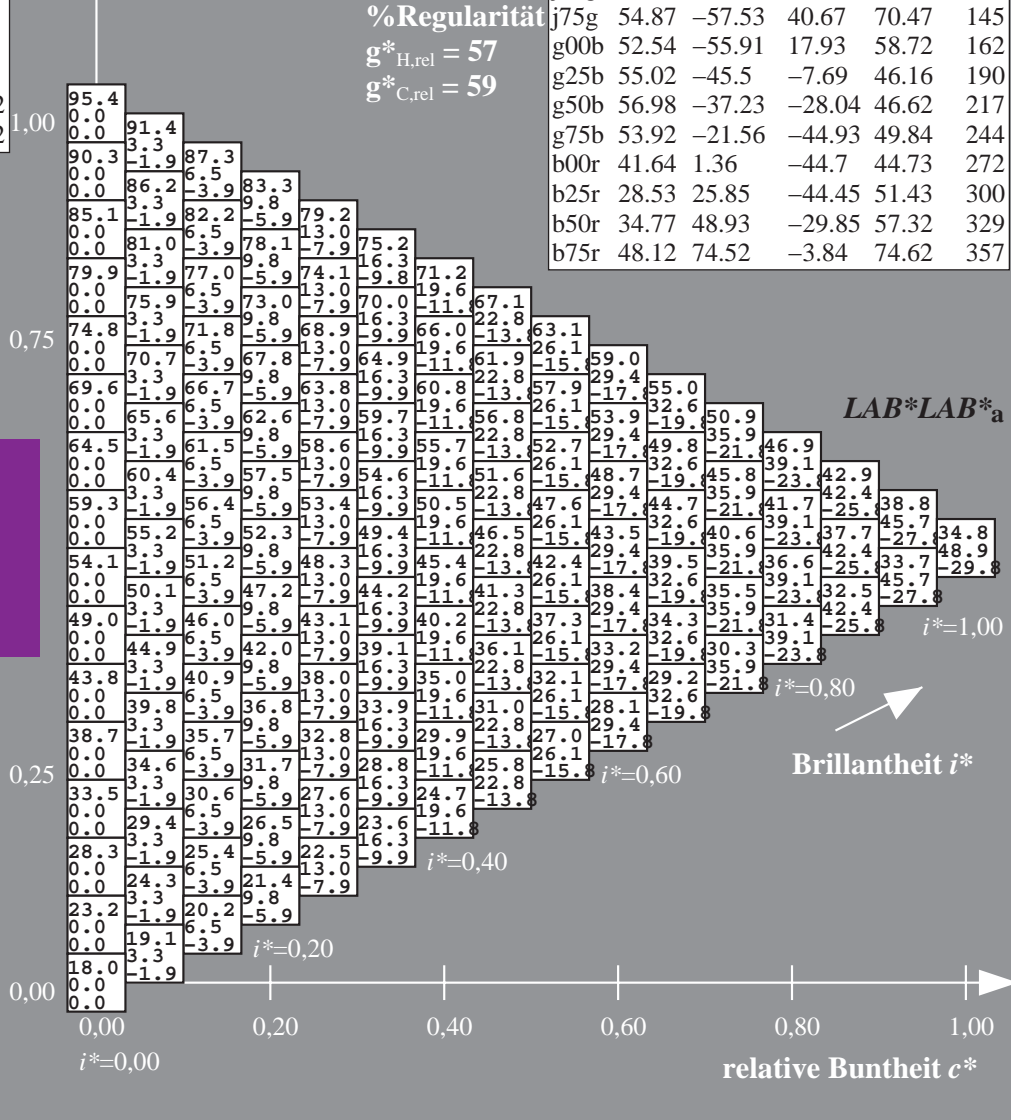
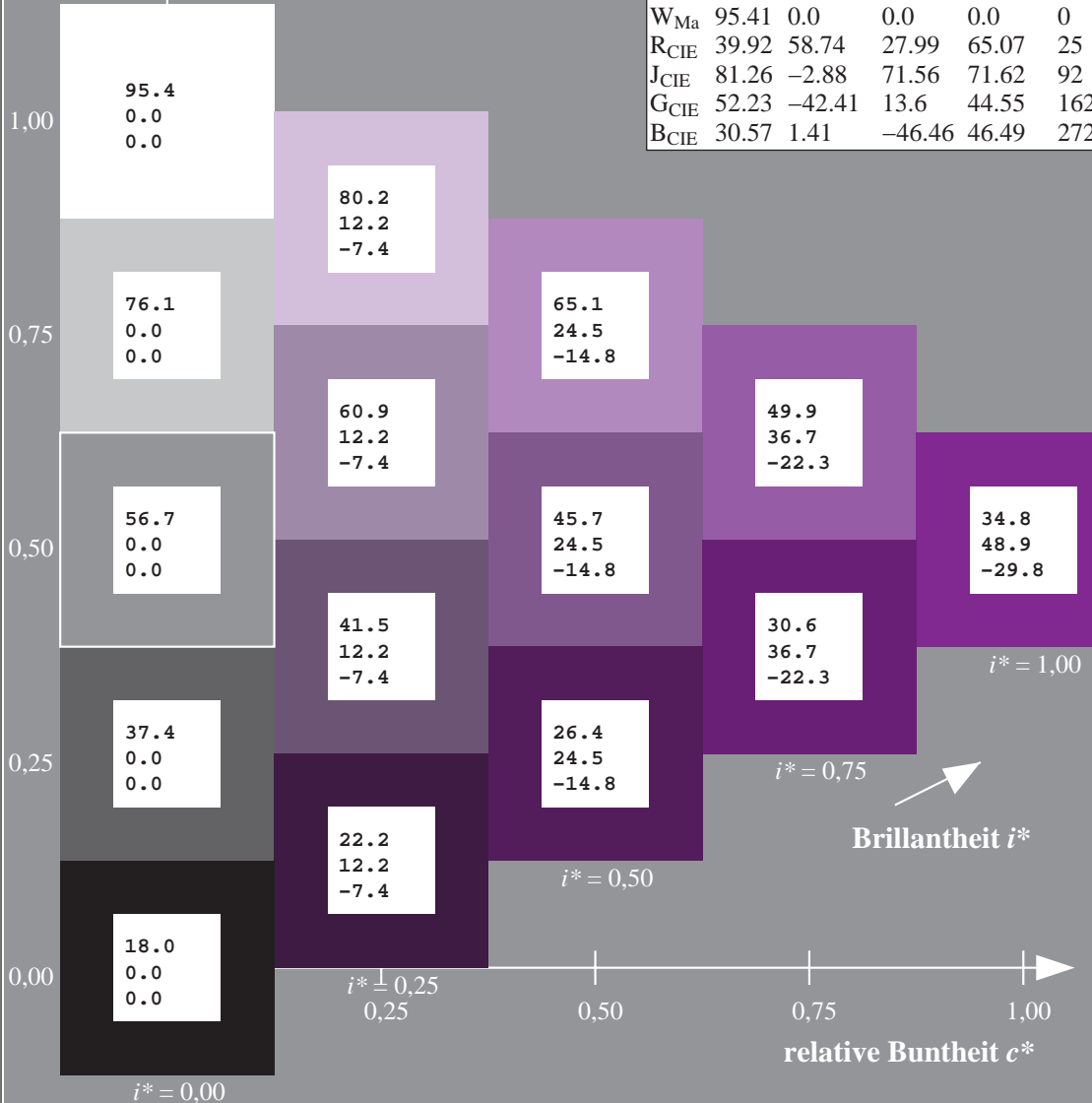
%Regularität

$g^*_{H,rel} = 57$

$g^*_{C,rel} = 59$

$LAB^*LAB^*_a$

	$L^*=L^*_a$	a^*_a	b^*_a	$C^*_{ab,a}$	$h^*_{ab,a}$
r00j	48.0	68.4	32.59	75.77	25
r25j	51.32	59.36	53.8	80.11	42
r50j	62.67	39.12	64.83	75.72	59
r75j	73.73	19.4	75.58	78.03	76
j00g	86.61	-3.55	88.09	88.17	92
j25g	78.07	-26.64	74.05	78.7	110
j50g	65.83	-42.94	56.44	70.93	127
j75g	54.87	-57.53	40.67	70.47	145
g00b	52.54	-55.91	17.93	58.72	162
g25b	55.02	-45.5	-7.69	46.16	190
g50b	56.98	-37.23	-28.04	46.62	217
g75b	53.92	-21.56	-44.93	49.84	244
b00r	41.64	1.36	-44.7	44.73	272
b25r	28.53	25.85	-44.45	51.43	300
b50r	34.77	48.93	-29.85	57.32	329
b75r	48.12	74.52	-3.84	74.62	357



Daten für jede Farbe:

lab^*ch^* und lab^*icu^*

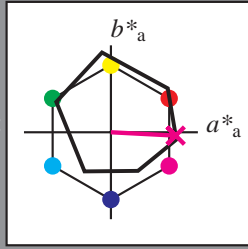
Elementar-Buntontext:

$u^* = b75r$

Kontrastreduzierungsfaktor:

$c_R = 1.0$

Dreiecks-Helligkeit t^*



ORS18_95aM; adaptierte CIELAB-Daten

	$L^*=L^*_a$	a^*_a	b^*_a	$C^*_{ab,a}$	$h^*_{ab,a}$
O _{Ma}	47.94	65.39	50.52	82.63	38
Y _{Ma}	90.37	-10.26	91.75	92.32	96
L _{Ma}	50.9	-62.83	34.96	71.91	151
C _{Ma}	58.62	-30.34	-45.01	54.3	236
V _{Ma}	25.72	31.1	-44.4	54.22	305
M _{Ma}	48.13	75.28	-8.36	75.74	354
N _{Ma}	18.01	0.0	0.0	0.0	0
W _{Ma}	95.41	0.0	0.0	0.0	0
R _{CIE}	39.92	58.74	27.99	65.07	25
J _{CIE}	81.26	-2.88	71.56	71.62	92
G _{CIE}	52.23	-42.41	13.6	44.55	162
B _{CIE}	30.57	1.41	-46.46	46.49	272

Daten für Maximalfarbe (Ma):

$LAB^*LAB^*_Ma: 48\ 75\ -3$

$LAB^*LCH^*_Ma: 48\ 75\ 357$

$lab^*rgb^*_Ma: 1.0\ 0.0\ 0.5$

$lab^*olv^*_Ma: 1.0\ 0.0\ 0.92$

Dreiecks-Helligkeit t^*

%Umfang

$u^*_{rel} = 93$

%Regularität

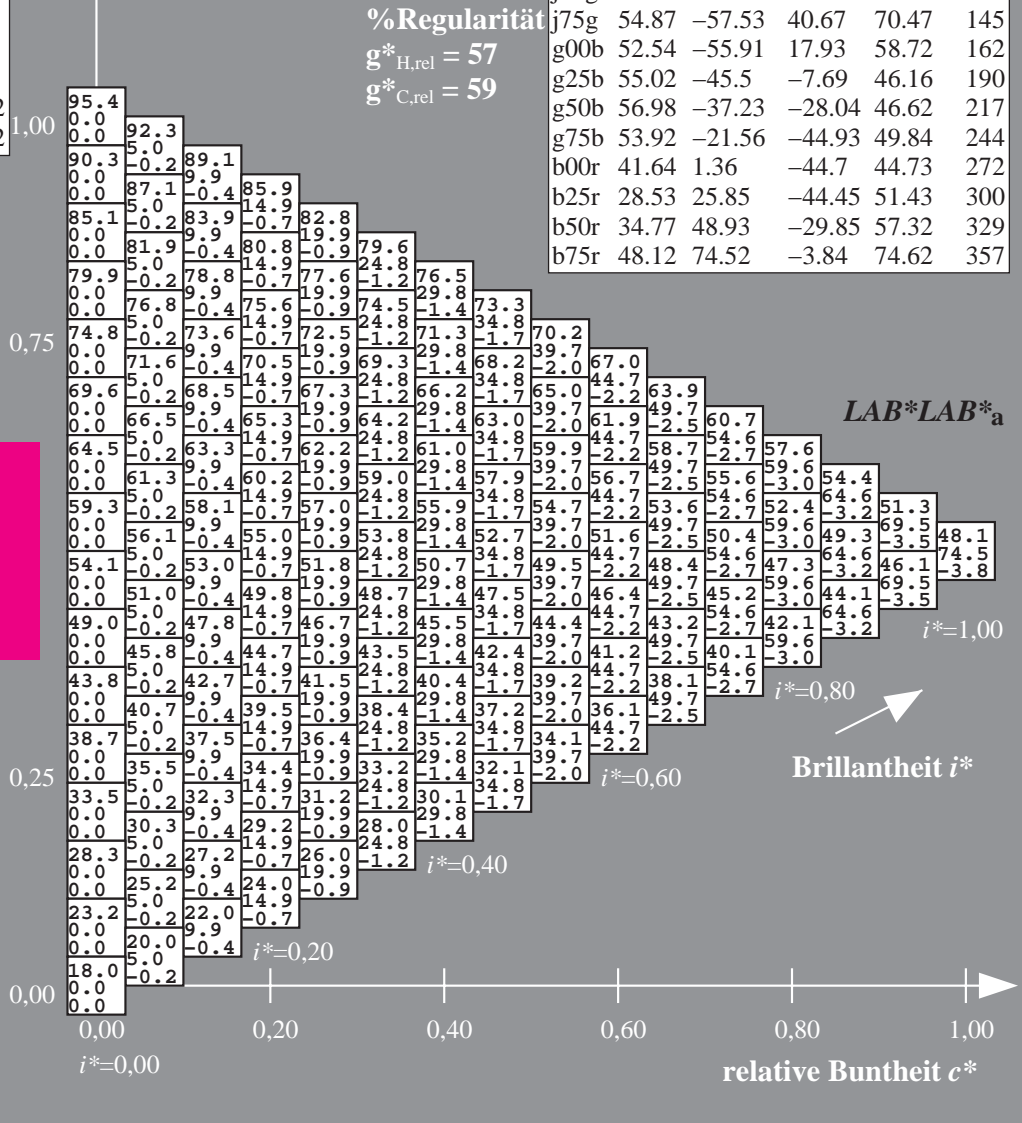
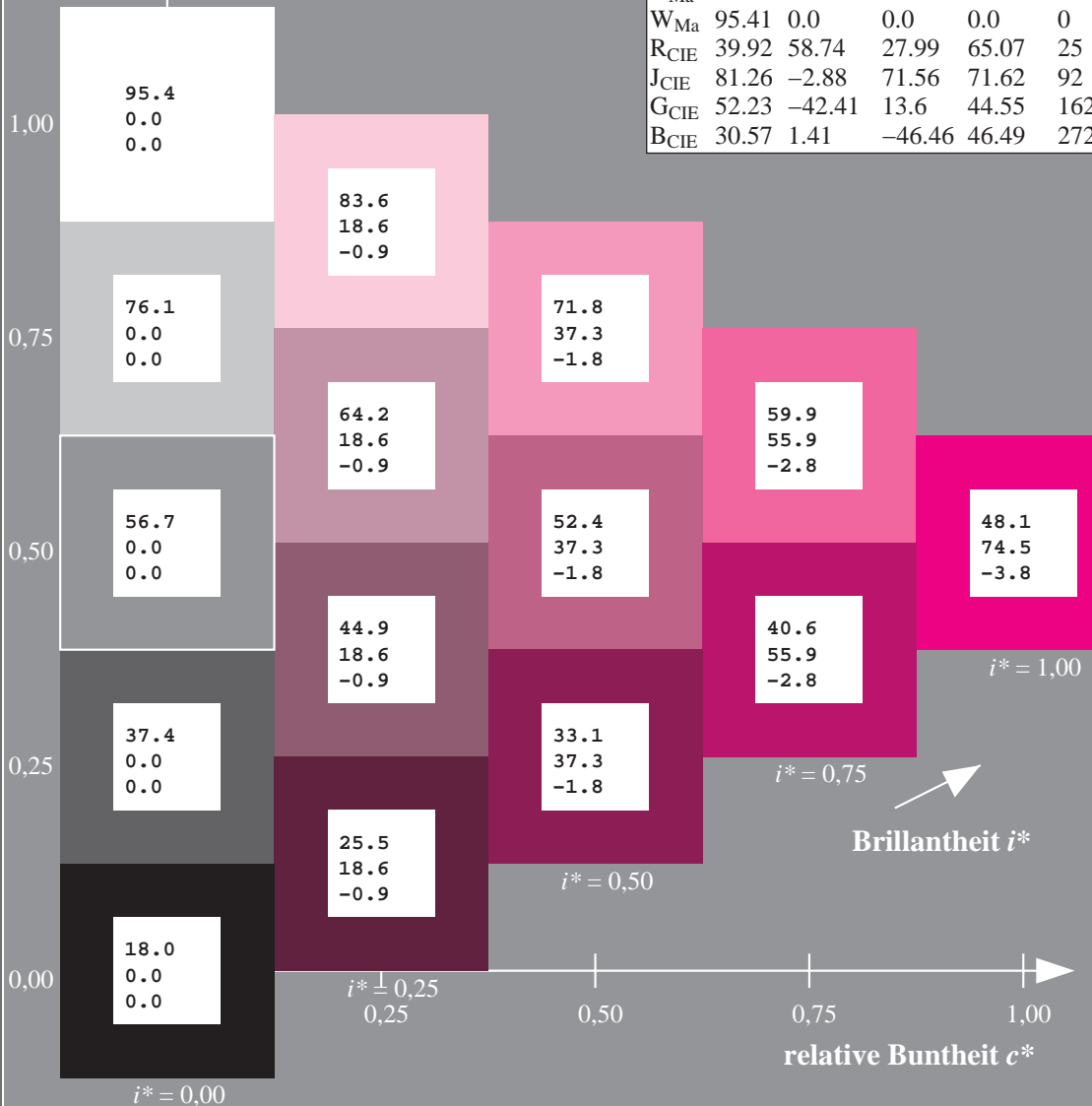
$g^*_{H,rel} = 57$

$g^*_{C,rel} = 59$

$LAB^*LAB^*_a$

ORS18_95aM; adaptierte CIELAB-Daten

	$L^*=L^*_a$	a^*_a	b^*_a	$C^*_{ab,a}$	$h^*_{ab,a}$
r00j	48.0	68.4	32.59	75.77	25
r25j	51.32	59.36	53.8	80.11	42
r50j	62.67	39.12	64.83	75.72	59
r75j	73.73	19.4	75.58	78.03	76
j00g	86.61	-3.55	88.09	88.17	92
j25g	78.07	-26.64	74.05	78.7	110
j50g	65.83	-42.94	56.44	70.93	127
j75g	54.87	-57.53	40.67	70.47	145
g00b	52.54	-55.91	17.93	58.72	162
g25b	55.02	-45.5	-7.69	46.16	190
g50b	56.98	-37.23	-28.04	46.62	217
g75b	53.92	-21.56	-44.93	49.84	244
b00r	41.64	1.36	-44.7	44.73	272
b25r	28.53	25.85	-44.45	51.43	300
b50r	34.77	48.93	-29.85	57.32	329
b75r	48.12	74.52	-3.84	74.62	357



Ein und Ausgabe:
 Farbmimetrisches Drucker-Reflektiv-System ORS18_95aM

Daten für jede Farbe:
*lab**tch** und lab**icu***

Elementar-Bunttontext:

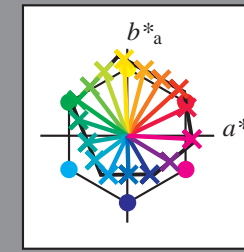
*u** = 16 Buntttöne *r00j, r25j, ..., b75r*

Kontrastreduzierungsfaktor:

c_R = 1.0

ORS18_95aM; adaptierte CIELAB-Daten

	<i>L* = L*_a</i>	<i>a*_a</i>	<i>b*_a</i>	<i>C*_{ab,a}</i>	<i>h*_{ab,a}</i>
r00j	48.0	68.4	32.59	75.77	25
r25j	51.32	59.36	53.8	80.11	42
r50j	62.67	39.12	64.83	75.72	59
r75j	73.73	19.4	75.58	78.03	76
j00g	86.61	-3.55	88.09	88.17	92
j25g	78.07	-26.64	74.05	78.7	110
j50g	65.83	-42.94	56.44	70.93	127
j75g	54.87	-57.53	40.67	70.47	145
g00b	52.54	-55.91	17.93	58.72	162
g25b	55.02	-45.5	-7.69	46.16	190
g50b	56.98	-37.23	-28.04	46.62	217
g75b	53.92	-21.56	-44.93	49.84	244
b00r	41.64	1.36	-44.7	44.73	272
b25r	28.53	25.85	-44.45	51.43	300
b50r	34.77	48.93	-29.85	57.32	329
b75r	48.12	74.52	-3.84	74.62	357



%Umfang

*u*_{rel}* = 93

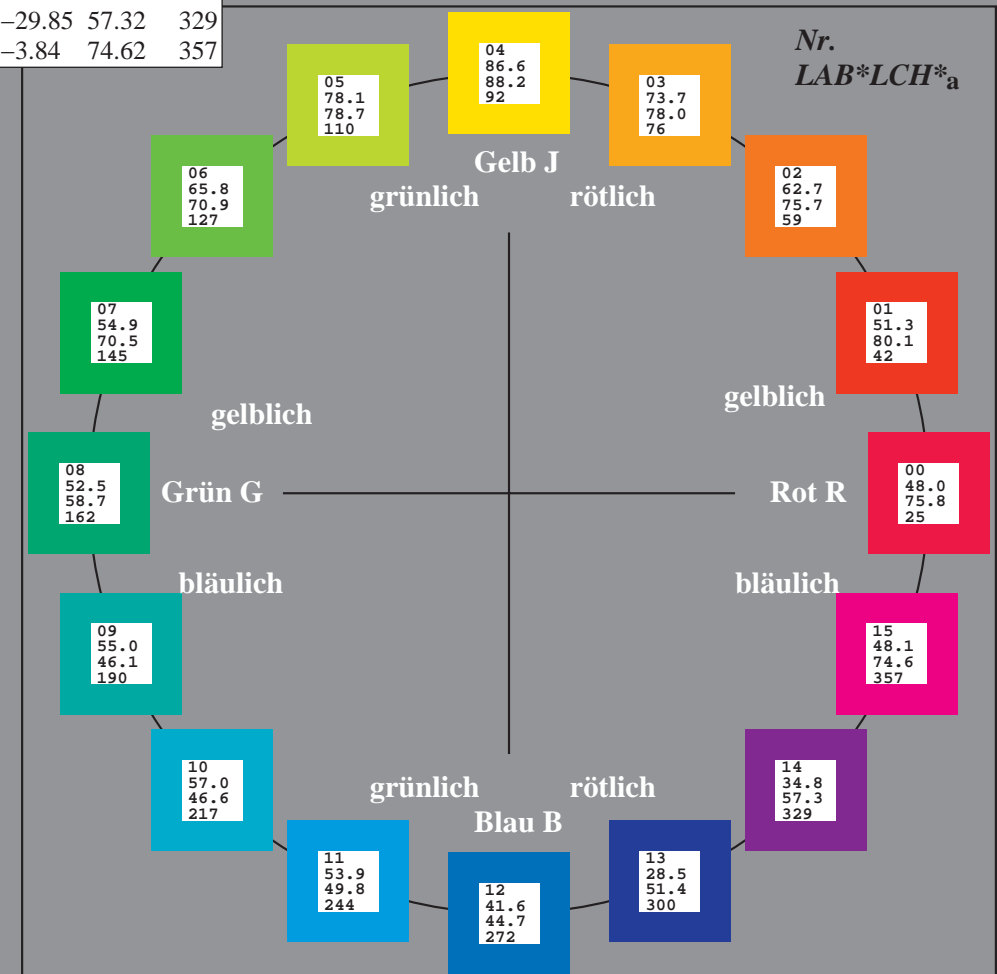
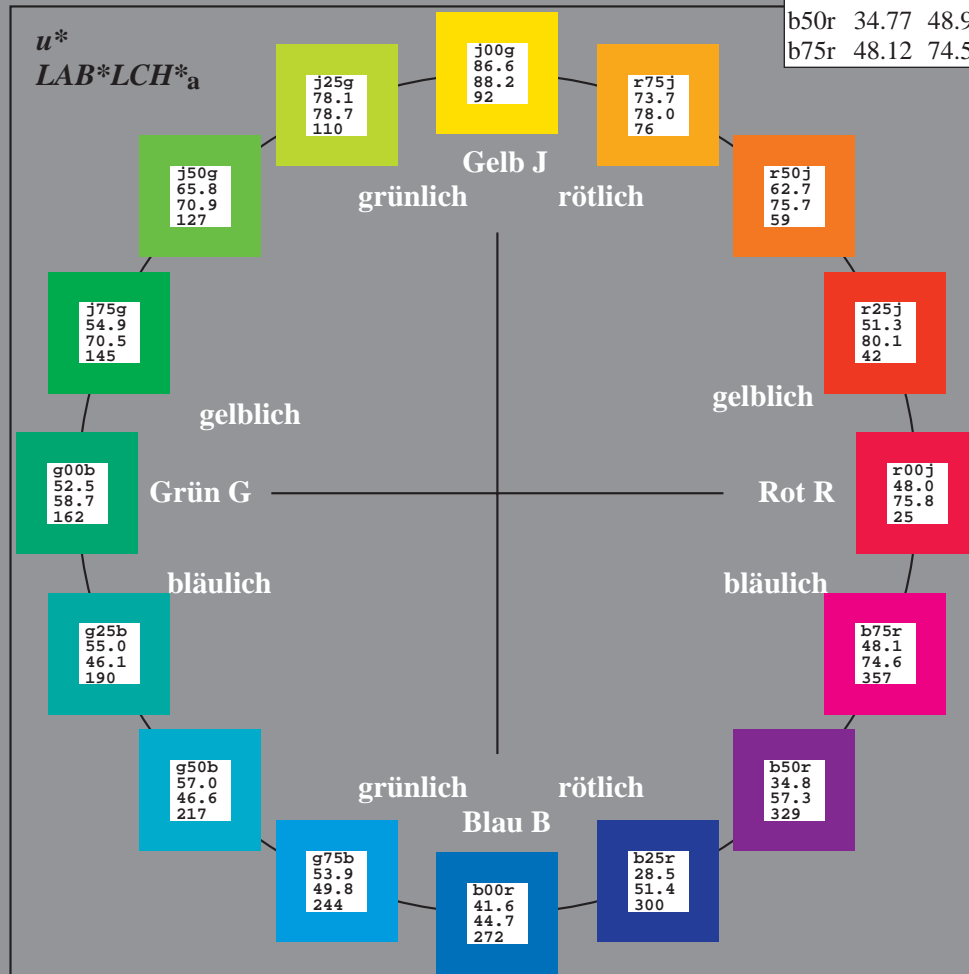
%Regularität

*g*_{H,rel}* = 57

*g*_{C,rel}* = 59

ORS18_95aM; adaptierte CIELAB-Daten

	<i>L* = L*_a</i>	<i>a*_a</i>	<i>b*_a</i>	<i>C*_{ab,a}</i>	<i>h*_{ab,a}</i>
O _{Ma}	47.94	65.39	50.52	82.63	38
Y _{Ma}	90.37	-10.26	91.75	92.32	96
L _{Ma}	50.9	-62.83	34.96	71.91	151
C _{Ma}	58.62	-30.34	-45.01	54.3	236
V _{Ma}	25.72	31.1	-44.4	54.22	305
M _{Ma}	48.13	75.28	-8.36	75.74	354
N _{Ma}	18.01	0.0	0.0	0.0	0
W _{Ma}	95.41	0.0	0.0	0.0	0
R _{CIE}	39.92	58.74	27.99	65.07	25
J _{CIE}	81.26	-2.88	71.56	71.62	92
G _{CIE}	52.23	-42.41	13.6	44.55	162
B _{CIE}	30.57	1.41	-46.46	46.49	272



Daten für jede Farbe:

lab^*ch^* und lab^*icu^*

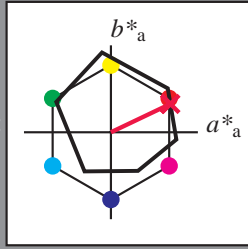
Elementar-Buntontext:

$u^* = r00j$

Kontrastreduzierungsfaktor:

$c_R = 1.0$

Dreiecks-Helligkeit t^*



ORS18_95aM; adaptierte CIELAB-Daten

	$L^*=L^*_a$	a^*_a	b^*_a	$C^*_{ab,a}$	$h^*_{ab,a}$
O _{Ma}	47.94	65.39	50.52	82.63	38
Y _{Ma}	90.37	-10.26	91.75	92.32	96
L _{Ma}	50.9	-62.83	34.96	71.91	151
C _{Ma}	58.62	-30.34	-45.01	54.3	236
V _{Ma}	25.72	31.1	-44.4	54.22	305
M _{Ma}	48.13	75.28	-8.36	75.74	354
N _{Ma}	18.01	0.0	0.0	0.0	0
W _{Ma}	95.41	0.0	0.0	0.0	0
R _{CIE}	39.92	58.74	27.99	65.07	25
J _{CIE}	81.26	-2.88	71.56	71.62	92
G _{CIE}	52.23	-42.41	13.6	44.55	162
B _{CIE}	30.57	1.41	-46.46	46.49	272

Daten für Maximalfarbe (Ma):

$LAB^*LAB^*_{Ma}$: 48 68 33

$LAB^*LCH^*_{Ma}$: 48 76 25

$lab^*rgb^*_{Ma}$: 1.0 0.0 0.0

$lab^*olv^*_{Ma}$: 1.0 0.0 0.3

Dreiecks-Helligkeit t^*

%Umfang

$u^*_{rel} = 93$

%Regularität

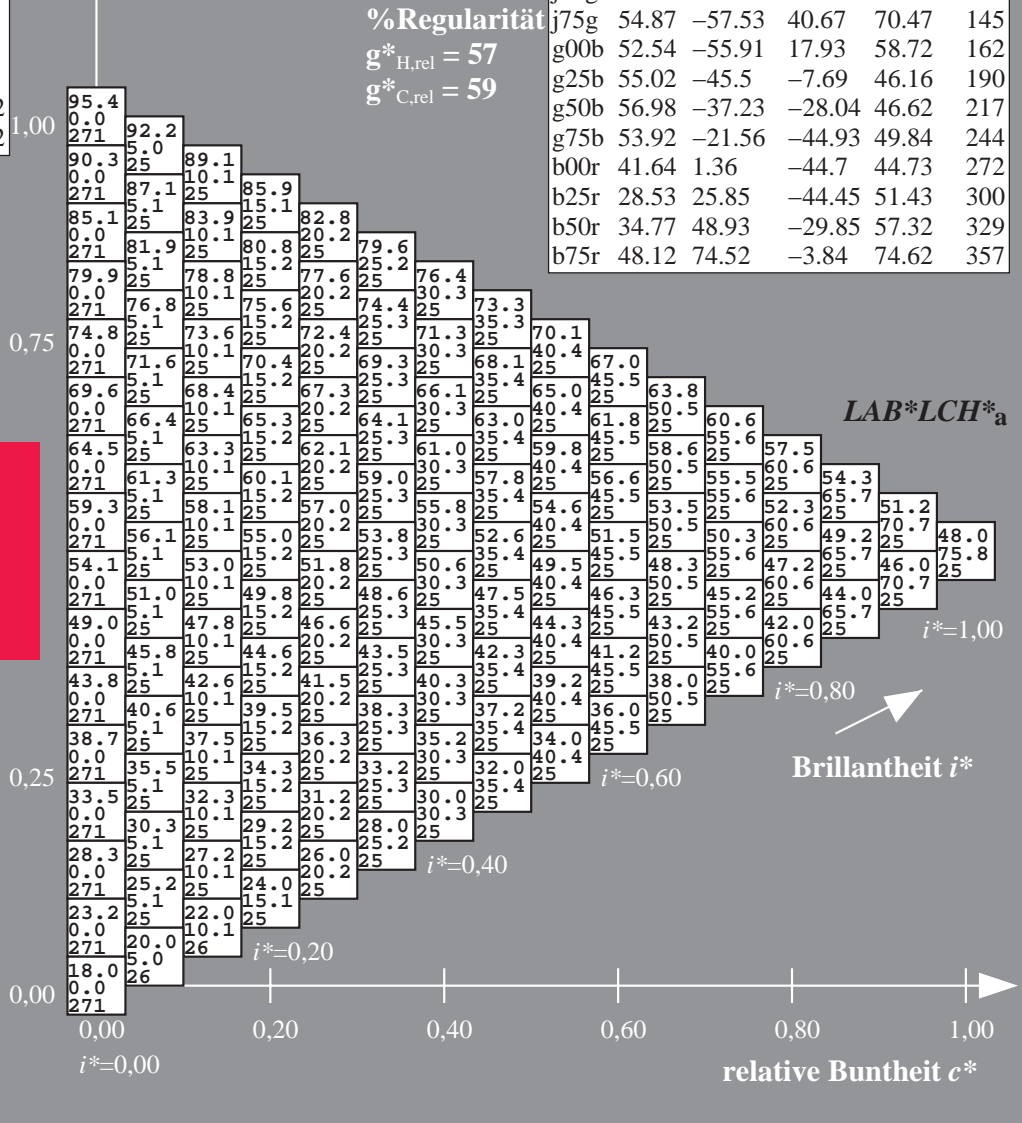
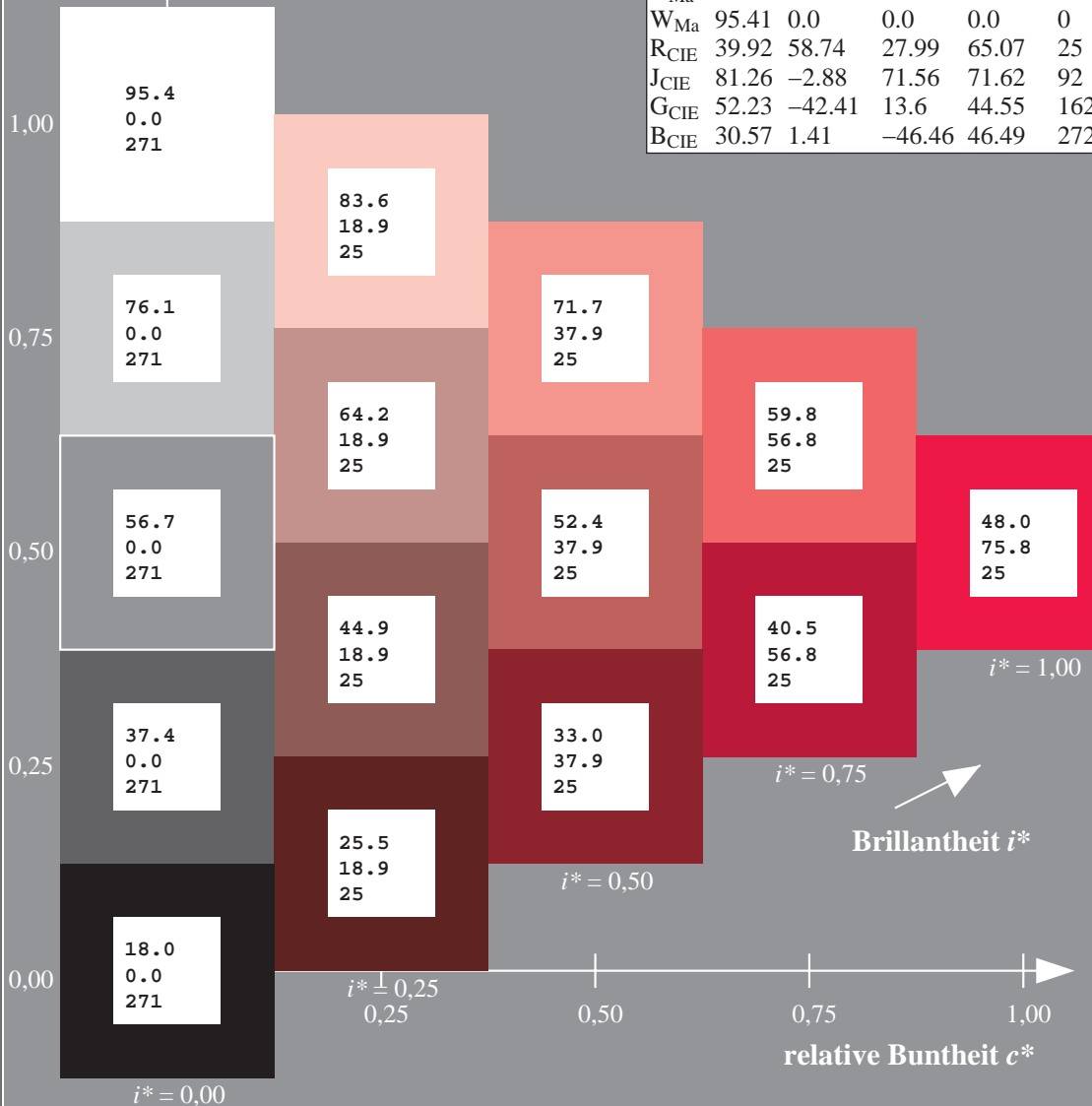
$g^*_{H,rel} = 57$

$g^*_{C,rel} = 59$

$LAB^*LCH^*_{a}$

ORS18_95aM; adaptierte CIELAB-Daten

	$L^*=L^*_a$	a^*_a	b^*_a	$C^*_{ab,a}$	$h^*_{ab,a}$
r00j	48.0	68.4	32.59	75.77	25
r25j	51.32	59.36	53.8	80.11	42
r50j	62.67	39.12	64.83	75.72	59
r75j	73.73	19.4	75.58	78.03	76
j00g	86.61	-3.55	88.09	88.17	92
j25g	78.07	-26.64	74.05	78.7	110
j50g	65.83	-42.94	56.44	70.93	127
j75g	54.87	-57.53	40.67	70.47	145
g00b	52.54	-55.91	17.93	58.72	162
g25b	55.02	-45.5	-7.69	46.16	190
g50b	56.98	-37.23	-28.04	46.62	217
g75b	53.92	-21.56	-44.93	49.84	244
b00r	41.64	1.36	-44.7	44.73	272
b25r	28.53	25.85	-44.45	51.43	300
b50r	34.77	48.93	-29.85	57.32	329
b75r	48.12	74.52	-3.84	74.62	357



Daten für jede Farbe:

lab^*ch^* und lab^*icu^*

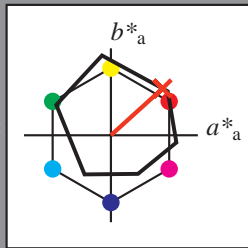
Elementar-Buntontext:

$u^* = r25j$

Kontrastreduzierungsfaktor:

$c_R = 1.0$

Dreiecks-Helligkeit t^*



ORS18_95aM; adaptierte CIELAB-Daten

	$L^*=L^*_a$	a^*_a	b^*_a	$C^*_{ab,a}$	$h^*_{ab,a}$
O _{Ma}	47.94	65.39	50.52	82.63	38
Y _{Ma}	90.37	-10.26	91.75	92.32	96
L _{Ma}	50.9	-62.83	34.96	71.91	151
C _{Ma}	58.62	-30.34	-45.01	54.3	236
V _{Ma}	25.72	31.1	-44.4	54.22	305
M _{Ma}	48.13	75.28	-8.36	75.74	354
N _{Ma}	18.01	0.0	0.0	0.0	0
W _{Ma}	95.41	0.0	0.0	0.0	0
R _{CIE}	39.92	58.74	27.99	65.07	25
J _{CIE}	81.26	-2.88	71.56	71.62	92
G _{CIE}	52.23	-42.41	13.6	44.55	162
B _{CIE}	30.57	1.41	-46.46	46.49	272

Daten für Maximalfarbe (Ma):

$LAB^*LAB^*_{Ma}$: 51 59 54

$LAB^*LCH^*_{Ma}$: 51 80 42

$lab^*rgb^*_{Ma}$: 1.0 0.25 0.0

$lab^*olv^*_{Ma}$: 1.0 0.08 0.0

Dreiecks-Helligkeit t^*

%Umfang

$u^*_{rel} = 93$

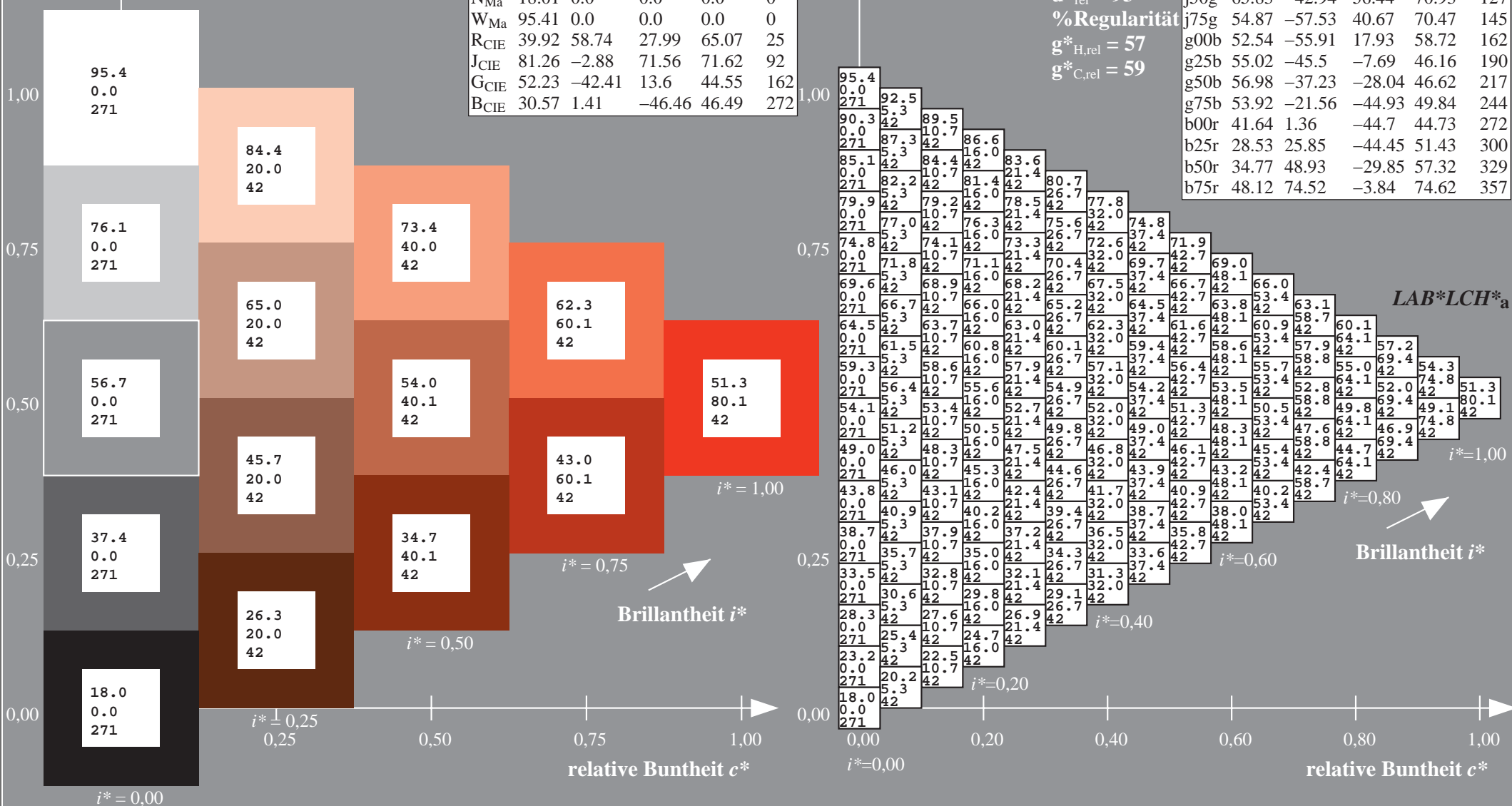
%Regularität

$g^*_{H,rel} = 57$

$g^*_{C,rel} = 59$

$LAB^*LCH^*_{a}$

	$L^*=L^*_a$	a^*_a	b^*_a	$C^*_{ab,a}$	$h^*_{ab,a}$
r00j	48.0	68.4	32.59	75.77	25
r25j	51.32	59.36	53.8	80.11	42
r50j	62.67	39.12	64.83	75.72	59
r75j	73.73	19.4	75.58	78.03	76
j00g	86.61	-3.55	88.09	88.17	92
j25g	78.07	-26.64	74.05	78.7	110
j50g	65.83	-42.94	56.44	70.93	127
j75g	54.87	-57.53	40.67	70.47	145
g00b	52.54	-55.91	17.93	58.72	162
g25b	55.02	-45.5	-7.69	46.16	190
g50b	56.98	-37.23	-28.04	46.62	217
g75b	53.92	-21.56	-44.93	49.84	244
b00r	41.64	1.36	-44.7	44.73	272
b25r	28.53	25.85	-44.45	51.43	300
b50r	34.77	48.93	-29.85	57.32	329
b75r	48.12	74.52	-3.84	74.62	357



Daten für jede Farbe:

lab^*ch^* und lab^*icu^*

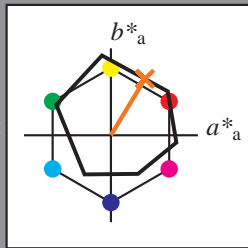
Elementar-Bunntext:

$u^* = r50j$

Kontrastreduzierungsfaktor:

$c_R = 1.0$

Dreiecks-Helligkeit t^*



ORS18_95aM; adaptierte CIELAB-Daten

	$L^*=L^*_a$	a^*_a	b^*_a	$C^*_{ab,a}$	$h^*_{ab,a}$
O _{Ma}	47.94	65.39	50.52	82.63	38
Y _{Ma}	90.37	-10.26	91.75	92.32	96
L _{Ma}	50.9	-62.83	34.96	71.91	151
C _{Ma}	58.62	-30.34	-45.01	54.3	236
V _{Ma}	25.72	31.1	-44.4	54.22	305
M _{Ma}	48.13	75.28	-8.36	75.74	354
N _{Ma}	18.01	0.0	0.0	0.0	0
W _{Ma}	95.41	0.0	0.0	0.0	0
R _{CIE}	39.92	58.74	27.99	65.07	25
J _{CIE}	81.26	-2.88	71.56	71.62	92
G _{CIE}	52.23	-42.41	13.6	44.55	162
B _{CIE}	30.57	1.41	-46.46	46.49	272

Daten für Maximalfarbe (Ma):

$LAB^*LAB^*_{Ma}$: 63 39 65

$LAB^*LCH^*_{Ma}$: 63 76 59

$lab^*rgb^*_{Ma}$: 1.0 0.5 0.0

$lab^*olv^*_{Ma}$: 1.0 0.35 0.0

Dreiecks-Helligkeit t^*

%Umfang

$u^*_{rel} = 93$

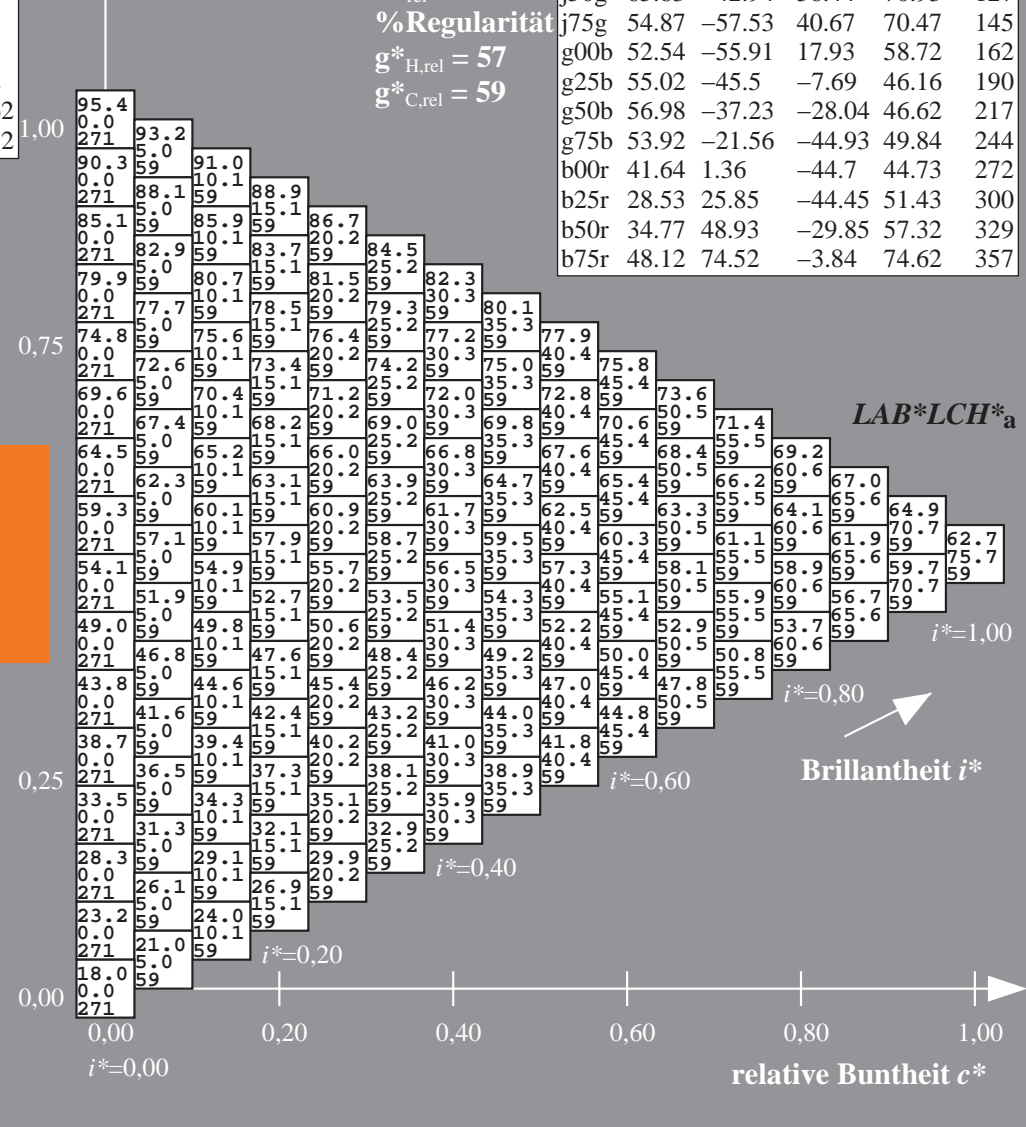
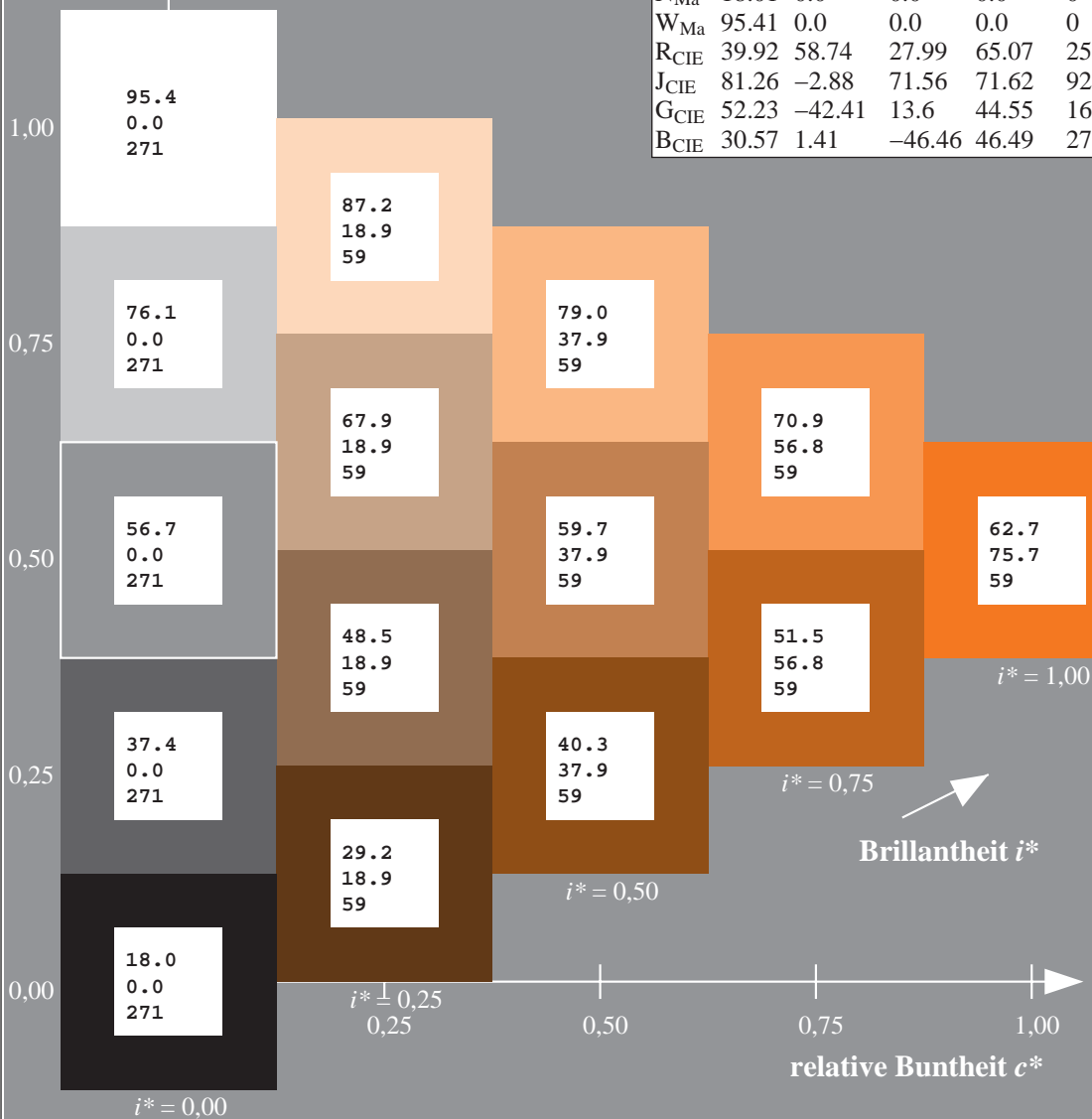
%Regularität

$g^*_{H,rel} = 57$

$g^*_{C,rel} = 59$

$LAB^*LCH^*_a$

	$L^*=L^*_a$	a^*_a	b^*_a	$C^*_{ab,a}$	$h^*_{ab,a}$
r00j	48.0	68.4	32.59	75.77	25
r25j	51.32	59.36	53.8	80.11	42
r50j	62.67	39.12	64.83	75.72	59
r75j	73.73	19.4	75.58	78.03	76
j00g	86.61	-3.55	88.09	88.17	92
j25g	78.07	-26.64	74.05	78.7	110
j50g	65.83	-42.94	56.44	70.93	127
j75g	54.87	-57.53	40.67	70.47	145
g00b	52.54	-55.91	17.93	58.72	162
g25b	55.02	-45.5	-7.69	46.16	190
g50b	56.98	-37.23	-28.04	46.62	217
g75b	53.92	-21.56	-44.93	49.84	244
b00r	41.64	1.36	-44.7	44.73	272
b25r	28.53	25.85	-44.45	51.43	300
b50r	34.77	48.93	-29.85	57.32	329
b75r	48.12	74.52	-3.84	74.62	357



Daten für jede Farbe:

lab^*tch^* und lab^*icu^*

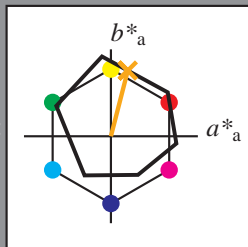
Elementar-Buntontext:

$u^* = r75j$

Kontrastreduzierungsfaktor:

$c_R = 1.0$

Dreiecks-Helligkeit t^*



ORS18_95aM; adaptierte CIELAB-Daten

	$L^*=L^*_a$	a^*_a	b^*_a	$C^*_{ab,a}$	$h^*_{ab,a}$
O _{Ma}	47.94	65.39	50.52	82.63	38
Y _{Ma}	90.37	-10.26	91.75	92.32	96
L _{Ma}	50.9	-62.83	34.96	71.91	151
C _{Ma}	58.62	-30.34	-45.01	54.3	236
V _{Ma}	25.72	31.1	-44.4	54.22	305
M _{Ma}	48.13	75.28	-8.36	75.74	354
N _{Ma}	18.01	0.0	0.0	0.0	0
W _{Ma}	95.41	0.0	0.0	0.0	0
R _{CIE}	39.92	58.74	27.99	65.07	25
J _{CIE}	81.26	-2.88	71.56	71.62	92
G _{CIE}	52.23	-42.41	13.6	44.55	162
B _{CIE}	30.57	1.41	-46.46	46.49	272

Daten für Maximalfarbe (Ma):

$LAB^*LAB^*_Ma$: 74 19 76

$LAB^*LCH^*_Ma$: 74 78 76

$lab^*rgb^*_Ma$: 1.0 0.75 0.0

$lab^*olv^*_Ma$: 1.0 0.61 0.0

Dreiecks-Helligkeit t^*

%Umfang

$u^*_{rel} = 93$

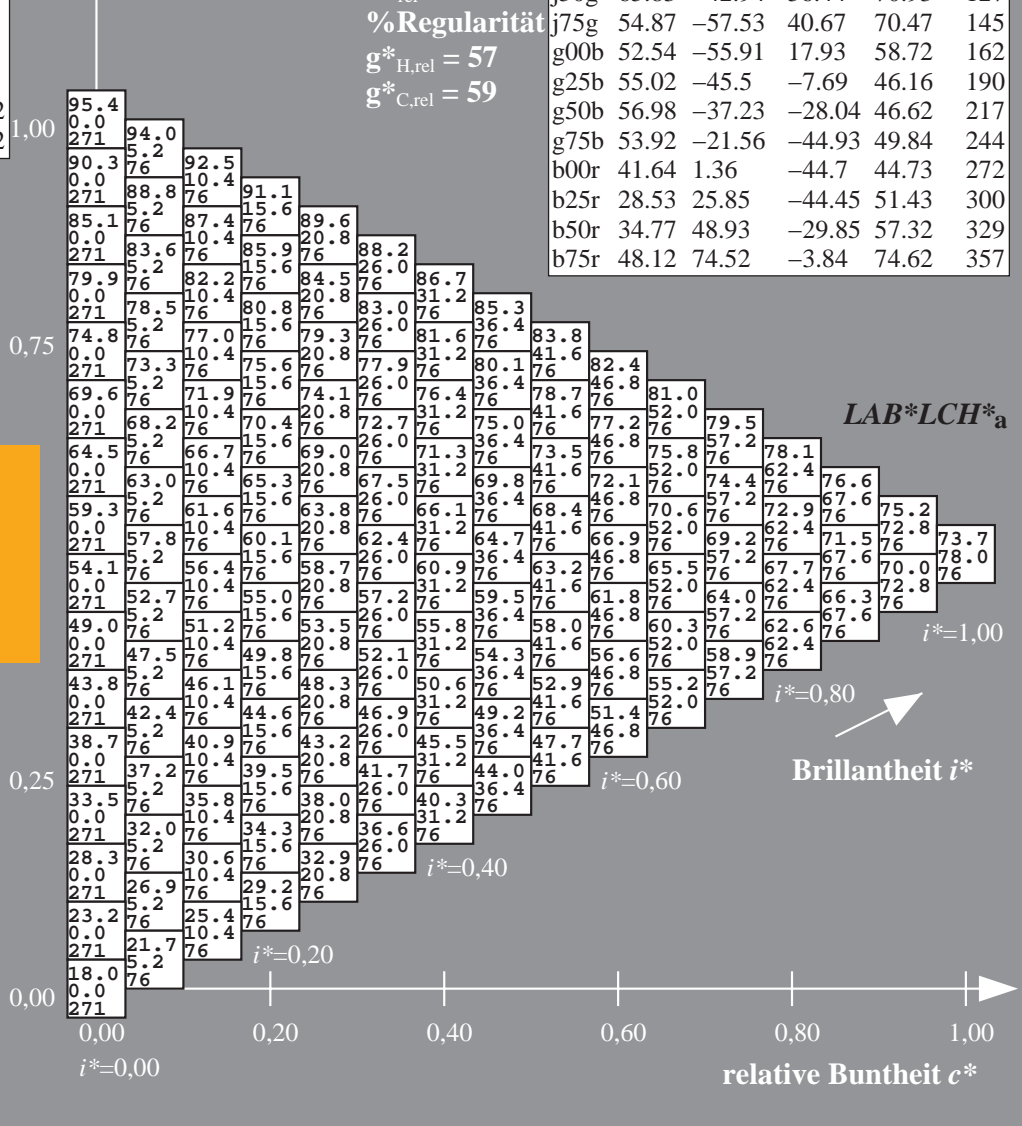
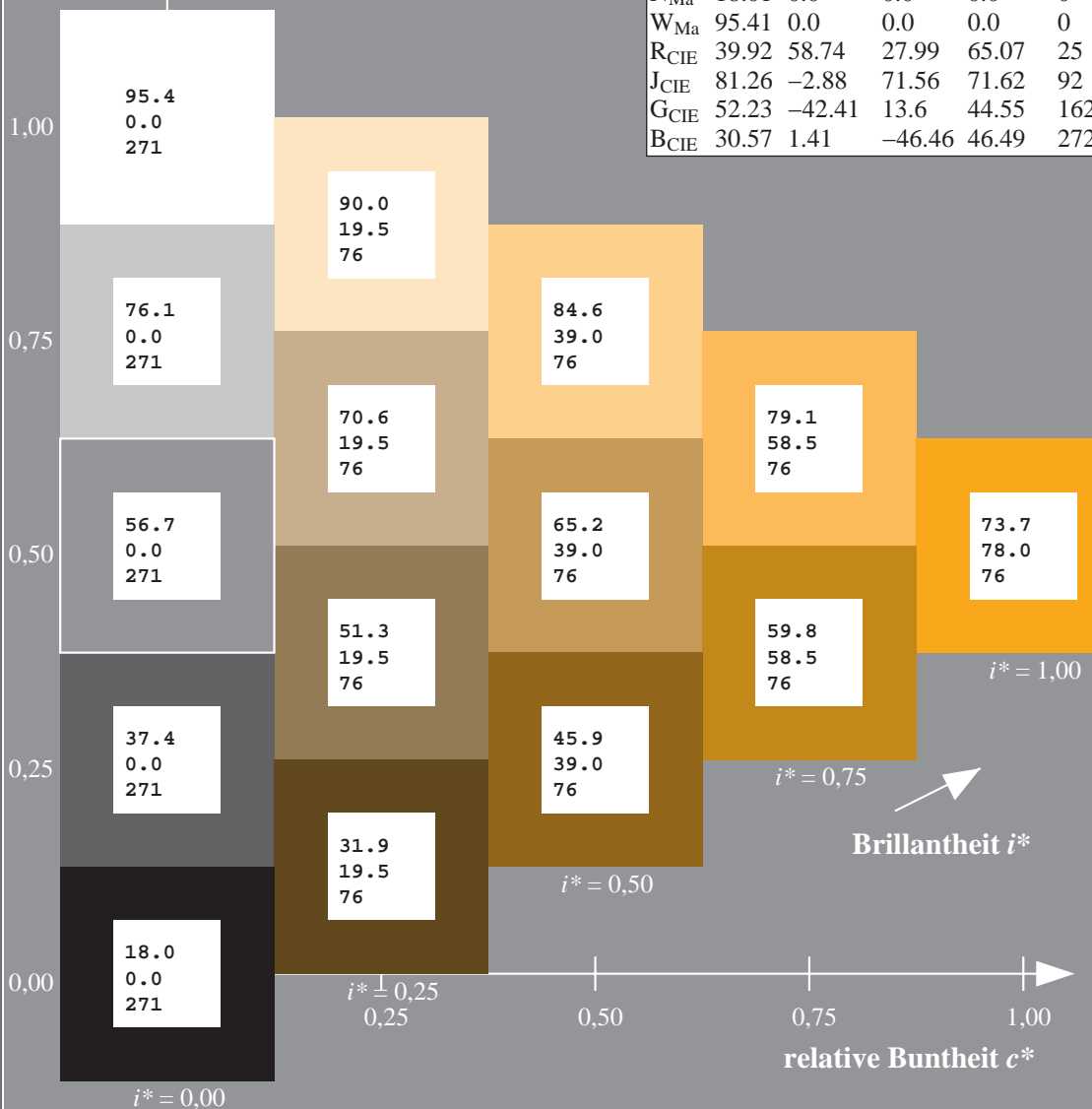
%Regularität

$g^*_{H,rel} = 57$

$g^*_{C,rel} = 59$

ORS18_95aM; adaptierte CIELAB-Daten

	$L^*=L^*_a$	a^*_a	b^*_a	$C^*_{ab,a}$	$h^*_{ab,a}$
r00j	48.0	68.4	32.59	75.77	25
r25j	51.32	59.36	53.8	80.11	42
r50j	62.67	39.12	64.83	75.72	59
r75j	73.73	19.4	75.58	78.03	76
j00g	86.61	-3.55	88.09	88.17	92
j25g	78.07	-26.64	74.05	78.7	110
j50g	65.83	-42.94	56.44	70.93	127
j75g	54.87	-57.53	40.67	70.47	145
g00b	52.54	-55.91	17.93	58.72	162
g25b	55.02	-45.5	-7.69	46.16	190
g50b	56.98	-37.23	-28.04	46.62	217
g75b	53.92	-21.56	-44.93	49.84	244
b00r	41.64	1.36	-44.7	44.73	272
b25r	28.53	25.85	-44.45	51.43	300
b50r	34.77	48.93	-29.85	57.32	329
b75r	48.12	74.52	-3.84	74.62	357



Daten für jede Farbe:

lab^*tch^* und lab^*icu^*

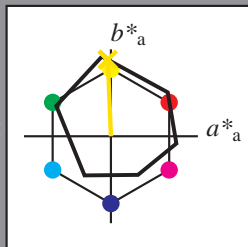
Elementar-Buntontext:

$u^* = j00g$

Kontrastreduzierungsfaktor:

$c_R = 1.0$

Dreiecks-Helligkeit t^*



ORS18_95aM; adaptierte CIELAB-Daten

	$L^*=L^*_a$	a^*_a	b^*_a	$C^*_{ab,a}$	$h^*_{ab,a}$
O _{Ma}	47.94	65.39	50.52	82.63	38
Y _{Ma}	90.37	-10.26	91.75	92.32	96
L _{Ma}	50.9	-62.83	34.96	71.91	151
C _{Ma}	58.62	-30.34	-45.01	54.3	236
V _{Ma}	25.72	31.1	-44.4	54.22	305
M _{Ma}	48.13	75.28	-8.36	75.74	354
N _{Ma}	18.01	0.0	0.0	0.0	0
W _{Ma}	95.41	0.0	0.0	0.0	0
R _{CIE}	39.92	58.74	27.99	65.07	25
J _{CIE}	81.26	-2.88	71.56	71.62	92
G _{CIE}	52.23	-42.41	13.6	44.55	162
B _{CIE}	30.57	1.41	-46.46	46.49	272

Daten für Maximalfarbe (Ma):

$LAB^*LAB^*_{Ma}$: 87 -3 88

$LAB^*LCH^*_{Ma}$: 87 88 92

$lab^*rgb^*_{Ma}$: 1.0 1.0 0.0

$lab^*olv^*_{Ma}$: 1.0 0.91 0.0

Dreiecks-Helligkeit t^*

%Umfang

$u^*_{rel} = 93$

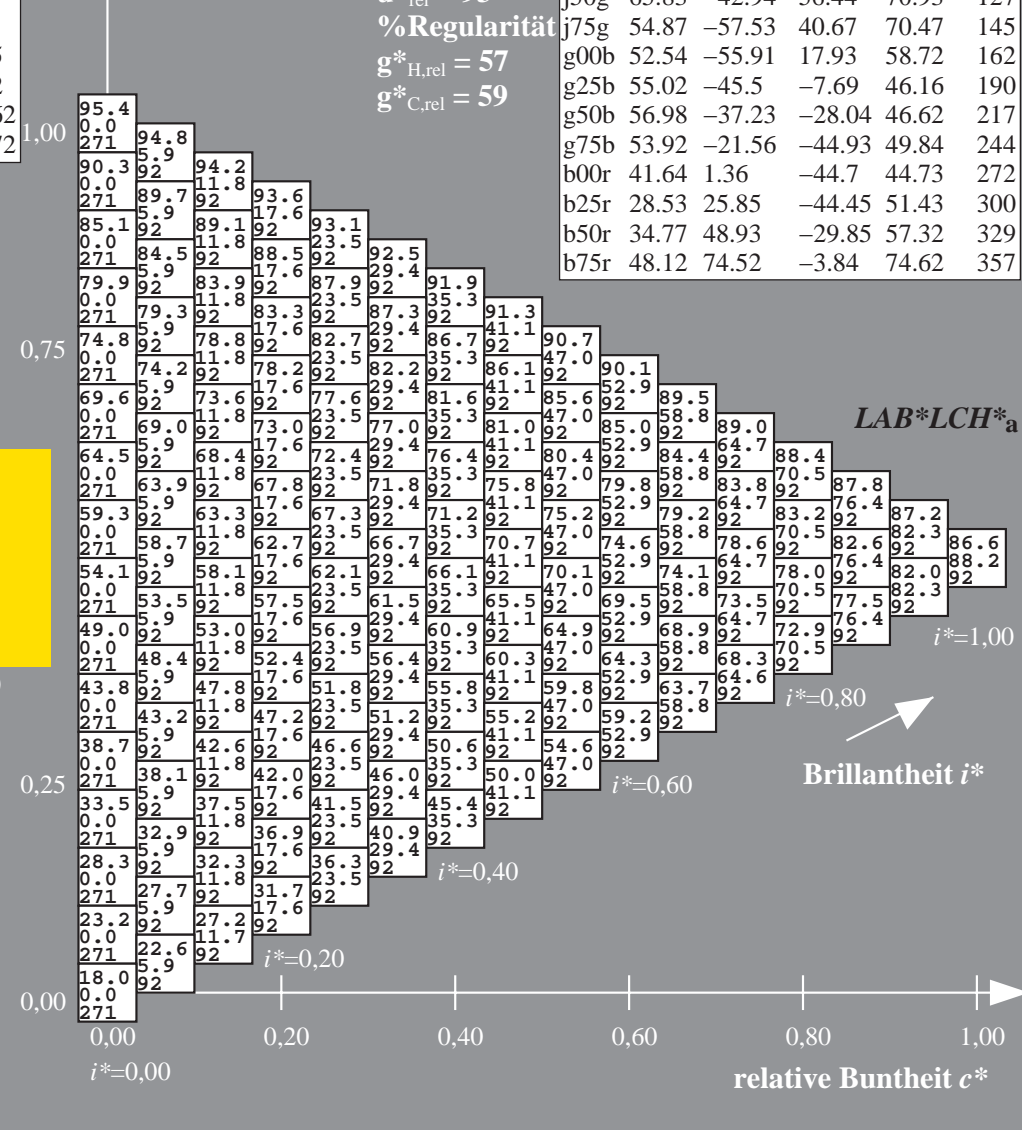
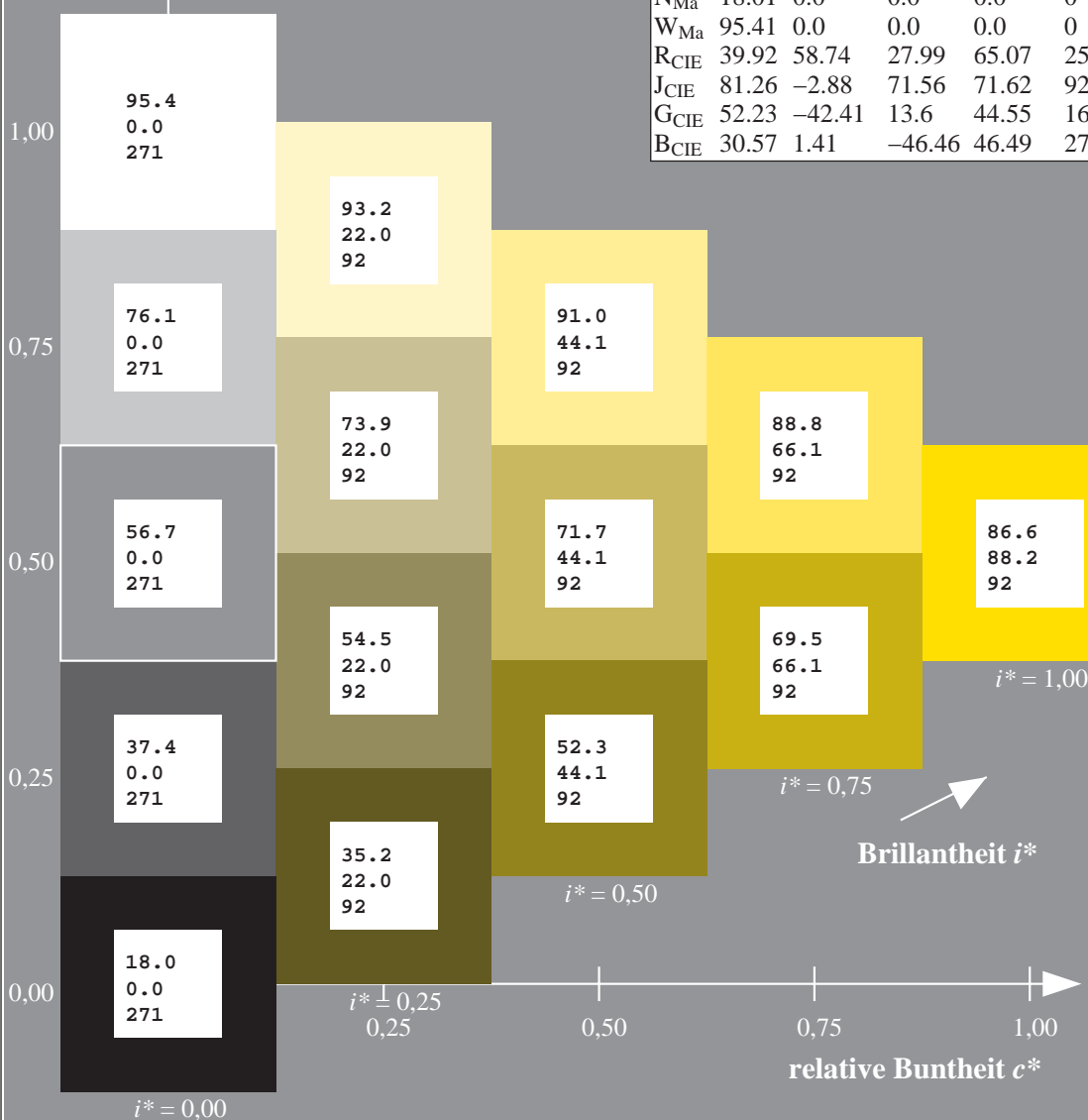
%Regularität

$g^*_{H,rel} = 57$

$g^*_{C,rel} = 59$

$LAB^*LCH^*_a$

	$L^*=L^*_a$	a^*_a	b^*_a	$C^*_{ab,a}$	$h^*_{ab,a}$
r00j	48.0	68.4	32.59	75.77	25
r25j	51.32	59.36	53.8	80.11	42
r50j	62.67	39.12	64.83	75.72	59
r75j	73.73	19.4	75.58	78.03	76
j00g	86.61	-3.55	88.09	88.17	92
j25g	78.07	-26.64	74.05	78.7	110
j50g	65.83	-42.94	56.44	70.93	127
j75g	54.87	-57.53	40.67	70.47	145
g00b	52.54	-55.91	17.93	58.72	162
g25b	55.02	-45.5	-7.69	46.16	190
g50b	56.98	-37.23	-28.04	46.62	217
g75b	53.92	-21.56	-44.93	49.84	244
b00r	41.64	1.36	-44.7	44.73	272
b25r	28.53	25.85	-44.45	51.43	300
b50r	34.77	48.93	-29.85	57.32	329
b75r	48.12	74.52	-3.84	74.62	357



Daten für jede Farbe:

lab^*ch^* und lab^*icu^*

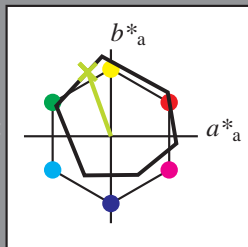
Elementar-Buntontext:

$u^* = j25g$

Kontrastreduzierungsfaktor:

$c_R = 1.0$

Dreiecks-Helligkeit t^*



ORS18_95aM; adaptierte CIELAB-Daten

	$L^*=L^*_a$	a^*_a	b^*_a	$C^*_{ab,a}$	$h^*_{ab,a}$
O _{Ma}	47.94	65.39	50.52	82.63	38
Y _{Ma}	90.37	-10.26	91.75	92.32	96
L _{Ma}	50.9	-62.83	34.96	71.91	151
C _{Ma}	58.62	-30.34	-45.01	54.3	236
V _{Ma}	25.72	31.1	-44.4	54.22	305
M _{Ma}	48.13	75.28	-8.36	75.74	354
N _{Ma}	18.01	0.0	0.0	0.0	0
W _{Ma}	95.41	0.0	0.0	0.0	0
R _{CIE}	39.92	58.74	27.99	65.07	25
J _{CIE}	81.26	-2.88	71.56	71.62	92
G _{CIE}	52.23	-42.41	13.6	44.55	162
B _{CIE}	30.57	1.41	-46.46	46.49	272

Daten für Maximalfarbe (Ma):

$LAB^*LAB^*_{Ma}$: 78 -26 74

$LAB^*LCH^*_{Ma}$: 78 79 110

$lab^*rgb^*_{Ma}$: 0.75 1.0 0.0

$lab^*olv^*_{Ma}$: 0.69 1.0 0.0

Dreiecks-Helligkeit t^*

%Umfang

$u^*_{rel} = 93$

%Regularität

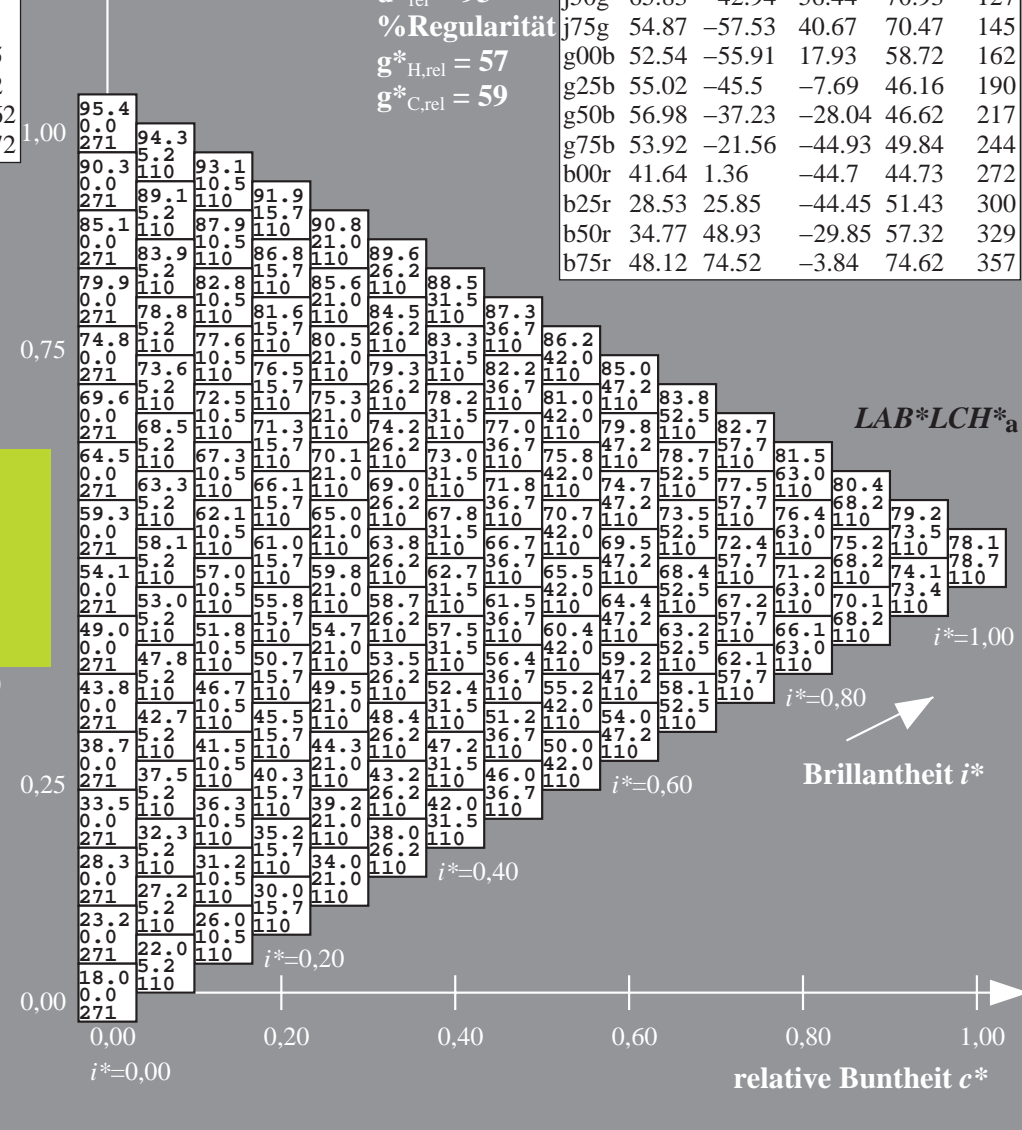
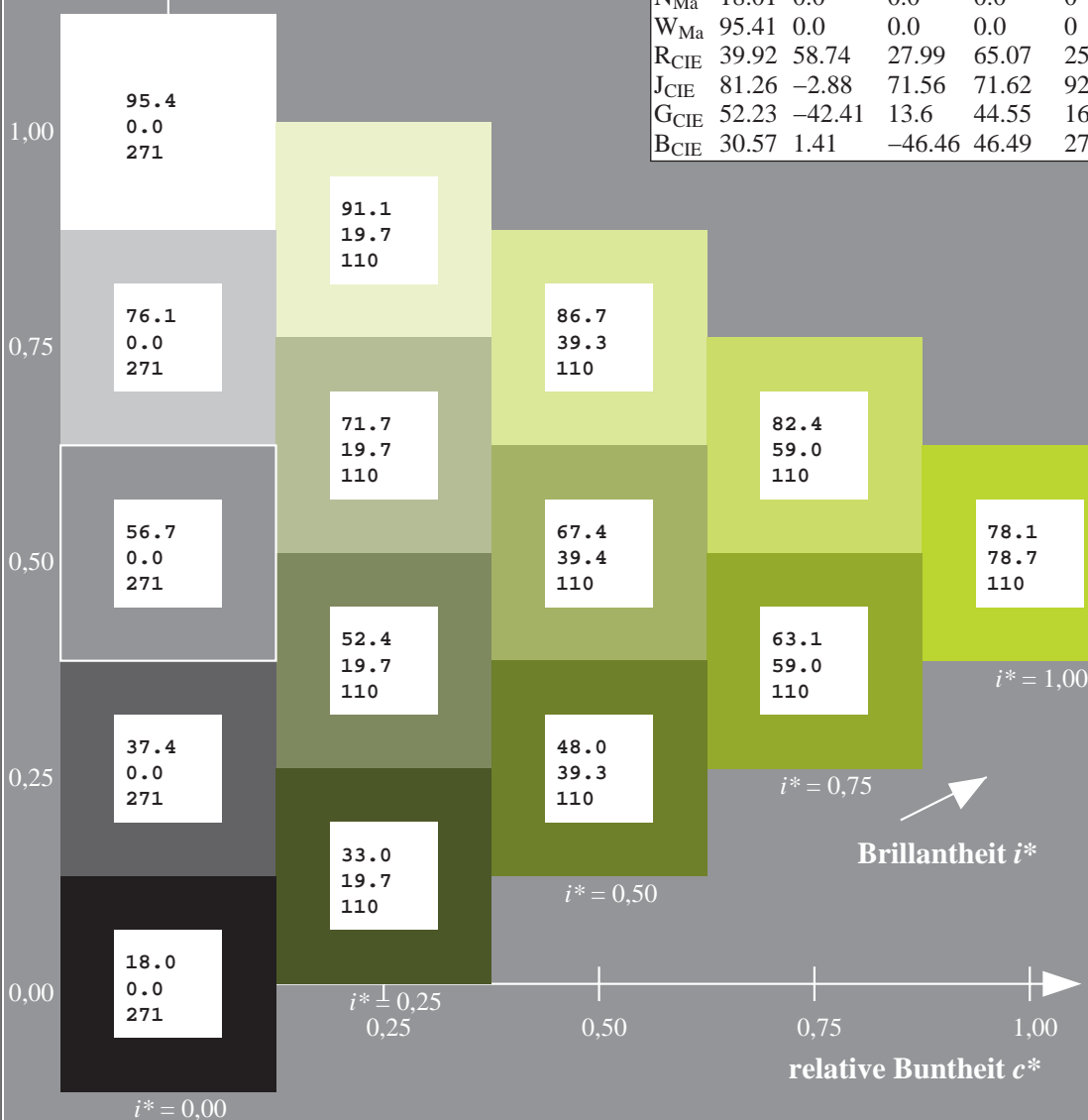
$g^*_{H,rel} = 57$

$g^*_{C,rel} = 59$

$LAB^*LCH^*_a$

ORS18_95aM; adaptierte CIELAB-Daten

	$L^*=L^*_a$	a^*_a	b^*_a	$C^*_{ab,a}$	$h^*_{ab,a}$
r00j	48.0	68.4	32.59	75.77	25
r25j	51.32	59.36	53.8	80.11	42
r50j	62.67	39.12	64.83	75.72	59
r75j	73.73	19.4	75.58	78.03	76
j00g	86.61	-3.55	88.09	88.17	92
j25g	78.07	-26.64	74.05	78.7	110
j50g	65.83	-42.94	56.44	70.93	127
j75g	54.87	-57.53	40.67	70.47	145
g00b	52.54	-55.91	17.93	58.72	162
g25b	55.02	-45.5	-7.69	46.16	190
g50b	56.98	-37.23	-28.04	46.62	217
g75b	53.92	-21.56	-44.93	49.84	244
b00r	41.64	1.36	-44.7	44.73	272
b25r	28.53	25.85	-44.45	51.43	300
b50r	34.77	48.93	-29.85	57.32	329
b75r	48.12	74.52	-3.84	74.62	357



Daten für jede Farbe:

lab^*ch^* und lab^*icu^*

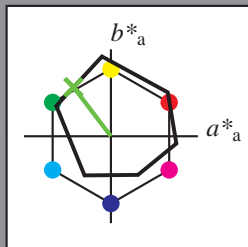
Elementar-Buntontext:

$u^* = j50g$

Kontrastreduzierungsfaktor:

$c_R = 1.0$

Dreiecks-Helligkeit t^*



ORS18_95aM; adaptierte CIELAB-Daten

	$L^*=L^*_a$	a^*_a	b^*_a	$C^*_{ab,a}$	$h^*_{ab,a}$
O _{Ma}	47.94	65.39	50.52	82.63	38
Y _{Ma}	90.37	-10.26	91.75	92.32	96
L _{Ma}	50.9	-62.83	34.96	71.91	151
C _{Ma}	58.62	-30.34	-45.01	54.3	236
V _{Ma}	25.72	31.1	-44.4	54.22	305
M _{Ma}	48.13	75.28	-8.36	75.74	354
N _{Ma}	18.01	0.0	0.0	0.0	0
W _{Ma}	95.41	0.0	0.0	0.0	0
R _{CIE}	39.92	58.74	27.99	65.07	25
J _{CIE}	81.26	-2.88	71.56	71.62	92
G _{CIE}	52.23	-42.41	13.6	44.55	162
B _{CIE}	30.57	1.41	-46.46	46.49	272

Daten für Maximalfarbe (Ma):

$LAB^*LAB^*_{Ma}$: 66 -42 56

$LAB^*LCH^*_{Ma}$: 66 71 127

$lab^*rgb^*_{Ma}$: 0.5 1.0 0.0

$lab^*olv^*_{Ma}$: 0.38 1.0 0.0

Dreiecks-Helligkeit t^*

%Umfang

$u^*_{rel} = 93$

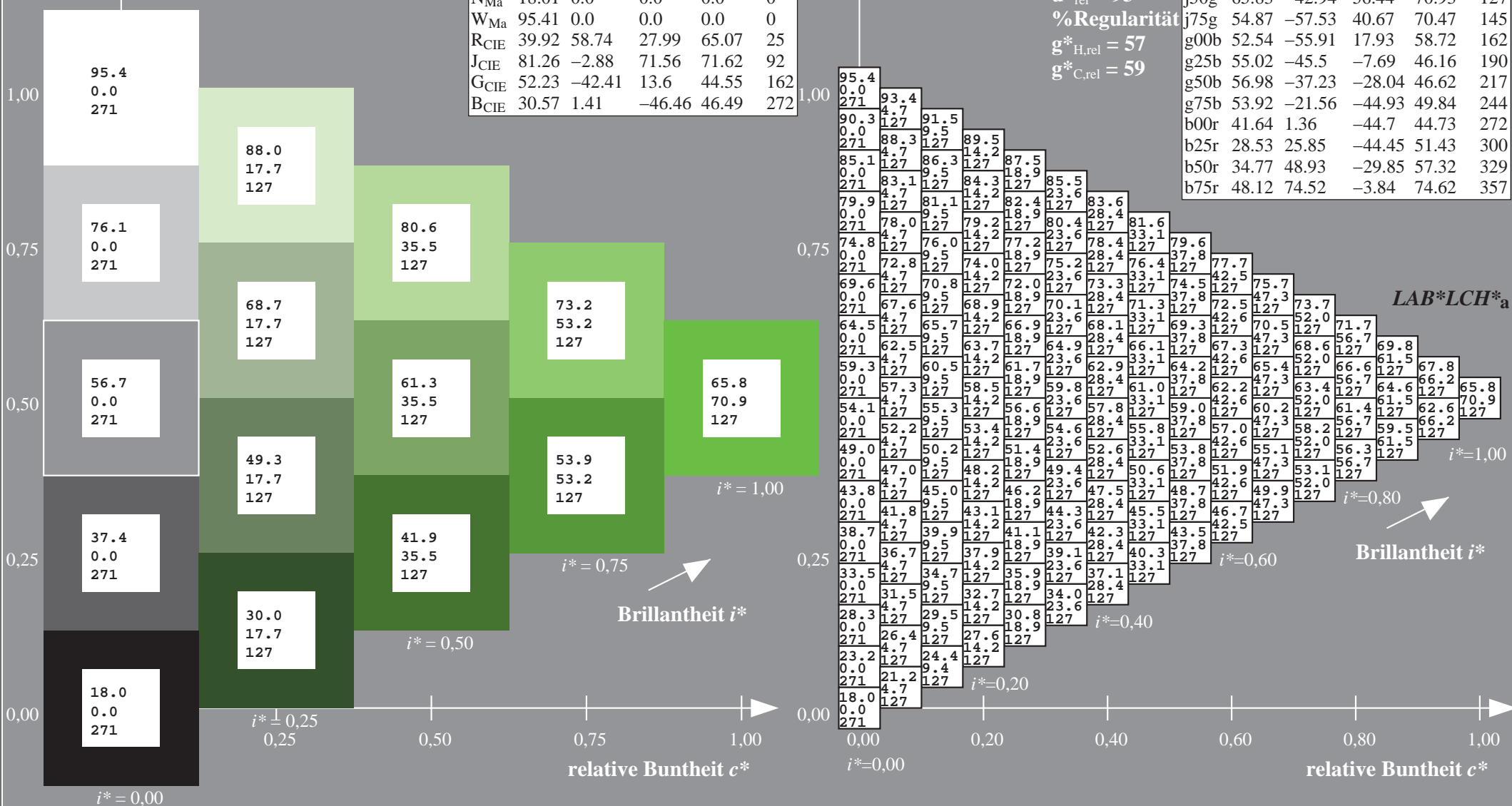
%Regularität

$g^*_{H,rel} = 57$

$g^*_{C,rel} = 59$

$LAB^*LCH^*_{a}$

	$L^*=L^*_a$	a^*_a	b^*_a	$C^*_{ab,a}$	$h^*_{ab,a}$
r00j	48.0	68.4	32.59	75.77	25
r25j	51.32	59.36	53.8	80.11	42
r50j	62.67	39.12	64.83	75.72	59
r75j	73.73	19.4	75.58	78.03	76
j00g	86.61	-3.55	88.09	88.17	92
j25g	78.07	-26.64	74.05	78.7	110
j50g	65.83	-42.94	56.44	70.93	127
j75g	54.87	-57.53	40.67	70.47	145
g00b	52.54	-55.91	17.93	58.72	162
g25b	55.02	-45.5	-7.69	46.16	190
g50b	56.98	-37.23	-28.04	46.62	217
g75b	53.92	-21.56	-44.93	49.84	244
b00r	41.64	1.36	-44.7	44.73	272
b25r	28.53	25.85	-44.45	51.43	300
b50r	34.77	48.93	-29.85	57.32	329
b75r	48.12	74.52	-3.84	74.62	357



Daten für jede Farbe:

lab^*ch^* und lab^*icu^*

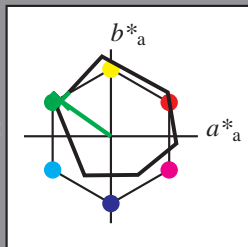
Elementar-Buntontext:

$u^* = j75g$

Kontrastreduzierungsfaktor:

$c_R = 1.0$

Dreiecks-Helligkeit t^*



ORS18_95aM; adaptierte CIELAB-Daten

	$L^*=L^*_a$	a^*_a	b^*_a	$C^*_{ab,a}$	$h^*_{ab,a}$
O _{Ma}	47.94	65.39	50.52	82.63	38
Y _{Ma}	90.37	-10.26	91.75	92.32	96
L _{Ma}	50.9	-62.83	34.96	71.91	151
C _{Ma}	58.62	-30.34	-45.01	54.3	236
V _{Ma}	25.72	31.1	-44.4	54.22	305
M _{Ma}	48.13	75.28	-8.36	75.74	354
N _{Ma}	18.01	0.0	0.0	0.0	0
W _{Ma}	95.41	0.0	0.0	0.0	0
R _{CIE}	39.92	58.74	27.99	65.07	25
J _{CIE}	81.26	-2.88	71.56	71.62	92
G _{CIE}	52.23	-42.41	13.6	44.55	162
B _{CIE}	30.57	1.41	-46.46	46.49	272

Daten für Maximalfarbe (Ma):

$LAB^*LAB^*_{Ma}$: 55 -57 41

$LAB^*LCH^*_{Ma}$: 55 70 145

$lab^*rgb^*_{Ma}$: 0.25 1.0 0.0

$lab^*olv^*_{Ma}$: 0.1 1.0 0.0

Dreiecks-Helligkeit t^*

%Umfang

$u^*_{rel} = 93$

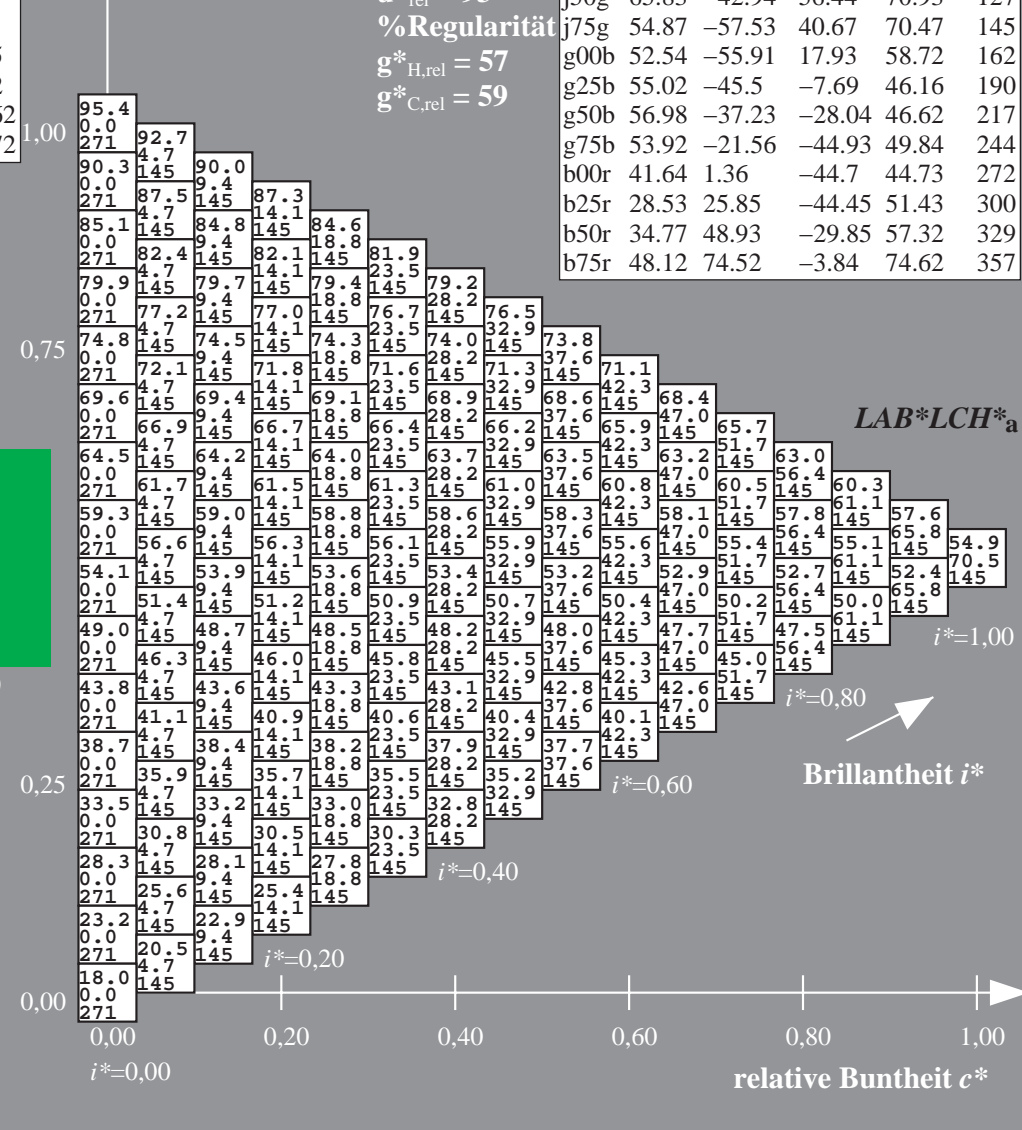
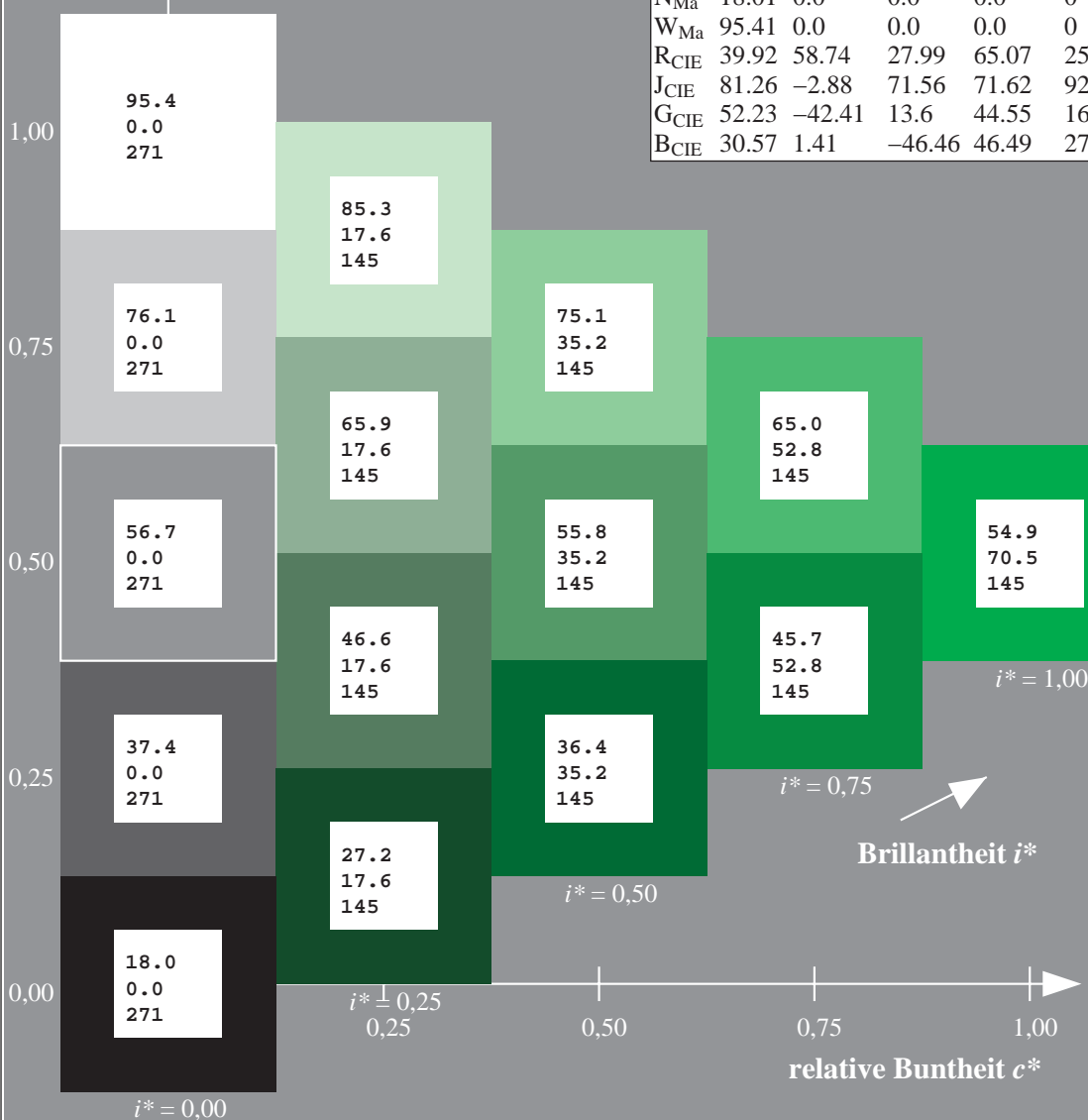
%Regularität

$g^*_{H,rel} = 57$

$g^*_{C,rel} = 59$

$LAB^*LCH^*_{a}$

	$L^*=L^*_a$	a^*_a	b^*_a	$C^*_{ab,a}$	$h^*_{ab,a}$
r00j	48.0	68.4	32.59	75.77	25
r25j	51.32	59.36	53.8	80.11	42
r50j	62.67	39.12	64.83	75.72	59
r75j	73.73	19.4	75.58	78.03	76
j00g	86.61	-3.55	88.09	88.17	92
j25g	78.07	-26.64	74.05	78.7	110
j50g	65.83	-42.94	56.44	70.93	127
j75g	54.87	-57.53	40.67	70.47	145
g00b	52.54	-55.91	17.93	58.72	162
g25b	55.02	-45.5	-7.69	46.16	190
g50b	56.98	-37.23	-28.04	46.62	217
g75b	53.92	-21.56	-44.93	49.84	244
b00r	41.64	1.36	-44.7	44.73	272
b25r	28.53	25.85	-44.45	51.43	300
b50r	34.77	48.93	-29.85	57.32	329
b75r	48.12	74.52	-3.84	74.62	357



Daten für jede Farbe:

lab^*ch^* und lab^*icu^*

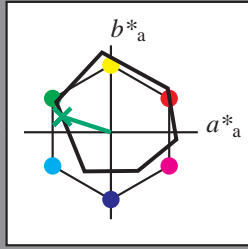
Elementar-Buntontext:

$u^* = g00b$

Kontrastreduzierungsfaktor:

$c_R = 1.0$

Dreiecks-Helligkeit t^*



ORS18_95aM; adaptierte CIELAB-Daten

	$L^*=L^*_a$	a^*_a	b^*_a	$C^*_{ab,a}$	$h^*_{ab,a}$
O _{Ma}	47.94	65.39	50.52	82.63	38
Y _{Ma}	90.37	-10.26	91.75	92.32	96
L _{Ma}	50.9	-62.83	34.96	71.91	151
C _{Ma}	58.62	-30.34	-45.01	54.3	236
V _{Ma}	25.72	31.1	-44.4	54.22	305
M _{Ma}	48.13	75.28	-8.36	75.74	354
N _{Ma}	18.01	0.0	0.0	0.0	0
W _{Ma}	95.41	0.0	0.0	0.0	0
R _{CIE}	39.92	58.74	27.99	65.07	25
J _{CIE}	81.26	-2.88	71.56	71.62	92
G _{CIE}	52.23	-42.41	13.6	44.55	162
B _{CIE}	30.57	1.41	-46.46	46.49	272

Daten für Maximalfarbe (Ma):

$LAB^*LAB^*_{Ma}$: 53 -55 18

$LAB^*LCH^*_{Ma}$: 53 59 162

$lab^*rgb^*_{Ma}$: 0.0 1.0 0.0

$lab^*olv^*_{Ma}$: 0.0 1.0 0.21

Dreiecks-Helligkeit t^*

%Umfang

$u^*_{rel} = 93$

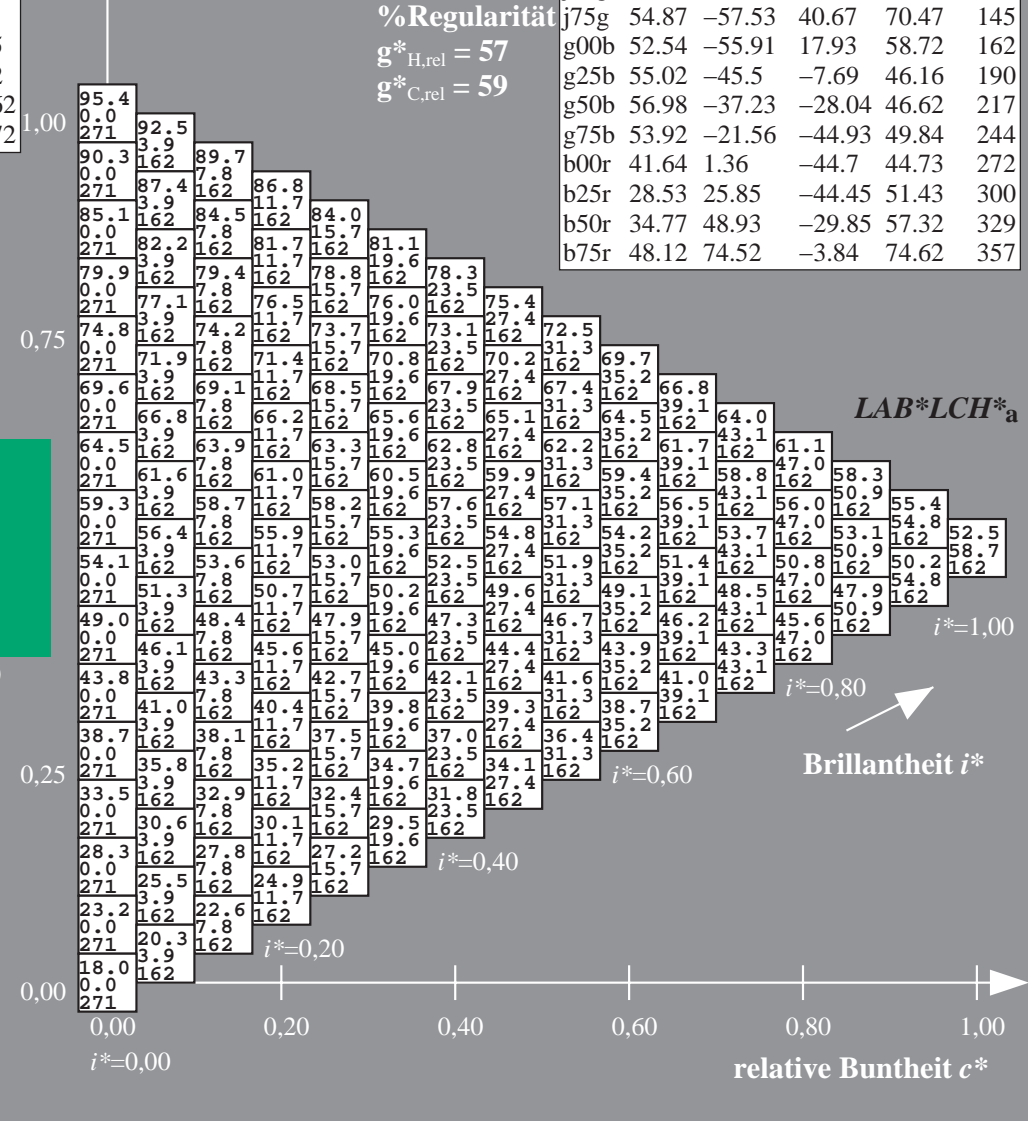
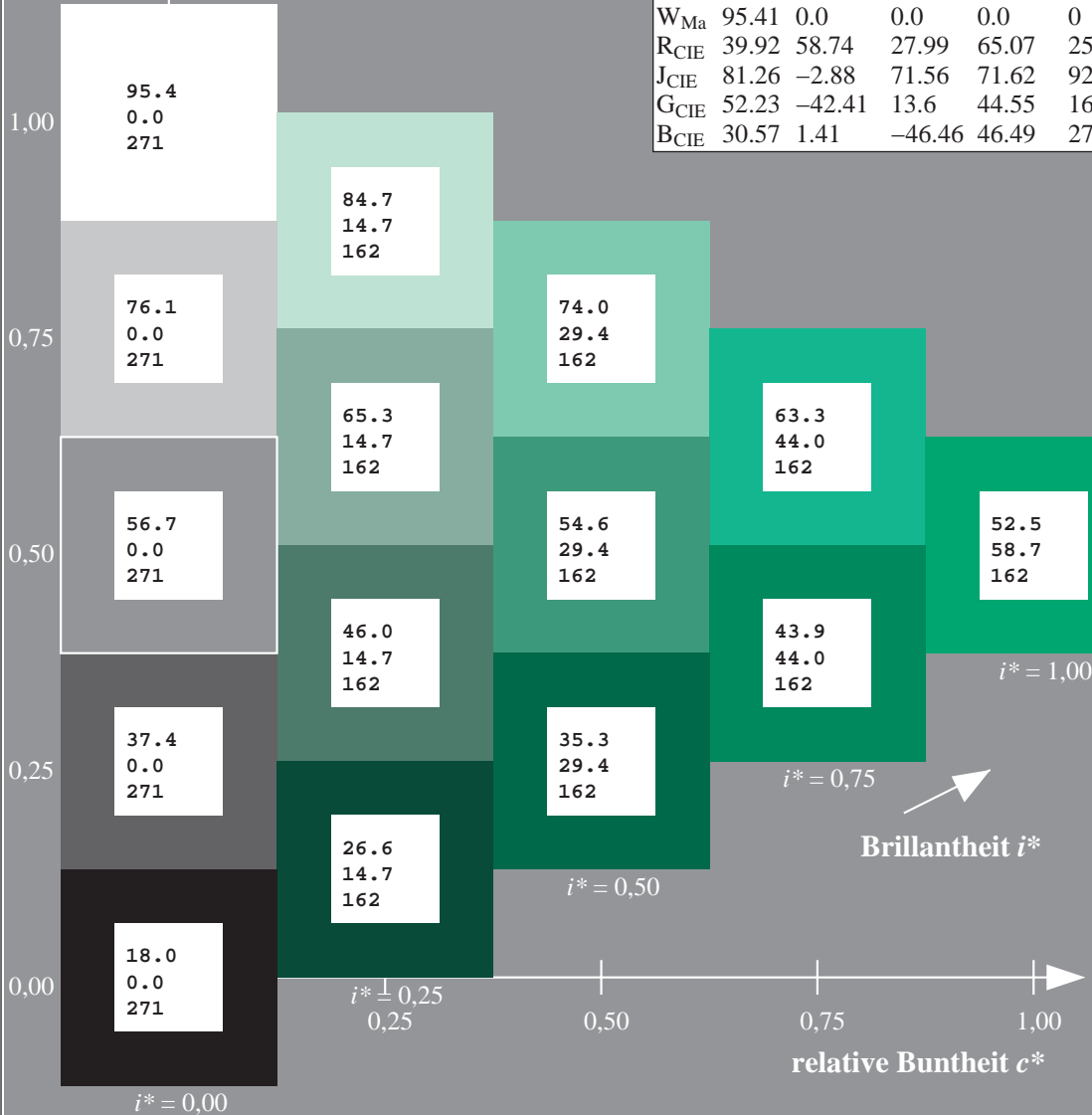
%Regularität

$g^*_{H,rel} = 57$

$g^*_{C,rel} = 59$

$LAB^*LCH^*_a$

	$L^*=L^*_a$	a^*_a	b^*_a	$C^*_{ab,a}$	$h^*_{ab,a}$
r00j	48.0	68.4	32.59	75.77	25
r25j	51.32	59.36	53.8	80.11	42
r50j	62.67	39.12	64.83	75.72	59
r75j	73.73	19.4	75.58	78.03	76
j00g	86.61	-3.55	88.09	88.17	92
j25g	78.07	-26.64	74.05	78.7	110
j50g	65.83	-42.94	56.44	70.93	127
j75g	54.87	-57.53	40.67	70.47	145
g00b	52.54	-55.91	17.93	58.72	162
g25b	55.02	-45.5	-7.69	46.16	190
g50b	56.98	-37.23	-28.04	46.62	217
g75b	53.92	-21.56	-44.93	49.84	244
b00r	41.64	1.36	-44.7	44.73	272
b25r	28.53	25.85	-44.45	51.43	300
b50r	34.77	48.93	-29.85	57.32	329
b75r	48.12	74.52	-3.84	74.62	357



Daten für jede Farbe:

lab^*ch^* und lab^*icu^*

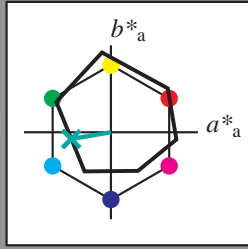
Elementar-Buntontext:

$u^* = g25b$

Kontrastreduzierungsfaktor:

$c_R = 1.0$

Dreiecks-Helligkeit t^*



ORS18_95aM; adaptierte CIELAB-Daten

	$L^*=L^*_a$	a^*_a	b^*_a	$C^*_{ab,a}$	$h^*_{ab,a}$
O _{Ma}	47.94	65.39	50.52	82.63	38
Y _{Ma}	90.37	-10.26	91.75	92.32	96
L _{Ma}	50.9	-62.83	34.96	71.91	151
C _{Ma}	58.62	-30.34	-45.01	54.3	236
V _{Ma}	25.72	31.1	-44.4	54.22	305
M _{Ma}	48.13	75.28	-8.36	75.74	354
N _{Ma}	18.01	0.0	0.0	0.0	0
W _{Ma}	95.41	0.0	0.0	0.0	0
R _{CIE}	39.92	58.74	27.99	65.07	25
J _{CIE}	81.26	-2.88	71.56	71.62	92
G _{CIE}	52.23	-42.41	13.6	44.55	162
B _{CIE}	30.57	1.41	-46.46	46.49	272

Daten für Maximalfarbe (Ma):

$LAB^*LAB^*_{Ma}$: 55 -45 -7

$LAB^*LCH^*_{Ma}$: 55 46 190

$lab^*rgb^*_{Ma}$: 0.0 1.0 0.5

$lab^*olv^*_{Ma}$: 0.0 1.0 0.53

Dreiecks-Helligkeit t^*

%Umfang

$u^*_{rel} = 93$

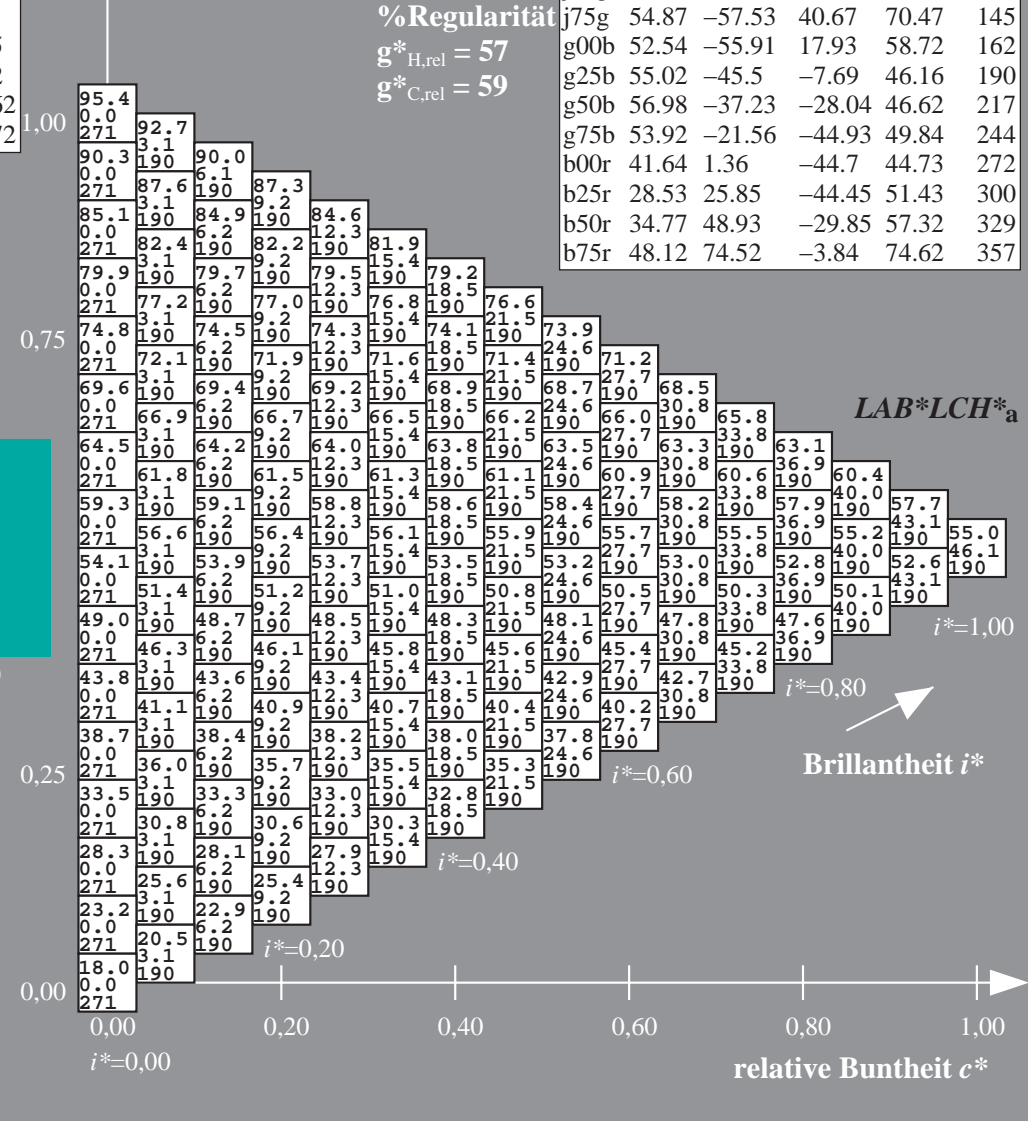
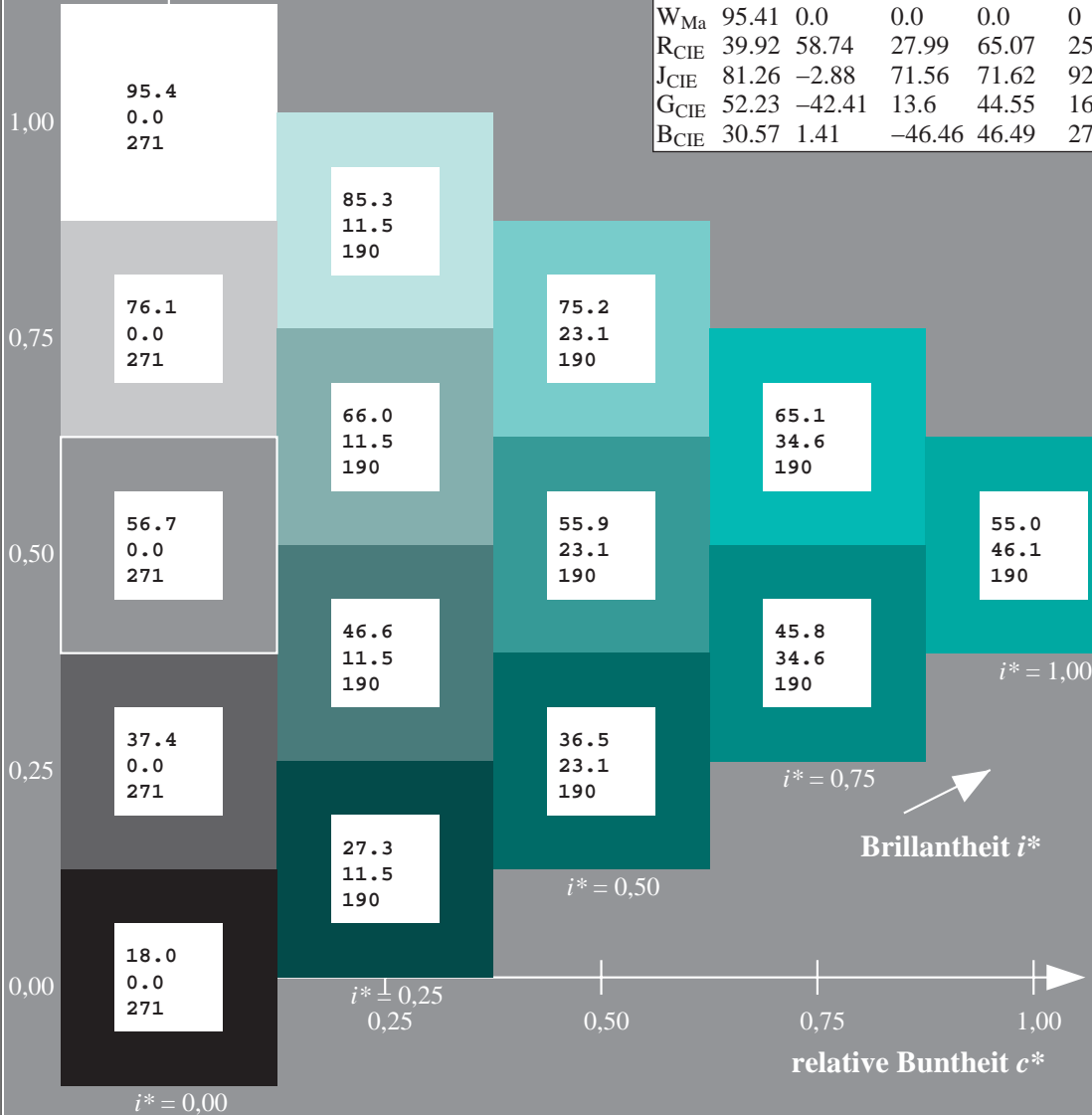
%Regularität

$g^*_{H,rel} = 57$

$g^*_{C,rel} = 59$

$LAB^*LCH^*_{a}$

	$L^*=L^*_a$	a^*_a	b^*_a	$C^*_{ab,a}$	$h^*_{ab,a}$
r00j	48.0	68.4	32.59	75.77	25
r25j	51.32	59.36	53.8	80.11	42
r50j	62.67	39.12	64.83	75.72	59
r75j	73.73	19.4	75.58	78.03	76
j00g	86.61	-3.55	88.09	88.17	92
j25g	78.07	-26.64	74.05	78.7	110
j50g	65.83	-42.94	56.44	70.93	127
j75g	54.87	-57.53	40.67	70.47	145
g00b	52.54	-55.91	17.93	58.72	162
g25b	55.02	-45.5	-7.69	46.16	190
g50b	56.98	-37.23	-28.04	46.62	217
g75b	53.92	-21.56	-44.93	49.84	244
b00r	41.64	1.36	-44.7	44.73	272
b25r	28.53	25.85	-44.45	51.43	300
b50r	34.77	48.93	-29.85	57.32	329
b75r	48.12	74.52	-3.84	74.62	357



Daten für jede Farbe:

lab^*ch^* und lab^*icu^*

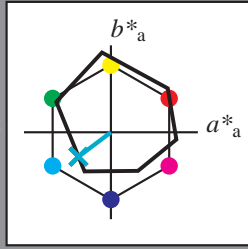
Elementar-Buntontext:

$u^* = g50b$

Kontrastreduzierungsfaktor:

$c_R = 1.0$

Dreiecks-Helligkeit t^*



ORS18_95aM; adaptierte CIELAB-Daten

	$L^*=L^*_a$	a^*_a	b^*_a	$C^*_{ab,a}$	$h^*_{ab,a}$
O _{Ma}	47.94	65.39	50.52	82.63	38
Y _{Ma}	90.37	-10.26	91.75	92.32	96
L _{Ma}	50.9	-62.83	34.96	71.91	151
C _{Ma}	58.62	-30.34	-45.01	54.3	236
V _{Ma}	25.72	31.1	-44.4	54.22	305
M _{Ma}	48.13	75.28	-8.36	75.74	354
N _{Ma}	18.01	0.0	0.0	0.0	0
W _{Ma}	95.41	0.0	0.0	0.0	0
R _{CIE}	39.92	58.74	27.99	65.07	25
J _{CIE}	81.26	-2.88	71.56	71.62	92
G _{CIE}	52.23	-42.41	13.6	44.55	162
B _{CIE}	30.57	1.41	-46.46	46.49	272

Daten für Maximalfarbe (Ma):

$LAB^*LAB^*_Ma: 57 -36 -27$

$LAB^*LCH^*_Ma: 57 47 217$

$lab^*rgb^*_Ma: 0.0 1.0 1.0$

$lab^*olv^*_Ma: 0.0 1.0 0.79$

Dreiecks-Helligkeit t^*

%Umfang

$u^*_{rel} = 93$

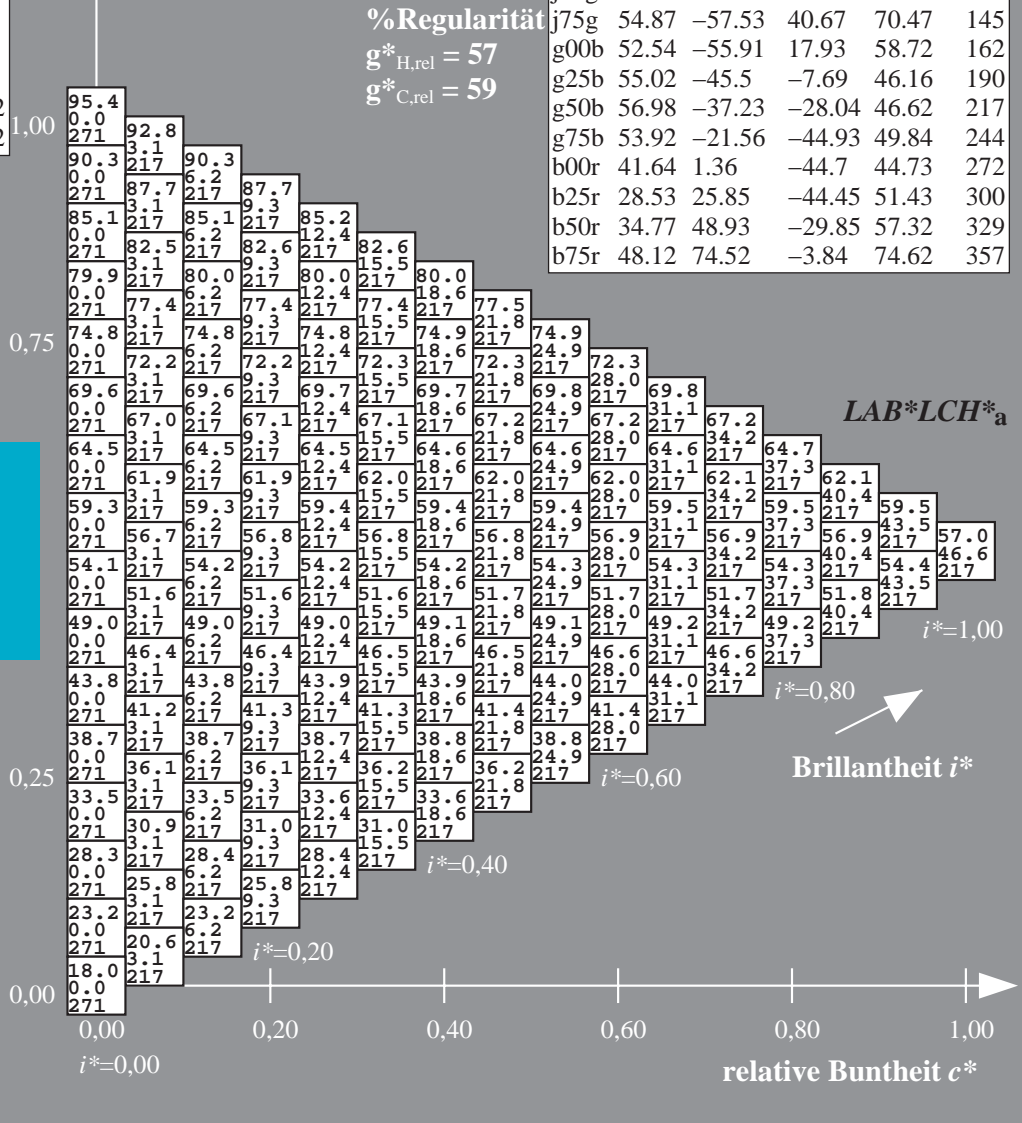
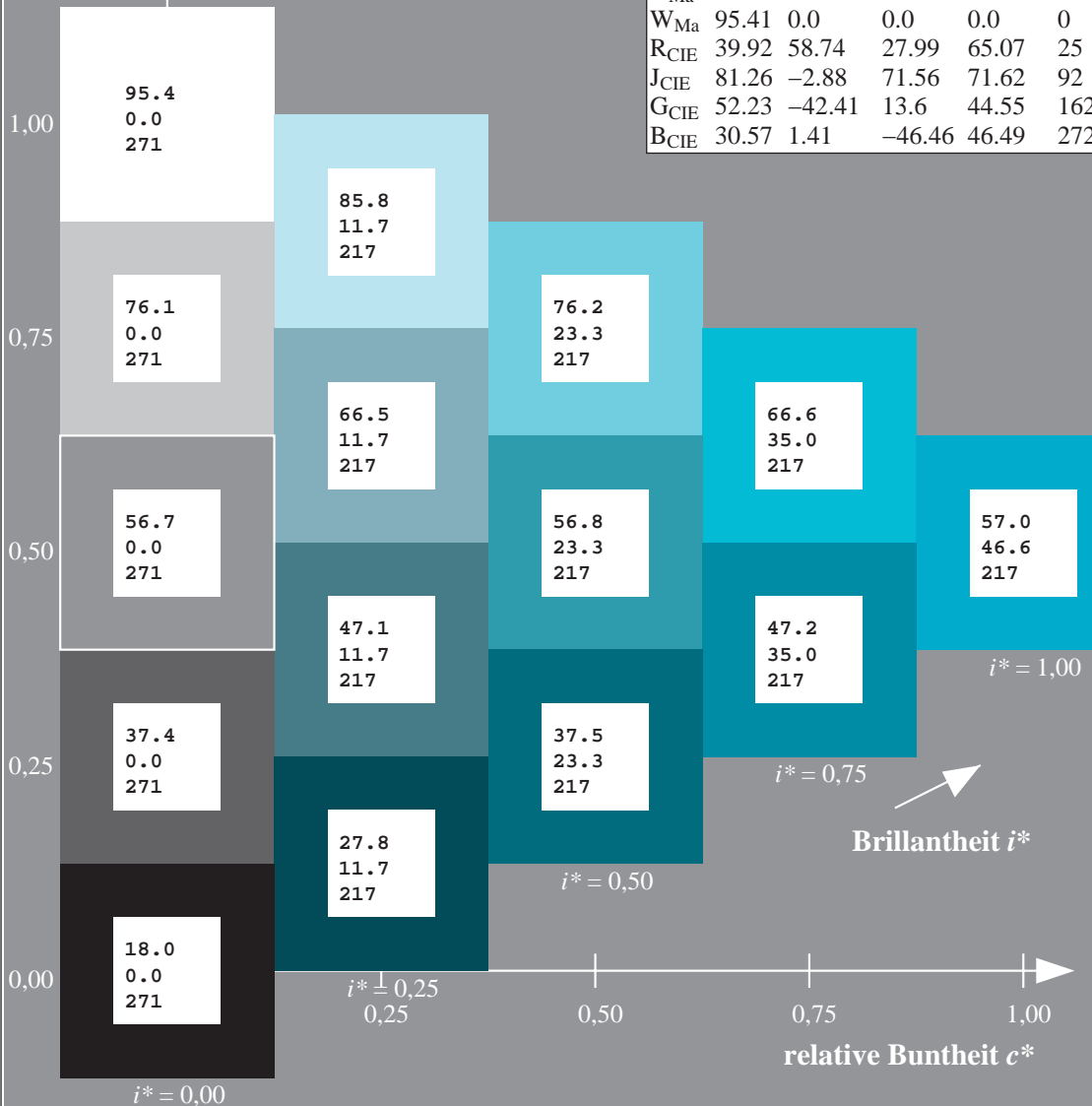
%Regularität

$g^*_{H,rel} = 57$

$g^*_{C,rel} = 59$

$LAB^*LCH^*_a$

	$L^*=L^*_a$	a^*_a	b^*_a	$C^*_{ab,a}$	$h^*_{ab,a}$
r00j	48.0	68.4	32.59	75.77	25
r25j	51.32	59.36	53.8	80.11	42
r50j	62.67	39.12	64.83	75.72	59
r75j	73.73	19.4	75.58	78.03	76
j00g	86.61	-3.55	88.09	88.17	92
j25g	78.07	-26.64	74.05	78.7	110
j50g	65.83	-42.94	56.44	70.93	127
j75g	54.87	-57.53	40.67	70.47	145
g00b	52.54	-55.91	17.93	58.72	162
g25b	55.02	-45.5	-7.69	46.16	190
g50b	56.98	-37.23	-28.04	46.62	217
g75b	53.92	-21.56	-44.93	49.84	244
b00r	41.64	1.36	-44.7	44.73	272
b25r	28.53	25.85	-44.45	51.43	300
b50r	34.77	48.93	-29.85	57.32	329
b75r	48.12	74.52	-3.84	74.62	357



Daten für jede Farbe:

lab^*ch^* und lab^*icu^*

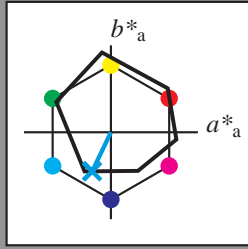
Elementar-Buntontext:

$u^* = g75b$

Kontrastreduzierungsfaktor:

$c_R = 1.0$

Dreiecks-Helligkeit t^*



ORS18_95aM; adaptierte CIELAB-Daten

	$L^*=L^*_a$	a^*_a	b^*_a	$C^*_{ab,a}$	$h^*_{ab,a}$
O _{Ma}	47.94	65.39	50.52	82.63	38
Y _{Ma}	90.37	-10.26	91.75	92.32	96
L _{Ma}	50.9	-62.83	34.96	71.91	151
C _{Ma}	58.62	-30.34	-45.01	54.3	236
V _{Ma}	25.72	31.1	-44.4	54.22	305
M _{Ma}	48.13	75.28	-8.36	75.74	354
N _{Ma}	18.01	0.0	0.0	0.0	0
W _{Ma}	95.41	0.0	0.0	0.0	0
R _{CIE}	39.92	58.74	27.99	65.07	25
J _{CIE}	81.26	-2.88	71.56	71.62	92
G _{CIE}	52.23	-42.41	13.6	44.55	162
B _{CIE}	30.57	1.41	-46.46	46.49	272

Daten für Maximalfarbe (Ma):

$\text{LAB}^*\text{LAB}^*_{Ma}$: 54 -21 -44

$\text{LAB}^*\text{LCH}^*_{Ma}$: 54 50 244

$\text{lab}^*\text{rgb}^*_{Ma}$: 0.0 0.5 1.0

$\text{lab}^*\text{olv}^*_{Ma}$: 0.0 0.86 1.0

Dreiecks-Helligkeit t^*

%Umfang

$u^*_{rel} = 93$

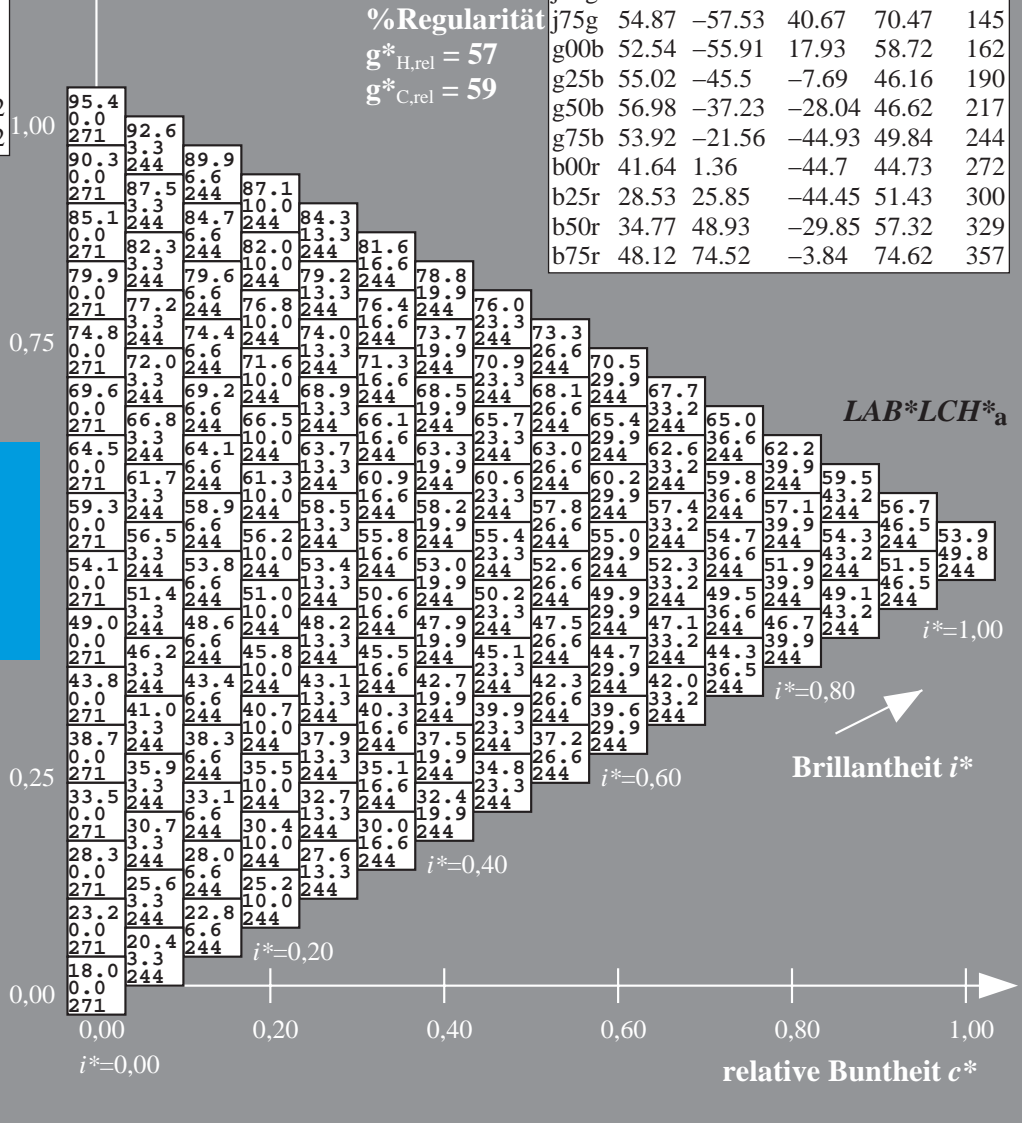
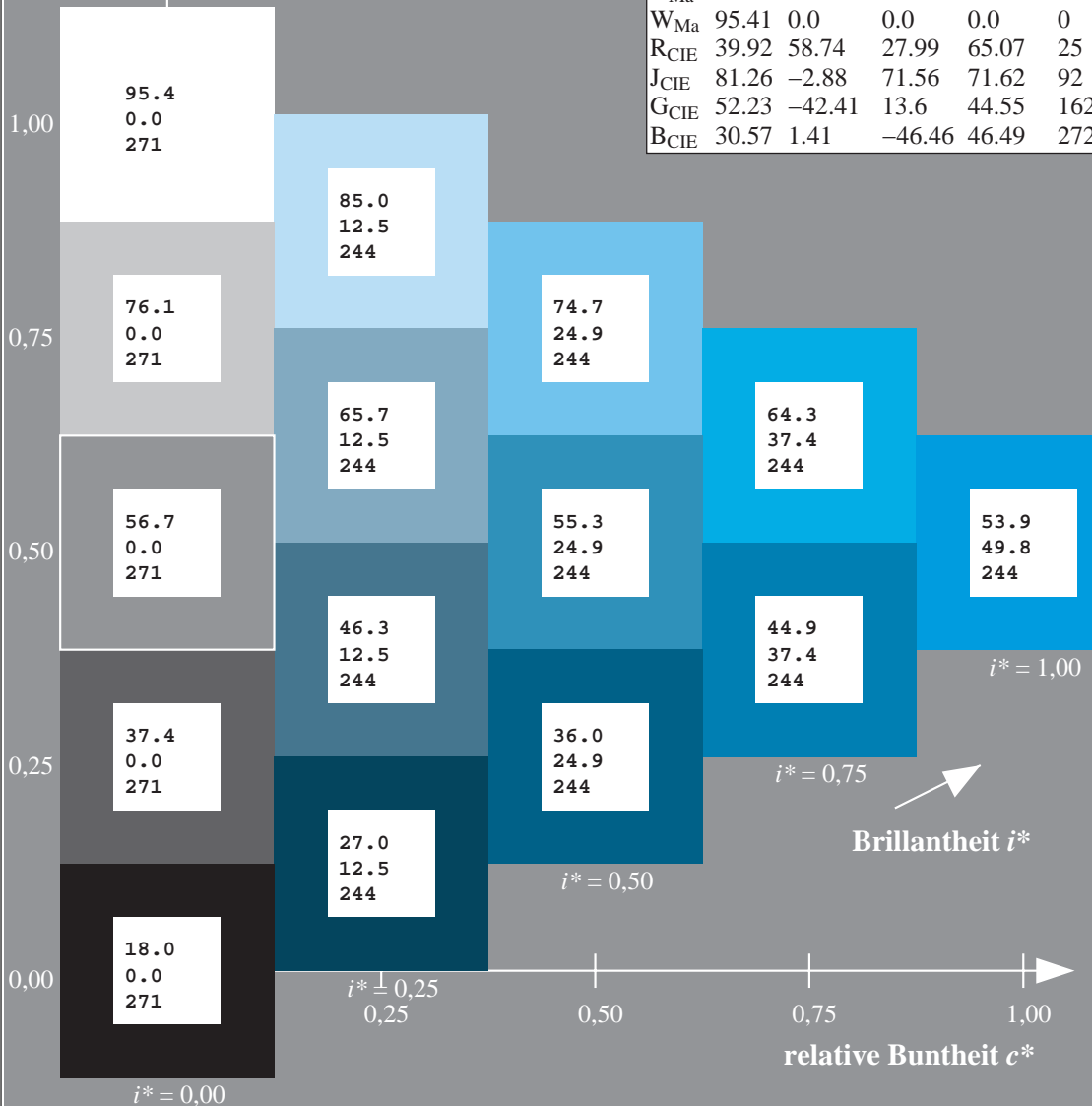
%Regularität

$g^*_{H,rel} = 57$

$g^*_{C,rel} = 59$

$\text{LAB}^*\text{LCH}^*_a$

	$L^*=L^*_a$	a^*_a	b^*_a	$C^*_{ab,a}$	$h^*_{ab,a}$
r00j	48.0	68.4	32.59	75.77	25
r25j	51.32	59.36	53.8	80.11	42
r50j	62.67	39.12	64.83	75.72	59
r75j	73.73	19.4	75.58	78.03	76
j00g	86.61	-3.55	88.09	88.17	92
j25g	78.07	-26.64	74.05	78.7	110
j50g	65.83	-42.94	56.44	70.93	127
j75g	54.87	-57.53	40.67	70.47	145
g00b	52.54	-55.91	17.93	58.72	162
g25b	55.02	-45.5	-7.69	46.16	190
g50b	56.98	-37.23	-28.04	46.62	217
g75b	53.92	-21.56	-44.93	49.84	244
b00r	41.64	1.36	-44.7	44.73	272
b25r	28.53	25.85	-44.45	51.43	300
b50r	34.77	48.93	-29.85	57.32	329
b75r	48.12	74.52	-3.84	74.62	357



Daten für jede Farbe:

lab^*ch^* und lab^*icu^*

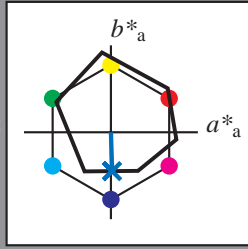
Elementar-Buntontext:

$u^* = b00r$

Kontrastreduzierungsfaktor:

$c_R = 1.0$

Dreiecks-Helligkeit t^*



ORS18_95aM; adaptierte CIELAB-Daten

	$L^*=L^*_a$	a^*_a	b^*_a	$C^*_{ab,a}$	$h^*_{ab,a}$
O _{Ma}	47.94	65.39	50.52	82.63	38
Y _{Ma}	90.37	-10.26	91.75	92.32	96
L _{Ma}	50.9	-62.83	34.96	71.91	151
C _{Ma}	58.62	-30.34	-45.01	54.3	236
V _{Ma}	25.72	31.1	-44.4	54.22	305
M _{Ma}	48.13	75.28	-8.36	75.74	354
N _{Ma}	18.01	0.0	0.0	0.0	0
W _{Ma}	95.41	0.0	0.0	0.0	0
R _{CIE}	39.92	58.74	27.99	65.07	25
J _{CIE}	81.26	-2.88	71.56	71.62	92
G _{CIE}	52.23	-42.41	13.6	44.55	162
B _{CIE}	30.57	1.41	-46.46	46.49	272

Daten für Maximalfarbe (Ma):

$LAB^*LAB^*_Ma: 42 \ 1 \ -44$

$LAB^*LCH^*_Ma: 42 \ 45 \ 272$

$lab^*rgb^*_Ma: 0.0 \ 0.0 \ 1.0$

$lab^*olv^*_Ma: 0.0 \ 0.48 \ 1.0$

Dreiecks-Helligkeit t^*

%Umfang

$u^*_{rel} = 93$

%Regularität

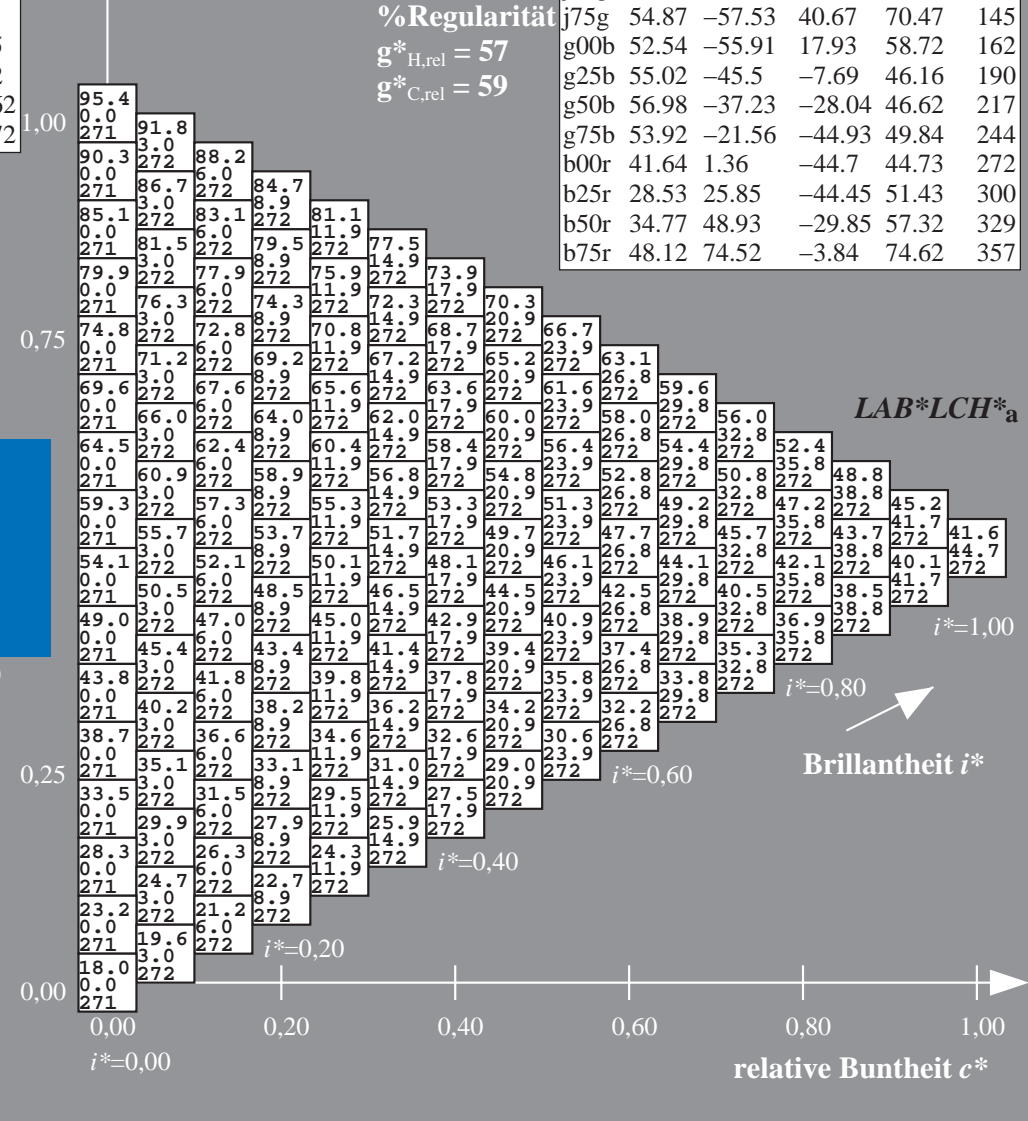
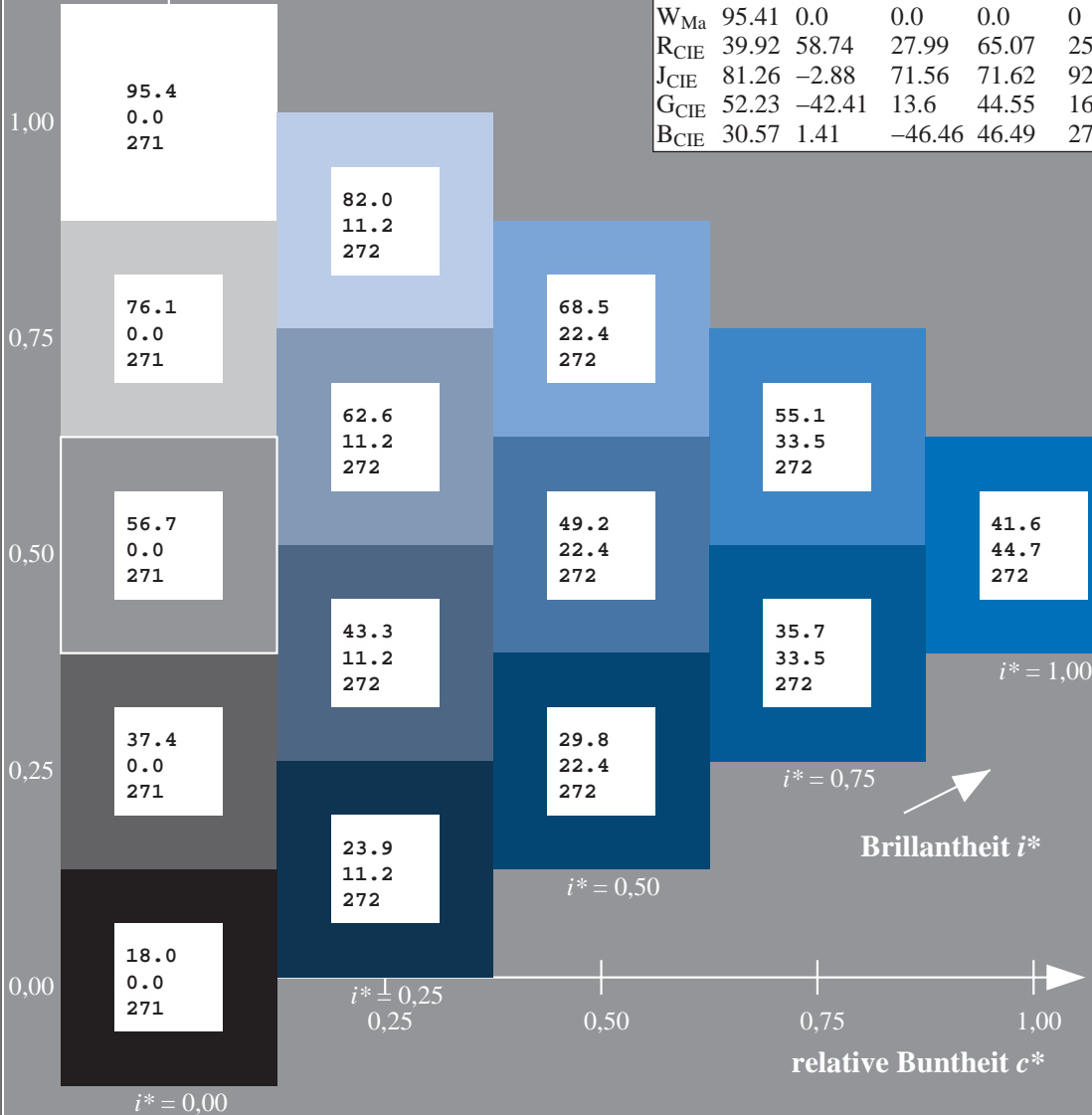
$g^*_{H,rel} = 57$

$g^*_{C,rel} = 59$

$LAB^*LCH^*_a$

ORS18_95aM; adaptierte CIELAB-Daten

	$L^*=L^*_a$	a^*_a	b^*_a	$C^*_{ab,a}$	$h^*_{ab,a}$
r00j	48.0	68.4	32.59	75.77	25
r25j	51.32	59.36	53.8	80.11	42
r50j	62.67	39.12	64.83	75.72	59
r75j	73.73	19.4	75.58	78.03	76
j00g	86.61	-3.55	88.09	88.17	92
j25g	78.07	-26.64	74.05	78.7	110
j50g	65.83	-42.94	56.44	70.93	127
j75g	54.87	-57.53	40.67	70.47	145
g00b	52.54	-55.91	17.93	58.72	162
g25b	55.02	-45.5	-7.69	46.16	190
g50b	56.98	-37.23	-28.04	46.62	217
g75b	53.92	-21.56	-44.93	49.84	244
b00r	41.64	1.36	-44.7	44.73	272
b25r	28.53	25.85	-44.45	51.43	300
b50r	34.77	48.93	-29.85	57.32	329
b75r	48.12	74.52	-3.84	74.62	357



Daten für jede Farbe:

lab^*ich^* und lab^*icu^*

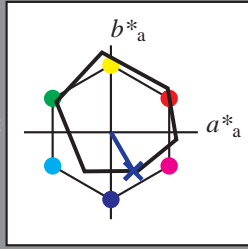
Elementar-Buntontext:

$u^* = b25r$

Kontrastreduzierungsfaktor:

$c_R = 1.0$

Dreiecks-Helligkeit t^*



ORS18_95aM; adaptierte CIELAB-Daten

	$L^*=L^*_a$	a^*_a	b^*_a	$C^*_{ab,a}$	$h^*_{ab,a}$
O _{Ma}	47.94	65.39	50.52	82.63	38
Y _{Ma}	90.37	-10.26	91.75	92.32	96
L _{Ma}	50.9	-62.83	34.96	71.91	151
C _{Ma}	58.62	-30.34	-45.01	54.3	236
V _{Ma}	25.72	31.1	-44.4	54.22	305
M _{Ma}	48.13	75.28	-8.36	75.74	354
N _{Ma}	18.01	0.0	0.0	0.0	0
W _{Ma}	95.41	0.0	0.0	0.0	0
R _{CIE}	39.92	58.74	27.99	65.07	25
J _{CIE}	81.26	-2.88	71.56	71.62	92
G _{CIE}	52.23	-42.41	13.6	44.55	162
B _{CIE}	30.57	1.41	-46.46	46.49	272

Daten für Maximalfarbe (Ma):

$LAB^*LAB^*_{Ma}$: 29 26 -43

$LAB^*LCH^*_{Ma}$: 29 51 300

$lab^*rgb^*_{Ma}$: 0.5 0.0 1.0

$lab^*olv^*_{Ma}$: 0.0 0.09 1.0

Dreiecks-Helligkeit t^*

%Umfang

$u^*_{rel} = 93$

%Regularität

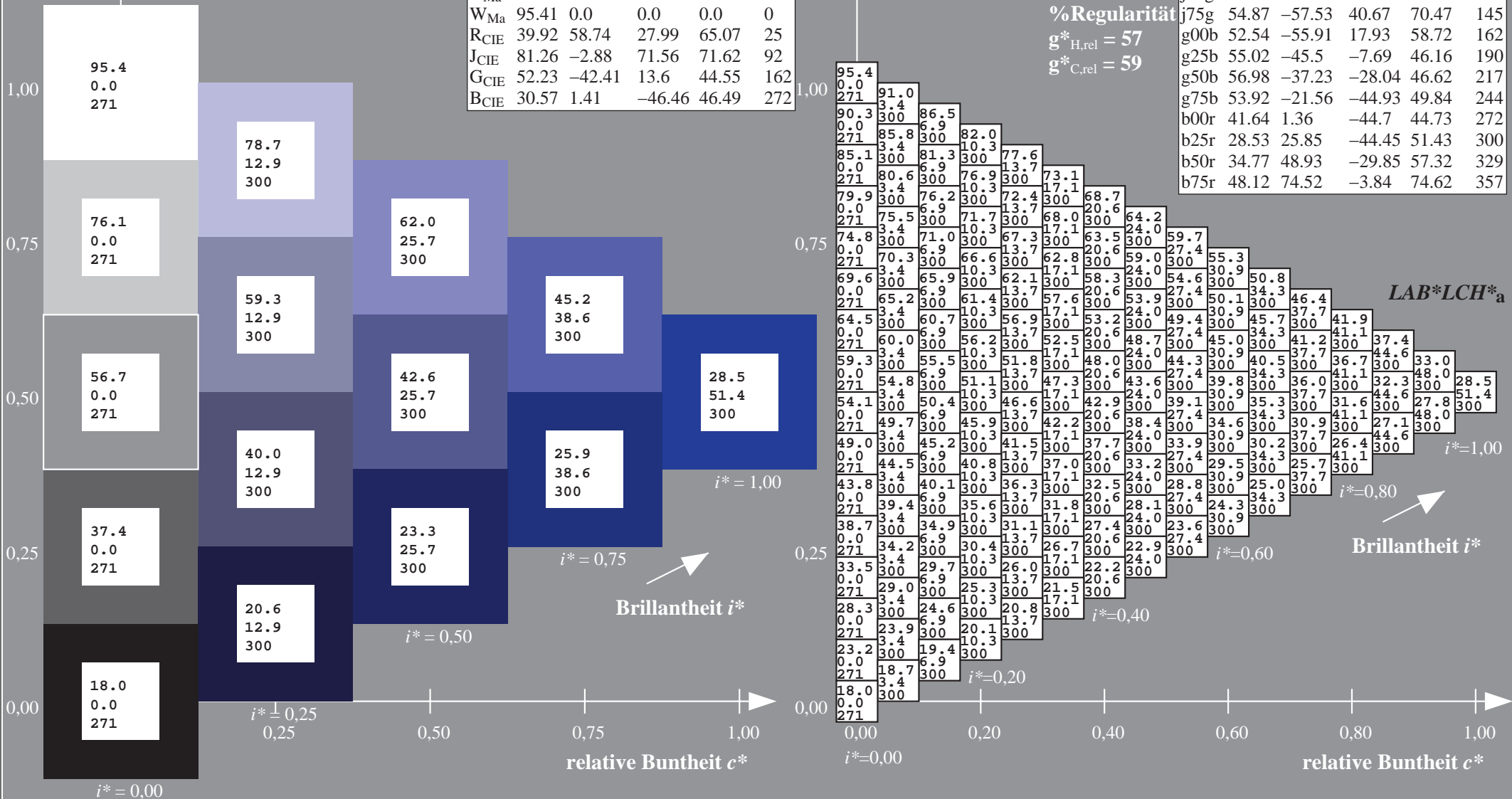
$g^*_{H,rel} = 57$

$g^*_{C,rel} = 59$

$LAB^*LCH^*_a$

ORS18_95aM; adaptierte CIELAB-Daten

	$L^*=L^*_a$	a^*_a	b^*_a	$C^*_{ab,a}$	$h^*_{ab,a}$
r00j	48.0	68.4	32.59	75.77	25
r25j	51.32	59.36	53.8	80.11	42
r50j	62.67	39.12	64.83	75.72	59
r75j	73.73	19.4	75.58	78.03	76
j00g	86.61	-3.55	88.09	88.17	92
j25g	78.07	-26.64	74.05	78.7	110
j50g	65.83	-42.94	56.44	70.93	127
j75g	54.87	-57.53	40.67	70.47	145
g00b	52.54	-55.91	17.93	58.72	162
g25b	55.02	-45.5	-7.69	46.16	190
g50b	56.98	-37.23	-28.04	46.62	217
g75b	53.92	-21.56	-44.93	49.84	244
b00r	41.64	1.36	-44.7	44.73	272
b25r	28.53	25.85	-44.45	51.43	300
b50r	34.77	48.93	-29.85	57.32	329
b75r	48.12	74.52	-3.84	74.62	357



Daten für jede Farbe:

lab^*ch^* und lab^*icu^*

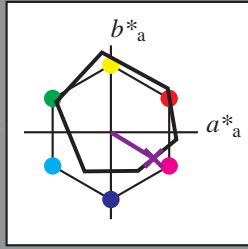
Elementar-Buntontext:

$u^* = b50r$

Kontrastreduzierungsfaktor:

$c_R = 1.0$

Dreiecks-Helligkeit t^*



ORS18_95aM; adaptierte CIELAB-Daten

	$L^*=L^*_a$	a^*_a	b^*_a	$C^*_{ab,a}$	$h^*_{ab,a}$
O _{Ma}	47.94	65.39	50.52	82.63	38
Y _{Ma}	90.37	-10.26	91.75	92.32	96
L _{Ma}	50.9	-62.83	34.96	71.91	151
C _{Ma}	58.62	-30.34	-45.01	54.3	236
V _{Ma}	25.72	31.1	-44.4	54.22	305
M _{Ma}	48.13	75.28	-8.36	75.74	354
N _{Ma}	18.01	0.0	0.0	0.0	0
W _{Ma}	95.41	0.0	0.0	0.0	0
R _{CIE}	39.92	58.74	27.99	65.07	25
J _{CIE}	81.26	-2.88	71.56	71.62	92
G _{CIE}	52.23	-42.41	13.6	44.55	162
B _{CIE}	30.57	1.41	-46.46	46.49	272

Daten für Maximalfarbe (Ma):

$LAB^*LAB^*_Ma$: 35 49 -29

$LAB^*LCH^*_Ma$: 35 57 329

$lab^*rgb^*_Ma$: 1.0 0.0 1.0

$lab^*olv^*_Ma$: 0.4 0.0 1.0

Dreiecks-Helligkeit t^*

%Umfang

$u^*_{rel} = 93$

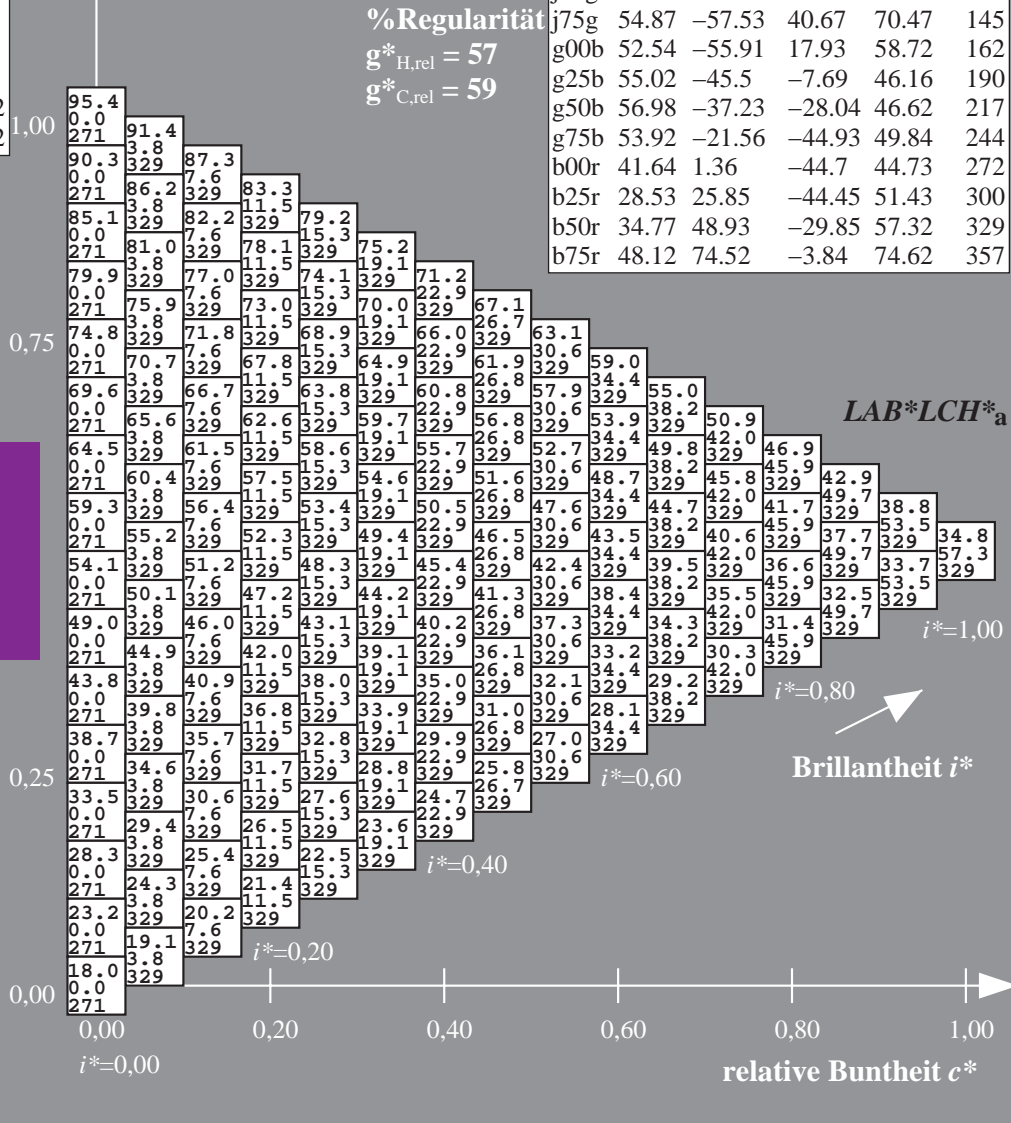
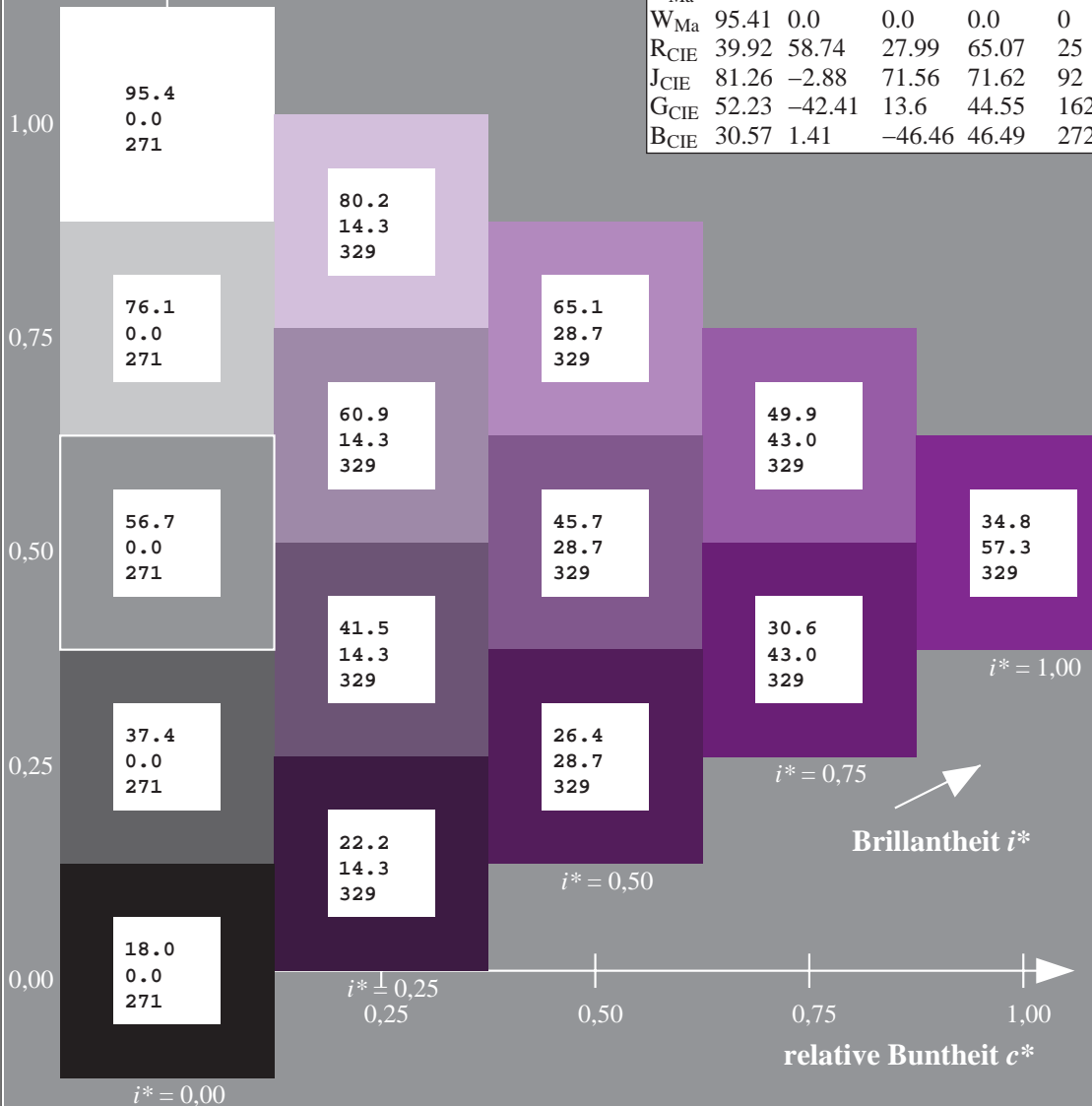
%Regularität

$g^*_{H,rel} = 57$

$g^*_{C,rel} = 59$

$LAB^*LCH^*_a$

	$L^*=L^*_a$	a^*_a	b^*_a	$C^*_{ab,a}$	$h^*_{ab,a}$
r00j	48.0	68.4	32.59	75.77	25
r25j	51.32	59.36	53.8	80.11	42
r50j	62.67	39.12	64.83	75.72	59
r75j	73.73	19.4	75.58	78.03	76
j00g	86.61	-3.55	88.09	88.17	92
j25g	78.07	-26.64	74.05	78.7	110
j50g	65.83	-42.94	56.44	70.93	127
j75g	54.87	-57.53	40.67	70.47	145
g00b	52.54	-55.91	17.93	58.72	162
g25b	55.02	-45.5	-7.69	46.16	190
g50b	56.98	-37.23	-28.04	46.62	217
g75b	53.92	-21.56	-44.93	49.84	244
b00r	41.64	1.36	-44.7	44.73	272
b25r	28.53	25.85	-44.45	51.43	300
b50r	34.77	48.93	-29.85	57.32	329
b75r	48.12	74.52	-3.84	74.62	357



Daten für jede Farbe:

lab^*tch^* und lab^*icu^*

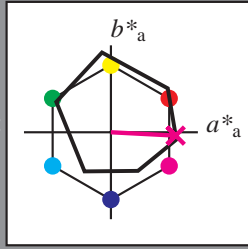
Elementar-Buntontext:

$u^* = b75r$

Kontrastreduzierungsfaktor:

$c_R = 1.0$

Dreiecks-Helligkeit t^*



ORS18_95aM; adaptierte CIELAB-Daten

	$L^* = L^*_a$	a^*_a	b^*_a	$C^*_{ab,a}$	$h^*_{ab,a}$
O _{Ma}	47.94	65.39	50.52	82.63	38
Y _{Ma}	90.37	-10.26	91.75	92.32	96
L _{Ma}	50.9	-62.83	34.96	71.91	151
C _{Ma}	58.62	-30.34	-45.01	54.3	236
V _{Ma}	25.72	31.1	-44.4	54.22	305
M _{Ma}	48.13	75.28	-8.36	75.74	354
N _{Ma}	18.01	0.0	0.0	0.0	0
W _{Ma}	95.41	0.0	0.0	0.0	0
R _{CIE}	39.92	58.74	27.99	65.07	25
J _{CIE}	81.26	-2.88	71.56	71.62	92
G _{CIE}	52.23	-42.41	13.6	44.55	162
B _{CIE}	30.57	1.41	-46.46	46.49	272

Daten für Maximalfarbe (Ma):

$\text{LAB}^*\text{LAB}^*_{Ma}: 48\ 75\ -3$

$\text{LAB}^*\text{LCH}^*_{Ma}: 48\ 75\ 357$

$\text{lab}^*\text{rgb}^*_{Ma}: 1.0\ 0.0\ 0.5$

$\text{lab}^*\text{olv}^*_{Ma}: 1.0\ 0.0\ 0.92$

Dreiecks-Helligkeit t^*

%Umfang

$u^*_{rel} = 93$

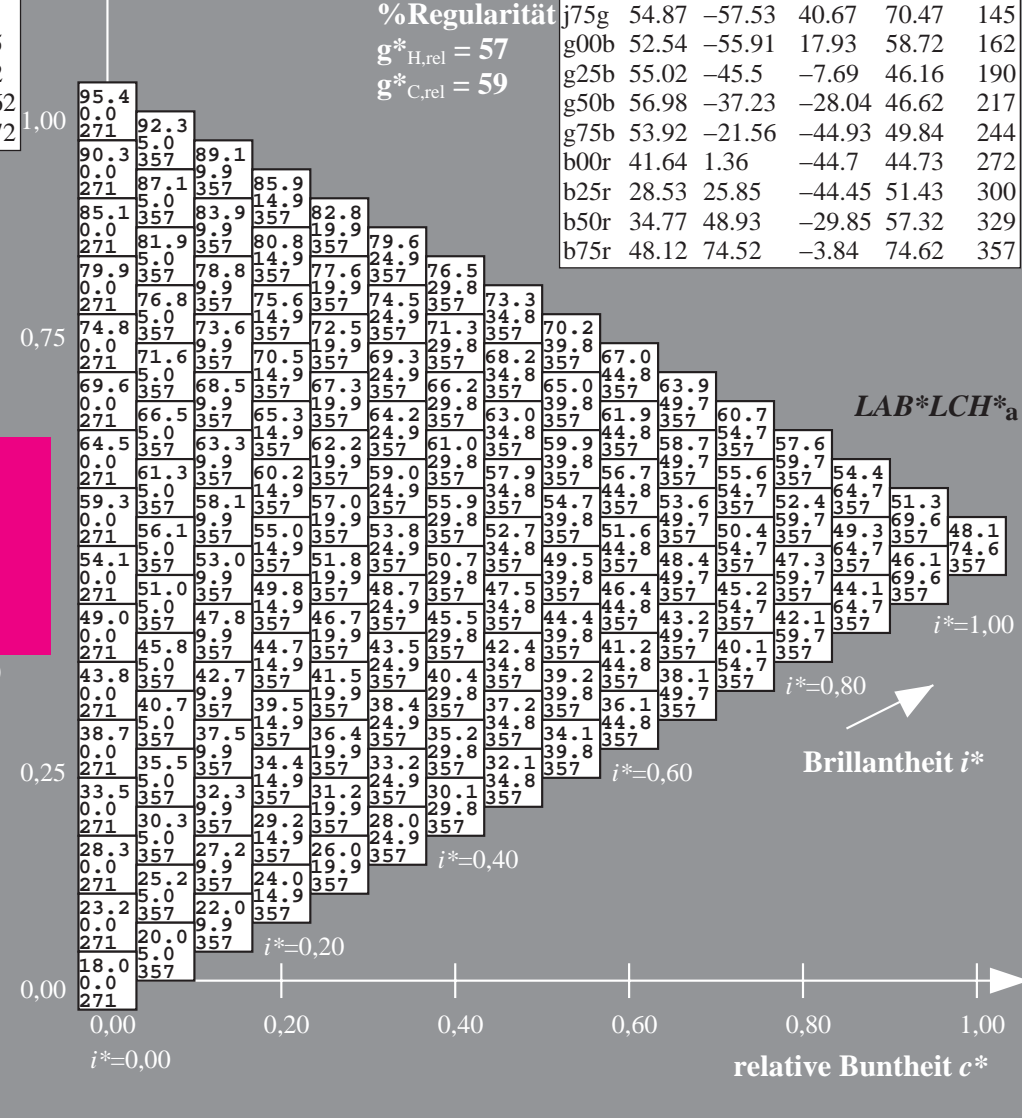
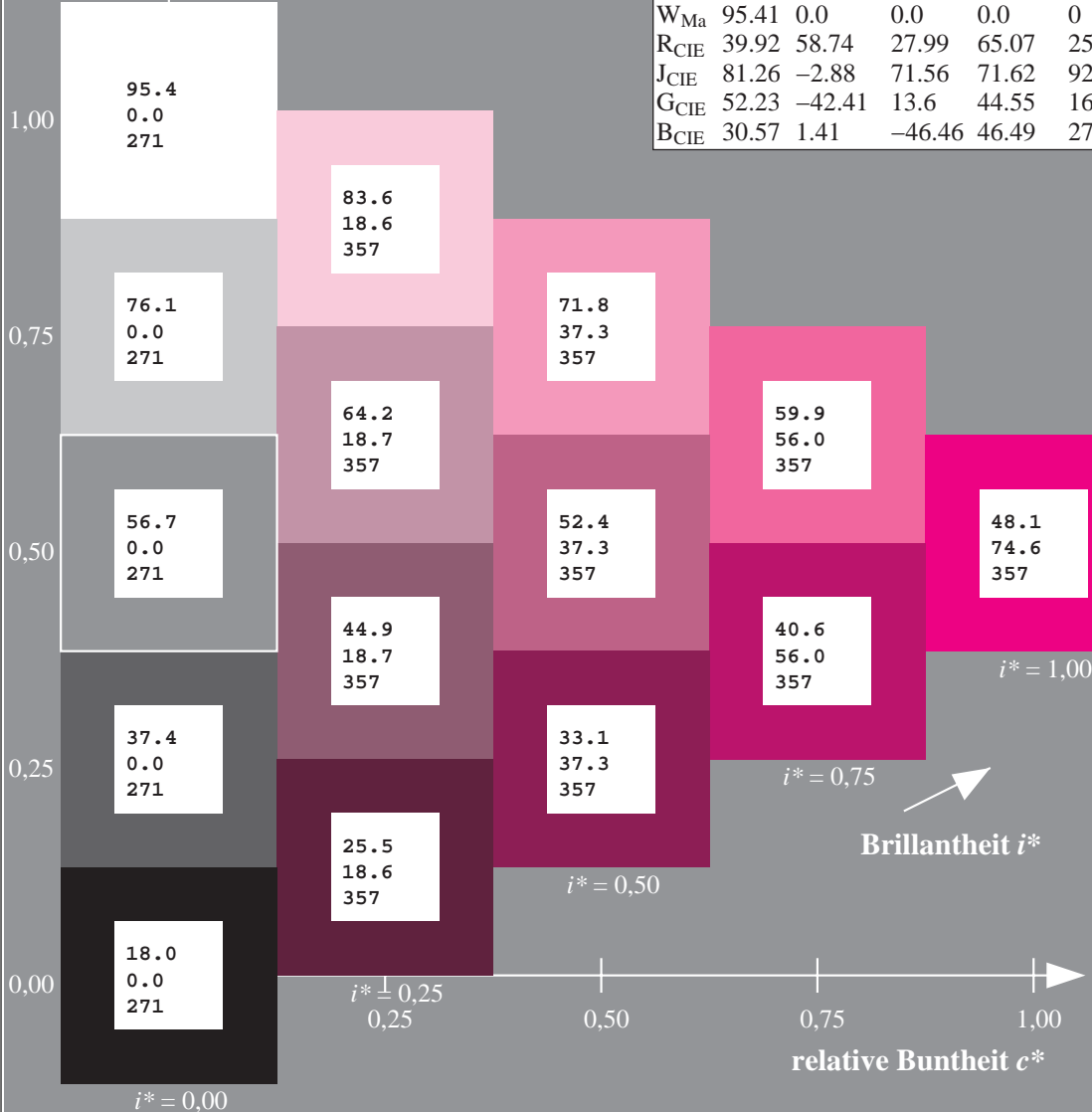
%Regularität

$g^*_{H,rel} = 57$

$g^*_{C,rel} = 59$

$\text{LAB}^*\text{LCH}^*_a$

	$L^* = L^*_a$	a^*_a	b^*_a	$C^*_{ab,a}$	$h^*_{ab,a}$
r00j	48.0	68.4	32.59	75.77	25
r25j	51.32	59.36	53.8	80.11	42
r50j	62.67	39.12	64.83	75.72	59
r75j	73.73	19.4	75.58	78.03	76
j00g	86.61	-3.55	88.09	88.17	92
j25g	78.07	-26.64	74.05	78.7	110
j50g	65.83	-42.94	56.44	70.93	127
j75g	54.87	-57.53	40.67	70.47	145
g00b	52.54	-55.91	17.93	58.72	162
g25b	55.02	-45.5	-7.69	46.16	190
g50b	56.98	-37.23	-28.04	46.62	217
g75b	53.92	-21.56	-44.93	49.84	244
b00r	41.64	1.36	-44.7	44.73	272
b25r	28.53	25.85	-44.45	51.43	300
b50r	34.77	48.93	-29.85	57.32	329
b75r	48.12	74.52	-3.84	74.62	357



Ein und Ausgabe:
 Farbmimetrisches Drucker-Reflektiv-System ORS18_95aM

Daten für jede Farbe:

$lab^{*}tch^{*}$ und $lab^{*}icu^{*}$

Elementar-Bunttontext:

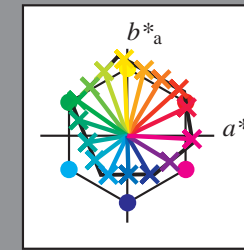
$u^{*} = 16$ Bunttöne $r00j, r25j, \dots, b75r$

Kontrastreduzierungsfaktor:

$c_R = 1.0$

ORS18_95aM; adaptierte CIELAB-Daten

	$L^{*}=L^{*}_a$	a^{*}_a	b^{*}_a	$C^{*}_{ab,a}$	$h^{*}_{ab,a}$
r00j	48.0	68.4	32.59	75.77	25
r25j	51.32	59.36	53.8	80.11	42
r50j	62.67	39.12	64.83	75.72	59
r75j	73.73	19.4	75.58	78.03	76
j00g	86.61	-3.55	88.09	88.17	92
j25g	78.07	-26.64	74.05	78.7	110
j50g	65.83	-42.94	56.44	70.93	127
j75g	54.87	-57.53	40.67	70.47	145
g00b	52.54	-55.91	17.93	58.72	162
g25b	55.02	-45.5	-7.69	46.16	190
g50b	56.98	-37.23	-28.04	46.62	217
g75b	53.92	-21.56	-44.93	49.84	244
b00r	41.64	1.36	-44.7	44.73	272
b25r	28.53	25.85	-44.45	51.43	300
b50r	34.77	48.93	-29.85	57.32	329
b75r	48.12	74.52	-3.84	74.62	357



%Umfang

$u^{*}_{rel} = 93$

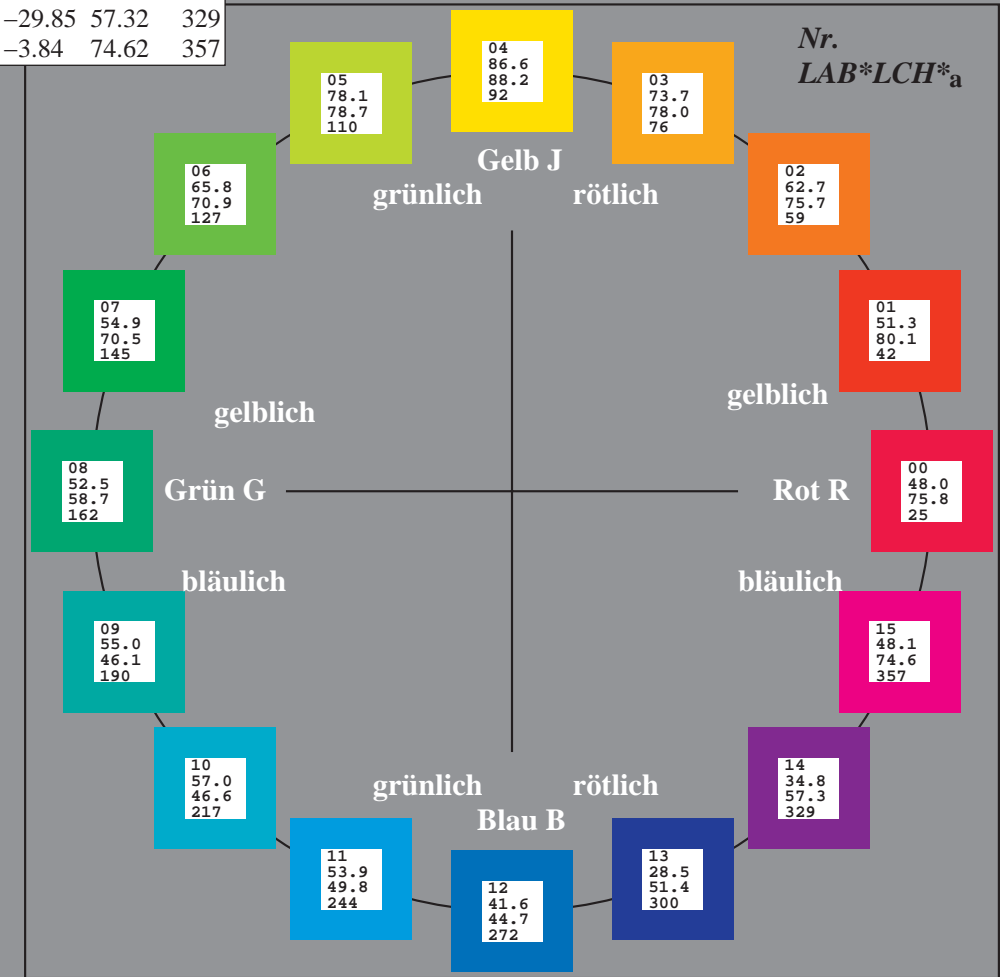
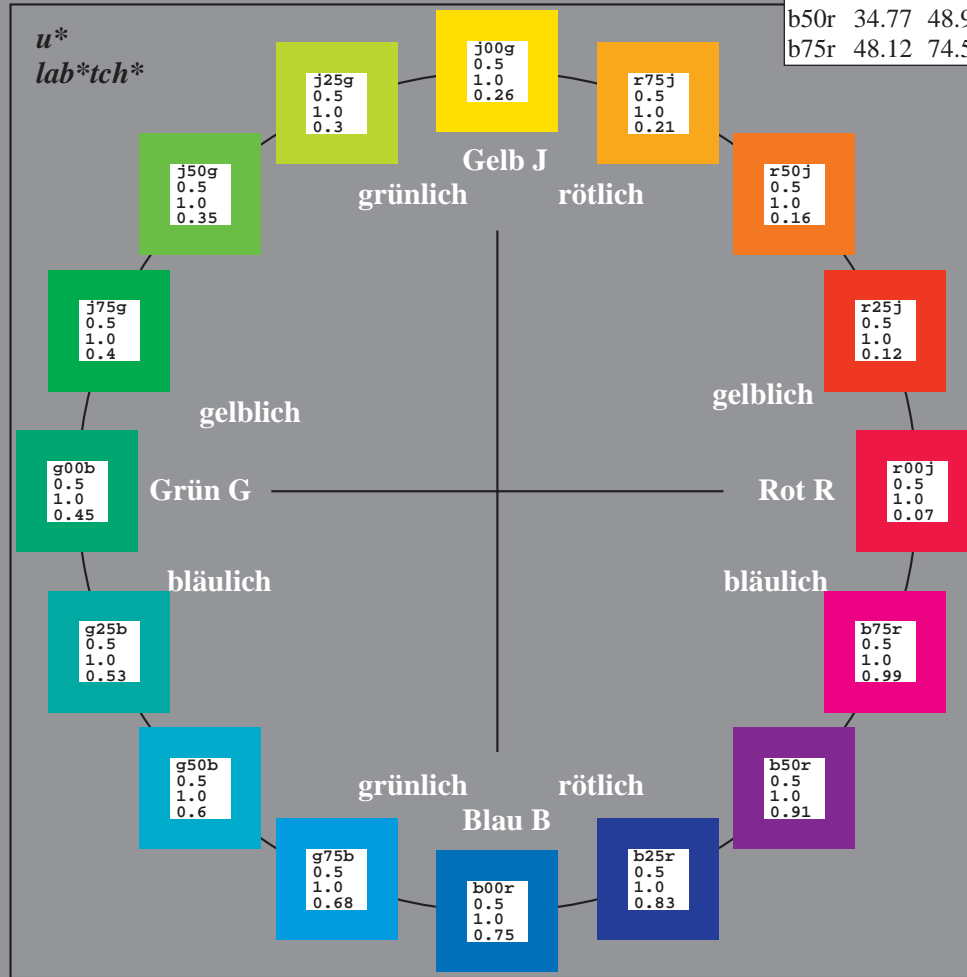
%Regularität

$g^{*}_{H,rel} = 57$

$g^{*}_{C,rel} = 59$

ORS18_95aM; adaptierte CIELAB-Daten

	$L^{*}=L^{*}_a$	a^{*}_a	b^{*}_a	$C^{*}_{ab,a}$	$h^{*}_{ab,a}$
O _{Ma}	47.94	65.39	50.52	82.63	38
Y _{Ma}	90.37	-10.26	91.75	92.32	96
L _{Ma}	50.9	-62.83	34.96	71.91	151
C _{Ma}	58.62	-30.34	-45.01	54.3	236
V _{Ma}	25.72	31.1	-44.4	54.22	305
M _{Ma}	48.13	75.28	-8.36	75.74	354
N _{Ma}	18.01	0.0	0.0	0.0	0
W _{Ma}	95.41	0.0	0.0	0.0	0
R _{CIE}	39.92	58.74	27.99	65.07	25
J _{CIE}	81.26	-2.88	71.56	71.62	92
G _{CIE}	52.23	-42.41	13.6	44.55	162
B _{CIE}	30.57	1.41	-46.46	46.49	272



Daten für jede Farbe:

lab^*tch^* und lab^*icu^*

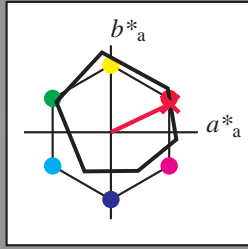
Elementar-Buntoncontext:

$u^* = r00j$

Kontrastreduzierungsfaktor:

$c_R = 1.0$

Dreiecks-Helligkeit t^*



ORS18_95aM; adaptierte CIELAB-Daten

	$L^*=L^*_a$	a^*_a	b^*_a	$C^*_{ab,a}$	$h^*_{ab,a}$
O _{Ma}	47.94	65.39	50.52	82.63	38
Y _{Ma}	90.37	-10.26	91.75	92.32	96
L _{Ma}	50.9	-62.83	34.96	71.91	151
C _{Ma}	58.62	-30.34	-45.01	54.3	236
V _{Ma}	25.72	31.1	-44.4	54.22	305
M _{Ma}	48.13	75.28	-8.36	75.74	354
N _{Ma}	18.01	0.0	0.0	0.0	0
W _{Ma}	95.41	0.0	0.0	0.0	0
R _{CIE}	39.92	58.74	27.99	65.07	25
J _{CIE}	81.26	-2.88	71.56	71.62	92
G _{CIE}	52.23	-42.41	13.6	44.55	162
B _{CIE}	30.57	1.41	-46.46	46.49	272

Daten für Maximalfarbe (Ma):

LAB^*LAB^*Ma : 48 68 33

LAB^*LCH^*Ma : 48 76 25

lab^*rgb^*Ma : 1.0 0.0 0.0

lab^*olv^*Ma : 1.0 0.0 0.3

Dreiecks-Helligkeit t^*

%Umfang

$u^*_{rel} = 93$

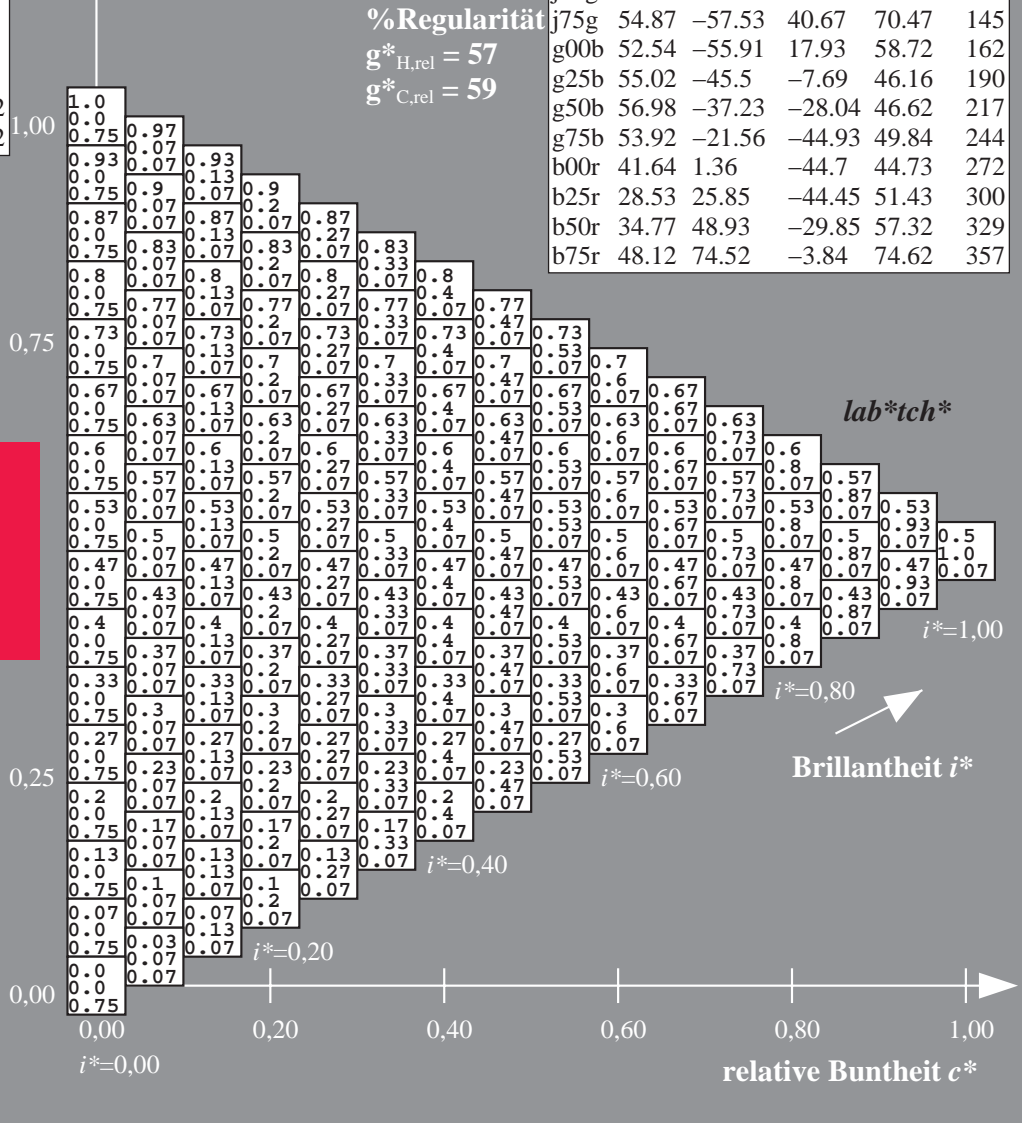
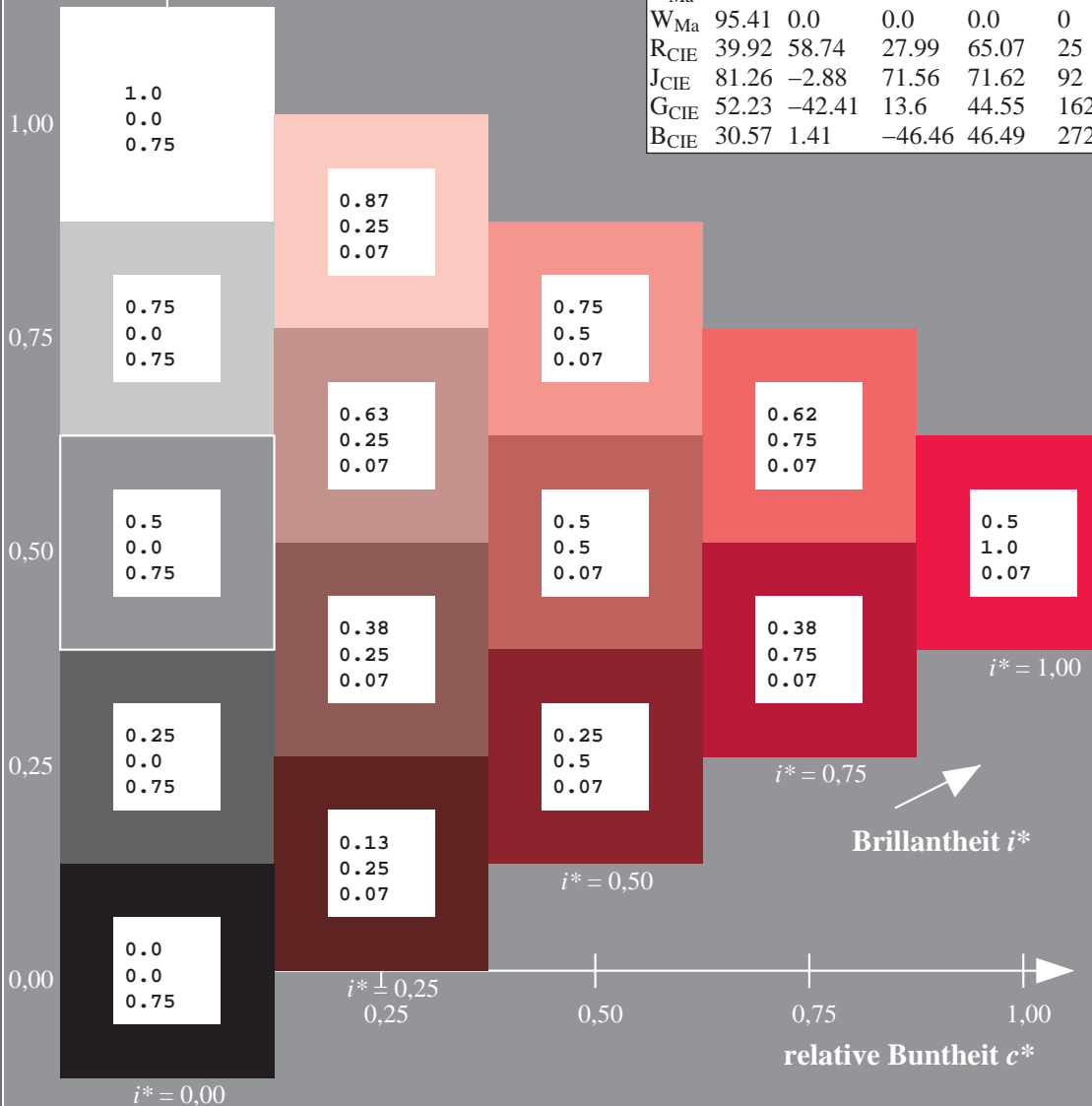
%Regularität

$g^*_{H,rel} = 57$

$g^*_{C,rel} = 59$

ORS18_95aM; adaptierte CIELAB-Daten

	$L^*=L^*_a$	a^*_a	b^*_a	$C^*_{ab,a}$	$h^*_{ab,a}$
r00j	48.0	68.4	32.59	75.77	25
r25j	51.32	59.36	53.8	80.11	42
r50j	62.67	39.12	64.83	75.72	59
r75j	73.73	19.4	75.58	78.03	76
j00g	86.61	-3.55	88.09	88.17	92
j25g	78.07	-26.64	74.05	78.7	110
j50g	65.83	-42.94	56.44	70.93	127
j75g	54.87	-57.53	40.67	70.47	145
g00b	52.54	-55.91	17.93	58.72	162
g25b	55.02	-45.5	-7.69	46.16	190
g50b	56.98	-37.23	-28.04	46.62	217
g75b	53.92	-21.56	-44.93	49.84	244
b00r	41.64	1.36	-44.7	44.73	272
b25r	28.53	25.85	-44.45	51.43	300
b50r	34.77	48.93	-29.85	57.32	329
b75r	48.12	74.52	-3.84	74.62	357

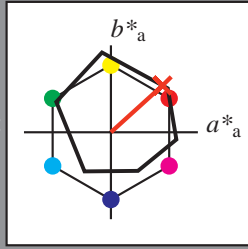


Elementar-Buntontext:

$u^* = r25j$

Kontrastreduzierungsfaktor:
 $c_R = 1.0$

Dreiecks-Helligkeit t^*



ORS18_95aM; adaptierte CIELAB-Daten

	$L^*=L^*_a$	a^*_a	b^*_a	$C^*_{ab,a}$	$h^*_{ab,a}$
O _{Ma}	47.94	65.39	50.52	82.63	38
Y _{Ma}	90.37	-10.26	91.75	92.32	96
L _{Ma}	50.9	-62.83	34.96	71.91	151
C _{Ma}	58.62	-30.34	-45.01	54.3	236
V _{Ma}	25.72	31.1	-44.4	54.22	305
M _{Ma}	48.13	75.28	-8.36	75.74	354
N _{Ma}	18.01	0.0	0.0	0.0	0
W _{Ma}	95.41	0.0	0.0	0.0	0
R _{CIE}	39.92	58.74	27.99	65.07	25
J _{CIE}	81.26	-2.88	71.56	71.62	92
G _{CIE}	52.23	-42.41	13.6	44.55	162
B _{CIE}	30.57	1.41	-46.46	46.49	272

Daten für Maximalfarbe (Ma):

LAB*LAB*Ma: 51 59 54

LAB*LCH*Ma: 51 80 42

lab*rgb*Ma: 1.0 0.25 0.0

lab*olv*Ma: 1.0 0.08 0.0

Dreiecks-Helligkeit t^*

%Umfang

$u^*_{rel} = 93$

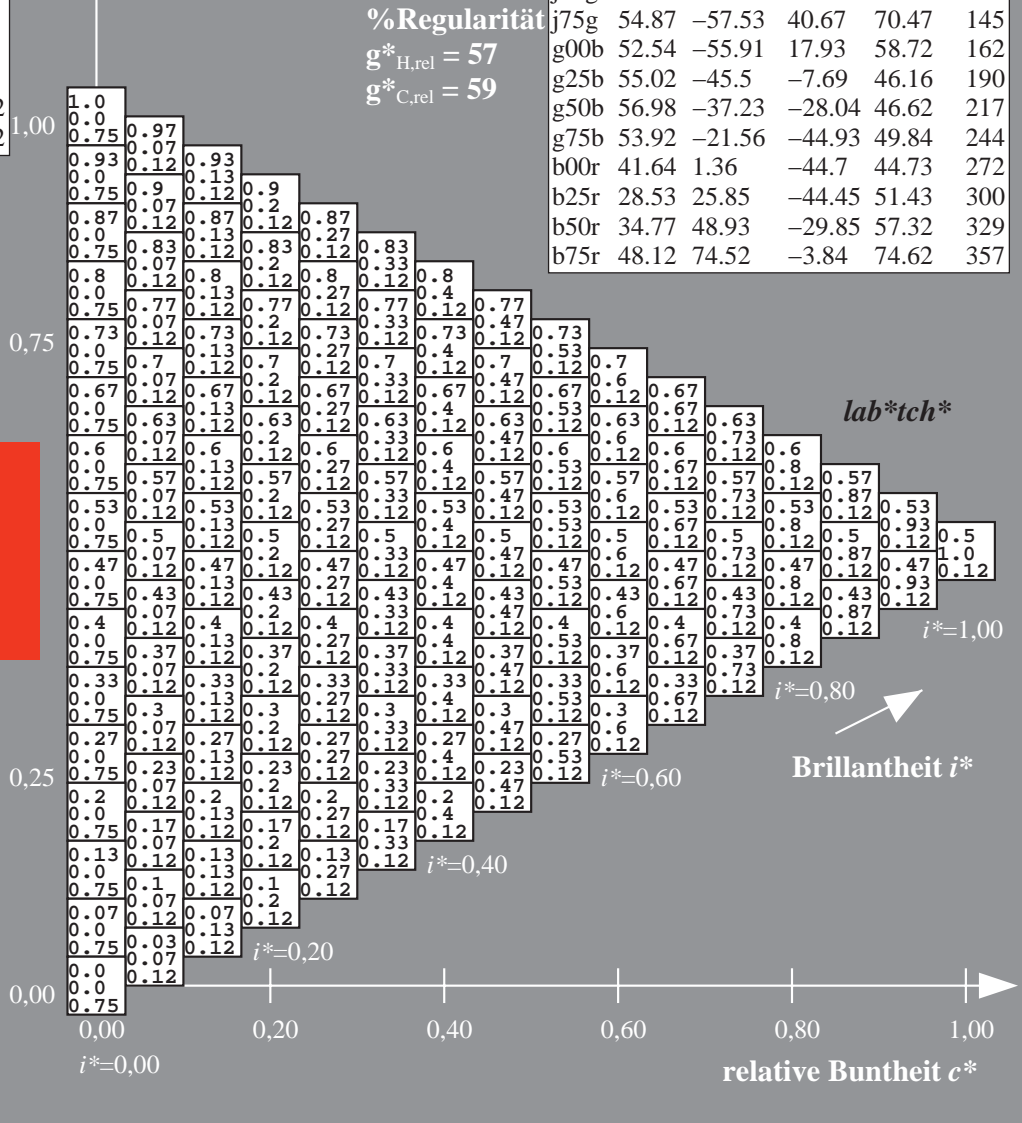
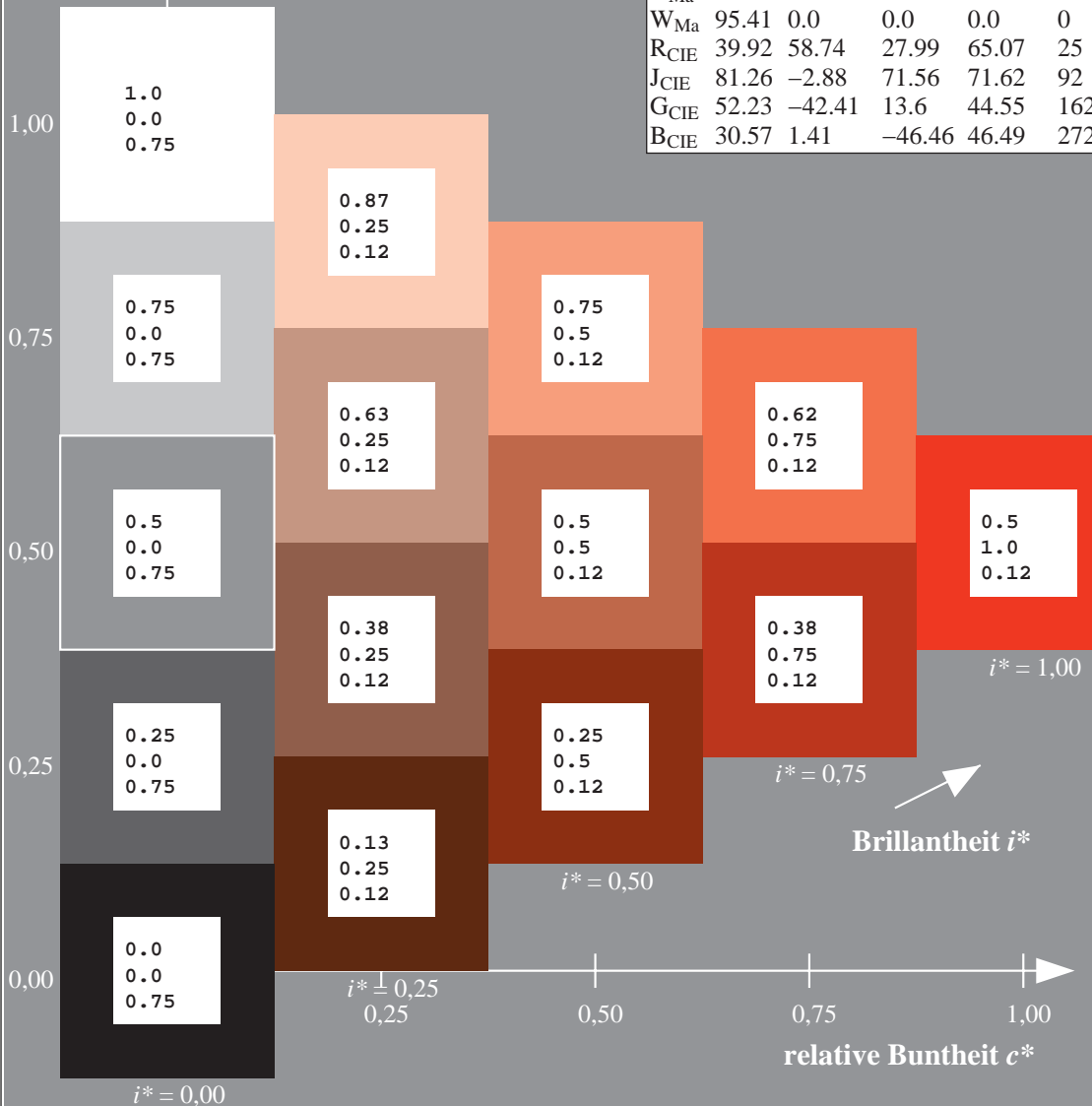
%Regularität

$g^*_{H,rel} = 57$

$g^*_{C,rel} = 59$

ORS18_95aM; adaptierte CIELAB-Daten

	$L^*=L^*_a$	a^*_a	b^*_a	$C^*_{ab,a}$	$h^*_{ab,a}$
r00j	48.0	68.4	32.59	75.77	25
r25j	51.32	59.36	53.8	80.11	42
r50j	62.67	39.12	64.83	75.72	59
r75j	73.73	19.4	75.58	78.03	76
j00g	86.61	-3.55	88.09	88.17	92
j25g	78.07	-26.64	74.05	78.7	110
j50g	65.83	-42.94	56.44	70.93	127
j75g	54.87	-57.53	40.67	70.47	145
g00b	52.54	-55.91	17.93	58.72	162
g25b	55.02	-45.5	-7.69	46.16	190
g50b	56.98	-37.23	-28.04	46.62	217
g75b	53.92	-21.56	-44.93	49.84	244
b00r	41.64	1.36	-44.7	44.73	272
b25r	28.53	25.85	-44.45	51.43	300
b50r	34.77	48.93	-29.85	57.32	329
b75r	48.12	74.52	-3.84	74.62	357



Daten für jede Farbe:

lab^*tch^* und lab^*icu^*

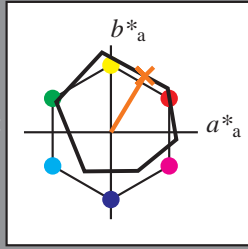
Elementar-Buntontext:

$u^* = r50j$

Kontrastreduzierungsfaktor:

$c_R = 1.0$

Dreiecks-Helligkeit t^*



ORS18_95aM; adaptierte CIELAB-Daten

	$L^*=L^*_a$	a^*_a	b^*_a	$C^*_{ab,a}$	$h^*_{ab,a}$
O _{Ma}	47.94	65.39	50.52	82.63	38
Y _{Ma}	90.37	-10.26	91.75	92.32	96
L _{Ma}	50.9	-62.83	34.96	71.91	151
C _{Ma}	58.62	-30.34	-45.01	54.3	236
V _{Ma}	25.72	31.1	-44.4	54.22	305
M _{Ma}	48.13	75.28	-8.36	75.74	354
N _{Ma}	18.01	0.0	0.0	0.0	0
W _{Ma}	95.41	0.0	0.0	0.0	0
R _{CIE}	39.92	58.74	27.99	65.07	25
J _{CIE}	81.26	-2.88	71.56	71.62	92
G _{CIE}	52.23	-42.41	13.6	44.55	162
B _{CIE}	30.57	1.41	-46.46	46.49	272

Daten für Maximalfarbe (Ma):

LAB^*LAB^*Ma : 63 39 65

LAB^*LCH^*Ma : 63 76 59

lab^*rgb^*Ma : 1.0 0.5 0.0

lab^*olv^*Ma : 1.0 0.35 0.0

Dreiecks-Helligkeit t^*

%Umfang

$u^*_{rel} = 93$

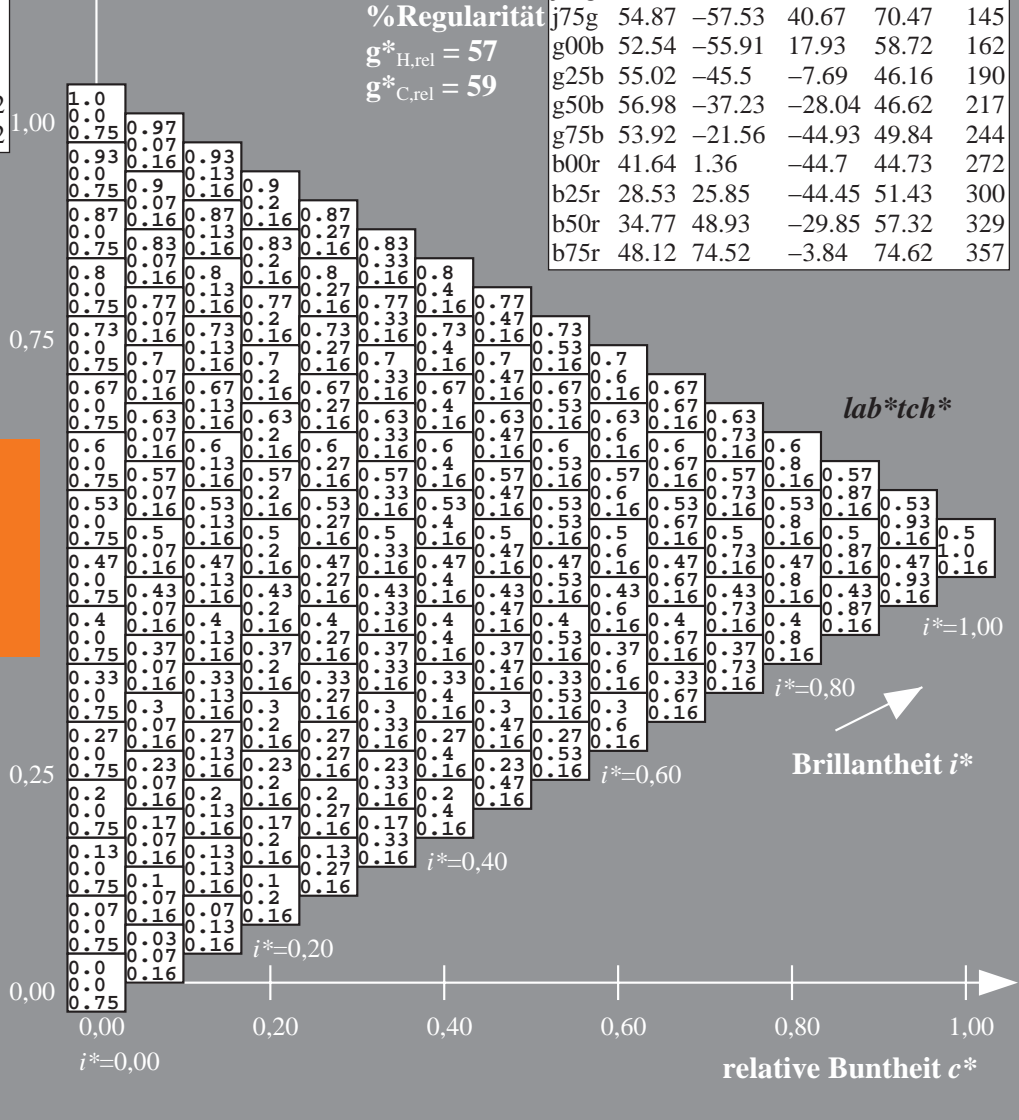
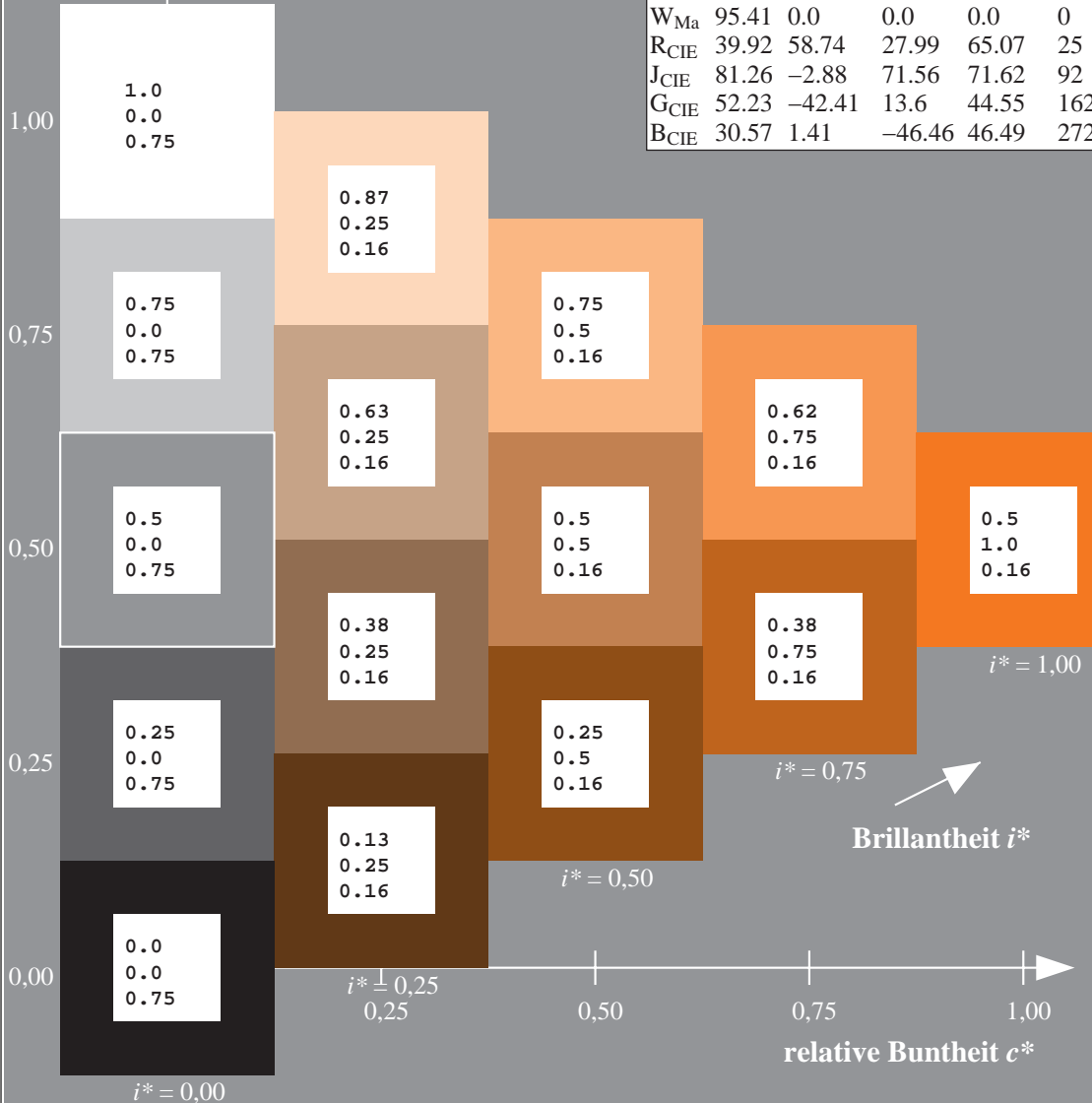
%Regularität

$g^*_{H,rel} = 57$

$g^*_{C,rel} = 59$

ORS18_95aM; adaptierte CIELAB-Daten

	$L^*=L^*_a$	a^*_a	b^*_a	$C^*_{ab,a}$	$h^*_{ab,a}$
r00j	48.0	68.4	32.59	75.77	25
r25j	51.32	59.36	53.8	80.11	42
r50j	62.67	39.12	64.83	75.72	59
r75j	73.73	19.4	75.58	78.03	76
j00g	86.61	-3.55	88.09	88.17	92
j25g	78.07	-26.64	74.05	78.7	110
j50g	65.83	-42.94	56.44	70.93	127
j75g	54.87	-57.53	40.67	70.47	145
g00b	52.54	-55.91	17.93	58.72	162
g25b	55.02	-45.5	-7.69	46.16	190
g50b	56.98	-37.23	-28.04	46.62	217
g75b	53.92	-21.56	-44.93	49.84	244
b00r	41.64	1.36	-44.7	44.73	272
b25r	28.53	25.85	-44.45	51.43	300
b50r	34.77	48.93	-29.85	57.32	329
b75r	48.12	74.52	-3.84	74.62	357



Daten für jede Farbe:

lab^*tch^* und lab^*icu^*

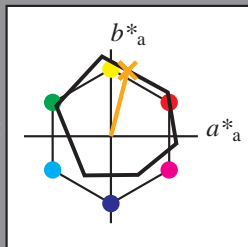
Elementar-Buntontext:

$u^* = r75j$

Kontrastreduzierungsfaktor:

$c_R = 1.0$

Dreiecks-Helligkeit t^*



ORS18_95aM; adaptierte CIELAB-Daten

	$L^*=L^*_a$	a^*_a	b^*_a	$C^*_{ab,a}$	$h^*_{ab,a}$
O _{Ma}	47.94	65.39	50.52	82.63	38
Y _{Ma}	90.37	-10.26	91.75	92.32	96
L _{Ma}	50.9	-62.83	34.96	71.91	151
C _{Ma}	58.62	-30.34	-45.01	54.3	236
V _{Ma}	25.72	31.1	-44.4	54.22	305
M _{Ma}	48.13	75.28	-8.36	75.74	354
N _{Ma}	18.01	0.0	0.0	0.0	0
W _{Ma}	95.41	0.0	0.0	0.0	0
R _{CIE}	39.92	58.74	27.99	65.07	25
J _{CIE}	81.26	-2.88	71.56	71.62	92
G _{CIE}	52.23	-42.41	13.6	44.55	162
B _{CIE}	30.57	1.41	-46.46	46.49	272

Daten für Maximalfarbe (Ma):

$LAB^*LAB^*_Ma$: 74 19 76

$LAB^*LCH^*_Ma$: 74 78 76

$lab^*rgb^*_Ma$: 1.0 0.75 0.0

$lab^*olv^*_Ma$: 1.0 0.61 0.0

Dreiecks-Helligkeit t^*

%Umfang

$u^*_{rel} = 93$

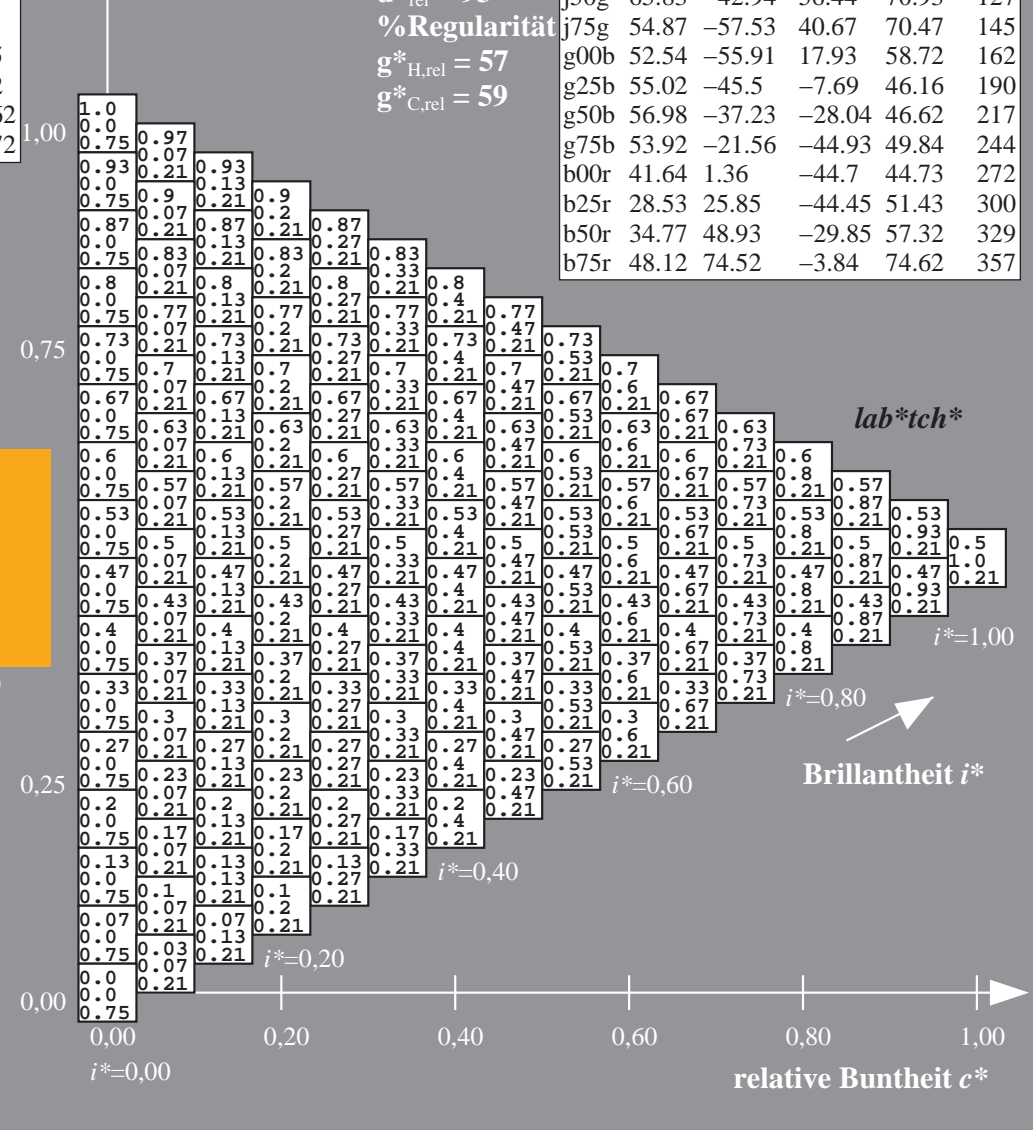
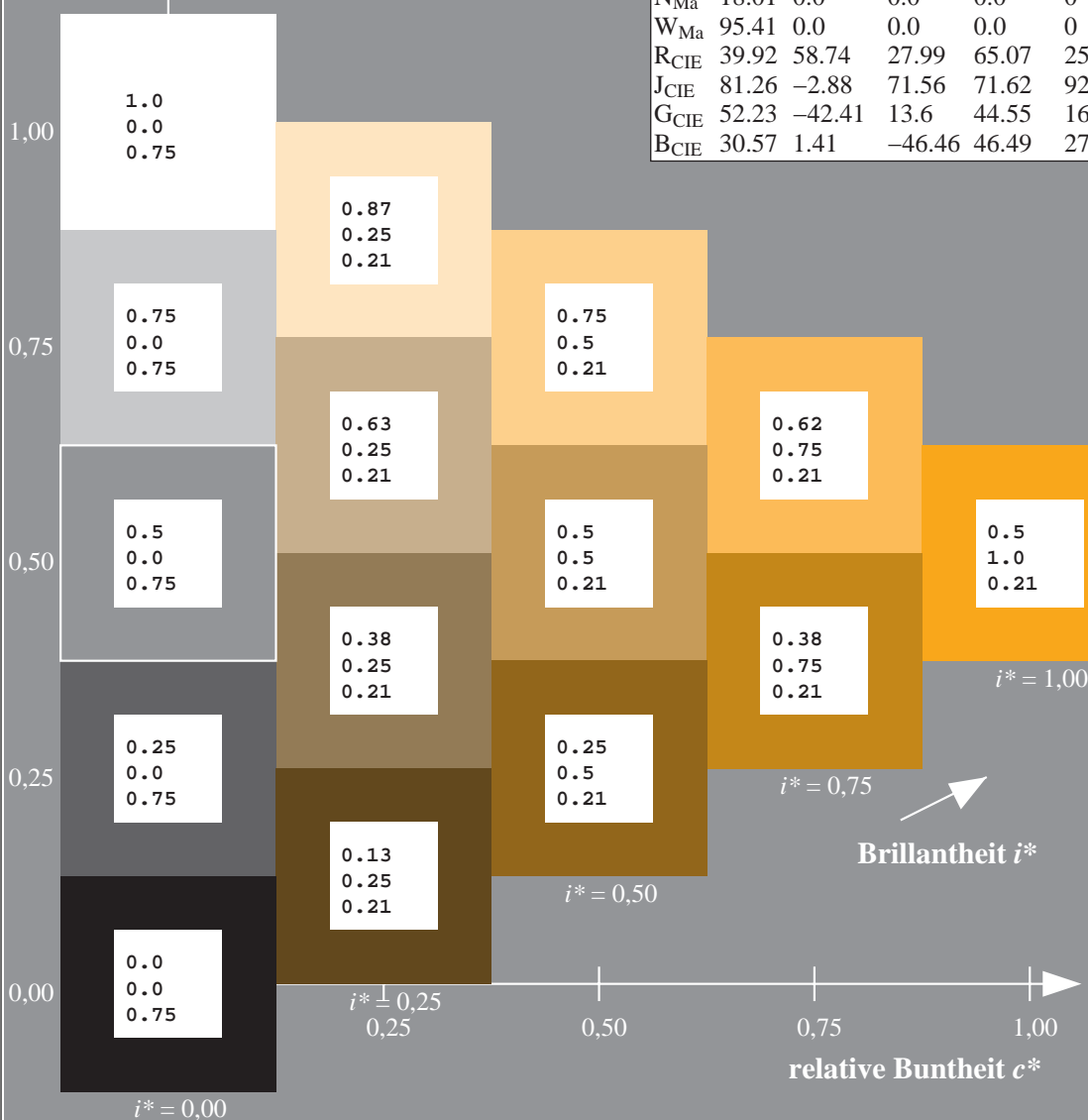
%Regularität

$g^*_{H,rel} = 57$

$g^*_{C,rel} = 59$

ORS18_95aM; adaptierte CIELAB-Daten

	$L^*=L^*_a$	a^*_a	b^*_a	$C^*_{ab,a}$	$h^*_{ab,a}$
r00j	48.0	68.4	32.59	75.77	25
r25j	51.32	59.36	53.8	80.11	42
r50j	62.67	39.12	64.83	75.72	59
r75j	73.73	19.4	75.58	78.03	76
j00g	86.61	-3.55	88.09	88.17	92
j25g	78.07	-26.64	74.05	78.7	110
j50g	65.83	-42.94	56.44	70.93	127
j75g	54.87	-57.53	40.67	70.47	145
g00b	52.54	-55.91	17.93	58.72	162
g25b	55.02	-45.5	-7.69	46.16	190
g50b	56.98	-37.23	-28.04	46.62	217
g75b	53.92	-21.56	-44.93	49.84	244
b00r	41.64	1.36	-44.7	44.73	272
b25r	28.53	25.85	-44.45	51.43	300
b50r	34.77	48.93	-29.85	57.32	329
b75r	48.12	74.52	-3.84	74.62	357



Daten für jede Farbe:

lab^*tch^* und lab^*icu^*

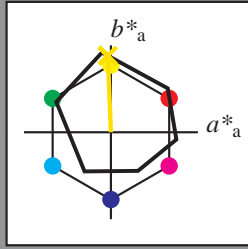
Elementar-Buntontext:

$u^* = j00g$

Kontrastreduzierungsfaktor:

$c_R = 1.0$

Dreiecks-Helligkeit t^*



ORS18_95aM; adaptierte CIELAB-Daten

	$L^*=L^*_a$	a^*_a	b^*_a	$C^*_{ab,a}$	$h^*_{ab,a}$
O _{Ma}	47.94	65.39	50.52	82.63	38
Y _{Ma}	90.37	-10.26	91.75	92.32	96
L _{Ma}	50.9	-62.83	34.96	71.91	151
C _{Ma}	58.62	-30.34	-45.01	54.3	236
V _{Ma}	25.72	31.1	-44.4	54.22	305
M _{Ma}	48.13	75.28	-8.36	75.74	354
N _{Ma}	18.01	0.0	0.0	0.0	0
W _{Ma}	95.41	0.0	0.0	0.0	0
R _{CIE}	39.92	58.74	27.99	65.07	25
J _{CIE}	81.26	-2.88	71.56	71.62	92
G _{CIE}	52.23	-42.41	13.6	44.55	162
B _{CIE}	30.57	1.41	-46.46	46.49	272

Daten für Maximalfarbe (Ma):

$LAB^*LAB^*_{Ma}$: 87 -3 88

$LAB^*LCH^*_{Ma}$: 87 88 92

$lab^*rgb^*_{Ma}$: 1.0 1.0 0.0

$lab^*olv^*_{Ma}$: 1.0 0.91 0.0

Dreiecks-Helligkeit t^*

%Umfang

$u^*_{rel} = 93$

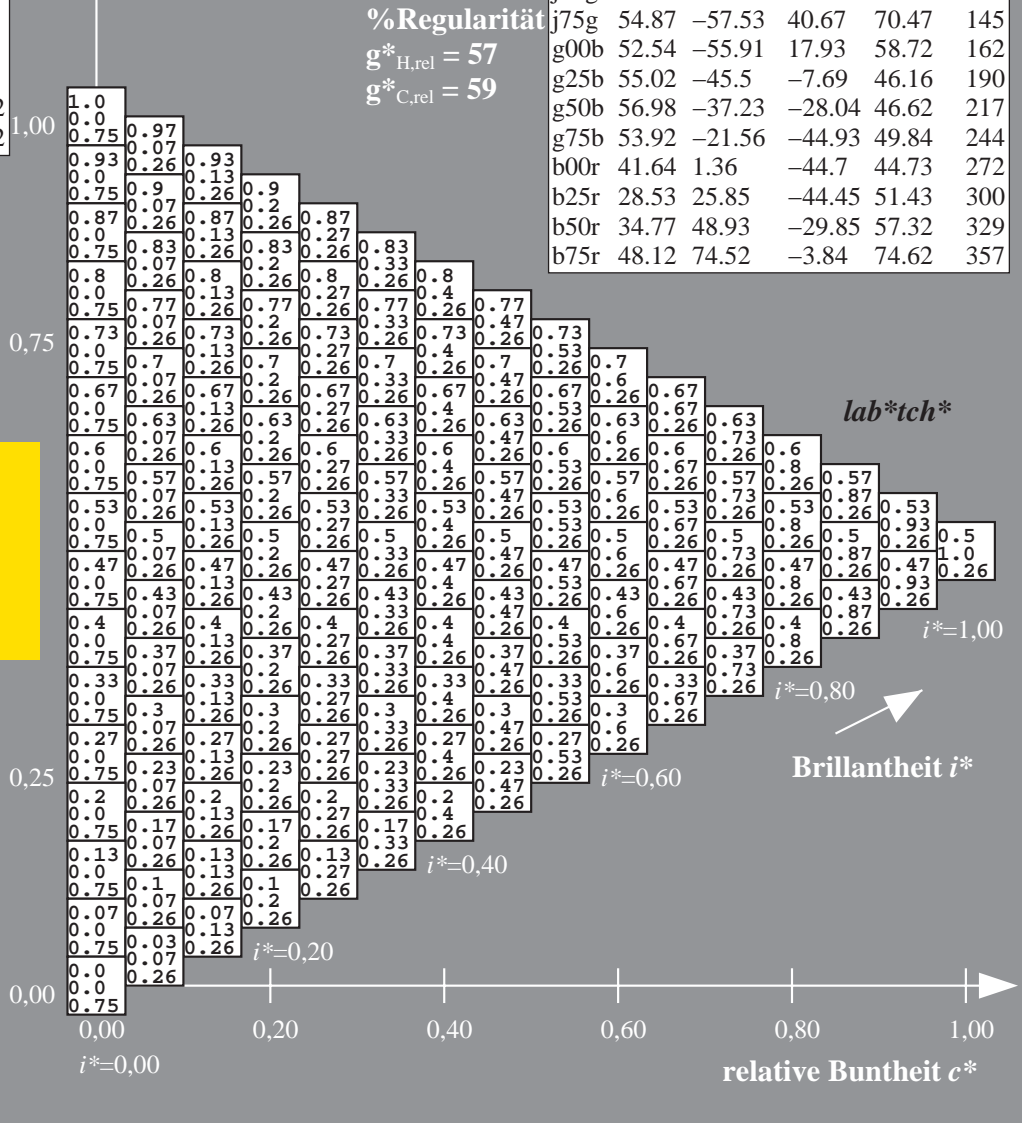
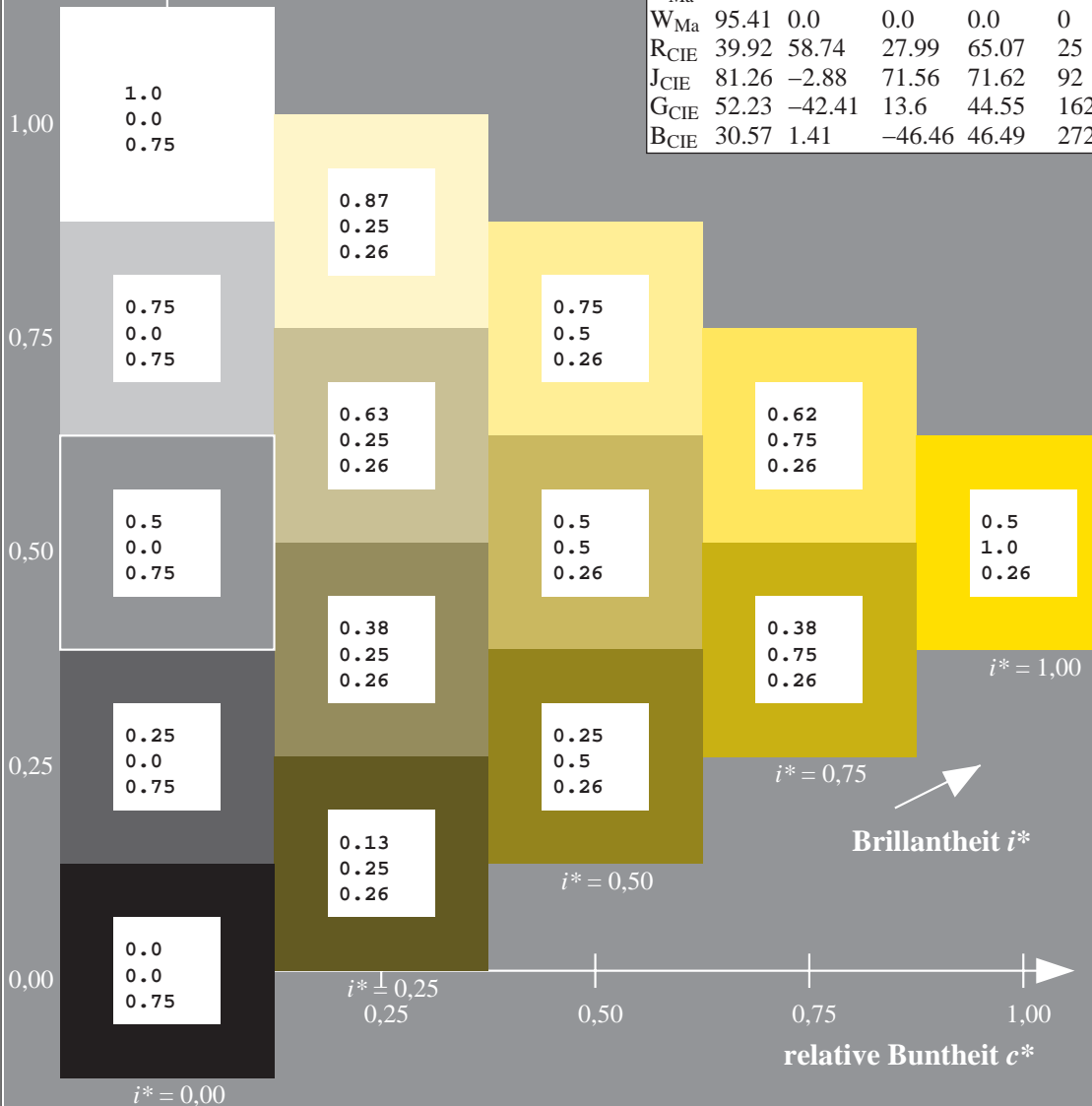
%Regularität

$g^*_{H,rel} = 57$

$g^*_{C,rel} = 59$

ORS18_95aM; adaptierte CIELAB-Daten

	$L^*=L^*_a$	a^*_a	b^*_a	$C^*_{ab,a}$	$h^*_{ab,a}$
r00j	48.0	68.4	32.59	75.77	25
r25j	51.32	59.36	53.8	80.11	42
r50j	62.67	39.12	64.83	75.72	59
r75j	73.73	19.4	75.58	78.03	76
j00g	86.61	-3.55	88.09	88.17	92
j25g	78.07	-26.64	74.05	78.7	110
j50g	65.83	-42.94	56.44	70.93	127
j75g	54.87	-57.53	40.67	70.47	145
g00b	52.54	-55.91	17.93	58.72	162
g25b	55.02	-45.5	-7.69	46.16	190
g50b	56.98	-37.23	-28.04	46.62	217
g75b	53.92	-21.56	-44.93	49.84	244
b00r	41.64	1.36	-44.7	44.73	272
b25r	28.53	25.85	-44.45	51.43	300
b50r	34.77	48.93	-29.85	57.32	329
b75r	48.12	74.52	-3.84	74.62	357



Ein und Ausgabe: Farbmetrisches Drucker-Reflektiv-System ORS18_95aM für relativen CIELAB-Bunton $h^* = lab^*h^* = h_{ab}/360 = 110/360 = 0.305 u^* = j25g$

Daten für jede Farbe:

lab^*tch^* und lab^*icu^*

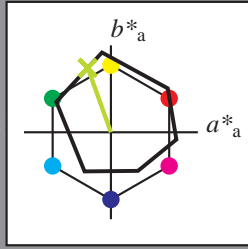
Elementar-Buntoncontext:

$u^* = j25g$

Kontrastreduzierungsfaktor:

$c_R = 1.0$

Dreiecks-Helligkeit t^*



ORS18_95aM; adaptierte CIELAB-Daten

	$L^*=L^*_a$	a^*_a	b^*_a	$C^*_{ab,a}$	$h^*_{ab,a}$
O _{Ma}	47.94	65.39	50.52	82.63	38
Y _{Ma}	90.37	-10.26	91.75	92.32	96
L _{Ma}	50.9	-62.83	34.96	71.91	151
C _{Ma}	58.62	-30.34	-45.01	54.3	236
V _{Ma}	25.72	31.1	-44.4	54.22	305
M _{Ma}	48.13	75.28	-8.36	75.74	354
N _{Ma}	18.01	0.0	0.0	0.0	0
W _{Ma}	95.41	0.0	0.0	0.0	0
R _{CIE}	39.92	58.74	27.99	65.07	25
J _{CIE}	81.26	-2.88	71.56	71.62	92
G _{CIE}	52.23	-42.41	13.6	44.55	162
B _{CIE}	30.57	1.41	-46.46	46.49	272

Daten für Maximalfarbe (Ma):

$LAB^*LAB^*_Ma$: 78 -26 74

$LAB^*LCH^*_Ma$: 78 79 110

$lab^*rgb^*_Ma$: 0.75 1.0 0.0

$lab^*olv^*_Ma$: 0.69 1.0 0.0

Dreiecks-Helligkeit t^*

%Umfang

$u^*_{rel} = 93$

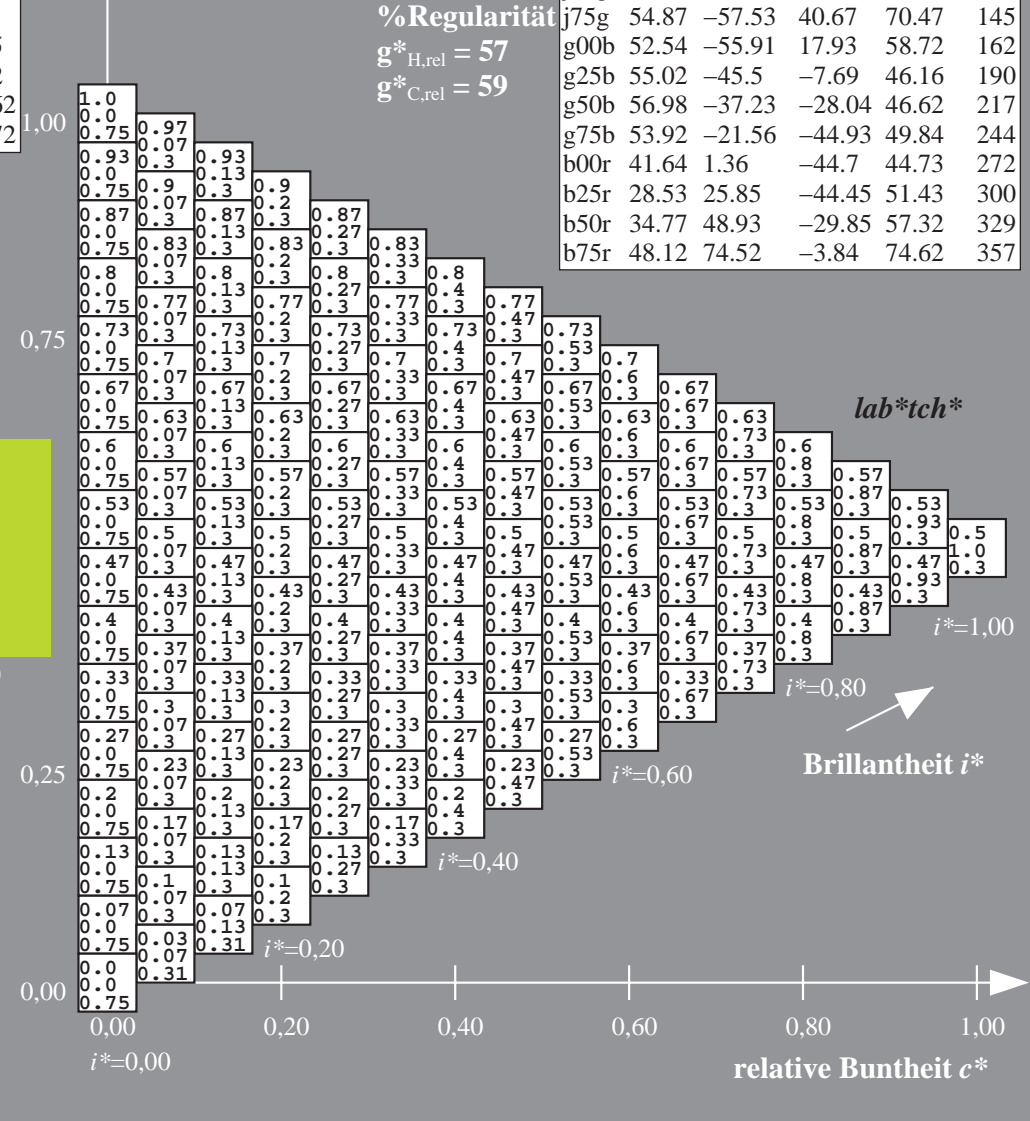
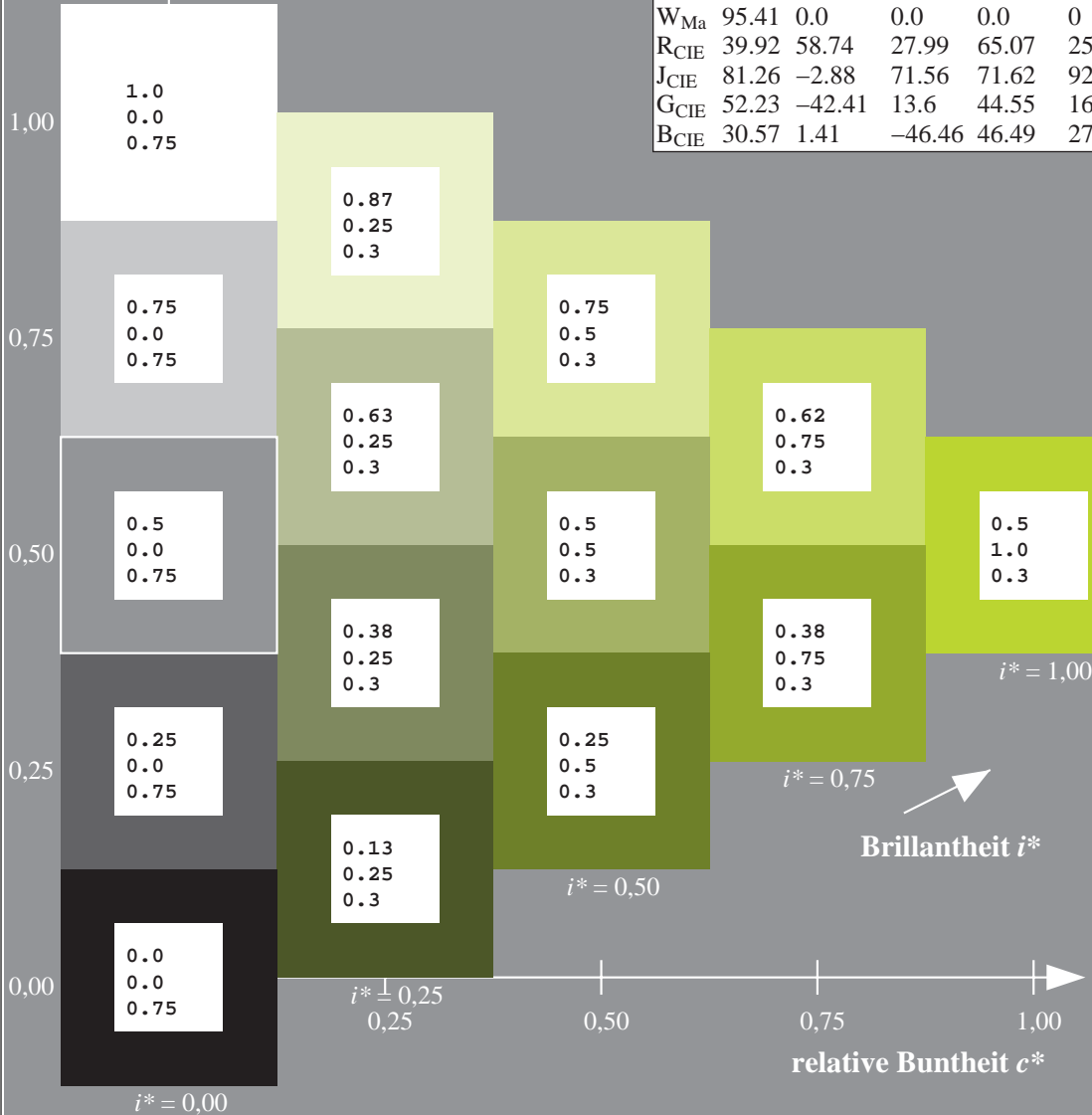
%Regularität

$g^*_{H,rel} = 57$

$g^*_{C,rel} = 59$

ORS18_95aM; adaptierte CIELAB-Daten

	$L^*=L^*_a$	a^*_a	b^*_a	$C^*_{ab,a}$	$h^*_{ab,a}$
r00j	48.0	68.4	32.59	75.77	25
r25j	51.32	59.36	53.8	80.11	42
r50j	62.67	39.12	64.83	75.72	59
r75j	73.73	19.4	75.58	78.03	76
j00g	86.61	-3.55	88.09	88.17	92
j25g	78.07	-26.64	74.05	78.7	110
j50g	65.83	-42.94	56.44	70.93	127
j75g	54.87	-57.53	40.67	70.47	145
g00b	52.54	-55.91	17.93	58.72	162
g25b	55.02	-45.5	-7.69	46.16	190
g50b	56.98	-37.23	-28.04	46.62	217
g75b	53.92	-21.56	-44.93	49.84	244
b00r	41.64	1.36	-44.7	44.73	272
b25r	28.53	25.85	-44.45	51.43	300
b50r	34.77	48.93	-29.85	57.32	329
b75r	48.12	74.52	-3.84	74.62	357



Daten für jede Farbe:

lab^*tch^* und lab^*icu^*

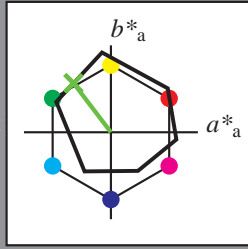
Elementar-Buntontext:

$u^* = j50g$

Kontrastreduzierungsfaktor:

$c_R = 1.0$

Dreiecks-Helligkeit t^*



ORS18_95aM; adaptierte CIELAB-Daten

	$L^*=L^*_a$	a^*_a	b^*_a	$C^*_{ab,a}$	$h^*_{ab,a}$
O _{Ma}	47.94	65.39	50.52	82.63	38
Y _{Ma}	90.37	-10.26	91.75	92.32	96
L _{Ma}	50.9	-62.83	34.96	71.91	151
C _{Ma}	58.62	-30.34	-45.01	54.3	236
V _{Ma}	25.72	31.1	-44.4	54.22	305
M _{Ma}	48.13	75.28	-8.36	75.74	354
N _{Ma}	18.01	0.0	0.0	0.0	0
W _{Ma}	95.41	0.0	0.0	0.0	0
R _{CIE}	39.92	58.74	27.99	65.07	25
J _{CIE}	81.26	-2.88	71.56	71.62	92
G _{CIE}	52.23	-42.41	13.6	44.55	162
B _{CIE}	30.57	1.41	-46.46	46.49	272

Daten für Maximalfarbe (Ma):

LAB*LAB*Ma: 66 -42 56

LAB*LCH*Ma: 66 71 127

lab*rgb*Ma: 0.5 1.0 0.0

lab*olv*Ma: 0.38 1.0 0.0

Dreiecks-Helligkeit t^*

%Umfang

$u^*_{rel} = 93$

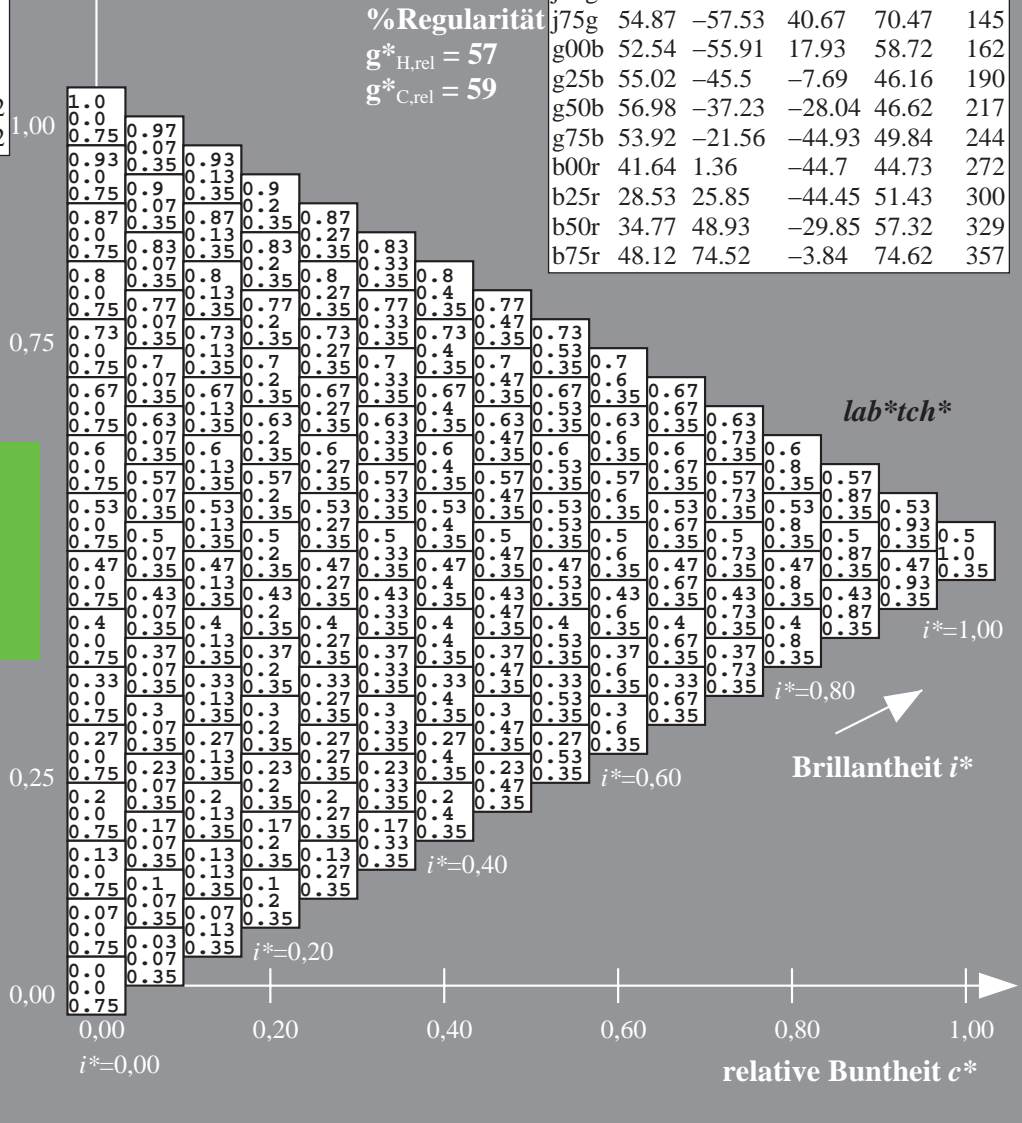
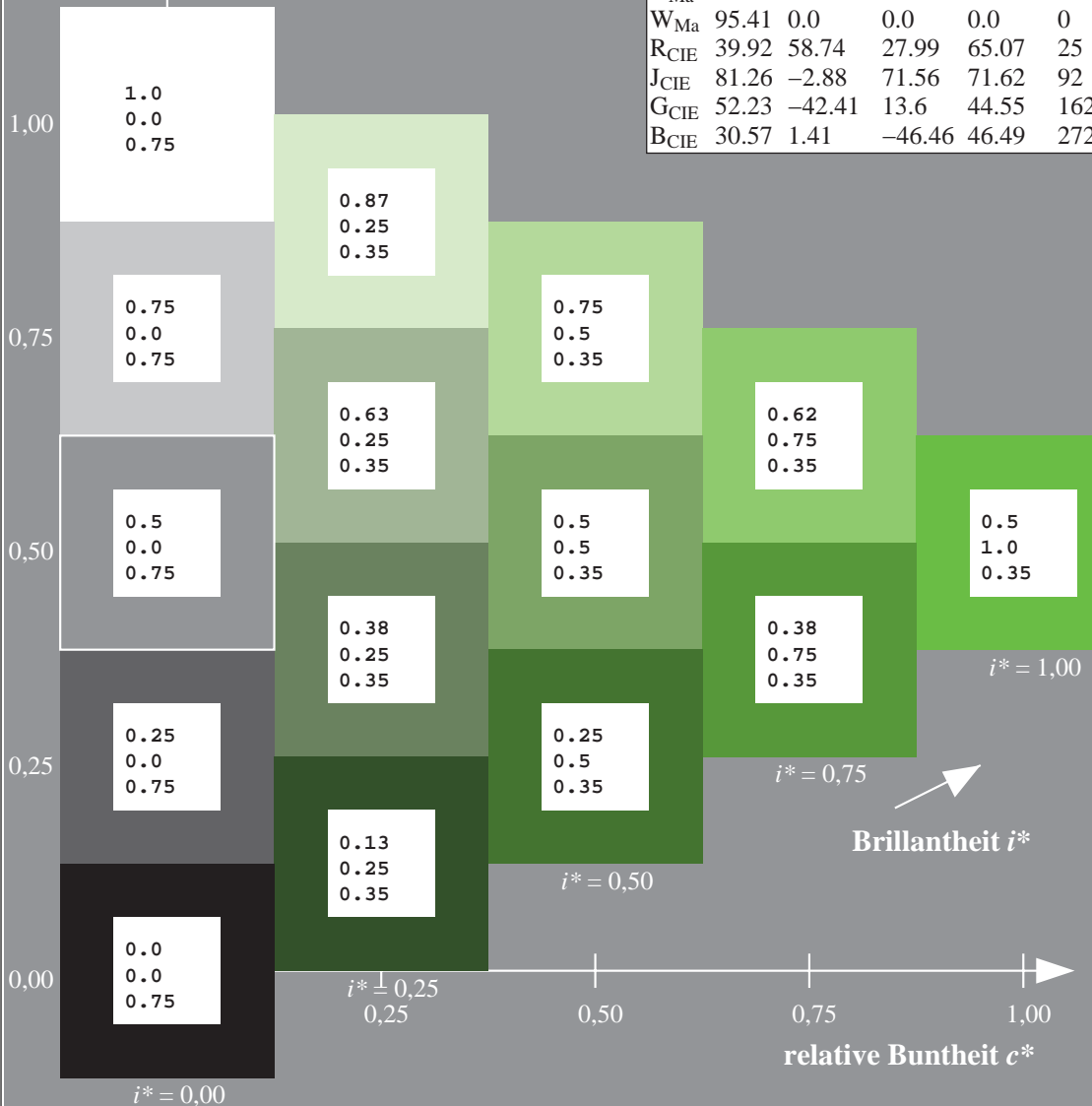
%Regularität

$g^*_{H,rel} = 57$

$g^*_{C,rel} = 59$

ORS18_95aM; adaptierte CIELAB-Daten

	$L^*=L^*_a$	a^*_a	b^*_a	$C^*_{ab,a}$	$h^*_{ab,a}$
r00j	48.0	68.4	32.59	75.77	25
r25j	51.32	59.36	53.8	80.11	42
r50j	62.67	39.12	64.83	75.72	59
r75j	73.73	19.4	75.58	78.03	76
j00g	86.61	-3.55	88.09	88.17	92
j25g	78.07	-26.64	74.05	78.7	110
j50g	65.83	-42.94	56.44	70.93	127
j75g	54.87	-57.53	40.67	70.47	145
g00b	52.54	-55.91	17.93	58.72	162
g25b	55.02	-45.5	-7.69	46.16	190
g50b	56.98	-37.23	-28.04	46.62	217
g75b	53.92	-21.56	-44.93	49.84	244
b00r	41.64	1.36	-44.7	44.73	272
b25r	28.53	25.85	-44.45	51.43	300
b50r	34.77	48.93	-29.85	57.32	329
b75r	48.12	74.52	-3.84	74.62	357



Daten für jede Farbe:

lab^*tch^* und lab^*icu^*

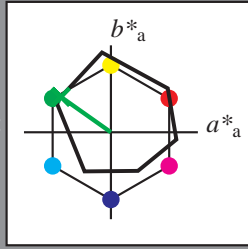
Elementar-Buntoncontext:

$u^* = j75g$

Kontrastreduzierungsfaktor:

$c_R = 1.0$

Dreiecks-Helligkeit t^*



ORS18_95aM; adaptierte CIELAB-Daten

	$L^*=L^*_a$	a^*_a	b^*_a	$C^*_{ab,a}$	$h^*_{ab,a}$
O _{Ma}	47.94	65.39	50.52	82.63	38
Y _{Ma}	90.37	-10.26	91.75	92.32	96
L _{Ma}	50.9	-62.83	34.96	71.91	151
C _{Ma}	58.62	-30.34	-45.01	54.3	236
V _{Ma}	25.72	31.1	-44.4	54.22	305
M _{Ma}	48.13	75.28	-8.36	75.74	354
N _{Ma}	18.01	0.0	0.0	0.0	0
W _{Ma}	95.41	0.0	0.0	0.0	0
R _{CIE}	39.92	58.74	27.99	65.07	25
J _{CIE}	81.26	-2.88	71.56	71.62	92
G _{CIE}	52.23	-42.41	13.6	44.55	162
B _{CIE}	30.57	1.41	-46.46	46.49	272

Daten für Maximalfarbe (Ma):

$LAB^*LAB^*_Ma: 55 -57 41$

$LAB^*LCH^*_Ma: 55 70 145$

$lab^*rgb^*_Ma: 0.25 1.0 0.0$

$lab^*olv^*_Ma: 0.1 1.0 0.0$

Dreiecks-Helligkeit t^*

%Umfang

$u^*_{rel} = 93$

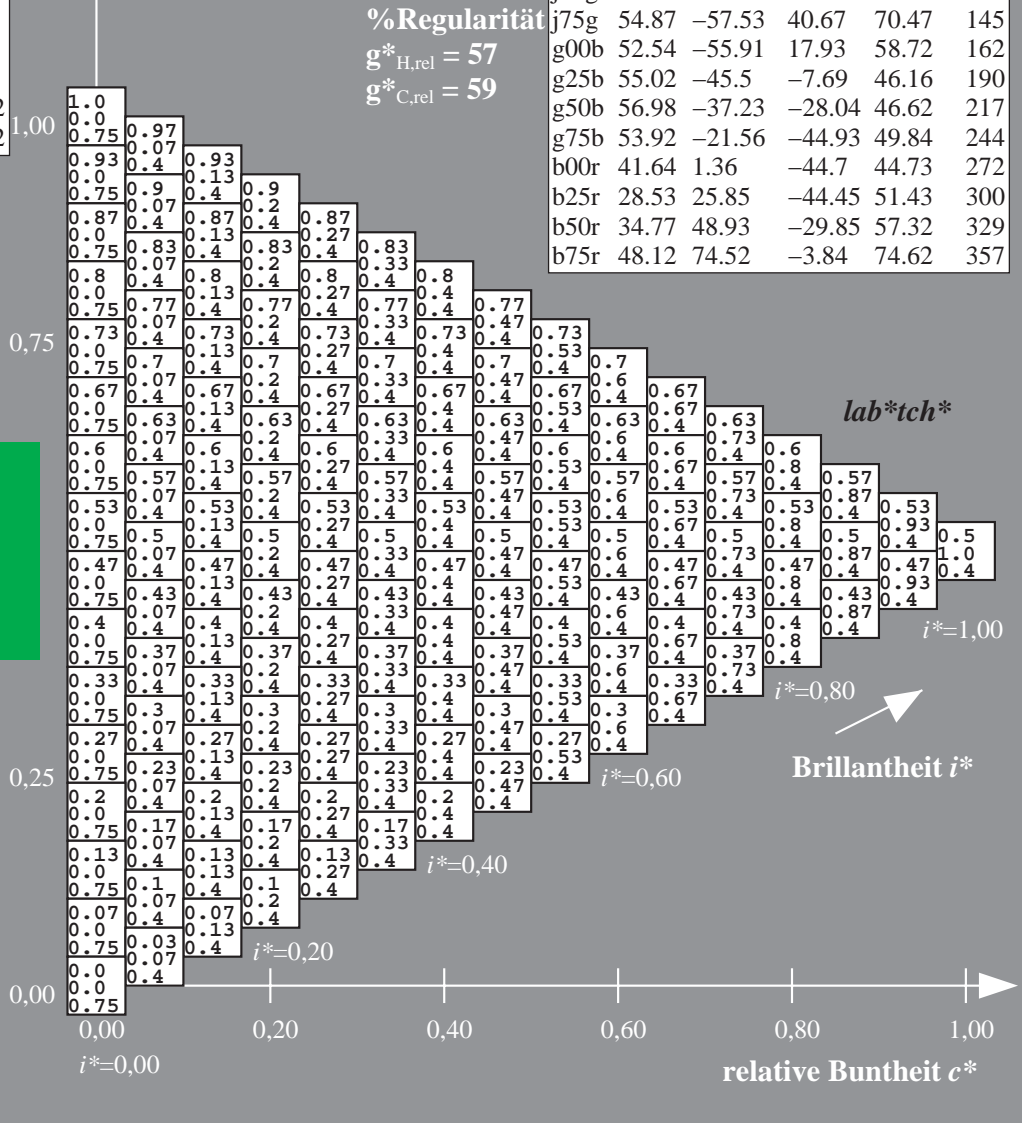
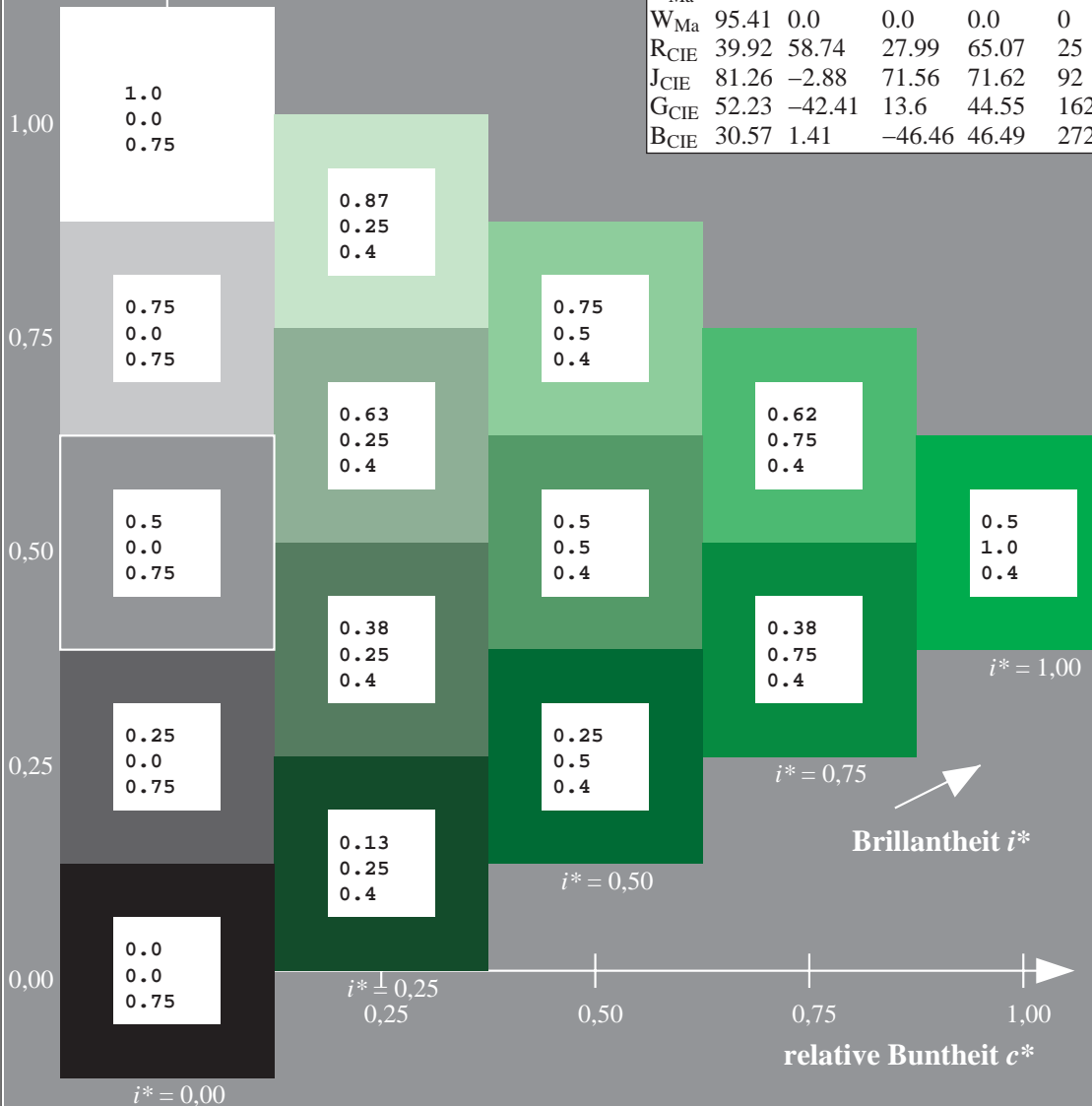
%Regularität

$g^*_{H,rel} = 57$

$g^*_{C,rel} = 59$

ORS18_95aM; adaptierte CIELAB-Daten

	$L^*=L^*_a$	a^*_a	b^*_a	$C^*_{ab,a}$	$h^*_{ab,a}$
r00j	48.0	68.4	32.59	75.77	25
r25j	51.32	59.36	53.8	80.11	42
r50j	62.67	39.12	64.83	75.72	59
r75j	73.73	19.4	75.58	78.03	76
j00g	86.61	-3.55	88.09	88.17	92
j25g	78.07	-26.64	74.05	78.7	110
j50g	65.83	-42.94	56.44	70.93	127
j75g	54.87	-57.53	40.67	70.47	145
g00b	52.54	-55.91	17.93	58.72	162
g25b	55.02	-45.5	-7.69	46.16	190
g50b	56.98	-37.23	-28.04	46.62	217
g75b	53.92	-21.56	-44.93	49.84	244
b00r	41.64	1.36	-44.7	44.73	272
b25r	28.53	25.85	-44.45	51.43	300
b50r	34.77	48.93	-29.85	57.32	329
b75r	48.12	74.52	-3.84	74.62	357



Daten für jede Farbe:

lab^*tch^* und lab^*icu^*

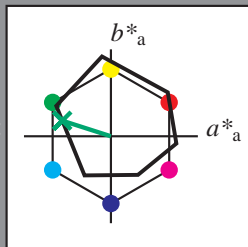
Elementar-Buntoncontext:

$u^* = g00b$

Kontrastreduzierungsfaktor:

$c_R = 1.0$

Dreiecks-Helligkeit t^*



ORS18_95aM; adaptierte CIELAB-Daten

	$L^*=L^*_a$	a^*_a	b^*_a	$C^*_{ab,a}$	$h^*_{ab,a}$
O _{Ma}	47.94	65.39	50.52	82.63	38
Y _{Ma}	90.37	-10.26	91.75	92.32	96
L _{Ma}	50.9	-62.83	34.96	71.91	151
C _{Ma}	58.62	-30.34	-45.01	54.3	236
V _{Ma}	25.72	31.1	-44.4	54.22	305
M _{Ma}	48.13	75.28	-8.36	75.74	354
N _{Ma}	18.01	0.0	0.0	0.0	0
W _{Ma}	95.41	0.0	0.0	0.0	0
R _{CIE}	39.92	58.74	27.99	65.07	25
J _{CIE}	81.26	-2.88	71.56	71.62	92
G _{CIE}	52.23	-42.41	13.6	44.55	162
B _{CIE}	30.57	1.41	-46.46	46.49	272

Daten für Maximalfarbe (Ma):

$LAB^*LAB^*Ma: 53 -55 18$

$LAB^*LCH^*Ma: 53 59 162$

$lab^*rgb^*Ma: 0.0 1.0 0.0$

$lab^*olv^*Ma: 0.0 1.0 0.21$

Dreiecks-Helligkeit t^*

%Umfang

$u^*_{rel} = 93$

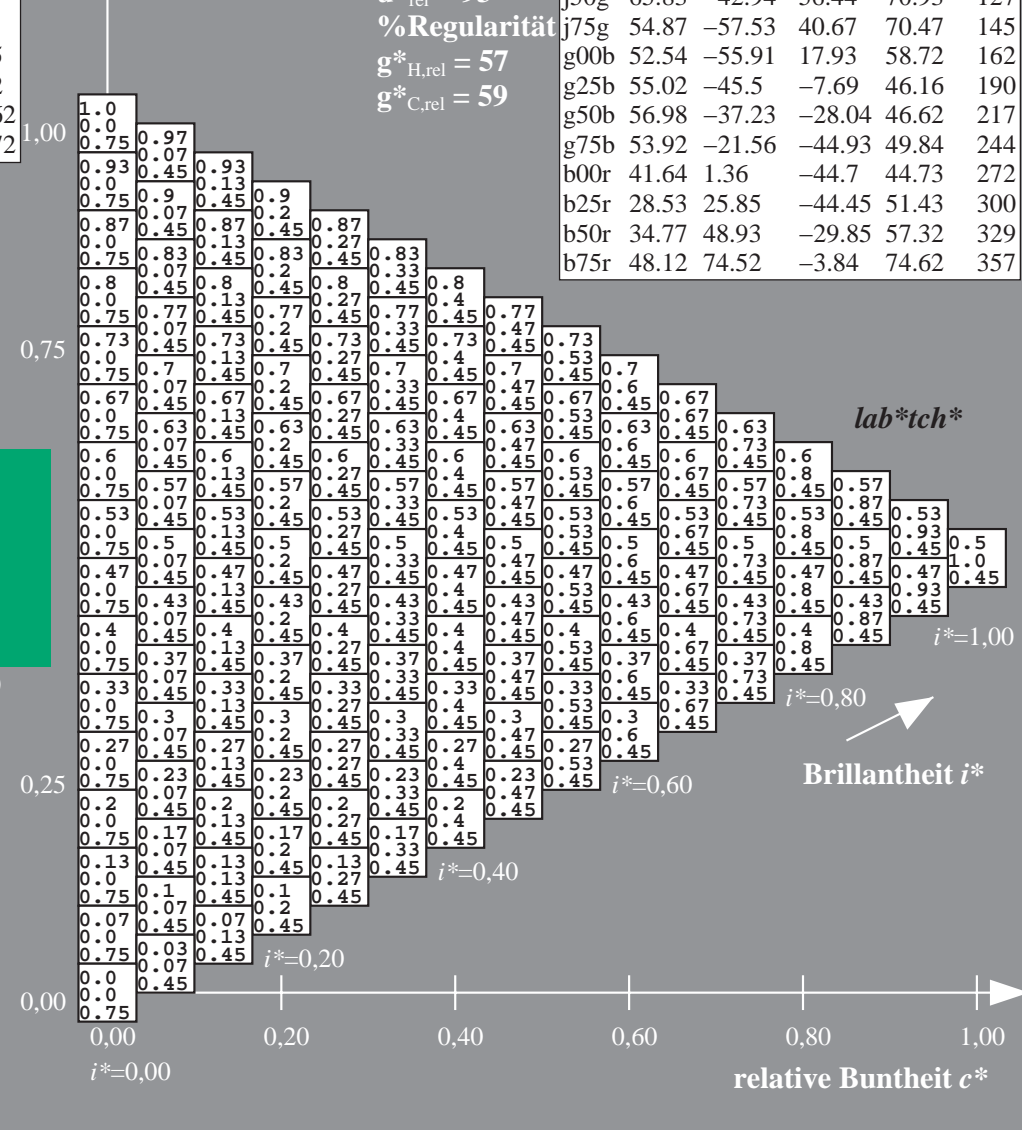
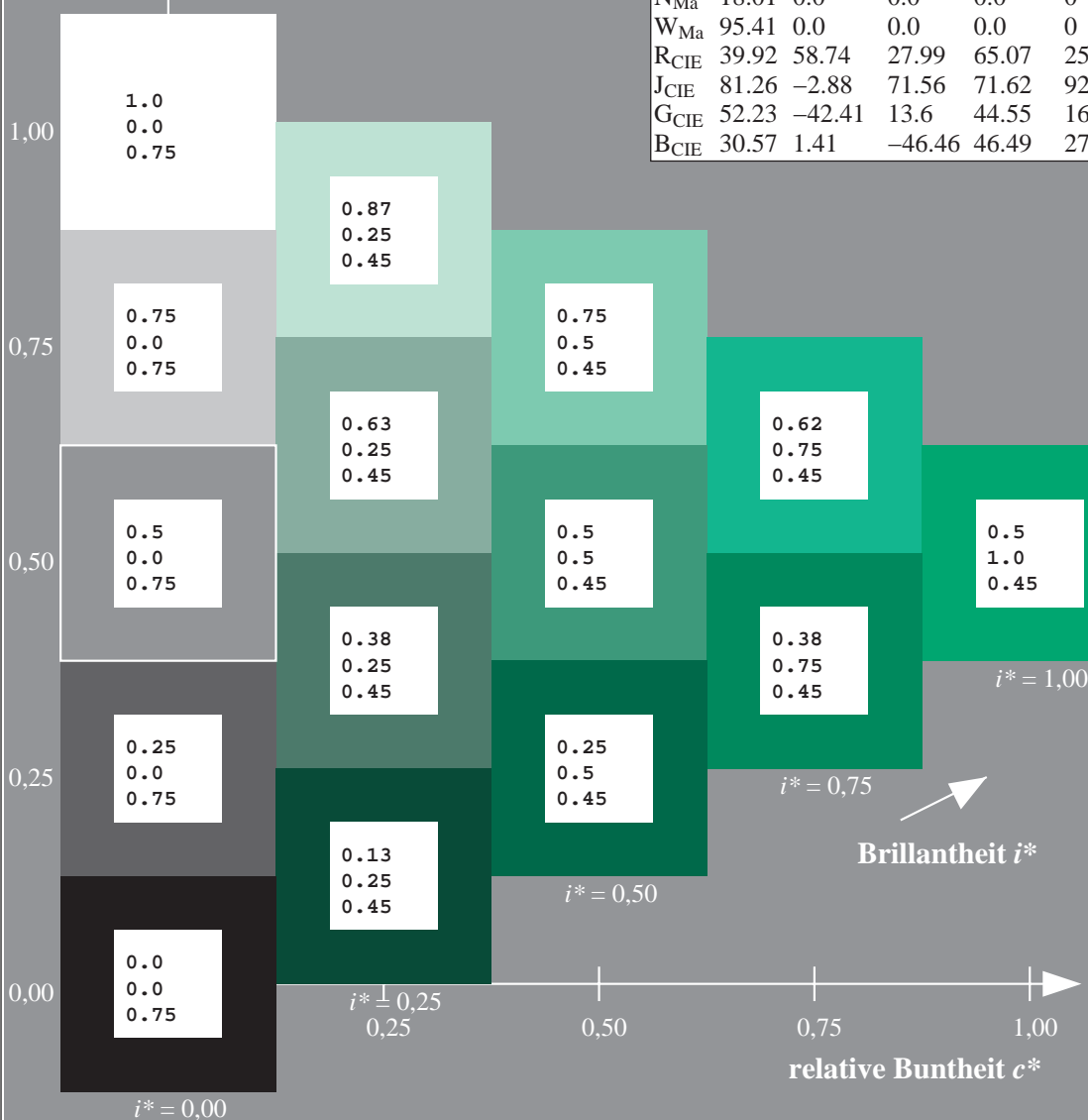
%Regularität

$g^*_{H,rel} = 57$

$g^*_{C,rel} = 59$

ORS18_95aM; adaptierte CIELAB-Daten

	$L^*=L^*_a$	a^*_a	b^*_a	$C^*_{ab,a}$	$h^*_{ab,a}$
r00j	48.0	68.4	32.59	75.77	25
r25j	51.32	59.36	53.8	80.11	42
r50j	62.67	39.12	64.83	75.72	59
r75j	73.73	19.4	75.58	78.03	76
j00g	86.61	-3.55	88.09	88.17	92
j25g	78.07	-26.64	74.05	78.7	110
j50g	65.83	-42.94	56.44	70.93	127
j75g	54.87	-57.53	40.67	70.47	145
g00b	52.54	-55.91	17.93	58.72	162
g25b	55.02	-45.5	-7.69	46.16	190
g50b	56.98	-37.23	-28.04	46.62	217
g75b	53.92	-21.56	-44.93	49.84	244
b00r	41.64	1.36	-44.7	44.73	272
b25r	28.53	25.85	-44.45	51.43	300
b50r	34.77	48.93	-29.85	57.32	329
b75r	48.12	74.52	-3.84	74.62	357



Daten für jede Farbe:

lab^*tch^* und lab^*icu^*

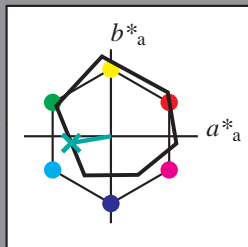
Elementar-Buntontext:

$u^* = g25b$

Kontrastreduzierungsfaktor:

$c_R = 1.0$

Dreiecks-Helligkeit t^*



ORS18_95aM; adaptierte CIELAB-Daten

	$L^*=L^*_a$	a^*_a	b^*_a	$C^*_{ab,a}$	$h^*_{ab,a}$
O _{Ma}	47.94	65.39	50.52	82.63	38
Y _{Ma}	90.37	-10.26	91.75	92.32	96
L _{Ma}	50.9	-62.83	34.96	71.91	151
C _{Ma}	58.62	-30.34	-45.01	54.3	236
V _{Ma}	25.72	31.1	-44.4	54.22	305
M _{Ma}	48.13	75.28	-8.36	75.74	354
N _{Ma}	18.01	0.0	0.0	0.0	0
W _{Ma}	95.41	0.0	0.0	0.0	0
R _{CIE}	39.92	58.74	27.99	65.07	25
J _{CIE}	81.26	-2.88	71.56	71.62	92
G _{CIE}	52.23	-42.41	13.6	44.55	162
B _{CIE}	30.57	1.41	-46.46	46.49	272

Daten für Maximalfarbe (Ma):

$LAB^*LAB^*_{Ma}$: 55 -45 -7

$LAB^*LCH^*_{Ma}$: 55 46 190

$lab^*rgb^*_{Ma}$: 0.0 1.0 0.5

$lab^*olv^*_{Ma}$: 0.0 1.0 0.53

Dreiecks-Helligkeit t^*

%Umfang

$u^*_{rel} = 93$

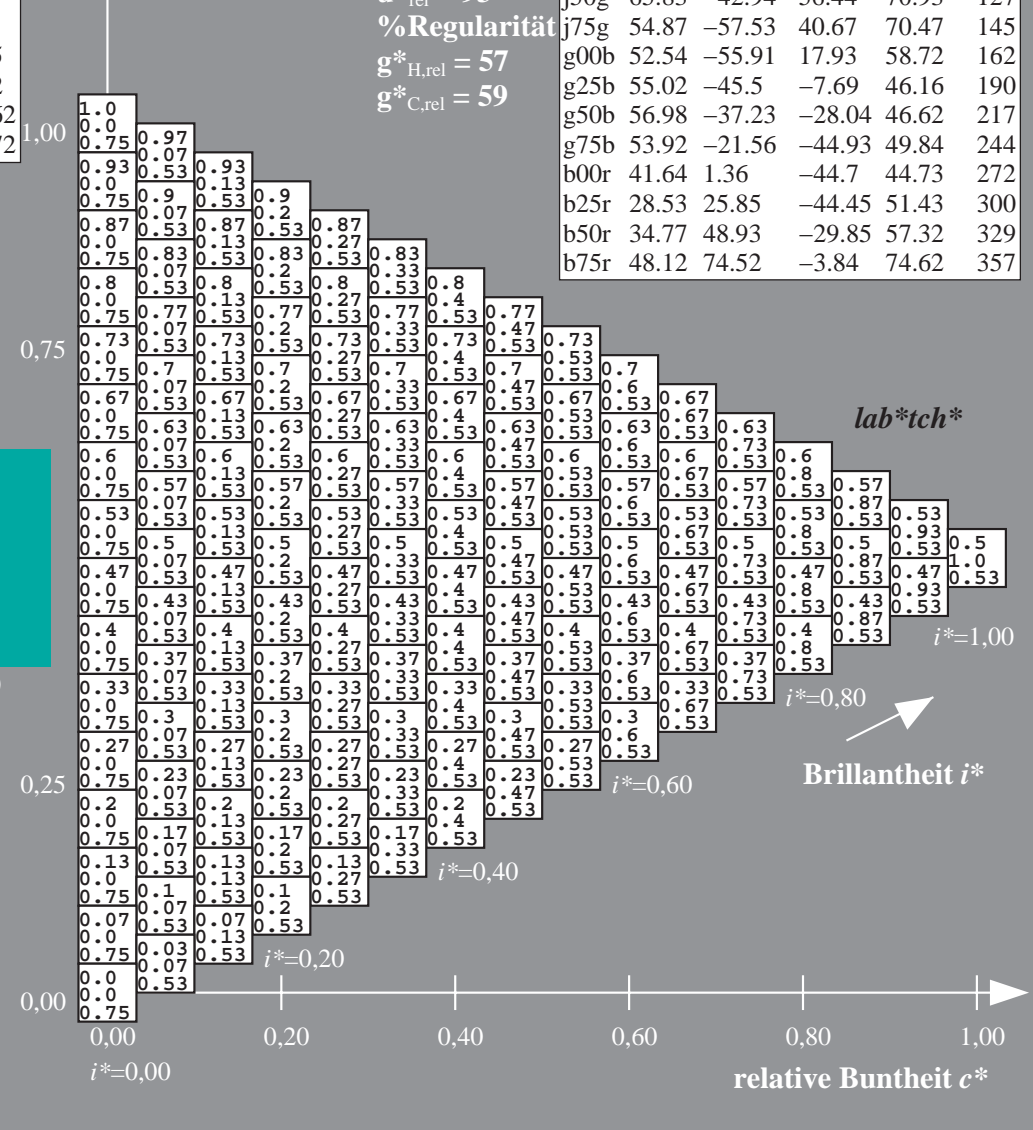
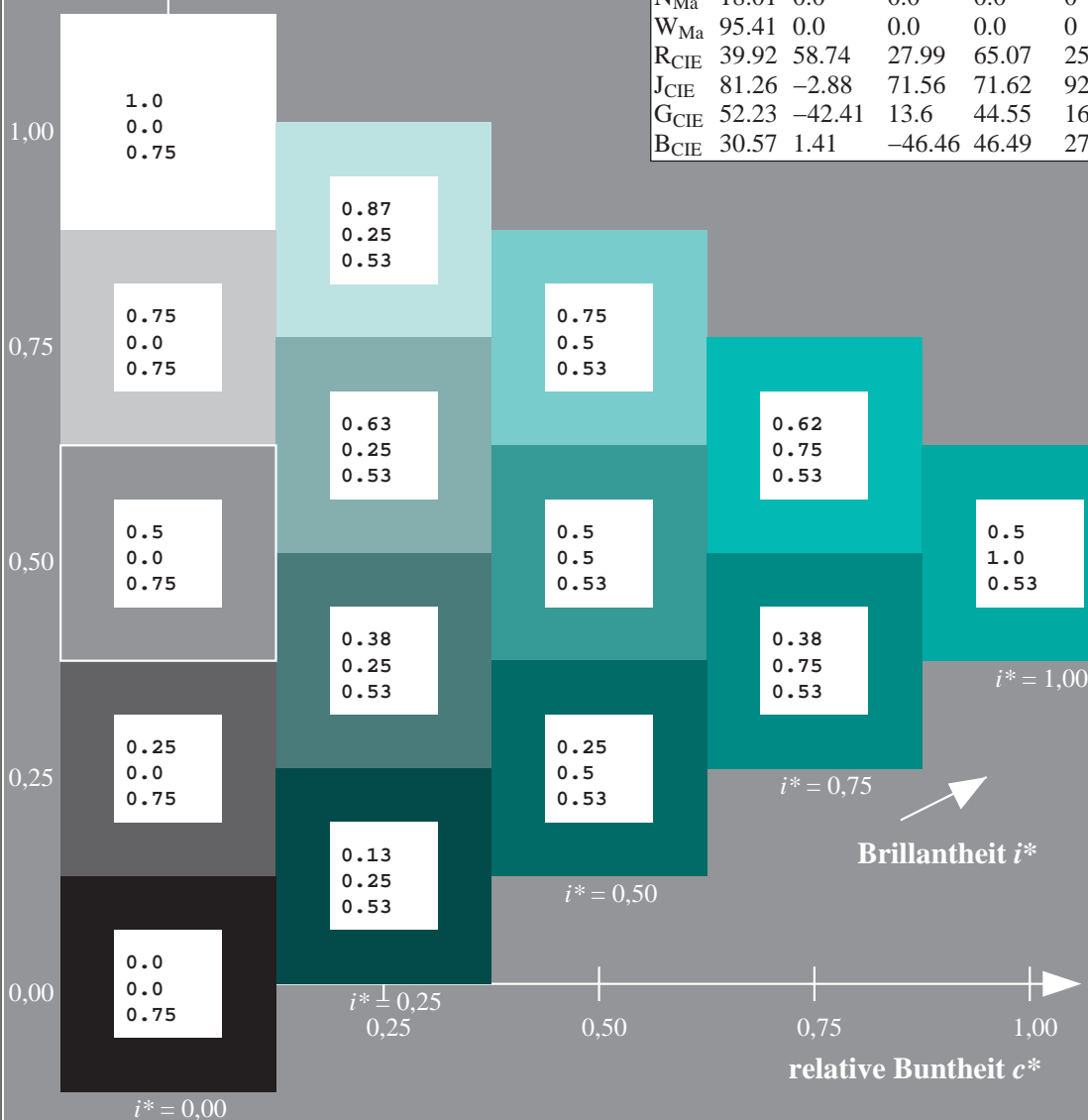
%Regularität

$g^*_{H,rel} = 57$

$g^*_{C,rel} = 59$

ORS18_95aM; adaptierte CIELAB-Daten

	$L^*=L^*_a$	a^*_a	b^*_a	$C^*_{ab,a}$	$h^*_{ab,a}$
r00j	48.0	68.4	32.59	75.77	25
r25j	51.32	59.36	53.8	80.11	42
r50j	62.67	39.12	64.83	75.72	59
r75j	73.73	19.4	75.58	78.03	76
j00g	86.61	-3.55	88.09	88.17	92
j25g	78.07	-26.64	74.05	78.7	110
j50g	65.83	-42.94	56.44	70.93	127
j75g	54.87	-57.53	40.67	70.47	145
g00b	52.54	-55.91	17.93	58.72	162
g25b	55.02	-45.5	-7.69	46.16	190
g50b	56.98	-37.23	-28.04	46.62	217
g75b	53.92	-21.56	-44.93	49.84	244
b00r	41.64	1.36	-44.7	44.73	272
b25r	28.53	25.85	-44.45	51.43	300
b50r	34.77	48.93	-29.85	57.32	329
b75r	48.12	74.52	-3.84	74.62	357



Daten für jede Farbe:

lab^*tch^* und lab^*icu^*

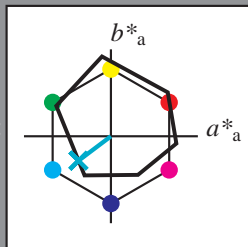
Elementar-Buntontext:

$u^* = g50b$

Kontrastreduzierungsfaktor:

$c_R = 1.0$

Dreiecks-Helligkeit t^*



ORS18_95aM; adaptierte CIELAB-Daten

	$L^*=L^*_a$	a^*_a	b^*_a	$C^*_{ab,a}$	$h^*_{ab,a}$
O _{Ma}	47.94	65.39	50.52	82.63	38
Y _{Ma}	90.37	-10.26	91.75	92.32	96
L _{Ma}	50.9	-62.83	34.96	71.91	151
C _{Ma}	58.62	-30.34	-45.01	54.3	236
V _{Ma}	25.72	31.1	-44.4	54.22	305
M _{Ma}	48.13	75.28	-8.36	75.74	354
N _{Ma}	18.01	0.0	0.0	0.0	0
W _{Ma}	95.41	0.0	0.0	0.0	0
R _{CIE}	39.92	58.74	27.99	65.07	25
J _{CIE}	81.26	-2.88	71.56	71.62	92
G _{CIE}	52.23	-42.41	13.6	44.55	162
B _{CIE}	30.57	1.41	-46.46	46.49	272

Daten für Maximalfarbe (Ma):

$LAB^*LAB^*_Ma: 57 -36 -27$

$LAB^*LCH^*_Ma: 57 47 217$

$lab^*rgb^*_Ma: 0.0 1.0 1.0$

$lab^*olv^*_Ma: 0.0 1.0 0.79$

Dreiecks-Helligkeit t^*

%Umfang

$u^*_{rel} = 93$

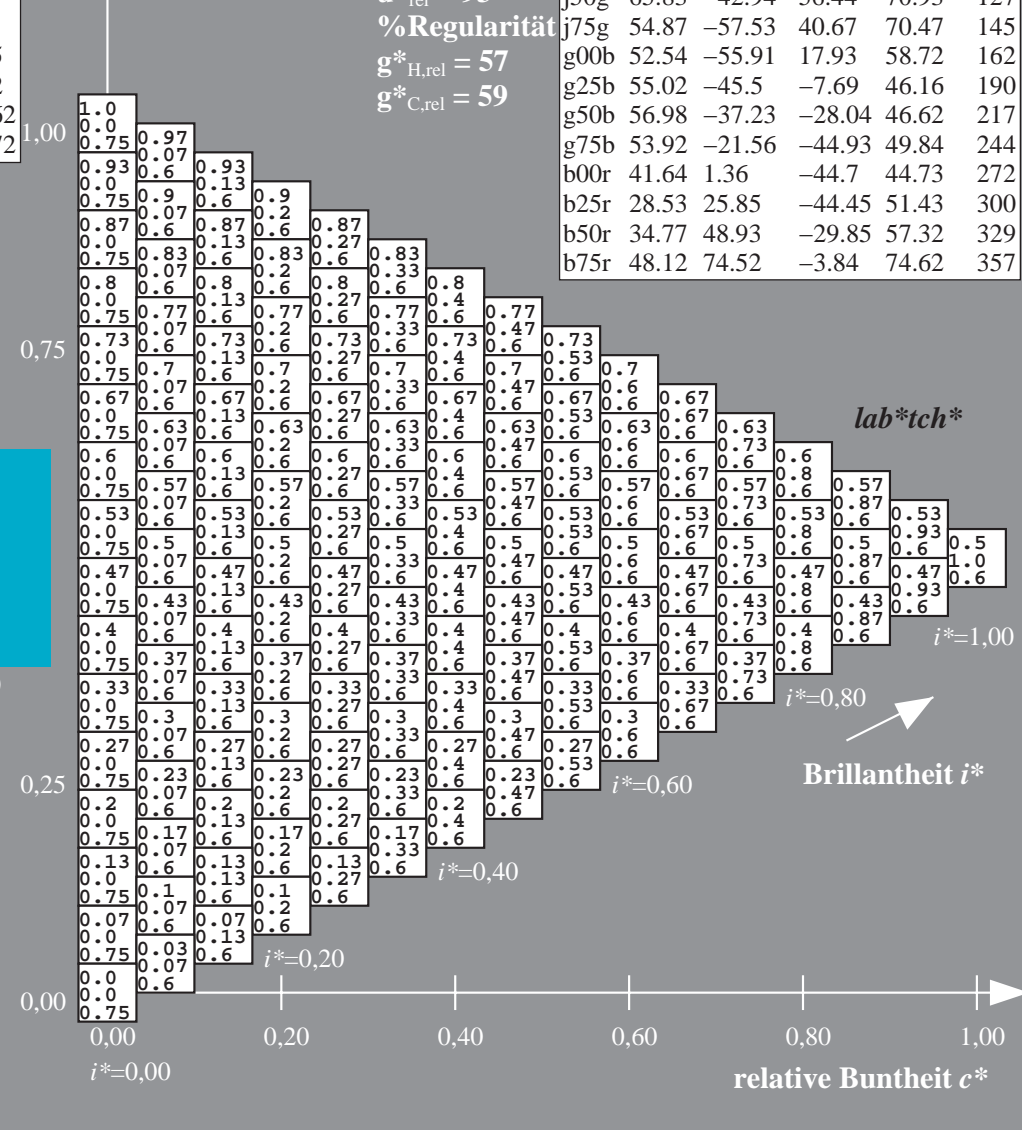
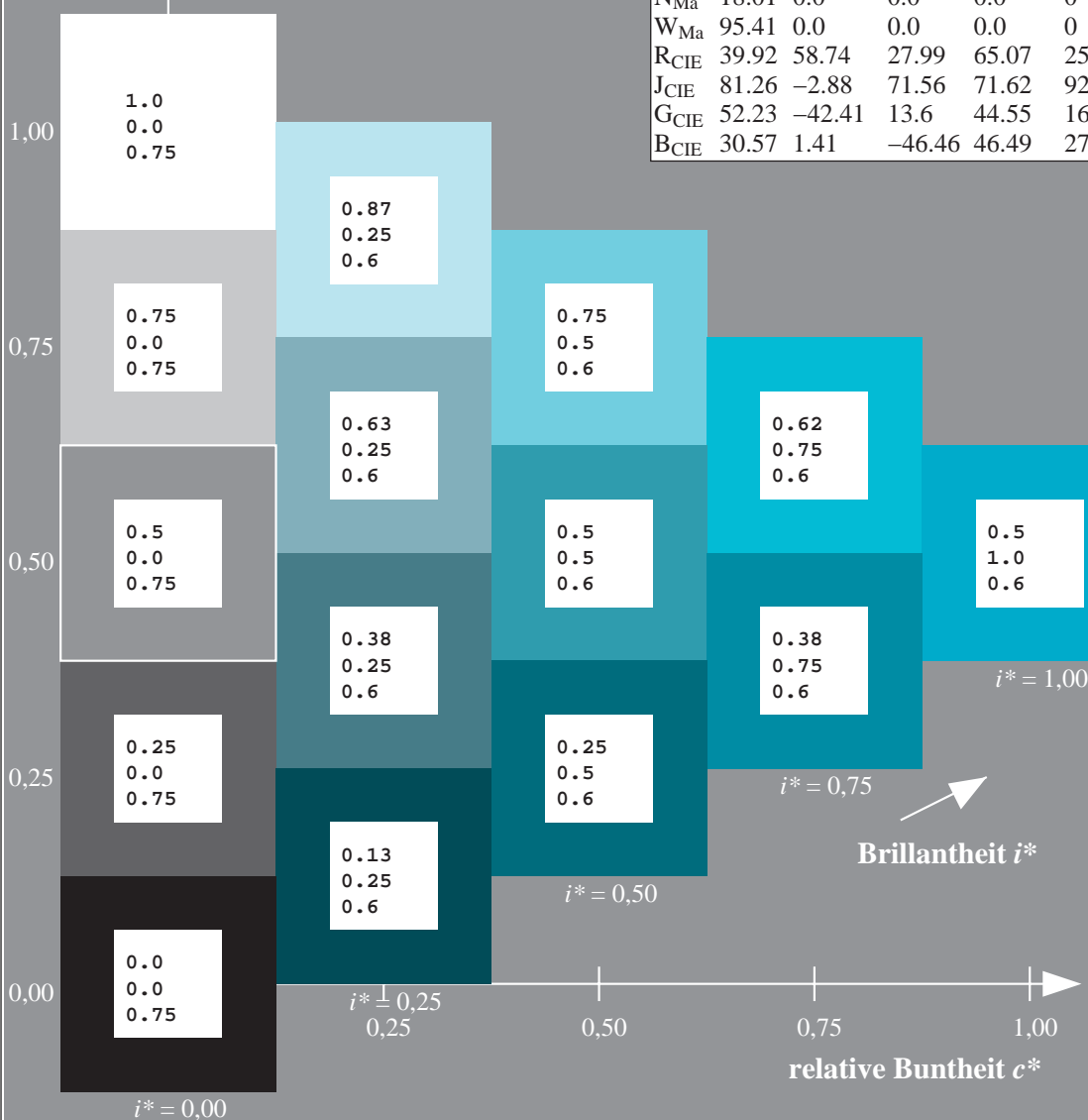
%Regularität

$g^*_{H,rel} = 57$

$g^*_{C,rel} = 59$

ORS18_95aM; adaptierte CIELAB-Daten

	$L^*=L^*_a$	a^*_a	b^*_a	$C^*_{ab,a}$	$h^*_{ab,a}$
r00j	48.0	68.4	32.59	75.77	25
r25j	51.32	59.36	53.8	80.11	42
r50j	62.67	39.12	64.83	75.72	59
r75j	73.73	19.4	75.58	78.03	76
j00g	86.61	-3.55	88.09	88.17	92
j25g	78.07	-26.64	74.05	78.7	110
j50g	65.83	-42.94	56.44	70.93	127
j75g	54.87	-57.53	40.67	70.47	145
g00b	52.54	-55.91	17.93	58.72	162
g25b	55.02	-45.5	-7.69	46.16	190
g50b	56.98	-37.23	-28.04	46.62	217
g75b	53.92	-21.56	-44.93	49.84	244
b00r	41.64	1.36	-44.7	44.73	272
b25r	28.53	25.85	-44.45	51.43	300
b50r	34.77	48.93	-29.85	57.32	329
b75r	48.12	74.52	-3.84	74.62	357



Daten für jede Farbe:

lab^*tch^* und lab^*icu^*

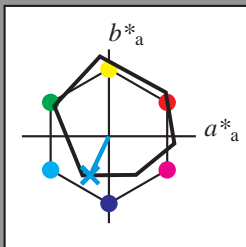
Elementar-Buntontext:

$u^* = g75b$

Kontrastreduzierungsfaktor:

$c_R = 1.0$

Dreiecks-Helligkeit t^*



ORS18_95aM; adaptierte CIELAB-Daten

	$L^*=L^*_a$	a^*_a	b^*_a	$C^*_{ab,a}$	$h^*_{ab,a}$
O _{Ma}	47.94	65.39	50.52	82.63	38
Y _{Ma}	90.37	-10.26	91.75	92.32	96
L _{Ma}	50.9	-62.83	34.96	71.91	151
C _{Ma}	58.62	-30.34	-45.01	54.3	236
V _{Ma}	25.72	31.1	-44.4	54.22	305
M _{Ma}	48.13	75.28	-8.36	75.74	354
N _{Ma}	18.01	0.0	0.0	0.0	0
W _{Ma}	95.41	0.0	0.0	0.0	0
R _{CIE}	39.92	58.74	27.99	65.07	25
J _{CIE}	81.26	-2.88	71.56	71.62	92
G _{CIE}	52.23	-42.41	13.6	44.55	162
B _{CIE}	30.57	1.41	-46.46	46.49	272

Daten für Maximalfarbe (Ma):

$LAB^*LAB^*_{Ma}$: 54 -21 -44

$LAB^*LCH^*_{Ma}$: 54 50 244

$lab^*rgb^*_{Ma}$: 0.0 0.5 1.0

$lab^*olv^*_{Ma}$: 0.0 0.86 1.0

Dreiecks-Helligkeit t^*

%Umfang

$u^*_{rel} = 93$

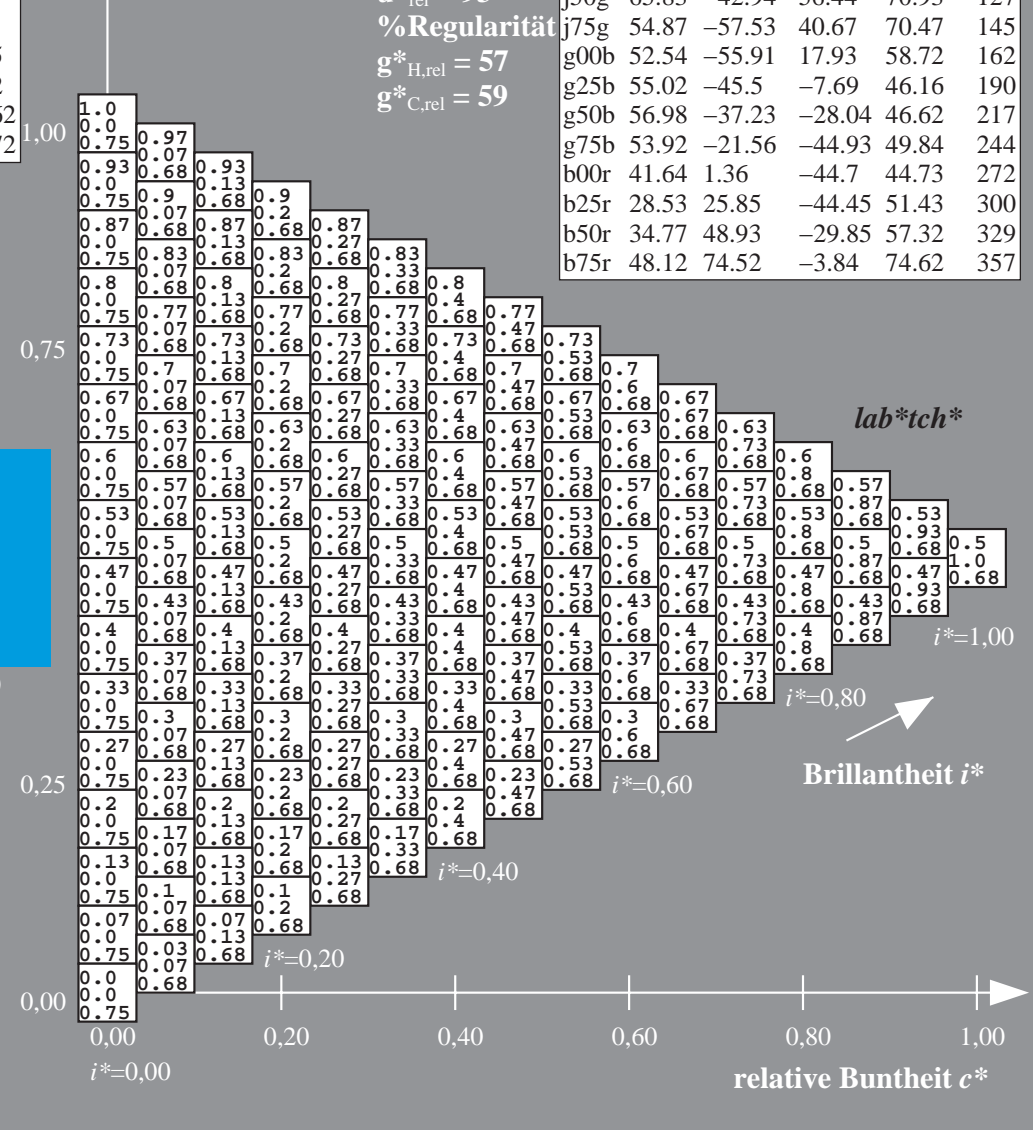
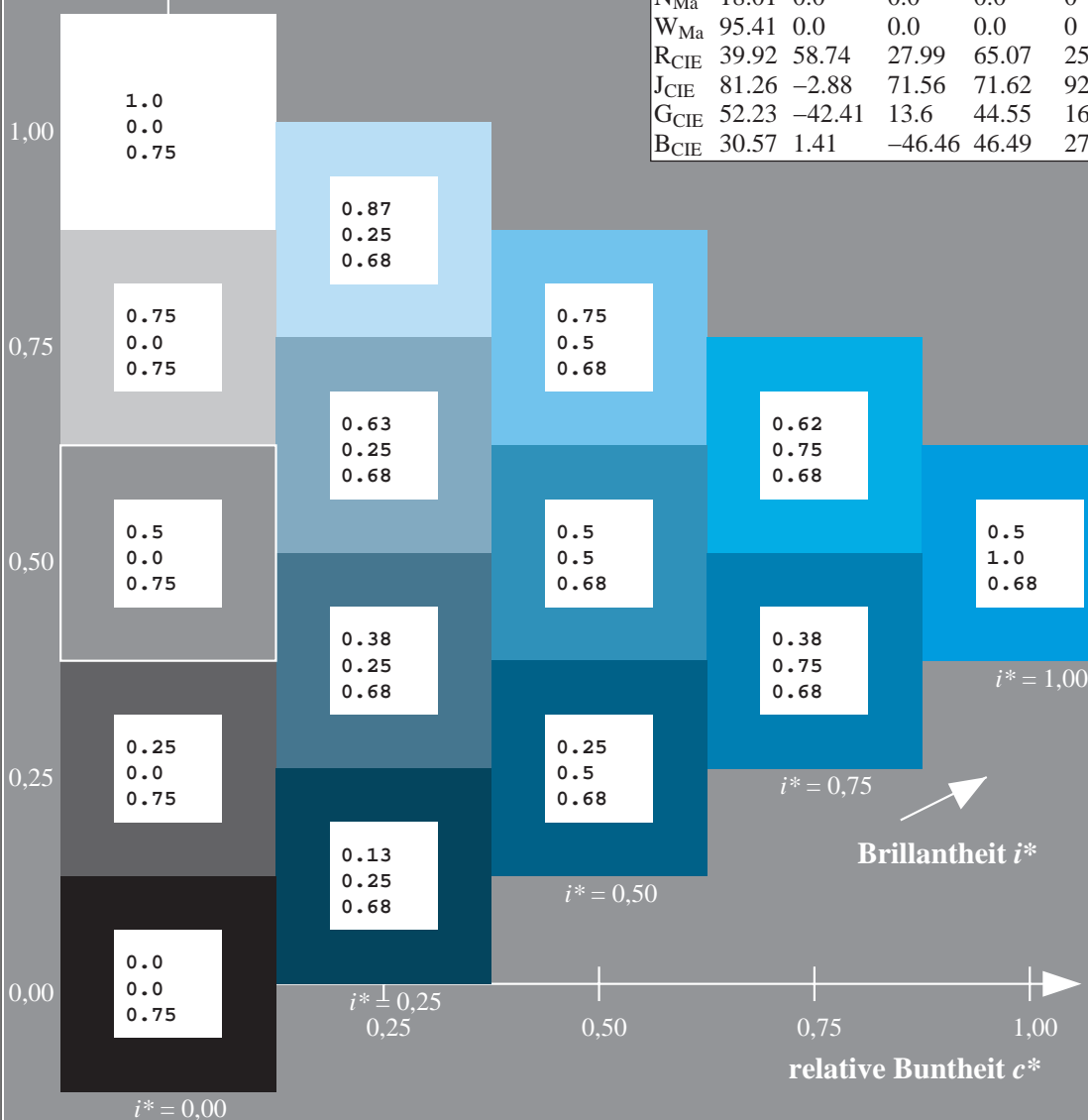
%Regularität

$g^*_{H,rel} = 57$

$g^*_{C,rel} = 59$

ORS18_95aM; adaptierte CIELAB-Daten

	$L^*=L^*_a$	a^*_a	b^*_a	$C^*_{ab,a}$	$h^*_{ab,a}$
r00j	48.0	68.4	32.59	75.77	25
r25j	51.32	59.36	53.8	80.11	42
r50j	62.67	39.12	64.83	75.72	59
r75j	73.73	19.4	75.58	78.03	76
j00g	86.61	-3.55	88.09	88.17	92
j25g	78.07	-26.64	74.05	78.7	110
j50g	65.83	-42.94	56.44	70.93	127
j75g	54.87	-57.53	40.67	70.47	145
g00b	52.54	-55.91	17.93	58.72	162
g25b	55.02	-45.5	-7.69	46.16	190
g50b	56.98	-37.23	-28.04	46.62	217
g75b	53.92	-21.56	-44.93	49.84	244
b00r	41.64	1.36	-44.7	44.73	272
b25r	28.53	25.85	-44.45	51.43	300
b50r	34.77	48.93	-29.85	57.32	329
b75r	48.12	74.52	-3.84	74.62	357



Daten für jede Farbe:

lab^*tch^* und lab^*icu^*

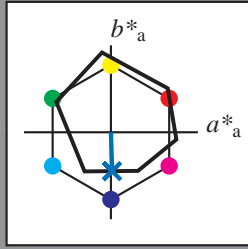
Elementar-Bunntext:

$u^* = b00r$

Kontrastreduzierungsfaktor:

$c_R = 1.0$

Dreiecks-Helligkeit t^*



ORS18_95aM; adaptierte CIELAB-Daten

	$L^*=L^*_a$	a^*_a	b^*_a	$C^*_{ab,a}$	$h^*_{ab,a}$
O _{Ma}	47.94	65.39	50.52	82.63	38
Y _{Ma}	90.37	-10.26	91.75	92.32	96
L _{Ma}	50.9	-62.83	34.96	71.91	151
C _{Ma}	58.62	-30.34	-45.01	54.3	236
V _{Ma}	25.72	31.1	-44.4	54.22	305
M _{Ma}	48.13	75.28	-8.36	75.74	354
N _{Ma}	18.01	0.0	0.0	0.0	0
W _{Ma}	95.41	0.0	0.0	0.0	0
R _{CIE}	39.92	58.74	27.99	65.07	25
J _{CIE}	81.26	-2.88	71.56	71.62	92
G _{CIE}	52.23	-42.41	13.6	44.55	162
B _{CIE}	30.57	1.41	-46.46	46.49	272

Daten für Maximalfarbe (Ma):

$LAB^*LAB^*Ma: 42 \ 1 \ -44$

$LAB^*LCH^*Ma: 42 \ 45 \ 272$

$lab^*rgb^*Ma: 0.0 \ 0.0 \ 1.0$

$lab^*olv^*Ma: 0.0 \ 0.48 \ 1.0$

Dreiecks-Helligkeit t^*

%Umfang

$u^*_{rel} = 93$

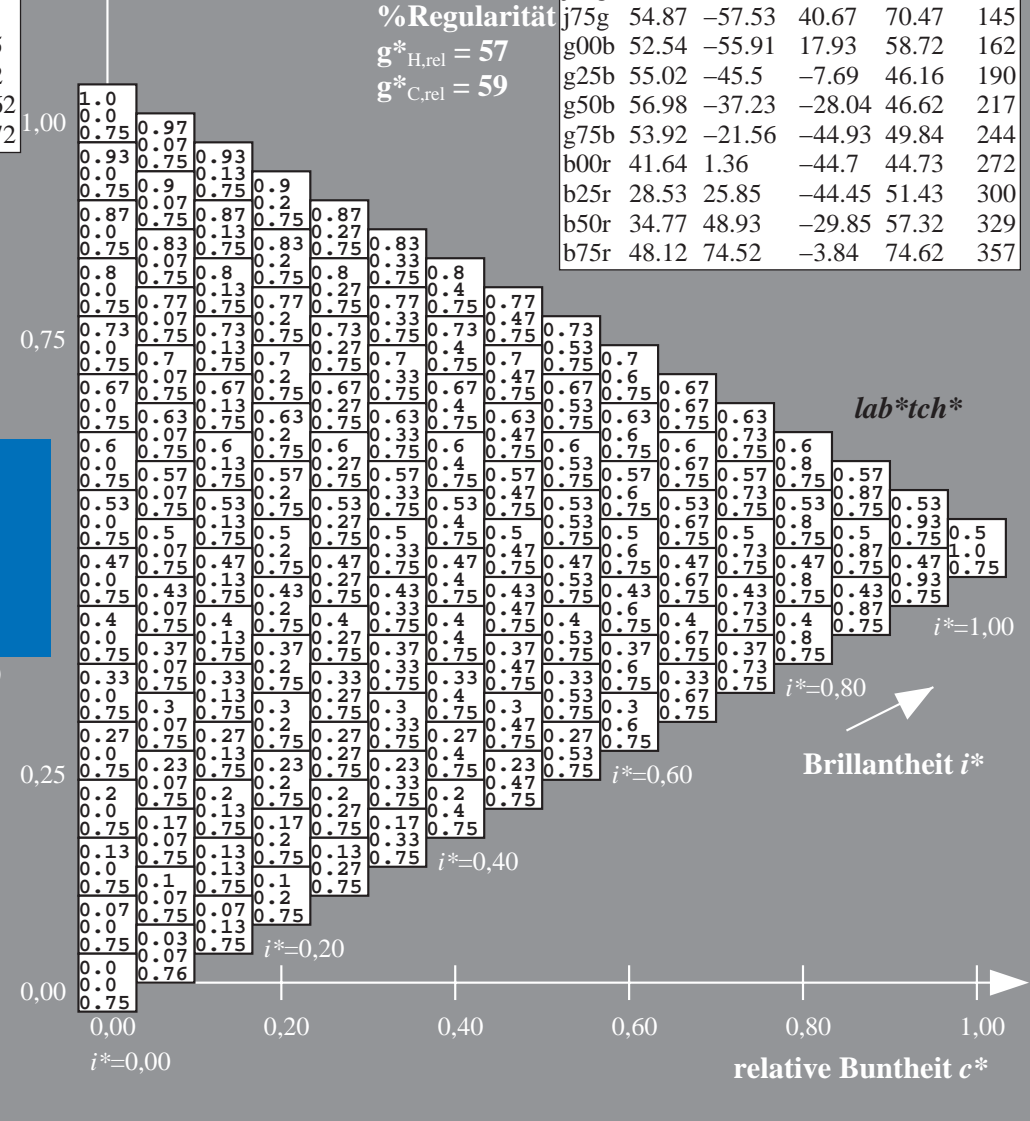
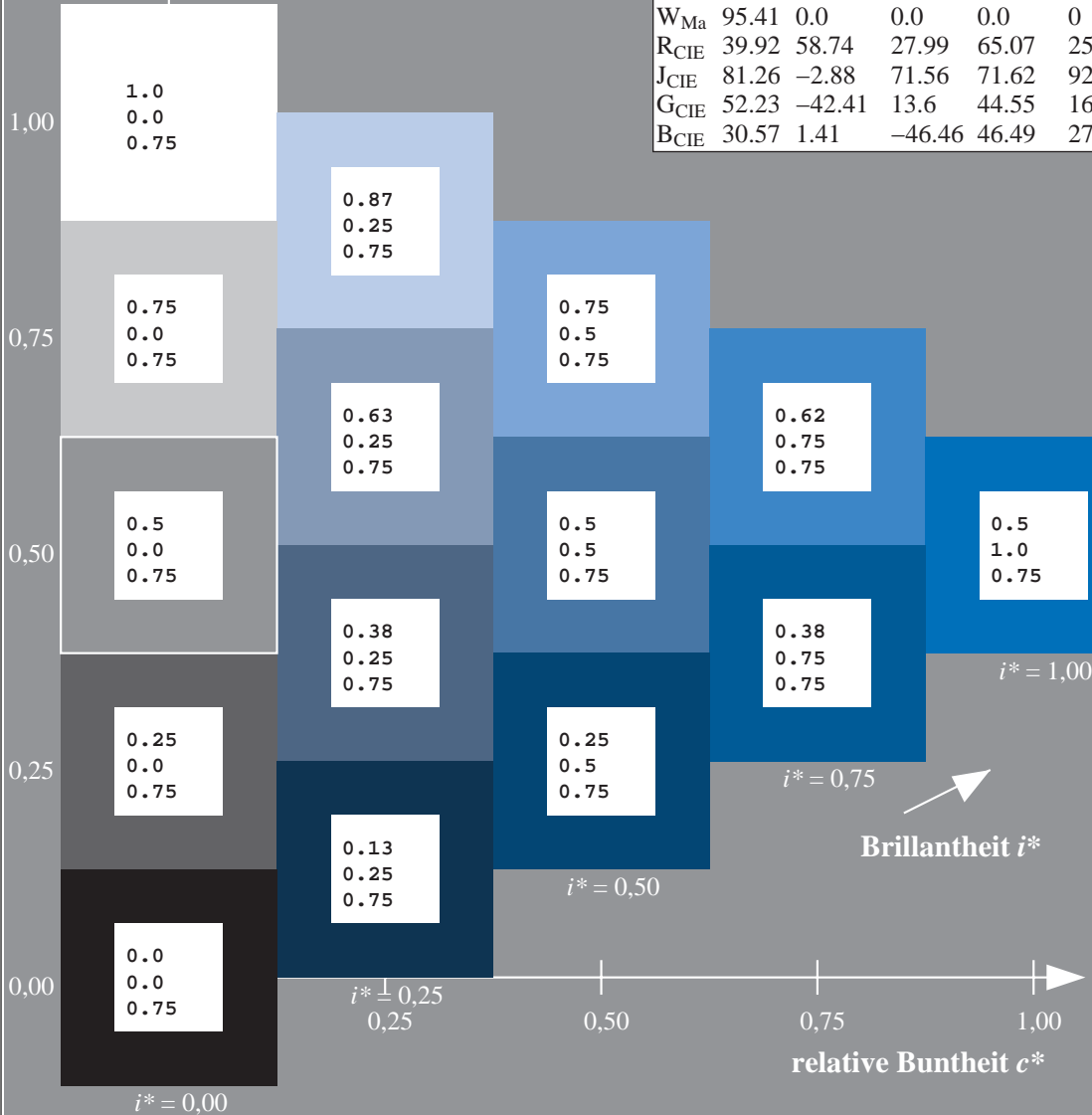
%Regularität

$g^*_{H,rel} = 57$

$g^*_{C,rel} = 59$

ORS18_95aM; adaptierte CIELAB-Daten

	$L^*=L^*_a$	a^*_a	b^*_a	$C^*_{ab,a}$	$h^*_{ab,a}$
r00j	48.0	68.4	32.59	75.77	25
r25j	51.32	59.36	53.8	80.11	42
r50j	62.67	39.12	64.83	75.72	59
r75j	73.73	19.4	75.58	78.03	76
j00g	86.61	-3.55	88.09	88.17	92
j25g	78.07	-26.64	74.05	78.7	110
j50g	65.83	-42.94	56.44	70.93	127
j75g	54.87	-57.53	40.67	70.47	145
g00b	52.54	-55.91	17.93	58.72	162
g25b	55.02	-45.5	-7.69	46.16	190
g50b	56.98	-37.23	-28.04	46.62	217
g75b	53.92	-21.56	-44.93	49.84	244
b00r	41.64	1.36	-44.7	44.73	272
b25r	28.53	25.85	-44.45	51.43	300
b50r	34.77	48.93	-29.85	57.32	329
b75r	48.12	74.52	-3.84	74.62	357



Daten für jede Farbe:

lab^*tch^* und lab^*icu^*

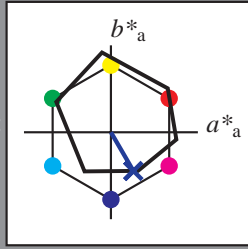
Elementar-Buntontext:

$u^* = b25r$

Kontrastreduzierungsfaktor:

$c_R = 1.0$

Dreiecks-Helligkeit t^*



ORS18_95aM; adaptierte CIELAB-Daten

	$L^*=L^*_a$	a^*_a	b^*_a	$C^*_{ab,a}$	$h^*_{ab,a}$
O _{Ma}	47.94	65.39	50.52	82.63	38
Y _{Ma}	90.37	-10.26	91.75	92.32	96
L _{Ma}	50.9	-62.83	34.96	71.91	151
C _{Ma}	58.62	-30.34	-45.01	54.3	236
V _{Ma}	25.72	31.1	-44.4	54.22	305
M _{Ma}	48.13	75.28	-8.36	75.74	354
N _{Ma}	18.01	0.0	0.0	0.0	0
W _{Ma}	95.41	0.0	0.0	0.0	0
R _{CIE}	39.92	58.74	27.99	65.07	25
J _{CIE}	81.26	-2.88	71.56	71.62	92
G _{CIE}	52.23	-42.41	13.6	44.55	162
B _{CIE}	30.57	1.41	-46.46	46.49	272

Daten für Maximalfarbe (Ma):

$LAB^*LAB^*_{Ma}: 29\ 26\ -43$

$LAB^*LCH^*_{Ma}: 29\ 51\ 300$

$lab^*rgb^*_{Ma}: 0.5\ 0.0\ 1.0$

$lab^*olv^*_{Ma}: 0.0\ 0.09\ 1.0$

Dreiecks-Helligkeit t^*

%Umfang

$u^*_{rel} = 93$

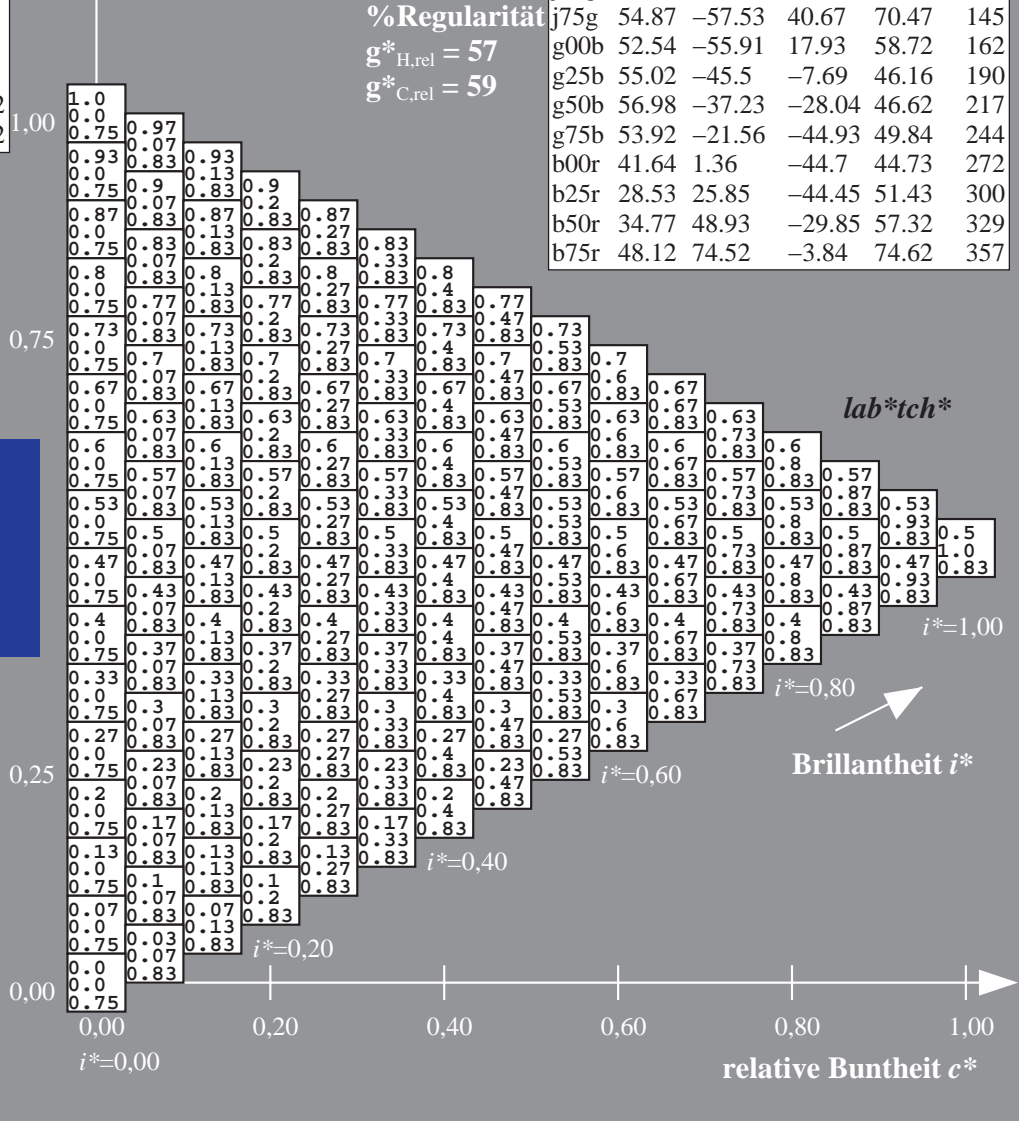
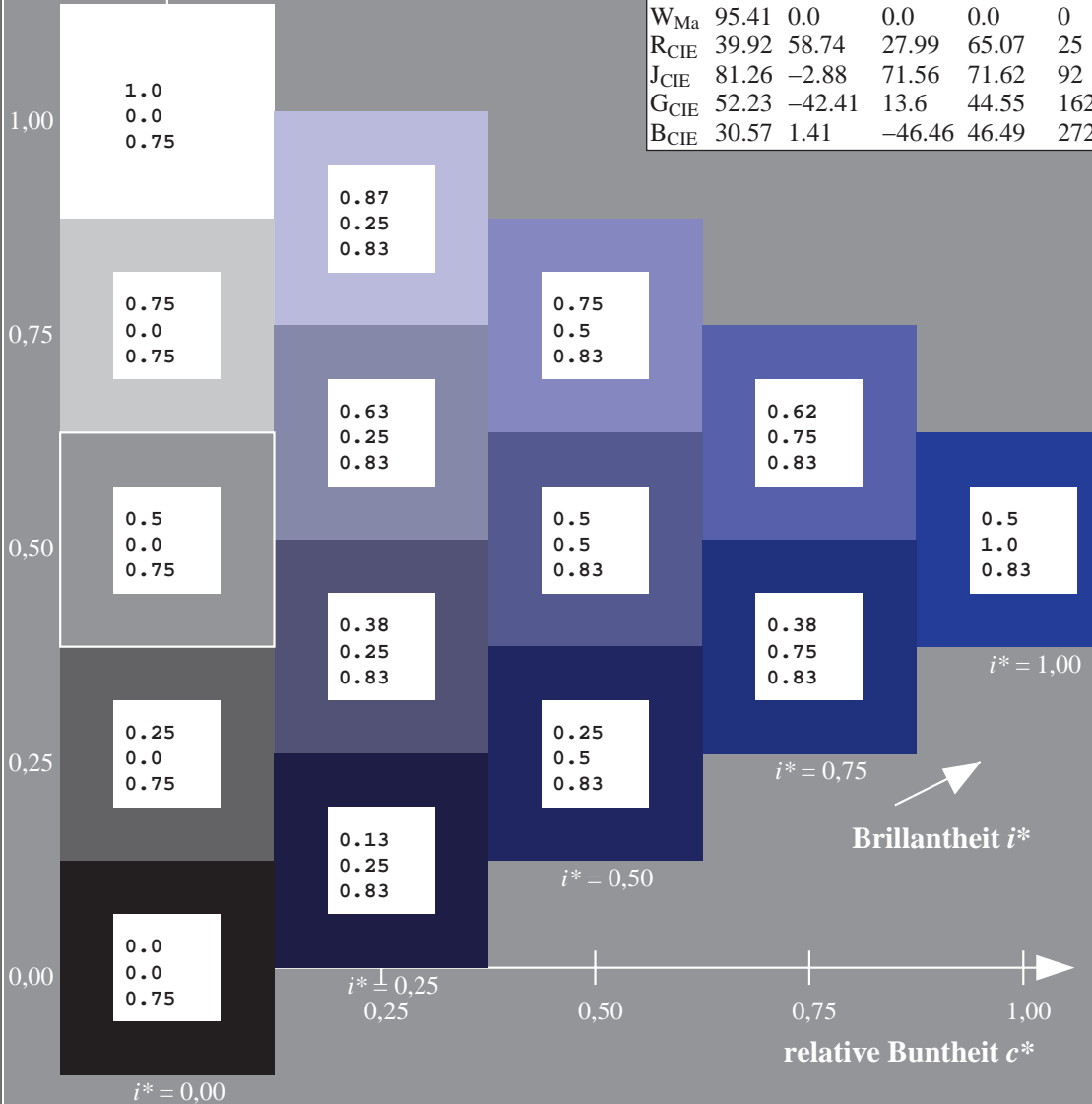
%Regularität

$g^*_{H,rel} = 57$

$g^*_{C,rel} = 59$

ORS18_95aM; adaptierte CIELAB-Daten

	$L^*=L^*_a$	a^*_a	b^*_a	$C^*_{ab,a}$	$h^*_{ab,a}$
r00j	48.0	68.4	32.59	75.77	25
r25j	51.32	59.36	53.8	80.11	42
r50j	62.67	39.12	64.83	75.72	59
r75j	73.73	19.4	75.58	78.03	76
j00g	86.61	-3.55	88.09	88.17	92
j25g	78.07	-26.64	74.05	78.7	110
j50g	65.83	-42.94	56.44	70.93	127
j75g	54.87	-57.53	40.67	70.47	145
g00b	52.54	-55.91	17.93	58.72	162
g25b	55.02	-45.5	-7.69	46.16	190
g50b	56.98	-37.23	-28.04	46.62	217
g75b	53.92	-21.56	-44.93	49.84	244
b00r	41.64	1.36	-44.7	44.73	272
b25r	28.53	25.85	-44.45	51.43	300
b50r	34.77	48.93	-29.85	57.32	329
b75r	48.12	74.52	-3.84	74.62	357



Daten für jede Farbe:

lab^*tch^* und lab^*icu^*

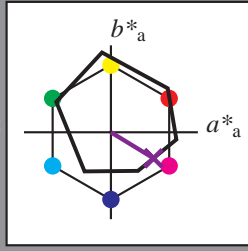
Elementar-Buntontext:

$u^* = b50r$

Kontrastreduzierungsfaktor:

$c_R = 1.0$

Dreiecks-Helligkeit t^*



ORS18_95aM; adaptierte CIELAB-Daten

	$L^*=L^*_a$	a^*_a	b^*_a	$C^*_{ab,a}$	$h^*_{ab,a}$
O _{Ma}	47.94	65.39	50.52	82.63	38
Y _{Ma}	90.37	-10.26	91.75	92.32	96
L _{Ma}	50.9	-62.83	34.96	71.91	151
C _{Ma}	58.62	-30.34	-45.01	54.3	236
V _{Ma}	25.72	31.1	-44.4	54.22	305
M _{Ma}	48.13	75.28	-8.36	75.74	354
N _{Ma}	18.01	0.0	0.0	0.0	0
W _{Ma}	95.41	0.0	0.0	0.0	0
R _{CIE}	39.92	58.74	27.99	65.07	25
J _{CIE}	81.26	-2.88	71.56	71.62	92
G _{CIE}	52.23	-42.41	13.6	44.55	162
B _{CIE}	30.57	1.41	-46.46	46.49	272

Daten für Maximalfarbe (Ma):

$LAB^*LAB^*_Ma$: 35 49 -29

$LAB^*LCH^*_Ma$: 35 57 329

$lab^*rgb^*_Ma$: 1.0 0.0 1.0

$lab^*olv^*_Ma$: 0.4 0.0 1.0

Dreiecks-Helligkeit t^*

%Umfang

$u^*_{rel} = 93$

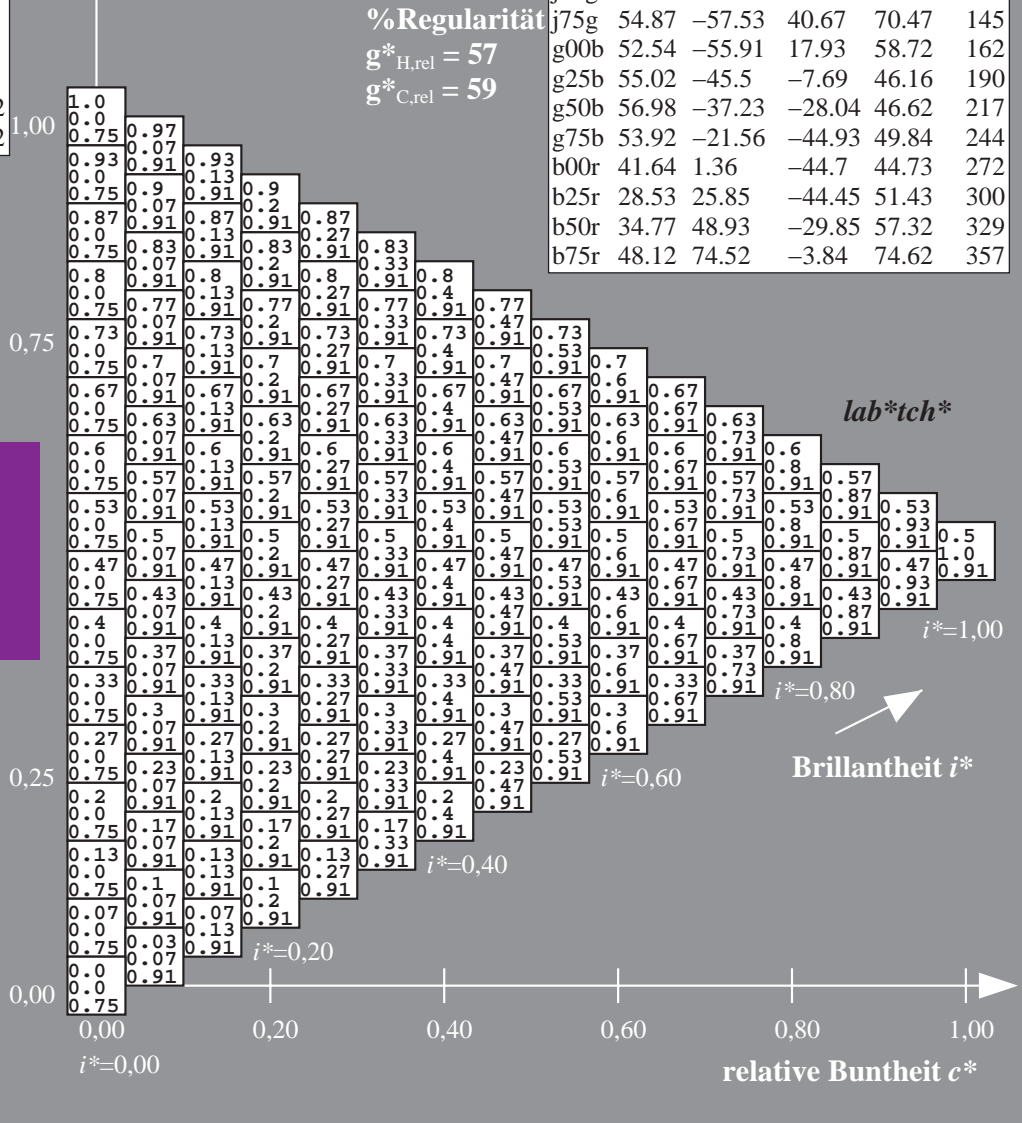
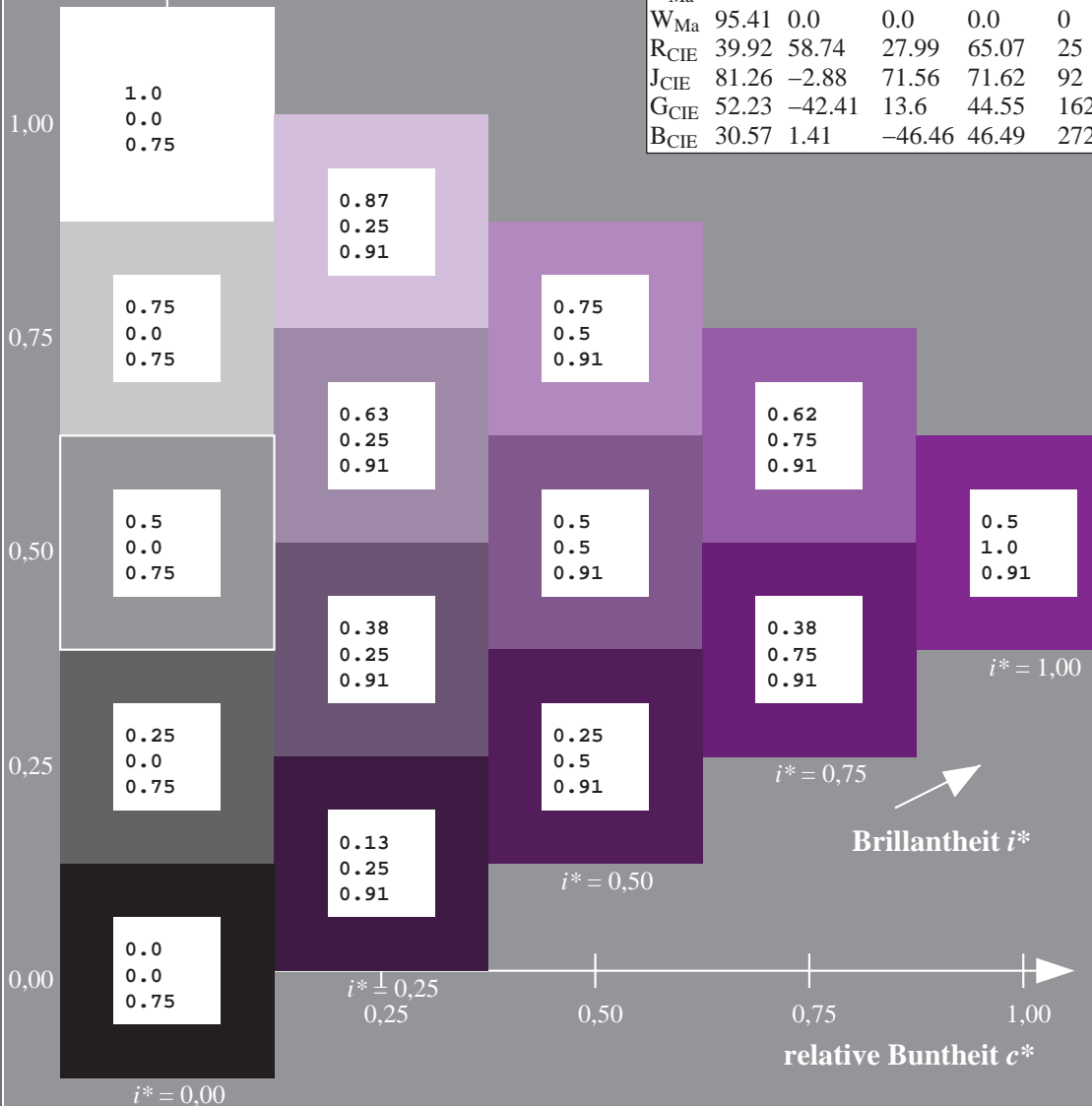
%Regularität

$g^*_{H,rel} = 57$

$g^*_{C,rel} = 59$

ORS18_95aM; adaptierte CIELAB-Daten

	$L^*=L^*_a$	a^*_a	b^*_a	$C^*_{ab,a}$	$h^*_{ab,a}$
r00j	48.0	68.4	32.59	75.77	25
r25j	51.32	59.36	53.8	80.11	42
r50j	62.67	39.12	64.83	75.72	59
r75j	73.73	19.4	75.58	78.03	76
j00g	86.61	-3.55	88.09	88.17	92
j25g	78.07	-26.64	74.05	78.7	110
j50g	65.83	-42.94	56.44	70.93	127
j75g	54.87	-57.53	40.67	70.47	145
g00b	52.54	-55.91	17.93	58.72	162
g25b	55.02	-45.5	-7.69	46.16	190
g50b	56.98	-37.23	-28.04	46.62	217
g75b	53.92	-21.56	-44.93	49.84	244
b00r	41.64	1.36	-44.7	44.73	272
b25r	28.53	25.85	-44.45	51.43	300
b50r	34.77	48.93	-29.85	57.32	329
b75r	48.12	74.52	-3.84	74.62	357



Daten für jede Farbe:

lab^*tch^* und lab^*icu^*

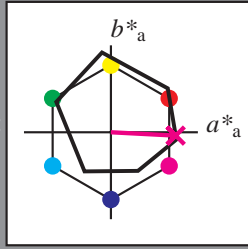
Elementar-Buntontext:

$u^* = b75r$

Kontrastreduzierungsfaktor:

$c_R = 1.0$

Dreiecks-Helligkeit t^*



ORS18_95aM; adaptierte CIELAB-Daten

	$L^*=L^*_a$	a^*_a	b^*_a	$C^*_{ab,a}$	$h^*_{ab,a}$
O _{Ma}	47.94	65.39	50.52	82.63	38
Y _{Ma}	90.37	-10.26	91.75	92.32	96
L _{Ma}	50.9	-62.83	34.96	71.91	151
C _{Ma}	58.62	-30.34	-45.01	54.3	236
V _{Ma}	25.72	31.1	-44.4	54.22	305
M _{Ma}	48.13	75.28	-8.36	75.74	354
N _{Ma}	18.01	0.0	0.0	0.0	0
W _{Ma}	95.41	0.0	0.0	0.0	0
R _{CIE}	39.92	58.74	27.99	65.07	25
J _{CIE}	81.26	-2.88	71.56	71.62	92
G _{CIE}	52.23	-42.41	13.6	44.55	162
B _{CIE}	30.57	1.41	-46.46	46.49	272

Daten für Maximalfarbe (Ma):

$LAB^*LAB^*_{Ma}: 48\ 75\ -3$

$LAB^*LCH^*_{Ma}: 48\ 75\ 357$

$lab^*rgb^*_{Ma}: 1.0\ 0.0\ 0.5$

$lab^*olv^*_{Ma}: 1.0\ 0.0\ 0.92$

Dreiecks-Helligkeit t^*

%Umfang

$u^*_{rel} = 93$

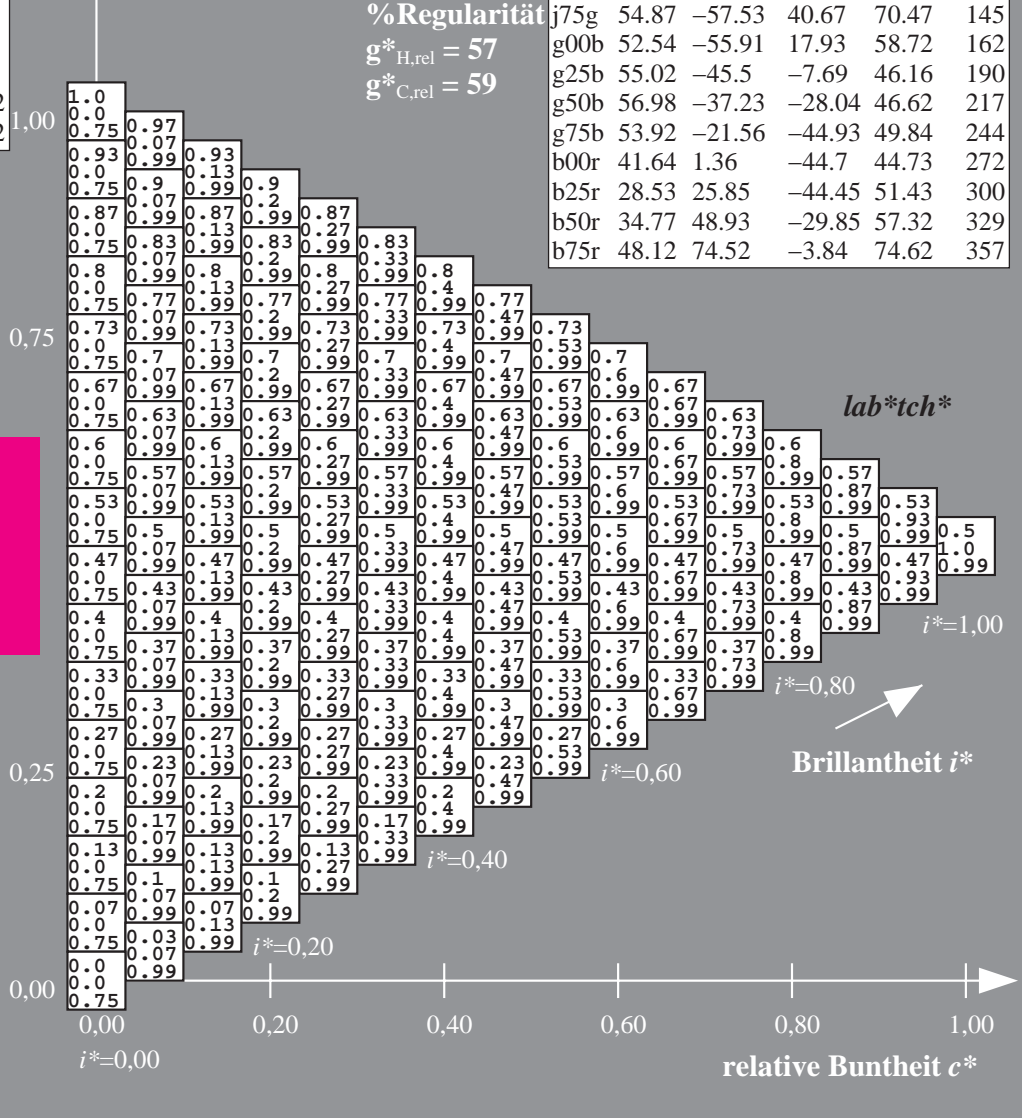
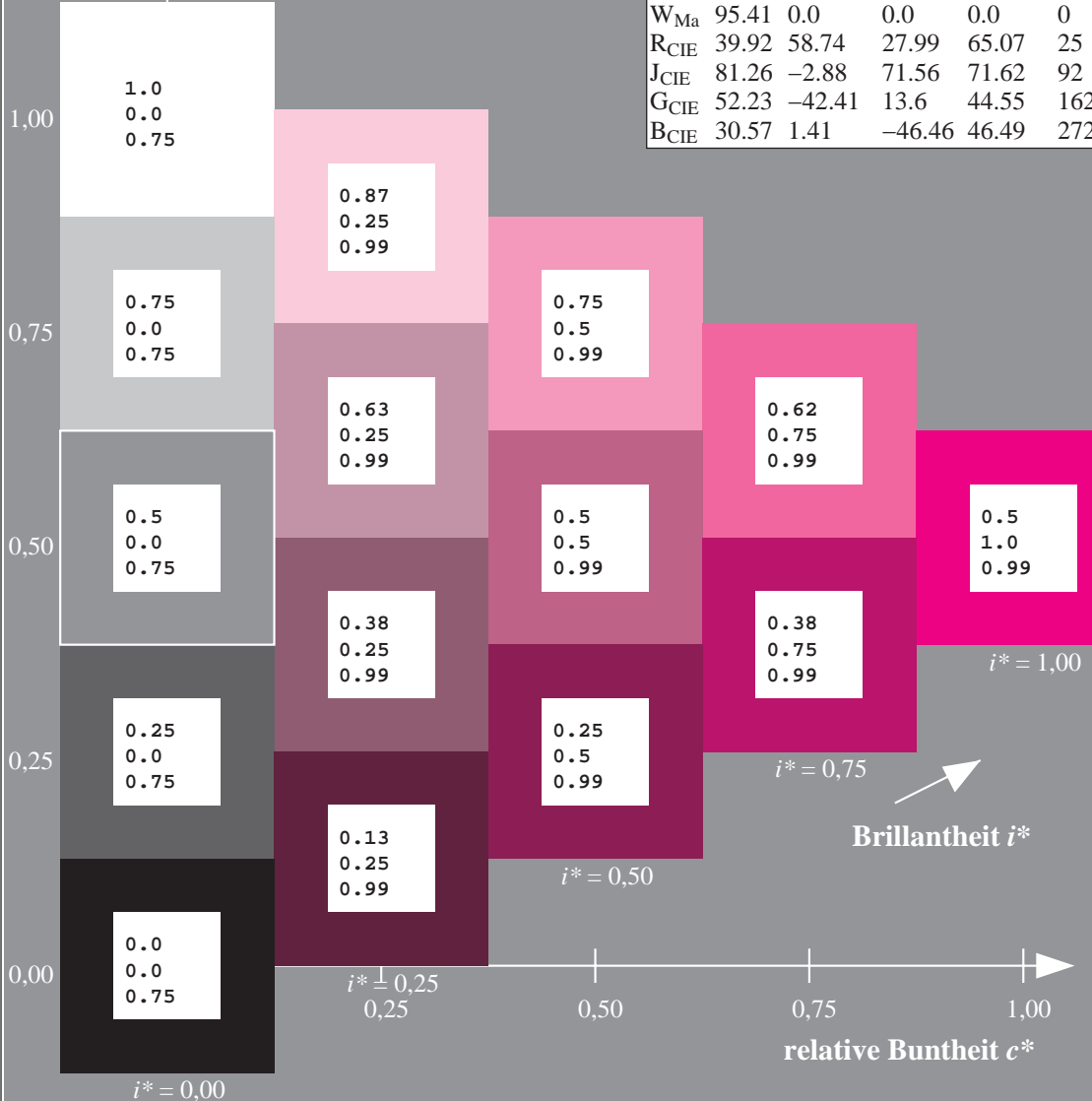
%Regularität

$g^*_{H,rel} = 57$

$g^*_{C,rel} = 59$

ORS18_95aM; adaptierte CIELAB-Daten

	$L^*=L^*_a$	a^*_a	b^*_a	$C^*_{ab,a}$	$h^*_{ab,a}$
r00j	48.0	68.4	32.59	75.77	25
r25j	51.32	59.36	53.8	80.11	42
r50j	62.67	39.12	64.83	75.72	59
r75j	73.73	19.4	75.58	78.03	76
j00g	86.61	-3.55	88.09	88.17	92
j25g	78.07	-26.64	74.05	78.7	110
j50g	65.83	-42.94	56.44	70.93	127
j75g	54.87	-57.53	40.67	70.47	145
g00b	52.54	-55.91	17.93	58.72	162
g25b	55.02	-45.5	-7.69	46.16	190
g50b	56.98	-37.23	-28.04	46.62	217
g75b	53.92	-21.56	-44.93	49.84	244
b00r	41.64	1.36	-44.7	44.73	272
b25r	28.53	25.85	-44.45	51.43	300
b50r	34.77	48.93	-29.85	57.32	329
b75r	48.12	74.52	-3.84	74.62	357



Ein und Ausgabe:
 Farbmimetrisches Drucker-Reflektiv-System ORS18_95aM

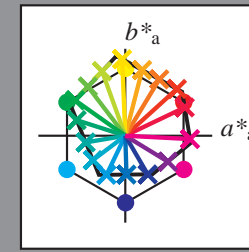
Daten für jede Farbe:
 $lab^*_{tch^*}$ und $lab^*_{icu^*}$

Elementar-Bunttontext:
 $u^* = 16$ Buntttöne $r00j, r25j, \dots, b75r$

Kontrastreduzierungsfaktor:
 $c_R = 1.0$

ORS18_95aM; adaptierte CIELAB-Daten

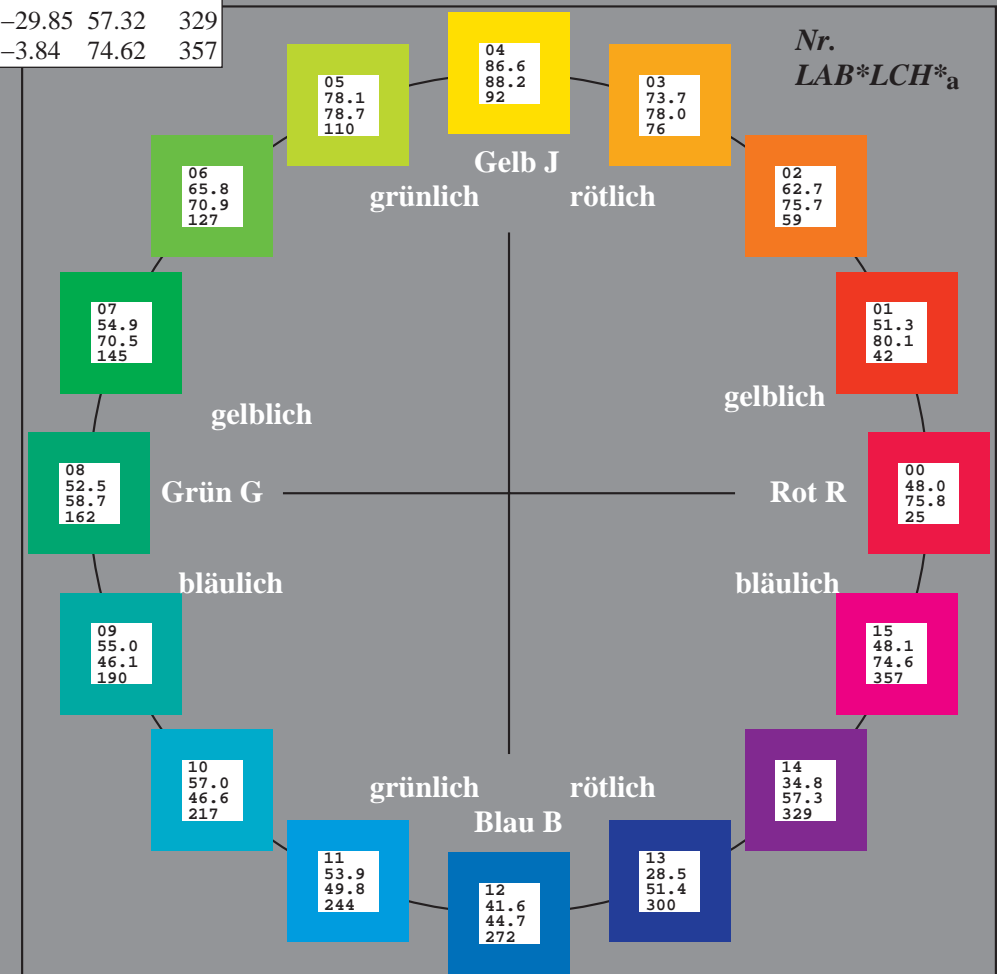
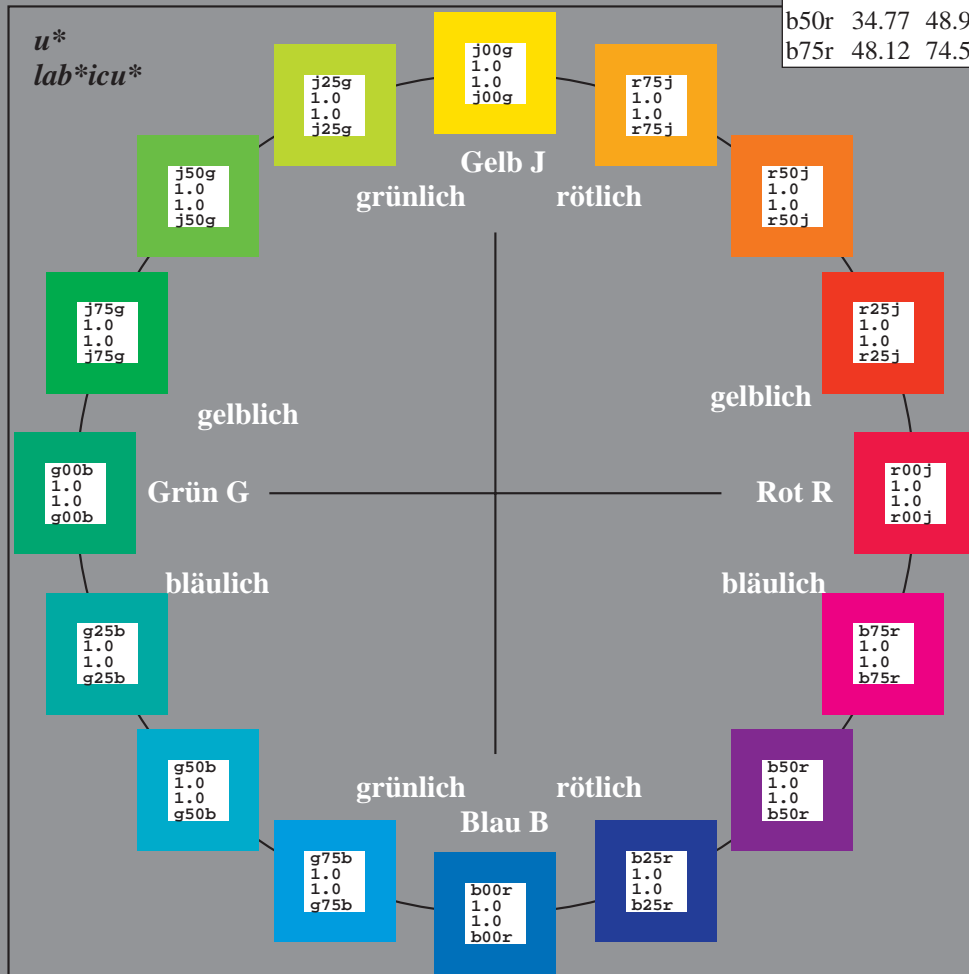
	$L^*=L^*_a$	a^*_a	b^*_a	$C^*_{ab,a}$	$h^*_{ab,a}$
r00j	48.0	68.4	32.59	75.77	25
r25j	51.32	59.36	53.8	80.11	42
r50j	62.67	39.12	64.83	75.72	59
r75j	73.73	19.4	75.58	78.03	76
j00g	86.61	-3.55	88.09	88.17	92
j25g	78.07	-26.64	74.05	78.7	110
j50g	65.83	-42.94	56.44	70.93	127
j75g	54.87	-57.53	40.67	70.47	145
g00b	52.54	-55.91	17.93	58.72	162
g25b	55.02	-45.5	-7.69	46.16	190
g50b	56.98	-37.23	-28.04	46.62	217
g75b	53.92	-21.56	-44.93	49.84	244
b00r	41.64	1.36	-44.7	44.73	272
b25r	28.53	25.85	-44.45	51.43	300
b50r	34.77	48.93	-29.85	57.32	329
b75r	48.12	74.52	-3.84	74.62	357



%Umfang
 $u^*_{rel} = 93$
 %Regularität
 $g^*_{H,rel} = 57$
 $g^*_{C,rel} = 59$

ORS18_95aM; adaptierte CIELAB-Daten

	$L^*=L^*_a$	a^*_a	b^*_a	$C^*_{ab,a}$	$h^*_{ab,a}$
O _{Ma}	47.94	65.39	50.52	82.63	38
Y _{Ma}	90.37	-10.26	91.75	92.32	96
L _{Ma}	50.9	-62.83	34.96	71.91	151
C _{Ma}	58.62	-30.34	-45.01	54.3	236
V _{Ma}	25.72	31.1	-44.4	54.22	305
M _{Ma}	48.13	75.28	-8.36	75.74	354
N _{Ma}	18.01	0.0	0.0	0.0	0
W _{Ma}	95.41	0.0	0.0	0.0	0
R _{CIE}	39.92	58.74	27.99	65.07	25
J _{CIE}	81.26	-2.88	71.56	71.62	92
G _{CIE}	52.23	-42.41	13.6	44.55	162
B _{CIE}	30.57	1.41	-46.46	46.49	272



Daten für jede Farbe:

lab^*ch^* und lab^*icu^*

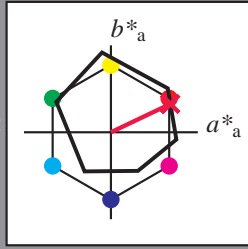
Elementar-Buntoncontext:

$u^* = r00j$

Kontrastreduzierungsfaktor:

$c_R = 1.0$

Dreiecks-Helligkeit t^*



ORS18_95aM; adaptierte CIELAB-Daten

	$L^*=L^*_a$	a^*_a	b^*_a	$C^*_{ab,a}$	$h^*_{ab,a}$
O _{Ma}	47.94	65.39	50.52	82.63	38
Y _{Ma}	90.37	-10.26	91.75	92.32	96
L _{Ma}	50.9	-62.83	34.96	71.91	151
C _{Ma}	58.62	-30.34	-45.01	54.3	236
V _{Ma}	25.72	31.1	-44.4	54.22	305
M _{Ma}	48.13	75.28	-8.36	75.74	354
N _{Ma}	18.01	0.0	0.0	0.0	0
W _{Ma}	95.41	0.0	0.0	0.0	0
R _{CIE}	39.92	58.74	27.99	65.07	25
J _{CIE}	81.26	-2.88	71.56	71.62	92
G _{CIE}	52.23	-42.41	13.6	44.55	162
B _{CIE}	30.57	1.41	-46.46	46.49	272

Daten für Maximalfarbe (Ma):

LAB*LAB*Ma: 48 68 33

LAB*LCH*Ma: 48 76 25

lab*rgb*Ma: 1.0 0.0 0.0

lab*olv*Ma: 1.0 0.0 0.3

Dreiecks-Helligkeit t^*

%Umfang

$u^*_{rel} = 93$

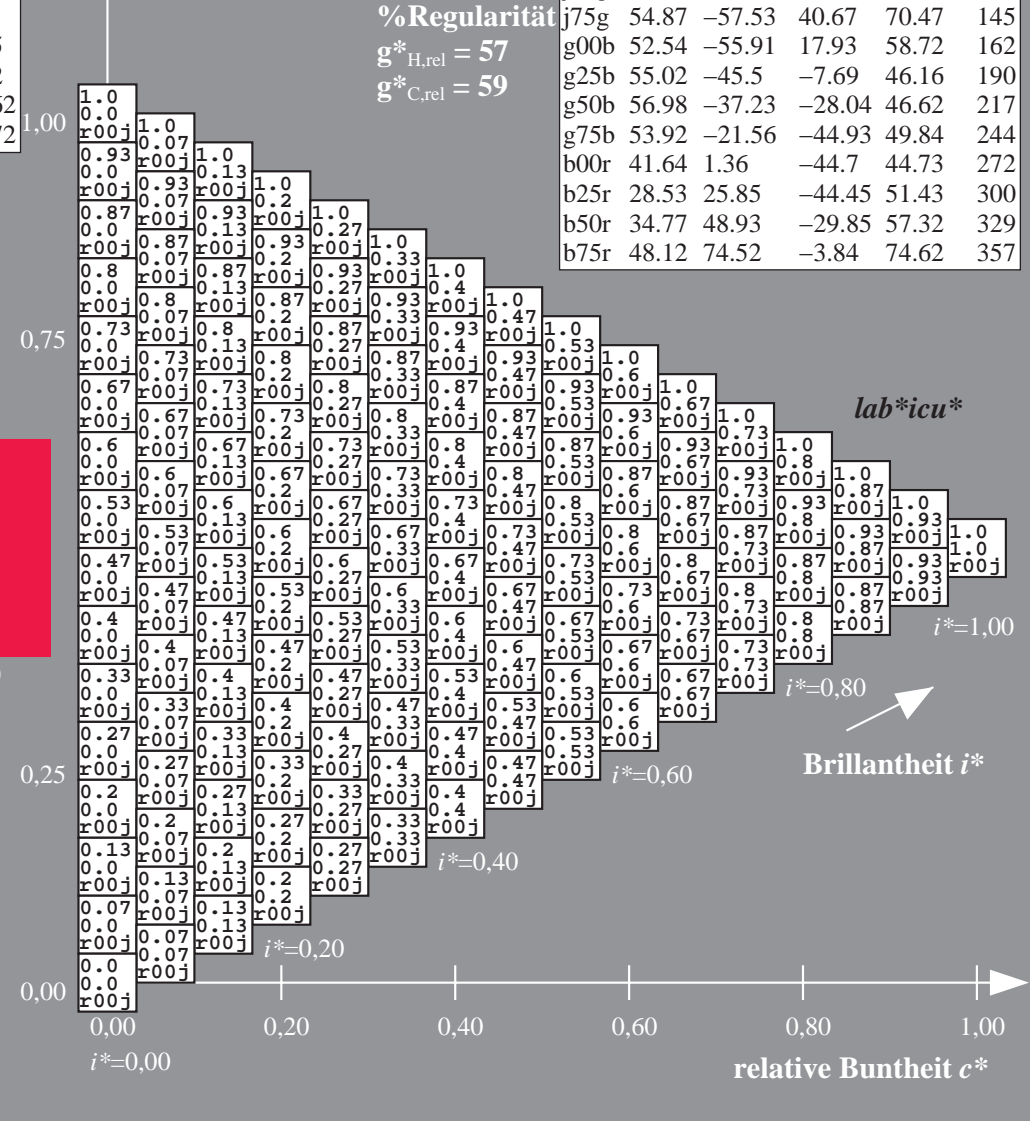
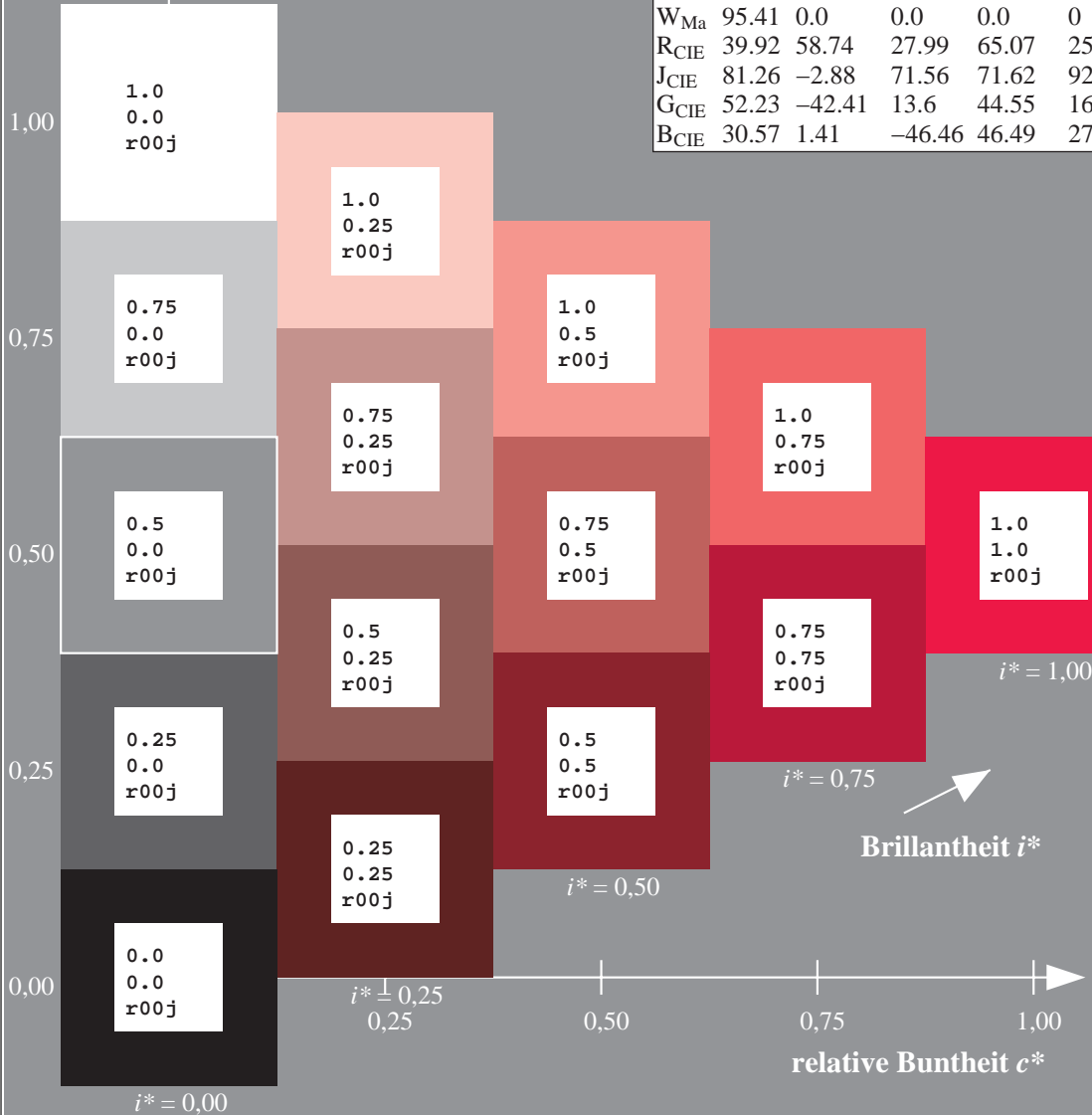
%Regularität

$g^*_{H,rel} = 57$

$g^*_{C,rel} = 59$

ORS18_95aM; adaptierte CIELAB-Daten

	$L^*=L^*_a$	a^*_a	b^*_a	$C^*_{ab,a}$	$h^*_{ab,a}$
r00j	48.0	68.4	32.59	75.77	25
r25j	51.32	59.36	53.8	80.11	42
r50j	62.67	39.12	64.83	75.72	59
r75j	73.73	19.4	75.58	78.03	76
j00g	86.61	-3.55	88.09	88.17	92
j25g	78.07	-26.64	74.05	78.7	110
j50g	65.83	-42.94	56.44	70.93	127
j75g	54.87	-57.53	40.67	70.47	145
g00b	52.54	-55.91	17.93	58.72	162
g25b	55.02	-45.5	-7.69	46.16	190
g50b	56.98	-37.23	-28.04	46.62	217
g75b	53.92	-21.56	-44.93	49.84	244
b00r	41.64	1.36	-44.7	44.73	272
b25r	28.53	25.85	-44.45	51.43	300
b50r	34.77	48.93	-29.85	57.32	329
b75r	48.12	74.52	-3.84	74.62	357



Daten für jede Farbe:

lab^*ch^* und lab^*icu^*

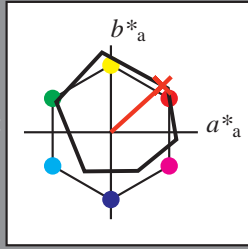
Elementar-Buntoncontext:

$u^* = r25j$

Kontrastreduzierungsfaktor:

$c_R = 1.0$

Dreiecks-Helligkeit t^*



ORS18_95aM; adaptierte CIELAB-Daten

	$L^* = \bar{L}^*_a$	a^*_a	b^*_a	$C^*_{ab,a}$	$h^*_{ab,a}$
O _{Ma}	47.94	65.39	50.52	82.63	38
Y _{Ma}	90.37	-10.26	91.75	92.32	96
L _{Ma}	50.9	-62.83	34.96	71.91	151
C _{Ma}	58.62	-30.34	-45.01	54.3	236
V _{Ma}	25.72	31.1	-44.4	54.22	305
M _{Ma}	48.13	75.28	-8.36	75.74	354
N _{Ma}	18.01	0.0	0.0	0.0	0
W _{Ma}	95.41	0.0	0.0	0.0	0
R _{CIE}	39.92	58.74	27.99	65.07	25
J _{CIE}	81.26	-2.88	71.56	71.62	92
G _{CIE}	52.23	-42.41	13.6	44.55	162
B _{CIE}	30.57	1.41	-46.46	46.49	272

Daten für Maximalfarbe (Ma):

$LAB^*LAB^*_{Ma}$: 51 59 54

$LAB^*LCH^*_{Ma}$: 51 80 42

$lab^*rgb^*_{Ma}$: 1.0 0.25 0.0

$lab^*olv^*_{Ma}$: 1.0 0.08 0.0

Dreiecks-Helligkeit t^*

%Umfang

$u^*_{rel} = 93$

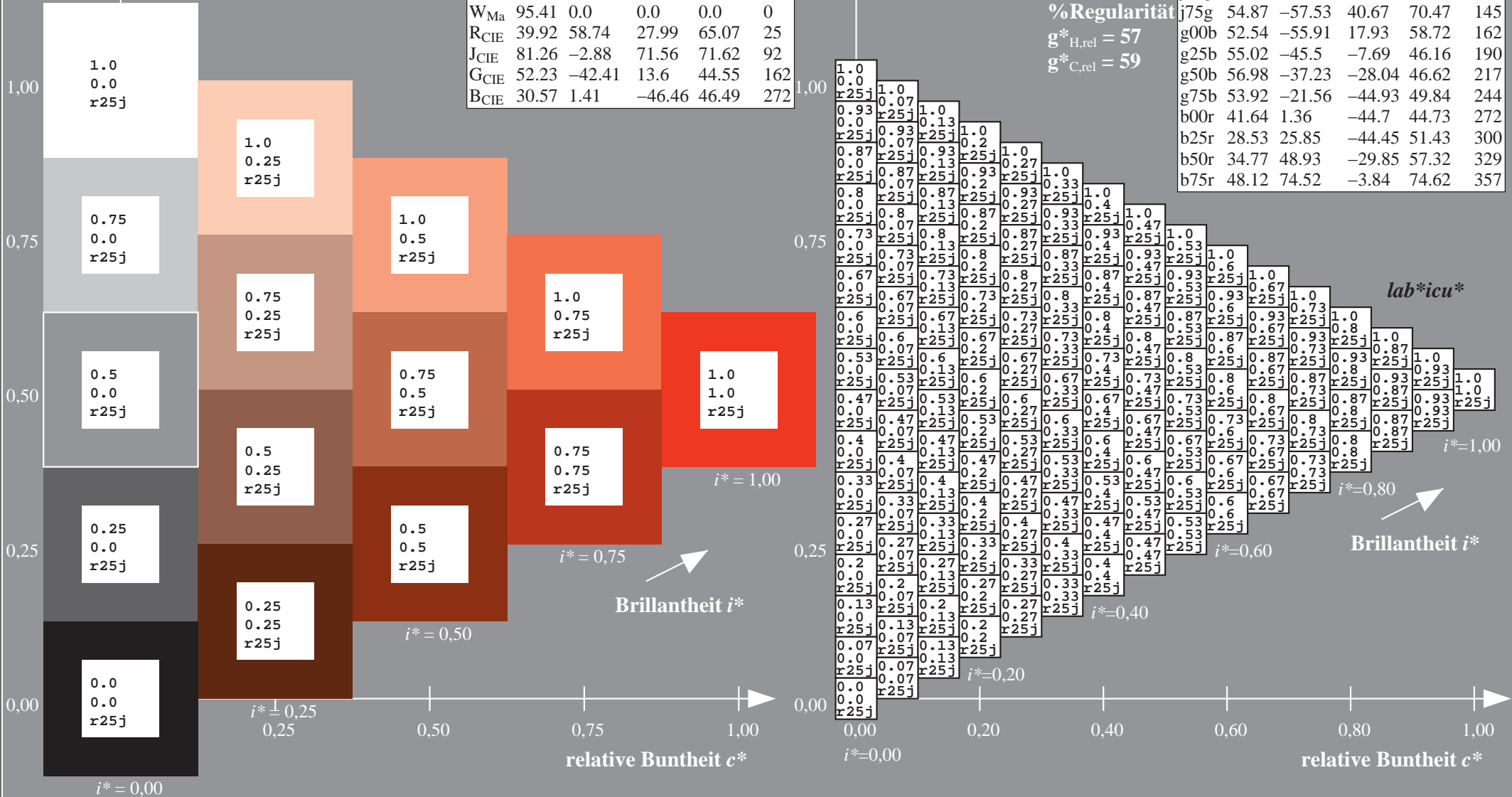
%Regularität

$g^*_{H,rel} = 57$

$g^*_{C,rel} = 59$

ORS18_95aM; adaptierte CIELAB-Daten

	$L^* = \bar{L}^*_a$	a^*_a	b^*_a	$C^*_{ab,a}$	$h^*_{ab,a}$
r00j	48.0	68.4	32.59	75.77	25
r25j	51.32	59.36	53.8	80.11	42
r50j	62.67	39.12	64.83	75.72	59
r75j	73.73	19.4	75.58	78.03	76
j00g	86.61	-3.55	88.09	88.17	92
j25g	78.07	-26.64	74.05	78.7	110
j50g	65.83	-42.94	56.44	70.93	127
j75g	54.87	-57.53	40.67	70.47	145
g00b	52.54	-55.91	17.93	58.72	162
g25b	55.02	-45.5	-7.69	46.16	190
g50b	56.98	-37.23	-28.04	46.62	217
g75b	53.92	-21.56	-44.93	49.84	244
b00r	41.64	1.36	-44.7	44.73	272
b25r	28.53	25.85	-44.45	51.43	300
b50r	34.77	48.93	-29.85	57.32	329
b75r	48.12	74.52	-3.84	74.62	357



Daten für jede Farbe:

lab^*ch^* und lab^*icu^*

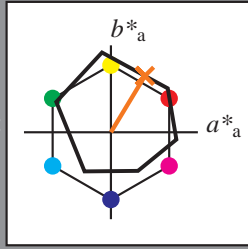
Elementar-Buntontext:

$u^* = r50j$

Kontrastreduzierungsfaktor:

$c_R = 1.0$

Dreiecks-Helligkeit t^*



ORS18_95aM; adaptierte CIELAB-Daten

	$L^*=L^*_a$	a^*_a	b^*_a	$C^*_{ab,a}$	$h^*_{ab,a}$
O _{Ma}	47.94	65.39	50.52	82.63	38
Y _{Ma}	90.37	-10.26	91.75	92.32	96
L _{Ma}	50.9	-62.83	34.96	71.91	151
C _{Ma}	58.62	-30.34	-45.01	54.3	236
V _{Ma}	25.72	31.1	-44.4	54.22	305
M _{Ma}	48.13	75.28	-8.36	75.74	354
N _{Ma}	18.01	0.0	0.0	0.0	0
W _{Ma}	95.41	0.0	0.0	0.0	0
R _{CIE}	39.92	58.74	27.99	65.07	25
J _{CIE}	81.26	-2.88	71.56	71.62	92
G _{CIE}	52.23	-42.41	13.6	44.55	162
B _{CIE}	30.57	1.41	-46.46	46.49	272

Daten für Maximalfarbe (Ma):

LAB*LAB*Ma: 63 39 65

LAB*LCH*Ma: 63 76 59

lab*rgb*Ma: 1.0 0.5 0.0

lab*olv*Ma: 1.0 0.35 0.0

Dreiecks-Helligkeit t^*

%Umfang

$u^*_{rel} = 93$

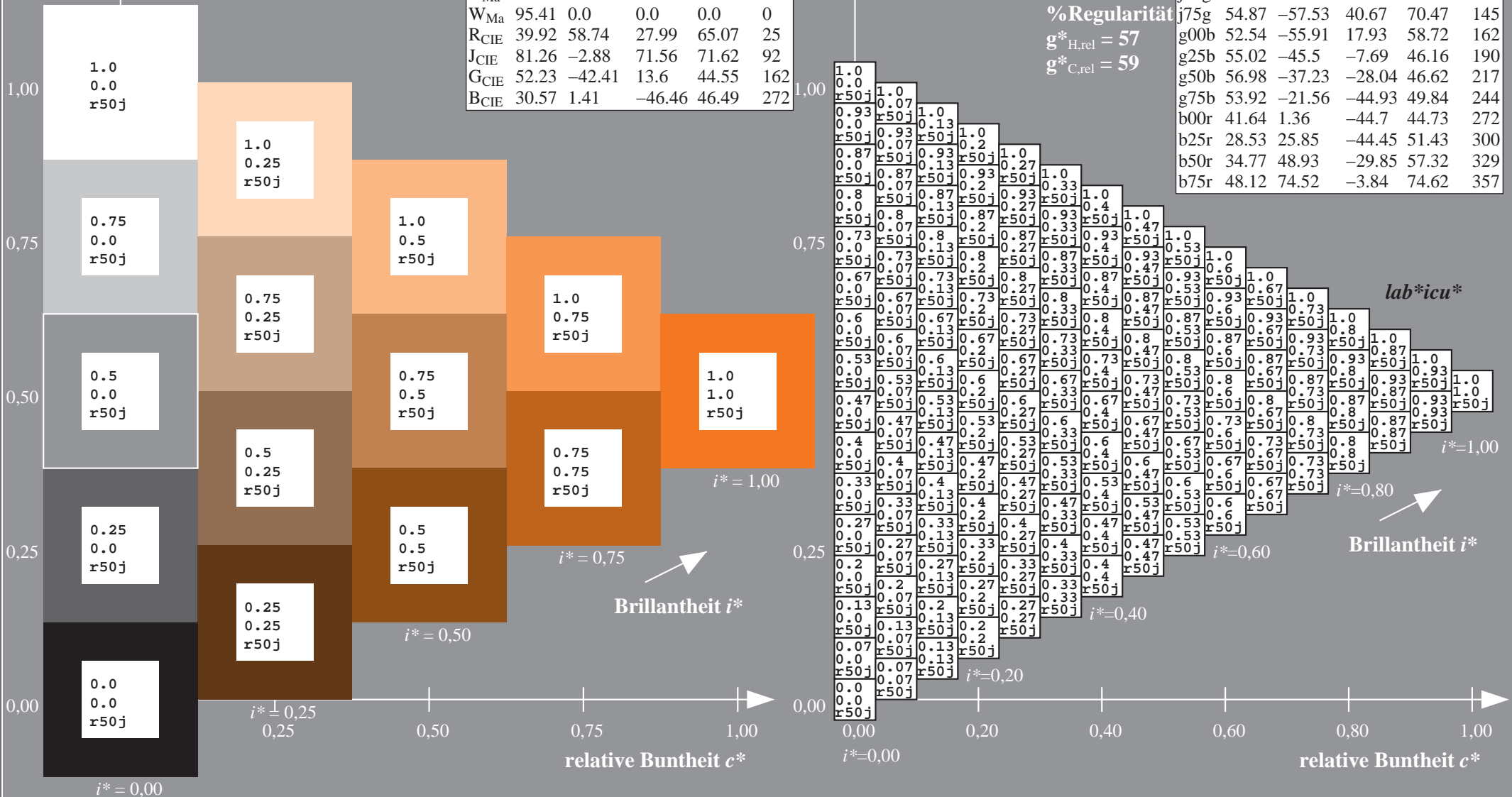
%Regularität

$g^*_{H,rel} = 57$

$g^*_{C,rel} = 59$

ORS18_95aM; adaptierte CIELAB-Daten

	$L^*=L^*_a$	a^*_a	b^*_a	$C^*_{ab,a}$	$h^*_{ab,a}$
r00j	48.0	68.4	32.59	75.77	25
r25j	51.32	59.36	53.8	80.11	42
r50j	62.67	39.12	64.83	75.72	59
r75j	73.73	19.4	75.58	78.03	76
j00g	86.61	-3.55	88.09	88.17	92
j25g	78.07	-26.64	74.05	78.7	110
j50g	65.83	-42.94	56.44	70.93	127
j75g	54.87	-57.53	40.67	70.47	145
g00b	52.54	-55.91	17.93	58.72	162
g25b	55.02	-45.5	-7.69	46.16	190
g50b	56.98	-37.23	-28.04	46.62	217
g75b	53.92	-21.56	-44.93	49.84	244
b00r	41.64	1.36	-44.7	44.73	272
b25r	28.53	25.85	-44.45	51.43	300
b50r	34.77	48.93	-29.85	57.32	329
b75r	48.12	74.52	-3.84	74.62	357



Daten für jede Farbe:

lab^*ch^* und lab^*icu^*

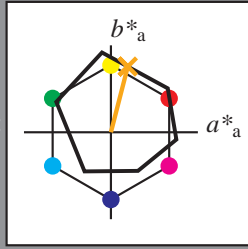
Elementar-Buntontext:

$u^* = r75j$

Kontrastreduzierungsfaktor:

$c_R = 1.0$

Dreiecks-Helligkeit t^*



ORS18_95aM; adaptierte CIELAB-Daten

	$L^*=L^*_a$	a^*_a	b^*_a	$C^*_{ab,a}$	$h^*_{ab,a}$
O _{Ma}	47.94	65.39	50.52	82.63	38
Y _{Ma}	90.37	-10.26	91.75	92.32	96
L _{Ma}	50.9	-62.83	34.96	71.91	151
C _{Ma}	58.62	-30.34	-45.01	54.3	236
V _{Ma}	25.72	31.1	-44.4	54.22	305
M _{Ma}	48.13	75.28	-8.36	75.74	354
N _{Ma}	18.01	0.0	0.0	0.0	0
W _{Ma}	95.41	0.0	0.0	0.0	0
R _{CIE}	39.92	58.74	27.99	65.07	25
J _{CIE}	81.26	-2.88	71.56	71.62	92
G _{CIE}	52.23	-42.41	13.6	44.55	162
B _{CIE}	30.57	1.41	-46.46	46.49	272

Daten für Maximalfarbe (Ma):

LAB*LAB*Ma: 74 19 76

LAB*LCH*Ma: 74 78 76

lab*rgb*Ma: 1.0 0.75 0.0

lab*olv*Ma: 1.0 0.61 0.0

Dreiecks-Helligkeit t^*

%Umfang

$u^*_{rel} = 93$

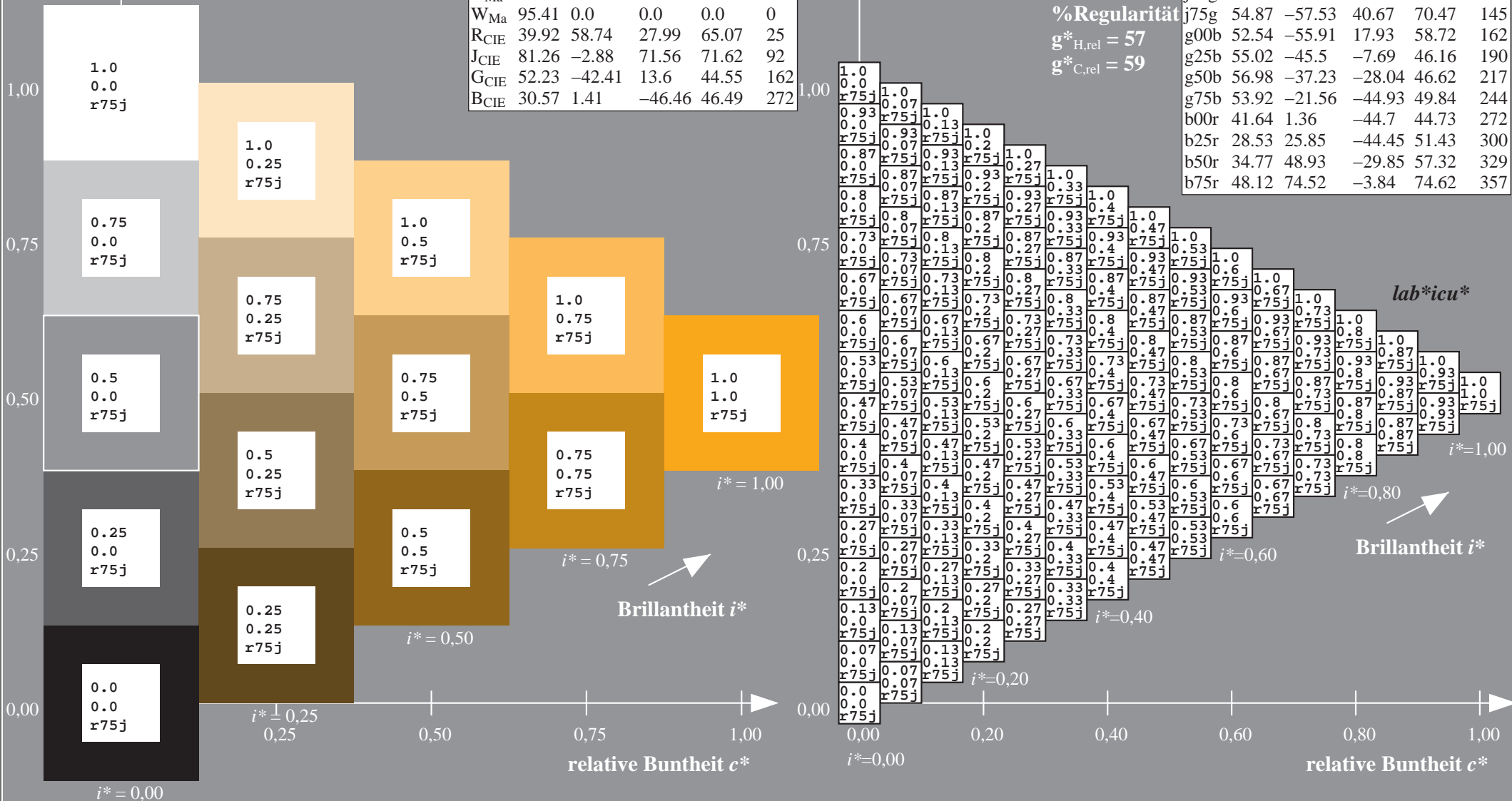
%Regularität

$g^*_{H,rel} = 57$

$g^*_{C,rel} = 59$

ORS18_95aM; adaptierte CIELAB-Daten

	$L^*=L^*_a$	a^*_a	b^*_a	$C^*_{ab,a}$	$h^*_{ab,a}$
r00j	48.0	68.4	32.59	75.77	25
r25j	51.32	59.36	53.8	80.11	42
r50j	62.67	39.12	64.83	75.72	59
r75j	73.73	19.4	75.58	78.03	76
j00g	86.61	-3.55	88.09	88.17	92
j25g	78.07	-26.64	74.05	78.7	110
j50g	65.83	-42.94	56.44	70.93	127
j75g	54.87	-57.53	40.67	70.47	145
g00b	52.54	-55.91	17.93	58.72	162
g25b	55.02	-45.5	-7.69	46.16	190
g50b	56.98	-37.23	-28.04	46.62	217
g75b	53.92	-21.56	-44.93	49.84	244
b00r	41.64	1.36	-44.7	44.73	272
b25r	28.53	25.85	-44.45	51.43	300
b50r	34.77	48.93	-29.85	57.32	329
b75r	48.12	74.52	-3.84	74.62	357



Daten für jede Farbe:

lab^*ch^* und lab^*icu^*

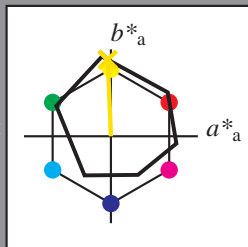
Elementar-Buntontext:

$u^* = j00g$

Kontrastreduzierungsfaktor:

$c_R = 1.0$

Dreiecks-Helligkeit t^*



ORS18_95aM; adaptierte CIELAB-Daten

	$L^*=L^*_a$	a^*_a	b^*_a	$C^*_{ab,a}$	$h^*_{ab,a}$
O _{Ma}	47.94	65.39	50.52	82.63	38
Y _{Ma}	90.37	-10.26	91.75	92.32	96
L _{Ma}	50.9	-62.83	34.96	71.91	151
C _{Ma}	58.62	-30.34	-45.01	54.3	236
V _{Ma}	25.72	31.1	-44.4	54.22	305
M _{Ma}	48.13	75.28	-8.36	75.74	354
N _{Ma}	18.01	0.0	0.0	0.0	0
W _{Ma}	95.41	0.0	0.0	0.0	0
R _{CIE}	39.92	58.74	27.99	65.07	25
J _{CIE}	81.26	-2.88	71.56	71.62	92
G _{CIE}	52.23	-42.41	13.6	44.55	162
B _{CIE}	30.57	1.41	-46.46	46.49	272

Daten für Maximalfarbe (Ma):

$LAB^*LAB^*Ma: 87 -3 88$

$LAB^*LCH^*Ma: 87 88 92$

$lab^*rgb^*Ma: 1.0 1.0 0.0$

$lab^*olv^*Ma: 1.0 0.91 0.0$

Dreiecks-Helligkeit t^*

%Umfang

$u^*_{rel} = 93$

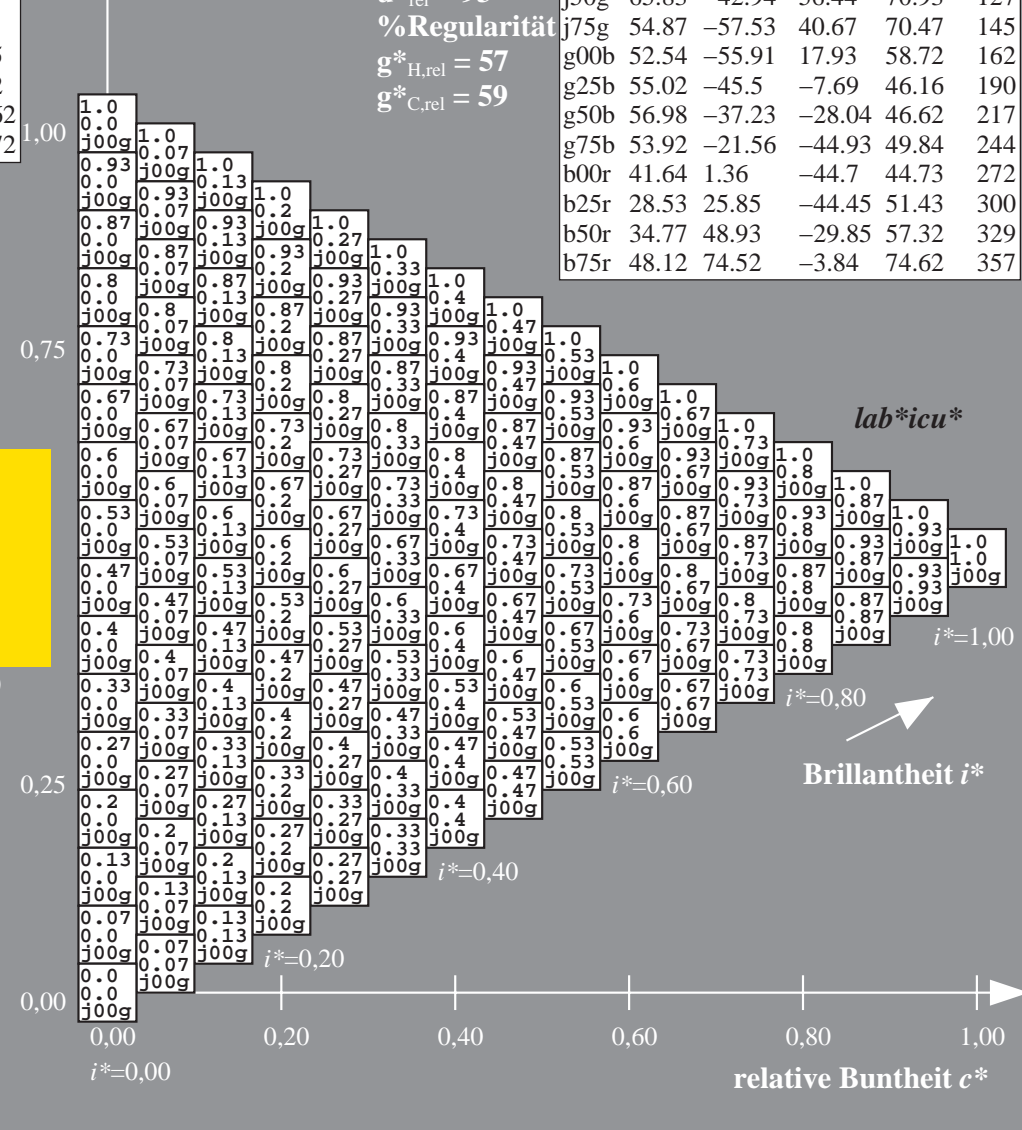
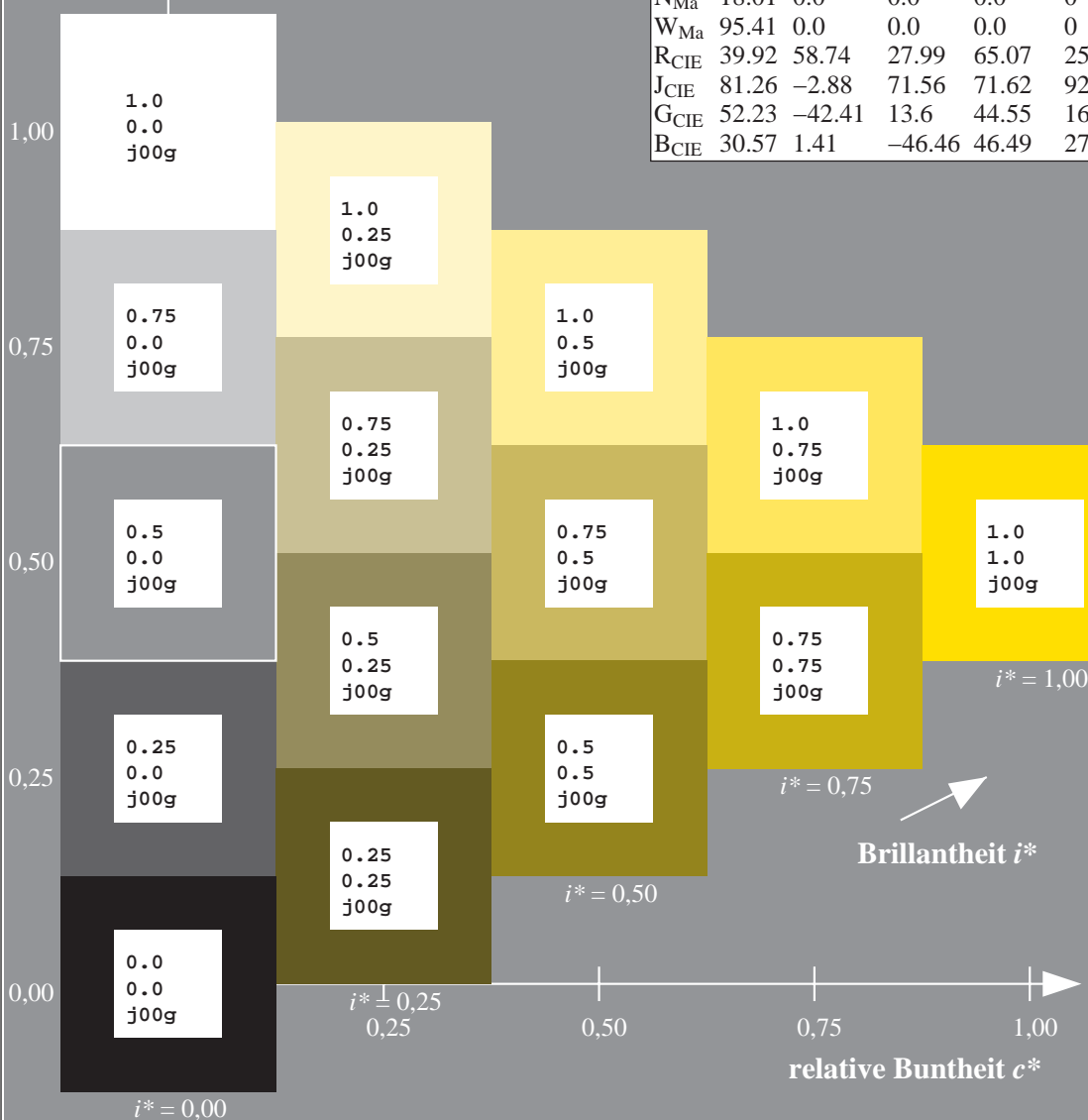
%Regularität

$g^*_{H,rel} = 57$

$g^*_{C,rel} = 59$

ORS18_95aM; adaptierte CIELAB-Daten

	$L^*=L^*_a$	a^*_a	b^*_a	$C^*_{ab,a}$	$h^*_{ab,a}$
r00j	48.0	68.4	32.59	75.77	25
r25j	51.32	59.36	53.8	80.11	42
r50j	62.67	39.12	64.83	75.72	59
r75j	73.73	19.4	75.58	78.03	76
j00g	86.61	-3.55	88.09	88.17	92
j25g	78.07	-26.64	74.05	78.7	110
j50g	65.83	-42.94	56.44	70.93	127
j75g	54.87	-57.53	40.67	70.47	145
g00b	52.54	-55.91	17.93	58.72	162
g25b	55.02	-45.5	-7.69	46.16	190
g50b	56.98	-37.23	-28.04	46.62	217
g75b	53.92	-21.56	-44.93	49.84	244
b00r	41.64	1.36	-44.7	44.73	272
b25r	28.53	25.85	-44.45	51.43	300
b50r	34.77	48.93	-29.85	57.32	329
b75r	48.12	74.52	-3.84	74.62	357



Ein und Ausgabe: Farbmetrisches Drucker-Reflektiv-System ORS18_95aM für relativen CIELAB-Bunton $h^* = lab^*h^* = h_{ab}/360 = 110/360 = 0.305$ $u^* = j25g$

Daten für jede Farbe:

lab^*ch^* und lab^*icu^*

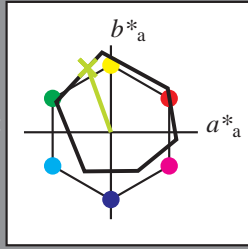
Elementar-Buntontext:

$u^* = j25g$

Kontrastreduzierungsfaktor:

$c_R = 1.0$

Dreiecks-Helligkeit t^*



ORS18_95aM; adaptierte CIELAB-Daten

	$L^*=L^*_a$	a^*_a	b^*_a	$C^*_{ab,a}$	$h^*_{ab,a}$
O _{Ma}	47.94	65.39	50.52	82.63	38
Y _{Ma}	90.37	-10.26	91.75	92.32	96
L _{Ma}	50.9	-62.83	34.96	71.91	151
C _{Ma}	58.62	-30.34	-45.01	54.3	236
V _{Ma}	25.72	31.1	-44.4	54.22	305
M _{Ma}	48.13	75.28	-8.36	75.74	354
N _{Ma}	18.01	0.0	0.0	0.0	0
W _{Ma}	95.41	0.0	0.0	0.0	0
R _{CIE}	39.92	58.74	27.99	65.07	25
J _{CIE}	81.26	-2.88	71.56	71.62	92
G _{CIE}	52.23	-42.41	13.6	44.55	162
B _{CIE}	30.57	1.41	-46.46	46.49	272

Daten für Maximalfarbe (Ma):

$LAB^*LAB^*_{Ma}$: 78 -26 74

$LAB^*LCH^*_{Ma}$: 78 79 110

$lab^*rgb^*_{Ma}$: 0.75 1.0 0.0

$lab^*olv^*_{Ma}$: 0.69 1.0 0.0

Dreiecks-Helligkeit t^*

%Umfang

$u^*_{rel} = 93$

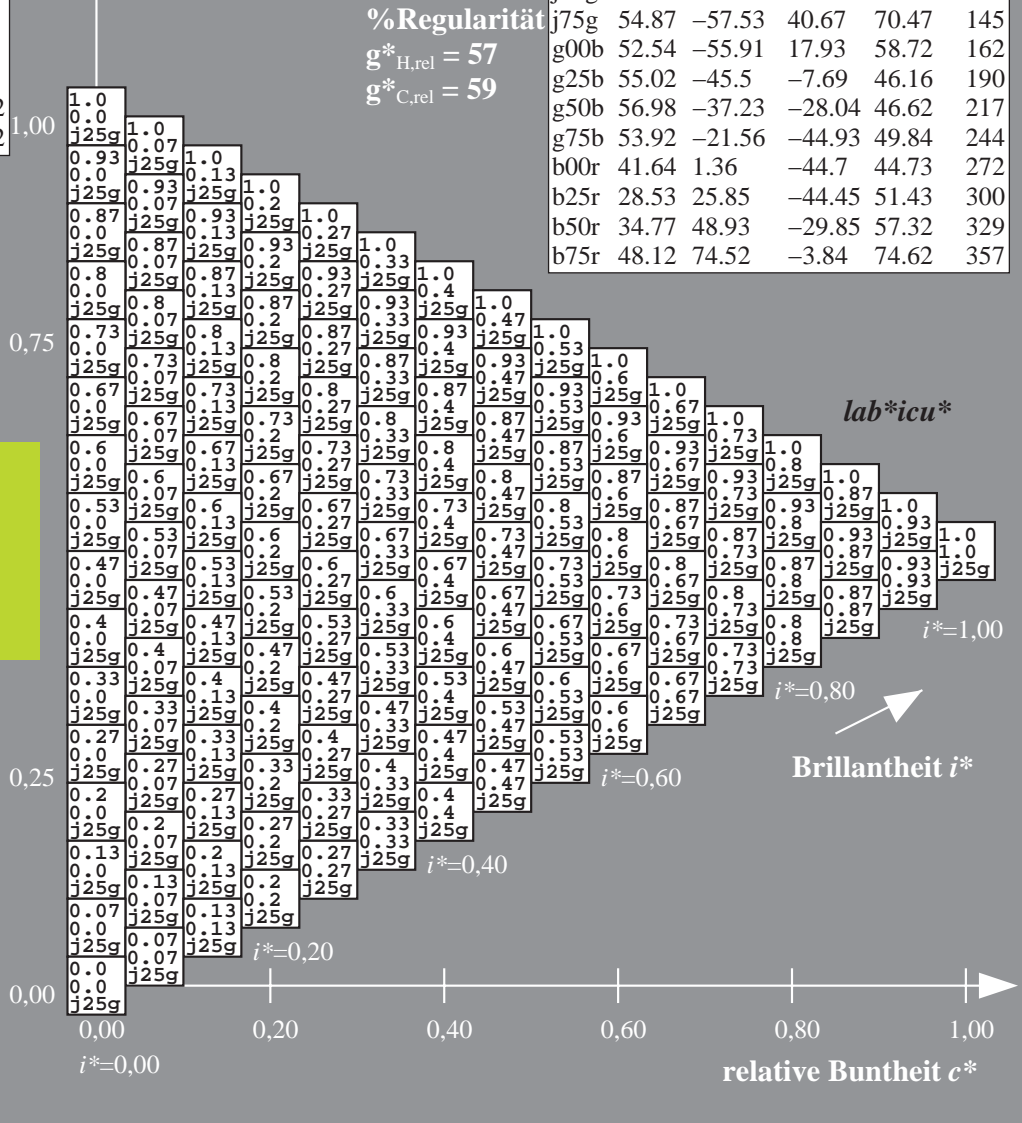
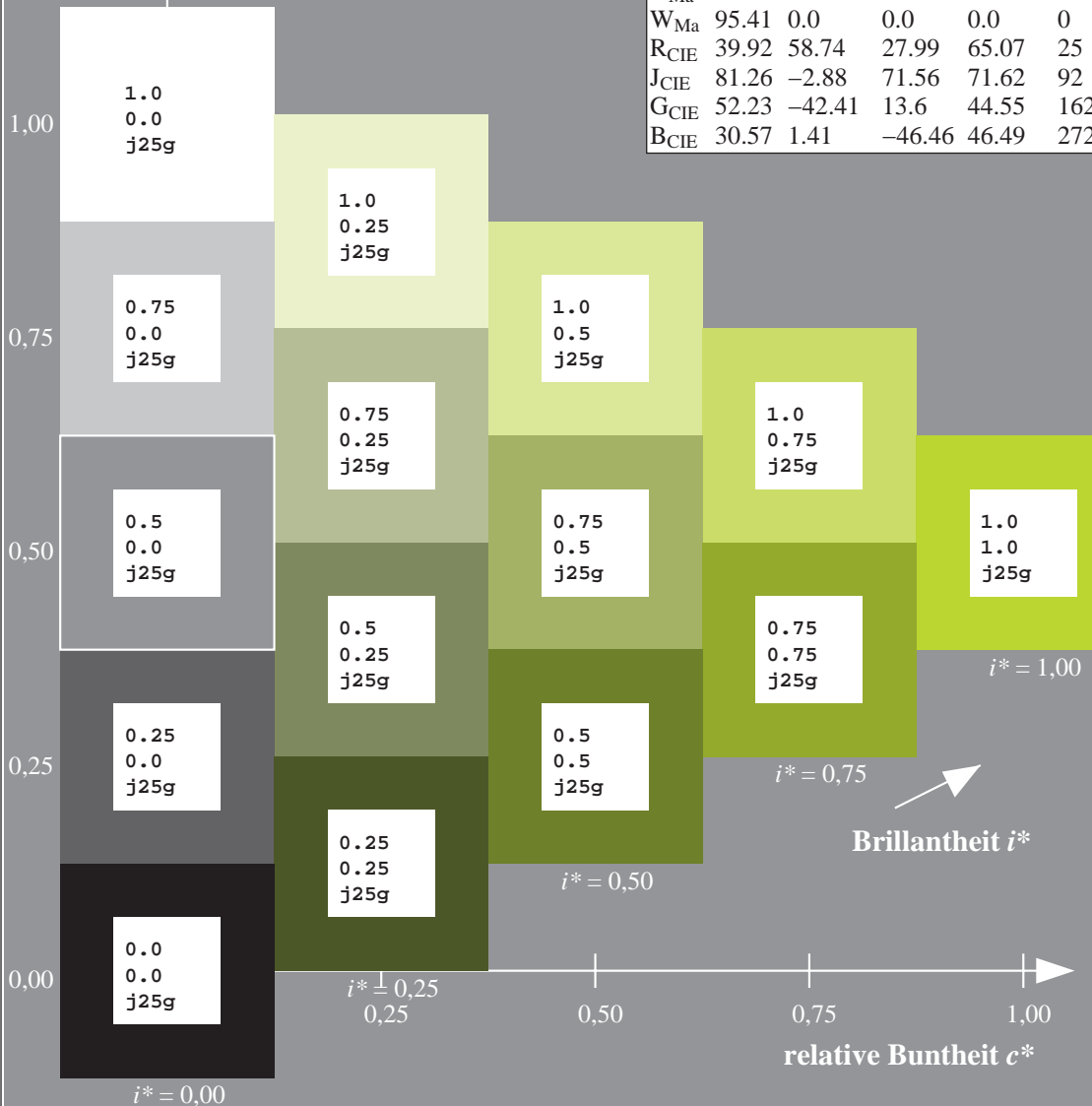
%Regularität

$g^*_{H,rel} = 57$

$g^*_{C,rel} = 59$

ORS18_95aM; adaptierte CIELAB-Daten

	$L^*=L^*_a$	a^*_a	b^*_a	$C^*_{ab,a}$	$h^*_{ab,a}$
r00j	48.0	68.4	32.59	75.77	25
r25j	51.32	59.36	53.8	80.11	42
r50j	62.67	39.12	64.83	75.72	59
r75j	73.73	19.4	75.58	78.03	76
j00g	86.61	-3.55	88.09	88.17	92
j25g	78.07	-26.64	74.05	78.7	110
j50g	65.83	-42.94	56.44	70.93	127
j75g	54.87	-57.53	40.67	70.47	145
g00b	52.54	-55.91	17.93	58.72	162
g25b	55.02	-45.5	-7.69	46.16	190
g50b	56.98	-37.23	-28.04	46.62	217
g75b	53.92	-21.56	-44.93	49.84	244
b00r	41.64	1.36	-44.7	44.73	272
b25r	28.53	25.85	-44.45	51.43	300
b50r	34.77	48.93	-29.85	57.32	329
b75r	48.12	74.52	-3.84	74.62	357



Ein und Ausgabe: Farbmetrisches Drucker-Reflektiv-System ORS18_95aM für relativen CIELAB-Bunton $h^* = lab^*h^* = h_{ab}/360 = 127/360 = 0.354 u^* = j50g$

Daten für jede Farbe:

lab^*ch^* und lab^*icu^*

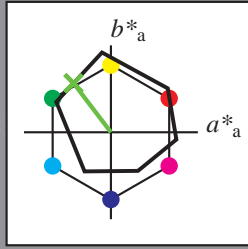
Elementar-Buntoncontext:

$u^* = j50g$

Kontrastreduzierungsfaktor:

$c_R = 1.0$

Dreiecks-Helligkeit t^*



ORS18_95aM; adaptierte CIELAB-Daten

	$L^*=L^*_a$	a^*_a	b^*_a	$C^*_{ab,a}$	$h^*_{ab,a}$
O _{Ma}	47.94	65.39	50.52	82.63	38
Y _{Ma}	90.37	-10.26	91.75	92.32	96
L _{Ma}	50.9	-62.83	34.96	71.91	151
C _{Ma}	58.62	-30.34	-45.01	54.3	236
V _{Ma}	25.72	31.1	-44.4	54.22	305
M _{Ma}	48.13	75.28	-8.36	75.74	354
N _{Ma}	18.01	0.0	0.0	0.0	0
W _{Ma}	95.41	0.0	0.0	0.0	0
R _{CIE}	39.92	58.74	27.99	65.07	25
J _{CIE}	81.26	-2.88	71.56	71.62	92
G _{CIE}	52.23	-42.41	13.6	44.55	162
B _{CIE}	30.57	1.41	-46.46	46.49	272

Daten für Maximalfarbe (Ma):

$LAB^*LAB^*Ma: 66 -42 56$

$LAB^*LCH^*Ma: 66 71 127$

$lab^*rgb^*Ma: 0.5 1.0 0.0$

$lab^*olv^*Ma: 0.38 1.0 0.0$

Dreiecks-Helligkeit t^*

%Umfang

$u^*_{rel} = 93$

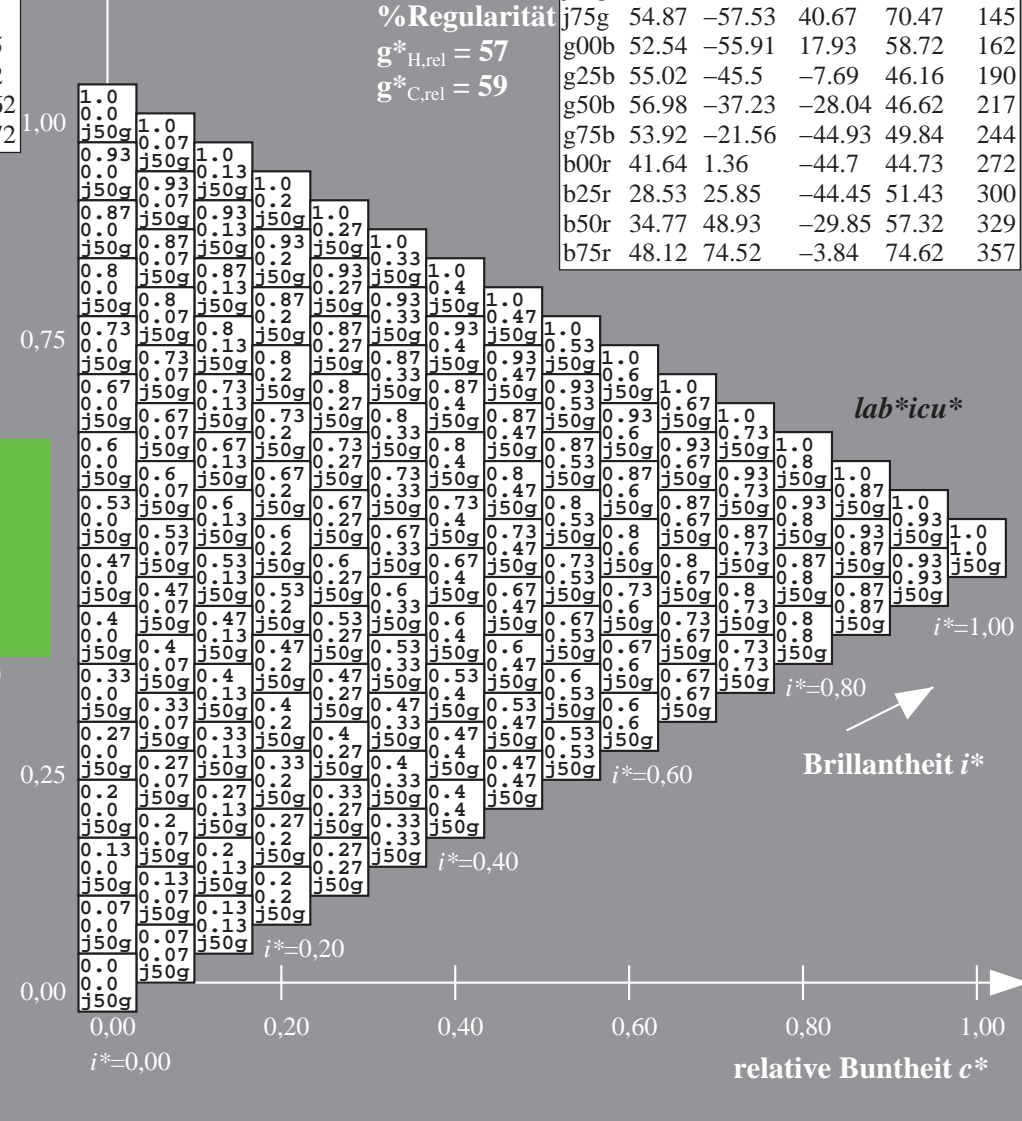
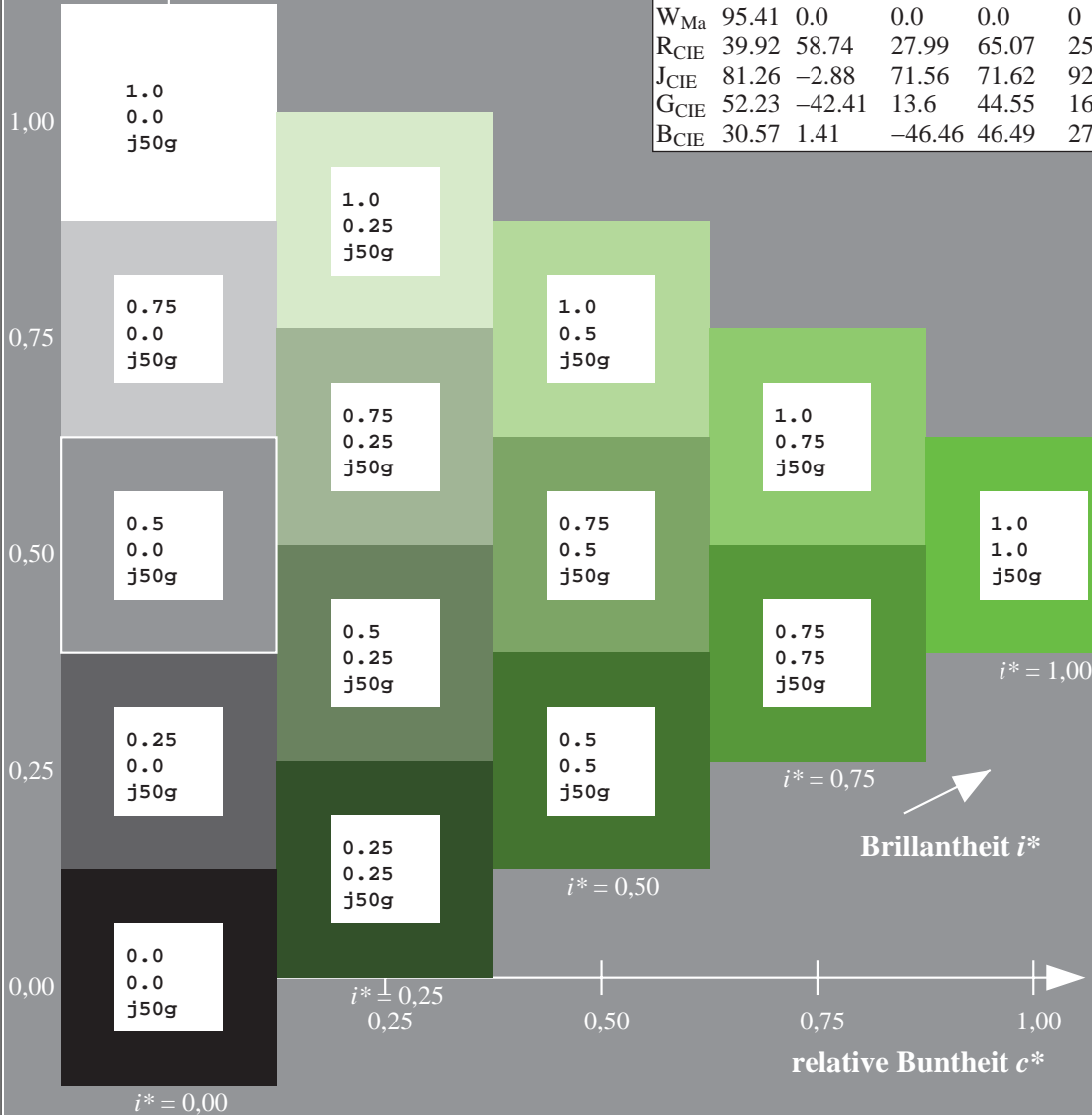
%Regularität

$g^*_{H,rel} = 57$

$g^*_{C,rel} = 59$

ORS18_95aM; adaptierte CIELAB-Daten

	$L^*=L^*_a$	a^*_a	b^*_a	$C^*_{ab,a}$	$h^*_{ab,a}$
r00j	48.0	68.4	32.59	75.77	25
r25j	51.32	59.36	53.8	80.11	42
r50j	62.67	39.12	64.83	75.72	59
r75j	73.73	19.4	75.58	78.03	76
j00g	86.61	-3.55	88.09	88.17	92
j25g	78.07	-26.64	74.05	78.7	110
j50g	65.83	-42.94	56.44	70.93	127
j75g	54.87	-57.53	40.67	70.47	145
g00b	52.54	-55.91	17.93	58.72	162
g25b	55.02	-45.5	-7.69	46.16	190
g50b	56.98	-37.23	-28.04	46.62	217
g75b	53.92	-21.56	-44.93	49.84	244
b00r	41.64	1.36	-44.7	44.73	272
b25r	28.53	25.85	-44.45	51.43	300
b50r	34.77	48.93	-29.85	57.32	329
b75r	48.12	74.52	-3.84	74.62	357



Ein und Ausgabe: Farbmetrisches Drucker-Reflektiv-System ORS18_95aM für relativen CIELAB-Bunton $h^* = lab^*h^* = h_{ab}/360 = 145/360 = 0.402$ $u^* = j75g$

Daten für jede Farbe:

lab^*ch^* und lab^*icu^*

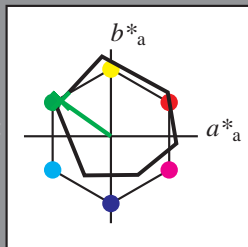
Elementar-Buntonkontext:

$u^* = j75g$

Kontrastreduzierungsfaktor:

$c_R = 1.0$

Dreiecks-Helligkeit t^*



ORS18_95aM; adaptierte CIELAB-Daten

	$L^*=L^*_a$	a^*_a	b^*_a	$C^*_{ab,a}$	$h^*_{ab,a}$
O _{Ma}	47.94	65.39	50.52	82.63	38
Y _{Ma}	90.37	-10.26	91.75	92.32	96
L _{Ma}	50.9	-62.83	34.96	71.91	151
C _{Ma}	58.62	-30.34	-45.01	54.3	236
V _{Ma}	25.72	31.1	-44.4	54.22	305
M _{Ma}	48.13	75.28	-8.36	75.74	354
N _{Ma}	18.01	0.0	0.0	0.0	0
W _{Ma}	95.41	0.0	0.0	0.0	0
R _{CIE}	39.92	58.74	27.99	65.07	25
J _{CIE}	81.26	-2.88	71.56	71.62	92
G _{CIE}	52.23	-42.41	13.6	44.55	162
B _{CIE}	30.57	1.41	-46.46	46.49	272

Daten für Maximalfarbe (Ma):

$LAB^*LAB^*_{Ma}$: 55 -57 41

$LAB^*LCH^*_{Ma}$: 55 70 145

$lab^*rgb^*_{Ma}$: 0.25 1.0 0.0

$lab^*olv^*_{Ma}$: 0.1 1.0 0.0

Dreiecks-Helligkeit t^*

%Umfang

$u^*_{rel} = 93$

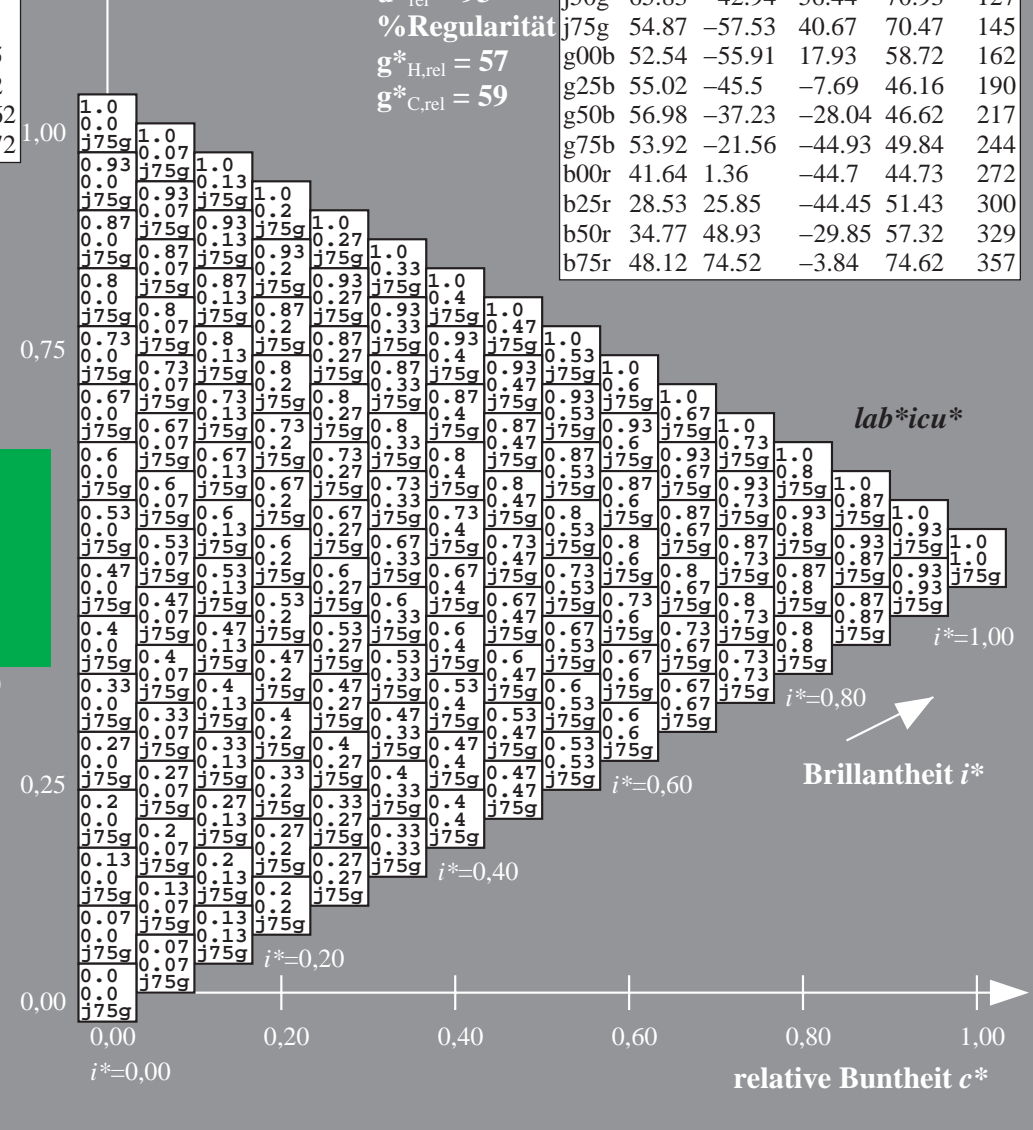
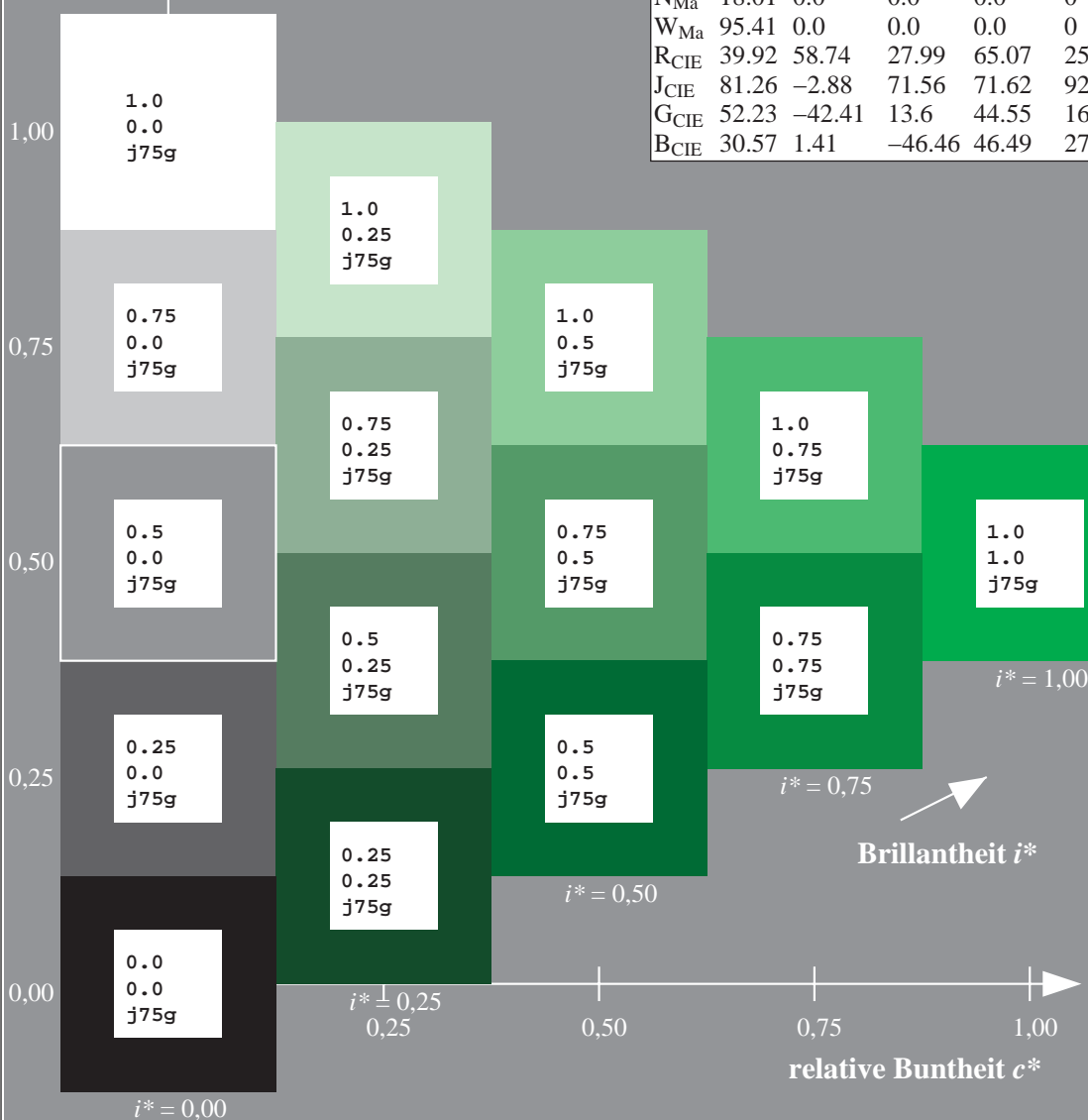
%Regularität

$g^*_{H,rel} = 57$

$g^*_{C,rel} = 59$

ORS18_95aM; adaptierte CIELAB-Daten

	$L^*=L^*_a$	a^*_a	b^*_a	$C^*_{ab,a}$	$h^*_{ab,a}$
r00j	48.0	68.4	32.59	75.77	25
r25j	51.32	59.36	53.8	80.11	42
r50j	62.67	39.12	64.83	75.72	59
r75j	73.73	19.4	75.58	78.03	76
j00g	86.61	-3.55	88.09	88.17	92
j25g	78.07	-26.64	74.05	78.7	110
j50g	65.83	-42.94	56.44	70.93	127
j75g	54.87	-57.53	40.67	70.47	145
g00b	52.54	-55.91	17.93	58.72	162
g25b	55.02	-45.5	-7.69	46.16	190
g50b	56.98	-37.23	-28.04	46.62	217
g75b	53.92	-21.56	-44.93	49.84	244
b00r	41.64	1.36	-44.7	44.73	272
b25r	28.53	25.85	-44.45	51.43	300
b50r	34.77	48.93	-29.85	57.32	329
b75r	48.12	74.52	-3.84	74.62	357



Daten für jede Farbe:

lab^*ch^* und lab^*icu^*

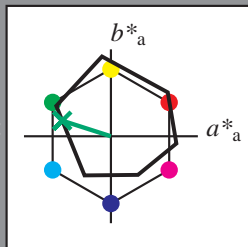
Elementar-Bunntext:

$u^* = g00b$

Kontrastreduzierungsfaktor:

$c_R = 1.0$

Dreiecks-Helligkeit t^*



ORS18_95aM; adaptierte CIELAB-Daten

	$L^*=L^*_a$	a^*_a	b^*_a	$C^*_{ab,a}$	$h^*_{ab,a}$
O _{Ma}	47.94	65.39	50.52	82.63	38
Y _{Ma}	90.37	-10.26	91.75	92.32	96
L _{Ma}	50.9	-62.83	34.96	71.91	151
C _{Ma}	58.62	-30.34	-45.01	54.3	236
V _{Ma}	25.72	31.1	-44.4	54.22	305
M _{Ma}	48.13	75.28	-8.36	75.74	354
N _{Ma}	18.01	0.0	0.0	0.0	0
W _{Ma}	95.41	0.0	0.0	0.0	0
R _{CIE}	39.92	58.74	27.99	65.07	25
J _{CIE}	81.26	-2.88	71.56	71.62	92
G _{CIE}	52.23	-42.41	13.6	44.55	162
B _{CIE}	30.57	1.41	-46.46	46.49	272

Daten für Maximalfarbe (Ma):

$LAB^*LAB^*_{Ma}$: 53 -55 18

$LAB^*LCH^*_{Ma}$: 53 59 162

$lab^*rgb^*_{Ma}$: 0.0 1.0 0.0

$lab^*olv^*_{Ma}$: 0.0 1.0 0.21

Dreiecks-Helligkeit t^*

%Umfang

$u^*_{rel} = 93$

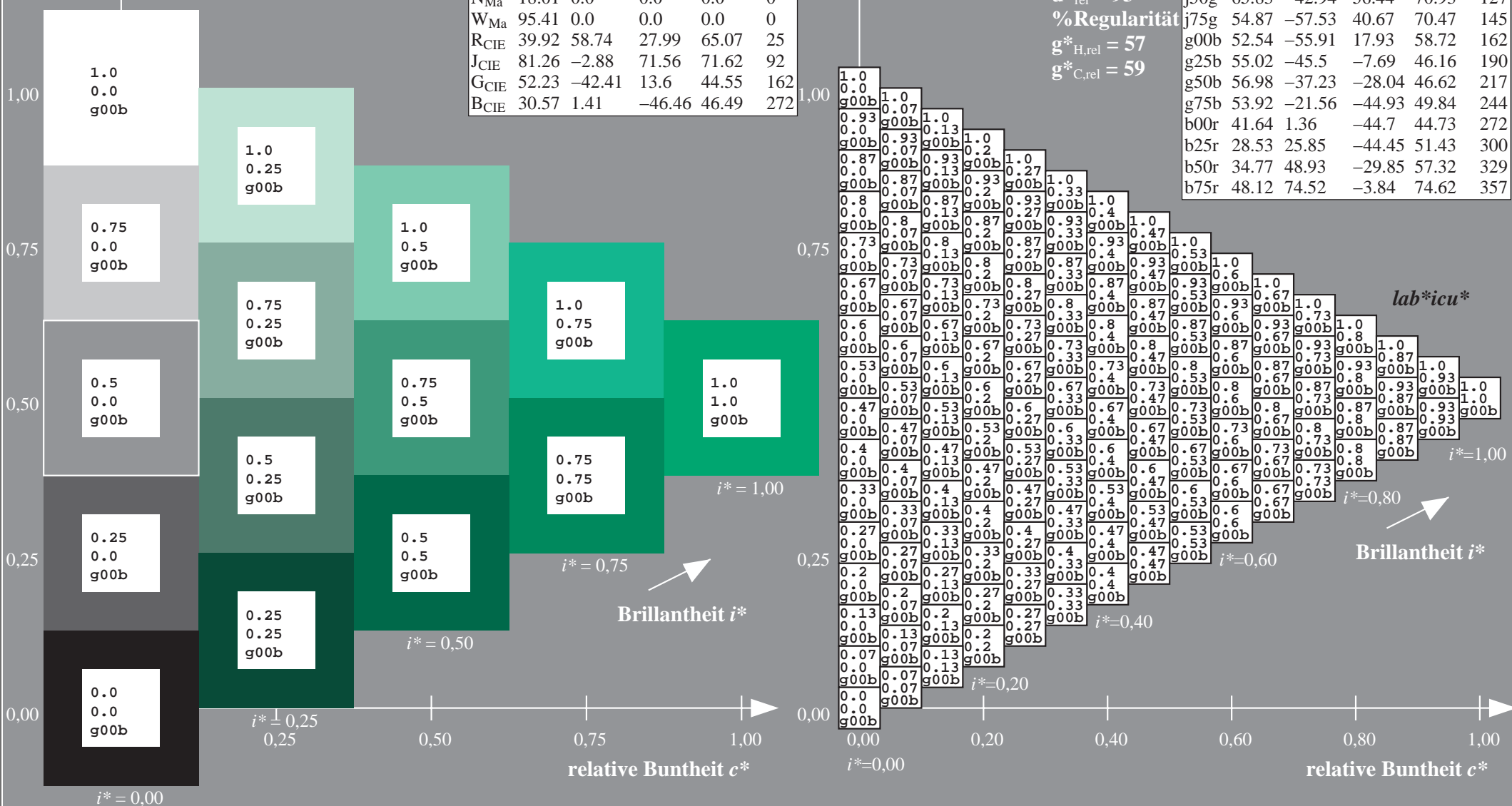
%Regularität

$g^*_{H,rel} = 57$

$g^*_{C,rel} = 59$

ORS18_95aM; adaptierte CIELAB-Daten

	$L^*=L^*_a$	a^*_a	b^*_a	$C^*_{ab,a}$	$h^*_{ab,a}$
r00j	48.0	68.4	32.59	75.77	25
r25j	51.32	59.36	53.8	80.11	42
r50j	62.67	39.12	64.83	75.72	59
r75j	73.73	19.4	75.58	78.03	76
j00g	86.61	-3.55	88.09	88.17	92
j25g	78.07	-26.64	74.05	78.7	110
j50g	65.83	-42.94	56.44	70.93	127
j75g	54.87	-57.53	40.67	70.47	145
g00b	52.54	-55.91	17.93	58.72	162
g25b	55.02	-45.5	-7.69	46.16	190
g50b	56.98	-37.23	-28.04	46.62	217
g75b	53.92	-21.56	-44.93	49.84	244
b00r	41.64	1.36	-44.7	44.73	272
b25r	28.53	25.85	-44.45	51.43	300
b50r	34.77	48.93	-29.85	57.32	329
b75r	48.12	74.52	-3.84	74.62	357



Daten für jede Farbe:

lab^*ch^* und lab^*icu^*

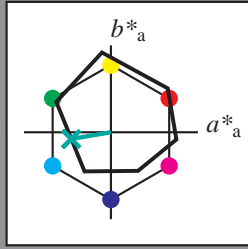
Elementar-Buntontext:

$u^* = g25b$

Kontrastreduzierungsfaktor:

$c_R = 1.0$

Dreiecks-Helligkeit t^*



ORS18_95aM; adaptierte CIELAB-Daten

	$L^*=L^*_a$	a^*_a	b^*_a	$C^*_{ab,a}$	$h^*_{ab,a}$
O _{Ma}	47.94	65.39	50.52	82.63	38
Y _{Ma}	90.37	-10.26	91.75	92.32	96
L _{Ma}	50.9	-62.83	34.96	71.91	151
C _{Ma}	58.62	-30.34	-45.01	54.3	236
V _{Ma}	25.72	31.1	-44.4	54.22	305
M _{Ma}	48.13	75.28	-8.36	75.74	354
N _{Ma}	18.01	0.0	0.0	0.0	0
W _{Ma}	95.41	0.0	0.0	0.0	0
R _{CIE}	39.92	58.74	27.99	65.07	25
J _{CIE}	81.26	-2.88	71.56	71.62	92
G _{CIE}	52.23	-42.41	13.6	44.55	162
B _{CIE}	30.57	1.41	-46.46	46.49	272

Daten für Maximalfarbe (Ma):

$LAB^*LAB^*Ma: 55 -45 -7$

$LAB^*LCH^*Ma: 55 46 190$

$lab^*rgb^*Ma: 0.0 1.0 0.5$

$lab^*olv^*Ma: 0.0 1.0 0.53$

Dreiecks-Helligkeit t^*

%Umfang

$u^*_{rel} = 93$

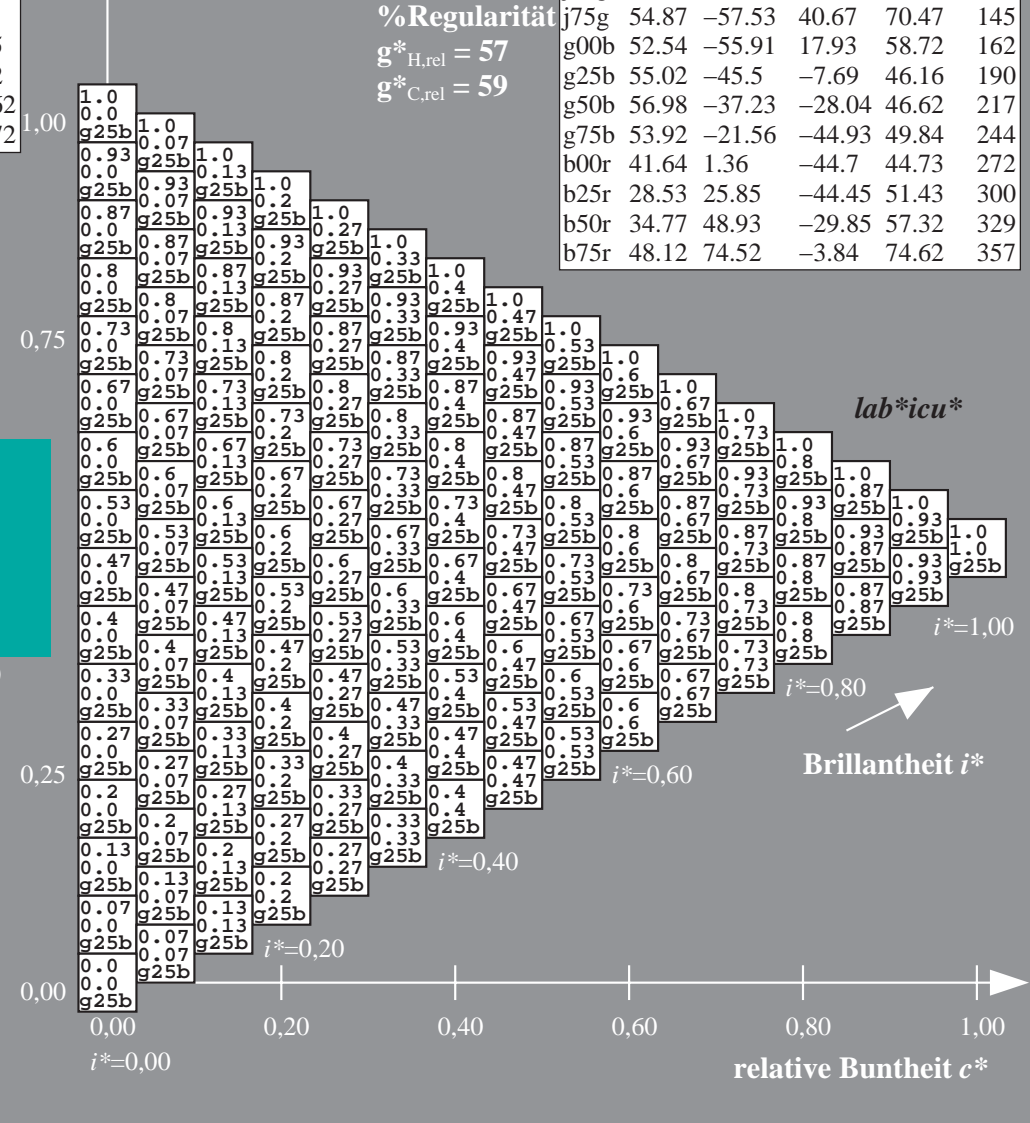
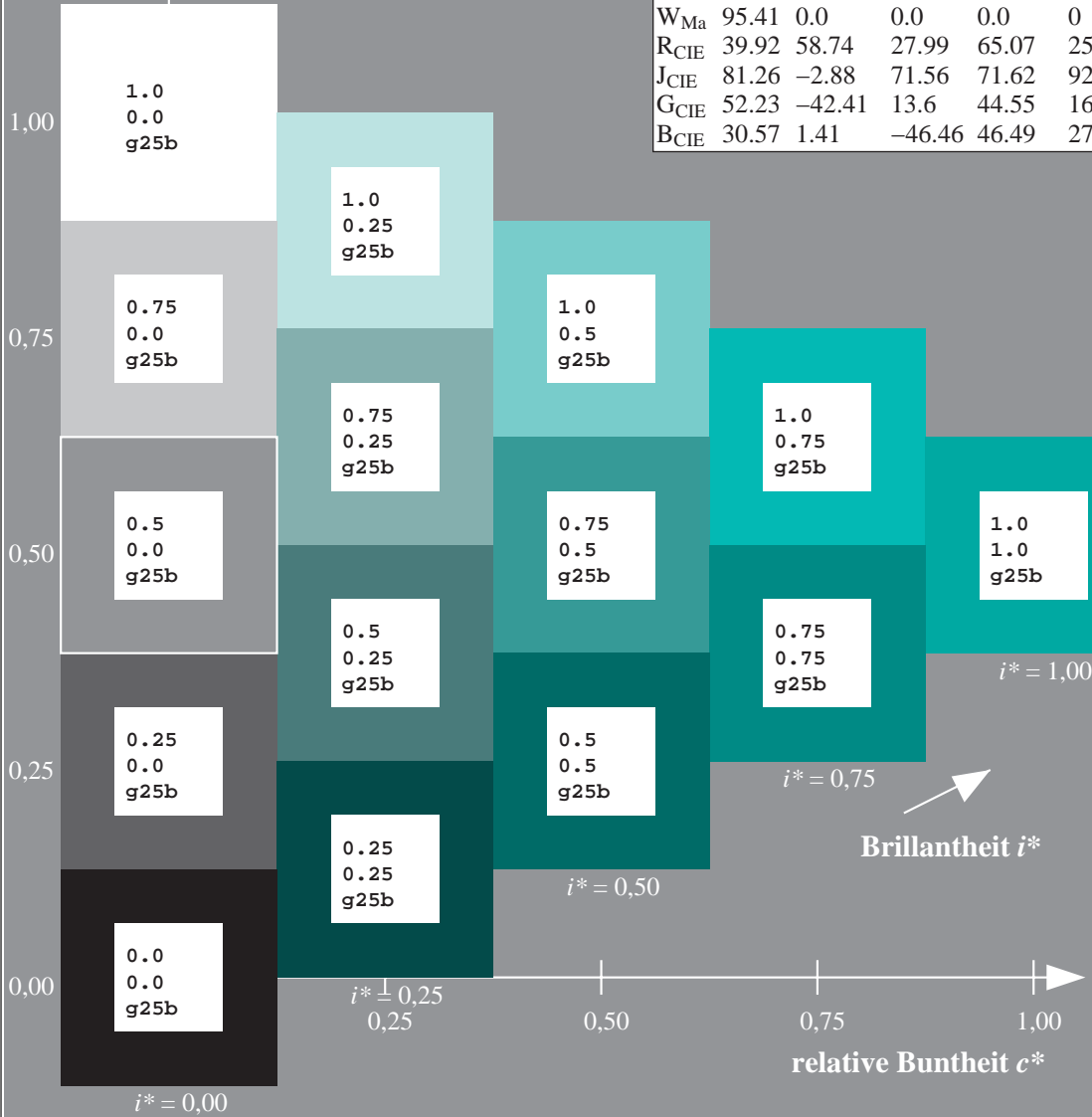
%Regularität

$g^*_{H,rel} = 57$

$g^*_{C,rel} = 59$

ORS18_95aM; adaptierte CIELAB-Daten

	$L^*=L^*_a$	a^*_a	b^*_a	$C^*_{ab,a}$	$h^*_{ab,a}$
r00j	48.0	68.4	32.59	75.77	25
r25j	51.32	59.36	53.8	80.11	42
r50j	62.67	39.12	64.83	75.72	59
r75j	73.73	19.4	75.58	78.03	76
j00g	86.61	-3.55	88.09	88.17	92
j25g	78.07	-26.64	74.05	78.7	110
j50g	65.83	-42.94	56.44	70.93	127
j75g	54.87	-57.53	40.67	70.47	145
g00b	52.54	-55.91	17.93	58.72	162
g25b	55.02	-45.5	-7.69	46.16	190
g50b	56.98	-37.23	-28.04	46.62	217
g75b	53.92	-21.56	-44.93	49.84	244
b00r	41.64	1.36	-44.7	44.73	272
b25r	28.53	25.85	-44.45	51.43	300
b50r	34.77	48.93	-29.85	57.32	329
b75r	48.12	74.52	-3.84	74.62	357



Daten für jede Farbe:

lab^*ch^* und lab^*icu^*

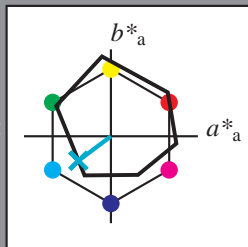
Elementar-Buntontext:

$u^* = g50b$

Kontrastreduzierungsfaktor:

$c_R = 1.0$

Dreiecks-Helligkeit t^*



ORS18_95aM; adaptierte CIELAB-Daten

	$L^*=L^*_a$	a^*_a	b^*_a	$C^*_{ab,a}$	$h^*_{ab,a}$
O _{Ma}	47.94	65.39	50.52	82.63	38
Y _{Ma}	90.37	-10.26	91.75	92.32	96
L _{Ma}	50.9	-62.83	34.96	71.91	151
C _{Ma}	58.62	-30.34	-45.01	54.3	236
V _{Ma}	25.72	31.1	-44.4	54.22	305
M _{Ma}	48.13	75.28	-8.36	75.74	354
N _{Ma}	18.01	0.0	0.0	0.0	0
W _{Ma}	95.41	0.0	0.0	0.0	0
R _{CIE}	39.92	58.74	27.99	65.07	25
J _{CIE}	81.26	-2.88	71.56	71.62	92
G _{CIE}	52.23	-42.41	13.6	44.55	162
B _{CIE}	30.57	1.41	-46.46	46.49	272

Daten für Maximalfarbe (Ma):

$LAB^*LAB^*_{Ma}$: 57 -36 -27

$LAB^*LCH^*_{Ma}$: 57 47 217

$lab^*rgb^*_{Ma}$: 0.0 1.0 1.0

$lab^*olv^*_{Ma}$: 0.0 1.0 0.79

Dreiecks-Helligkeit t^*

%Umfang

$u^*_{rel} = 93$

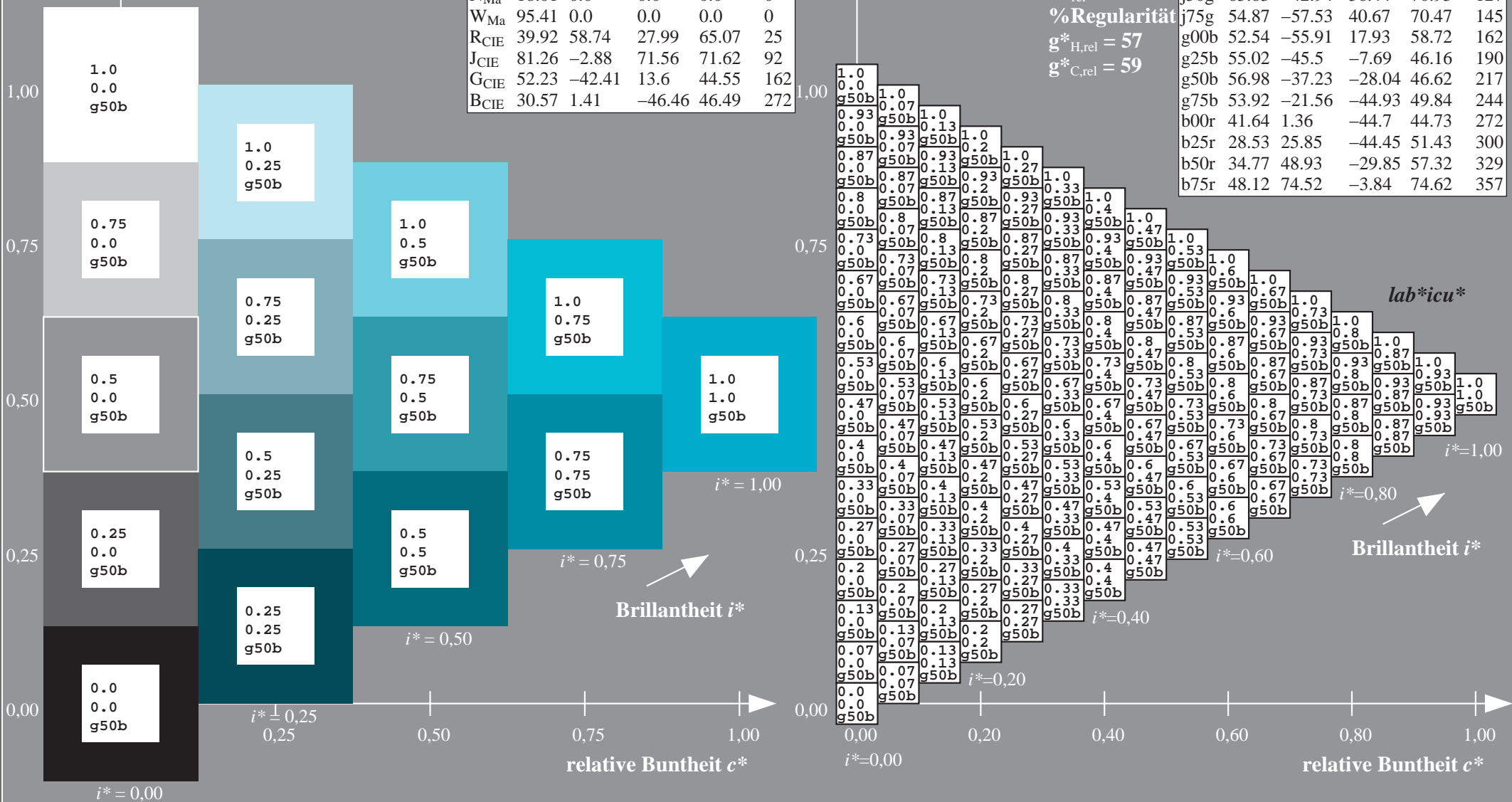
%Regularität

$g^*_{H,rel} = 57$

$g^*_{C,rel} = 59$

ORS18_95aM; adaptierte CIELAB-Daten

	$L^*=L^*_a$	a^*_a	b^*_a	$C^*_{ab,a}$	$h^*_{ab,a}$
r00j	48.0	68.4	32.59	75.77	25
r25j	51.32	59.36	53.8	80.11	42
r50j	62.67	39.12	64.83	75.72	59
r75j	73.73	19.4	75.58	78.03	76
j00g	86.61	-3.55	88.09	88.17	92
j25g	78.07	-26.64	74.05	78.7	110
j50g	65.83	-42.94	56.44	70.93	127
j75g	54.87	-57.53	40.67	70.47	145
g00b	52.54	-55.91	17.93	58.72	162
g25b	55.02	-45.5	-7.69	46.16	190
g50b	56.98	-37.23	-28.04	46.62	217
g75b	53.92	-21.56	-44.93	49.84	244
b00r	41.64	1.36	-44.7	44.73	272
b25r	28.53	25.85	-44.45	51.43	300
b50r	34.77	48.93	-29.85	57.32	329
b75r	48.12	74.52	-3.84	74.62	357



Daten für jede Farbe:

lab^*ch^* und lab^*icu^*

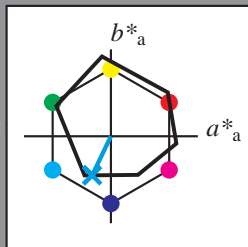
Elementar-Buntoncontext:

$u^* = g75b$

Kontrastreduzierungsfaktor:

$c_R = 1.0$

Dreiecks-Helligkeit t^*



ORS18_95aM; adaptierte CIELAB-Daten

	$L^*=L^*_a$	a^*_a	b^*_a	$C^*_{ab,a}$	$h^*_{ab,a}$
O _{Ma}	47.94	65.39	50.52	82.63	38
Y _{Ma}	90.37	-10.26	91.75	92.32	96
L _{Ma}	50.9	-62.83	34.96	71.91	151
C _{Ma}	58.62	-30.34	-45.01	54.3	236
V _{Ma}	25.72	31.1	-44.4	54.22	305
M _{Ma}	48.13	75.28	-8.36	75.74	354
N _{Ma}	18.01	0.0	0.0	0.0	0
W _{Ma}	95.41	0.0	0.0	0.0	0
R _{CIE}	39.92	58.74	27.99	65.07	25
J _{CIE}	81.26	-2.88	71.56	71.62	92
G _{CIE}	52.23	-42.41	13.6	44.55	162
B _{CIE}	30.57	1.41	-46.46	46.49	272

Daten für Maximalfarbe (Ma):

$LAB^*LAB^*_{Ma}$: 54 -21 -44

$LAB^*LCH^*_{Ma}$: 54 50 244

$lab^*rgb^*_{Ma}$: 0.0 0.5 1.0

$lab^*olv^*_{Ma}$: 0.0 0.86 1.0

Dreiecks-Helligkeit t^*

%Umfang

$u^*_{rel} = 93$

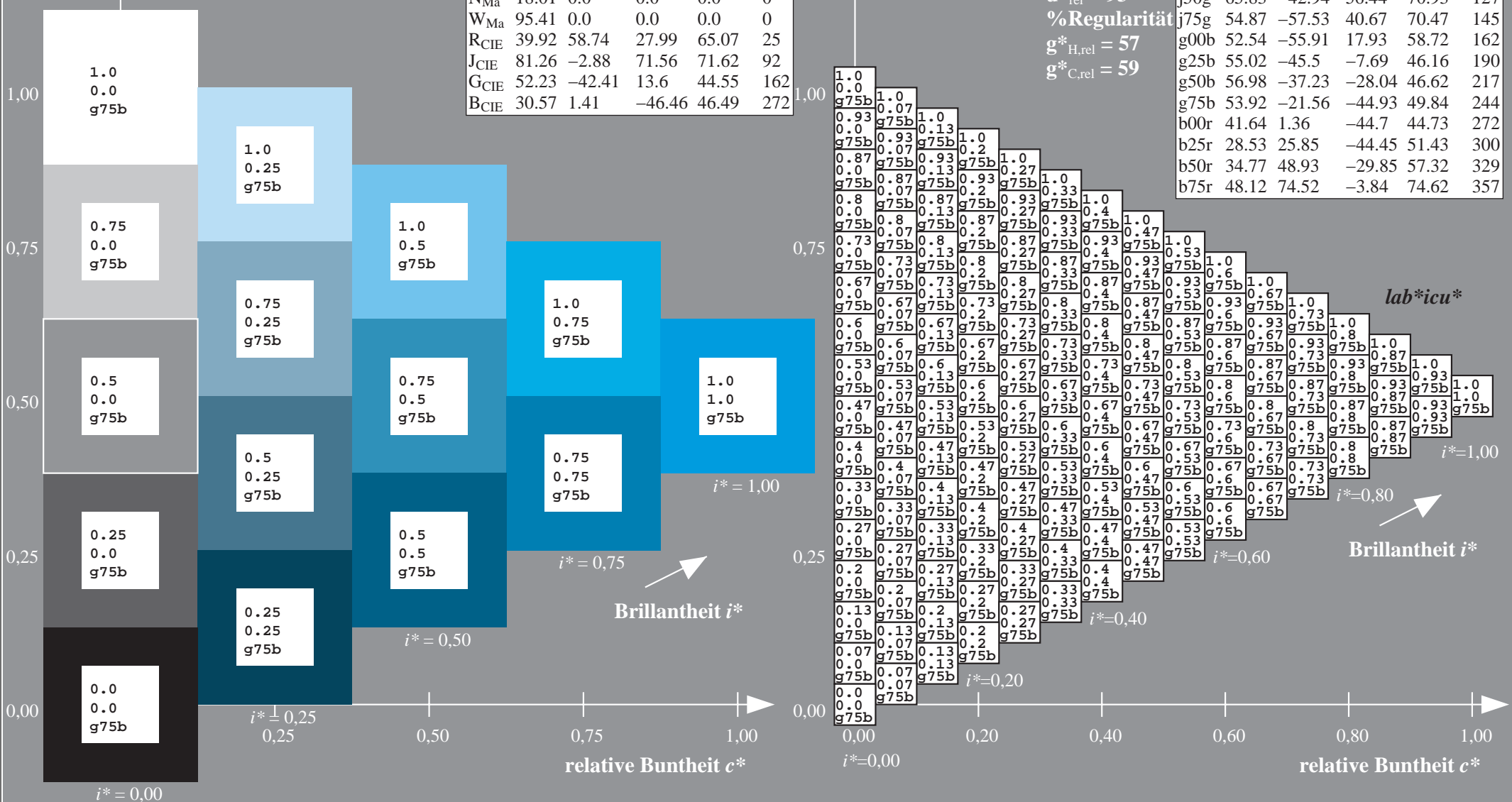
%Regularität

$g^*_{H,rel} = 57$

$g^*_{C,rel} = 59$

ORS18_95aM; adaptierte CIELAB-Daten

	$L^*=L^*_a$	a^*_a	b^*_a	$C^*_{ab,a}$	$h^*_{ab,a}$
r00j	48.0	68.4	32.59	75.77	25
r25j	51.32	59.36	53.8	80.11	42
r50j	62.67	39.12	64.83	75.72	59
r75j	73.73	19.4	75.58	78.03	76
j00g	86.61	-3.55	88.09	88.17	92
j25g	78.07	-26.64	74.05	78.7	110
j50g	65.83	-42.94	56.44	70.93	127
j75g	54.87	-57.53	40.67	70.47	145
g00b	52.54	-55.91	17.93	58.72	162
g25b	55.02	-45.5	-7.69	46.16	190
g50b	56.98	-37.23	-28.04	46.62	217
g75b	53.92	-21.56	-44.93	49.84	244
b00r	41.64	1.36	-44.7	44.73	272
b25r	28.53	25.85	-44.45	51.43	300
b50r	34.77	48.93	-29.85	57.32	329
b75r	48.12	74.52	-3.84	74.62	357



Daten für jede Farbe:

lab^*ch^* und lab^*icu^*

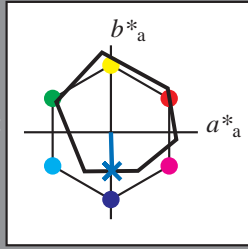
Elementar-Buntontext:

$u^* = b00r$

Kontrastreduzierungsfaktor:

$c_R = 1.0$

Dreiecks-Helligkeit t^*



ORS18_95aM; adaptierte CIELAB-Daten

	$L^*=L^*_a$	a^*_a	b^*_a	$C^*_{ab,a}$	$h^*_{ab,a}$
O _{Ma}	47.94	65.39	50.52	82.63	38
Y _{Ma}	90.37	-10.26	91.75	92.32	96
L _{Ma}	50.9	-62.83	34.96	71.91	151
C _{Ma}	58.62	-30.34	-45.01	54.3	236
V _{Ma}	25.72	31.1	-44.4	54.22	305
M _{Ma}	48.13	75.28	-8.36	75.74	354
N _{Ma}	18.01	0.0	0.0	0.0	0
W _{Ma}	95.41	0.0	0.0	0.0	0
R _{CIE}	39.92	58.74	27.99	65.07	25
J _{CIE}	81.26	-2.88	71.56	71.62	92
G _{CIE}	52.23	-42.41	13.6	44.55	162
B _{CIE}	30.57	1.41	-46.46	46.49	272

Daten für Maximalfarbe (Ma):

$LAB^*LAB^*Ma: 42 \ 1 \ -44$

$LAB^*LCH^*Ma: 42 \ 45 \ 272$

$lab^*rgb^*Ma: 0.0 \ 0.0 \ 1.0$

$lab^*olv^*Ma: 0.0 \ 0.48 \ 1.0$

Dreiecks-Helligkeit t^*

%Umfang

$u^*_{rel} = 93$

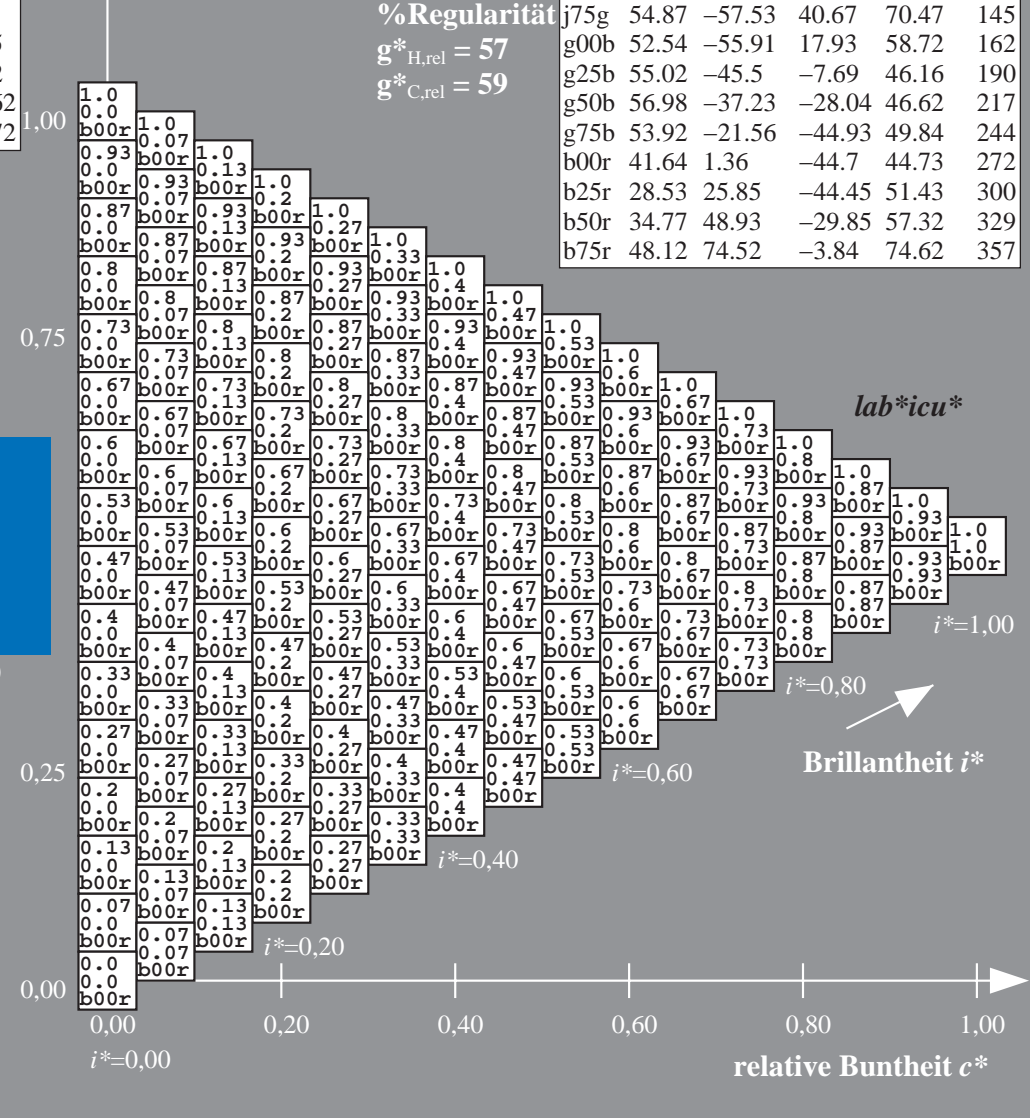
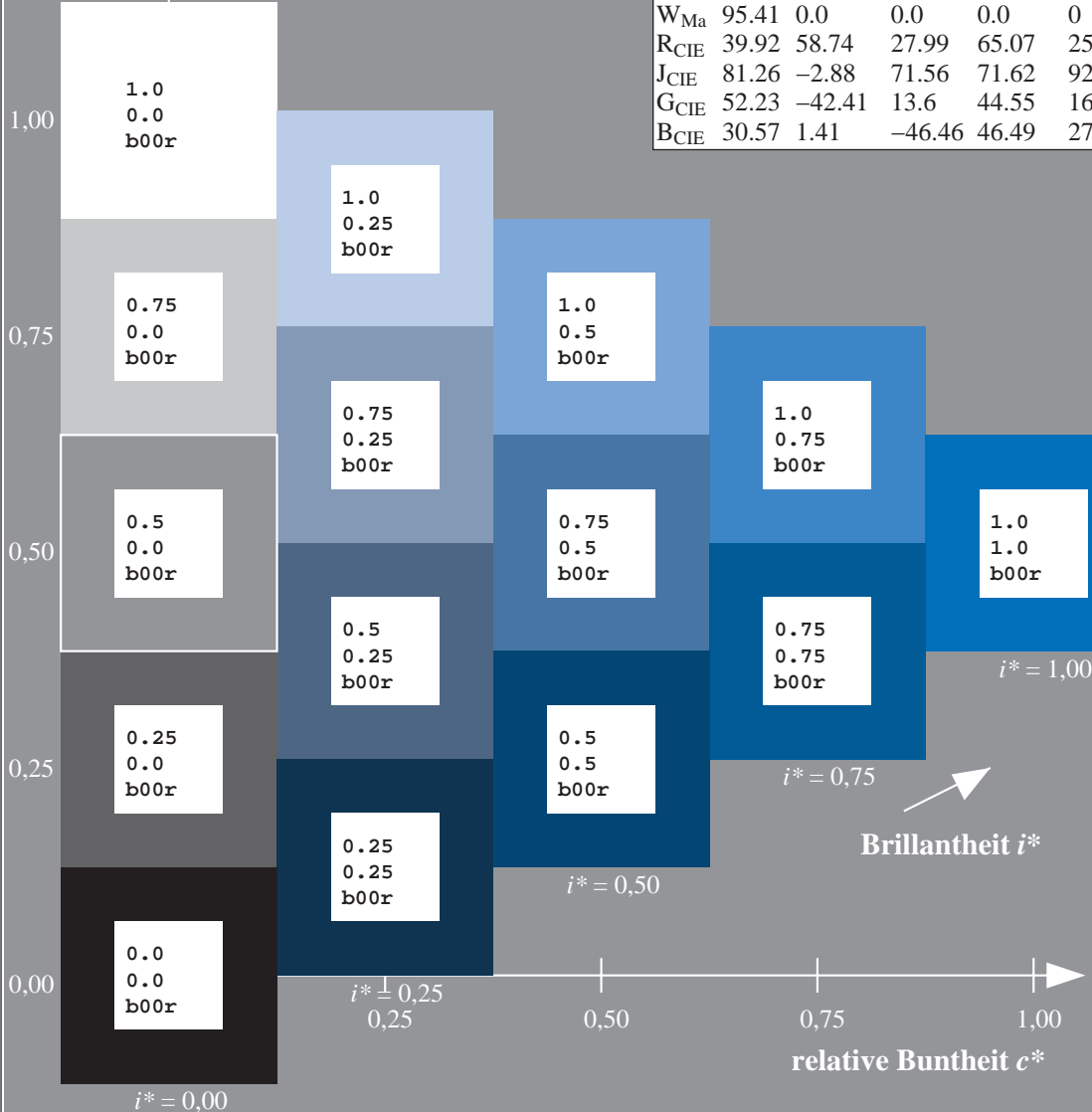
%Regularität

$g^*_{H,rel} = 57$

$g^*_{C,rel} = 59$

ORS18_95aM; adaptierte CIELAB-Daten

	$L^*=L^*_a$	a^*_a	b^*_a	$C^*_{ab,a}$	$h^*_{ab,a}$
r00j	48.0	68.4	32.59	75.77	25
r25j	51.32	59.36	53.8	80.11	42
r50j	62.67	39.12	64.83	75.72	59
r75j	73.73	19.4	75.58	78.03	76
j00g	86.61	-3.55	88.09	88.17	92
j25g	78.07	-26.64	74.05	78.7	110
j50g	65.83	-42.94	56.44	70.93	127
j75g	54.87	-57.53	40.67	70.47	145
g00b	52.54	-55.91	17.93	58.72	162
g25b	55.02	-45.5	-7.69	46.16	190
g50b	56.98	-37.23	-28.04	46.62	217
g75b	53.92	-21.56	-44.93	49.84	244
b00r	41.64	1.36	-44.7	44.73	272
b25r	28.53	25.85	-44.45	51.43	300
b50r	34.77	48.93	-29.85	57.32	329
b75r	48.12	74.52	-3.84	74.62	357



Daten für jede Farbe:

lab^*ch^* und lab^*icu^*

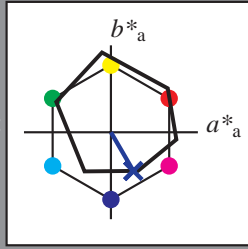
Elementar-Buntontext:

$u^* = b25r$

Kontrastreduzierungsfaktor:

$c_R = 1.0$

Dreiecks-Helligkeit t^*



ORS18_95aM; adaptierte CIELAB-Daten

	$L^*=L^*_a$	a^*_a	b^*_a	$C^*_{ab,a}$	$h^*_{ab,a}$
O _{Ma}	47.94	65.39	50.52	82.63	38
Y _{Ma}	90.37	-10.26	91.75	92.32	96
L _{Ma}	50.9	-62.83	34.96	71.91	151
C _{Ma}	58.62	-30.34	-45.01	54.3	236
V _{Ma}	25.72	31.1	-44.4	54.22	305
M _{Ma}	48.13	75.28	-8.36	75.74	354
N _{Ma}	18.01	0.0	0.0	0.0	0
W _{Ma}	95.41	0.0	0.0	0.0	0
R _{CIE}	39.92	58.74	27.99	65.07	25
J _{CIE}	81.26	-2.88	71.56	71.62	92
G _{CIE}	52.23	-42.41	13.6	44.55	162
B _{CIE}	30.57	1.41	-46.46	46.49	272

Daten für Maximalfarbe (Ma):

$LAB^*LAB^*Ma: 29\ 26\ -43$

$LAB^*LCH^*Ma: 29\ 51\ 300$

$lab^*rgb^*Ma: 0.5\ 0.0\ 1.0$

$lab^*olv^*Ma: 0.0\ 0.09\ 1.0$

Dreiecks-Helligkeit t^*

%Umfang

$u^*_{rel} = 93$

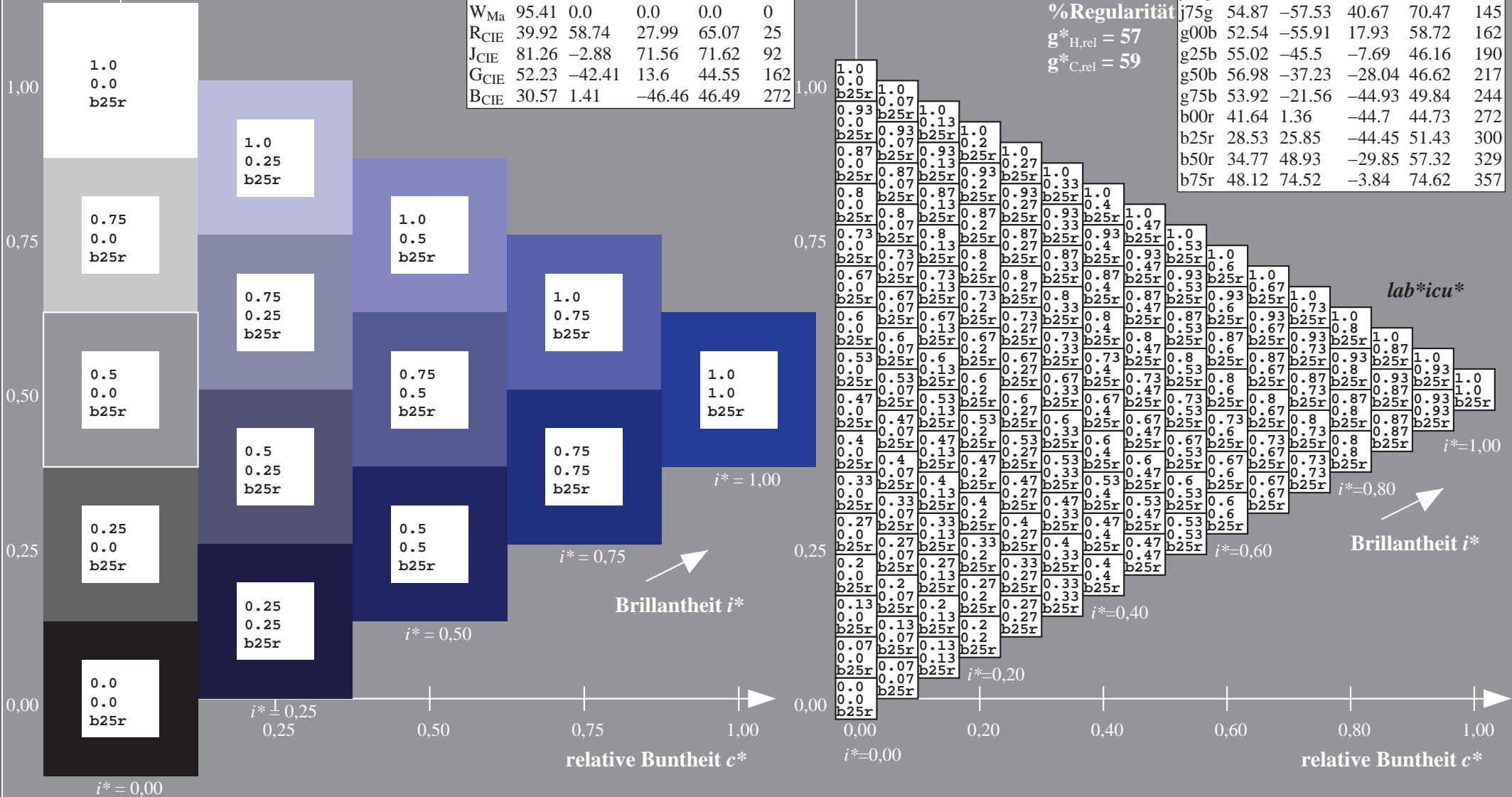
%Regularität

$g^*_{H,rel} = 57$

$g^*_{C,rel} = 59$

ORS18_95aM; adaptierte CIELAB-Daten

	$L^*=L^*_a$	a^*_a	b^*_a	$C^*_{ab,a}$	$h^*_{ab,a}$
r00j	48.0	68.4	32.59	75.77	25
r25j	51.32	59.36	53.8	80.11	42
r50j	62.67	39.12	64.83	75.72	59
r75j	73.73	19.4	75.58	78.03	76
j00g	86.61	-3.55	88.09	88.17	92
j25g	78.07	-26.64	74.05	78.7	110
j50g	65.83	-42.94	56.44	70.93	127
j75g	54.87	-57.53	40.67	70.47	145
g00b	52.54	-55.91	17.93	58.72	162
g25b	55.02	-45.5	-7.69	46.16	190
g50b	56.98	-37.23	-28.04	46.62	217
g75b	53.92	-21.56	-44.93	49.84	244
b00r	41.64	1.36	-44.7	44.73	272
b25r	28.53	25.85	-44.45	51.43	300
b50r	34.77	48.93	-29.85	57.32	329
b75r	48.12	74.52	-3.84	74.62	357



Daten für jede Farbe:

lab^*ch^* und lab^*icu^*

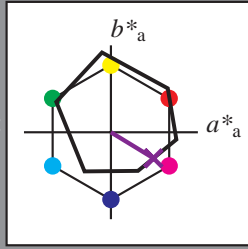
Elementar-Bunntext:

$u^* = b50r$

Kontrastreduzierungsfaktor:

$c_R = 1.0$

Dreiecks-Helligkeit t^*



ORS18_95aM; adaptierte CIELAB-Daten

	$L^*=L^*_a$	a^*_a	b^*_a	$C^*_{ab,a}$	$h^*_{ab,a}$
O _{Ma}	47.94	65.39	50.52	82.63	38
Y _{Ma}	90.37	-10.26	91.75	92.32	96
L _{Ma}	50.9	-62.83	34.96	71.91	151
C _{Ma}	58.62	-30.34	-45.01	54.3	236
V _{Ma}	25.72	31.1	-44.4	54.22	305
M _{Ma}	48.13	75.28	-8.36	75.74	354
N _{Ma}	18.01	0.0	0.0	0.0	0
W _{Ma}	95.41	0.0	0.0	0.0	0
R _{CIE}	39.92	58.74	27.99	65.07	25
J _{CIE}	81.26	-2.88	71.56	71.62	92
G _{CIE}	52.23	-42.41	13.6	44.55	162
B _{CIE}	30.57	1.41	-46.46	46.49	272

Daten für Maximalfarbe (Ma):

$LAB^*LAB^*_{Ma}$: 35 49 -29

$LAB^*LCH^*_{Ma}$: 35 57 329

$lab^*rgb^*_{Ma}$: 1.0 0.0 1.0

$lab^*olv^*_{Ma}$: 0.4 0.0 1.0

Dreiecks-Helligkeit t^*

%Umfang

$u^*_{rel} = 93$

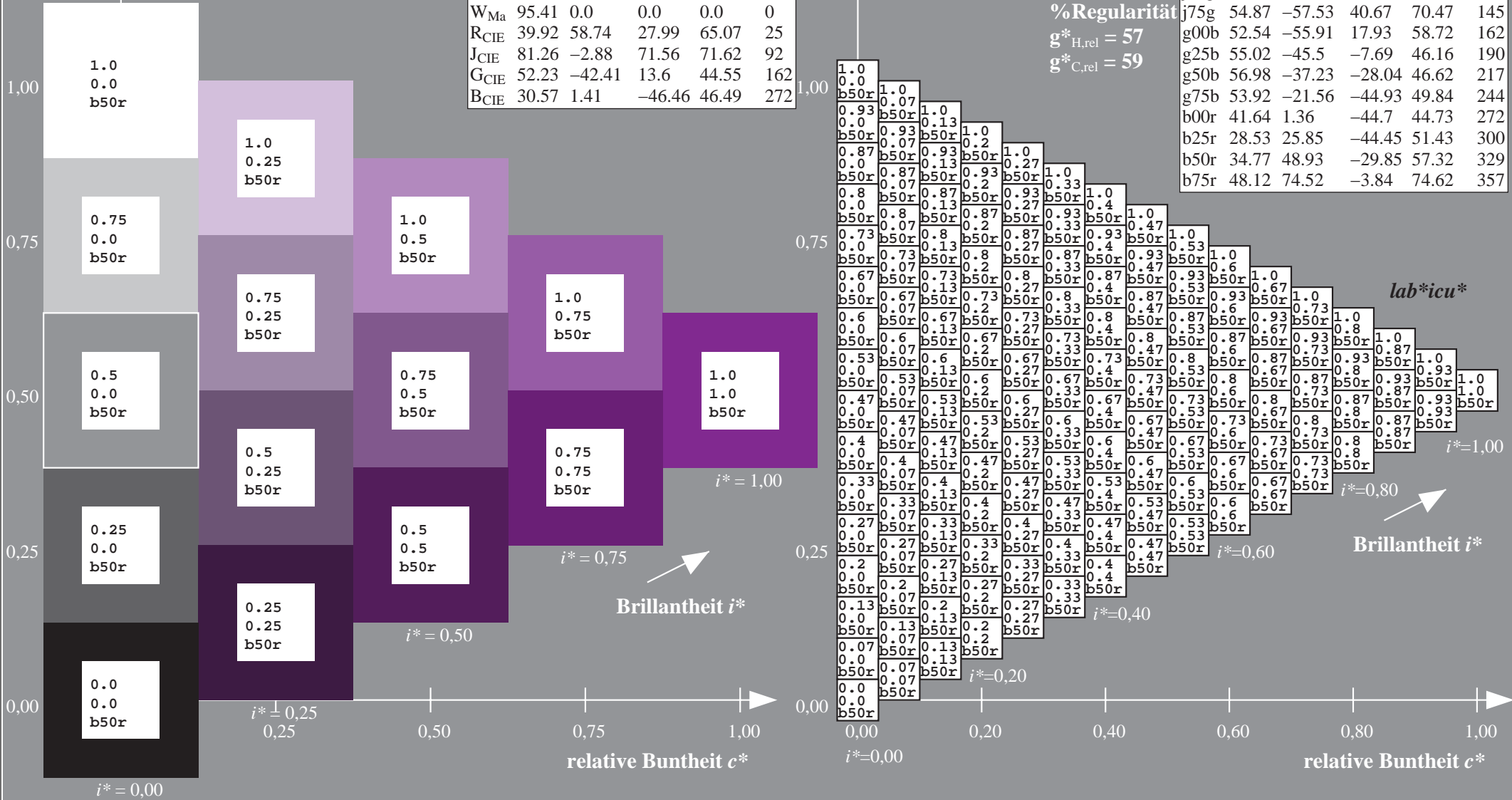
%Regularität

$g^*_{H,rel} = 57$

$g^*_{C,rel} = 59$

ORS18_95aM; adaptierte CIELAB-Daten

	$L^*=L^*_a$	a^*_a	b^*_a	$C^*_{ab,a}$	$h^*_{ab,a}$
r00j	48.0	68.4	32.59	75.77	25
r25j	51.32	59.36	53.8	80.11	42
r50j	62.67	39.12	64.83	75.72	59
r75j	73.73	19.4	75.58	78.03	76
j00g	86.61	-3.55	88.09	88.17	92
j25g	78.07	-26.64	74.05	78.7	110
j50g	65.83	-42.94	56.44	70.93	127
j75g	54.87	-57.53	40.67	70.47	145
g00b	52.54	-55.91	17.93	58.72	162
g25b	55.02	-45.5	-7.69	46.16	190
g50b	56.98	-37.23	-28.04	46.62	217
g75b	53.92	-21.56	-44.93	49.84	244
b00r	41.64	1.36	-44.7	44.73	272
b25r	28.53	25.85	-44.45	51.43	300
b50r	34.77	48.93	-29.85	57.32	329
b75r	48.12	74.52	-3.84	74.62	357



Daten für jede Farbe:

lab^*ch^* und lab^*icu^*

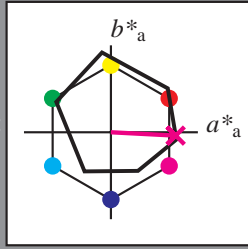
Elementar-Buntontext:

$u^* = b75r$

Kontrastreduzierungsfaktor:

$c_R = 1.0$

Dreiecks-Helligkeit t^*



ORS18_95aM; adaptierte CIELAB-Daten

	$L^*=L^*_a$	a^*_a	b^*_a	$C^*_{ab,a}$	$h^*_{ab,a}$
O _{Ma}	47.94	65.39	50.52	82.63	38
Y _{Ma}	90.37	-10.26	91.75	92.32	96
L _{Ma}	50.9	-62.83	34.96	71.91	151
C _{Ma}	58.62	-30.34	-45.01	54.3	236
V _{Ma}	25.72	31.1	-44.4	54.22	305
M _{Ma}	48.13	75.28	-8.36	75.74	354
N _{Ma}	18.01	0.0	0.0	0.0	0
W _{Ma}	95.41	0.0	0.0	0.0	0
R _{CIE}	39.92	58.74	27.99	65.07	25
J _{CIE}	81.26	-2.88	71.56	71.62	92
G _{CIE}	52.23	-42.41	13.6	44.55	162
B _{CIE}	30.57	1.41	-46.46	46.49	272

Daten für Maximalfarbe (Ma):

$LAB^*LAB^*_{Ma}$: 48 75 -3

$LAB^*LCH^*_{Ma}$: 48 75 357

$lab^*rgb^*_{Ma}$: 1.0 0.0 0.5

$lab^*olv^*_{Ma}$: 1.0 0.0 0.92

Dreiecks-Helligkeit t^*

%Umfang

$u^*_{rel} = 93$

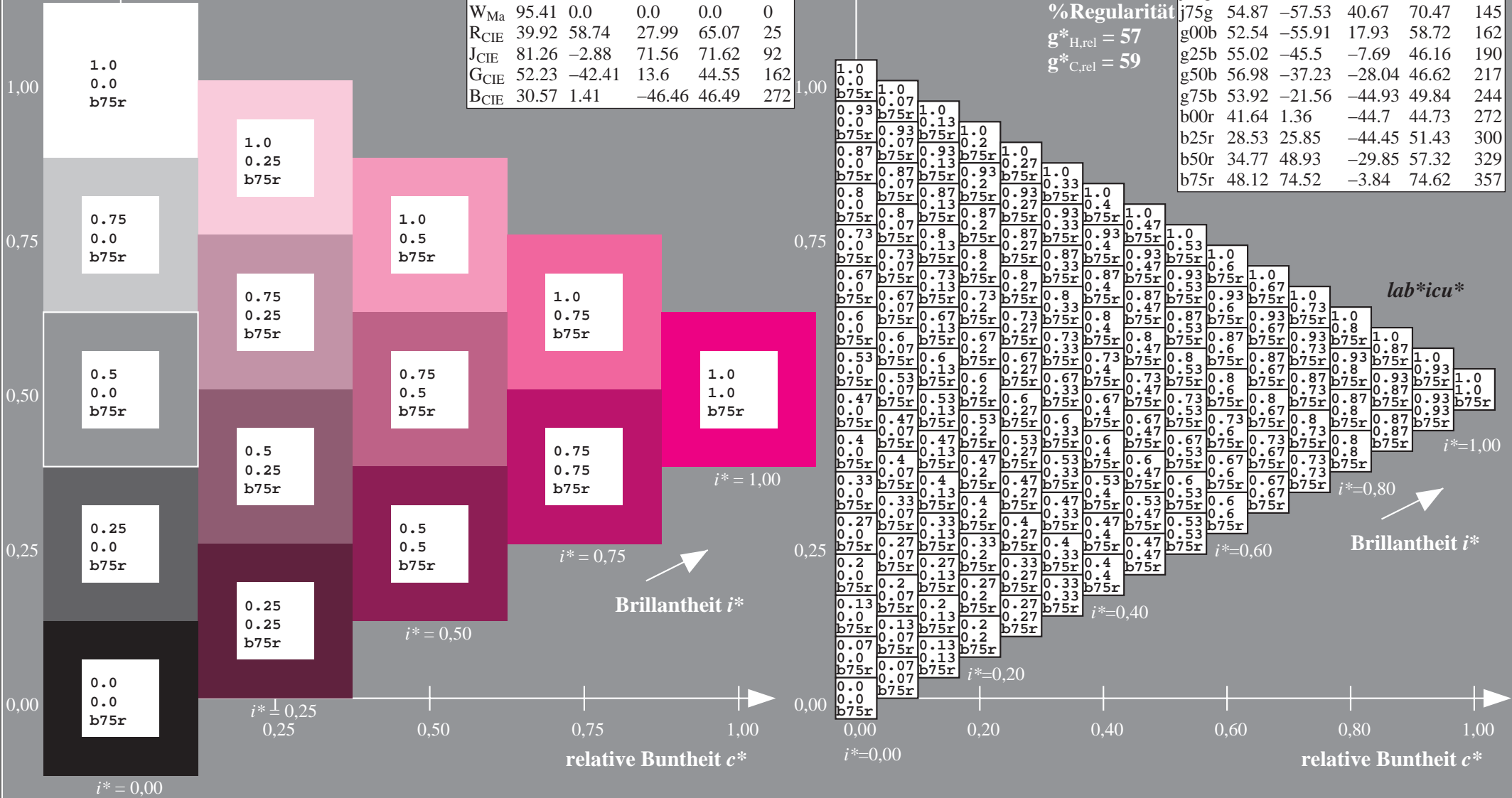
%Regularität

$g^*_{H,rel} = 57$

$g^*_{C,rel} = 59$

ORS18_95aM; adaptierte CIELAB-Daten

	$L^*=L^*_a$	a^*_a	b^*_a	$C^*_{ab,a}$	$h^*_{ab,a}$
r00j	48.0	68.4	32.59	75.77	25
r25j	51.32	59.36	53.8	80.11	42
r50j	62.67	39.12	64.83	75.72	59
r75j	73.73	19.4	75.58	78.03	76
j00g	86.61	-3.55	88.09	88.17	92
j25g	78.07	-26.64	74.05	78.7	110
j50g	65.83	-42.94	56.44	70.93	127
j75g	54.87	-57.53	40.67	70.47	145
g00b	52.54	-55.91	17.93	58.72	162
g25b	55.02	-45.5	-7.69	46.16	190
g50b	56.98	-37.23	-28.04	46.62	217
g75b	53.92	-21.56	-44.93	49.84	244
b00r	41.64	1.36	-44.7	44.73	272
b25r	28.53	25.85	-44.45	51.43	300
b50r	34.77	48.93	-29.85	57.32	329
b75r	48.12	74.52	-3.84	74.62	357



Ein und Ausgabe:
 Farbmimetrisches Drucker-Reflektiv-System ORS18_95aM

Daten für jede Farbe:

$lab^*_{tch^*}$ und $lab^*_{icu^*}$

Elementar-Bunttontext:

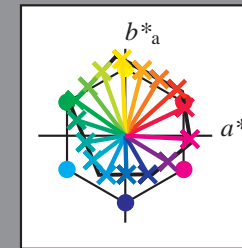
$u^* = 16$ Buntttöne $r00j, r25j, \dots, b75r$

Kontrastreduzierungsfaktor:

$c_R = 1.0$

ORS18_95aM; adaptierte CIELAB-Daten

	$L^*=L^*_a$	a^*_a	b^*_a	$C^*_{ab,a}$	$h^*_{ab,a}$
r00j	48.0	68.4	32.59	75.77	25
r25j	51.32	59.36	53.8	80.11	42
r50j	62.67	39.12	64.83	75.72	59
r75j	73.73	19.4	75.58	78.03	76
j00g	86.61	-3.55	88.09	88.17	92
j25g	78.07	-26.64	74.05	78.7	110
j50g	65.83	-42.94	56.44	70.93	127
j75g	54.87	-57.53	40.67	70.47	145
g00b	52.54	-55.91	17.93	58.72	162
g25b	55.02	-45.5	-7.69	46.16	190
g50b	56.98	-37.23	-28.04	46.62	217
g75b	53.92	-21.56	-44.93	49.84	244
b00r	41.64	1.36	-44.7	44.73	272
b25r	28.53	25.85	-44.45	51.43	300
b50r	34.77	48.93	-29.85	57.32	329
b75r	48.12	74.52	-3.84	74.62	357



%Umfang

$u^*_{rel} = 93$

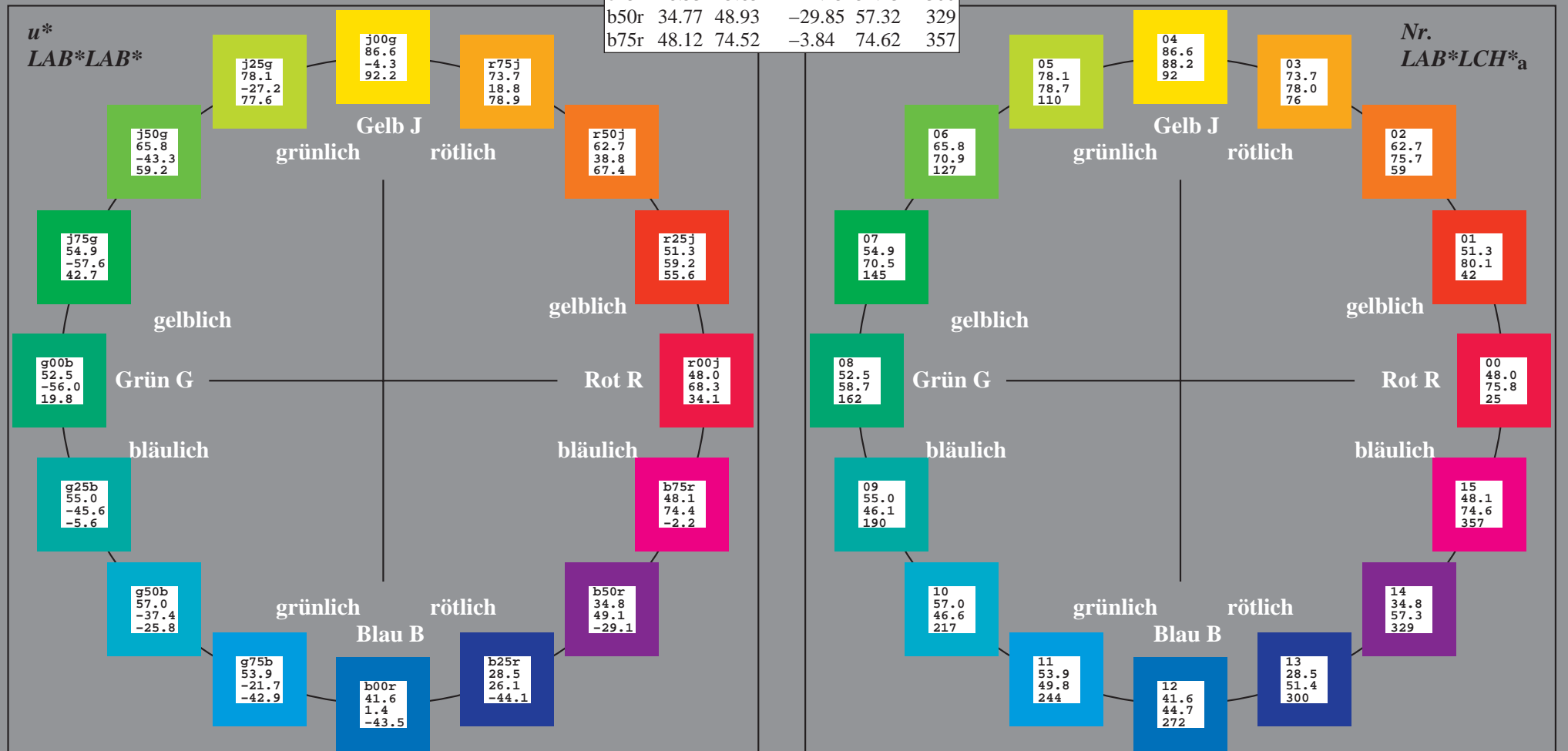
%Regularität

$g^*_{H,rel} = 57$

$g^*_{C,rel} = 59$

ORS18_95M; CIELAB-Daten

	$L^*=L^*$	a^*	b^*	C^*_{ab}	h^*_{ab}
O _M	47.94	65.31	52.07	83.53	39
Y _M	90.37	-11.15	96.17	96.82	97
L _M	50.9	-62.96	36.71	72.89	150
C _M	58.62	-30.62	-42.74	52.59	234
V _M	25.72	31.45	-44.35	54.38	305
M _M	48.13	75.2	-6.79	75.51	355
N _M	18.01	0.5	-0.46	0.69	317
W _M	95.41	-0.98	4.76	4.86	102
R _{CIE}	39.92	58.74	27.99	65.07	25
J _{CIE}	81.26	-2.88	71.56	71.62	92
G _{CIE}	52.23	-42.41	13.6	44.55	162
B _{CIE}	30.57	1.41	-46.46	46.49	272



Daten für jede Farbe:

lab^*ch^* und lab^*icu^*

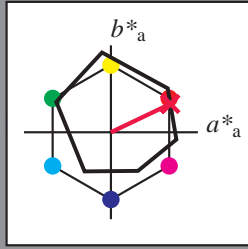
Elementar-Buntontext:

$u^* = r00j$

Kontrastreduzierungsfaktor:

$c_R = 1.0$

Dreiecks-Helligkeit t^*



ORS18_95M; CIELAB-Daten					
	$L^*=L^*$	a^*	b^*	C^*_{ab}	h^*_{ab}
O _M	47.94	65.31	52.07	83.53	39
Y _M	90.37	-11.15	96.17	96.82	97
L _M	50.9	-62.96	36.71	72.89	150
C _M	58.62	-30.62	-42.74	52.59	234
V _M	25.72	31.45	-44.35	54.38	305
M _M	48.13	75.2	-6.79	75.51	355
N _M	18.01	0.5	-0.46	0.69	317
W _M	95.41	-0.98	4.76	4.86	102
R _{CIE}	39.92	58.74	27.99	65.07	25
J _{CIE}	81.26	-2.88	71.56	71.62	92
G _{CIE}	52.23	-42.41	13.6	44.55	162
B _{CIE}	30.57	1.41	-46.46	46.49	272

Daten für Maximalfarbe (Ma):

$LAB^*LAB^*_{Ma}: 48\ 68\ 33$

$LAB^*LCH^*_{Ma}: 48\ 76\ 25$

$lab^*rgb^*_{Ma}: 1.0\ 0.0\ 0.0$

$lab^*olv^*_{Ma}: 1.0\ 0.0\ 0.3$

Dreiecks-Helligkeit t^*

%Umfang

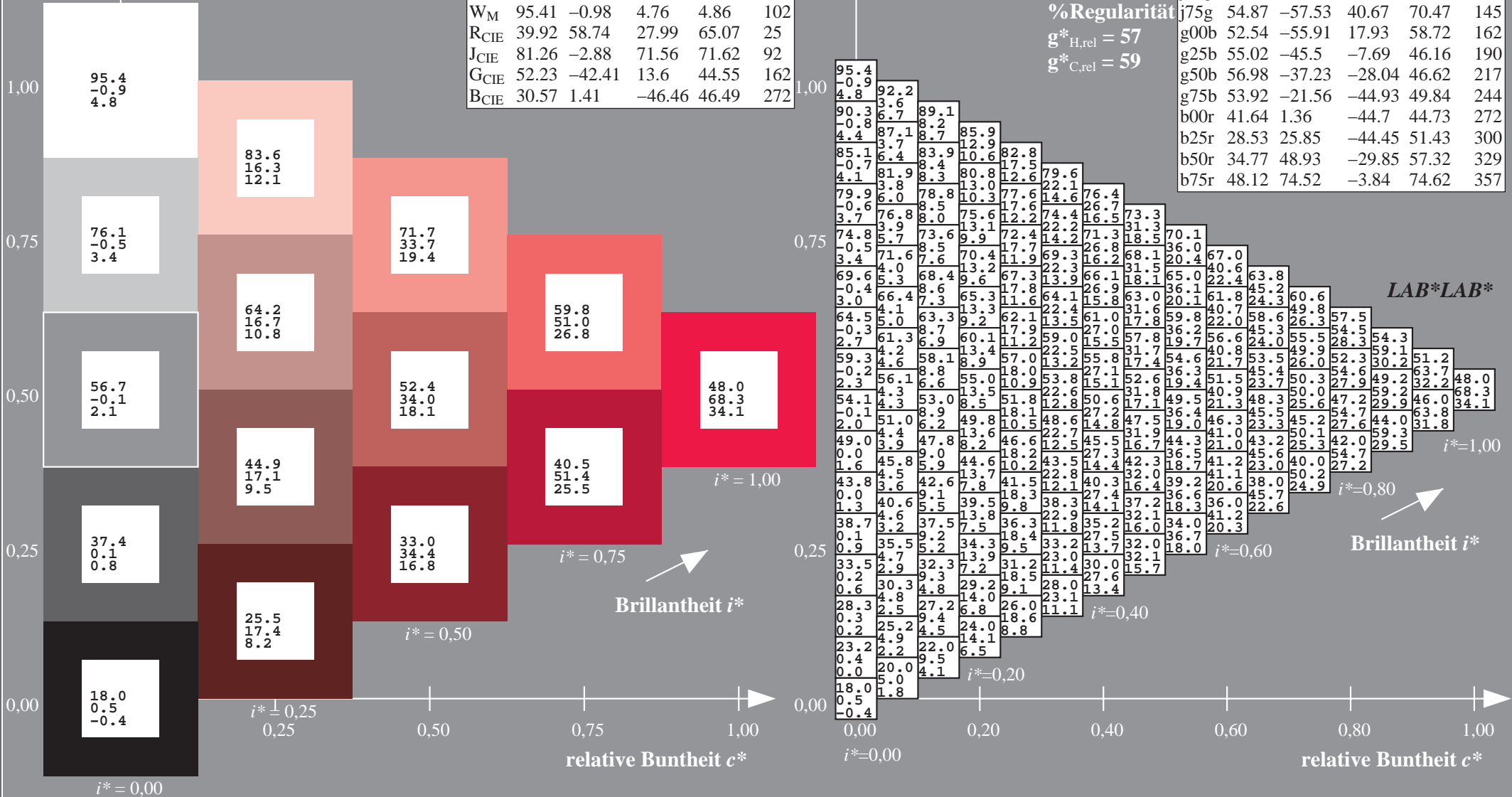
$u^*_{rel} = 93$

%Regularität

$g^*_{H,rel} = 57$

$g^*_{C,rel} = 59$

ORS18_95aM; adaptierte CIELAB-Daten					
	$L^*=L^*_a$	a^*_a	b^*_a	$C^*_{ab,a}$	$h^*_{ab,a}$
r00j	48.0	68.4	32.59	75.77	25
r25j	51.32	59.36	53.8	80.11	42
r50j	62.67	39.12	64.83	75.72	59
r75j	73.73	19.4	75.58	78.03	76
j00g	86.61	-3.55	88.09	88.17	92
j25g	78.07	-26.64	74.05	78.7	110
j50g	65.83	-42.94	56.44	70.93	127
j75g	54.87	-57.53	40.67	70.47	145
g00b	52.54	-55.91	17.93	58.72	162
g25b	55.02	-45.5	-7.69	46.16	190
g50b	56.98	-37.23	-28.04	46.62	217
g75b	53.92	-21.56	-44.93	49.84	244
b00r	41.64	1.36	-44.7	44.73	272
b25r	28.53	25.85	-44.45	51.43	300
b50r	34.77	48.93	-29.85	57.32	329
b75r	48.12	74.52	-3.84	74.62	357



Daten für jede Farbe:

lab^*ch^* und lab^*icu^*

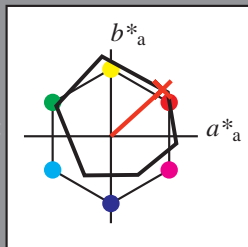
Elementar-Buntontext:

$u^* = r25j$

Kontrastreduzierungsfaktor:

$c_R = 1.0$

Dreiecks-Helligkeit t^*



ORS18_95M; CIELAB-Daten					
	$L^*=L^*$	a^*	b^*	C^*_{ab}	h^*_{ab}
O _M	47.94	65.31	52.07	83.53	39
Y _M	90.37	-11.15	96.17	96.82	97
L _M	50.9	-62.96	36.71	72.89	150
C _M	58.62	-30.62	-42.74	52.59	234
V _M	25.72	31.45	-44.35	54.38	305
M _M	48.13	75.2	-6.79	75.51	355
N _M	18.01	0.5	-0.46	0.69	317
W _M	95.41	-0.98	4.76	4.86	102
R _{CIE}	39.92	58.74	27.99	65.07	25
J _{CIE}	81.26	-2.88	71.56	71.62	92
G _{CIE}	52.23	-42.41	13.6	44.55	162
B _{CIE}	30.57	1.41	-46.46	46.49	272

Daten für Maximalfarbe (Ma):

$LAB^*LAB^*_{Ma}: 51\ 59\ 54$

$LAB^*LCH^*_{Ma}: 51\ 80\ 42$

$lab^*rgb^*_{Ma}: 1.0\ 0.25\ 0.0$

$lab^*olv^*_{Ma}: 1.0\ 0.08\ 0.0$

Dreiecks-Helligkeit t^*

%Umfang

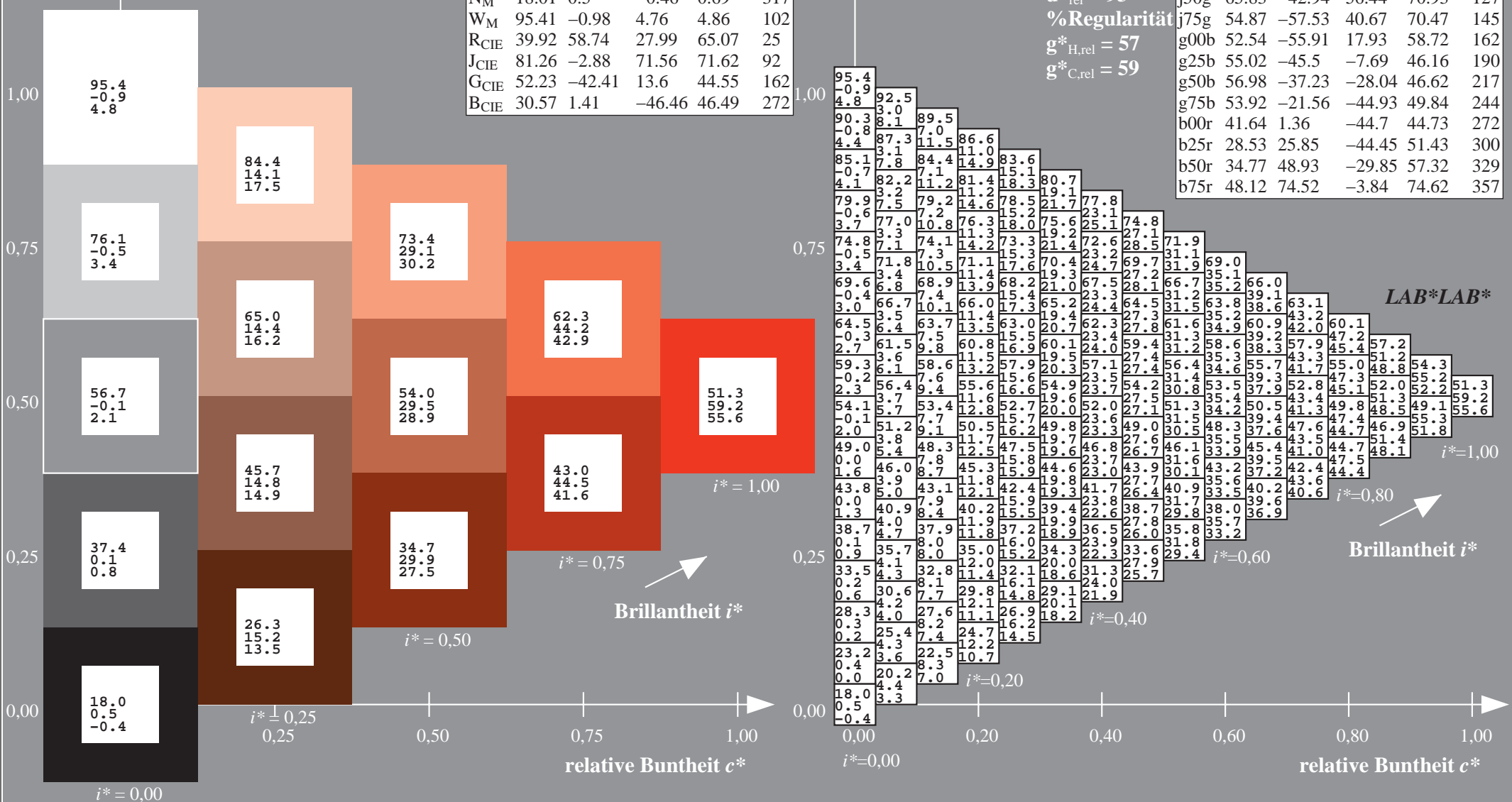
$u^*_{rel} = 93$

%Regularität

$g^*_{H,rel} = 57$

$g^*_{C,rel} = 59$

ORS18_95aM; adaptierte CIELAB-Daten					
	$L^*=L^*_a$	a^*_a	b^*_a	$C^*_{ab,a}$	$h^*_{ab,a}$
r00j	48.0	68.4	32.59	75.77	25
r25j	51.32	59.36	53.8	80.11	42
r50j	62.67	39.12	64.83	75.72	59
r75j	73.73	19.4	75.58	78.03	76
j00g	86.61	-3.55	88.09	88.17	92
j25g	78.07	-26.64	74.05	78.7	110
j50g	65.83	-42.94	56.44	70.93	127
j75g	54.87	-57.53	40.67	70.47	145
g00b	52.54	-55.91	17.93	58.72	162
g25b	55.02	-45.5	-7.69	46.16	190
g50b	56.98	-37.23	-28.04	46.62	217
g75b	53.92	-21.56	-44.93	49.84	244
b00r	41.64	1.36	-44.7	44.73	272
b25r	28.53	25.85	-44.45	51.43	300
b50r	34.77	48.93	-29.85	57.32	329
b75r	48.12	74.52	-3.84	74.62	357



Daten für jede Farbe:

lab^*ch^* und lab^*icu^*

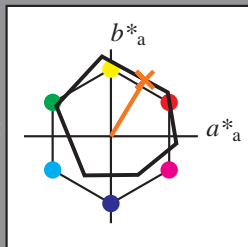
Elementar-Buntontext:

$u^* = r50j$

Kontrastreduzierungsfaktor:

$c_R = 1.0$

Dreiecks-Helligkeit t^*



ORS18_95M; CIELAB-Daten

	$L^*=L^*$	a^*	b^*	C^*_{ab}	h^*_{ab}
O _M	47.94	65.31	52.07	83.53	39
Y _M	90.37	-11.15	96.17	96.82	97
L _M	50.9	-62.96	36.71	72.89	150
C _M	58.62	-30.62	-42.74	52.59	234
V _M	25.72	31.45	-44.35	54.38	305
M _M	48.13	75.2	-6.79	75.51	355
N _M	18.01	0.5	-0.46	0.69	317
W _M	95.41	-0.98	4.76	4.86	102
R _{CIE}	39.92	58.74	27.99	65.07	25
J _{CIE}	81.26	-2.88	71.56	71.62	92
G _{CIE}	52.23	-42.41	13.6	44.55	162
B _{CIE}	30.57	1.41	-46.46	46.49	272

Daten für Maximalfarbe (Ma):

$LAB^*LAB^*_{Ma}: 63\ 39\ 65$

$LAB^*LCH^*_{Ma}: 63\ 76\ 59$

$lab^*rgb^*_{Ma}: 1.0\ 0.5\ 0.0$

$lab^*olv^*_{Ma}: 1.0\ 0.35\ 0.0$

Dreiecks-Helligkeit t^*

%Umfang

$u^*_{rel} = 93$

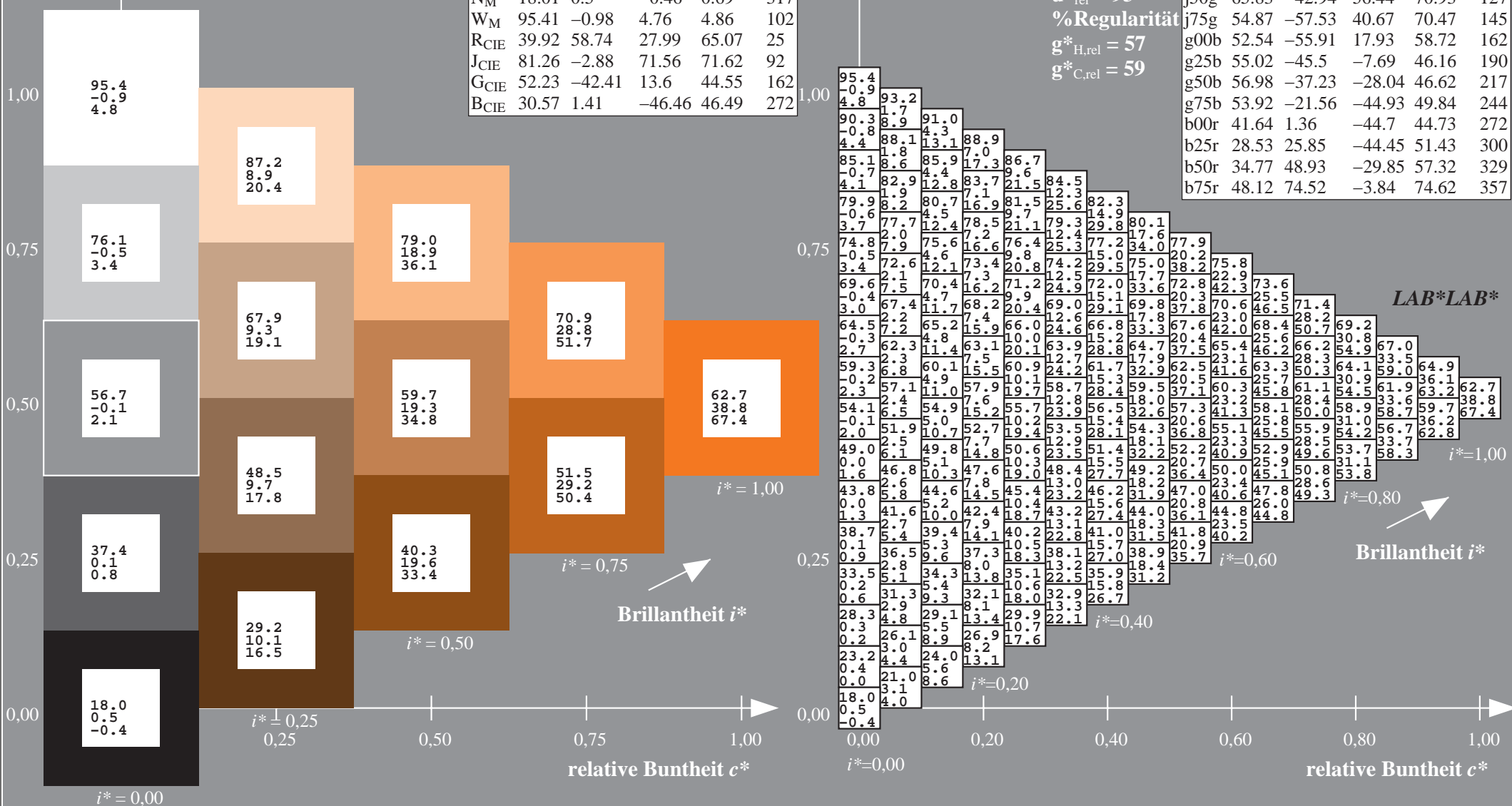
%Regularität

$g^*_{H,rel} = 57$

$g^*_{C,rel} = 59$

ORS18_95aM; adaptierte CIELAB-Daten

	$L^*=L^*_a$	a^*_a	b^*_a	$C^*_{ab,a}$	$h^*_{ab,a}$
r00j	48.0	68.4	32.59	75.77	25
r25j	51.32	59.36	53.8	80.11	42
r50j	62.67	39.12	64.83	75.72	59
r75j	73.73	19.4	75.58	78.03	76
j00g	86.61	-3.55	88.09	88.17	92
j25g	78.07	-26.64	74.05	78.7	110
j50g	65.83	-42.94	56.44	70.93	127
j75g	54.87	-57.53	40.67	70.47	145
g00b	52.54	-55.91	17.93	58.72	162
g25b	55.02	-45.5	-7.69	46.16	190
g50b	56.98	-37.23	-28.04	46.62	217
g75b	53.92	-21.56	-44.93	49.84	244
b00r	41.64	1.36	-44.7	44.73	272
b25r	28.53	25.85	-44.45	51.43	300
b50r	34.77	48.93	-29.85	57.32	329
b75r	48.12	74.52	-3.84	74.62	357



Daten für jede Farbe:

lab^*ch^* und lab^*icu^*

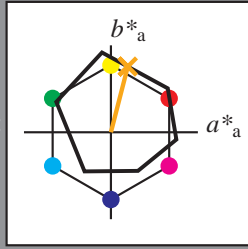
Elementar-Buntontext:

$u^* = r75j$

Kontrastreduzierungsfaktor:

$c_R = 1.0$

Dreiecks-Helligkeit t^*



ORS18_95M; CIELAB-Daten					
	$L^* = \bar{L}^*$	a^*	b^*	C^*_{ab}	h^*_{ab}
O _M	47.94	65.31	52.07	83.53	39
Y _M	90.37	-11.15	96.17	96.82	97
L _M	50.9	-62.96	36.71	72.89	150
C _M	58.62	-30.62	-42.74	52.59	234
V _M	25.72	31.45	-44.35	54.38	305
M _M	48.13	75.2	-6.79	75.51	355
N _M	18.01	0.5	-0.46	0.69	317
W _M	95.41	-0.98	4.76	4.86	102
R _{CIE}	39.92	58.74	27.99	65.07	25
J _{CIE}	81.26	-2.88	71.56	71.62	92
G _{CIE}	52.23	-42.41	13.6	44.55	162
B _{CIE}	30.57	1.41	-46.46	46.49	272

Daten für Maximalfarbe (Ma):

$LAB^*LAB^*_{Ma}: 74 \ 19 \ 76$

$LAB^*LCH^*_{Ma}: 74 \ 78 \ 76$

$lab^*rgb^*_{Ma}: 1.0 \ 0.75 \ 0.0$

$lab^*olv^*_{Ma}: 1.0 \ 0.61 \ 0.0$

Dreiecks-Helligkeit t^*

%Umfang

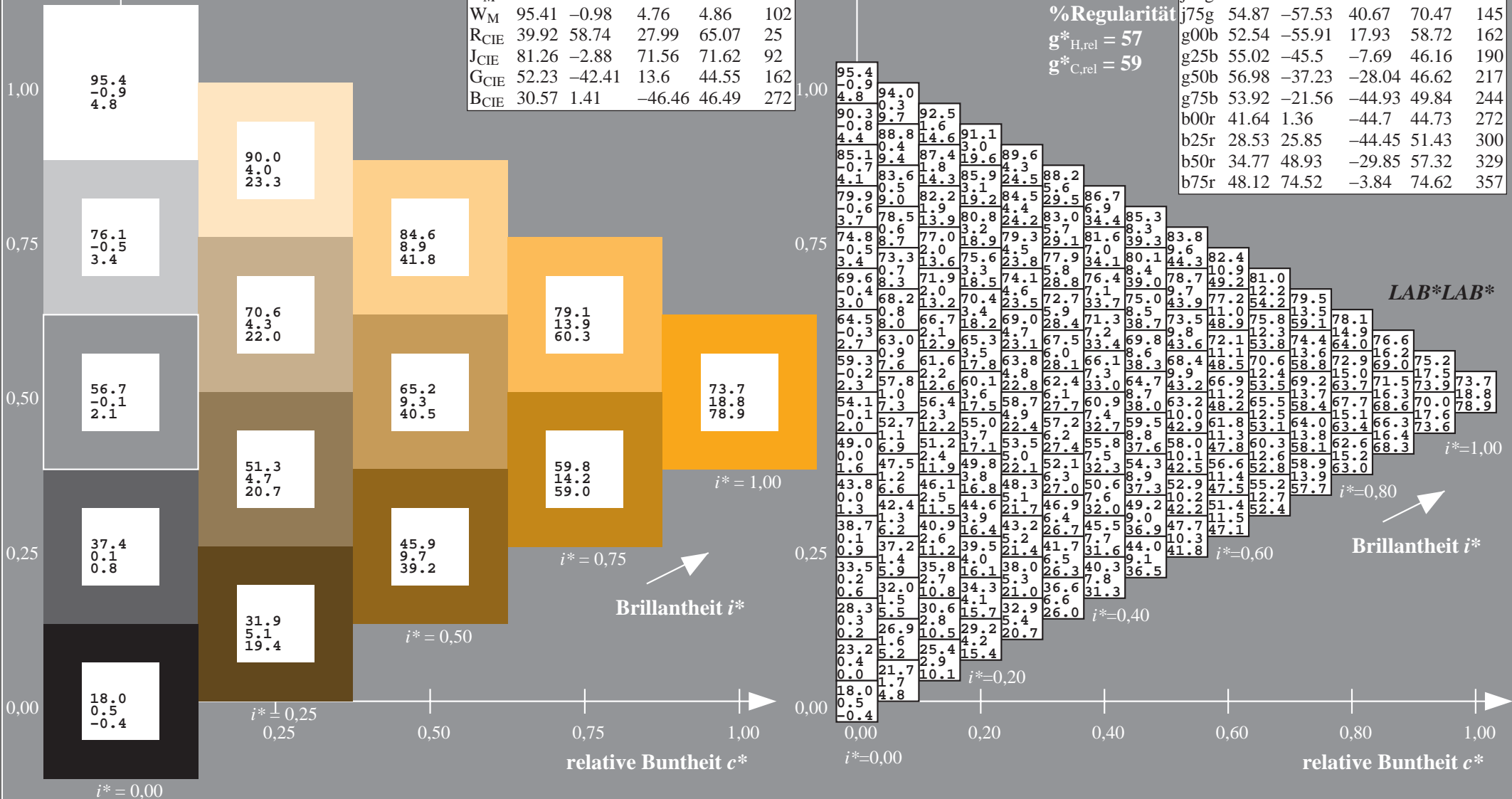
$u^*_{rel} = 93$

%Regularität

$g^*_{H,rel} = 57$

$g^*_{C,rel} = 59$

ORS18_95aM; adaptierte CIELAB-Daten					
	$L^* = \bar{L}^*_a$	a^*_a	b^*_a	$C^*_{ab,a}$	$h^*_{ab,a}$
r00j	48.0	68.4	32.59	75.77	25
r25j	51.32	59.36	53.8	80.11	42
r50j	62.67	39.12	64.83	75.72	59
r75j	73.73	19.4	75.58	78.03	76
j00g	86.61	-3.55	88.09	88.17	92
j25g	78.07	-26.64	74.05	78.7	110
j50g	65.83	-42.94	56.44	70.93	127
j75g	54.87	-57.53	40.67	70.47	145
g00b	52.54	-55.91	17.93	58.72	162
g25b	55.02	-45.5	-7.69	46.16	190
g50b	56.98	-37.23	-28.04	46.62	217
g75b	53.92	-21.56	-44.93	49.84	244
b00r	41.64	1.36	-44.7	44.73	272
b25r	28.53	25.85	-44.45	51.43	300
b50r	34.77	48.93	-29.85	57.32	329
b75r	48.12	74.52	-3.84	74.62	357



Daten für jede Farbe:

lab^*ch^* und lab^*icu^*

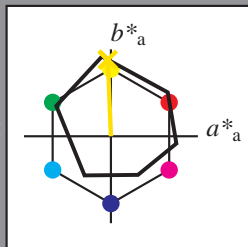
Elementar-Buntontext:

$u^* = j00g$

Kontrastreduzierungsfaktor:

$c_R = 1.0$

Dreiecks-Helligkeit t^*



ORS18_95M; CIELAB-Daten					
	$L^*=L^*$	a^*	b^*	C^*_{ab}	h^*_{ab}
O _M	47.94	65.31	52.07	83.53	39
Y _M	90.37	-11.15	96.17	96.82	97
L _M	50.9	-62.96	36.71	72.89	150
C _M	58.62	-30.62	-42.74	52.59	234
V _M	25.72	31.45	-44.35	54.38	305
M _M	48.13	75.2	-6.79	75.51	355
N _M	18.01	0.5	-0.46	0.69	317
W _M	95.41	-0.98	4.76	4.86	102
R _{CIE}	39.92	58.74	27.99	65.07	25
J _{CIE}	81.26	-2.88	71.56	71.62	92
G _{CIE}	52.23	-42.41	13.6	44.55	162
B _{CIE}	30.57	1.41	-46.46	46.49	272

Daten für Maximalfarbe (Ma):

$LAB^*LAB^*_{Ma}: 87 -3 88$

$LAB^*LCH^*_{Ma}: 87 88 92$

$lab^*rgb^*_{Ma}: 1.0 1.0 0.0$

$lab^*olv^*_{Ma}: 1.0 0.91 0.0$

Dreiecks-Helligkeit t^*

%Umfang

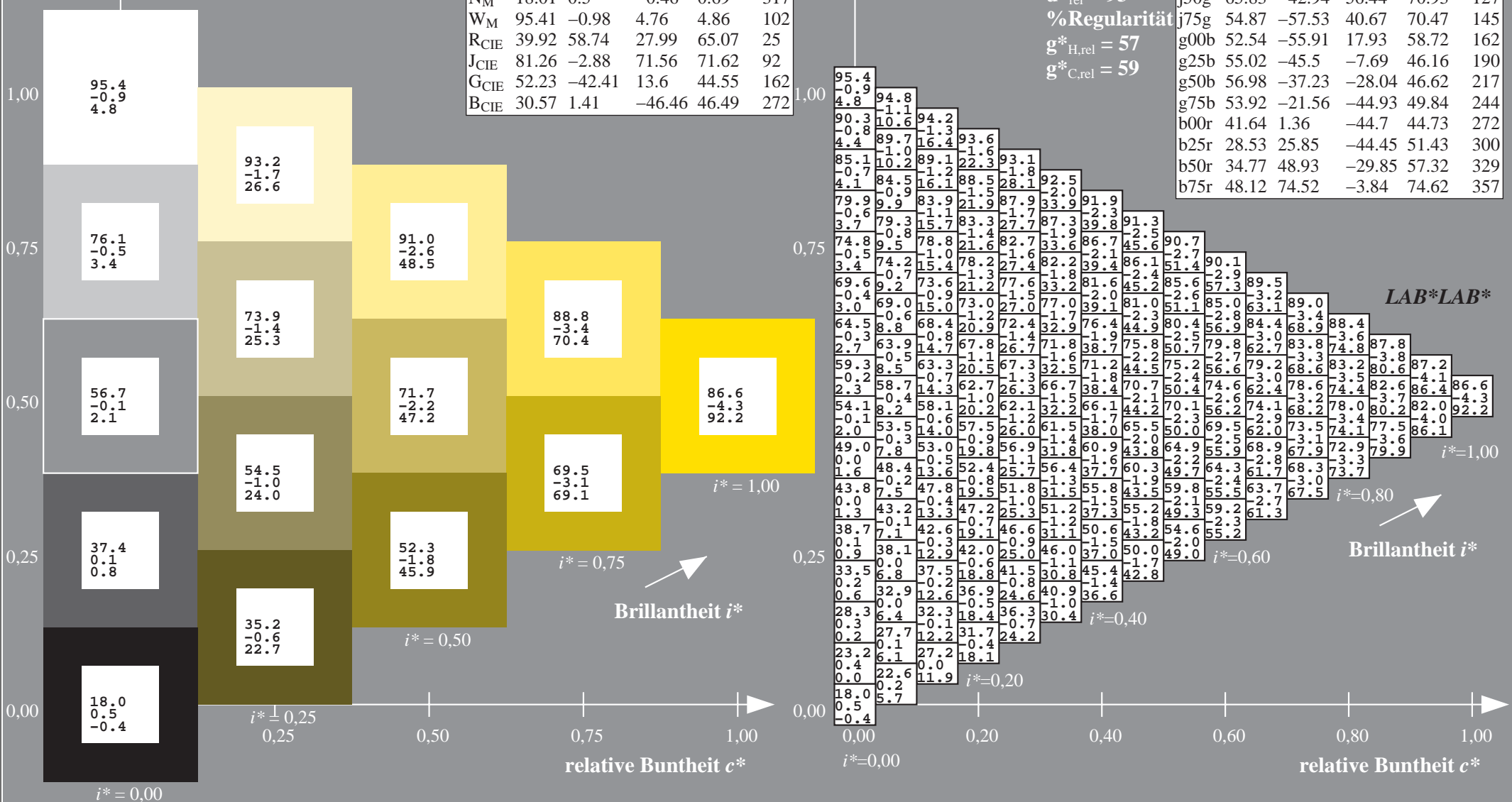
$u^*_{rel} = 93$

%Regularität

$g^*_{H,rel} = 57$

$g^*_{C,rel} = 59$

ORS18_95aM; adaptierte CIELAB-Daten					
	$L^*=L^*_a$	a^*_a	b^*_a	$C^*_{ab,a}$	$h^*_{ab,a}$
r00j	48.0	68.4	32.59	75.77	25
r25j	51.32	59.36	53.8	80.11	42
r50j	62.67	39.12	64.83	75.72	59
r75j	73.73	19.4	75.58	78.03	76
j00g	86.61	-3.55	88.09	88.17	92
j25g	78.07	-26.64	74.05	78.7	110
j50g	65.83	-42.94	56.44	70.93	127
j75g	54.87	-57.53	40.67	70.47	145
g00b	52.54	-55.91	17.93	58.72	162
g25b	55.02	-45.5	-7.69	46.16	190
g50b	56.98	-37.23	-28.04	46.62	217
g75b	53.92	-21.56	-44.93	49.84	244
b00r	41.64	1.36	-44.7	44.73	272
b25r	28.53	25.85	-44.45	51.43	300
b50r	34.77	48.93	-29.85	57.32	329
b75r	48.12	74.52	-3.84	74.62	357



Ein und Ausgabe: Farbmetrisches Drucker-Reflektiv-System ORS18_95aM für relative CIELAB-Bunton $h^* = lab^*h^* = h_{ab}/360 = 110/360 = 0.305$ $u^* = j25g$

Daten für jede Farbe:

lab^*ch^* und lab^*icu^*

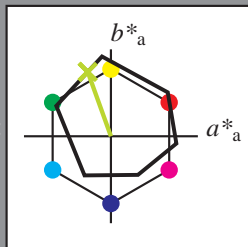
Elementar-Buntontext:

$u^* = j25g$

Kontrastreduzierungsfaktor:

$c_R = 1.0$

Dreiecks-Helligkeit t^*



ORS18_95M; CIELAB-Daten

	$L^*=L^*$	a^*	b^*	C^*_{ab}	h^*_{ab}
O _M	47.94	65.31	52.07	83.53	39
Y _M	90.37	-11.15	96.17	96.82	97
L _M	50.9	-62.96	36.71	72.89	150
C _M	58.62	-30.62	-42.74	52.59	234
V _M	25.72	31.45	-44.35	54.38	305
M _M	48.13	75.2	-6.79	75.51	355
N _M	18.01	0.5	-0.46	0.69	317
W _M	95.41	-0.98	4.76	4.86	102
R _{CIE}	39.92	58.74	27.99	65.07	25
J _{CIE}	81.26	-2.88	71.56	71.62	92
G _{CIE}	52.23	-42.41	13.6	44.55	162
B _{CIE}	30.57	1.41	-46.46	46.49	272

Daten für Maximalfarbe (Ma):

$LAB^*LAB^*_{Ma}: 78 -26 74$

$LAB^*LCH^*_{Ma}: 78 79 110$

$lab^*rgb^*_{Ma}: 0.75 1.0 0.0$

$lab^*olv^*_{Ma}: 0.69 1.0 0.0$

Dreiecks-Helligkeit t^*

%Umfang

$u^*_{rel} = 93$

%Regularität

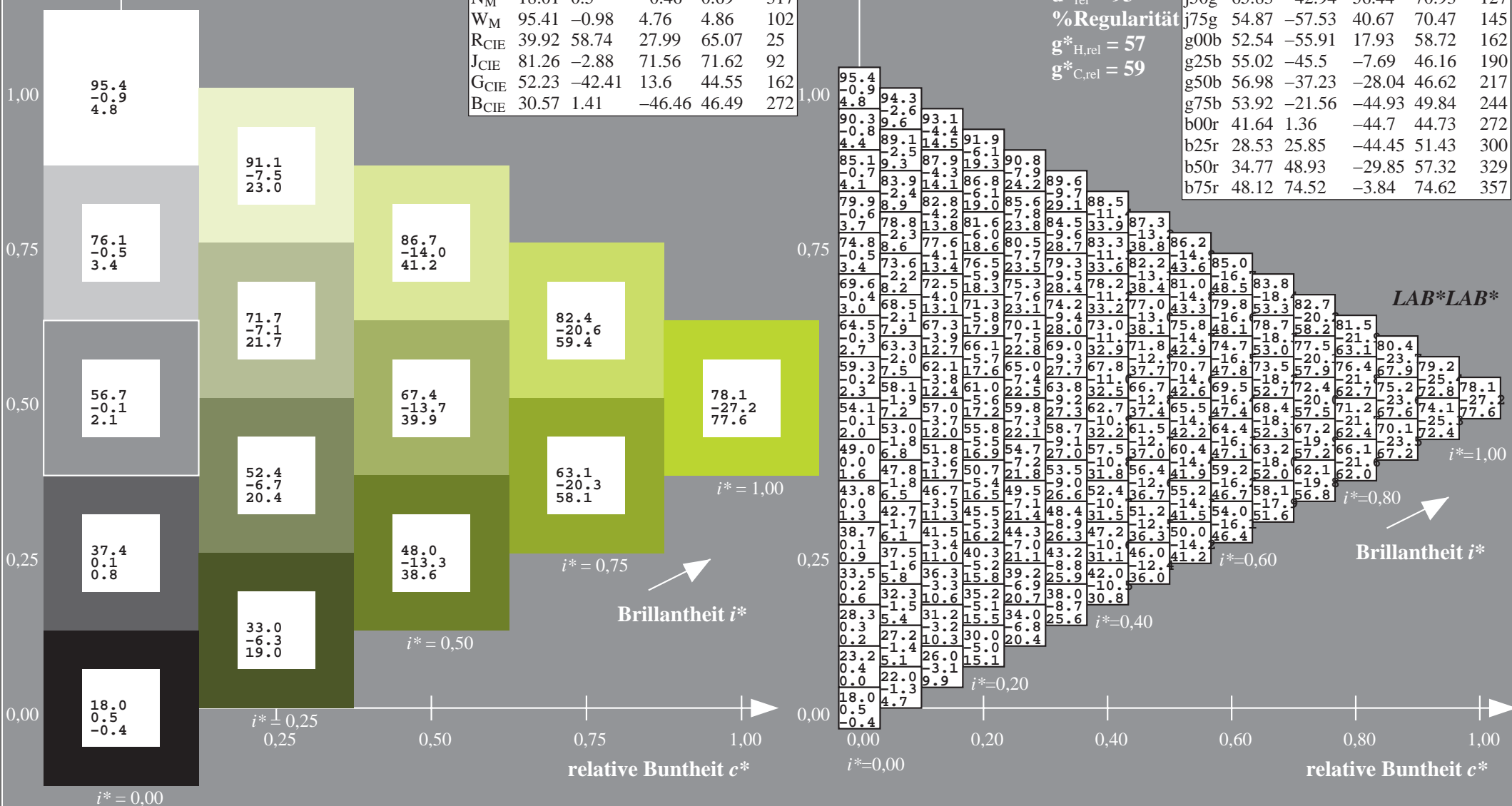
$g^*_{H,rel} = 57$

$g^*_{C,rel} = 59$

LAB^*LAB^*

ORS18_95aM; adaptierte CIELAB-Daten

	$L^*=L^*_a$	a^*_a	b^*_a	$C^*_{ab,a}$	$h^*_{ab,a}$
r00j	48.0	68.4	32.59	75.77	25
r25j	51.32	59.36	53.8	80.11	42
r50j	62.67	39.12	64.83	75.72	59
r75j	73.73	19.4	75.58	78.03	76
j00g	86.61	-3.55	88.09	88.17	92
j25g	78.07	-26.64	74.05	78.7	110
j50g	65.83	-42.94	56.44	70.93	127
j75g	54.87	-57.53	40.67	70.47	145
g00b	52.54	-55.91	17.93	58.72	162
g25b	55.02	-45.5	-7.69	46.16	190
g50b	56.98	-37.23	-28.04	46.62	217
g75b	53.92	-21.56	-44.93	49.84	244
b00r	41.64	1.36	-44.7	44.73	272
b25r	28.53	25.85	-44.45	51.43	300
b50r	34.77	48.93	-29.85	57.32	329
b75r	48.12	74.52	-3.84	74.62	357



Daten für jede Farbe:

lab^*ch^* und lab^*icu^*

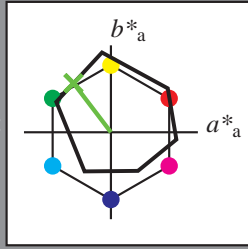
Elementar-Buntontext:

$u^* = j50g$

Kontrastreduzierungsfaktor:

$c_R = 1.0$

Dreiecks-Helligkeit t^*



ORS18_95M; CIELAB-Daten

	$L^*=L^*$	a^*	b^*	C^*_{ab}	h^*_{ab}
O _M	47.94	65.31	52.07	83.53	39
Y _M	90.37	-11.15	96.17	96.82	97
L _M	50.9	-62.96	36.71	72.89	150
C _M	58.62	-30.62	-42.74	52.59	234
V _M	25.72	31.45	-44.35	54.38	305
M _M	48.13	75.2	-6.79	75.51	355
N _M	18.01	0.5	-0.46	0.69	317
W _M	95.41	-0.98	4.76	4.86	102
R _{CIE}	39.92	58.74	27.99	65.07	25
J _{CIE}	81.26	-2.88	71.56	71.62	92
G _{CIE}	52.23	-42.41	13.6	44.55	162
B _{CIE}	30.57	1.41	-46.46	46.49	272

Daten für Maximalfarbe (Ma):

$LAB^*LAB^*_{Ma}: 66 -42 56$

$LAB^*LCH^*_{Ma}: 66 71 127$

$lab^*rgb^*_{Ma}: 0.5 1.0 0.0$

$lab^*olv^*_{Ma}: 0.38 1.0 0.0$

Dreiecks-Helligkeit t^*

%Umfang

$u^*_{rel} = 93$

%Regularität

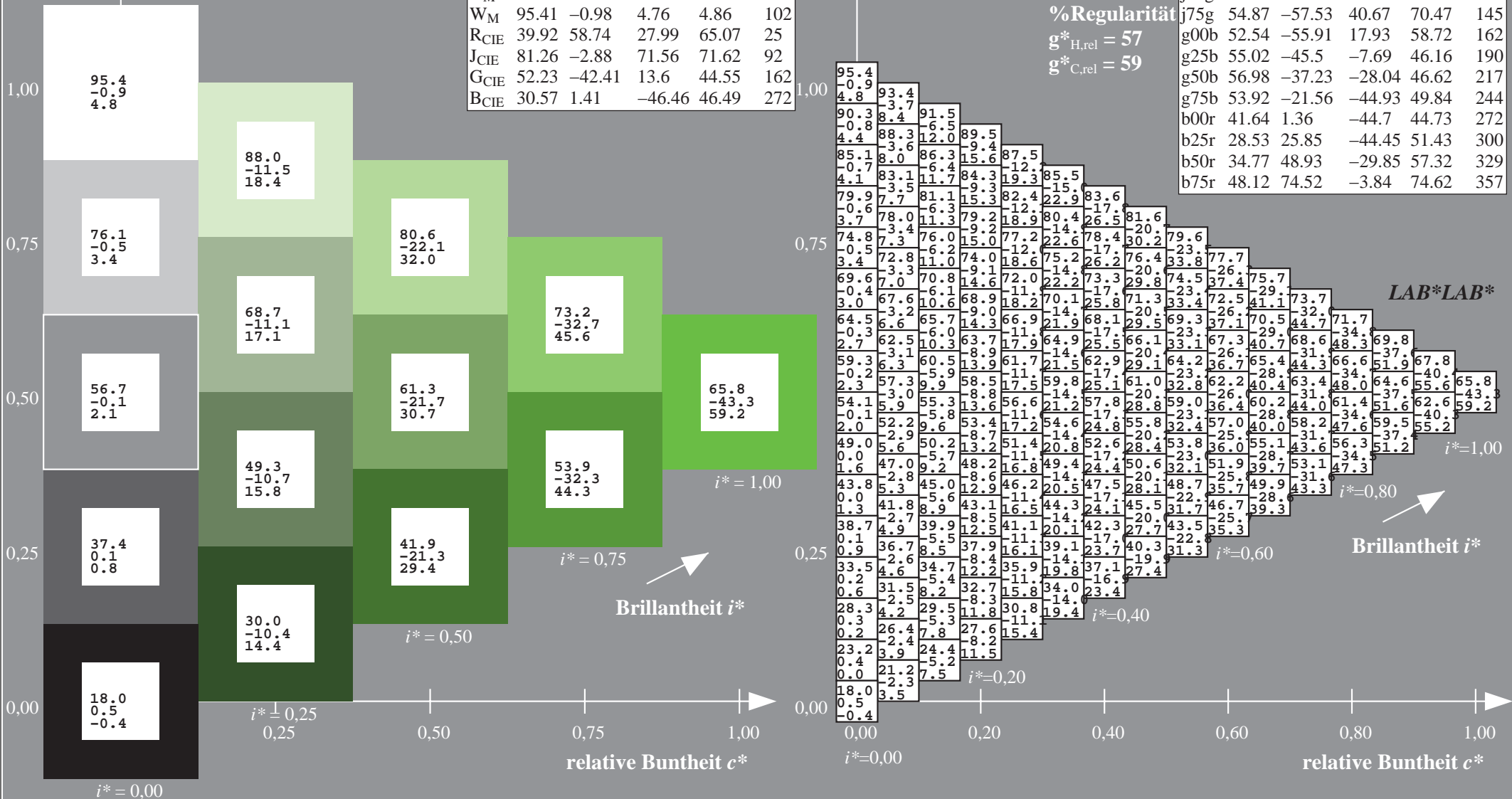
$g^*_{H,rel} = 57$

$g^*_{C,rel} = 59$

LAB^*LAB^*

ORS18_95aM; adaptierte CIELAB-Daten

	$L^*=L^*_a$	a^*_a	b^*_a	$C^*_{ab,a}$	$h^*_{ab,a}$
r00j	48.0	68.4	32.59	75.77	25
r25j	51.32	59.36	53.8	80.11	42
r50j	62.67	39.12	64.83	75.72	59
r75j	73.73	19.4	75.58	78.03	76
j00g	86.61	-3.55	88.09	88.17	92
j25g	78.07	-26.64	74.05	78.7	110
j50g	65.83	-42.94	56.44	70.93	127
j75g	54.87	-57.53	40.67	70.47	145
g00b	52.54	-55.91	17.93	58.72	162
g25b	55.02	-45.5	-7.69	46.16	190
g50b	56.98	-37.23	-28.04	46.62	217
g75b	53.92	-21.56	-44.93	49.84	244
b00r	41.64	1.36	-44.7	44.73	272
b25r	28.53	25.85	-44.45	51.43	300
b50r	34.77	48.93	-29.85	57.32	329
b75r	48.12	74.52	-3.84	74.62	357



Daten für jede Farbe:

lab^*ch^* und lab^*icu^*

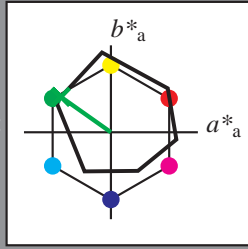
Elementar-Buntontext:

$u^* = j75g$

Kontrastreduzierungsfaktor:

$c_R = 1.0$

Dreiecks-Helligkeit t^*



ORS18_95M; CIELAB-Daten

	$L^*=L^*$	a^*	b^*	C^*_{ab}	h^*_{ab}
O _M	47.94	65.31	52.07	83.53	39
Y _M	90.37	-11.15	96.17	96.82	97
L _M	50.9	-62.96	36.71	72.89	150
C _M	58.62	-30.62	-42.74	52.59	234
V _M	25.72	31.45	-44.35	54.38	305
M _M	48.13	75.2	-6.79	75.51	355
N _M	18.01	0.5	-0.46	0.69	317
W _M	95.41	-0.98	4.76	4.86	102
R _{CIE}	39.92	58.74	27.99	65.07	25
J _{CIE}	81.26	-2.88	71.56	71.62	92
G _{CIE}	52.23	-42.41	13.6	44.55	162
B _{CIE}	30.57	1.41	-46.46	46.49	272

Daten für Maximalfarbe (Ma):

$LAB^*LAB^*_{Ma}: 55 -57 41$

$LAB^*LCH^*_{Ma}: 55 70 145$

$lab^*rgb^*_{Ma}: 0.25 1.0 0.0$

$lab^*olv^*_{Ma}: 0.1 1.0 0.0$

Dreiecks-Helligkeit t^*

%Umfang

$u^*_{rel} = 93$

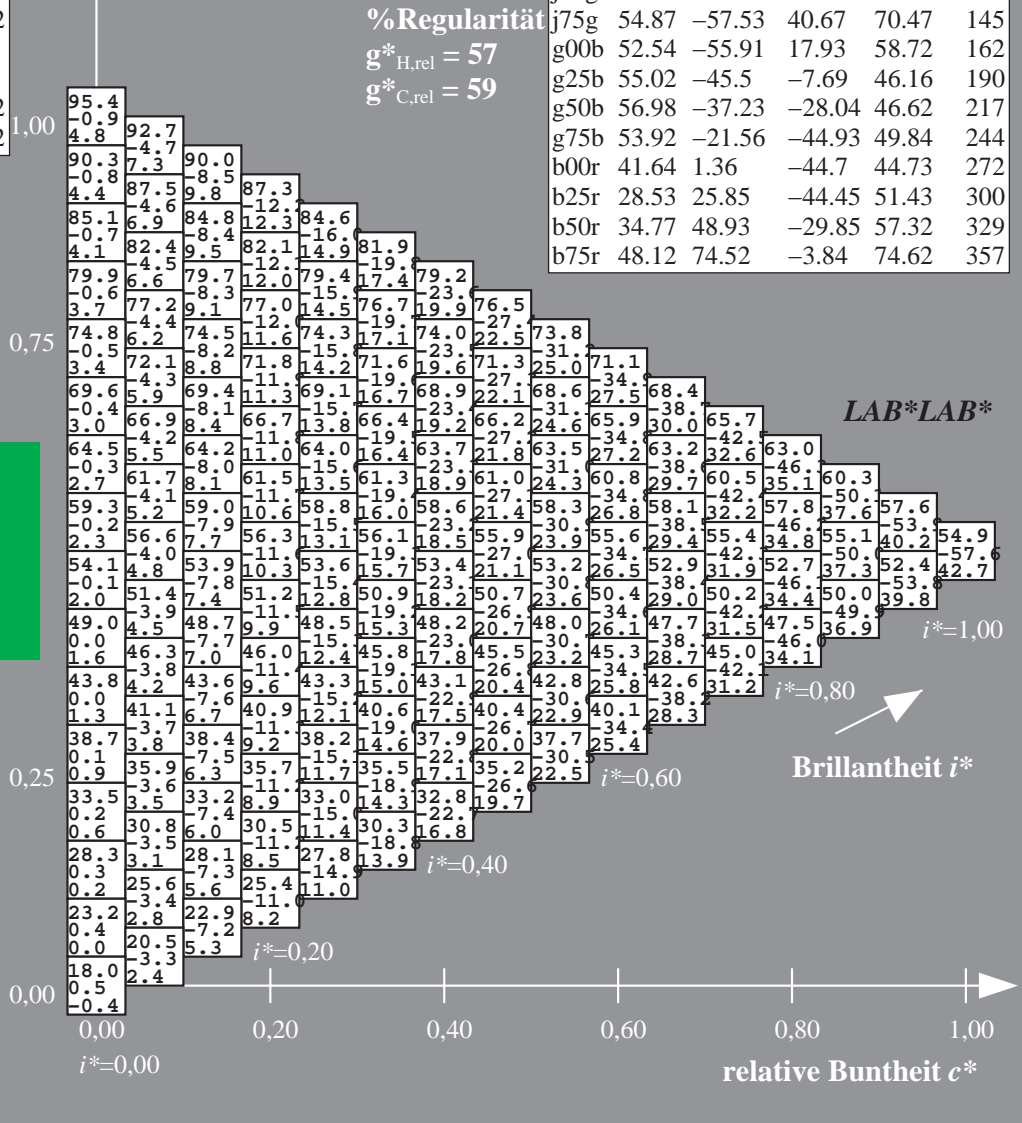
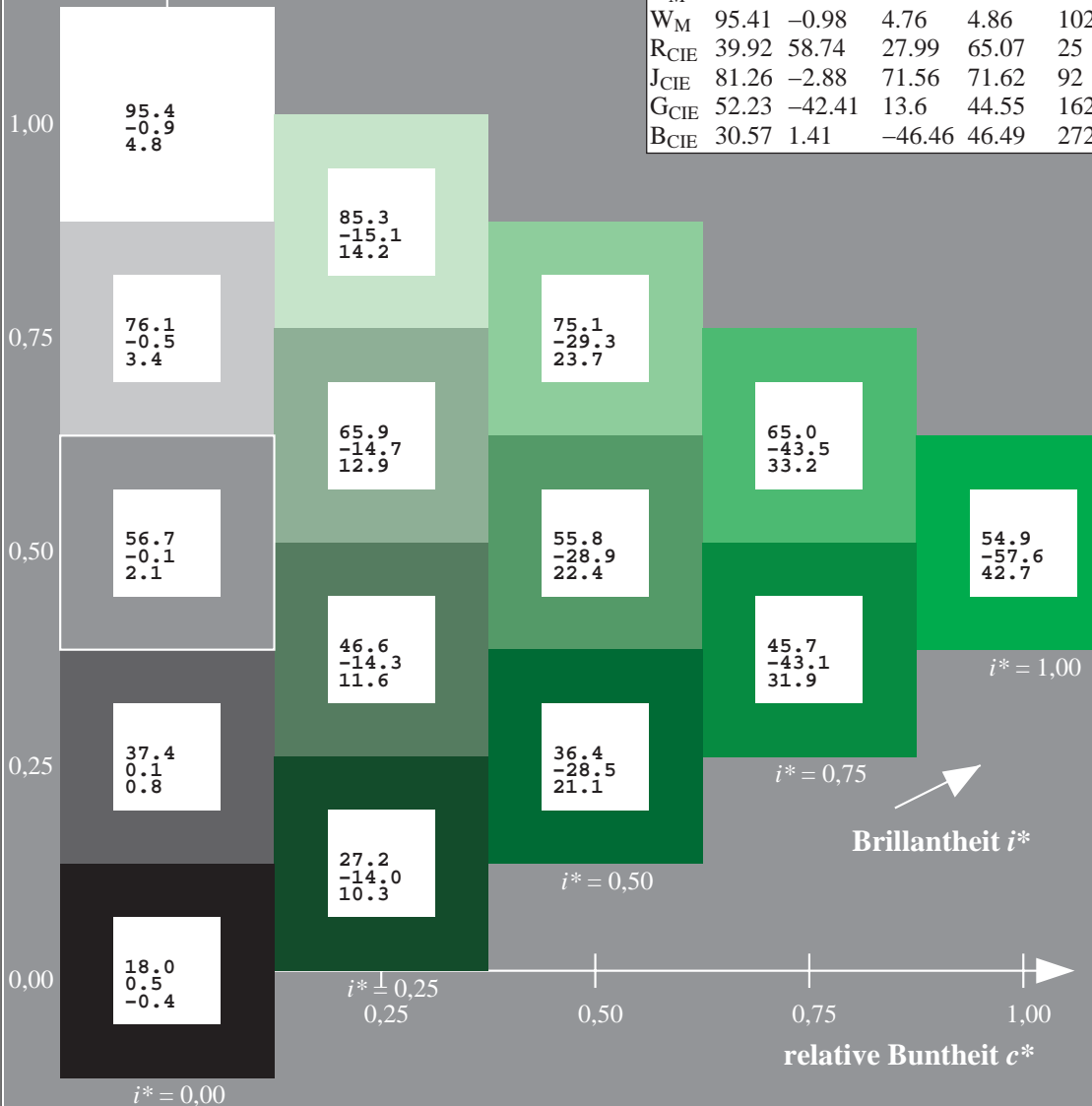
%Regularität

$g^*_{H,rel} = 57$

$g^*_{C,rel} = 59$

ORS18_95aM; adaptierte CIELAB-Daten

	$L^*=L^*_a$	a^*_a	b^*_a	$C^*_{ab,a}$	$h^*_{ab,a}$
r00j	48.0	68.4	32.59	75.77	25
r25j	51.32	59.36	53.8	80.11	42
r50j	62.67	39.12	64.83	75.72	59
r75j	73.73	19.4	75.58	78.03	76
j00g	86.61	-3.55	88.09	88.17	92
j25g	78.07	-26.64	74.05	78.7	110
j50g	65.83	-42.94	56.44	70.93	127
j75g	54.87	-57.53	40.67	70.47	145
g00b	52.54	-55.91	17.93	58.72	162
g25b	55.02	-45.5	-7.69	46.16	190
g50b	56.98	-37.23	-28.04	46.62	217
g75b	53.92	-21.56	-44.93	49.84	244
b00r	41.64	1.36	-44.7	44.73	272
b25r	28.53	25.85	-44.45	51.43	300
b50r	34.77	48.93	-29.85	57.32	329
b75r	48.12	74.52	-3.84	74.62	357



Daten für jede Farbe:

lab^*ch^* und lab^*icu^*

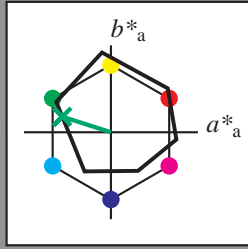
Elementar-Buntontext:

$u^* = g00b$

Kontrastreduzierungsfaktor:

$c_R = 1.0$

Dreiecks-Helligkeit t^*



ORS18_95M; CIELAB-Daten					
	$L^*=L^*$	a^*	b^*	C^*_{ab}	h^*_{ab}
O _M	47.94	65.31	52.07	83.53	39
Y _M	90.37	-11.15	96.17	96.82	97
L _M	50.9	-62.96	36.71	72.89	150
C _M	58.62	-30.62	-42.74	52.59	234
V _M	25.72	31.45	-44.35	54.38	305
M _M	48.13	75.2	-6.79	75.51	355
N _M	18.01	0.5	-0.46	0.69	317
W _M	95.41	-0.98	4.76	4.86	102
R _{CIE}	39.92	58.74	27.99	65.07	25
J _{CIE}	81.26	-2.88	71.56	71.62	92
G _{CIE}	52.23	-42.41	13.6	44.55	162
B _{CIE}	30.57	1.41	-46.46	46.49	272

Daten für Maximalfarbe (Ma):

$LAB^*LAB^*_{Ma}: 53 -55 18$

$LAB^*LCH^*_{Ma}: 53 59 162$

$lab^*rgb^*_{Ma}: 0.0 1.0 0.0$

$lab^*olv^*_{Ma}: 0.0 1.0 0.21$

Dreiecks-Helligkeit t^*

%Umfang

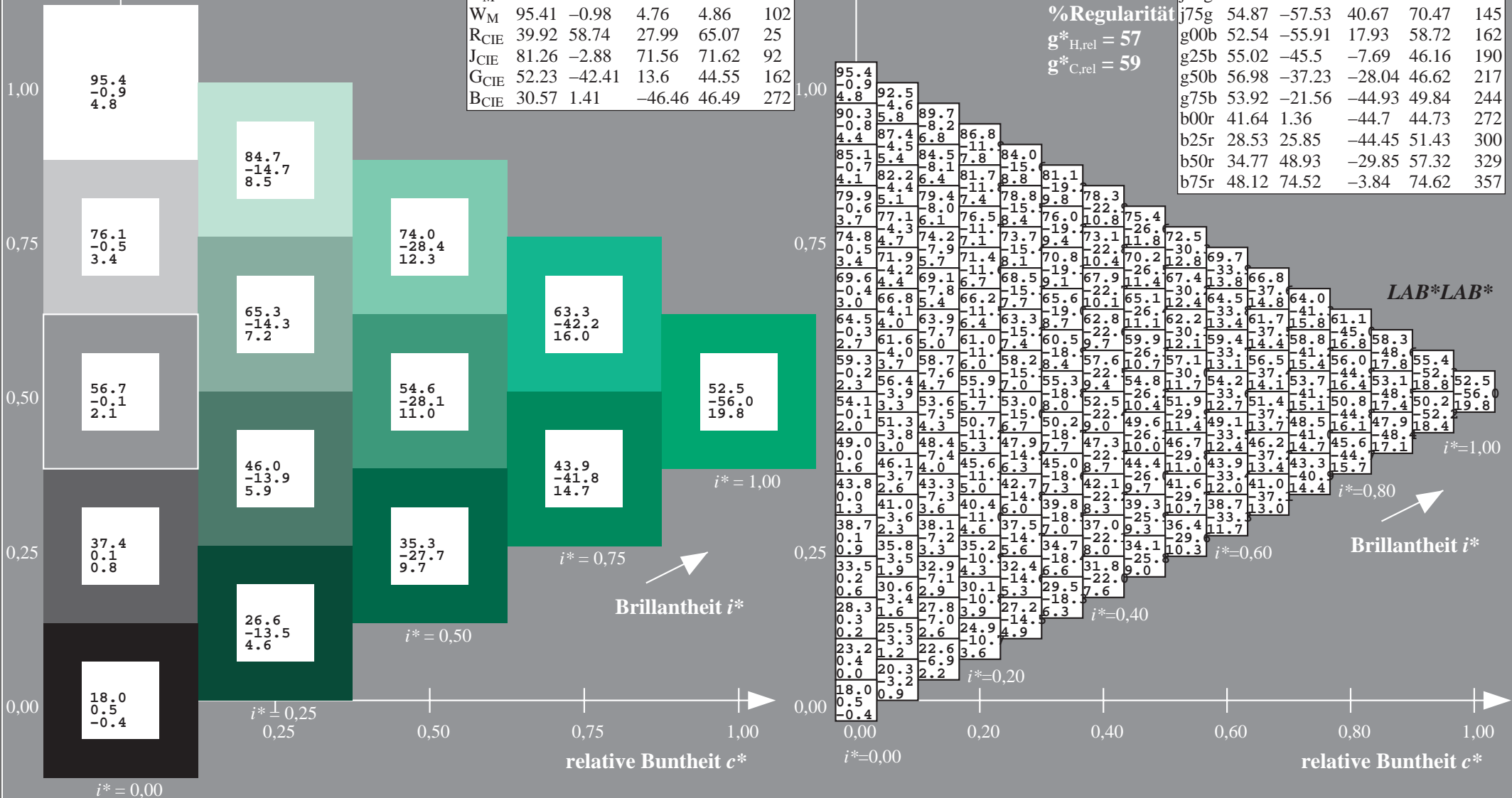
$u^*_{rel} = 93$

%Regularität

$g^*_{H,rel} = 57$

$g^*_{C,rel} = 59$

ORS18_95aM; adaptierte CIELAB-Daten					
	$L^*=L^*_a$	a^*_a	b^*_a	$C^*_{ab,a}$	$h^*_{ab,a}$
r00j	48.0	68.4	32.59	75.77	25
r25j	51.32	59.36	53.8	80.11	42
r50j	62.67	39.12	64.83	75.72	59
r75j	73.73	19.4	75.58	78.03	76
j00g	86.61	-3.55	88.09	88.17	92
j25g	78.07	-26.64	74.05	78.7	110
j50g	65.83	-42.94	56.44	70.93	127
j75g	54.87	-57.53	40.67	70.47	145
g00b	52.54	-55.91	17.93	58.72	162
g25b	55.02	-45.5	-7.69	46.16	190
g50b	56.98	-37.23	-28.04	46.62	217
g75b	53.92	-21.56	-44.93	49.84	244
b00r	41.64	1.36	-44.7	44.73	272
b25r	28.53	25.85	-44.45	51.43	300
b50r	34.77	48.93	-29.85	57.32	329
b75r	48.12	74.52	-3.84	74.62	357



Daten für jede Farbe:

lab^*ch^* und lab^*icu^*

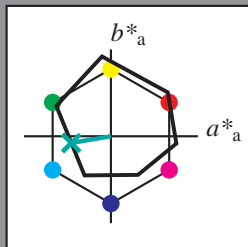
Elementar-Buntontext:

$u^* = g25b$

Kontrastreduzierungsfaktor:

$c_R = 1.0$

Dreiecks-Helligkeit t^*



ORS18_95M; CIELAB-Daten

	$L^*=L^*$	a^*	b^*	C^*_{ab}	h^*_{ab}
O_M	47.94	65.31	52.07	83.53	39
Y_M	90.37	-11.15	96.17	96.82	97
L_M	50.9	-62.96	36.71	72.89	150
C_M	58.62	-30.62	-42.74	52.59	234
V_M	25.72	31.45	-44.35	54.38	305
M_M	48.13	75.2	-6.79	75.51	355
N_M	18.01	0.5	-0.46	0.69	317
W_M	95.41	-0.98	4.76	4.86	102
R_{CIE}	39.92	58.74	27.99	65.07	25
J_{CIE}	81.26	-2.88	71.56	71.62	92
G_{CIE}	52.23	-42.41	13.6	44.55	162
B_{CIE}	30.57	1.41	-46.46	46.49	272

Daten für Maximalfarbe (Ma):

$LAB^*LAB^*_{Ma}: 55 -45 -7$

$LAB^*LCH^*_{Ma}: 55 46 190$

$lab^*rgb^*_{Ma}: 0.0 1.0 0.5$

$lab^*olv^*_{Ma}: 0.0 1.0 0.53$

Dreiecks-Helligkeit t^*

%Umfang

$u^*_{rel} = 93$

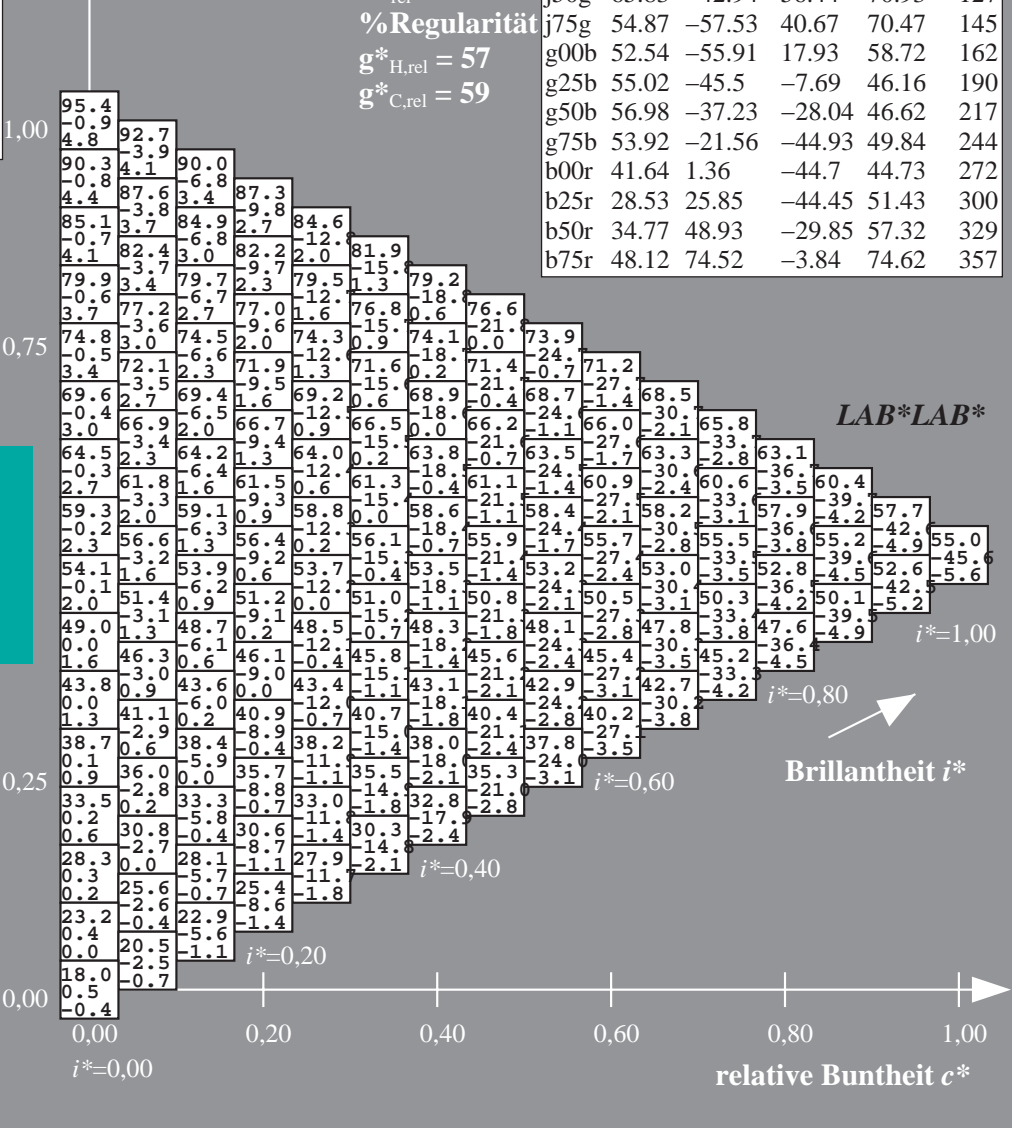
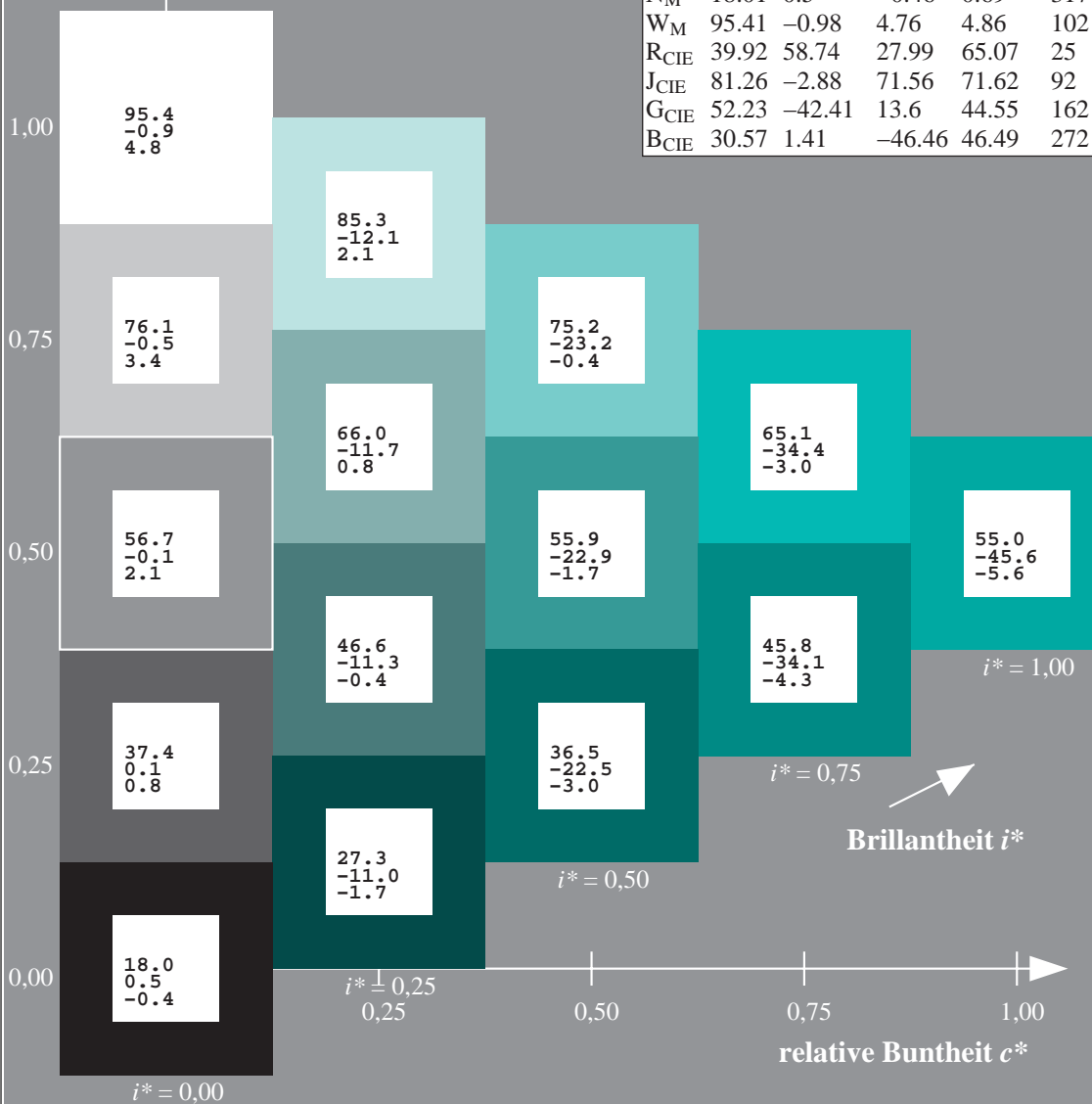
%Regularität

$g^*_{H,rel} = 57$

$g^*_{C,rel} = 59$

ORS18_95aM; adaptierte CIELAB-Daten

	$L^*=L^*_a$	a^*_a	b^*_a	$C^*_{ab,a}$	$h^*_{ab,a}$
r00j	48.0	68.4	32.59	75.77	25
r25j	51.32	59.36	53.8	80.11	42
r50j	62.67	39.12	64.83	75.72	59
r75j	73.73	19.4	75.58	78.03	76
j00g	86.61	-3.55	88.09	88.17	92
j25g	78.07	-26.64	74.05	78.7	110
j50g	65.83	-42.94	56.44	70.93	127
j75g	54.87	-57.53	40.67	70.47	145
g00b	52.54	-55.91	17.93	58.72	162
g25b	55.02	-45.5	-7.69	46.16	190
g50b	56.98	-37.23	-28.04	46.62	217
g75b	53.92	-21.56	-44.93	49.84	244
b00r	41.64	1.36	-44.7	44.73	272
b25r	28.53	25.85	-44.45	51.43	300
b50r	34.77	48.93	-29.85	57.32	329
b75r	48.12	74.52	-3.84	74.62	357



Daten für jede Farbe:

lab^*ch^* und lab^*icu^*

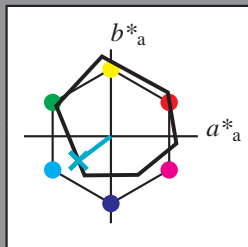
Elementar-Buntontext:

$u^* = g50b$

Kontrastreduzierungsfaktor:

$c_R = 1.0$

Dreiecks-Helligkeit t^*



ORS18_95M; CIELAB-Daten

	$L^*=L^*$	a^*	b^*	C^*_{ab}	h^*_{ab}
O _M	47.94	65.31	52.07	83.53	39
Y _M	90.37	-11.15	96.17	96.82	97
L _M	50.9	-62.96	36.71	72.89	150
C _M	58.62	-30.62	-42.74	52.59	234
V _M	25.72	31.45	-44.35	54.38	305
M _M	48.13	75.2	-6.79	75.51	355
N _M	18.01	0.5	-0.46	0.69	317
W _M	95.41	-0.98	4.76	4.86	102
R _{CIE}	39.92	58.74	27.99	65.07	25
J _{CIE}	81.26	-2.88	71.56	71.62	92
G _{CIE}	52.23	-42.41	13.6	44.55	162
B _{CIE}	30.57	1.41	-46.46	46.49	272

Daten für Maximalfarbe (Ma):

$LAB^*LAB^*_{Ma}: 57 -36 -27$

$LAB^*LCH^*_{Ma}: 57 47 217$

$lab^*rgb^*_{Ma}: 0.0 1.0 1.0$

$lab^*olv^*_{Ma}: 0.0 1.0 0.79$

Dreiecks-Helligkeit t^*

%Umfang

$u^*_{rel} = 93$

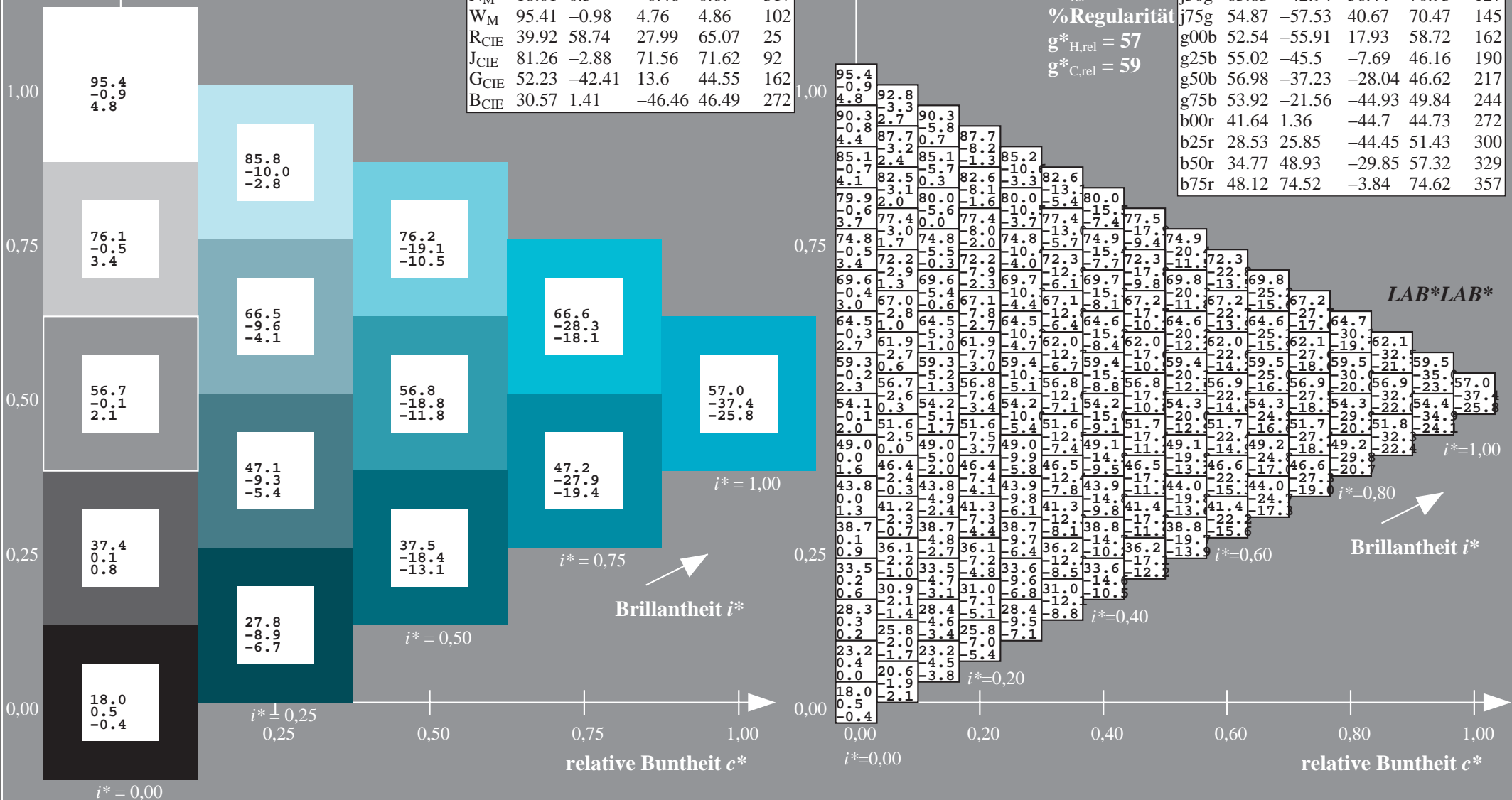
%Regularität

$g^*_{H,rel} = 57$

$g^*_{C,rel} = 59$

ORS18_95aM; adaptierte CIELAB-Daten

	$L^*=L^*_a$	a^*_a	b^*_a	$C^*_{ab,a}$	$h^*_{ab,a}$
r00j	48.0	68.4	32.59	75.77	25
r25j	51.32	59.36	53.8	80.11	42
r50j	62.67	39.12	64.83	75.72	59
r75j	73.73	19.4	75.58	78.03	76
j00g	86.61	-3.55	88.09	88.17	92
j25g	78.07	-26.64	74.05	78.7	110
j50g	65.83	-42.94	56.44	70.93	127
j75g	54.87	-57.53	40.67	70.47	145
g00b	52.54	-55.91	17.93	58.72	162
g25b	55.02	-45.5	-7.69	46.16	190
g50b	56.98	-37.23	-28.04	46.62	217
g75b	53.92	-21.56	-44.93	49.84	244
b00r	41.64	1.36	-44.7	44.73	272
b25r	28.53	25.85	-44.45	51.43	300
b50r	34.77	48.93	-29.85	57.32	329
b75r	48.12	74.52	-3.84	74.62	357



Daten für jede Farbe:

lab^*ch^* und lab^*icu^*

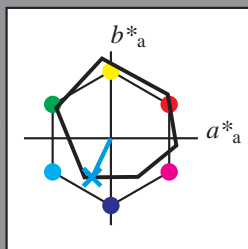
Elementar-Buntontext:

$u^* = g75b$

Kontrastreduzierungsfaktor:

$c_R = 1.0$

Dreiecks-Helligkeit t^*



ORS18_95M; CIELAB-Daten					
	$L^*=L^*$	a^*	b^*	C^*_{ab}	h^*_{ab}
O _M	47.94	65.31	52.07	83.53	39
Y _M	90.37	-11.15	96.17	96.82	97
L _M	50.9	-62.96	36.71	72.89	150
C _M	58.62	-30.62	-42.74	52.59	234
V _M	25.72	31.45	-44.35	54.38	305
M _M	48.13	75.2	-6.79	75.51	355
N _M	18.01	0.5	-0.46	0.69	317
W _M	95.41	-0.98	4.76	4.86	102
R _{CIE}	39.92	58.74	27.99	65.07	25
J _{CIE}	81.26	-2.88	71.56	71.62	92
G _{CIE}	52.23	-42.41	13.6	44.55	162
B _{CIE}	30.57	1.41	-46.46	46.49	272

Daten für Maximalfarbe (Ma):

$LAB^*LAB^*_{Ma}: 54 -21 -44$

$LAB^*LCH^*_{Ma}: 54 50 244$

$lab^*rgb^*_{Ma}: 0.0 0.5 1.0$

$lab^*olv^*_{Ma}: 0.0 0.86 1.0$

Dreiecks-Helligkeit t^*

%Umfang

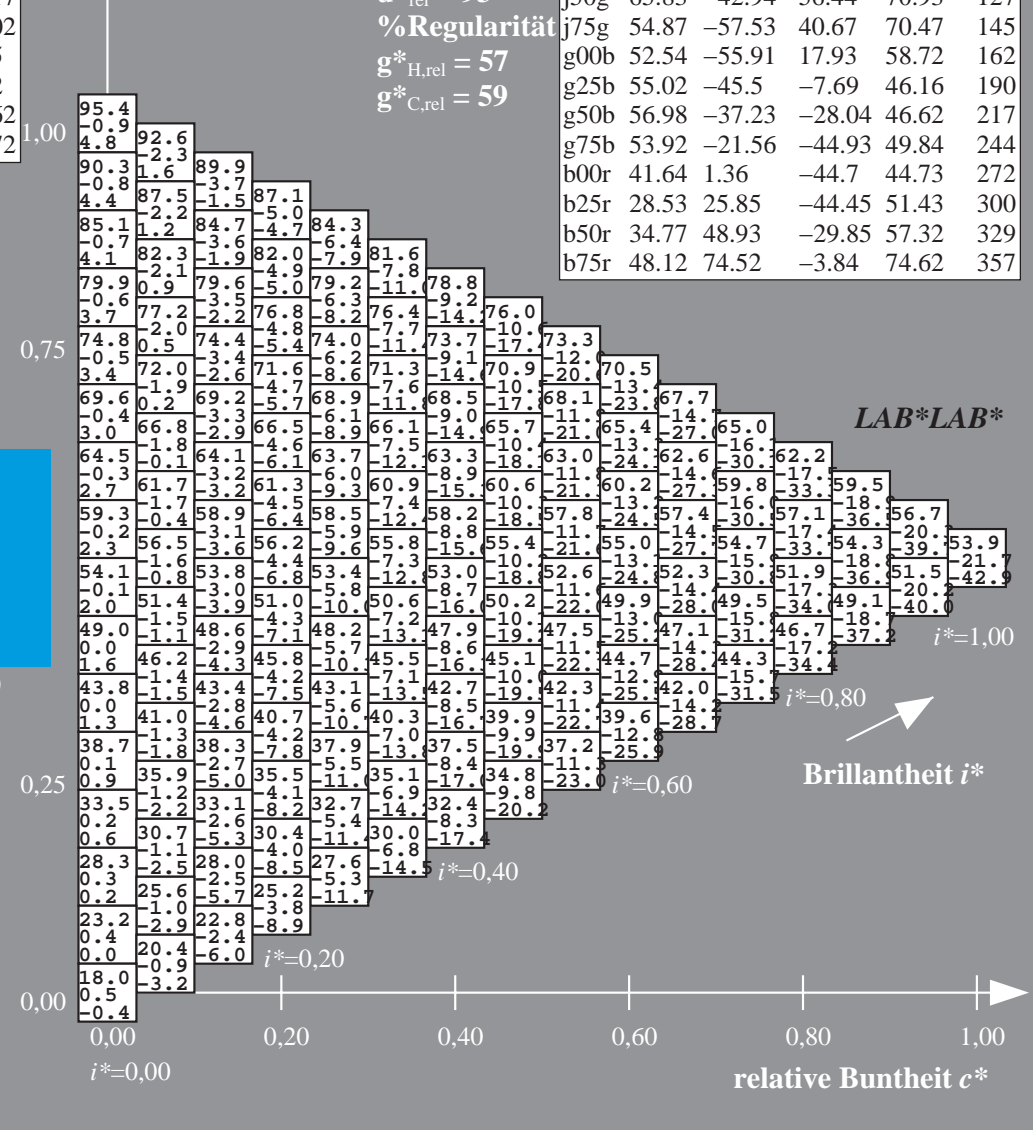
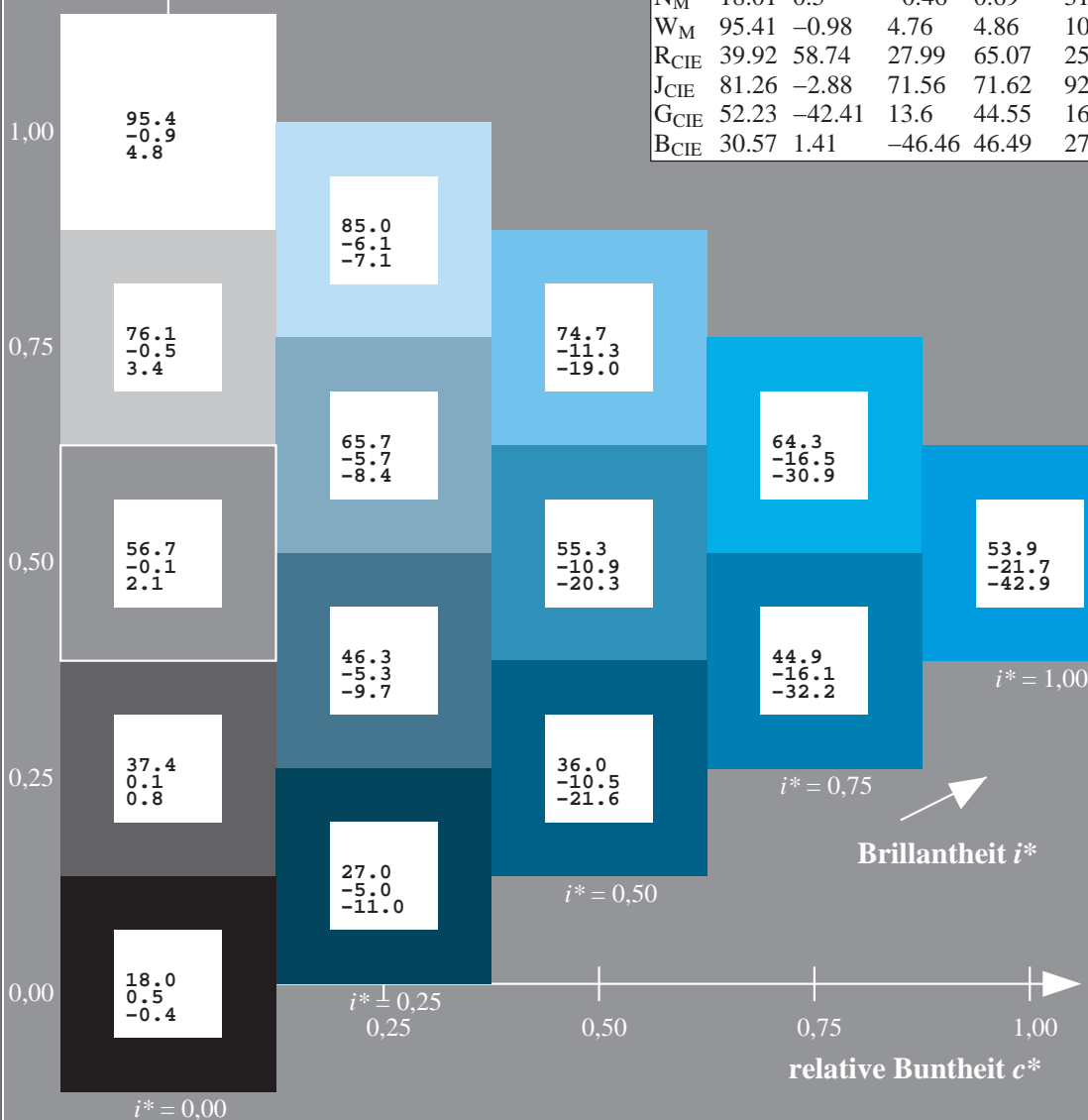
$u^*_{rel} = 93$

%Regularität

$g^*_{H,rel} = 57$

$g^*_{C,rel} = 59$

ORS18_95aM; adaptierte CIELAB-Daten					
	$L^*=L^*_a$	a^*_a	b^*_a	$C^*_{ab,a}$	$h^*_{ab,a}$
r00j	48.0	68.4	32.59	75.77	25
r25j	51.32	59.36	53.8	80.11	42
r50j	62.67	39.12	64.83	75.72	59
r75j	73.73	19.4	75.58	78.03	76
j00g	86.61	-3.55	88.09	88.17	92
j25g	78.07	-26.64	74.05	78.7	110
j50g	65.83	-42.94	56.44	70.93	127
j75g	54.87	-57.53	40.67	70.47	145
g00b	52.54	-55.91	17.93	58.72	162
g25b	55.02	-45.5	-7.69	46.16	190
g50b	56.98	-37.23	-28.04	46.62	217
g75b	53.92	-21.56	-44.93	49.84	244
b00r	41.64	1.36	-44.7	44.73	272
b25r	28.53	25.85	-44.45	51.43	300
b50r	34.77	48.93	-29.85	57.32	329
b75r	48.12	74.52	-3.84	74.62	357



Daten für jede Farbe:

lab^*ch^* und lab^*icu^*

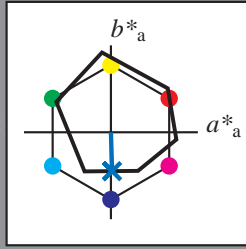
Elementar-Buntontext:

$u^* = b00r$

Kontrastreduzierungsfaktor:

$c_R = 1.0$

Dreiecks-Helligkeit t^*



ORS18_95M; CIELAB-Daten

	$L^*=L^*$	a^*	b^*	C^*_{ab}	h^*_{ab}
O _M	47.94	65.31	52.07	83.53	39
Y _M	90.37	-11.15	96.17	96.82	97
L _M	50.9	-62.96	36.71	72.89	150
C _M	58.62	-30.62	-42.74	52.59	234
V _M	25.72	31.45	-44.35	54.38	305
M _M	48.13	75.2	-6.79	75.51	355
N _M	18.01	0.5	-0.46	0.69	317
W _M	95.41	-0.98	4.76	4.86	102
R _{CIE}	39.92	58.74	27.99	65.07	25
J _{CIE}	81.26	-2.88	71.56	71.62	92
G _{CIE}	52.23	-42.41	13.6	44.55	162
B _{CIE}	30.57	1.41	-46.46	46.49	272

Daten für Maximalfarbe (Ma):

$LAB^*LAB^*_{Ma}: 42 \ 1 \ -44$

$LAB^*LCH^*_{Ma}: 42 \ 45 \ 272$

$lab^*rgb^*_{Ma}: 0.0 \ 0.0 \ 1.0$

$lab^*olv^*_{Ma}: 0.0 \ 0.48 \ 1.0$

Dreiecks-Helligkeit t^*

%Umfang

$u^*_{rel} = 93$

%Regularität

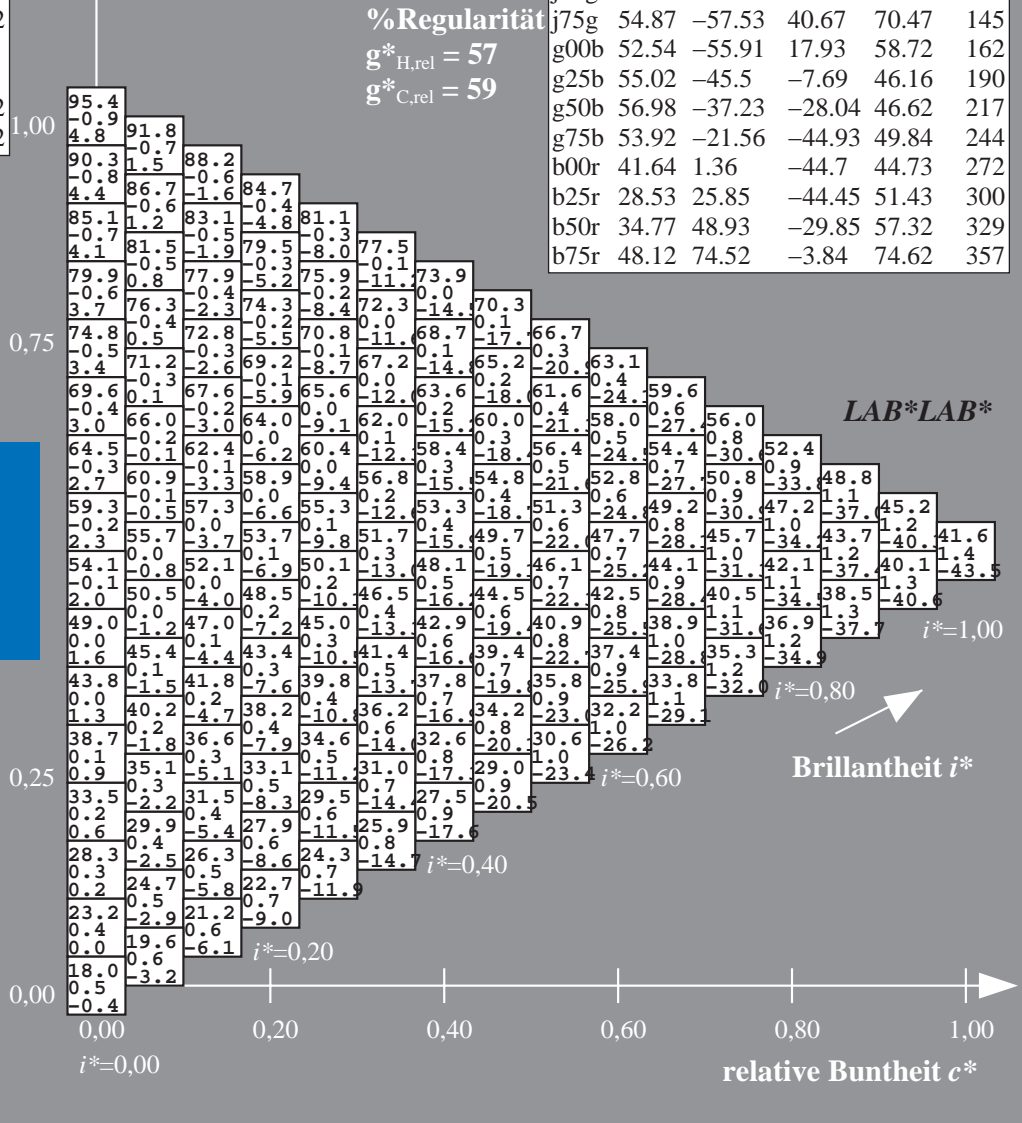
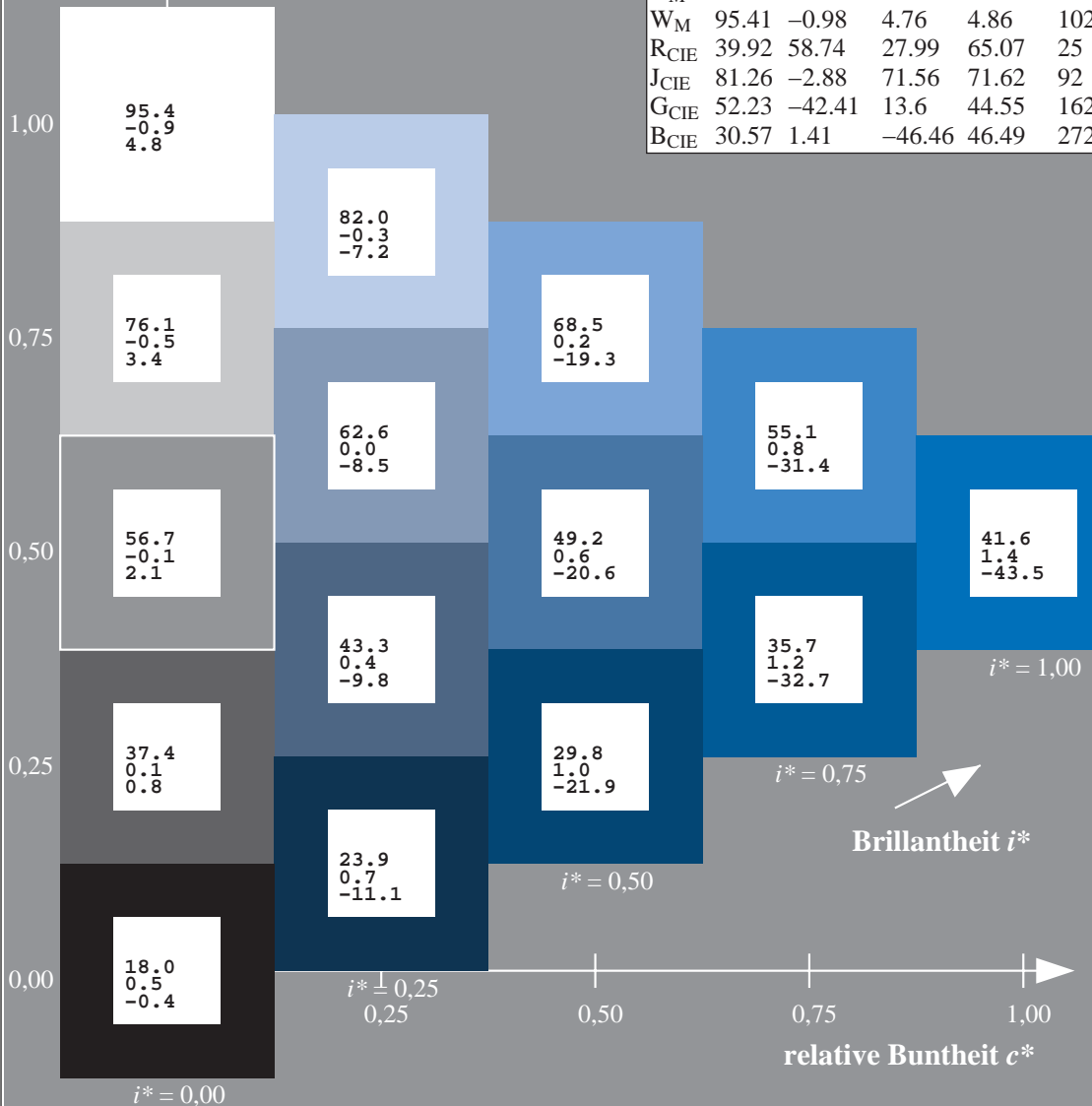
$g^*_{H,rel} = 57$

$g^*_{C,rel} = 59$

LAB^*LAB^*

ORS18_95aM; adaptierte CIELAB-Daten

	$L^*=L^*_a$	a^*_a	b^*_a	$C^*_{ab,a}$	$h^*_{ab,a}$
r00j	48.0	68.4	32.59	75.77	25
r25j	51.32	59.36	53.8	80.11	42
r50j	62.67	39.12	64.83	75.72	59
r75j	73.73	19.4	75.58	78.03	76
j00g	86.61	-3.55	88.09	88.17	92
j25g	78.07	-26.64	74.05	78.7	110
j50g	65.83	-42.94	56.44	70.93	127
j75g	54.87	-57.53	40.67	70.47	145
g00b	52.54	-55.91	17.93	58.72	162
g25b	55.02	-45.5	-7.69	46.16	190
g50b	56.98	-37.23	-28.04	46.62	217
g75b	53.92	-21.56	-44.93	49.84	244
b00r	41.64	1.36	-44.7	44.73	272
b25r	28.53	25.85	-44.45	51.43	300
b50r	34.77	48.93	-29.85	57.32	329
b75r	48.12	74.52	-3.84	74.62	357



Daten für jede Farbe:

lab^*ch^* und lab^*icu^*

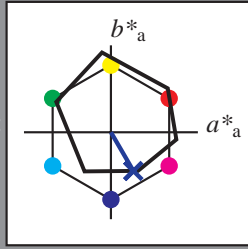
Elementar-Buntontext:

$u^* = b25r$

Kontrastreduzierungsfaktor:

$c_R = 1.0$

Dreiecks-Helligkeit t^*



ORS18_95M; CIELAB-Daten					
	$L^*=L^*$	a^*	b^*	C^*_{ab}	h^*_{ab}
O _M	47.94	65.31	52.07	83.53	39
Y _M	90.37	-11.15	96.17	96.82	97
L _M	50.9	-62.96	36.71	72.89	150
C _M	58.62	-30.62	-42.74	52.59	234
V _M	25.72	31.45	-44.35	54.38	305
M _M	48.13	75.2	-6.79	75.51	355
N _M	18.01	0.5	-0.46	0.69	317
W _M	95.41	-0.98	4.76	4.86	102
R _{CIE}	39.92	58.74	27.99	65.07	25
J _{CIE}	81.26	-2.88	71.56	71.62	92
G _{CIE}	52.23	-42.41	13.6	44.55	162
B _{CIE}	30.57	1.41	-46.46	46.49	272

Daten für Maximalfarbe (Ma):

$LAB^*LAB^*_{Ma}: 29\ 26\ -43$

$LAB^*LCH^*_{Ma}: 29\ 51\ 300$

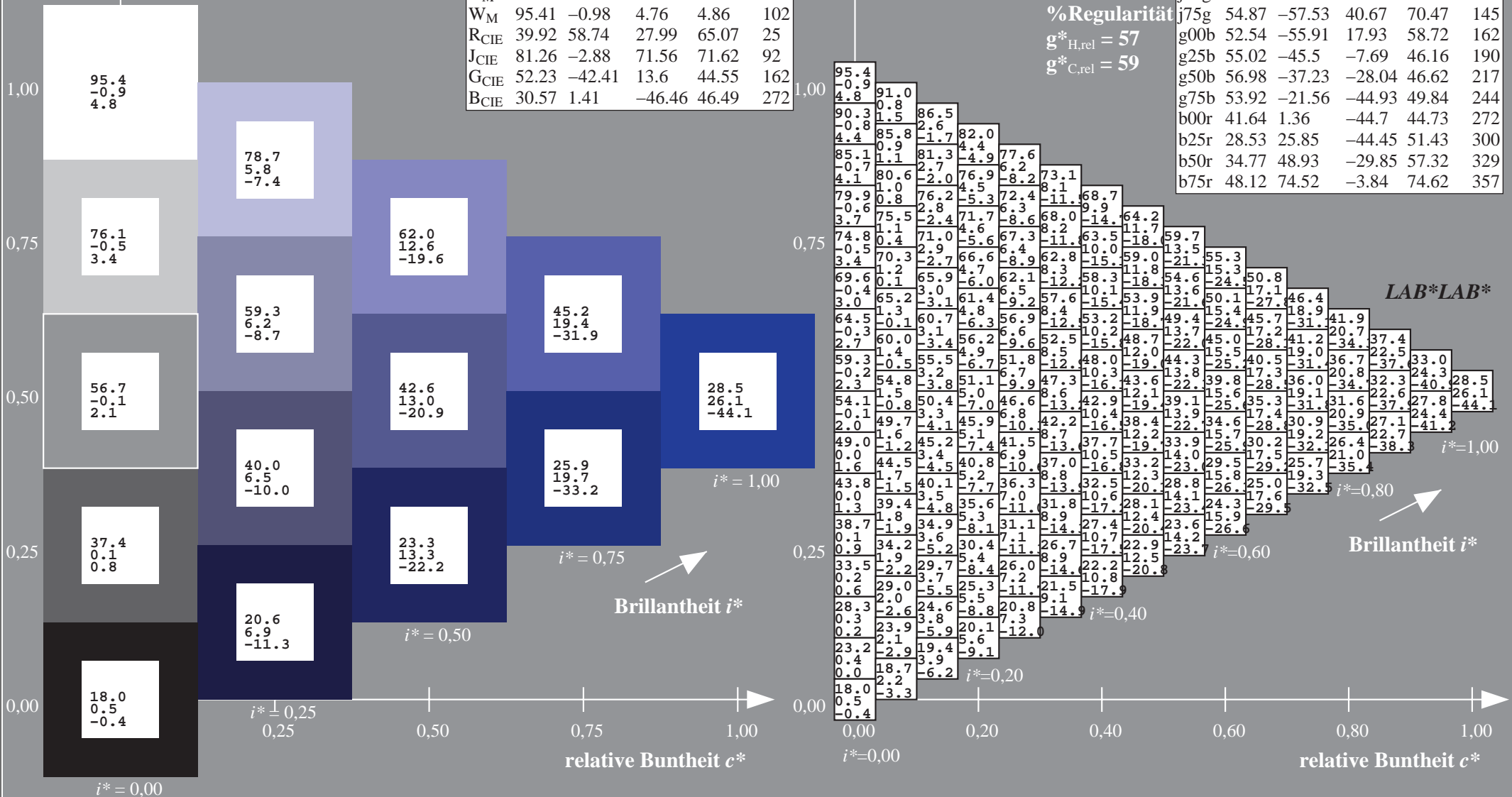
$lab^*rgb^*_{Ma}: 0.5\ 0.0\ 1.0$

$lab^*olv^*_{Ma}: 0.0\ 0.09\ 1.0$

Dreiecks-Helligkeit t^*

%Umfang
 $u^*_{rel} = 93$
 %Regularität
 $g^*_{H,rel} = 57$
 $g^*_{C,rel} = 59$

ORS18_95aM; adaptierte CIELAB-Daten					
	$L^*=L^*_a$	a^*_a	b^*_a	$C^*_{ab,a}$	$h^*_{ab,a}$
r00j	48.0	68.4	32.59	75.77	25
r25j	51.32	59.36	53.8	80.11	42
r50j	62.67	39.12	64.83	75.72	59
r75j	73.73	19.4	75.58	78.03	76
j00g	86.61	-3.55	88.09	88.17	92
j25g	78.07	-26.64	74.05	78.7	110
j50g	65.83	-42.94	56.44	70.93	127
j75g	54.87	-57.53	40.67	70.47	145
g00b	52.54	-55.91	17.93	58.72	162
g25b	55.02	-45.5	-7.69	46.16	190
g50b	56.98	-37.23	-28.04	46.62	217
g75b	53.92	-21.56	-44.93	49.84	244
b00r	41.64	1.36	-44.7	44.73	272
b25r	28.53	25.85	-44.45	51.43	300
b50r	34.77	48.93	-29.85	57.32	329
b75r	48.12	74.52	-3.84	74.62	357



Daten für jede Farbe:

lab^*ch^* und lab^*icu^*

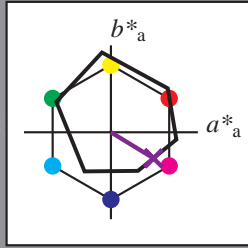
Elementar-Buntontext:

$u^* = b50r$

Kontrastreduzierungsfaktor:

$c_R = 1.0$

Dreiecks-Helligkeit t^*



ORS18_95M; CIELAB-Daten					
	$L^* = \bar{L}^*$	a^*	b^*	C^*_{ab}	h^*_{ab}
O _M	47.94	65.31	52.07	83.53	39
Y _M	90.37	-11.15	96.17	96.82	97
L _M	50.9	-62.96	36.71	72.89	150
C _M	58.62	-30.62	-42.74	52.59	234
V _M	25.72	31.45	-44.35	54.38	305
M _M	48.13	75.2	-6.79	75.51	355
N _M	18.01	0.5	-0.46	0.69	317
W _M	95.41	-0.98	4.76	4.86	102
R _{CIE}	39.92	58.74	27.99	65.07	25
J _{CIE}	81.26	-2.88	71.56	71.62	92
G _{CIE}	52.23	-42.41	13.6	44.55	162
B _{CIE}	30.57	1.41	-46.46	46.49	272

Daten für Maximalfarbe (Ma):

$LAB^*LAB^*_{Ma}: 35\ 49\ -29$

$LAB^*LCH^*_{Ma}: 35\ 57\ 329$

$lab^*rgb^*_{Ma}: 1.0\ 0.0\ 1.0$

$lab^*olv^*_{Ma}: 0.4\ 0.0\ 1.0$

Dreiecks-Helligkeit t^*

%Umfang

$u^*_{rel} = 93$

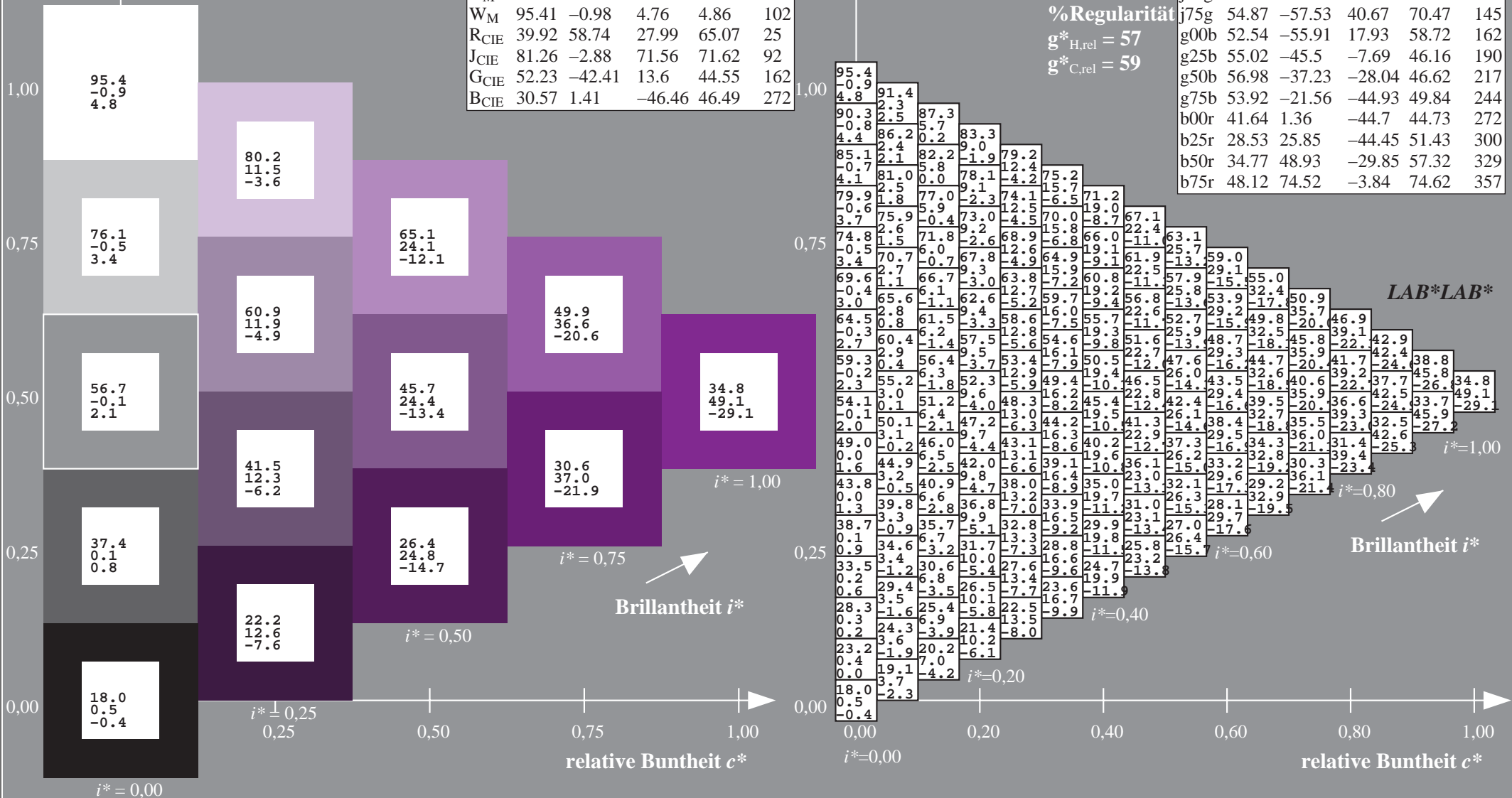
%Regularität

$g^*_{H,rel} = 57$

$g^*_{C,rel} = 59$

LAB^*LAB^*

ORS18_95aM; adaptierte CIELAB-Daten					
	$L^* = \bar{L}^*_a$	a^*_a	b^*_a	$C^*_{ab,a}$	$h^*_{ab,a}$
r00j	48.0	68.4	32.59	75.77	25
r25j	51.32	59.36	53.8	80.11	42
r50j	62.67	39.12	64.83	75.72	59
r75j	73.73	19.4	75.58	78.03	76
j00g	86.61	-3.55	88.09	88.17	92
j25g	78.07	-26.64	74.05	78.7	110
j50g	65.83	-42.94	56.44	70.93	127
j75g	54.87	-57.53	40.67	70.47	145
g00b	52.54	-55.91	17.93	58.72	162
g25b	55.02	-45.5	-7.69	46.16	190
g50b	56.98	-37.23	-28.04	46.62	217
g75b	53.92	-21.56	-44.93	49.84	244
b00r	41.64	1.36	-44.7	44.73	272
b25r	28.53	25.85	-44.45	51.43	300
b50r	34.77	48.93	-29.85	57.32	329
b75r	48.12	74.52	-3.84	74.62	357



Daten für jede Farbe:

lab^*ch^* und lab^*icu^*

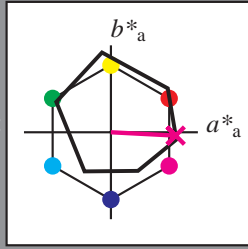
Elementar-Buntontext:

$u^* = b75r$

Kontrastreduzierungsfaktor:

$c_R = 1.0$

Dreiecks-Helligkeit t^*



ORS18_95M; CIELAB-Daten					
	$L^*=L^*$	a^*	b^*	C^*_{ab}	h^*_{ab}
O _M	47.94	65.31	52.07	83.53	39
Y _M	90.37	-11.15	96.17	96.82	97
L _M	50.9	-62.96	36.71	72.89	150
C _M	58.62	-30.62	-42.74	52.59	234
V _M	25.72	31.45	-44.35	54.38	305
M _M	48.13	75.2	-6.79	75.51	355
N _M	18.01	0.5	-0.46	0.69	317
W _M	95.41	-0.98	4.76	4.86	102
R _{CIE}	39.92	58.74	27.99	65.07	25
J _{CIE}	81.26	-2.88	71.56	71.62	92
G _{CIE}	52.23	-42.41	13.6	44.55	162
B _{CIE}	30.57	1.41	-46.46	46.49	272

Daten für Maximalfarbe (Ma):

$LAB^*LAB^*_{Ma}: 48\ 75\ -3$

$LAB^*LCH^*_{Ma}: 48\ 75\ 357$

$lab^*rgb^*_{Ma}: 1.0\ 0.0\ 0.5$

$lab^*olv^*_{Ma}: 1.0\ 0.0\ 0.92$

Dreiecks-Helligkeit t^*

%Umfang

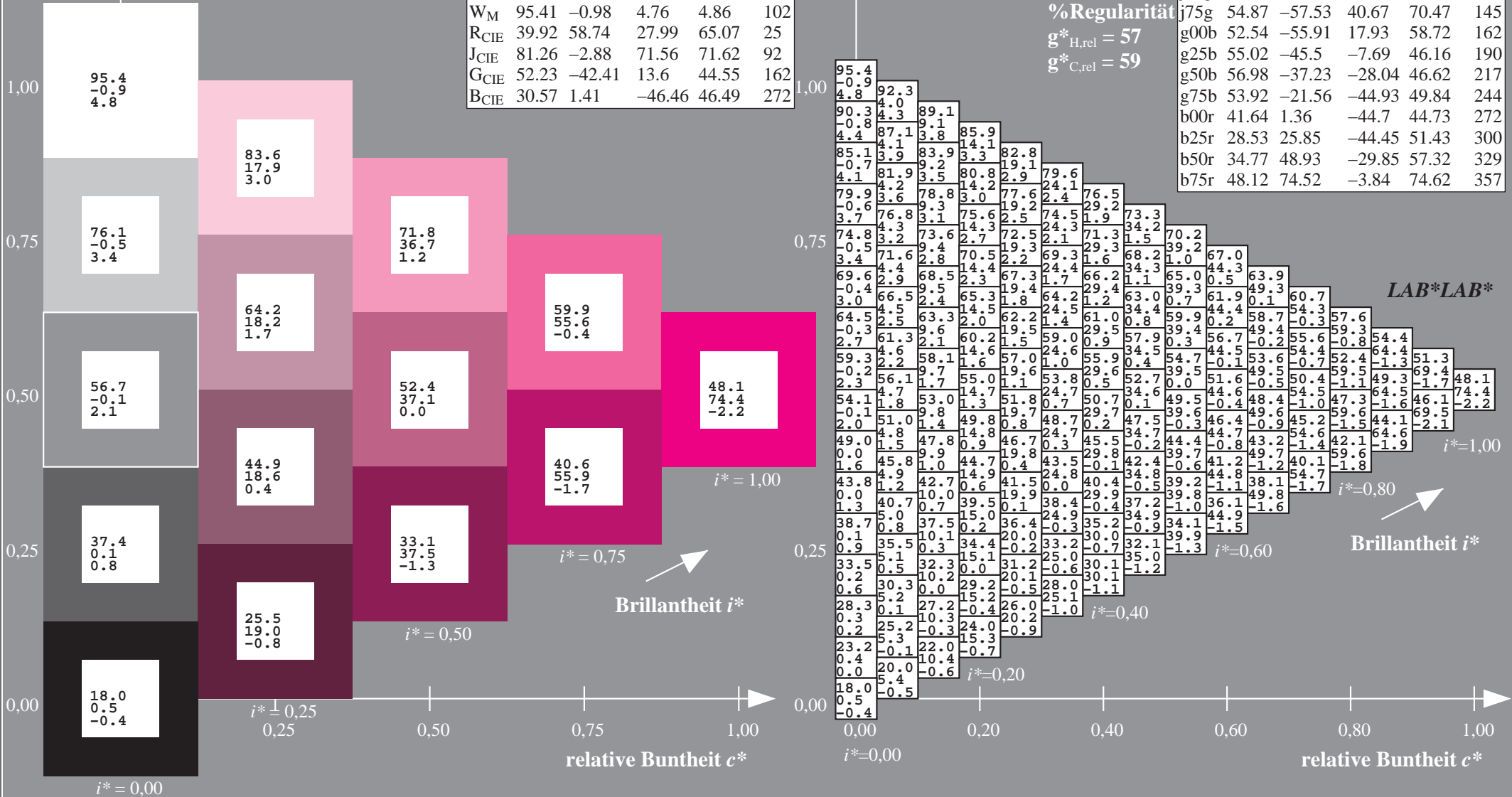
$u^*_{rel} = 93$

%Regularität

$g^*_{H,rel} = 57$

$g^*_{C,rel} = 59$

ORS18_95aM; adaptierte CIELAB-Daten					
	$L^*=L^*_a$	a^*_a	b^*_a	$C^*_{ab,a}$	$h^*_{ab,a}$
r00j	48.0	68.4	32.59	75.77	25
r25j	51.32	59.36	53.8	80.11	42
r50j	62.67	39.12	64.83	75.72	59
r75j	73.73	19.4	75.58	78.03	76
j00g	86.61	-3.55	88.09	88.17	92
j25g	78.07	-26.64	74.05	78.7	110
j50g	65.83	-42.94	56.44	70.93	127
j75g	54.87	-57.53	40.67	70.47	145
g00b	52.54	-55.91	17.93	58.72	162
g25b	55.02	-45.5	-7.69	46.16	190
g50b	56.98	-37.23	-28.04	46.62	217
g75b	53.92	-21.56	-44.93	49.84	244
b00r	41.64	1.36	-44.7	44.73	272
b25r	28.53	25.85	-44.45	51.43	300
b50r	34.77	48.93	-29.85	57.32	329
b75r	48.12	74.52	-3.84	74.62	357



Ein und Ausgabe:
 Farbmimetrisches Drucker-Reflektiv-System ORS18_95aM

Daten für jede Farbe:

$lab^*_{tch^*}$ und $lab^*_{icu^*}$

Elementar-Bunttontext:

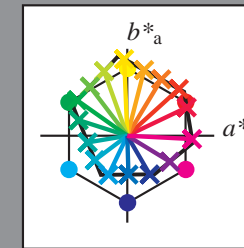
$u^* = 16$ Buntttöne $r00j, r25j, \dots, b75r$

Kontrastreduzierungsfaktor:

$c_R = 1.0$

ORS18_95aM; adaptierte CIELAB-Daten

	$L^*=L^*_a$	a^*_a	b^*_a	$C^*_{ab,a}$	$h^*_{ab,a}$
r00j	48.0	68.4	32.59	75.77	25
r25j	51.32	59.36	53.8	80.11	42
r50j	62.67	39.12	64.83	75.72	59
r75j	73.73	19.4	75.58	78.03	76
j00g	86.61	-3.55	88.09	88.17	92
j25g	78.07	-26.64	74.05	78.7	110
j50g	65.83	-42.94	56.44	70.93	127
j75g	54.87	-57.53	40.67	70.47	145
g00b	52.54	-55.91	17.93	58.72	162
g25b	55.02	-45.5	-7.69	46.16	190
g50b	56.98	-37.23	-28.04	46.62	217
g75b	53.92	-21.56	-44.93	49.84	244
b00r	41.64	1.36	-44.7	44.73	272
b25r	28.53	25.85	-44.45	51.43	300
b50r	34.77	48.93	-29.85	57.32	329
b75r	48.12	74.52	-3.84	74.62	357



%Umfang

$u^*_{rel} = 93$

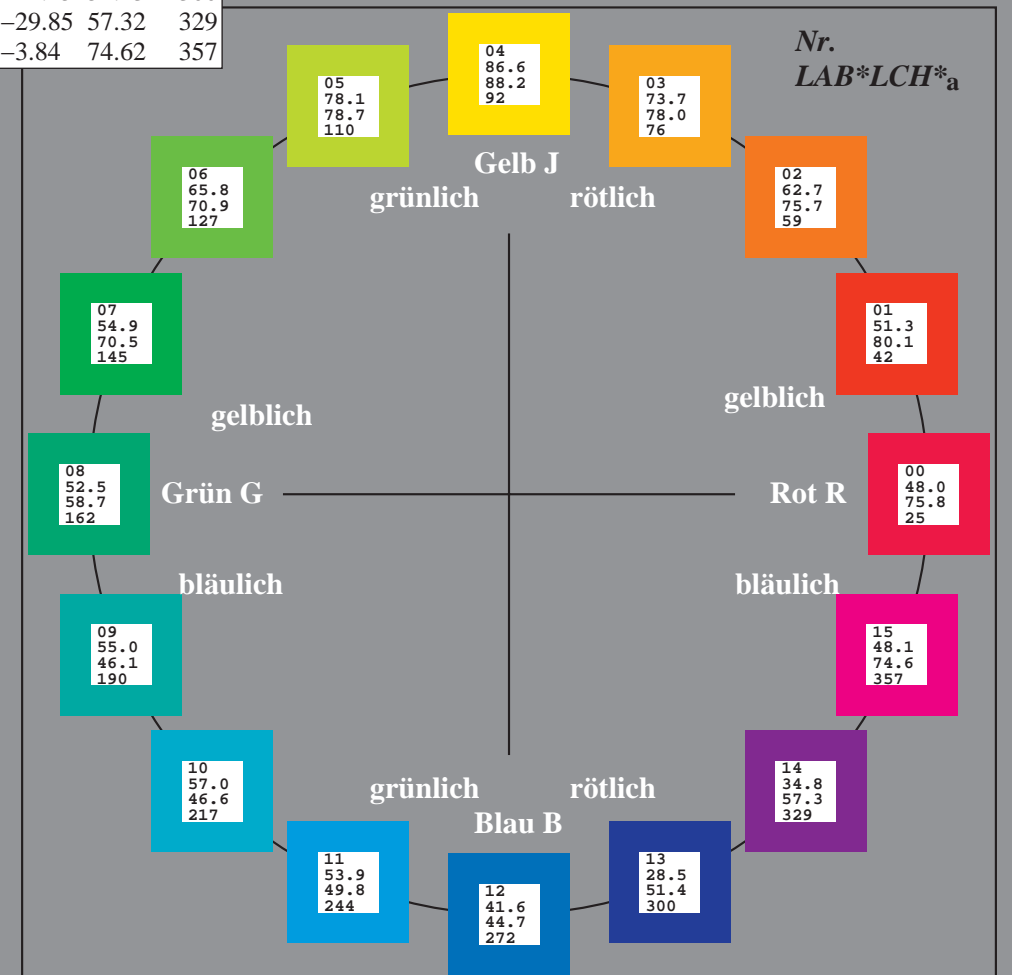
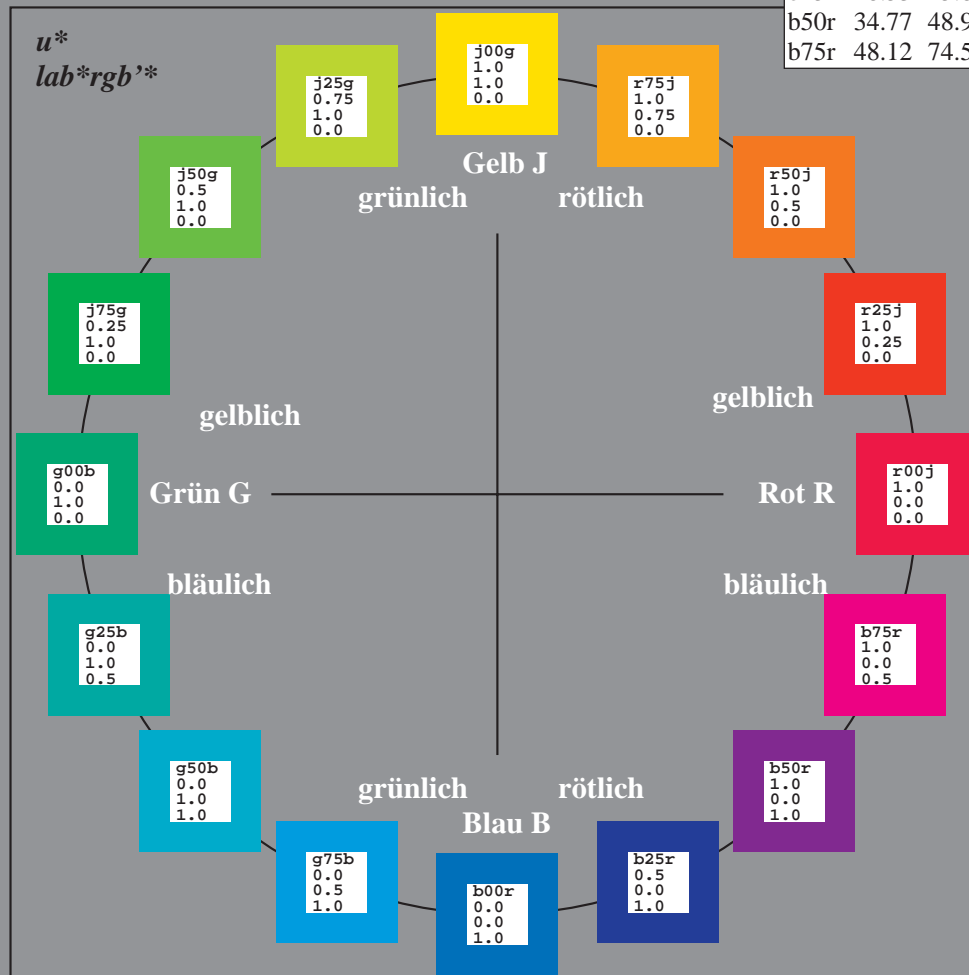
%Regularität

$g^*_{H,rel} = 57$

$g^*_{C,rel} = 59$

ORS18_95aM; CIELAB-Daten

	$L^*=L^*$	a^*	b^*	C^*_{ab}	h^*_{ab}
O _M	47.94	65.31	52.07	83.53	39
Y _M	90.37	-11.15	96.17	96.82	97
L _M	50.9	-62.96	36.71	72.89	150
C _M	58.62	-30.62	-42.74	52.59	234
V _M	25.72	31.45	-44.35	54.38	305
M _M	48.13	75.2	-6.79	75.51	355
N _M	18.01	0.5	-0.46	0.69	317
W _M	95.41	-0.98	4.76	4.86	102
R _{CIE}	39.92	58.74	27.99	65.07	25
J _{CIE}	81.26	-2.88	71.56	71.62	92
G _{CIE}	52.23	-42.41	13.6	44.55	162
B _{CIE}	30.57	1.41	-46.46	46.49	272



Daten für jede Farbe:

lab^*ch^* und lab^*icu^*

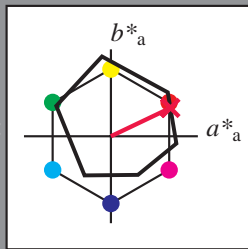
Elementar-Buntontext:

$u^* = r00j$

Kontrastreduzierungsfaktor:

$c_R = 1.0$

Dreiecks-Helligkeit t^*



ORS18_95aM; CIELAB-Daten					
	$L^*=L^*$	a^*	b^*	C^*_{ab}	h^*_{ab}
O _M	47.94	65.31	52.07	83.53	39
Y _M	90.37	-11.15	96.17	96.82	97
L _M	50.9	-62.96	36.71	72.89	150
C _M	58.62	-30.62	-42.74	52.59	234
V _M	25.72	31.45	-44.35	54.38	305
M _M	48.13	75.2	-6.79	75.51	355
N _M	18.01	0.5	-0.46	0.69	317
W _M	95.41	-0.98	4.76	4.86	102
R _{CIE}	39.92	58.74	27.99	65.07	25
J _{CIE}	81.26	-2.88	71.56	71.62	92
G _{CIE}	52.23	-42.41	13.6	44.55	162
B _{CIE}	30.57	1.41	-46.46	46.49	272

Daten für Maximalfarbe (Ma):

$LAB^*LAB^*Ma: 48\ 68\ 33$

$LAB^*LCH^*Ma: 48\ 76\ 25$

$lab^*rgb^*Ma: 1.0\ 0.0\ 0.0$

$lab^*olv^*Ma: 1.0\ 0.0\ 0.3$

Dreiecks-Helligkeit t^*

%Umfang

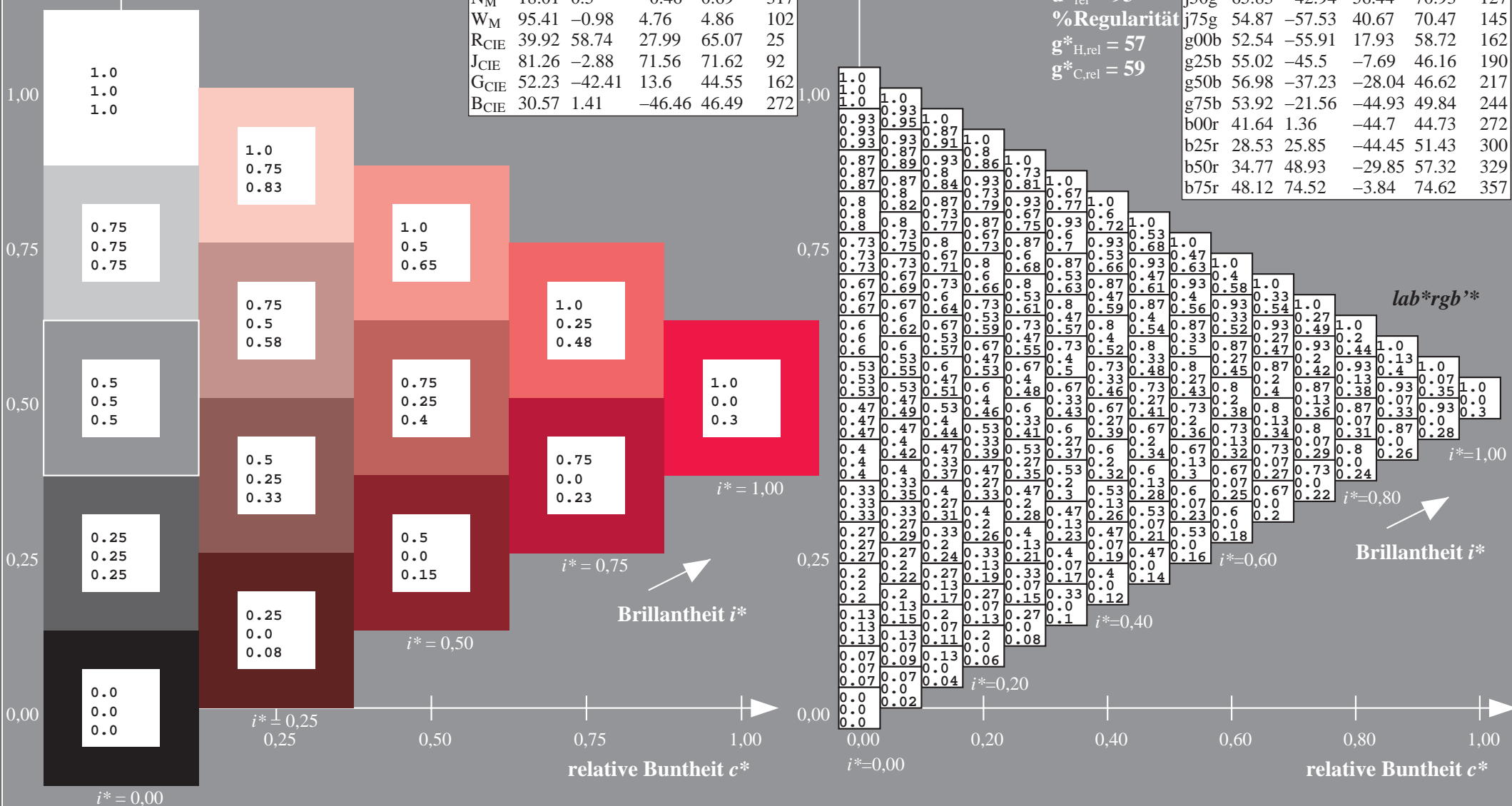
$u^*_{rel} = 93$

%Regularität

$g^*_{H,rel} = 57$

$g^*_{C,rel} = 59$

ORS18_95aM; adaptierte CIELAB-Daten					
	$L^*=L^*_a$	a^*_a	b^*_a	$C^*_{ab,a}$	$h^*_{ab,a}$
r00j	48.0	68.4	32.59	75.77	25
r25j	51.32	59.36	53.8	80.11	42
r50j	62.67	39.12	64.83	75.72	59
r75j	73.73	19.4	75.58	78.03	76
j00g	86.61	-3.55	88.09	88.17	92
j25g	78.07	-26.64	74.05	78.7	110
j50g	65.83	-42.94	56.44	70.93	127
j75g	54.87	-57.53	40.67	70.47	145
g00b	52.54	-55.91	17.93	58.72	162
g25b	55.02	-45.5	-7.69	46.16	190
g50b	56.98	-37.23	-28.04	46.62	217
g75b	53.92	-21.56	-44.93	49.84	244
b00r	41.64	1.36	-44.7	44.73	272
b25r	28.53	25.85	-44.45	51.43	300
b50r	34.77	48.93	-29.85	57.32	329
b75r	48.12	74.52	-3.84	74.62	357



Daten für jede Farbe:

lab^*ch^* und lab^*icu^*

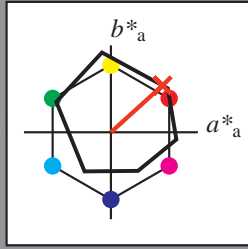
Elementar-Buntontext:

$u^* = r25j$

Kontrastreduzierungsfaktor:

$c_R = 1.0$

Dreiecks-Helligkeit t^*



ORS18_95aM; CIELAB-Daten					
	$L^*=L^*$	a^*	b^*	C^*_{ab}	h^*_{ab}
O_M	47.94	65.31	52.07	83.53	39
Y_M	90.37	-11.15	96.17	96.82	97
L_M	50.9	-62.96	36.71	72.89	150
C_M	58.62	-30.62	-42.74	52.59	234
V_M	25.72	31.45	-44.35	54.38	305
M_M	48.13	75.2	-6.79	75.51	355
N_M	18.01	0.5	-0.46	0.69	317
W_M	95.41	-0.98	4.76	4.86	102
R_{CIE}	39.92	58.74	27.99	65.07	25
J_{CIE}	81.26	-2.88	71.56	71.62	92
G_{CIE}	52.23	-42.41	13.6	44.55	162
B_{CIE}	30.57	1.41	-46.46	46.49	272

Daten für Maximalfarbe (Ma):

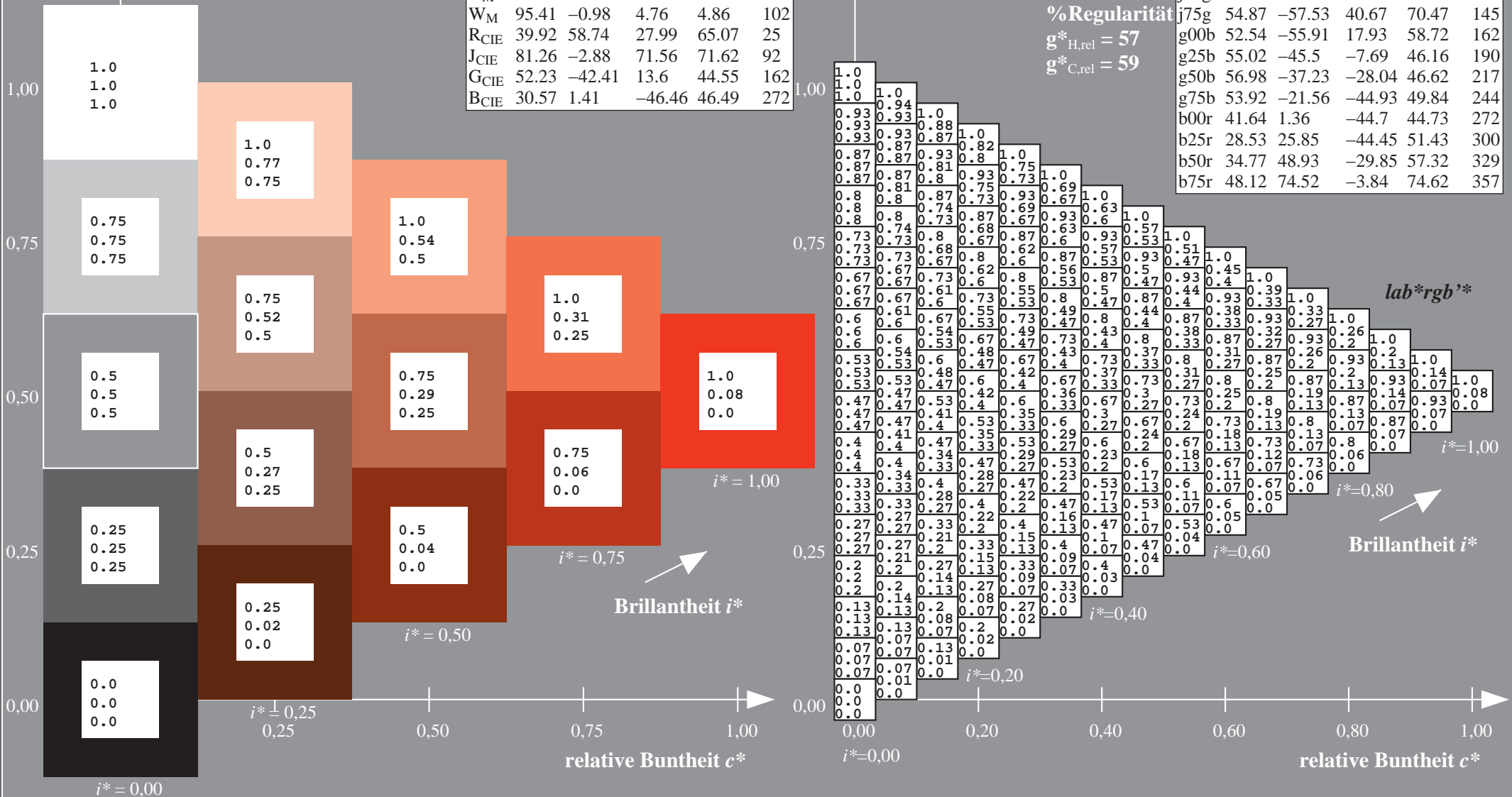
LAB^*LAB^*Ma : 51 59 54

LAB^*LCH^*Ma : 51 80 42

lab^*rgb^*Ma : 1.0 0.25 0.0

lab^*olv^*Ma : 1.0 0.08 0.0

ORS18_95aM; adaptierte CIELAB-Daten					
	$L^*=L^*_a$	a^*_a	b^*_a	$C^*_{ab,a}$	$h^*_{ab,a}$
r00j	48.0	68.4	32.59	75.77	25
r25j	51.32	59.36	53.8	80.11	42
r50j	62.67	39.12	64.83	75.72	59
r75j	73.73	19.4	75.58	78.03	76
j00g	86.61	-3.55	88.09	88.17	92
j25g	78.07	-26.64	74.05	78.7	110
j50g	65.83	-42.94	56.44	70.93	127
j75g	54.87	-57.53	40.67	70.47	145
g00b	52.54	-55.91	17.93	58.72	162
g25b	55.02	-45.5	-7.69	46.16	190
g50b	56.98	-37.23	-28.04	46.62	217
g75b	53.92	-21.56	-44.93	49.84	244
b00r	41.64	1.36	-44.7	44.73	272
b25r	28.53	25.85	-44.45	51.43	300
b50r	34.77	48.93	-29.85	57.32	329
b75r	48.12	74.52	-3.84	74.62	357



%Umfang
 $u^*_{rel} = 93$
 %Regularität
 $g^*_{H,rel} = 57$
 $g^*_{C,rel} = 59$

lab^*rgb^*

$i^*=1,00$

$i^*=0,80$

Brillantheit i^*

$i^*=0,60$

$i^*=0,40$

$i^*=0,20$

Daten für jede Farbe:

lab^*ch^* und lab^*icu^*

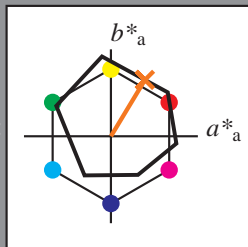
Elementar-Buntontext:

$u^* = r50j$

Kontrastreduzierungsfaktor:

$c_R = 1.0$

Dreiecks-Helligkeit t^*



ORS18_95aM; CIELAB-Daten					
	$L^*=L^*$	a^*	b^*	C^*_{ab}	h^*_{ab}
O _M	47.94	65.31	52.07	83.53	39
Y _M	90.37	-11.15	96.17	96.82	97
L _M	50.9	-62.96	36.71	72.89	150
C _M	58.62	-30.62	-42.74	52.59	234
V _M	25.72	31.45	-44.35	54.38	305
M _M	48.13	75.2	-6.79	75.51	355
N _M	18.01	0.5	-0.46	0.69	317
W _M	95.41	-0.98	4.76	4.86	102
R _{CIE}	39.92	58.74	27.99	65.07	25
J _{CIE}	81.26	-2.88	71.56	71.62	92
G _{CIE}	52.23	-42.41	13.6	44.55	162
B _{CIE}	30.57	1.41	-46.46	46.49	272

Daten für Maximalfarbe (Ma):

$LAB^*LAB^*Ma: 63\ 39\ 65$

$LAB^*LCH^*Ma: 63\ 76\ 59$

$lab^*rgb^*Ma: 1.0\ 0.5\ 0.0$

$lab^*olv^*Ma: 1.0\ 0.35\ 0.0$

Dreiecks-Helligkeit t^*

%Umfang

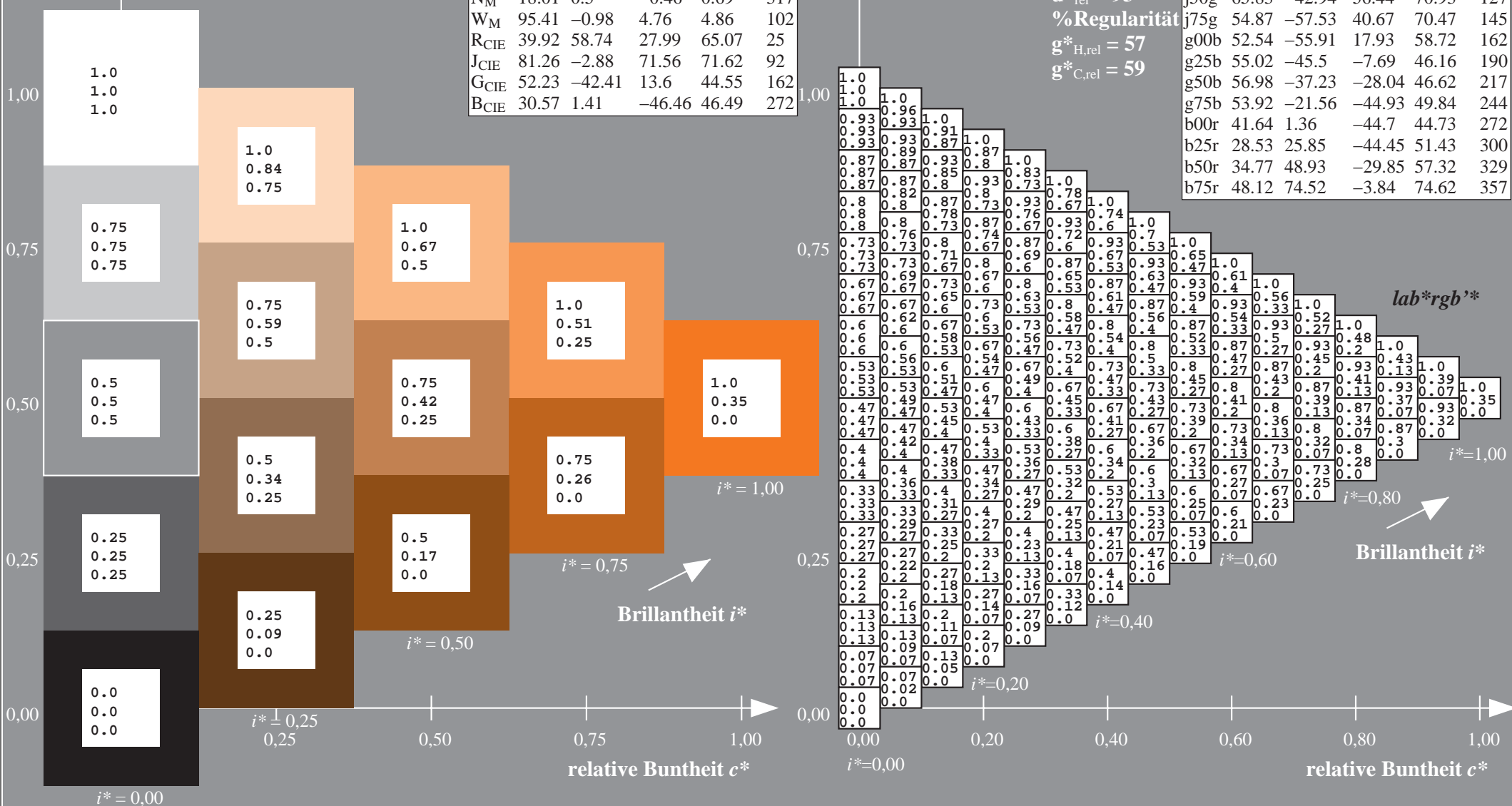
$u^*_{rel} = 93$

%Regularität

$g^*_{H,rel} = 57$

$g^*_{C,rel} = 59$

ORS18_95aM; adaptierte CIELAB-Daten					
	$L^*=L^*_a$	a^*_a	b^*_a	$C^*_{ab,a}$	$h^*_{ab,a}$
r00j	48.0	68.4	32.59	75.77	25
r25j	51.32	59.36	53.8	80.11	42
r50j	62.67	39.12	64.83	75.72	59
r75j	73.73	19.4	75.58	78.03	76
j00g	86.61	-3.55	88.09	88.17	92
j25g	78.07	-26.64	74.05	78.7	110
j50g	65.83	-42.94	56.44	70.93	127
j75g	54.87	-57.53	40.67	70.47	145
g00b	52.54	-55.91	17.93	58.72	162
g25b	55.02	-45.5	-7.69	46.16	190
g50b	56.98	-37.23	-28.04	46.62	217
g75b	53.92	-21.56	-44.93	49.84	244
b00r	41.64	1.36	-44.7	44.73	272
b25r	28.53	25.85	-44.45	51.43	300
b50r	34.77	48.93	-29.85	57.32	329
b75r	48.12	74.52	-3.84	74.62	357



Daten für jede Farbe:

lab^*ch^* und lab^*icu^*

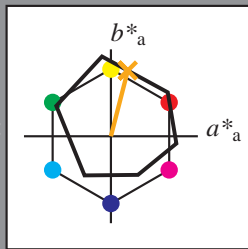
Elementar-Buntontext:

$u^* = r75j$

Kontrastreduzierungsfaktor:

$c_R = 1.0$

Dreiecks-Helligkeit t^*



ORS18_95aM; CIELAB-Daten					
	$L^*=L^*$	a^*	b^*	C^*_{ab}	h^*_{ab}
O _M	47.94	65.31	52.07	83.53	39
Y _M	90.37	-11.15	96.17	96.82	97
L _M	50.9	-62.96	36.71	72.89	150
C _M	58.62	-30.62	-42.74	52.59	234
V _M	25.72	31.45	-44.35	54.38	305
M _M	48.13	75.2	-6.79	75.51	355
N _M	18.01	0.5	-0.46	0.69	317
W _M	95.41	-0.98	4.76	4.86	102
R _{CIE}	39.92	58.74	27.99	65.07	25
J _{CIE}	81.26	-2.88	71.56	71.62	92
G _{CIE}	52.23	-42.41	13.6	44.55	162
B _{CIE}	30.57	1.41	-46.46	46.49	272

Daten für Maximalfarbe (Ma):

$LAB^*LAB^*Ma: 74 19 76$

$LAB^*LCH^*Ma: 74 78 76$

$lab^*rgb^*Ma: 1.0 0.75 0.0$

$lab^*olv^*Ma: 1.0 0.61 0.0$

Dreiecks-Helligkeit t^*

%Umfang

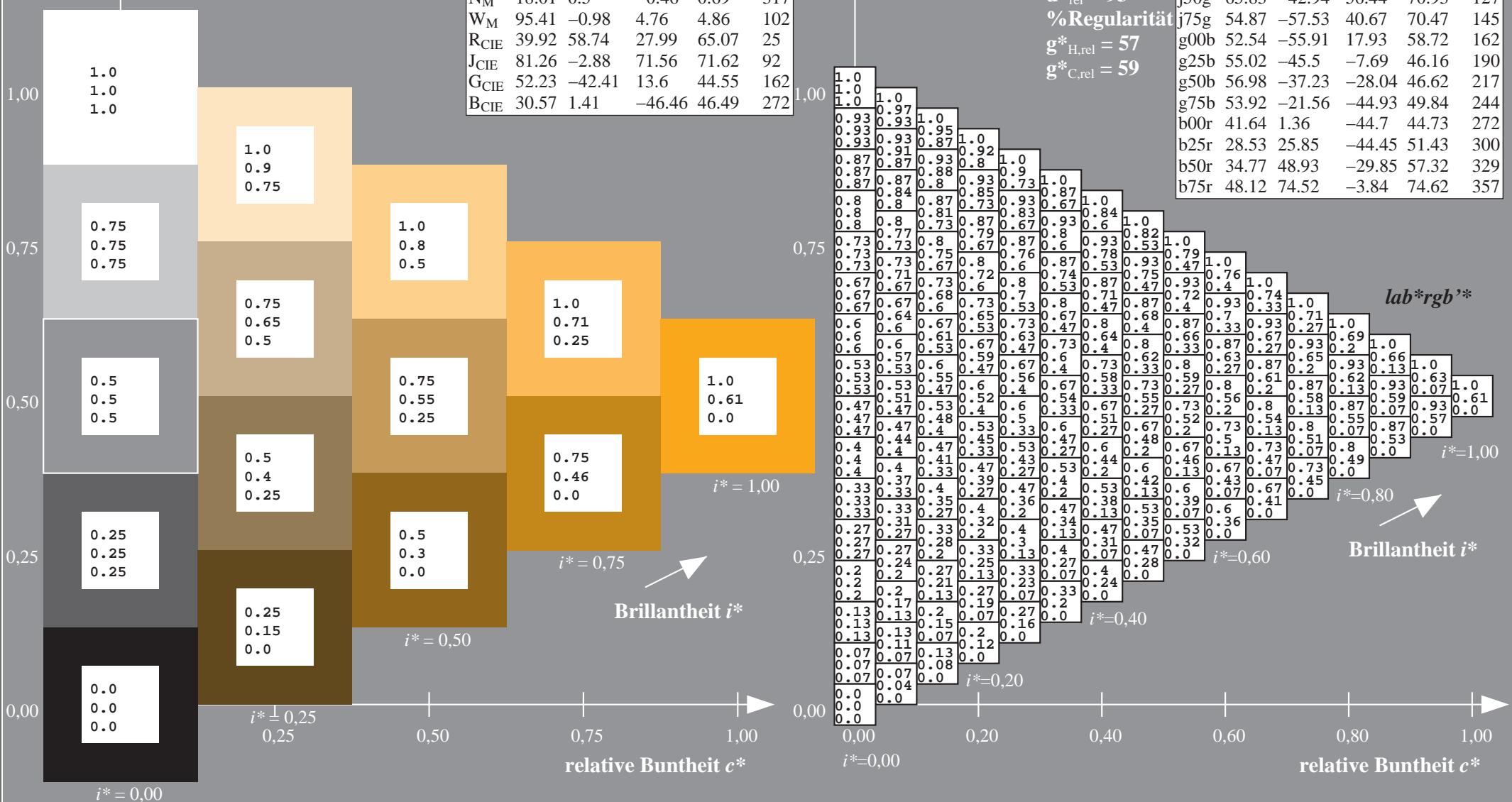
$u^*_{rel} = 93$

%Regularität

$g^*_{H,rel} = 57$

$g^*_{C,rel} = 59$

ORS18_95aM; adaptierte CIELAB-Daten					
	$L^*=L^*_a$	a^*_a	b^*_a	$C^*_{ab,a}$	$h^*_{ab,a}$
r00j	48.0	68.4	32.59	75.77	25
r25j	51.32	59.36	53.8	80.11	42
r50j	62.67	39.12	64.83	75.72	59
r75j	73.73	19.4	75.58	78.03	76
j00g	86.61	-3.55	88.09	88.17	92
j25g	78.07	-26.64	74.05	78.7	110
j50g	65.83	-42.94	56.44	70.93	127
j75g	54.87	-57.53	40.67	70.47	145
g00b	52.54	-55.91	17.93	58.72	162
g25b	55.02	-45.5	-7.69	46.16	190
g50b	56.98	-37.23	-28.04	46.62	217
g75b	53.92	-21.56	-44.93	49.84	244
b00r	41.64	1.36	-44.7	44.73	272
b25r	28.53	25.85	-44.45	51.43	300
b50r	34.77	48.93	-29.85	57.32	329
b75r	48.12	74.52	-3.84	74.62	357



Daten für jede Farbe:

lab^*ch^* und lab^*icu^*

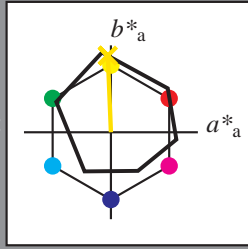
Elementar-Buntontext:

$u^* = j00g$

Kontrastreduzierungsfaktor:

$c_R = 1.0$

Dreiecks-Helligkeit t^*



ORS18_95aM; CIELAB-Daten					
	$L^*=L^*$	a^*	b^*	C^*_{ab}	h^*_{ab}
O _M	47.94	65.31	52.07	83.53	39
Y _M	90.37	-11.15	96.17	96.82	97
L _M	50.9	-62.96	36.71	72.89	150
C _M	58.62	-30.62	-42.74	52.59	234
V _M	25.72	31.45	-44.35	54.38	305
M _M	48.13	75.2	-6.79	75.51	355
N _M	18.01	0.5	-0.46	0.69	317
W _M	95.41	-0.98	4.76	4.86	102
R _{CIE}	39.92	58.74	27.99	65.07	25
J _{CIE}	81.26	-2.88	71.56	71.62	92
G _{CIE}	52.23	-42.41	13.6	44.55	162
B _{CIE}	30.57	1.41	-46.46	46.49	272

Daten für Maximalfarbe (Ma):

$LAB^*LAB^*Ma: 87 -3 88$

$LAB^*LCH^*Ma: 87 88 92$

$lab^*rgb^*Ma: 1.0 1.0 0.0$

$lab^*olv^*Ma: 1.0 0.91 0.0$

Dreiecks-Helligkeit t^*

%Umfang

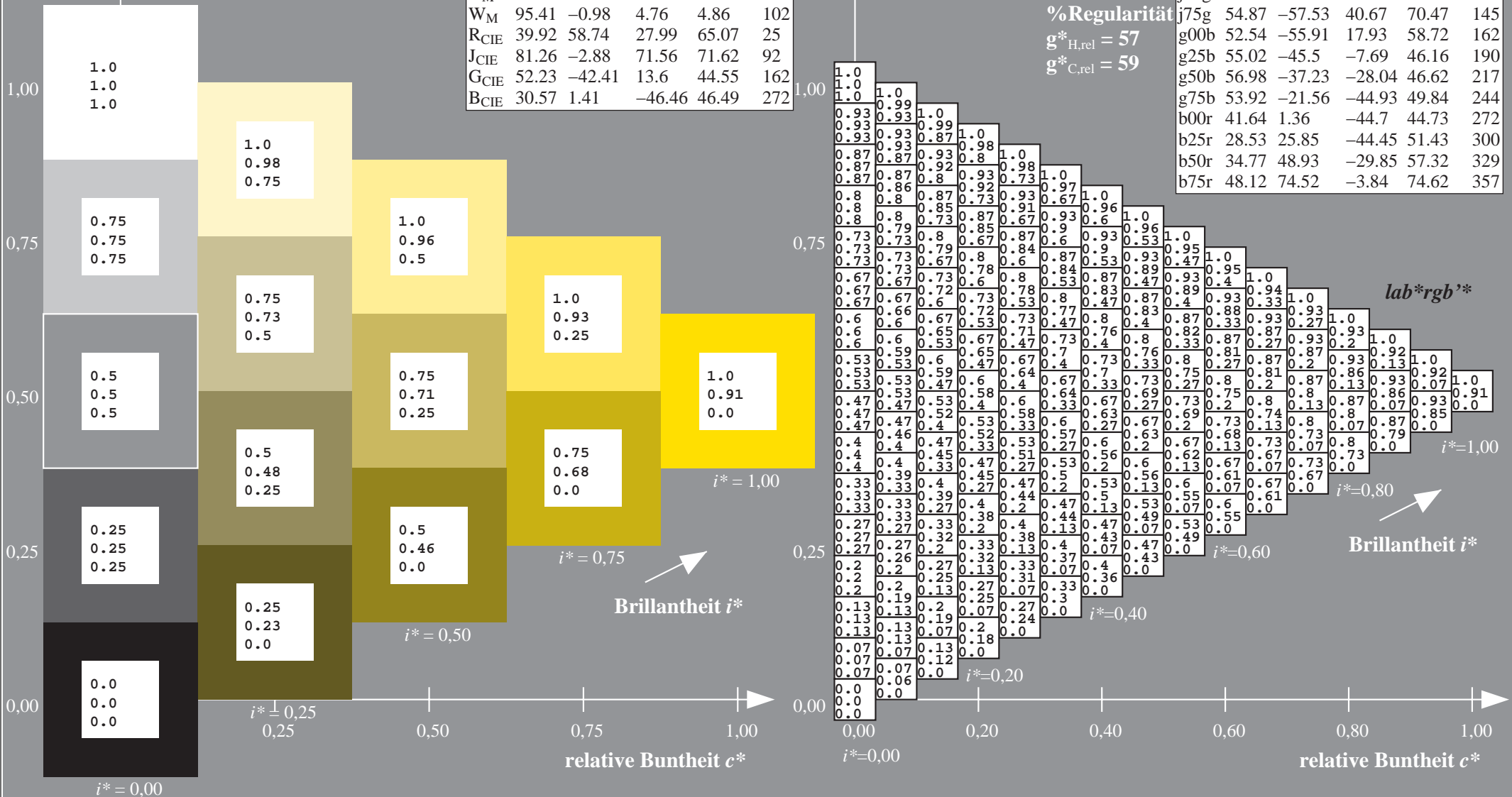
$u^*_{rel} = 93$

%Regularität

$g^*_{H,rel} = 57$

$g^*_{C,rel} = 59$

ORS18_95aM; adaptierte CIELAB-Daten					
	$L^*=L^*_a$	a^*_a	b^*_a	$C^*_{ab,a}$	$h^*_{ab,a}$
r00j	48.0	68.4	32.59	75.77	25
r25j	51.32	59.36	53.8	80.11	42
r50j	62.67	39.12	64.83	75.72	59
r75j	73.73	19.4	75.58	78.03	76
j00g	86.61	-3.55	88.09	88.17	92
j25g	78.07	-26.64	74.05	78.7	110
j50g	65.83	-42.94	56.44	70.93	127
j75g	54.87	-57.53	40.67	70.47	145
g00b	52.54	-55.91	17.93	58.72	162
g25b	55.02	-45.5	-7.69	46.16	190
g50b	56.98	-37.23	-28.04	46.62	217
g75b	53.92	-21.56	-44.93	49.84	244
b00r	41.64	1.36	-44.7	44.73	272
b25r	28.53	25.85	-44.45	51.43	300
b50r	34.77	48.93	-29.85	57.32	329
b75r	48.12	74.52	-3.84	74.62	357



Ein und Ausgabe: Farbmetrisches Drucker-Reflektiv-System ORS18_95aM für relativen CIELAB-Bunton $h^* = lab^*h^* = h_{ab}/360 = 110/360 = 0.305 u^* = j25g$

Daten für jede Farbe:

lab^*ch^* und lab^*icu^*

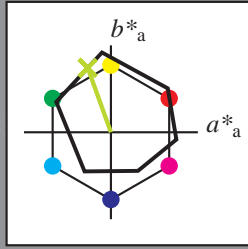
Elementar-Buntontext:

$u^* = j25g$

Kontrastreduzierungsfaktor:

$c_R = 1.0$

Dreiecks-Helligkeit t^*



ORS18_95aM; CIELAB-Daten					
	$L^*=L^*$	a^*	b^*	C^*_{ab}	h^*_{ab}
O _M	47.94	65.31	52.07	83.53	39
Y _M	90.37	-11.15	96.17	96.82	97
L _M	50.9	-62.96	36.71	72.89	150
C _M	58.62	-30.62	-42.74	52.59	234
V _M	25.72	31.45	-44.35	54.38	305
M _M	48.13	75.2	-6.79	75.51	355
N _M	18.01	0.5	-0.46	0.69	317
W _M	95.41	-0.98	4.76	4.86	102
R _{CIE}	39.92	58.74	27.99	65.07	25
J _{CIE}	81.26	-2.88	71.56	71.62	92
G _{CIE}	52.23	-42.41	13.6	44.55	162
B _{CIE}	30.57	1.41	-46.46	46.49	272

Daten für Maximalfarbe (Ma):

$LAB^*LAB^*Ma: 78 -26 74$

$LAB^*LCH^*Ma: 78 79 110$

$lab^*rgb^*Ma: 0.75 1.0 0.0$

$lab^*olv^*Ma: 0.69 1.0 0.0$

Dreiecks-Helligkeit t^*

%Umfang

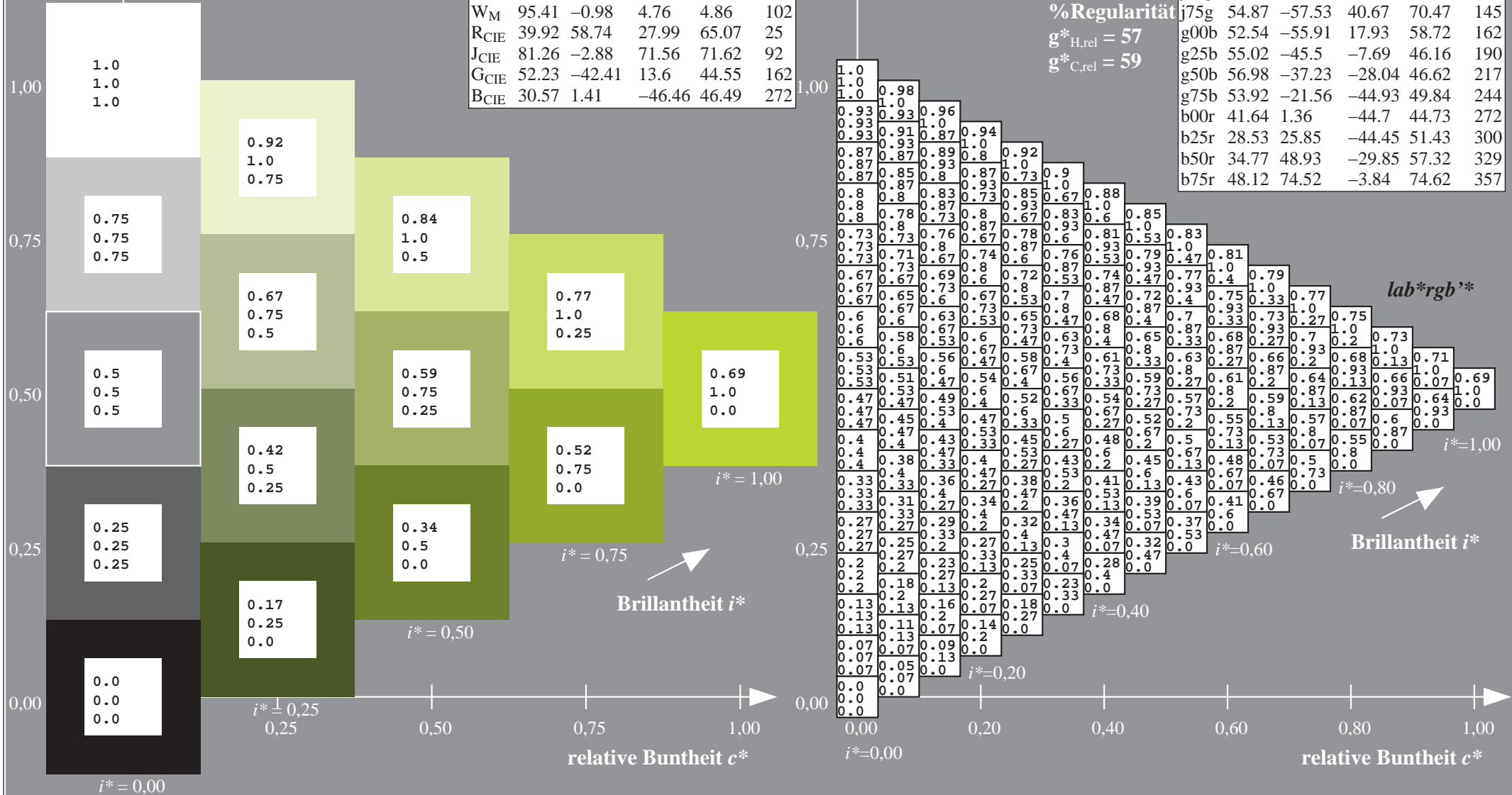
$u^*_{rel} = 93$

%Regularität

$g^*_{H,rel} = 57$

$g^*_{C,rel} = 59$

ORS18_95aM; adaptierte CIELAB-Daten					
	$L^*=L^*_a$	a^*_a	b^*_a	$C^*_{ab,a}$	$h^*_{ab,a}$
r00j	48.0	68.4	32.59	75.77	25
r25j	51.32	59.36	53.8	80.11	42
r50j	62.67	39.12	64.83	75.72	59
r75j	73.73	19.4	75.58	78.03	76
j00g	86.61	-3.55	88.09	88.17	92
j25g	78.07	-26.64	74.05	78.7	110
j50g	65.83	-42.94	56.44	70.93	127
j75g	54.87	-57.53	40.67	70.47	145
g00b	52.54	-55.91	17.93	58.72	162
g25b	55.02	-45.5	-7.69	46.16	190
g50b	56.98	-37.23	-28.04	46.62	217
g75b	53.92	-21.56	-44.93	49.84	244
b00r	41.64	1.36	-44.7	44.73	272
b25r	28.53	25.85	-44.45	51.43	300
b50r	34.77	48.93	-29.85	57.32	329
b75r	48.12	74.52	-3.84	74.62	357



Ein und Ausgabe: Farbmetrisches Drucker-Reflektiv-System ORS18_95aM für relative CIELAB-Bunton $h^* = lab^*h^* = h_{ab}/360 = 127/360 = 0.354 u^* = j50g$

Daten für jede Farbe:

lab^*ch^* und lab^*icu^*

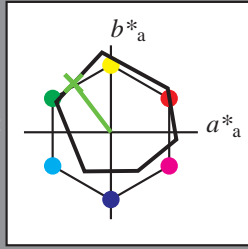
Elementar-Buntontext:

$u^* = j50g$

Kontrastreduzierungsfaktor:

$c_R = 1.0$

Dreiecks-Helligkeit t^*



ORS18_95aM; CIELAB-Daten					
	$L^*=L^*$	a^*	b^*	C^*_{ab}	h^*_{ab}
O_M	47.94	65.31	52.07	83.53	39
Y_M	90.37	-11.15	96.17	96.82	97
L_M	50.9	-62.96	36.71	72.89	150
C_M	58.62	-30.62	-42.74	52.59	234
V_M	25.72	31.45	-44.35	54.38	305
M_M	48.13	75.2	-6.79	75.51	355
N_M	18.01	0.5	-0.46	0.69	317
W_M	95.41	-0.98	4.76	4.86	102
R_{CIE}	39.92	58.74	27.99	65.07	25
J_{CIE}	81.26	-2.88	71.56	71.62	92
G_{CIE}	52.23	-42.41	13.6	44.55	162
B_{CIE}	30.57	1.41	-46.46	46.49	272

Daten für Maximalfarbe (Ma):

$LAB^*LAB^*Ma: 66 -42 56$

$LAB^*LCH^*Ma: 66 71 127$

$lab^*rgb^*Ma: 0.5 1.0 0.0$

$lab^*olv^*Ma: 0.38 1.0 0.0$

Dreiecks-Helligkeit t^*

%Umfang

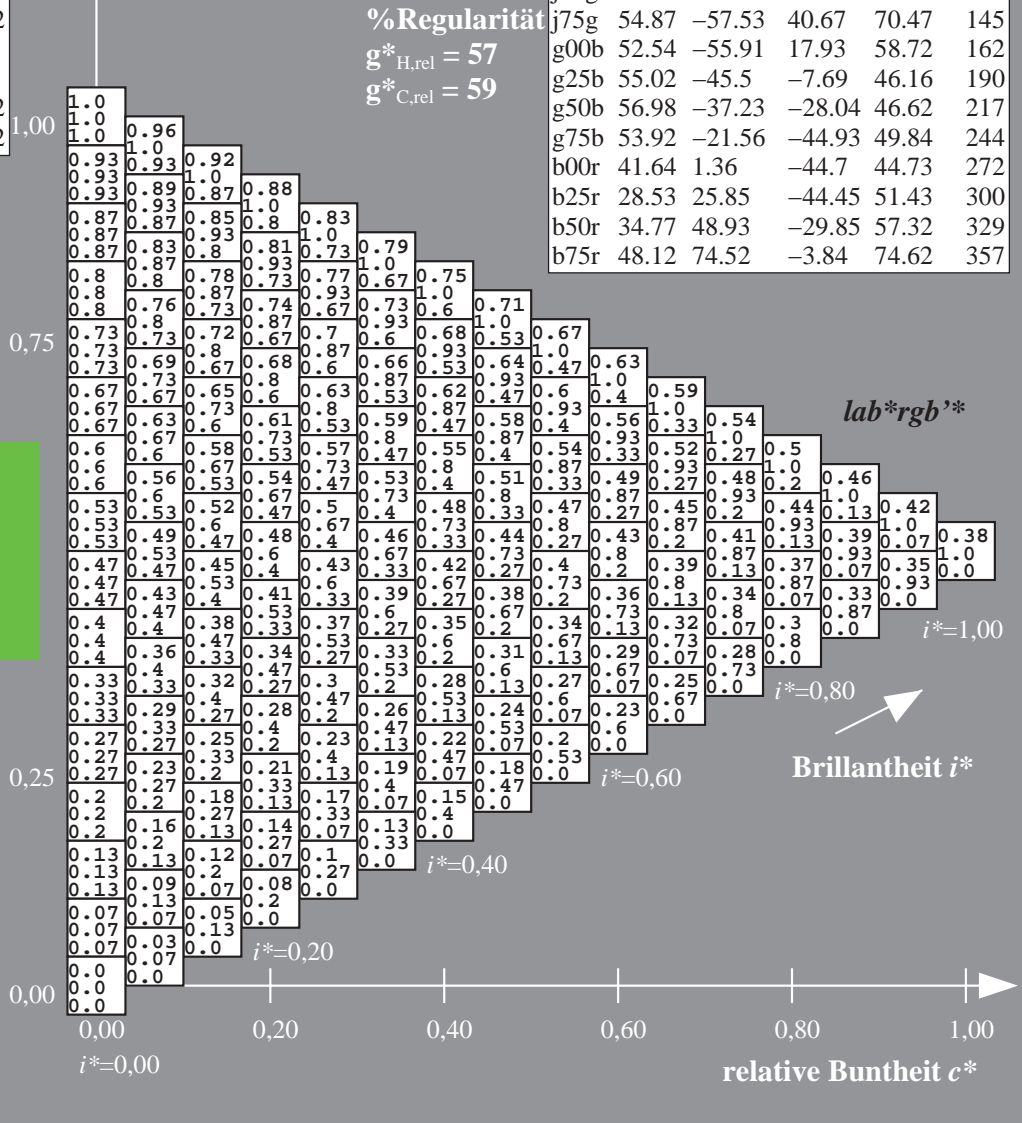
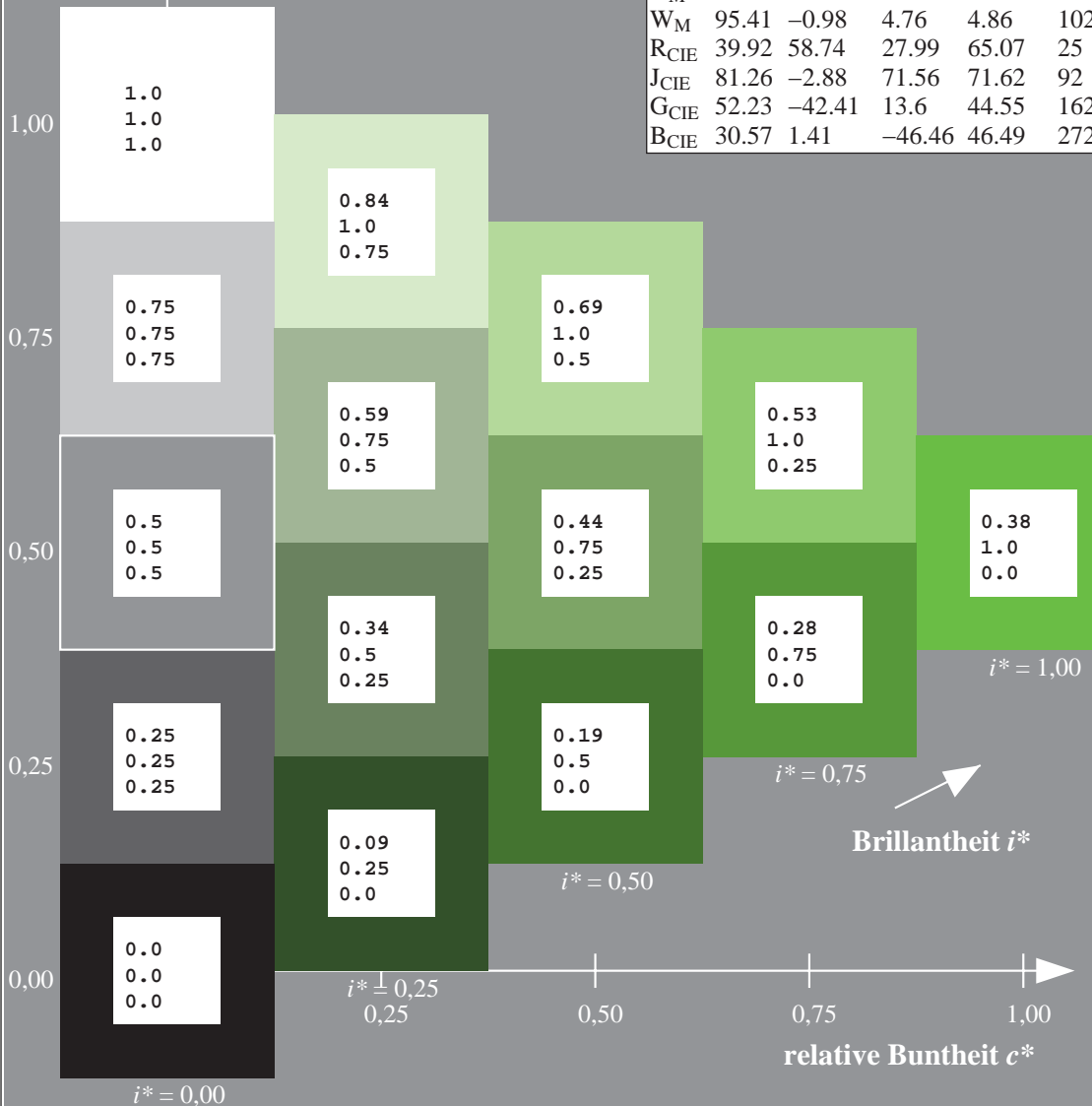
$u^*_{rel} = 93$

%Regularität

$g^*_{H,rel} = 57$

$g^*_{C,rel} = 59$

ORS18_95aM; adaptierte CIELAB-Daten					
	$L^*=L^*_a$	a^*_a	b^*_a	$C^*_{ab,a}$	$h^*_{ab,a}$
r00j	48.0	68.4	32.59	75.77	25
r25j	51.32	59.36	53.8	80.11	42
r50j	62.67	39.12	64.83	75.72	59
r75j	73.73	19.4	75.58	78.03	76
j00g	86.61	-3.55	88.09	88.17	92
j25g	78.07	-26.64	74.05	78.7	110
j50g	65.83	-42.94	56.44	70.93	127
j75g	54.87	-57.53	40.67	70.47	145
g00b	52.54	-55.91	17.93	58.72	162
g25b	55.02	-45.5	-7.69	46.16	190
g50b	56.98	-37.23	-28.04	46.62	217
g75b	53.92	-21.56	-44.93	49.84	244
b00r	41.64	1.36	-44.7	44.73	272
b25r	28.53	25.85	-44.45	51.43	300
b50r	34.77	48.93	-29.85	57.32	329
b75r	48.12	74.52	-3.84	74.62	357



Ein und Ausgabe: Farbmetrisches Drucker-Reflektiv-System ORS18_95aM für relative CIELAB-Bunton $h^* = lab^*h^* = h_{ab}/360 = 145/360 = 0.402$ $u^* = j75g$

Daten für jede Farbe:

lab^*ch^* und lab^*icu^*

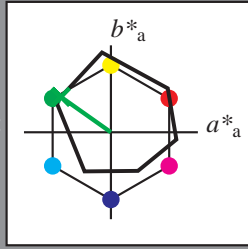
Elementar-Buntontext:

$u^* = j75g$

Kontrastreduzierungsfaktor:

$c_R = 1.0$

Dreiecks-Helligkeit t^*



ORS18_95aM; CIELAB-Daten

	$L^*=L^*$	a^*	b^*	C^*_{ab}	h^*_{ab}
O _M	47.94	65.31	52.07	83.53	39
Y _M	90.37	-11.15	96.17	96.82	97
L _M	50.9	-62.96	36.71	72.89	150
C _M	58.62	-30.62	-42.74	52.59	234
V _M	25.72	31.45	-44.35	54.38	305
M _M	48.13	75.2	-6.79	75.51	355
N _M	18.01	0.5	-0.46	0.69	317
W _M	95.41	-0.98	4.76	4.86	102
R _{CIE}	39.92	58.74	27.99	65.07	25
J _{CIE}	81.26	-2.88	71.56	71.62	92
G _{CIE}	52.23	-42.41	13.6	44.55	162
B _{CIE}	30.57	1.41	-46.46	46.49	272

Daten für Maximalfarbe (Ma):

$LAB^*LAB^*Ma: 55 -57 41$

$LAB^*LCH^*Ma: 55 70 145$

$lab^*rgb^*Ma: 0.25 1.0 0.0$

$lab^*olv^*Ma: 0.1 1.0 0.0$

Dreiecks-Helligkeit t^*

%Umfang

$u^*_{rel} = 93$

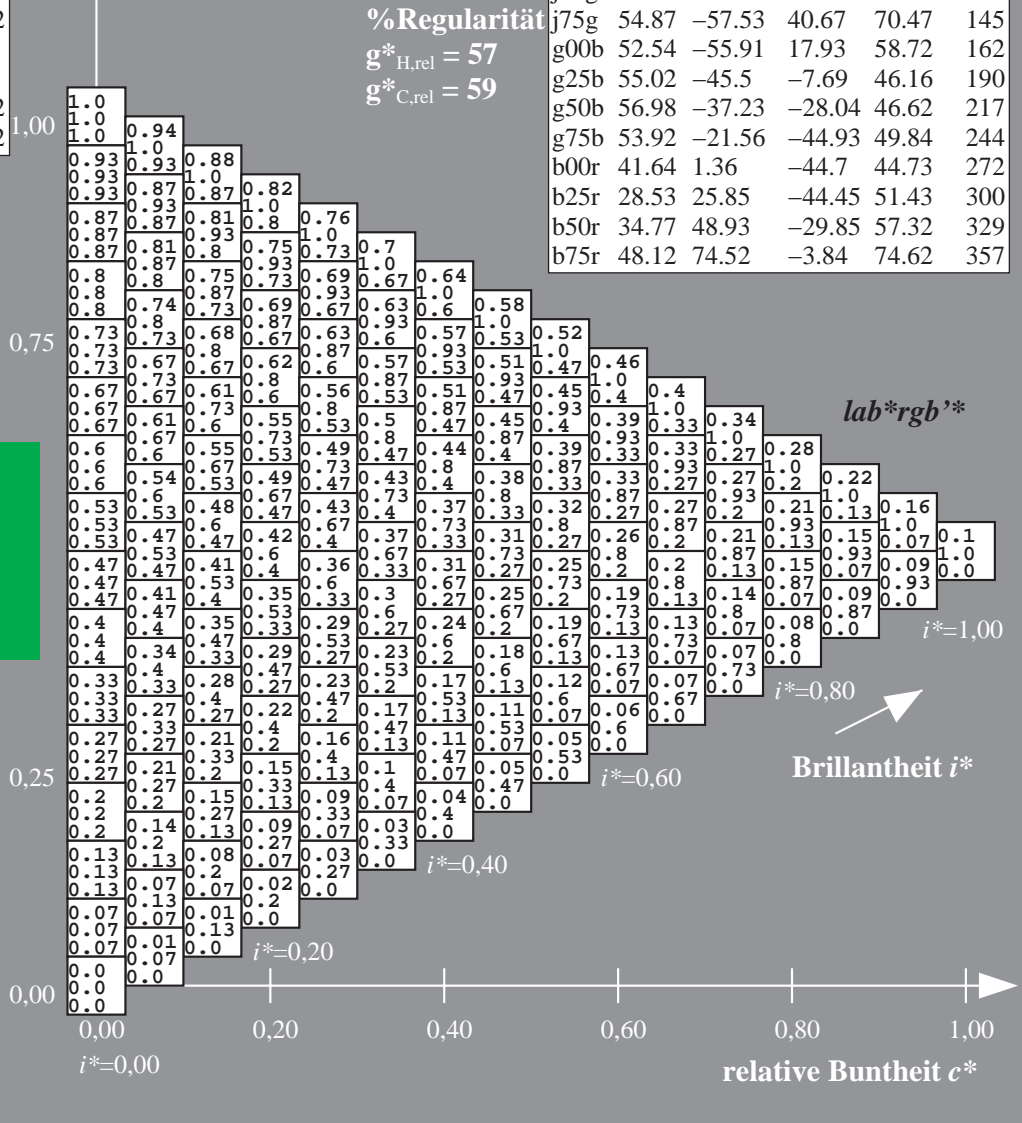
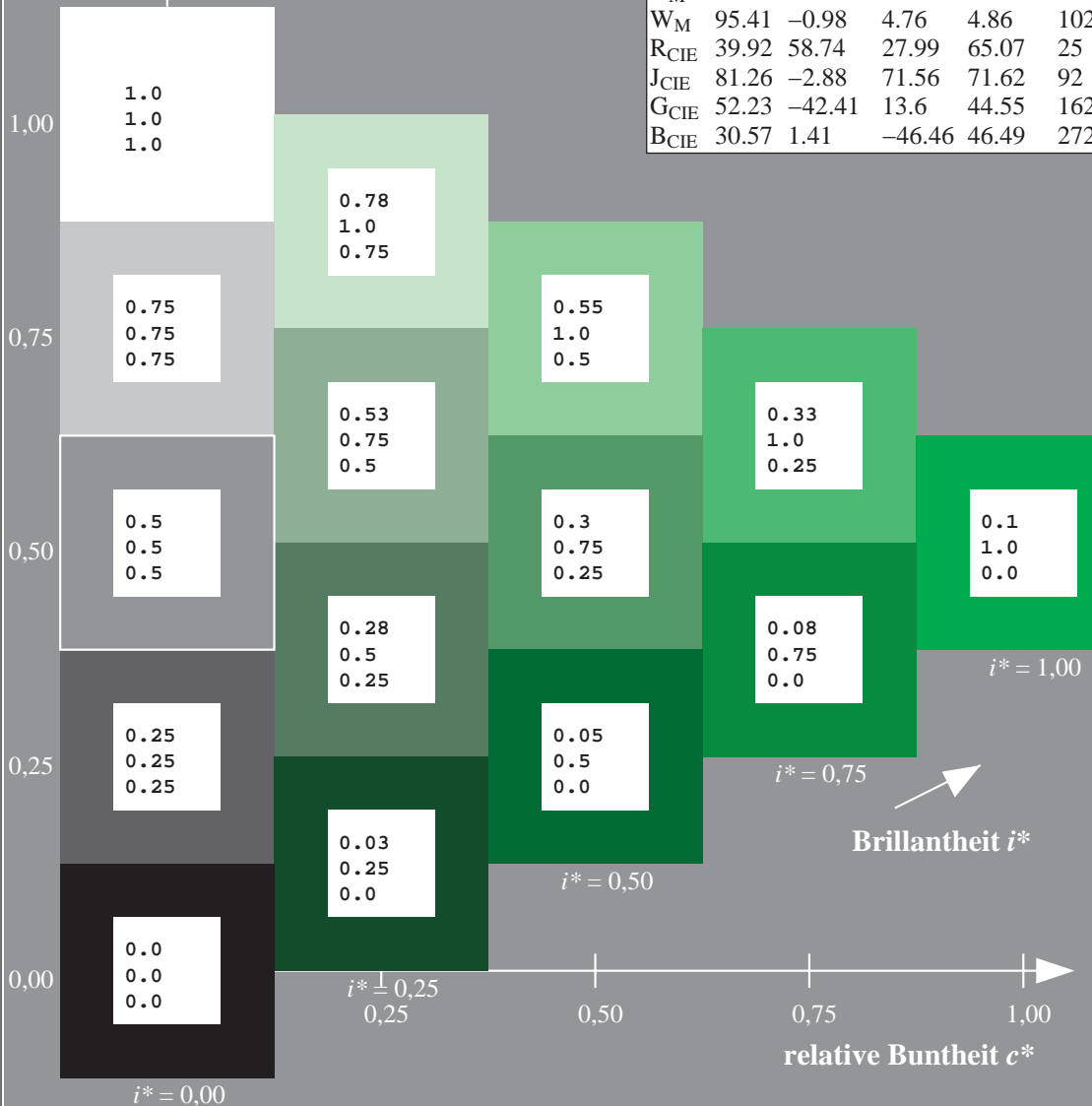
%Regularität

$g^*_{H,rel} = 57$

$g^*_{C,rel} = 59$

ORS18_95aM; adaptierte CIELAB-Daten

	$L^*=L^*_a$	a^*_a	b^*_a	$C^*_{ab,a}$	$h^*_{ab,a}$
r00j	48.0	68.4	32.59	75.77	25
r25j	51.32	59.36	53.8	80.11	42
r50j	62.67	39.12	64.83	75.72	59
r75j	73.73	19.4	75.58	78.03	76
j00g	86.61	-3.55	88.09	88.17	92
j25g	78.07	-26.64	74.05	78.7	110
j50g	65.83	-42.94	56.44	70.93	127
j75g	54.87	-57.53	40.67	70.47	145
g00b	52.54	-55.91	17.93	58.72	162
g25b	55.02	-45.5	-7.69	46.16	190
g50b	56.98	-37.23	-28.04	46.62	217
g75b	53.92	-21.56	-44.93	49.84	244
b00r	41.64	1.36	-44.7	44.73	272
b25r	28.53	25.85	-44.45	51.43	300
b50r	34.77	48.93	-29.85	57.32	329
b75r	48.12	74.52	-3.84	74.62	357



Daten für jede Farbe:

lab^*ch^* und lab^*icu^*

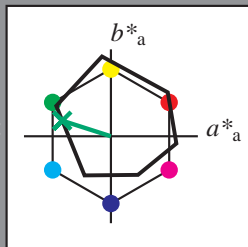
Elementar-Buntontext:

$u^* = g00b$

Kontrastreduzierungsfaktor:

$c_R = 1.0$

Dreiecks-Helligkeit t^*



ORS18_95aM; CIELAB-Daten					
	$L^*=L^*$	a^*	b^*	C^*_{ab}	h^*_{ab}
O_M	47.94	65.31	52.07	83.53	39
Y_M	90.37	-11.15	96.17	96.82	97
L_M	50.9	-62.96	36.71	72.89	150
C_M	58.62	-30.62	-42.74	52.59	234
V_M	25.72	31.45	-44.35	54.38	305
M_M	48.13	75.2	-6.79	75.51	355
N_M	18.01	0.5	-0.46	0.69	317
W_M	95.41	-0.98	4.76	4.86	102
R_{CIE}	39.92	58.74	27.99	65.07	25
J_{CIE}	81.26	-2.88	71.56	71.62	92
G_{CIE}	52.23	-42.41	13.6	44.55	162
B_{CIE}	30.57	1.41	-46.46	46.49	272

Daten für Maximalfarbe (Ma):

$LAB^*LAB^*Ma: 53 -55 18$

$LAB^*LCH^*Ma: 53 59 162$

$lab^*rgb^*Ma: 0.0 1.0 0.0$

$lab^*olv^*Ma: 0.0 1.0 0.21$

Dreiecks-Helligkeit t^*

%Umfang

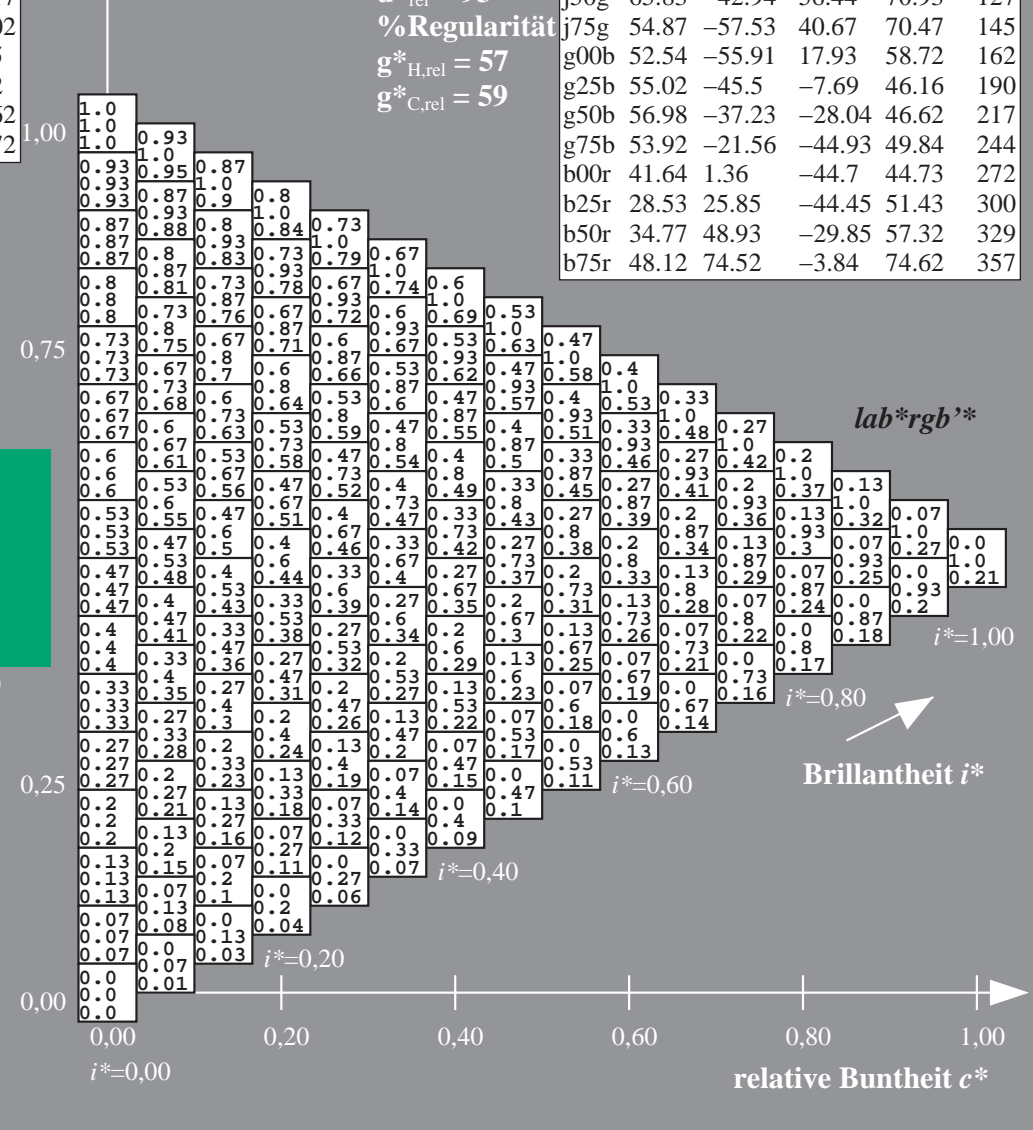
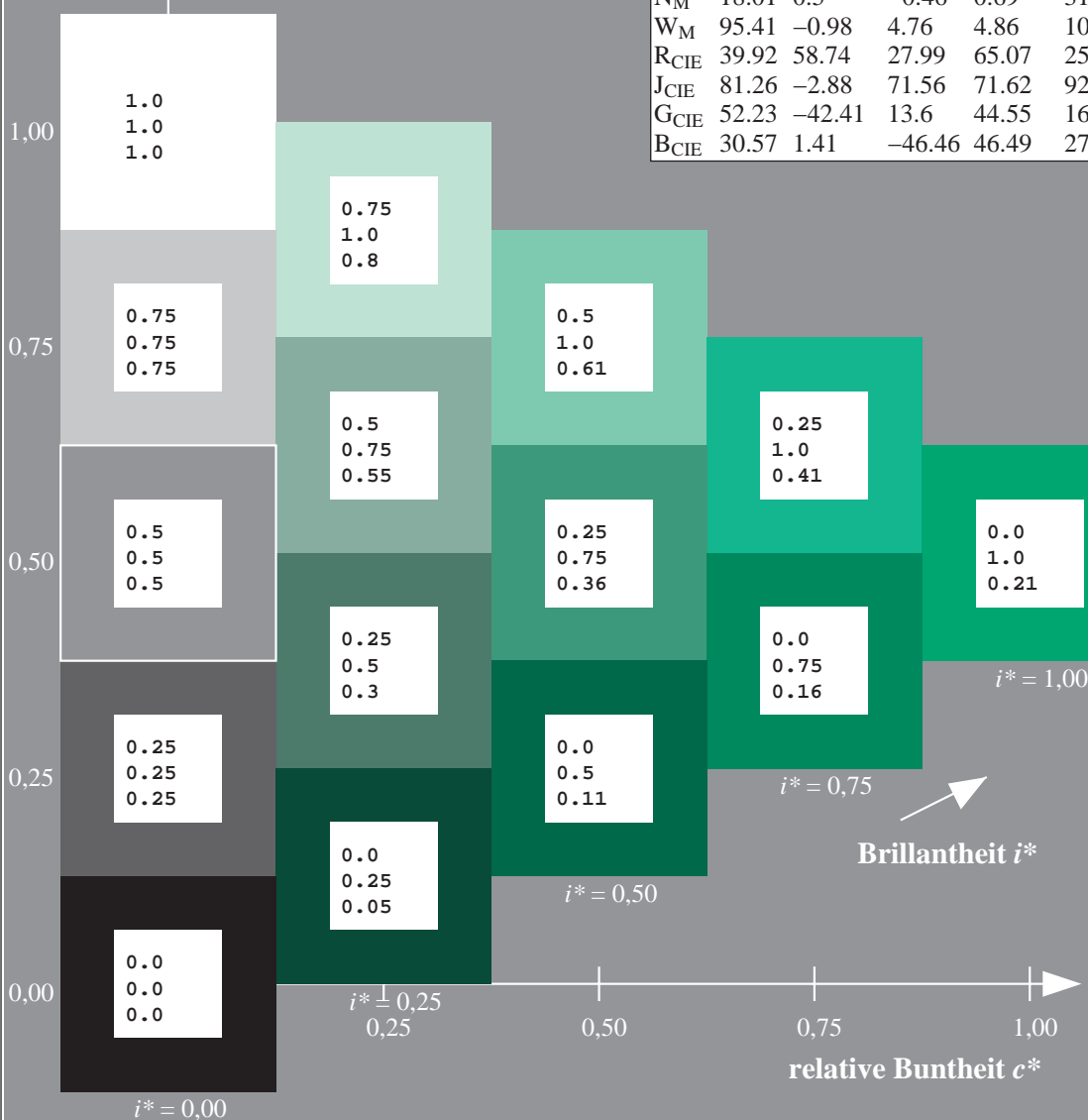
$u^*_{rel} = 93$

%Regularität

$g^*_{H,rel} = 57$

$g^*_{C,rel} = 59$

ORS18_95aM; adaptierte CIELAB-Daten					
	$L^*=L^*_a$	a^*_a	b^*_a	$C^*_{ab,a}$	$h^*_{ab,a}$
r00j	48.0	68.4	32.59	75.77	25
r25j	51.32	59.36	53.8	80.11	42
r50j	62.67	39.12	64.83	75.72	59
r75j	73.73	19.4	75.58	78.03	76
j00g	86.61	-3.55	88.09	88.17	92
j25g	78.07	-26.64	74.05	78.7	110
j50g	65.83	-42.94	56.44	70.93	127
j75g	54.87	-57.53	40.67	70.47	145
g00b	52.54	-55.91	17.93	58.72	162
g25b	55.02	-45.5	-7.69	46.16	190
g50b	56.98	-37.23	-28.04	46.62	217
g75b	53.92	-21.56	-44.93	49.84	244
b00r	41.64	1.36	-44.7	44.73	272
b25r	28.53	25.85	-44.45	51.43	300
b50r	34.77	48.93	-29.85	57.32	329
b75r	48.12	74.52	-3.84	74.62	357



Daten für jede Farbe:

lab^*ch^* und lab^*icu^*

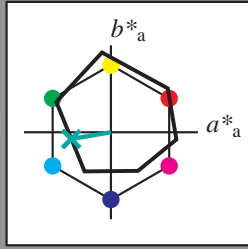
Elementar-Buntontext:

$u^* = g25b$

Kontrastreduzierungsfaktor:

$c_R = 1.0$

Dreiecks-Helligkeit t^*



ORS18_95aM; CIELAB-Daten					
	$L^*=L^*$	a^*	b^*	C^*_{ab}	h^*_{ab}
O_M	47.94	65.31	52.07	83.53	39
Y_M	90.37	-11.15	96.17	96.82	97
L_M	50.9	-62.96	36.71	72.89	150
C_M	58.62	-30.62	-42.74	52.59	234
V_M	25.72	31.45	-44.35	54.38	305
M_M	48.13	75.2	-6.79	75.51	355
N_M	18.01	0.5	-0.46	0.69	317
W_M	95.41	-0.98	4.76	4.86	102
R_{CIE}	39.92	58.74	27.99	65.07	25
J_{CIE}	81.26	-2.88	71.56	71.62	92
G_{CIE}	52.23	-42.41	13.6	44.55	162
B_{CIE}	30.57	1.41	-46.46	46.49	272

Daten für Maximalfarbe (Ma):

$LAB^*LAB^*Ma: 55 -45 -7$

$LAB^*LCH^*Ma: 55 46 190$

$lab^*rgb^*Ma: 0.0 1.0 0.5$

$lab^*olv^*Ma: 0.0 1.0 0.53$

Dreiecks-Helligkeit t^*

%Umfang

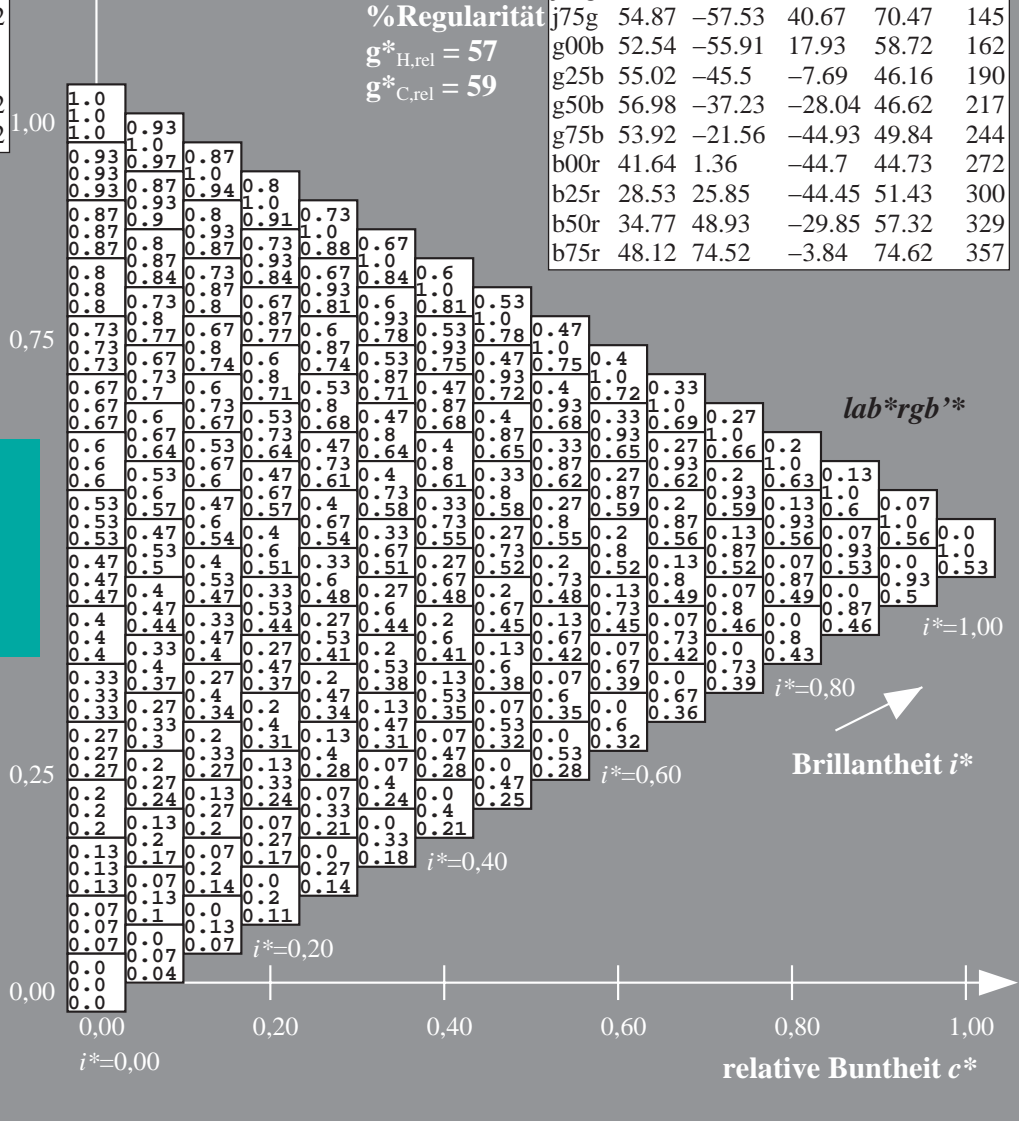
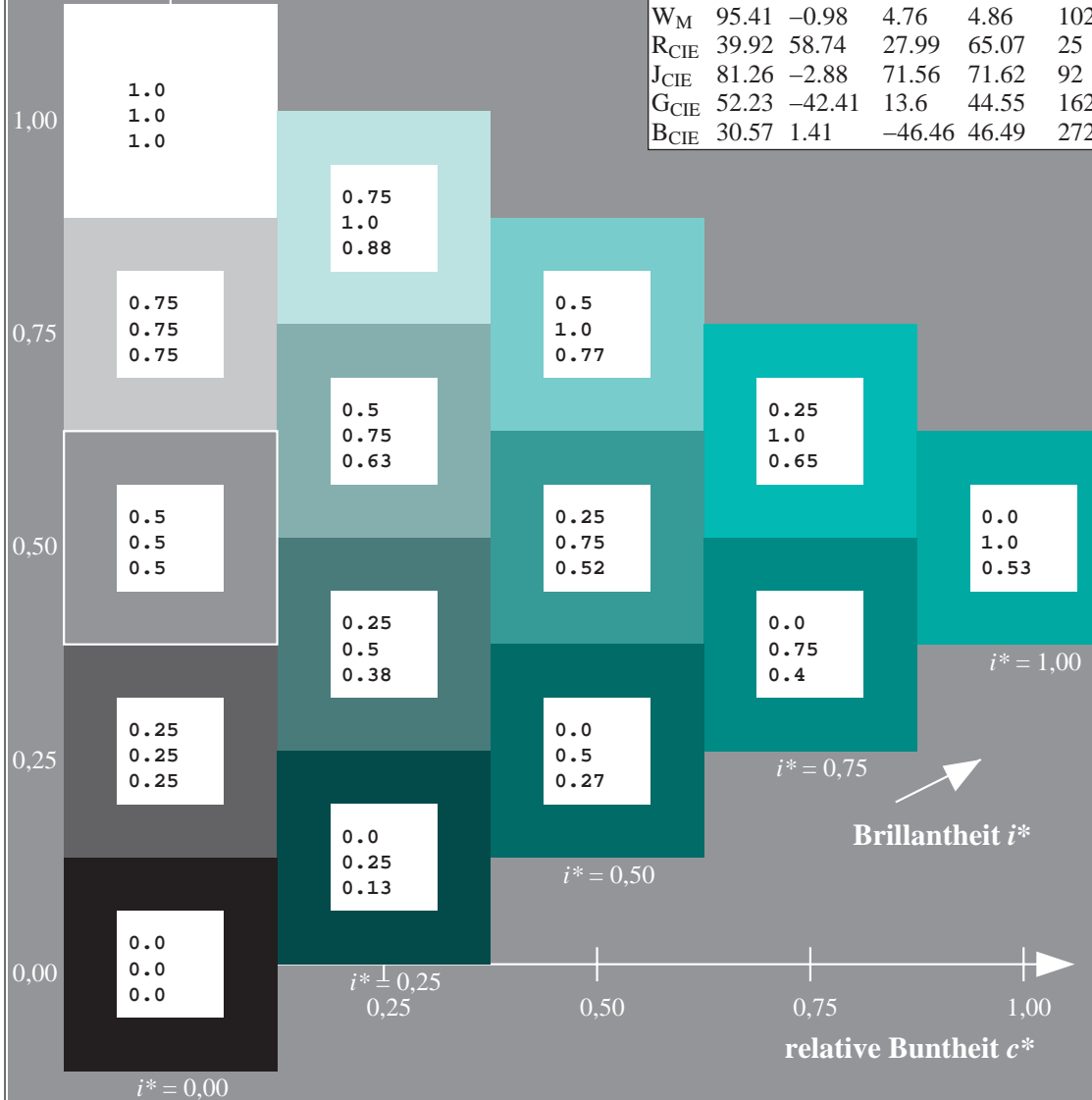
$u^*_{rel} = 93$

%Regularität

$g^*_{H,rel} = 57$

$g^*_{C,rel} = 59$

ORS18_95aM; adaptierte CIELAB-Daten					
	$L^*=L^*_a$	a^*_a	b^*_a	$C^*_{ab,a}$	$h^*_{ab,a}$
r00j	48.0	68.4	32.59	75.77	25
r25j	51.32	59.36	53.8	80.11	42
r50j	62.67	39.12	64.83	75.72	59
r75j	73.73	19.4	75.58	78.03	76
j00g	86.61	-3.55	88.09	88.17	92
j25g	78.07	-26.64	74.05	78.7	110
j50g	65.83	-42.94	56.44	70.93	127
j75g	54.87	-57.53	40.67	70.47	145
g00b	52.54	-55.91	17.93	58.72	162
g25b	55.02	-45.5	-7.69	46.16	190
g50b	56.98	-37.23	-28.04	46.62	217
g75b	53.92	-21.56	-44.93	49.84	244
b00r	41.64	1.36	-44.7	44.73	272
b25r	28.53	25.85	-44.45	51.43	300
b50r	34.77	48.93	-29.85	57.32	329
b75r	48.12	74.52	-3.84	74.62	357



Daten für jede Farbe:

lab^*ch^* und lab^*icu^*

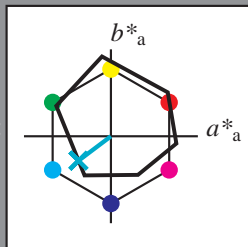
Elementar-Buntontext:

$u^* = g50b$

Kontrastreduzierungsfaktor:

$c_R = 1.0$

Dreiecks-Helligkeit t^*



ORS18_95aM; CIELAB-Daten					
	$L^*=L^*$	a^*	b^*	C^*_{ab}	h^*_{ab}
O _M	47.94	65.31	52.07	83.53	39
Y _M	90.37	-11.15	96.17	96.82	97
L _M	50.9	-62.96	36.71	72.89	150
C _M	58.62	-30.62	-42.74	52.59	234
V _M	25.72	31.45	-44.35	54.38	305
M _M	48.13	75.2	-6.79	75.51	355
N _M	18.01	0.5	-0.46	0.69	317
W _M	95.41	-0.98	4.76	4.86	102
R _{CIE}	39.92	58.74	27.99	65.07	25
J _{CIE}	81.26	-2.88	71.56	71.62	92
G _{CIE}	52.23	-42.41	13.6	44.55	162
B _{CIE}	30.57	1.41	-46.46	46.49	272

Daten für Maximalfarbe (Ma):

$LAB^*LAB^*_{Ma}: 57 -36 -27$

$LAB^*LCH^*_{Ma}: 57 47 217$

$lab^*rgb^*_{Ma}: 0.0 1.0 1.0$

$lab^*olv^*_{Ma}: 0.0 1.0 0.79$

Dreiecks-Helligkeit t^*

%Umfang

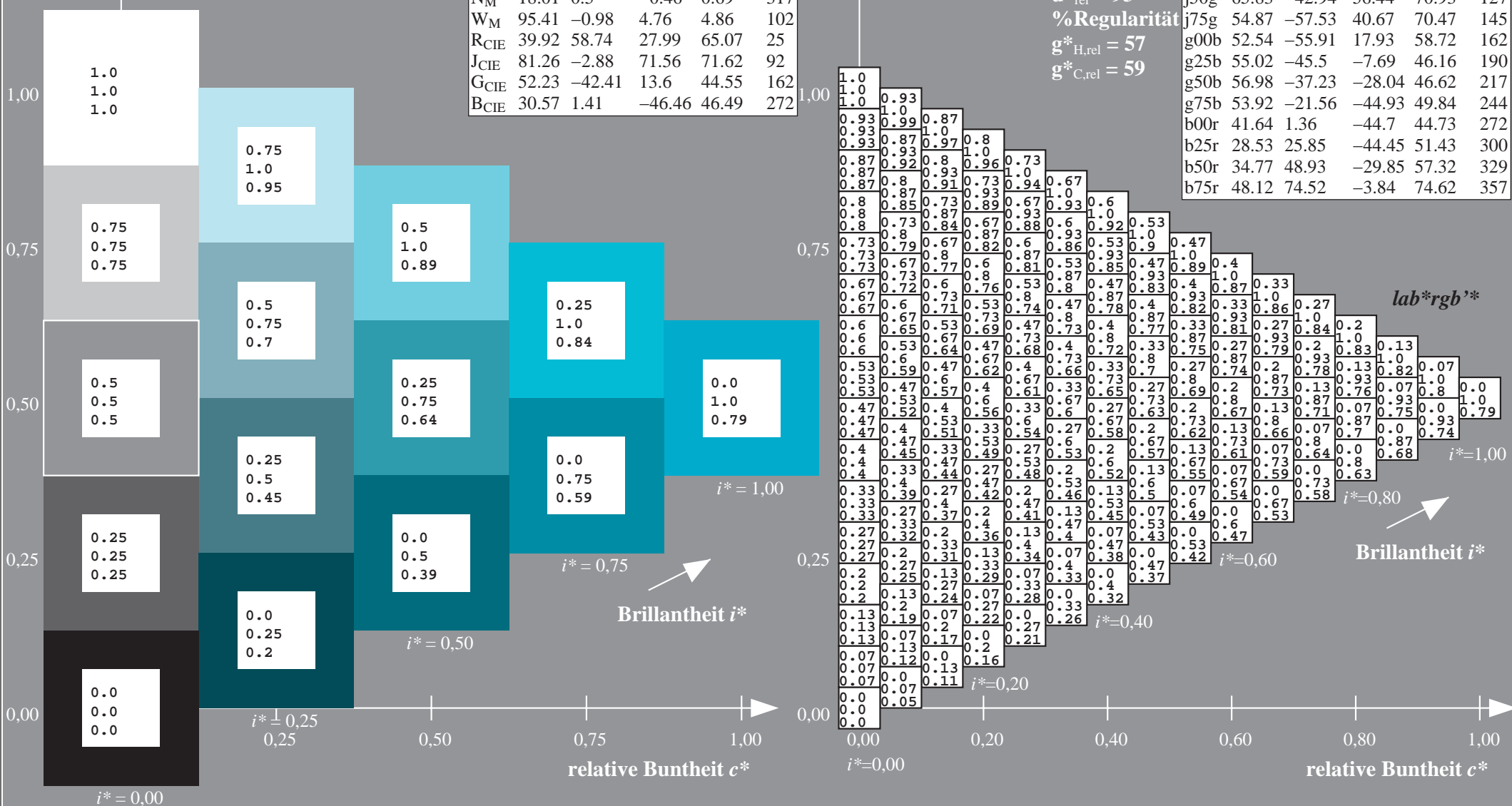
$u^*_{rel} = 93$

%Regularität

$g^*_{H,rel} = 57$

$g^*_{C,rel} = 59$

ORS18_95aM; adaptierte CIELAB-Daten					
	$L^*=L^*_a$	a^*_a	b^*_a	$C^*_{ab,a}$	$h^*_{ab,a}$
r00j	48.0	68.4	32.59	75.77	25
r25j	51.32	59.36	53.8	80.11	42
r50j	62.67	39.12	64.83	75.72	59
r75j	73.73	19.4	75.58	78.03	76
j00g	86.61	-3.55	88.09	88.17	92
j25g	78.07	-26.64	74.05	78.7	110
j50g	65.83	-42.94	56.44	70.93	127
j75g	54.87	-57.53	40.67	70.47	145
g00b	52.54	-55.91	17.93	58.72	162
g25b	55.02	-45.5	-7.69	46.16	190
g50b	56.98	-37.23	-28.04	46.62	217
g75b	53.92	-21.56	-44.93	49.84	244
b00r	41.64	1.36	-44.7	44.73	272
b25r	28.53	25.85	-44.45	51.43	300
b50r	34.77	48.93	-29.85	57.32	329
b75r	48.12	74.52	-3.84	74.62	357



Daten für jede Farbe:

lab^*ch^* und lab^*icu^*

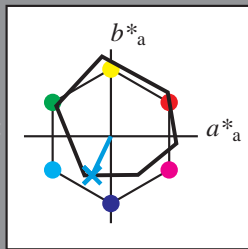
Elementar-Buntontext:

$u^* = g75b$

Kontrastreduzierungsfaktor:

$c_R = 1.0$

Dreiecks-Helligkeit t^*



ORS18_95aM; CIELAB-Daten					
	$L^*=L^*$	a^*	b^*	C^*_{ab}	h^*_{ab}
O_M	47.94	65.31	52.07	83.53	39
Y_M	90.37	-11.15	96.17	96.82	97
L_M	50.9	-62.96	36.71	72.89	150
C_M	58.62	-30.62	-42.74	52.59	234
V_M	25.72	31.45	-44.35	54.38	305
M_M	48.13	75.2	-6.79	75.51	355
N_M	18.01	0.5	-0.46	0.69	317
W_M	95.41	-0.98	4.76	4.86	102
R_{CIE}	39.92	58.74	27.99	65.07	25
J_{CIE}	81.26	-2.88	71.56	71.62	92
G_{CIE}	52.23	-42.41	13.6	44.55	162
B_{CIE}	30.57	1.41	-46.46	46.49	272

Daten für Maximalfarbe (Ma):

$LAB^*LAB^*Ma: 54 -21 -44$

$LAB^*LCH^*Ma: 54 50 244$

$lab^*rgb^*Ma: 0.0 0.5 1.0$

$lab^*olv^*Ma: 0.0 0.86 1.0$

Dreiecks-Helligkeit t^*

%Umfang

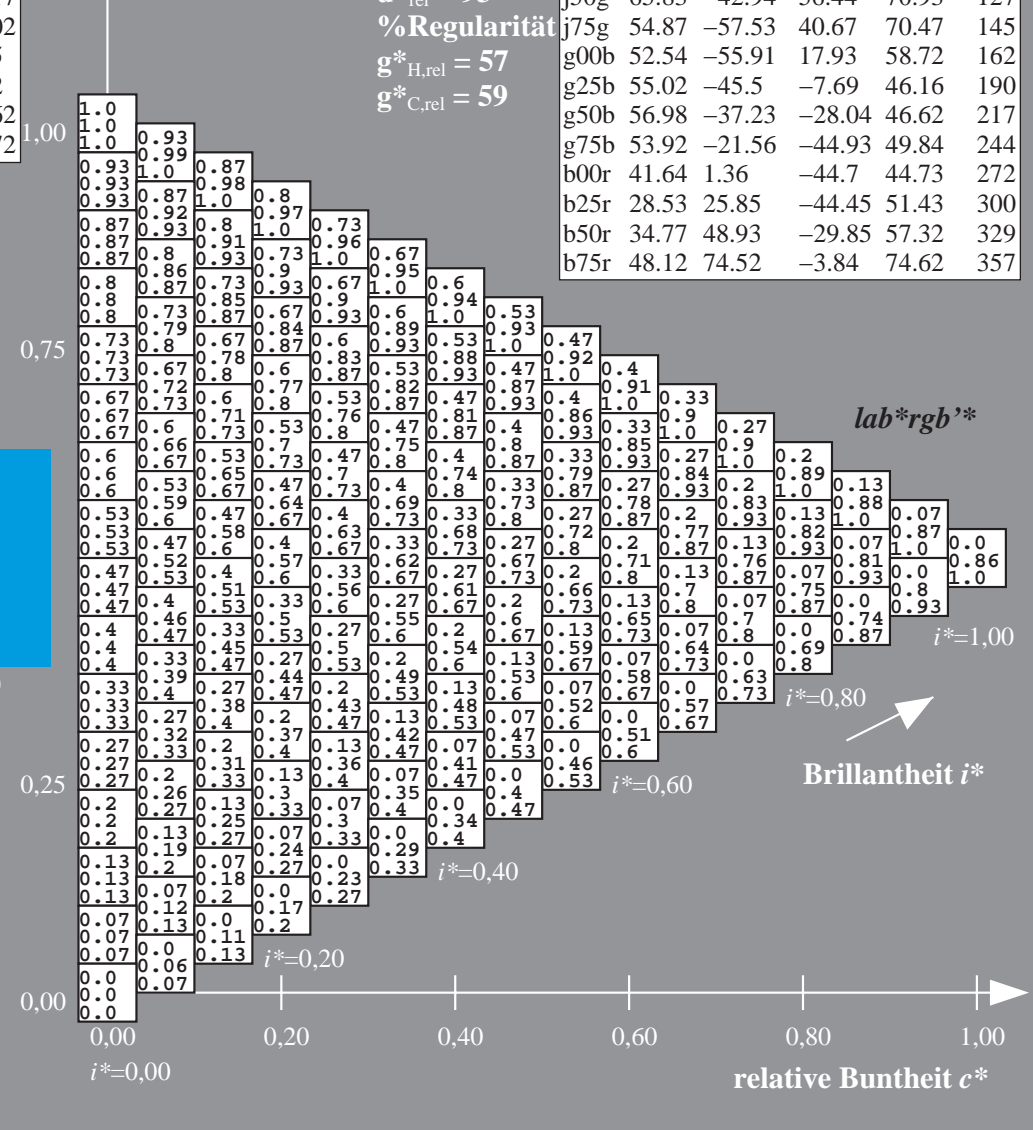
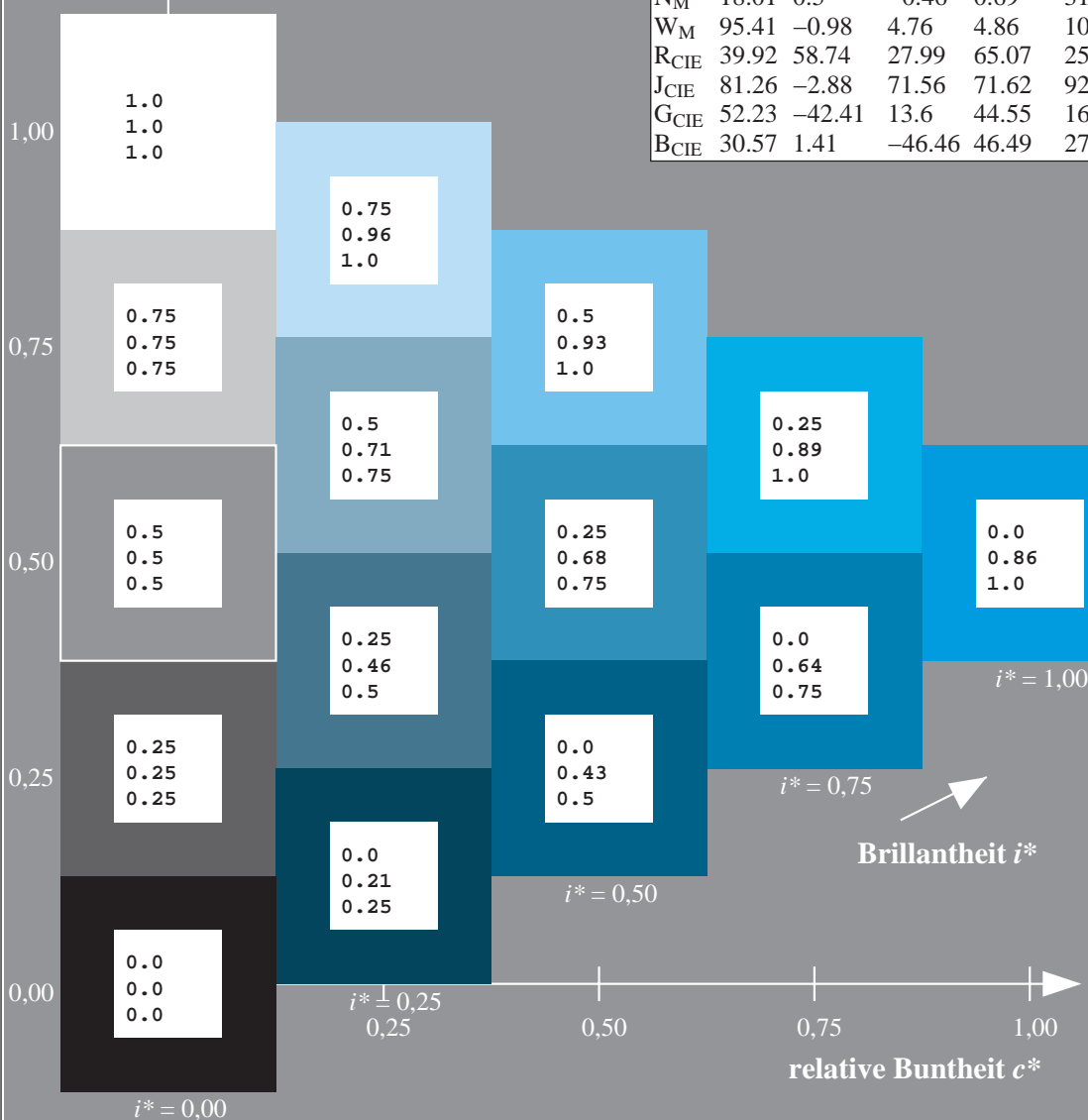
$u^*_{rel} = 93$

%Regularität

$g^*_{H,rel} = 57$

$g^*_{C,rel} = 59$

ORS18_95aM; adaptierte CIELAB-Daten					
	$L^*=L^*_a$	a^*_a	b^*_a	$C^*_{ab,a}$	$h^*_{ab,a}$
r00j	48.0	68.4	32.59	75.77	25
r25j	51.32	59.36	53.8	80.11	42
r50j	62.67	39.12	64.83	75.72	59
r75j	73.73	19.4	75.58	78.03	76
j00g	86.61	-3.55	88.09	88.17	92
j25g	78.07	-26.64	74.05	78.7	110
j50g	65.83	-42.94	56.44	70.93	127
j75g	54.87	-57.53	40.67	70.47	145
g00b	52.54	-55.91	17.93	58.72	162
g25b	55.02	-45.5	-7.69	46.16	190
g50b	56.98	-37.23	-28.04	46.62	217
g75b	53.92	-21.56	-44.93	49.84	244
b00r	41.64	1.36	-44.7	44.73	272
b25r	28.53	25.85	-44.45	51.43	300
b50r	34.77	48.93	-29.85	57.32	329
b75r	48.12	74.52	-3.84	74.62	357



Daten für jede Farbe:

lab^*ch^* und lab^*icu^*

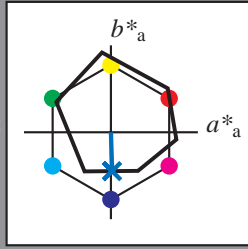
Elementar-Buntontext:

$u^* = b00r$

Kontrastreduzierungsfaktor:

$c_R = 1.0$

Dreiecks-Helligkeit t^*



ORS18_95aM; CIELAB-Daten					
	$L^*=L^*$	a^*	b^*	C^*_{ab}	h^*_{ab}
O_M	47.94	65.31	52.07	83.53	39
Y_M	90.37	-11.15	96.17	96.82	97
L_M	50.9	-62.96	36.71	72.89	150
C_M	58.62	-30.62	-42.74	52.59	234
V_M	25.72	31.45	-44.35	54.38	305
M_M	48.13	75.2	-6.79	75.51	355
N_M	18.01	0.5	-0.46	0.69	317
W_M	95.41	-0.98	4.76	4.86	102
R_{CIE}	39.92	58.74	27.99	65.07	25
J_{CIE}	81.26	-2.88	71.56	71.62	92
G_{CIE}	52.23	-42.41	13.6	44.55	162
B_{CIE}	30.57	1.41	-46.46	46.49	272

Daten für Maximalfarbe (Ma):

$LAB^*LAB^*Ma: 42 \ 1 \ -44$

$LAB^*LCH^*Ma: 42 \ 45 \ 272$

$lab^*rgb^*Ma: 0.0 \ 0.0 \ 1.0$

$lab^*olv^*Ma: 0.0 \ 0.48 \ 1.0$

Dreiecks-Helligkeit t^*

%Umfang

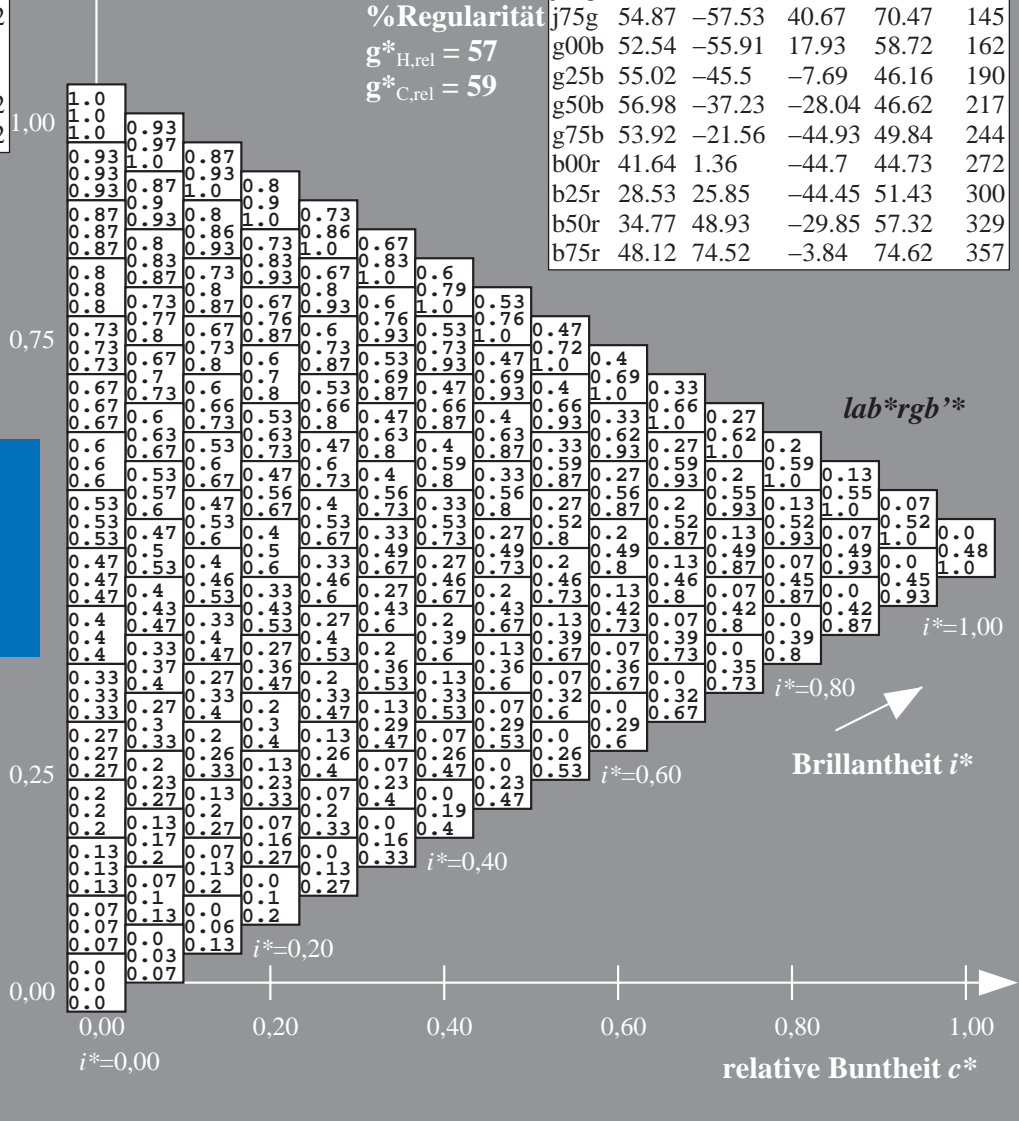
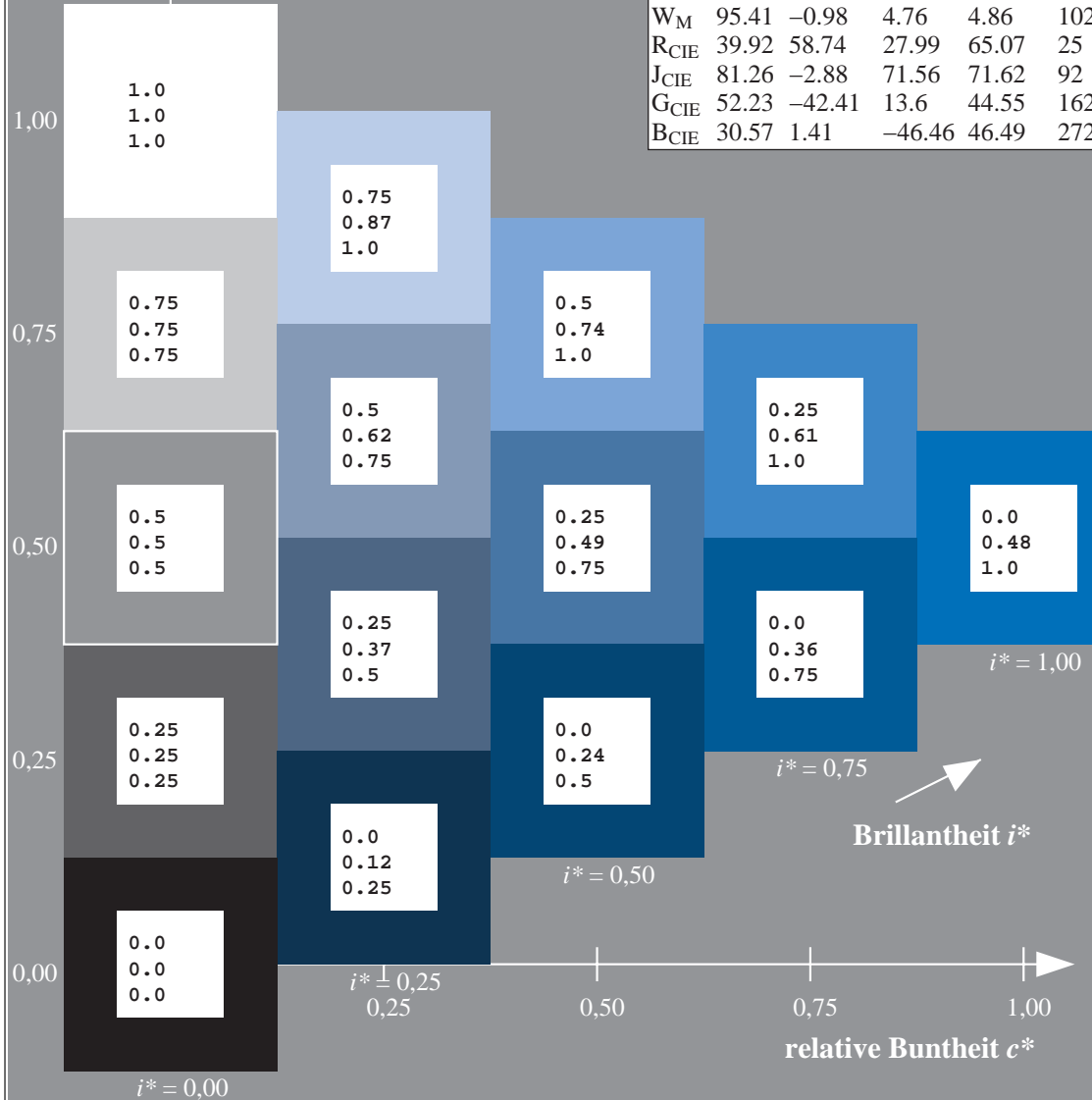
$u^*_{rel} = 93$

%Regularität

$g^*_{H,rel} = 57$

$g^*_{C,rel} = 59$

ORS18_95aM; adaptierte CIELAB-Daten					
	$L^*=L^*_a$	a^*_a	b^*_a	$C^*_{ab,a}$	$h^*_{ab,a}$
r00j	48.0	68.4	32.59	75.77	25
r25j	51.32	59.36	53.8	80.11	42
r50j	62.67	39.12	64.83	75.72	59
r75j	73.73	19.4	75.58	78.03	76
j00g	86.61	-3.55	88.09	88.17	92
j25g	78.07	-26.64	74.05	78.7	110
j50g	65.83	-42.94	56.44	70.93	127
j75g	54.87	-57.53	40.67	70.47	145
g00b	52.54	-55.91	17.93	58.72	162
g25b	55.02	-45.5	-7.69	46.16	190
g50b	56.98	-37.23	-28.04	46.62	217
g75b	53.92	-21.56	-44.93	49.84	244
b00r	41.64	1.36	-44.7	44.73	272
b25r	28.53	25.85	-44.45	51.43	300
b50r	34.77	48.93	-29.85	57.32	329
b75r	48.12	74.52	-3.84	74.62	357



Daten für jede Farbe:

lab^*ch^* und lab^*icu^*

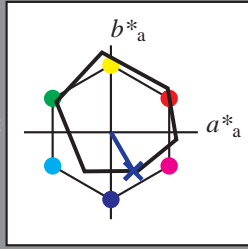
Elementar-Buntontext:

$u^* = b25r$

Kontrastreduzierungsfaktor:

$c_R = 1.0$

Dreiecks-Helligkeit t^*



ORS18_95aM; CIELAB-Daten					
	$L^*=L^*$	a^*	b^*	C^*_{ab}	h^*_{ab}
O _M	47.94	65.31	52.07	83.53	39
Y _M	90.37	-11.15	96.17	96.82	97
L _M	50.9	-62.96	36.71	72.89	150
C _M	58.62	-30.62	-42.74	52.59	234
V _M	25.72	31.45	-44.35	54.38	305
M _M	48.13	75.2	-6.79	75.51	355
N _M	18.01	0.5	-0.46	0.69	317
W _M	95.41	-0.98	4.76	4.86	102
R _{CIE}	39.92	58.74	27.99	65.07	25
J _{CIE}	81.26	-2.88	71.56	71.62	92
G _{CIE}	52.23	-42.41	13.6	44.55	162
B _{CIE}	30.57	1.41	-46.46	46.49	272

Daten für Maximalfarbe (Ma):

$LAB^*LAB^*Ma: 29\ 26\ -43$

$LAB^*LCH^*Ma: 29\ 51\ 300$

$lab^*rgb^*Ma: 0.5\ 0.0\ 1.0$

$lab^*olv^*Ma: 0.0\ 0.09\ 1.0$

Dreiecks-Helligkeit t^*

%Umfang

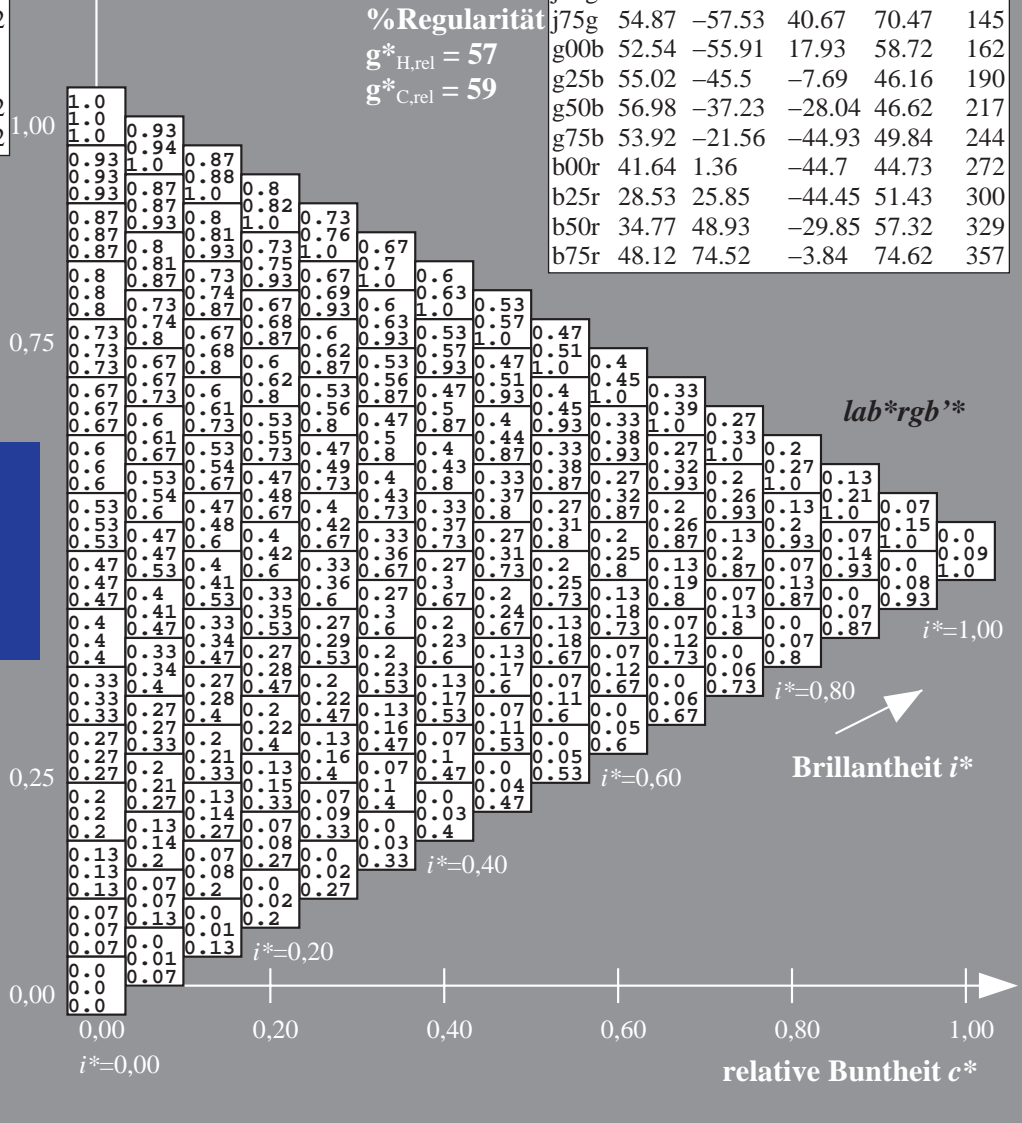
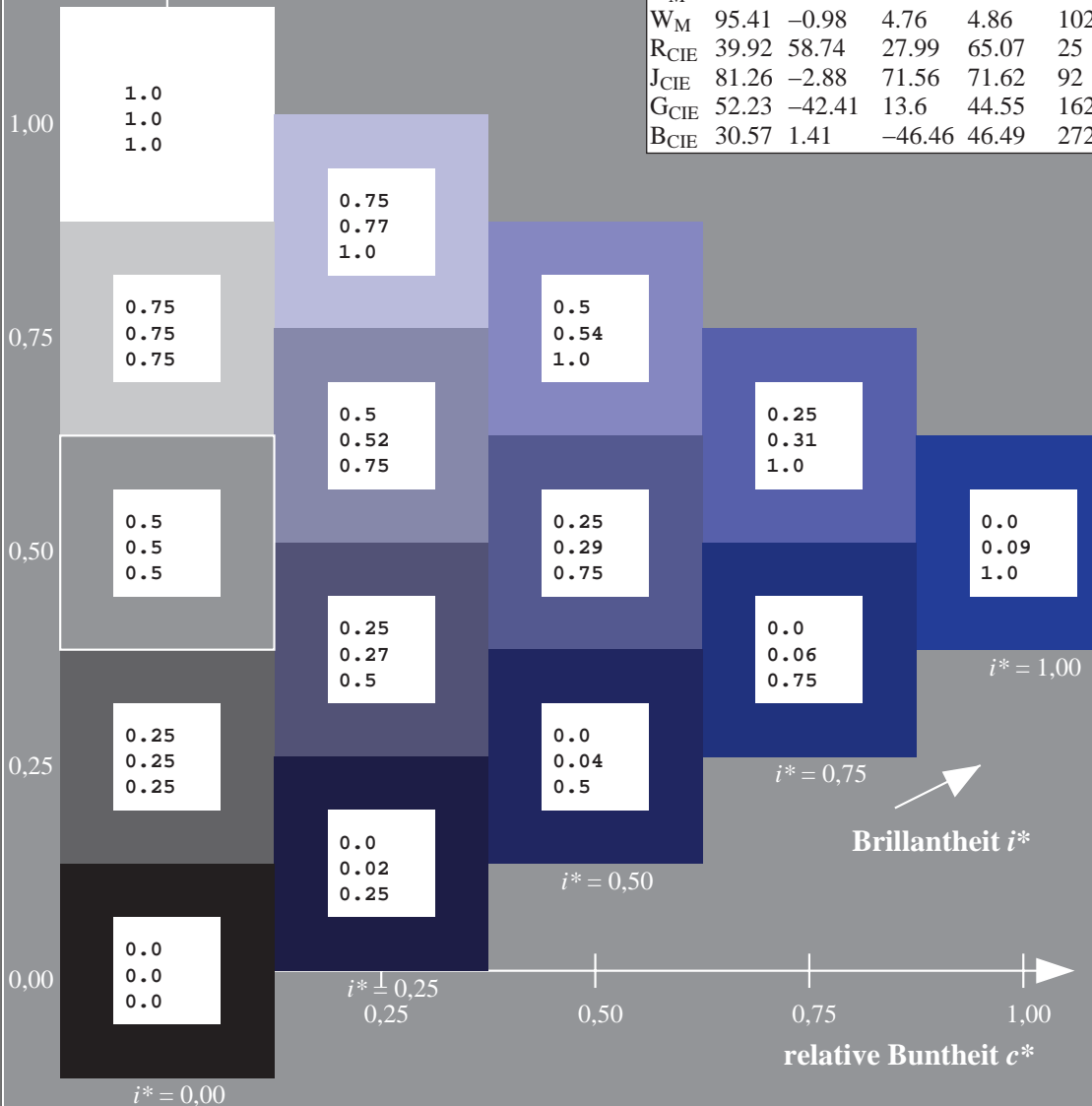
$u^*_{rel} = 93$

%Regularität

$g^*_{H,rel} = 57$

$g^*_{C,rel} = 59$

ORS18_95aM; adaptierte CIELAB-Daten					
	$L^*=L^*_a$	a^*_a	b^*_a	$C^*_{ab,a}$	$h^*_{ab,a}$
r00j	48.0	68.4	32.59	75.77	25
r25j	51.32	59.36	53.8	80.11	42
r50j	62.67	39.12	64.83	75.72	59
r75j	73.73	19.4	75.58	78.03	76
j00g	86.61	-3.55	88.09	88.17	92
j25g	78.07	-26.64	74.05	78.7	110
j50g	65.83	-42.94	56.44	70.93	127
j75g	54.87	-57.53	40.67	70.47	145
g00b	52.54	-55.91	17.93	58.72	162
g25b	55.02	-45.5	-7.69	46.16	190
g50b	56.98	-37.23	-28.04	46.62	217
g75b	53.92	-21.56	-44.93	49.84	244
b00r	41.64	1.36	-44.7	44.73	272
b25r	28.53	25.85	-44.45	51.43	300
b50r	34.77	48.93	-29.85	57.32	329
b75r	48.12	74.52	-3.84	74.62	357



Daten für jede Farbe:

lab^*ch^* und lab^*icu^*

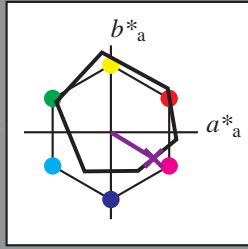
Elementar-Buntontext:

$u^* = b50r$

Kontrastreduzierungsfaktor:

$c_R = 1.0$

Dreiecks-Helligkeit t^*



ORS18_95aM; CIELAB-Daten

	$L^*=L^*$	a^*	b^*	C^*_{ab}	h^*_{ab}
O _M	47.94	65.31	52.07	83.53	39
Y _M	90.37	-11.15	96.17	96.82	97
L _M	50.9	-62.96	36.71	72.89	150
C _M	58.62	-30.62	-42.74	52.59	234
V _M	25.72	31.45	-44.35	54.38	305
M _M	48.13	75.2	-6.79	75.51	355
N _M	18.01	0.5	-0.46	0.69	317
W _M	95.41	-0.98	4.76	4.86	102
R _{CIE}	39.92	58.74	27.99	65.07	25
J _{CIE}	81.26	-2.88	71.56	71.62	92
G _{CIE}	52.23	-42.41	13.6	44.55	162
B _{CIE}	30.57	1.41	-46.46	46.49	272

Daten für Maximalfarbe (Ma):

$LAB^*LAB^*_{Ma}: 35\ 49\ -29$

$LAB^*LCH^*_{Ma}: 35\ 57\ 329$

$lab^*rgb^*_{Ma}: 1.0\ 0.0\ 1.0$

$lab^*olv^*_{Ma}: 0.4\ 0.0\ 1.0$

Dreiecks-Helligkeit t^*

%Umfang

$u^*_{rel} = 93$

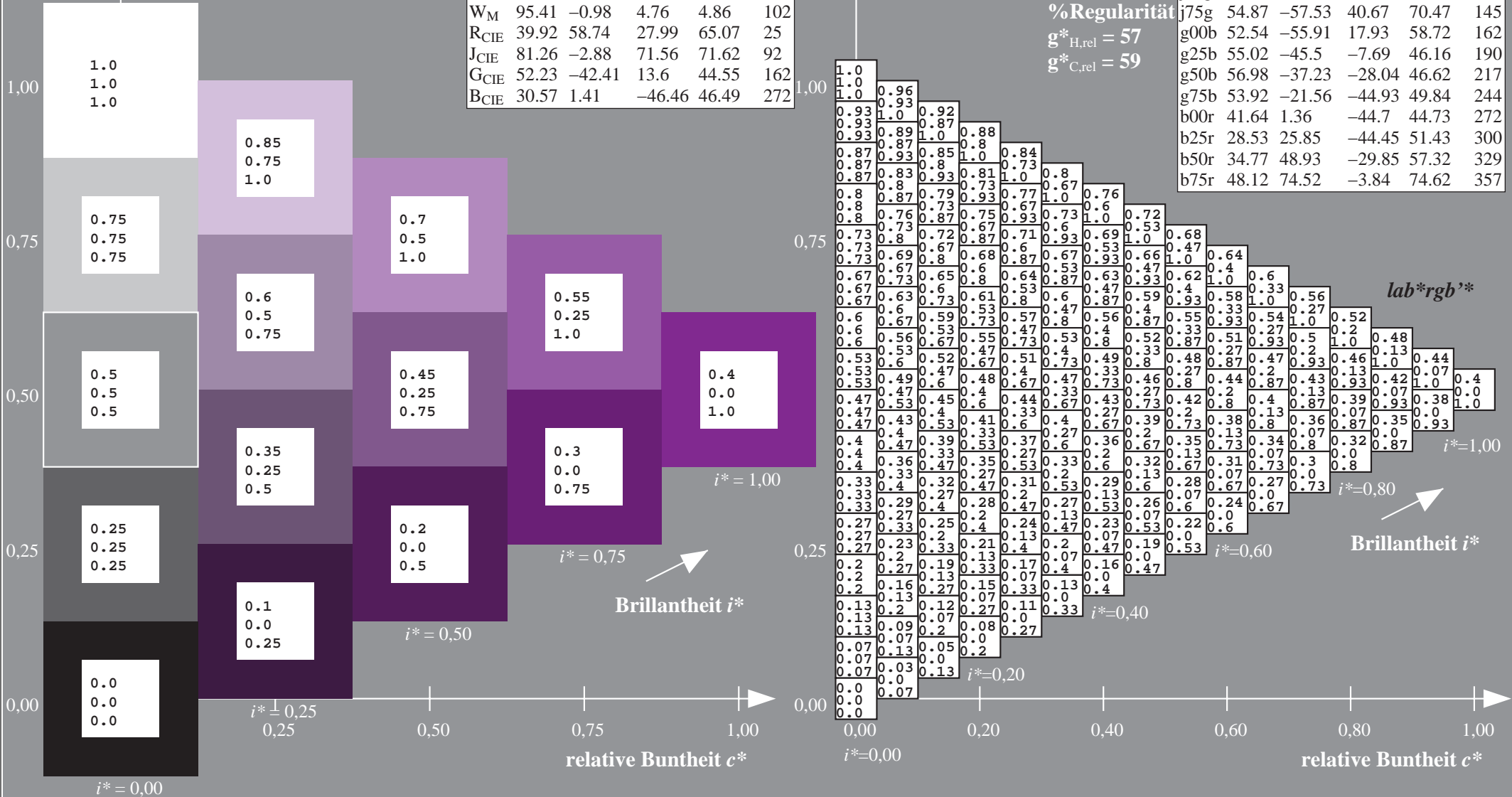
%Regularität

$g^*_{H,rel} = 57$

$g^*_{C,rel} = 59$

ORS18_95aM; adaptierte CIELAB-Daten

	$L^*=L^*_a$	a^*_a	b^*_a	$C^*_{ab,a}$	$h^*_{ab,a}$
r00j	48.0	68.4	32.59	75.77	25
r25j	51.32	59.36	53.8	80.11	42
r50j	62.67	39.12	64.83	75.72	59
r75j	73.73	19.4	75.58	78.03	76
j00g	86.61	-3.55	88.09	88.17	92
j25g	78.07	-26.64	74.05	78.7	110
j50g	65.83	-42.94	56.44	70.93	127
j75g	54.87	-57.53	40.67	70.47	145
g00b	52.54	-55.91	17.93	58.72	162
g25b	55.02	-45.5	-7.69	46.16	190
g50b	56.98	-37.23	-28.04	46.62	217
g75b	53.92	-21.56	-44.93	49.84	244
b00r	41.64	1.36	-44.7	44.73	272
b25r	28.53	25.85	-44.45	51.43	300
b50r	34.77	48.93	-29.85	57.32	329
b75r	48.12	74.52	-3.84	74.62	357



Daten für jede Farbe:

lab^*ch^* und lab^*icu^*

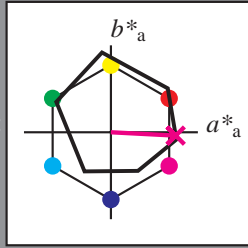
Elementar-Buntontext:

$u^* = b75r$

Kontrastreduzierungsfaktor:

$c_R = 1.0$

Dreiecks-Helligkeit t^*



ORS18_95aM; CIELAB-Daten					
	$L^*=L^*$	a^*	b^*	C^*_{ab}	h^*_{ab}
O _M	47.94	65.31	52.07	83.53	39
Y _M	90.37	-11.15	96.17	96.82	97
L _M	50.9	-62.96	36.71	72.89	150
C _M	58.62	-30.62	-42.74	52.59	234
V _M	25.72	31.45	-44.35	54.38	305
M _M	48.13	75.2	-6.79	75.51	355
N _M	18.01	0.5	-0.46	0.69	317
W _M	95.41	-0.98	4.76	4.86	102
R _{CIE}	39.92	58.74	27.99	65.07	25
J _{CIE}	81.26	-2.88	71.56	71.62	92
G _{CIE}	52.23	-42.41	13.6	44.55	162
B _{CIE}	30.57	1.41	-46.46	46.49	272

Daten für Maximalfarbe (Ma):

$LAB^*LAB^*Ma: 48\ 75\ -3$

$LAB^*LCH^*Ma: 48\ 75\ 357$

$lab^*rgb^*Ma: 1.0\ 0.0\ 0.5$

$lab^*olv^*Ma: 1.0\ 0.0\ 0.92$

Dreiecks-Helligkeit t^*

%Umfang

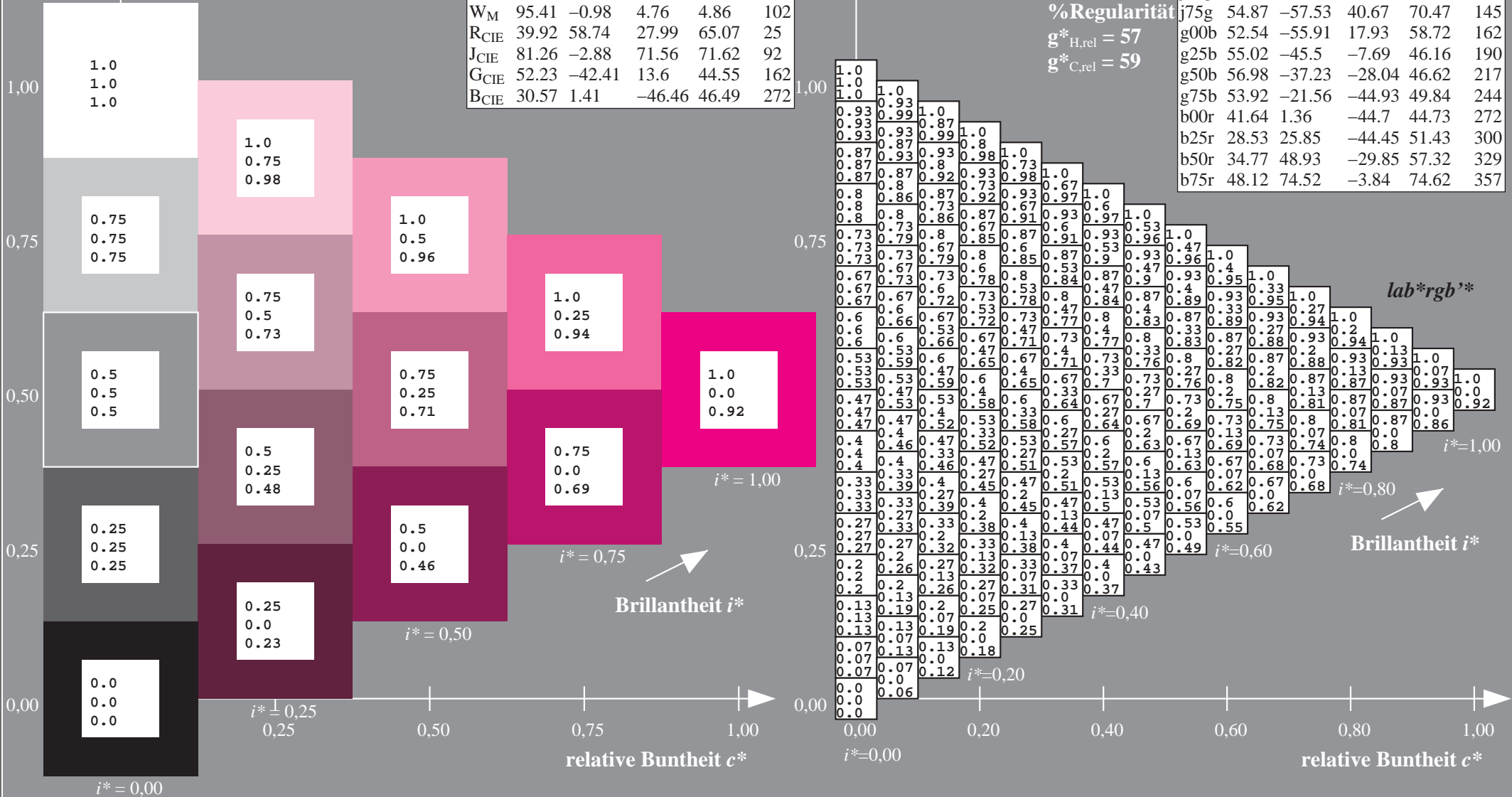
$u^*_{rel} = 93$

%Regularität

$g^*_{H,rel} = 57$

$g^*_{C,rel} = 59$

ORS18_95aM; adaptierte CIELAB-Daten					
	$L^*=L^*_a$	a^*_a	b^*_a	$C^*_{ab,a}$	$h^*_{ab,a}$
r00j	48.0	68.4	32.59	75.77	25
r25j	51.32	59.36	53.8	80.11	42
r50j	62.67	39.12	64.83	75.72	59
r75j	73.73	19.4	75.58	78.03	76
j00g	86.61	-3.55	88.09	88.17	92
j25g	78.07	-26.64	74.05	78.7	110
j50g	65.83	-42.94	56.44	70.93	127
j75g	54.87	-57.53	40.67	70.47	145
g00b	52.54	-55.91	17.93	58.72	162
g25b	55.02	-45.5	-7.69	46.16	190
g50b	56.98	-37.23	-28.04	46.62	217
g75b	53.92	-21.56	-44.93	49.84	244
b00r	41.64	1.36	-44.7	44.73	272
b25r	28.53	25.85	-44.45	51.43	300
b50r	34.77	48.93	-29.85	57.32	329
b75r	48.12	74.52	-3.84	74.62	357



Ein und Ausgabe:
 Farbmimetrisches Drucker-Reflektiv-System ORS18_95aM

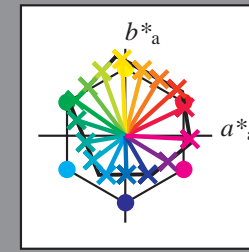
Daten für jede Farbe:
 $lab^{*}tch^{*}$ und $lab^{*}icu^{*}$

Elementar-Bunttontext:
 $u^{*} = 16$ Buntttöne $r00j, r25j, \dots, b75r$

Kontrastreduzierungsfaktor:
 $c_R = 1.0$

ORS18_95aM; adaptierte CIELAB-Daten

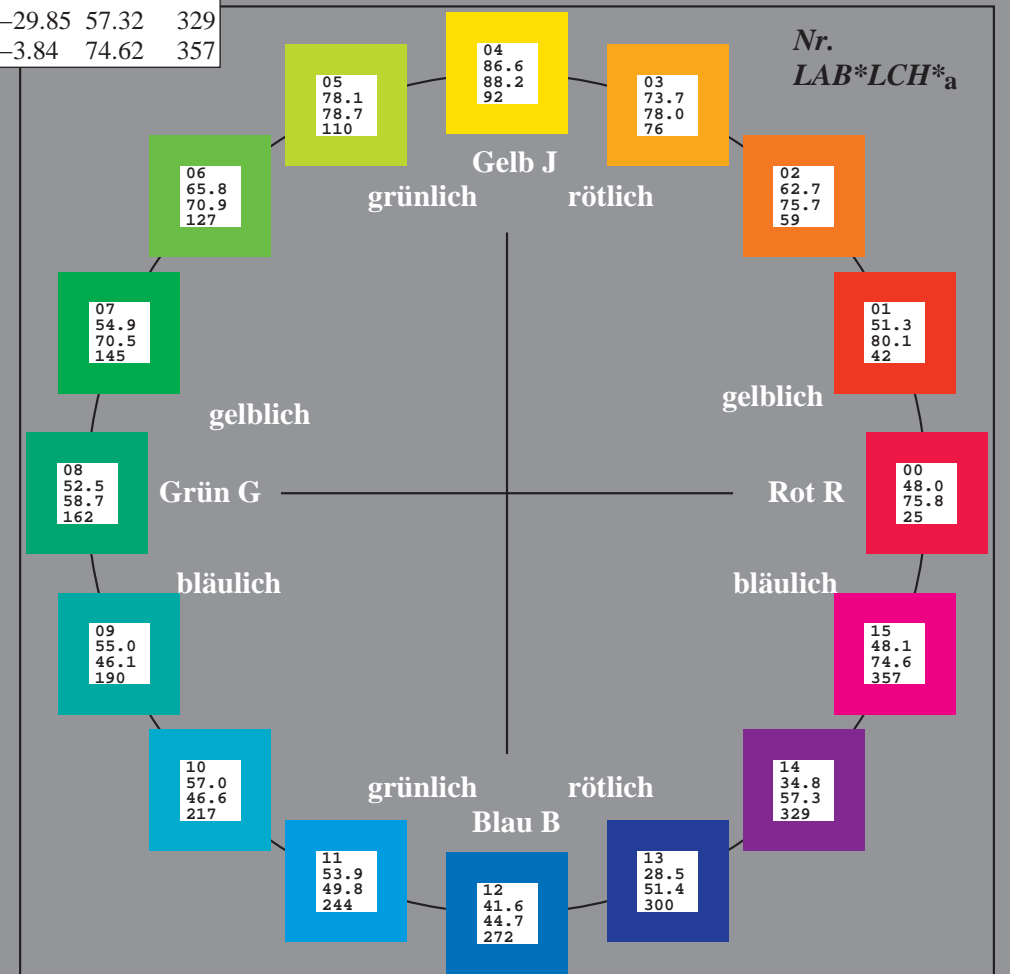
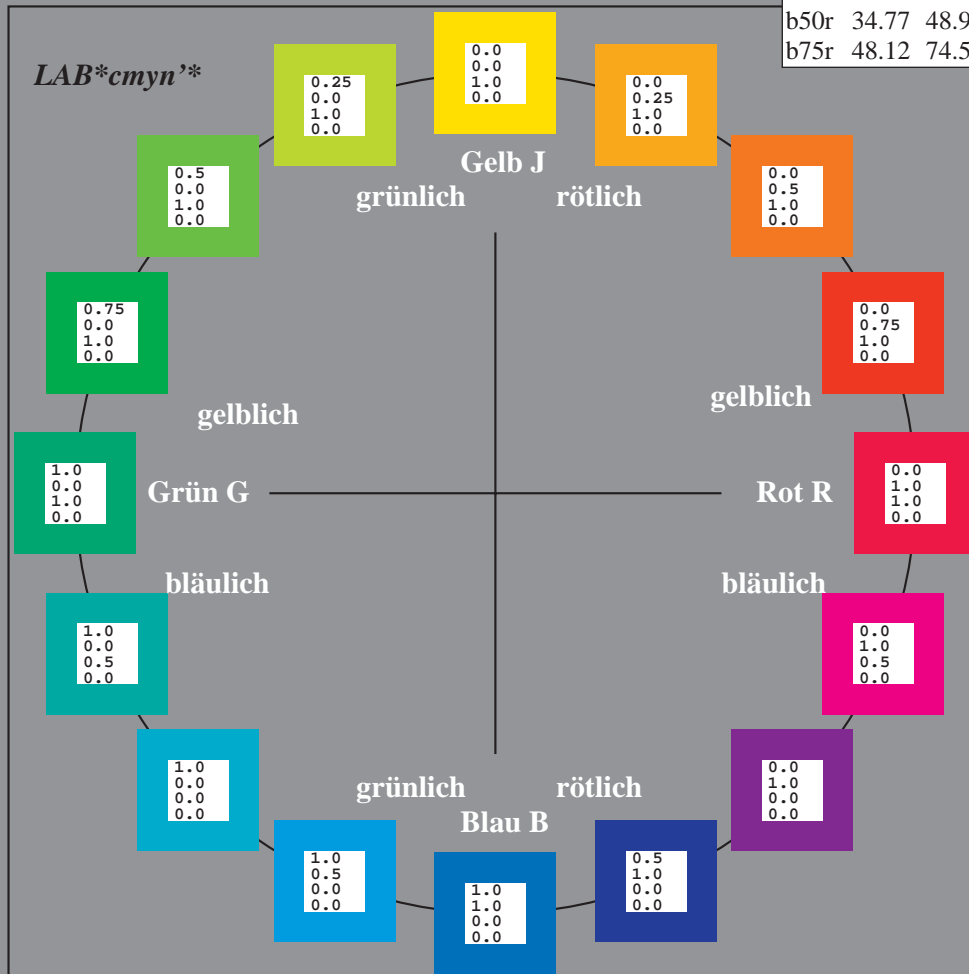
	$L^{*}=L^{*}_a$	a^{*}_a	b^{*}_a	$C^{*}_{ab,a}$	$h^{*}_{ab,a}$
r00j	48.0	68.4	32.59	75.77	25
r25j	51.32	59.36	53.8	80.11	42
r50j	62.67	39.12	64.83	75.72	59
r75j	73.73	19.4	75.58	78.03	76
j00g	86.61	-3.55	88.09	88.17	92
j25g	78.07	-26.64	74.05	78.7	110
j50g	65.83	-42.94	56.44	70.93	127
j75g	54.87	-57.53	40.67	70.47	145
g00b	52.54	-55.91	17.93	58.72	162
g25b	55.02	-45.5	-7.69	46.16	190
g50b	56.98	-37.23	-28.04	46.62	217
g75b	53.92	-21.56	-44.93	49.84	244
b00r	41.64	1.36	-44.7	44.73	272
b25r	28.53	25.85	-44.45	51.43	300
b50r	34.77	48.93	-29.85	57.32	329
b75r	48.12	74.52	-3.84	74.62	357



%Umfang
 $u^{*}_{rel} = 93$
 %Regularität
 $g^{*}_{H,rel} = 57$
 $g^{*}_{C,rel} = 59$

ORS18_95aM; CIELAB-Daten

	$L^{*}=L^{*}$	a^{*}	b^{*}	C^{*}_{ab}	h^{*}_{ab}
O _M	47.94	65.31	52.07	83.53	39
Y _M	90.37	-11.15	96.17	96.82	97
L _M	50.9	-62.96	36.71	72.89	150
C _M	58.62	-30.62	-42.74	52.59	234
V _M	25.72	31.45	-44.35	54.38	305
M _M	48.13	75.2	-6.79	75.51	355
N _M	18.01	0.5	-0.46	0.69	317
W _M	95.41	-0.98	4.76	4.86	102
R _{CIE}	39.92	58.74	27.99	65.07	25
J _{CIE}	81.26	-2.88	71.56	71.62	92
G _{CIE}	52.23	-42.41	13.6	44.55	162
B _{CIE}	30.57	1.41	-46.46	46.49	272



Daten für jede Farbe:

lab^*ch^* und lab^*icu^*

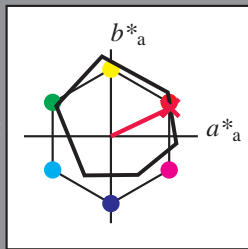
Elementar-Buntontext:

$u^* = r00j$

Kontrastreduzierungsfaktor:

$c_R = 1.0$

Dreiecks-Helligkeit t^*



ORS18_95aM; CIELAB-Daten					
	$L^*=L^*$	a^*	b^*	C^*_{ab}	h^*_{ab}
O_M	47.94	65.31	52.07	83.53	39
Y_M	90.37	-11.15	96.17	96.82	97
L_M	50.9	-62.96	36.71	72.89	150
C_M	58.62	-30.62	-42.74	52.59	234
V_M	25.72	31.45	-44.35	54.38	305
M_M	48.13	75.2	-6.79	75.51	355
N_M	18.01	0.5	-0.46	0.69	317
W_M	95.41	-0.98	4.76	4.86	102
R_{CIE}	39.92	58.74	27.99	65.07	25
J_{CIE}	81.26	-2.88	71.56	71.62	92
G_{CIE}	52.23	-42.41	13.6	44.55	162
B_{CIE}	30.57	1.41	-46.46	46.49	272

Daten für Maximalfarbe (Ma):

$LAB^*LAB^*Ma: 48\ 68\ 33$

$LAB^*LCH^*Ma: 48\ 76\ 25$

$lab^*rgb^*Ma: 1.0\ 0.0\ 0.0$

$lab^*olv^*Ma: 1.0\ 0.0\ 0.3$

Dreiecks-Helligkeit t^*

%Umfang

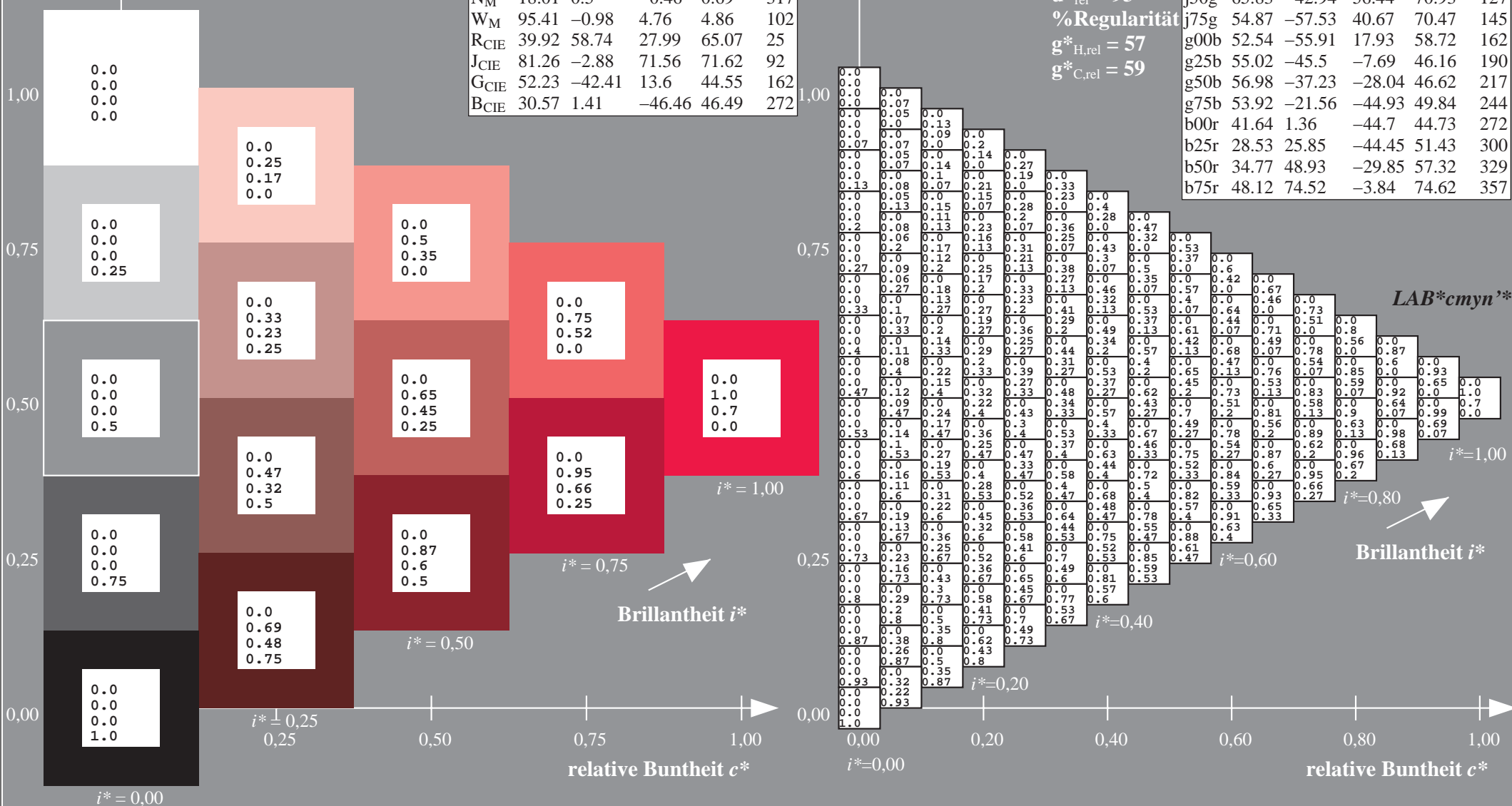
$u^*_{rel} = 93$

%Regularität

$g^*_{H,rel} = 57$

$g^*_{C,rel} = 59$

ORS18_95aM; adaptierte CIELAB-Daten					
	$L^*=L^*_a$	a^*_a	b^*_a	$C^*_{ab,a}$	$h^*_{ab,a}$
r00j	48.0	68.4	32.59	75.77	25
r25j	51.32	59.36	53.8	80.11	42
r50j	62.67	39.12	64.83	75.72	59
r75j	73.73	19.4	75.58	78.03	76
j00g	86.61	-3.55	88.09	88.17	92
j25g	78.07	-26.64	74.05	78.7	110
j50g	65.83	-42.94	56.44	70.93	127
j75g	54.87	-57.53	40.67	70.47	145
g00b	52.54	-55.91	17.93	58.72	162
g25b	55.02	-45.5	-7.69	46.16	190
g50b	56.98	-37.23	-28.04	46.62	217
g75b	53.92	-21.56	-44.93	49.84	244
b00r	41.64	1.36	-44.7	44.73	272
b25r	28.53	25.85	-44.45	51.43	300
b50r	34.77	48.93	-29.85	57.32	329
b75r	48.12	74.52	-3.84	74.62	357



$LAB^*cmy^n^*$

$i^*=1,00$

$i^*=0,80$

$i^*=0,60$

$i^*=0,40$

$i^*=0,20$

Daten für jede Farbe:

lab^*ch^* und lab^*icu^*

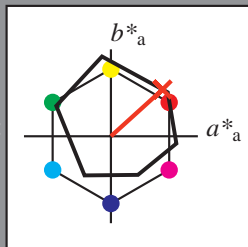
Elementar-Buntontext:

$u^* = r25j$

Kontrastreduzierungsfaktor:

$c_R = 1.0$

Dreiecks-Helligkeit t^*



ORS18_95aM; CIELAB-Daten					
	$L^*=L^*$	a^*	b^*	C^*_{ab}	h^*_{ab}
O_M	47.94	65.31	52.07	83.53	39
Y_M	90.37	-11.15	96.17	96.82	97
L_M	50.9	-62.96	36.71	72.89	150
C_M	58.62	-30.62	-42.74	52.59	234
V_M	25.72	31.45	-44.35	54.38	305
M_M	48.13	75.2	-6.79	75.51	355
N_M	18.01	0.5	-0.46	0.69	317
W_M	95.41	-0.98	4.76	4.86	102
R_{CIE}	39.92	58.74	27.99	65.07	25
J_{CIE}	81.26	-2.88	71.56	71.62	92
G_{CIE}	52.23	-42.41	13.6	44.55	162
B_{CIE}	30.57	1.41	-46.46	46.49	272

Daten für Maximalfarbe (Ma):

$LAB^*LAB^*_{Ma}$: 51 59 54

$LAB^*LCH^*_{Ma}$: 51 80 42

$lab^*rgb^*_{Ma}$: 1.0 0.25 0.0

$lab^*olv^*_{Ma}$: 1.0 0.08 0.0

Dreiecks-Helligkeit t^*

%Umfang

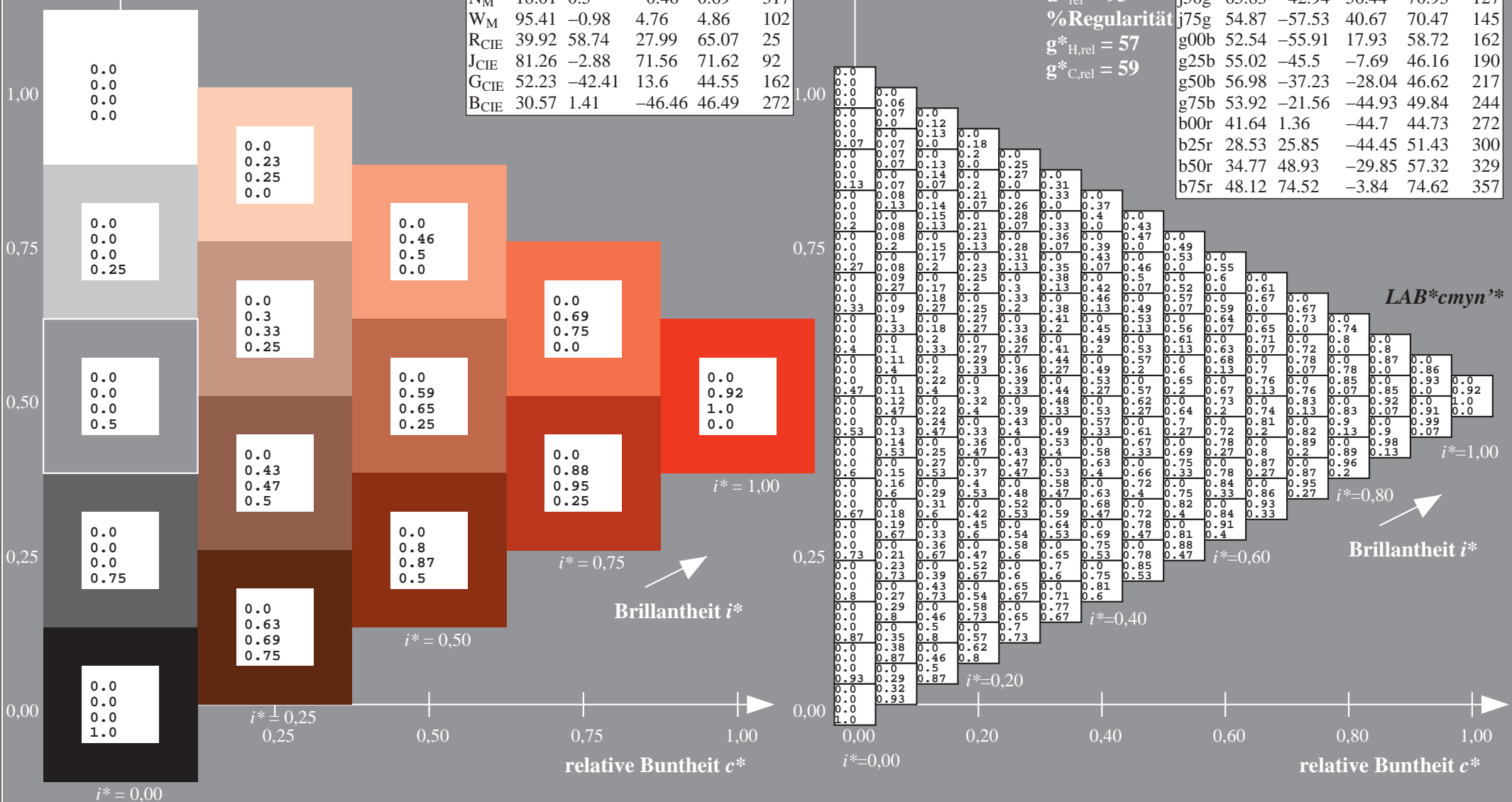
$u^*_{rel} = 93$

%Regularität

$g^*_{H,rel} = 57$

$g^*_{C,rel} = 59$

ORS18_95aM; adaptierte CIELAB-Daten					
	$L^*=L^*_{a}$	a^*_{a}	b^*_{a}	$C^*_{ab,a}$	$h^*_{ab,a}$
r00j	48.0	68.4	32.59	75.77	25
r25j	51.32	59.36	53.8	80.11	42
r50j	62.67	39.12	64.83	75.72	59
r75j	73.73	19.4	75.58	78.03	76
j00g	86.61	-3.55	88.09	88.17	92
j25g	78.07	-26.64	74.05	78.7	110
j50g	65.83	-42.94	56.44	70.93	127
j75g	54.87	-57.53	40.67	70.47	145
g00b	52.54	-55.91	17.93	58.72	162
g25b	55.02	-45.5	-7.69	46.16	190
g50b	56.98	-37.23	-28.04	46.62	217
g75b	53.92	-21.56	-44.93	49.84	244
b00r	41.64	1.36	-44.7	44.73	272
b25r	28.53	25.85	-44.45	51.43	300
b50r	34.77	48.93	-29.85	57.32	329
b75r	48.12	74.52	-3.84	74.62	357



Daten für jede Farbe:

lab^*ch^* und lab^*icu^*

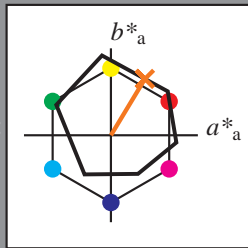
Elementar-Buntontext:

$u^* = r50j$

Kontrastreduzierungsfaktor:

$c_R = 1.0$

Dreiecks-Helligkeit t^*



ORS18_95aM; CIELAB-Daten					
	$L^*=L^*$	a^*	b^*	C^*_{ab}	h^*_{ab}
O_M	47.94	65.31	52.07	83.53	39
Y_M	90.37	-11.15	96.17	96.82	97
L_M	50.9	-62.96	36.71	72.89	150
C_M	58.62	-30.62	-42.74	52.59	234
V_M	25.72	31.45	-44.35	54.38	305
M_M	48.13	75.2	-6.79	75.51	355
N_M	18.01	0.5	-0.46	0.69	317
W_M	95.41	-0.98	4.76	4.86	102
R_{CIE}	39.92	58.74	27.99	65.07	25
J_{CIE}	81.26	-2.88	71.56	71.62	92
G_{CIE}	52.23	-42.41	13.6	44.55	162
B_{CIE}	30.57	1.41	-46.46	46.49	272

Daten für Maximalfarbe (Ma):

$LAB^*LAB^*Ma: 63\ 39\ 65$

$LAB^*LCH^*Ma: 63\ 76\ 59$

$lab^*rgb^*Ma: 1.0\ 0.5\ 0.0$

$lab^*olv^*Ma: 1.0\ 0.35\ 0.0$

Dreiecks-Helligkeit t^*

%Umfang

$u^*_{rel} = 93$

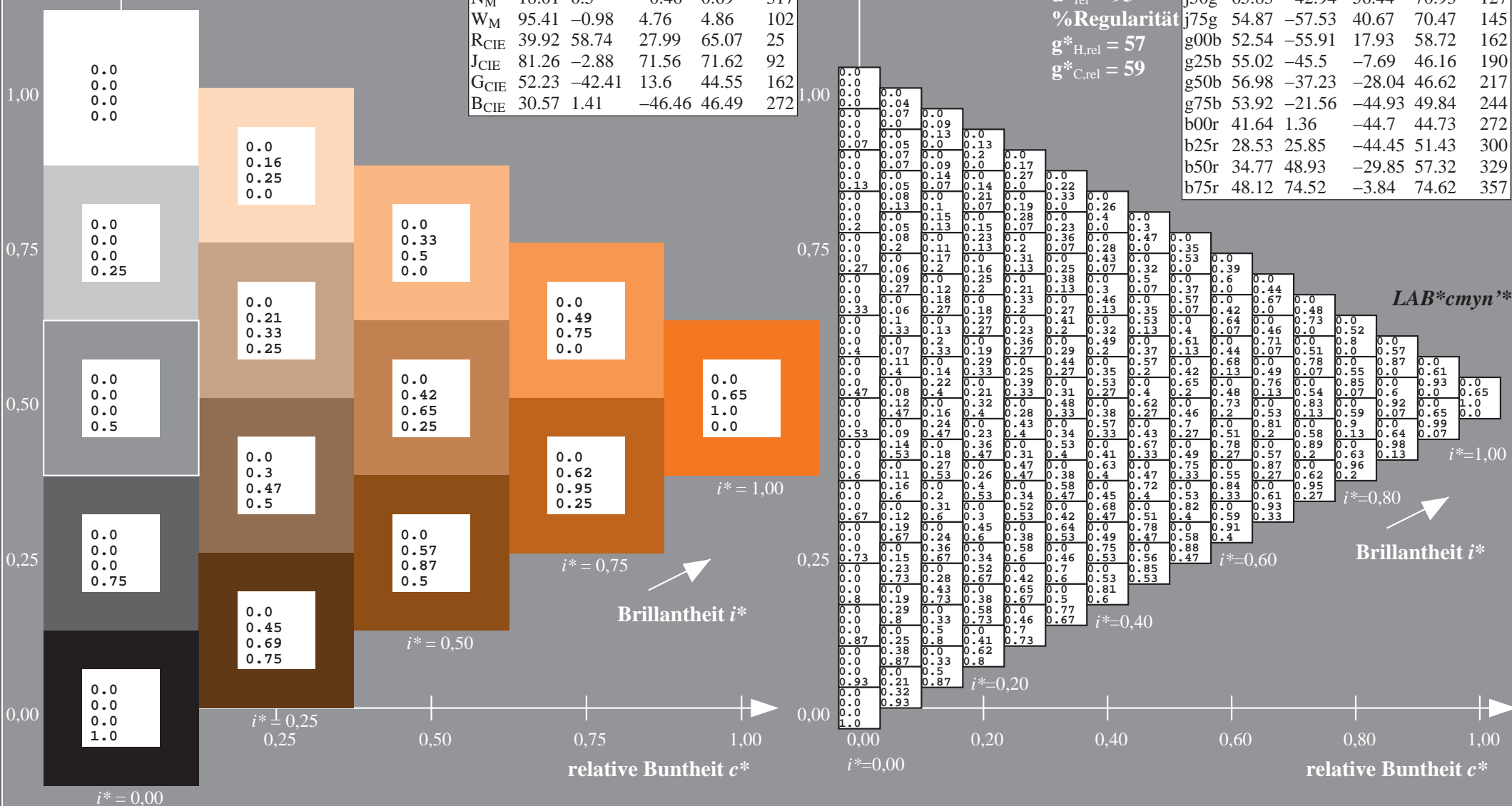
%Regularität

$g^*_{H,rel} = 57$

$g^*_{C,rel} = 59$

$LAB^*cmy^n^*$

ORS18_95aM; adaptierte CIELAB-Daten					
	$L^*=L^*_a$	a^*_a	b^*_a	$C^*_{ab,a}$	$h^*_{ab,a}$
r00j	48.0	68.4	32.59	75.77	25
r25j	51.32	59.36	53.8	80.11	42
r50j	62.67	39.12	64.83	75.72	59
r75j	73.73	19.4	75.58	78.03	76
j00g	86.61	-3.55	88.09	88.17	92
j25g	78.07	-26.64	74.05	78.7	110
j50g	65.83	-42.94	56.44	70.93	127
j75g	54.87	-57.53	40.67	70.47	145
g00b	52.54	-55.91	17.93	58.72	162
g25b	55.02	-45.5	-7.69	46.16	190
g50b	56.98	-37.23	-28.04	46.62	217
g75b	53.92	-21.56	-44.93	49.84	244
b00r	41.64	1.36	-44.7	44.73	272
b25r	28.53	25.85	-44.45	51.43	300
b50r	34.77	48.93	-29.85	57.32	329
b75r	48.12	74.52	-3.84	74.62	357



Daten für jede Farbe:

lab^*ch^* und lab^*icu^*

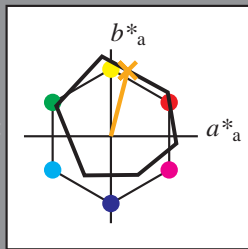
Elementar-Buntontext:

$u^* = r75j$

Kontrastreduzierungsfaktor:

$c_R = 1.0$

Dreiecks-Helligkeit t^*



ORS18_95aM; CIELAB-Daten					
	$L^*=L^*$	a^*	b^*	C^*_{ab}	h^*_{ab}
O_M	47.94	65.31	52.07	83.53	39
Y_M	90.37	-11.15	96.17	96.82	97
L_M	50.9	-62.96	36.71	72.89	150
C_M	58.62	-30.62	-42.74	52.59	234
V_M	25.72	31.45	-44.35	54.38	305
M_M	48.13	75.2	-6.79	75.51	355
N_M	18.01	0.5	-0.46	0.69	317
W_M	95.41	-0.98	4.76	4.86	102
R_{CIE}	39.92	58.74	27.99	65.07	25
J_{CIE}	81.26	-2.88	71.56	71.62	92
G_{CIE}	52.23	-42.41	13.6	44.55	162
B_{CIE}	30.57	1.41	-46.46	46.49	272

Daten für Maximalfarbe (Ma):

$LAB^*LAB^*Ma: 74\ 19\ 76$

$LAB^*LCH^*Ma: 74\ 78\ 76$

$lab^*rgb^*Ma: 1.0\ 0.75\ 0.0$

$lab^*olv^*Ma: 1.0\ 0.61\ 0.0$

Dreiecks-Helligkeit t^*

%Umfang

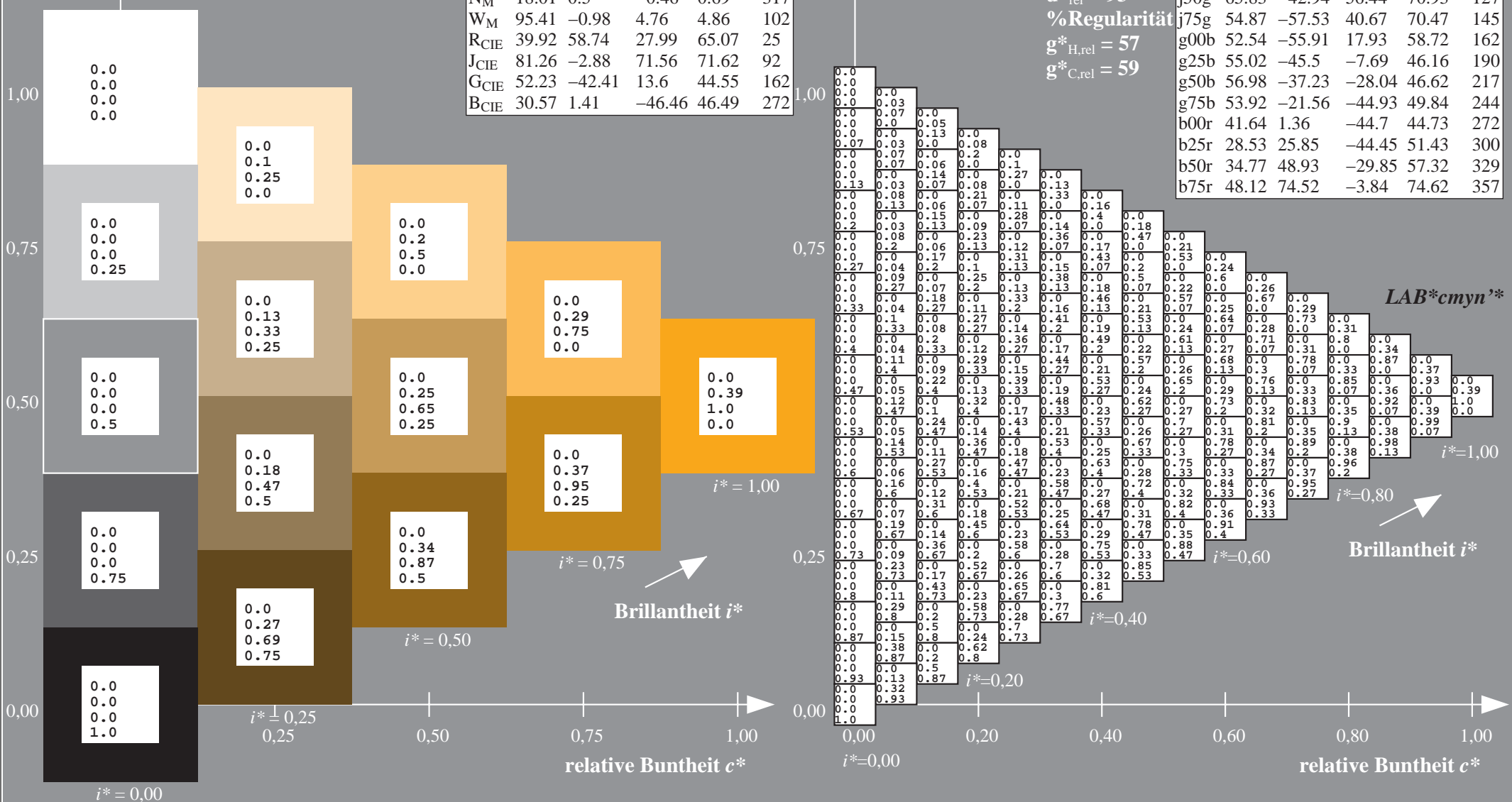
$u^*_{rel} = 93$

%Regularität

$g^*_{H,rel} = 57$

$g^*_{C,rel} = 59$

ORS18_95aM; adaptierte CIELAB-Daten					
	$L^*=L^*_a$	a^*_a	b^*_a	$C^*_{ab,a}$	$h^*_{ab,a}$
r00j	48.0	68.4	32.59	75.77	25
r25j	51.32	59.36	53.8	80.11	42
r50j	62.67	39.12	64.83	75.72	59
r75j	73.73	19.4	75.58	78.03	76
j00g	86.61	-3.55	88.09	88.17	92
j25g	78.07	-26.64	74.05	78.7	110
j50g	65.83	-42.94	56.44	70.93	127
j75g	54.87	-57.53	40.67	70.47	145
g00b	52.54	-55.91	17.93	58.72	162
g25b	55.02	-45.5	-7.69	46.16	190
g50b	56.98	-37.23	-28.04	46.62	217
g75b	53.92	-21.56	-44.93	49.84	244
b00r	41.64	1.36	-44.7	44.73	272
b25r	28.53	25.85	-44.45	51.43	300
b50r	34.77	48.93	-29.85	57.32	329
b75r	48.12	74.52	-3.84	74.62	357



Daten für jede Farbe:

lab^*ch^* und lab^*icu^*

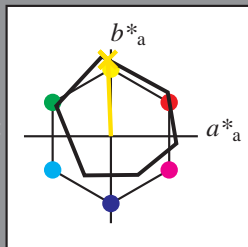
Elementar-Buntontext:

$u^* = j00g$

Kontrastreduzierungsfaktor:

$c_R = 1.0$

Dreiecks-Helligkeit t^*



ORS18_95aM; CIELAB-Daten					
	$L^*=L^*$	a^*	b^*	C^*_{ab}	h^*_{ab}
O _M	47.94	65.31	52.07	83.53	39
Y _M	90.37	-11.15	96.17	96.82	97
L _M	50.9	-62.96	36.71	72.89	150
C _M	58.62	-30.62	-42.74	52.59	234
V _M	25.72	31.45	-44.35	54.38	305
M _M	48.13	75.2	-6.79	75.51	355
N _M	18.01	0.5	-0.46	0.69	317
W _M	95.41	-0.98	4.76	4.86	102
R _{CIE}	39.92	58.74	27.99	65.07	25
J _{CIE}	81.26	-2.88	71.56	71.62	92
G _{CIE}	52.23	-42.41	13.6	44.55	162
B _{CIE}	30.57	1.41	-46.46	46.49	272

Daten für Maximalfarbe (Ma):

$LAB^*LAB^*Ma: 87 -3 88$

$LAB^*LCH^*Ma: 87 88 92$

$lab^*rgb^*Ma: 1.0 1.0 0.0$

$lab^*olv^*Ma: 1.0 0.91 0.0$

Dreiecks-Helligkeit t^*

%Umfang

$u^*_{rel} = 93$

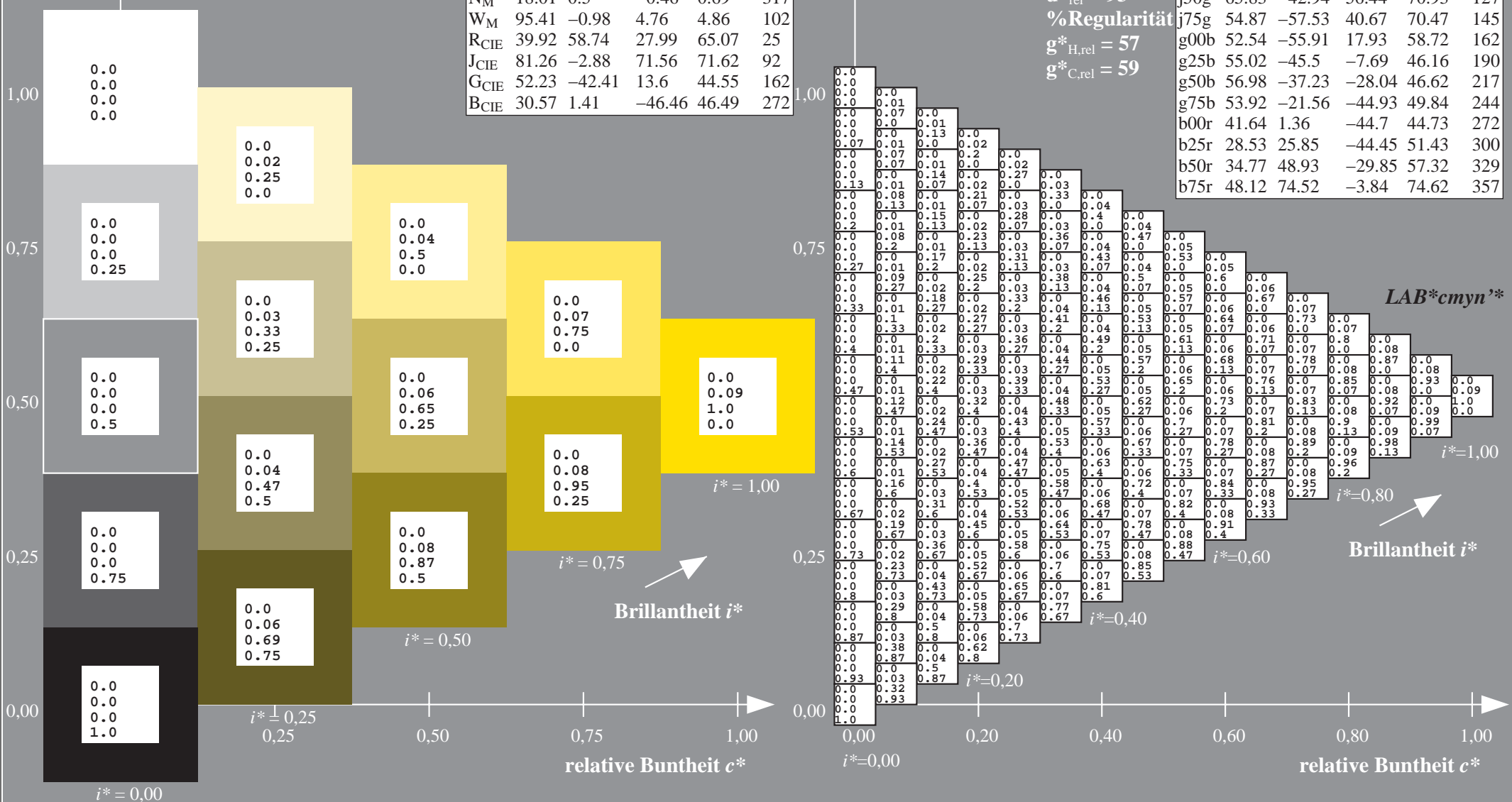
%Regularität

$g^*_{H,rel} = 57$

$g^*_{C,rel} = 59$

$LAB^*cmy^n^*$

ORS18_95aM; adaptierte CIELAB-Daten					
	$L^*=L^*_a$	a^*_a	b^*_a	$C^*_{ab,a}$	$h^*_{ab,a}$
r00j	48.0	68.4	32.59	75.77	25
r25j	51.32	59.36	53.8	80.11	42
r50j	62.67	39.12	64.83	75.72	59
r75j	73.73	19.4	75.58	78.03	76
j00g	86.61	-3.55	88.09	88.17	92
j25g	78.07	-26.64	74.05	78.7	110
j50g	65.83	-42.94	56.44	70.93	127
j75g	54.87	-57.53	40.67	70.47	145
g00b	52.54	-55.91	17.93	58.72	162
g25b	55.02	-45.5	-7.69	46.16	190
g50b	56.98	-37.23	-28.04	46.62	217
g75b	53.92	-21.56	-44.93	49.84	244
b00r	41.64	1.36	-44.7	44.73	272
b25r	28.53	25.85	-44.45	51.43	300
b50r	34.77	48.93	-29.85	57.32	329
b75r	48.12	74.52	-3.84	74.62	357



Daten für jede Farbe:

lab^*tch^* und lab^*icu^*

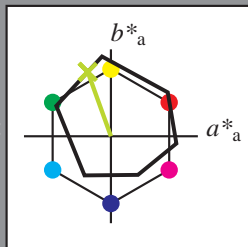
Elementar-Buntoncontext:

$u^* = j25g$

Kontrastreduzierungsfaktor:

$c_R = 1.0$

Dreiecks-Helligkeit t^*



ORS18_95aM; CIELAB-Daten					
	$L^*=L^*$	a^*	b^*	C^*_{ab}	h^*_{ab}
O _M	47.94	65.31	52.07	83.53	39
Y _M	90.37	-11.15	96.17	96.82	97
L _M	50.9	-62.96	36.71	72.89	150
C _M	58.62	-30.62	-42.74	52.59	234
V _M	25.72	31.45	-44.35	54.38	305
M _M	48.13	75.2	-6.79	75.51	355
N _M	18.01	0.5	-0.46	0.69	317
W _M	95.41	-0.98	4.76	4.86	102
R _{CIE}	39.92	58.74	27.99	65.07	25
J _{CIE}	81.26	-2.88	71.56	71.62	92
G _{CIE}	52.23	-42.41	13.6	44.55	162
B _{CIE}	30.57	1.41	-46.46	46.49	272

Daten für Maximalfarbe (Ma):

$LAB^*LAB^*_{Ma}$: 78 -26 74

$LAB^*LCH^*_{Ma}$: 78 79 110

$lab^*rgb^*_{Ma}$: 0.75 1.0 0.0

$lab^*olv^*_{Ma}$: 0.69 1.0 0.0

Dreiecks-Helligkeit t^*

%Umfang

$u^*_{rel} = 93$

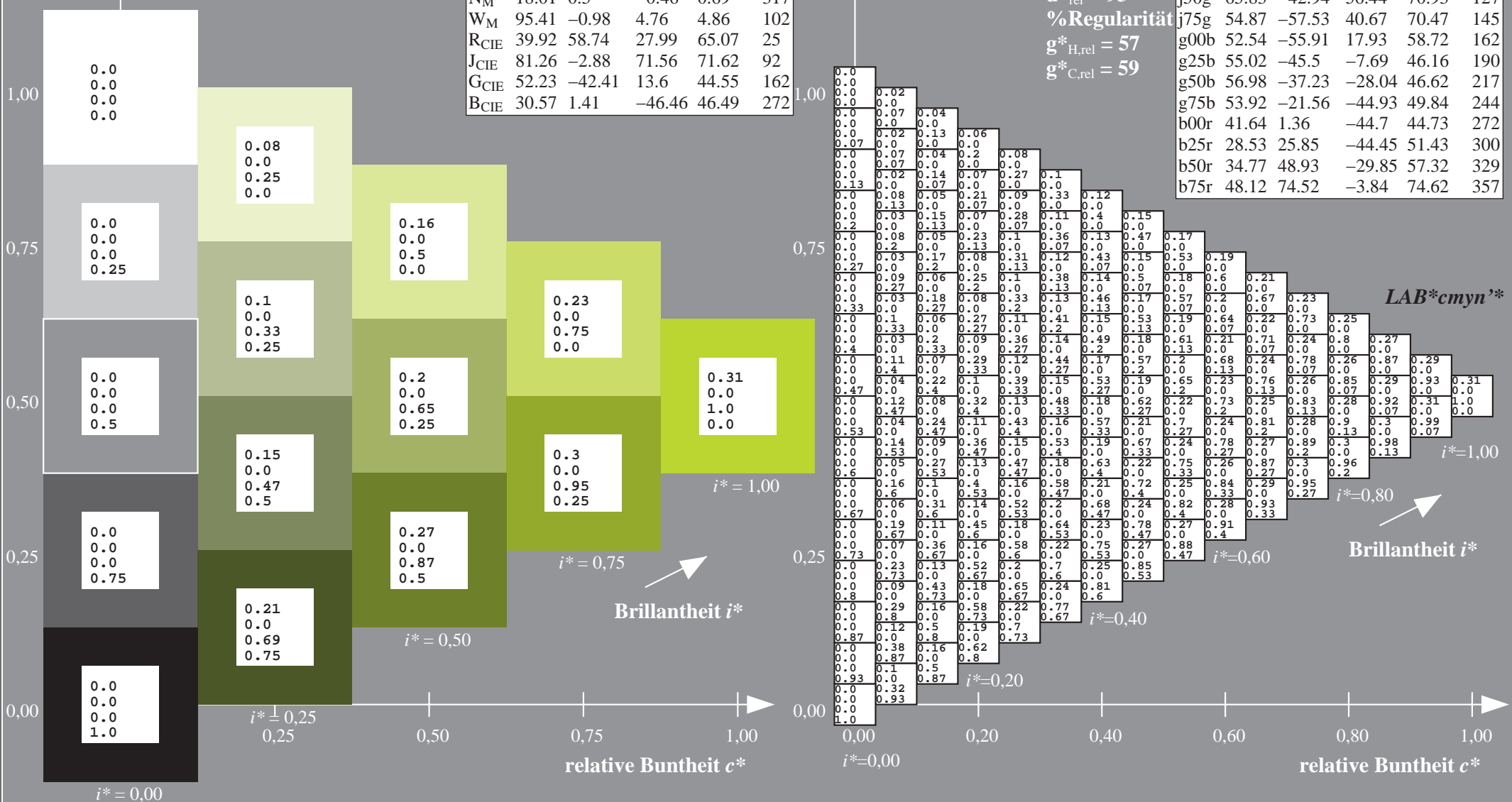
%Regularität

$g^*_{H,rel} = 57$

$g^*_{C,rel} = 59$

$LAB^*cmy^n^*$

ORS18_95aM; adaptierte CIELAB-Daten					
	$L^*=L^*_a$	a^*_a	b^*_a	$C^*_{ab,a}$	$h^*_{ab,a}$
r00j	48.0	68.4	32.59	75.77	25
r25j	51.32	59.36	53.8	80.11	42
r50j	62.67	39.12	64.83	75.72	59
r75j	73.73	19.4	75.58	78.03	76
j00g	86.61	-3.55	88.09	88.17	92
j25g	78.07	-26.64	74.05	78.7	110
j50g	65.83	-42.94	56.44	70.93	127
j75g	54.87	-57.53	40.67	70.47	145
g00b	52.54	-55.91	17.93	58.72	162
g25b	55.02	-45.5	-7.69	46.16	190
g50b	56.98	-37.23	-28.04	46.62	217
g75b	53.92	-21.56	-44.93	49.84	244
b00r	41.64	1.36	-44.7	44.73	272
b25r	28.53	25.85	-44.45	51.43	300
b50r	34.77	48.93	-29.85	57.32	329
b75r	48.12	74.52	-3.84	74.62	357



Daten für jede Farbe:

lab^*ch^* und lab^*icu^*

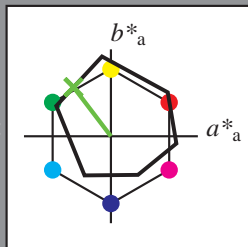
Elementar-Buntontext:

$u^* = j50g$

Kontrastreduzierungsfaktor:

$c_R = 1.0$

Dreiecks-Helligkeit t^*



ORS18_95aM; CIELAB-Daten

	$L^*=L^*$	a^*	b^*	C^*_{ab}	h^*_{ab}
O_M	47.94	65.31	52.07	83.53	39
Y_M	90.37	-11.15	96.17	96.82	97
L_M	50.9	-62.96	36.71	72.89	150
C_M	58.62	-30.62	-42.74	52.59	234
V_M	25.72	31.45	-44.35	54.38	305
M_M	48.13	75.2	-6.79	75.51	355
N_M	18.01	0.5	-0.46	0.69	317
W_M	95.41	-0.98	4.76	4.86	102
R_{CIE}	39.92	58.74	27.99	65.07	25
J_{CIE}	81.26	-2.88	71.56	71.62	92
G_{CIE}	52.23	-42.41	13.6	44.55	162
B_{CIE}	30.57	1.41	-46.46	46.49	272

Daten für Maximalfarbe (Ma):

$LAB^*LAB^*Ma: 66 -42 56$

$LAB^*LCH^*Ma: 66 71 127$

$lab^*rgb^*Ma: 0.5 1.0 0.0$

$lab^*olv^*Ma: 0.38 1.0 0.0$

Dreiecks-Helligkeit t^*

%Umfang

$u^*_{rel} = 93$

%Regularität

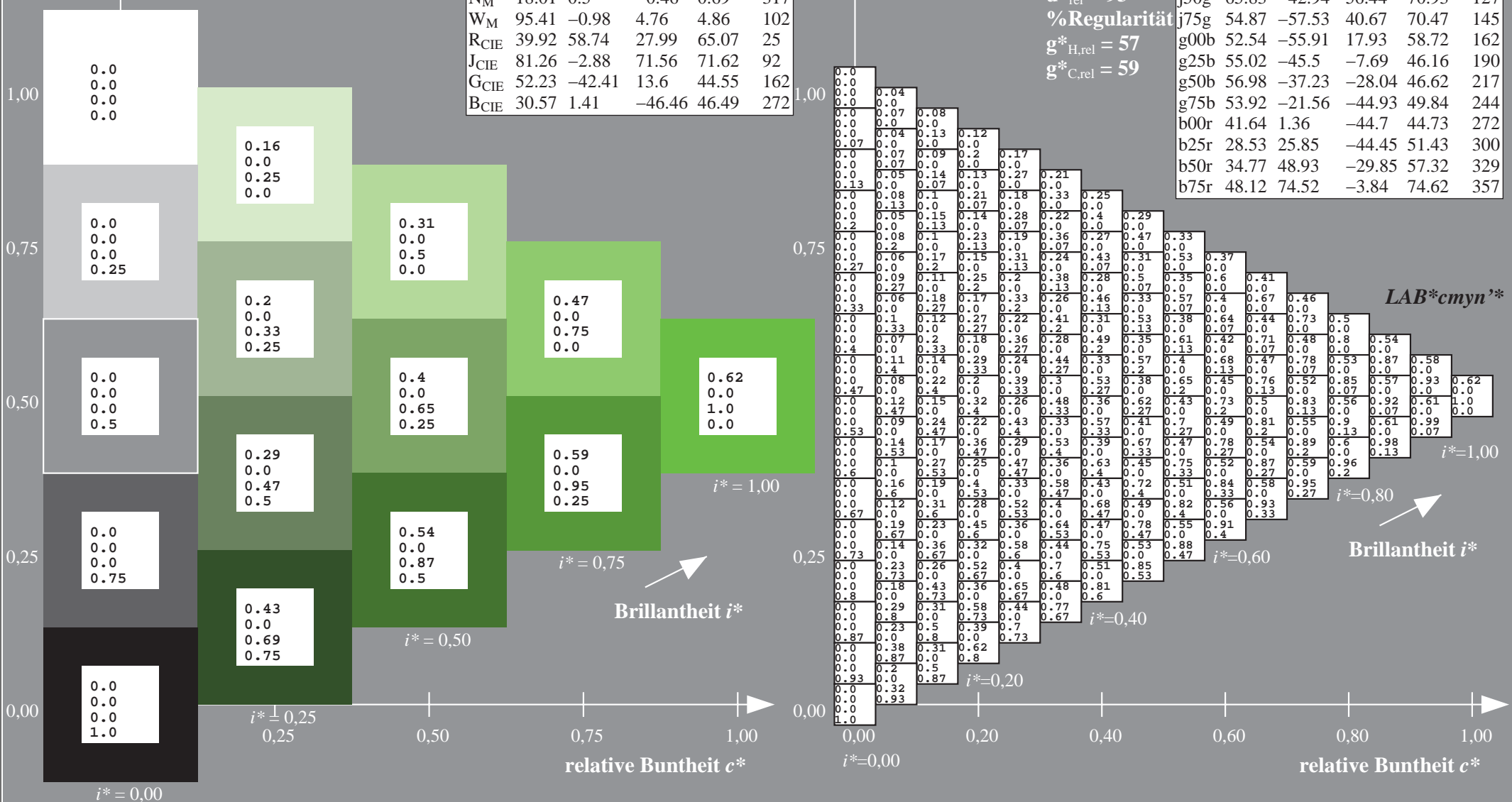
$g^*_{H,rel} = 57$

$g^*_{C,rel} = 59$

$LAB^*cmy^n^*$

ORS18_95aM; adaptierte CIELAB-Daten

	$L^*=L^*_a$	a^*_a	b^*_a	$C^*_{ab,a}$	$h^*_{ab,a}$
r00j	48.0	68.4	32.59	75.77	25
r25j	51.32	59.36	53.8	80.11	42
r50j	62.67	39.12	64.83	75.72	59
r75j	73.73	19.4	75.58	78.03	76
j00g	86.61	-3.55	88.09	88.17	92
j25g	78.07	-26.64	74.05	78.7	110
j50g	65.83	-42.94	56.44	70.93	127
j75g	54.87	-57.53	40.67	70.47	145
g00b	52.54	-55.91	17.93	58.72	162
g25b	55.02	-45.5	-7.69	46.16	190
g50b	56.98	-37.23	-28.04	46.62	217
g75b	53.92	-21.56	-44.93	49.84	244
b00r	41.64	1.36	-44.7	44.73	272
b25r	28.53	25.85	-44.45	51.43	300
b50r	34.77	48.93	-29.85	57.32	329
b75r	48.12	74.52	-3.84	74.62	357



Daten für jede Farbe:

lab^*ch^* und lab^*icu^*

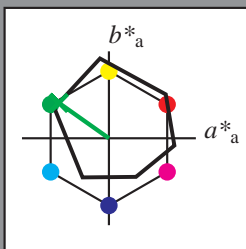
Elementar-Buntontext:

$u^* = j75g$

Kontrastreduzierungsfaktor:

$c_R = 1.0$

Dreiecks-Helligkeit t^*



ORS18_95aM; CIELAB-Daten

	$L^*=L^*$	a^*	b^*	C^*_{ab}	h^*_{ab}
O _M	47.94	65.31	52.07	83.53	39
Y _M	90.37	-11.15	96.17	96.82	97
L _M	50.9	-62.96	36.71	72.89	150
C _M	58.62	-30.62	-42.74	52.59	234
V _M	25.72	31.45	-44.35	54.38	305
M _M	48.13	75.2	-6.79	75.51	355
N _M	18.01	0.5	-0.46	0.69	317
W _M	95.41	-0.98	4.76	4.86	102
R _{CIE}	39.92	58.74	27.99	65.07	25
J _{CIE}	81.26	-2.88	71.56	71.62	92
G _{CIE}	52.23	-42.41	13.6	44.55	162
B _{CIE}	30.57	1.41	-46.46	46.49	272

Daten für Maximalfarbe (Ma):

$LAB^*LAB^*_{Ma}: 55 -57 41$

$LAB^*LCH^*_{Ma}: 55 70 145$

$lab^*rgb^*_{Ma}: 0.25 1.0 0.0$

$lab^*olv^*_{Ma}: 0.1 1.0 0.0$

Dreiecks-Helligkeit t^*

%Umfang

$u^*_{rel} = 93$

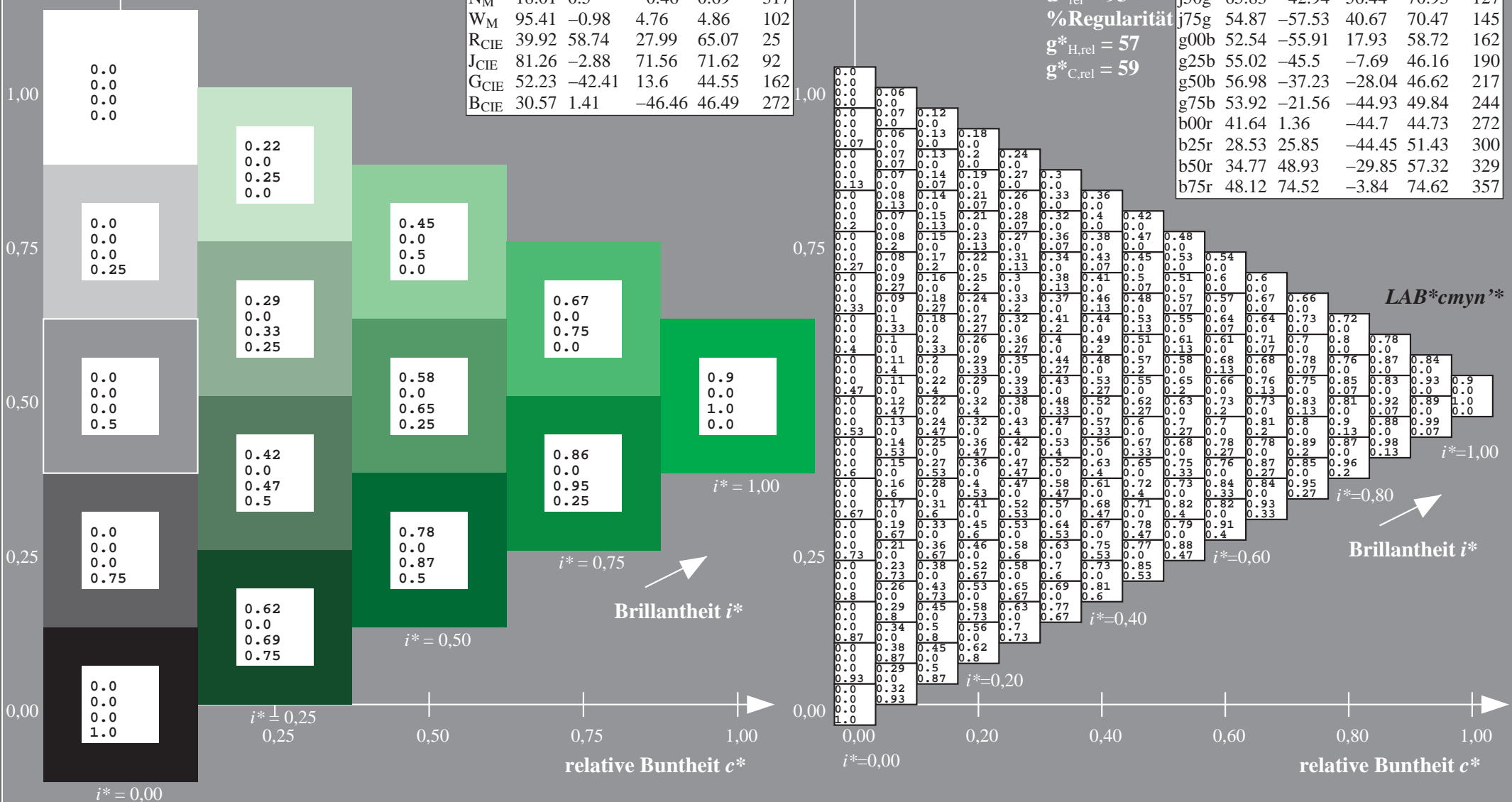
%Regularität

$g^*_{H,rel} = 57$

$g^*_{C,rel} = 59$

$LAB^*cmy^n^*$

	$L^*=L^*_a$	a^*_a	b^*_a	$C^*_{ab,a}$	$h^*_{ab,a}$
r00j	48.0	68.4	32.59	75.77	25
r25j	51.32	59.36	53.8	80.11	42
r50j	62.67	39.12	64.83	75.72	59
r75j	73.73	19.4	75.58	78.03	76
j00g	86.61	-3.55	88.09	88.17	92
j25g	78.07	-26.64	74.05	78.7	110
j50g	65.83	-42.94	56.44	70.93	127
j75g	54.87	-57.53	40.67	70.47	145
g00b	52.54	-55.91	17.93	58.72	162
g25b	55.02	-45.5	-7.69	46.16	190
g50b	56.98	-37.23	-28.04	46.62	217
g75b	53.92	-21.56	-44.93	49.84	244
b00r	41.64	1.36	-44.7	44.73	272
b25r	28.53	25.85	-44.45	51.43	300
b50r	34.77	48.93	-29.85	57.32	329
b75r	48.12	74.52	-3.84	74.62	357



Daten für jede Farbe:

lab^*ch^* und lab^*icu^*

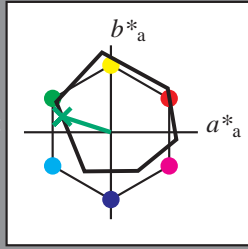
Elementar-Buntontext:

$u^* = g00b$

Kontrastreduzierungsfaktor:

$c_R = 1.0$

Dreiecks-Helligkeit t^*



ORS18_95aM; CIELAB-Daten					
	$L^*=L^*$	a^*	b^*	C^*_{ab}	h^*_{ab}
O_M	47.94	65.31	52.07	83.53	39
Y_M	90.37	-11.15	96.17	96.82	97
L_M	50.9	-62.96	36.71	72.89	150
C_M	58.62	-30.62	-42.74	52.59	234
V_M	25.72	31.45	-44.35	54.38	305
M_M	48.13	75.2	-6.79	75.51	355
N_M	18.01	0.5	-0.46	0.69	317
W_M	95.41	-0.98	4.76	4.86	102
R_{CIE}	39.92	58.74	27.99	65.07	25
J_{CIE}	81.26	-2.88	71.56	71.62	92
G_{CIE}	52.23	-42.41	13.6	44.55	162
B_{CIE}	30.57	1.41	-46.46	46.49	272

Daten für Maximalfarbe (Ma):

$LAB^*LAB^*_Ma: 53 -55 18$

$LAB^*LCH^*_Ma: 53 59 162$

$lab^*rgb^*_Ma: 0.0 1.0 0.0$

$lab^*olv^*_Ma: 0.0 1.0 0.21$

Dreiecks-Helligkeit t^*

%Umfang

$u^*_{rel} = 93$

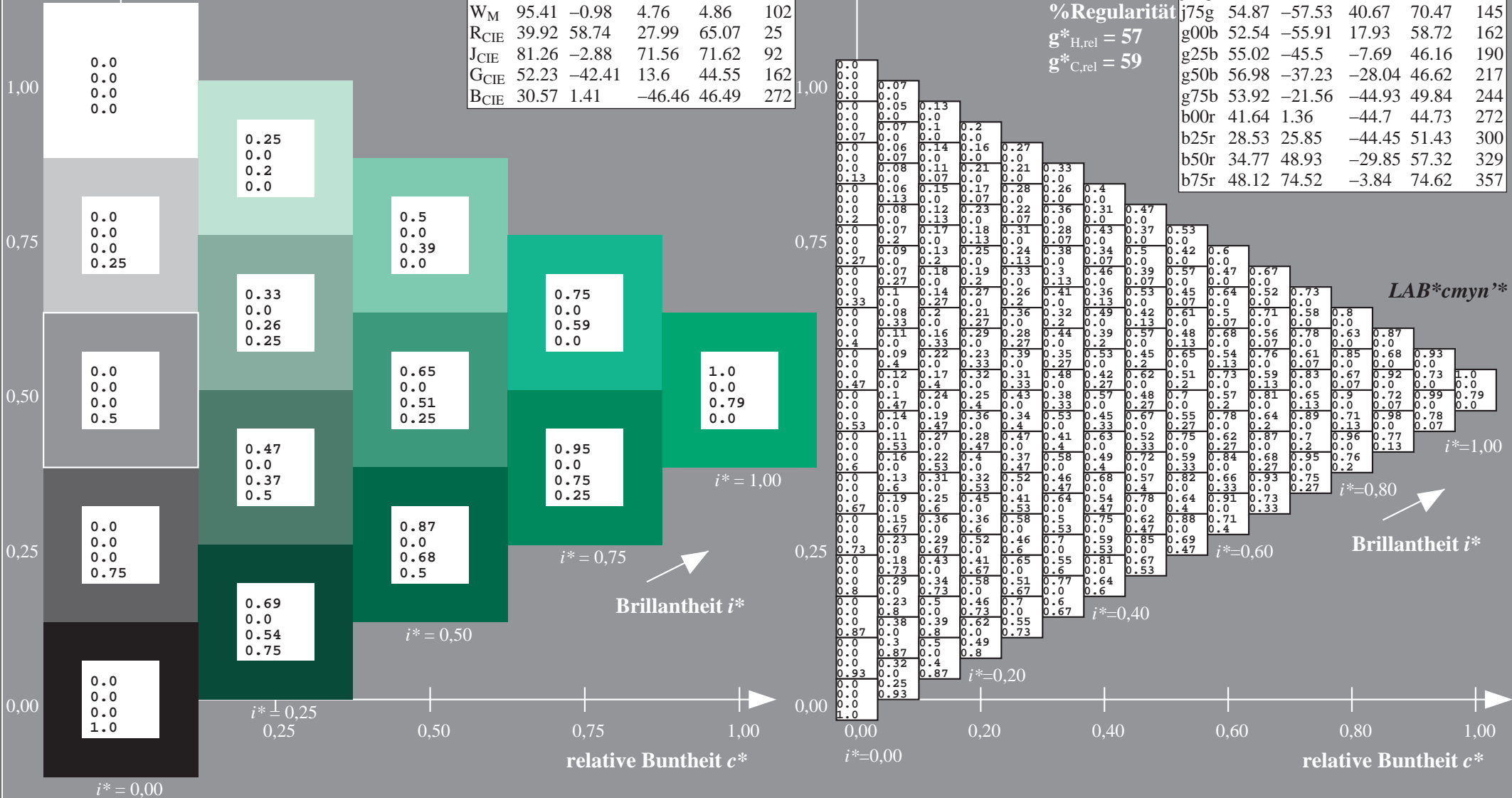
%Regularität

$g^*_{H,rel} = 57$

$g^*_{C,rel} = 59$

$LAB^*cmy^n^*$

ORS18_95aM; adaptierte CIELAB-Daten					
	$L^*=L^*_a$	a^*_a	b^*_a	$C^*_{ab,a}$	$h^*_{ab,a}$
r00j	48.0	68.4	32.59	75.77	25
r25j	51.32	59.36	53.8	80.11	42
r50j	62.67	39.12	64.83	75.72	59
r75j	73.73	19.4	75.58	78.03	76
j00g	86.61	-3.55	88.09	88.17	92
j25g	78.07	-26.64	74.05	78.7	110
j50g	65.83	-42.94	56.44	70.93	127
j75g	54.87	-57.53	40.67	70.47	145
g00b	52.54	-55.91	17.93	58.72	162
g25b	55.02	-45.5	-7.69	46.16	190
g50b	56.98	-37.23	-28.04	46.62	217
g75b	53.92	-21.56	-44.93	49.84	244
b00r	41.64	1.36	-44.7	44.73	272
b25r	28.53	25.85	-44.45	51.43	300
b50r	34.77	48.93	-29.85	57.32	329
b75r	48.12	74.52	-3.84	74.62	357



Daten für jede Farbe:

lab^*ch^* und lab^*icu^*

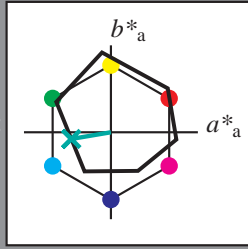
Elementar-Buntoncontext:

$u^* = g25b$

Kontrastreduzierungsfaktor:

$c_R = 1.0$

Dreiecks-Helligkeit t^*



ORS18_95aM; CIELAB-Daten					
	$L^*=L^*$	a^*	b^*	C^*_{ab}	h^*_{ab}
O _M	47.94	65.31	52.07	83.53	39
Y _M	90.37	-11.15	96.17	96.82	97
L _M	50.9	-62.96	36.71	72.89	150
C _M	58.62	-30.62	-42.74	52.59	234
V _M	25.72	31.45	-44.35	54.38	305
M _M	48.13	75.2	-6.79	75.51	355
N _M	18.01	0.5	-0.46	0.69	317
W _M	95.41	-0.98	4.76	4.86	102
R _{CIE}	39.92	58.74	27.99	65.07	25
J _{CIE}	81.26	-2.88	71.56	71.62	92
G _{CIE}	52.23	-42.41	13.6	44.55	162
B _{CIE}	30.57	1.41	-46.46	46.49	272

Daten für Maximalfarbe (Ma):

$LAB^*LAB^*_{Ma}: 55 \ -45 \ -7$

$LAB^*LCH^*_{Ma}: 55 \ 46 \ 190$

$lab^*rgb^*_{Ma}: 0.0 \ 1.0 \ 0.5$

$lab^*olv^*_{Ma}: 0.0 \ 1.0 \ 0.53$

Dreiecks-Helligkeit t^*

%Umfang

$u^*_{rel} = 93$

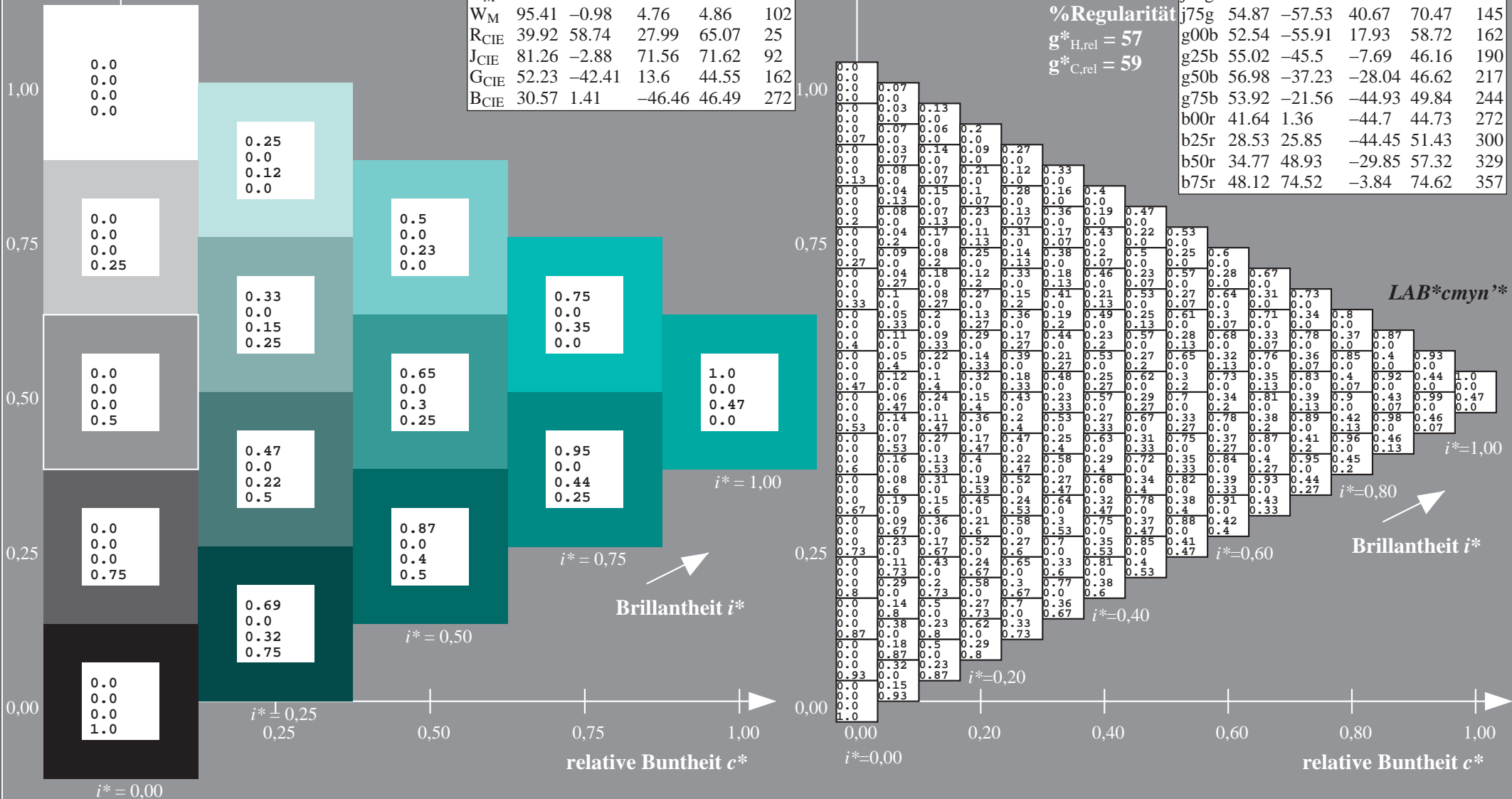
%Regularität

$g^*_{H,rel} = 57$

$g^*_{C,rel} = 59$

$LAB^*cmy^n^*$

ORS18_95aM; adaptierte CIELAB-Daten					
	$L^*=L^*_a$	a^*_a	b^*_a	$C^*_{ab,a}$	$h^*_{ab,a}$
r00j	48.0	68.4	32.59	75.77	25
r25j	51.32	59.36	53.8	80.11	42
r50j	62.67	39.12	64.83	75.72	59
r75j	73.73	19.4	75.58	78.03	76
j00g	86.61	-3.55	88.09	88.17	92
j25g	78.07	-26.64	74.05	78.7	110
j50g	65.83	-42.94	56.44	70.93	127
j75g	54.87	-57.53	40.67	70.47	145
g00b	52.54	-55.91	17.93	58.72	162
g25b	55.02	-45.5	-7.69	46.16	190
g50b	56.98	-37.23	-28.04	46.62	217
g75b	53.92	-21.56	-44.93	49.84	244
b00r	41.64	1.36	-44.7	44.73	272
b25r	28.53	25.85	-44.45	51.43	300
b50r	34.77	48.93	-29.85	57.32	329
b75r	48.12	74.52	-3.84	74.62	357



Daten für jede Farbe:

lab^*ch^* und lab^*icu^*

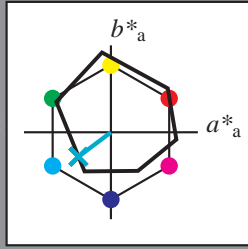
Elementar-Buntontext:

$u^* = g50b$

Kontrastreduzierungsfaktor:

$c_R = 1.0$

Dreiecks-Helligkeit t^*



ORS18_95aM; CIELAB-Daten					
	$L^*=L^*$	a^*	b^*	C^*_{ab}	h^*_{ab}
O _M	47.94	65.31	52.07	83.53	39
Y _M	90.37	-11.15	96.17	96.82	97
L _M	50.9	-62.96	36.71	72.89	150
C _M	58.62	-30.62	-42.74	52.59	234
V _M	25.72	31.45	-44.35	54.38	305
M _M	48.13	75.2	-6.79	75.51	355
N _M	18.01	0.5	-0.46	0.69	317
W _M	95.41	-0.98	4.76	4.86	102
R _{CIE}	39.92	58.74	27.99	65.07	25
J _{CIE}	81.26	-2.88	71.56	71.62	92
G _{CIE}	52.23	-42.41	13.6	44.55	162
B _{CIE}	30.57	1.41	-46.46	46.49	272

Daten für Maximalfarbe (Ma):

$LAB^*LAB^*_{Ma}: 57 -36 -27$

$LAB^*LCH^*_{Ma}: 57 47 217$

$lab^*rgb^*_{Ma}: 0.0 1.0 1.0$

$lab^*olv^*_{Ma}: 0.0 1.0 0.79$

Dreiecks-Helligkeit t^*

%Umfang

$u^*_{rel} = 93$

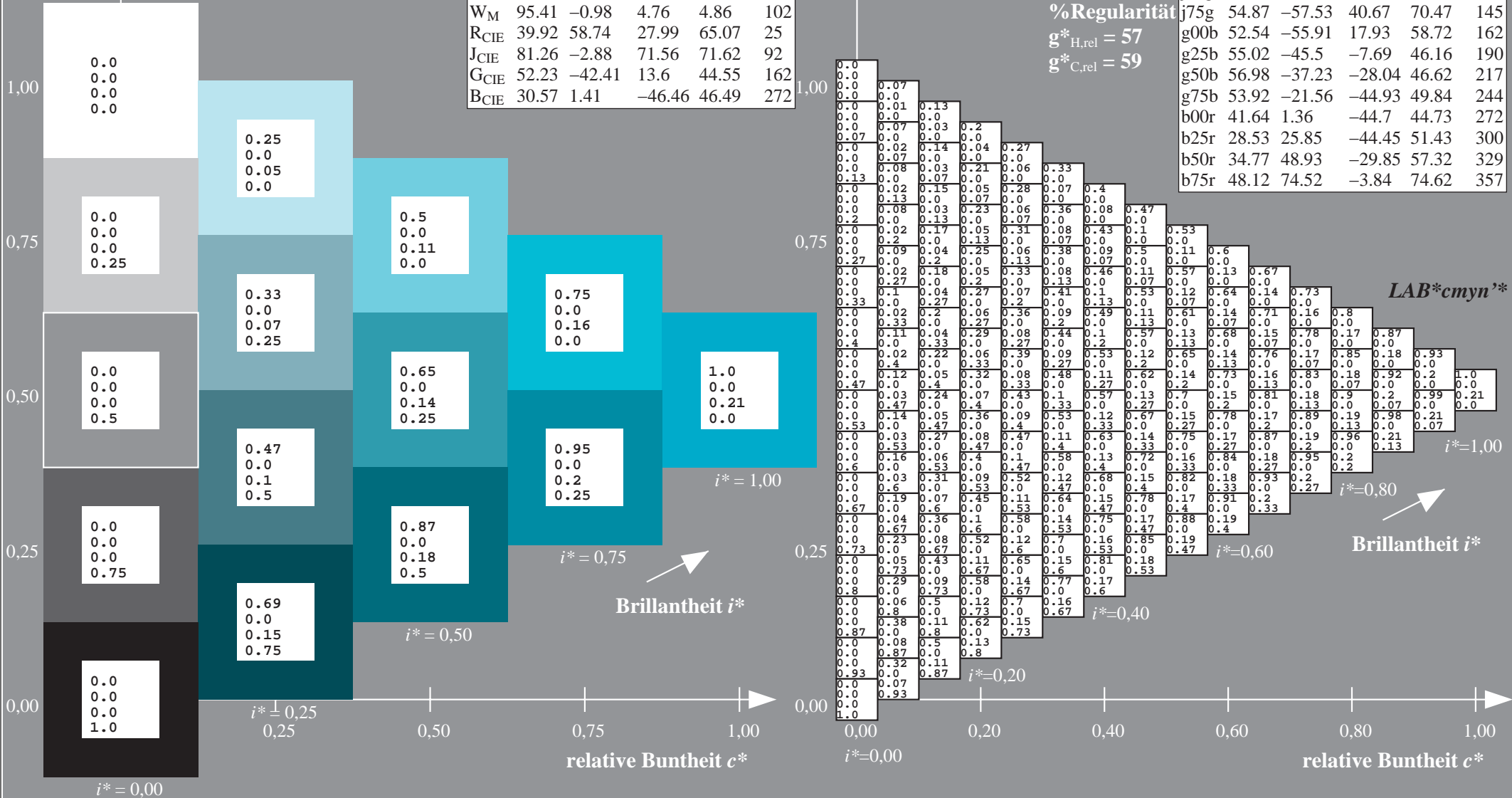
%Regularität

$g^*_{H,rel} = 57$

$g^*_{C,rel} = 59$

$LAB^*cmy^n^*$

ORS18_95aM; adaptierte CIELAB-Daten					
	$L^*=L^*_a$	a^*_a	b^*_a	$C^*_{ab,a}$	$h^*_{ab,a}$
r00j	48.0	68.4	32.59	75.77	25
r25j	51.32	59.36	53.8	80.11	42
r50j	62.67	39.12	64.83	75.72	59
r75j	73.73	19.4	75.58	78.03	76
j00g	86.61	-3.55	88.09	88.17	92
j25g	78.07	-26.64	74.05	78.7	110
j50g	65.83	-42.94	56.44	70.93	127
j75g	54.87	-57.53	40.67	70.47	145
g00b	52.54	-55.91	17.93	58.72	162
g25b	55.02	-45.5	-7.69	46.16	190
g50b	56.98	-37.23	-28.04	46.62	217
g75b	53.92	-21.56	-44.93	49.84	244
b00r	41.64	1.36	-44.7	44.73	272
b25r	28.53	25.85	-44.45	51.43	300
b50r	34.77	48.93	-29.85	57.32	329
b75r	48.12	74.52	-3.84	74.62	357



Daten für jede Farbe:

lab^*ch^* und lab^*icu^*

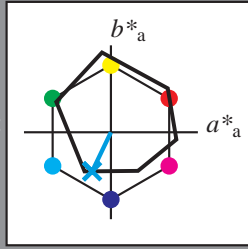
Elementar-Buntontext:

$u^* = g75b$

Kontrastreduzierungsfaktor:

$c_R = 1.0$

Dreiecks-Helligkeit t^*



ORS18_95aM; CIELAB-Daten					
	$L^*=L^*$	a^*	b^*	C^*_{ab}	h^*_{ab}
O_M	47.94	65.31	52.07	83.53	39
Y_M	90.37	-11.15	96.17	96.82	97
L_M	50.9	-62.96	36.71	72.89	150
C_M	58.62	-30.62	-42.74	52.59	234
V_M	25.72	31.45	-44.35	54.38	305
M_M	48.13	75.2	-6.79	75.51	355
N_M	18.01	0.5	-0.46	0.69	317
W_M	95.41	-0.98	4.76	4.86	102
R_{CIE}	39.92	58.74	27.99	65.07	25
J_{CIE}	81.26	-2.88	71.56	71.62	92
G_{CIE}	52.23	-42.41	13.6	44.55	162
B_{CIE}	30.57	1.41	-46.46	46.49	272

Daten für Maximalfarbe (Ma):

$LAB^*LAB^*_{Ma}: 54 -21 -44$

$LAB^*LCH^*_{Ma}: 54 50 244$

$lab^*rgb^*_{Ma}: 0.0 0.5 1.0$

$lab^*olv^*_{Ma}: 0.0 0.86 1.0$

Dreiecks-Helligkeit t^*

%Umfang

$u^*_{rel} = 93$

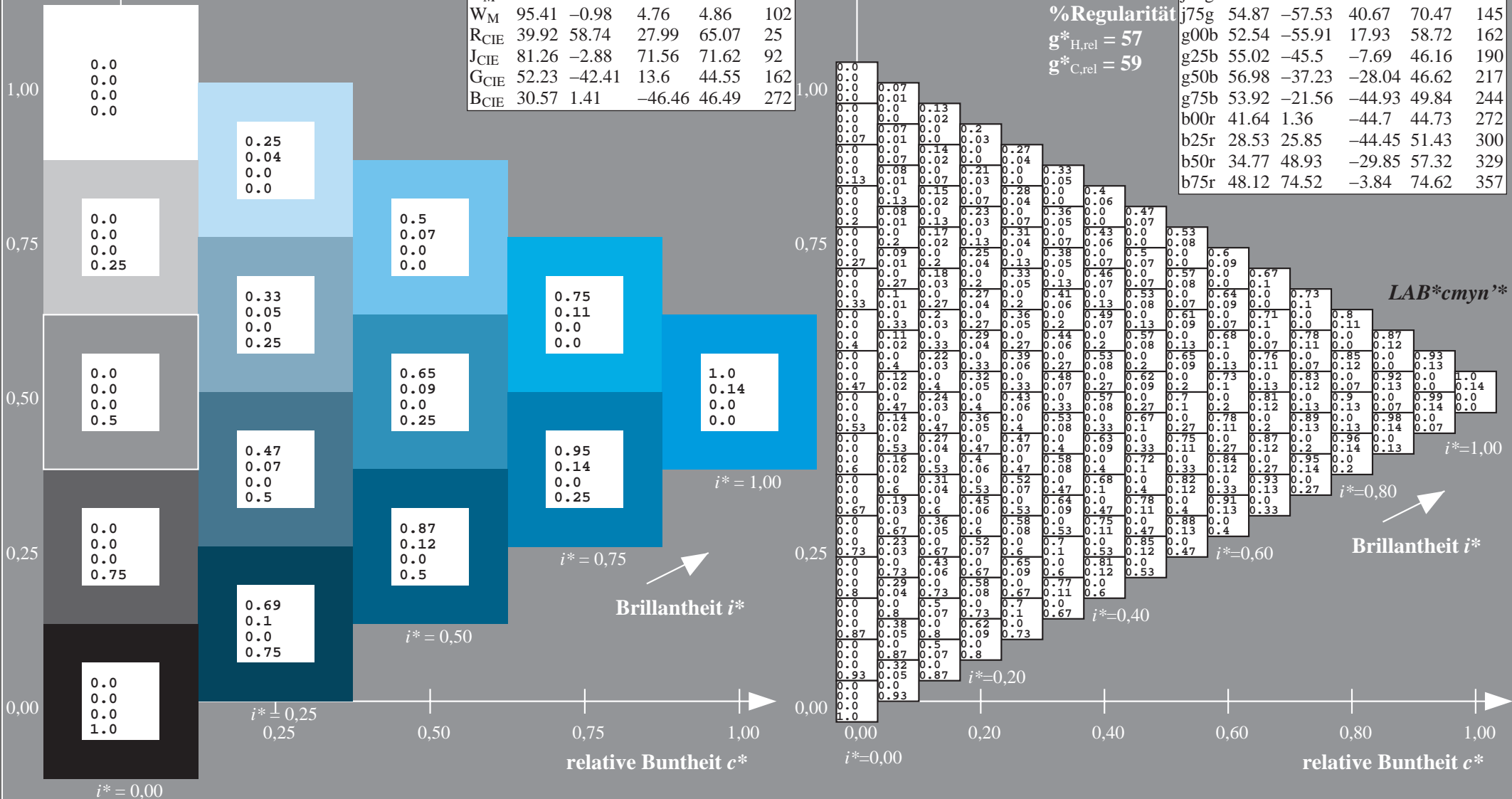
%Regularität

$g^*_{H,rel} = 57$

$g^*_{C,rel} = 59$

$LAB^*cmy^n^*$

ORS18_95aM; adaptierte CIELAB-Daten					
	$L^*=L^*_a$	a^*_a	b^*_a	$C^*_{ab,a}$	$h^*_{ab,a}$
r00j	48.0	68.4	32.59	75.77	25
r25j	51.32	59.36	53.8	80.11	42
r50j	62.67	39.12	64.83	75.72	59
r75j	73.73	19.4	75.58	78.03	76
j00g	86.61	-3.55	88.09	88.17	92
j25g	78.07	-26.64	74.05	78.7	110
j50g	65.83	-42.94	56.44	70.93	127
j75g	54.87	-57.53	40.67	70.47	145
g00b	52.54	-55.91	17.93	58.72	162
g25b	55.02	-45.5	-7.69	46.16	190
g50b	56.98	-37.23	-28.04	46.62	217
g75b	53.92	-21.56	-44.93	49.84	244
b00r	41.64	1.36	-44.7	44.73	272
b25r	28.53	25.85	-44.45	51.43	300
b50r	34.77	48.93	-29.85	57.32	329
b75r	48.12	74.52	-3.84	74.62	357



Daten für jede Farbe:

lab^*ch^* und lab^*icu^*

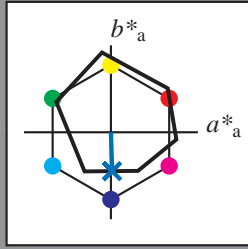
Elementar-Buntontext:

$u^* = b00r$

Kontrastreduzierungsfaktor:

$c_R = 1.0$

Dreiecks-Helligkeit t^*



ORS18_95aM; CIELAB-Daten					
	$L^*=L^*$	a^*	b^*	C^*_{ab}	h^*_{ab}
O _M	47.94	65.31	52.07	83.53	39
Y _M	90.37	-11.15	96.17	96.82	97
L _M	50.9	-62.96	36.71	72.89	150
C _M	58.62	-30.62	-42.74	52.59	234
V _M	25.72	31.45	-44.35	54.38	305
M _M	48.13	75.2	-6.79	75.51	355
N _M	18.01	0.5	-0.46	0.69	317
W _M	95.41	-0.98	4.76	4.86	102
R _{CIE}	39.92	58.74	27.99	65.07	25
J _{CIE}	81.26	-2.88	71.56	71.62	92
G _{CIE}	52.23	-42.41	13.6	44.55	162
B _{CIE}	30.57	1.41	-46.46	46.49	272

Daten für Maximalfarbe (Ma):

$LAB^*LAB^*Ma: 42 \ 1 \ -44$

$LAB^*LCH^*Ma: 42 \ 45 \ 272$

$lab^*rgb^*Ma: 0.0 \ 0.0 \ 1.0$

$lab^*olv^*Ma: 0.0 \ 0.48 \ 1.0$

Dreiecks-Helligkeit t^*

%Umfang

$u^*_{rel} = 93$

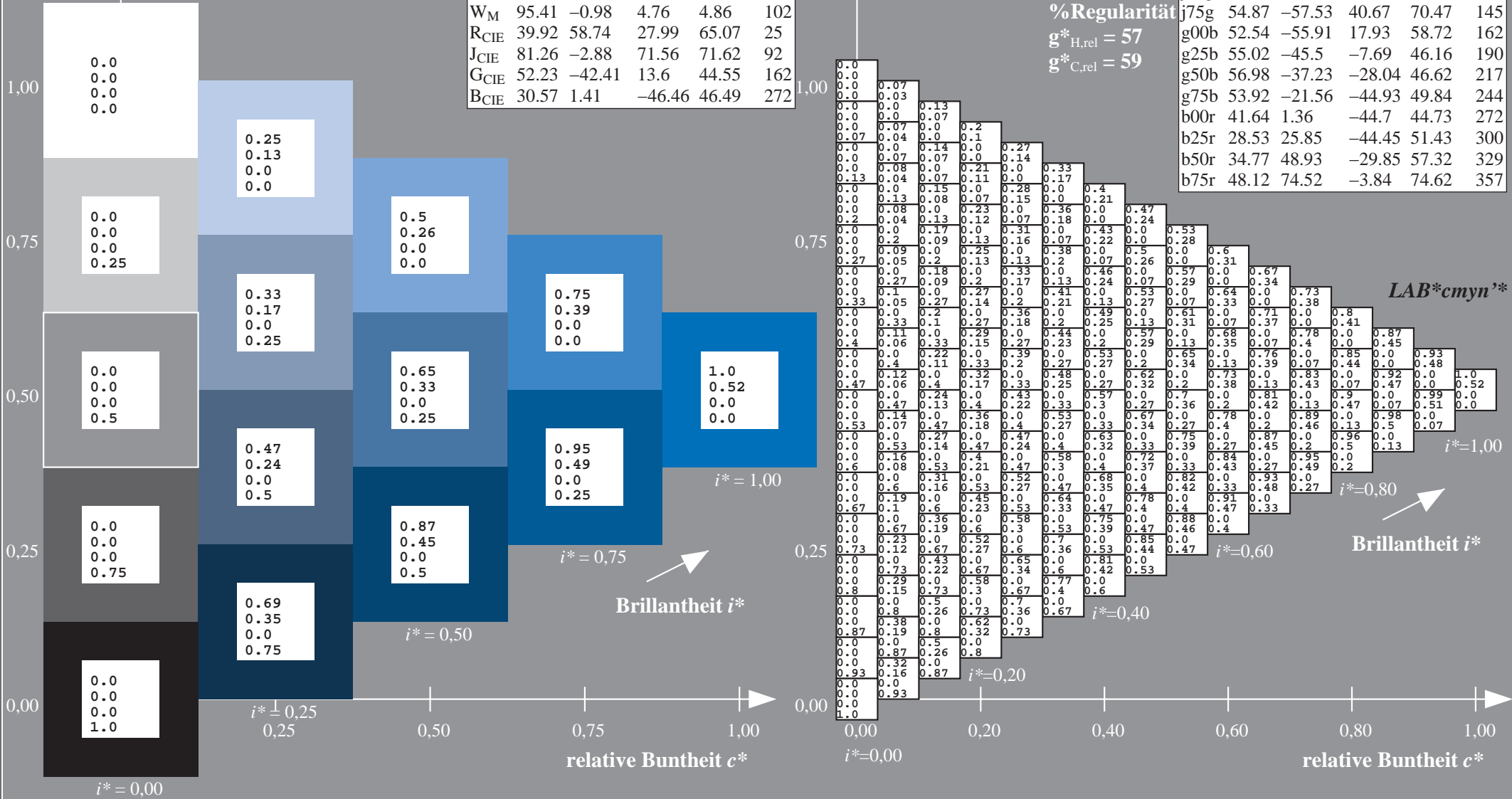
%Regularität

$g^*_{H,rel} = 57$

$g^*_{C,rel} = 59$

$LAB^*cmy^n^*$

ORS18_95aM; adaptierte CIELAB-Daten					
	$L^*=L^*_a$	a^*_a	b^*_a	$C^*_{ab,a}$	$h^*_{ab,a}$
r00j	48.0	68.4	32.59	75.77	25
r25j	51.32	59.36	53.8	80.11	42
r50j	62.67	39.12	64.83	75.72	59
r75j	73.73	19.4	75.58	78.03	76
j00g	86.61	-3.55	88.09	88.17	92
j25g	78.07	-26.64	74.05	78.7	110
j50g	65.83	-42.94	56.44	70.93	127
j75g	54.87	-57.53	40.67	70.47	145
g00b	52.54	-55.91	17.93	58.72	162
g25b	55.02	-45.5	-7.69	46.16	190
g50b	56.98	-37.23	-28.04	46.62	217
g75b	53.92	-21.56	-44.93	49.84	244
b00r	41.64	1.36	-44.7	44.73	272
b25r	28.53	25.85	-44.45	51.43	300
b50r	34.77	48.93	-29.85	57.32	329
b75r	48.12	74.52	-3.84	74.62	357



Daten für jede Farbe:

lab^*ch^* und lab^*icu^*

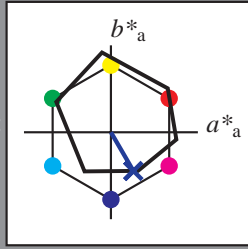
Elementar-Buntontext:

$u^* = b25r$

Kontrastreduzierungsfaktor:

$c_R = 1.0$

Dreiecks-Helligkeit t^*



ORS18_95aM; CIELAB-Daten					
	$L^*=L^*$	a^*	b^*	C^*_{ab}	h^*_{ab}
O _M	47.94	65.31	52.07	83.53	39
Y _M	90.37	-11.15	96.17	96.82	97
L _M	50.9	-62.96	36.71	72.89	150
C _M	58.62	-30.62	-42.74	52.59	234
V _M	25.72	31.45	-44.35	54.38	305
M _M	48.13	75.2	-6.79	75.51	355
N _M	18.01	0.5	-0.46	0.69	317
W _M	95.41	-0.98	4.76	4.86	102
R _{CIE}	39.92	58.74	27.99	65.07	25
J _{CIE}	81.26	-2.88	71.56	71.62	92
G _{CIE}	52.23	-42.41	13.6	44.55	162
B _{CIE}	30.57	1.41	-46.46	46.49	272

Daten für Maximalfarbe (Ma):

$LAB^*LAB^*_{Ma}: 29\ 26\ -43$

$LAB^*LCH^*_{Ma}: 29\ 51\ 300$

$lab^*rgb^*_{Ma}: 0.5\ 0.0\ 1.0$

$lab^*olv^*_{Ma}: 0.0\ 0.09\ 1.0$

Dreiecks-Helligkeit t^*

%Umfang

$u^*_{rel} = 93$

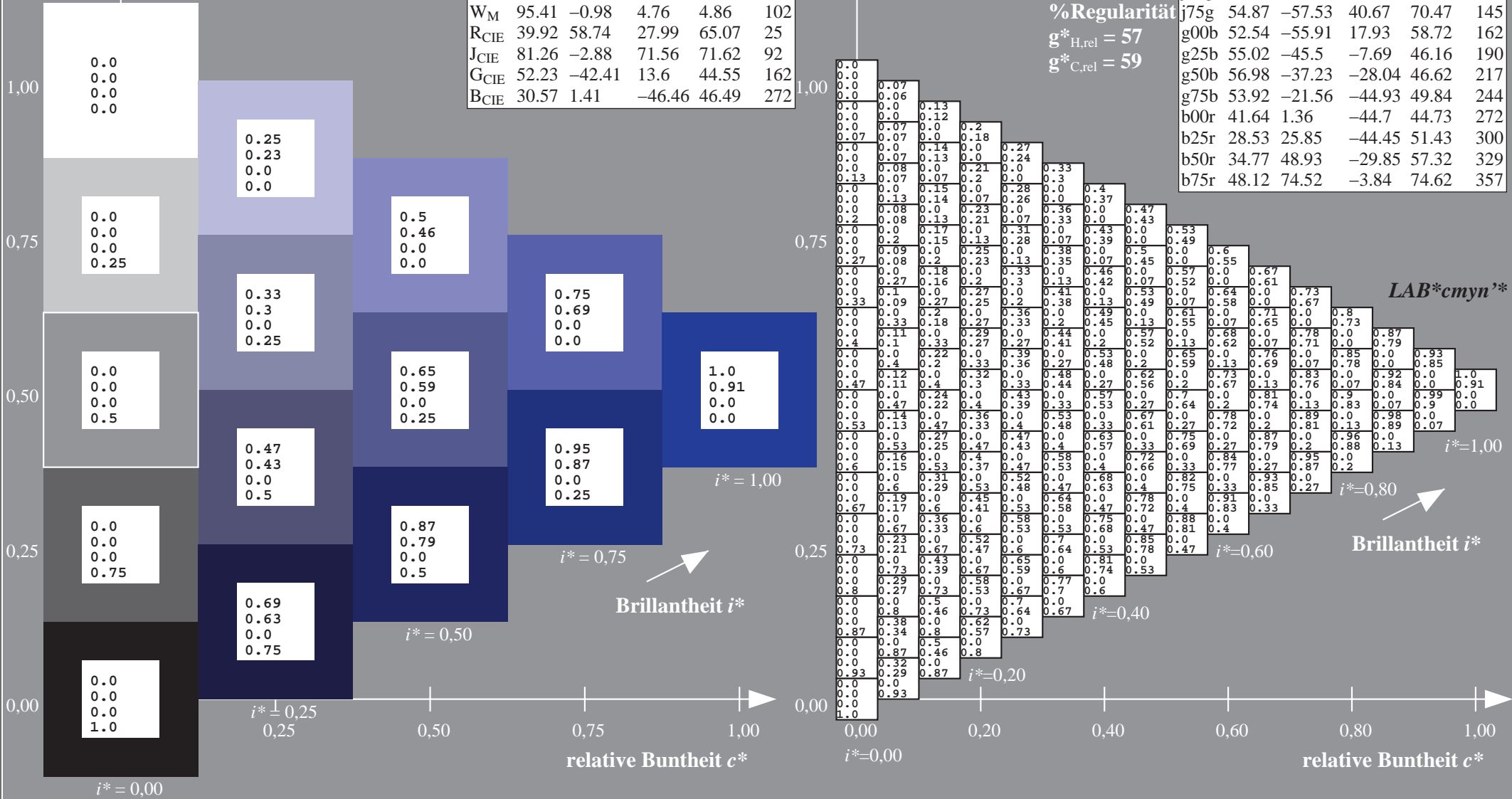
%Regularität

$g^*_{H,rel} = 57$

$g^*_{C,rel} = 59$

$LAB^*cmy^n^*$

ORS18_95aM; adaptierte CIELAB-Daten					
	$L^*=L^*_a$	a^*_a	b^*_a	$C^*_{ab,a}$	$h^*_{ab,a}$
r00j	48.0	68.4	32.59	75.77	25
r25j	51.32	59.36	53.8	80.11	42
r50j	62.67	39.12	64.83	75.72	59
r75j	73.73	19.4	75.58	78.03	76
j00g	86.61	-3.55	88.09	88.17	92
j25g	78.07	-26.64	74.05	78.7	110
j50g	65.83	-42.94	56.44	70.93	127
j75g	54.87	-57.53	40.67	70.47	145
g00b	52.54	-55.91	17.93	58.72	162
g25b	55.02	-45.5	-7.69	46.16	190
g50b	56.98	-37.23	-28.04	46.62	217
g75b	53.92	-21.56	-44.93	49.84	244
b00r	41.64	1.36	-44.7	44.73	272
b25r	28.53	25.85	-44.45	51.43	300
b50r	34.77	48.93	-29.85	57.32	329
b75r	48.12	74.52	-3.84	74.62	357



Daten für jede Farbe:

lab^*ch^* und lab^*icu^*

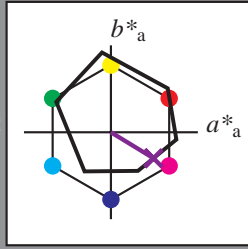
Elementar-Buntontext:

$u^* = b50r$

Kontrastreduzierungsfaktor:

$c_R = 1.0$

Dreiecks-Helligkeit t^*



ORS18_95aM; CIELAB-Daten					
	$L^*=L^*$	a^*	b^*	C^*_{ab}	h^*_{ab}
O_M	47.94	65.31	52.07	83.53	39
Y_M	90.37	-11.15	96.17	96.82	97
L_M	50.9	-62.96	36.71	72.89	150
C_M	58.62	-30.62	-42.74	52.59	234
V_M	25.72	31.45	-44.35	54.38	305
M_M	48.13	75.2	-6.79	75.51	355
N_M	18.01	0.5	-0.46	0.69	317
W_M	95.41	-0.98	4.76	4.86	102
R_{CIE}	39.92	58.74	27.99	65.07	25
J_{CIE}	81.26	-2.88	71.56	71.62	92
G_{CIE}	52.23	-42.41	13.6	44.55	162
B_{CIE}	30.57	1.41	-46.46	46.49	272

Daten für Maximalfarbe (Ma):

$LAB^*LAB^*_{Ma}$: 35 49 -29

$LAB^*LCH^*_{Ma}$: 35 57 329

$lab^*rgb^*_{Ma}$: 1.0 0.0 1.0

$lab^*olv^*_{Ma}$: 0.4 0.0 1.0

Dreiecks-Helligkeit t^*

%Umfang

$u^*_{rel} = 93$

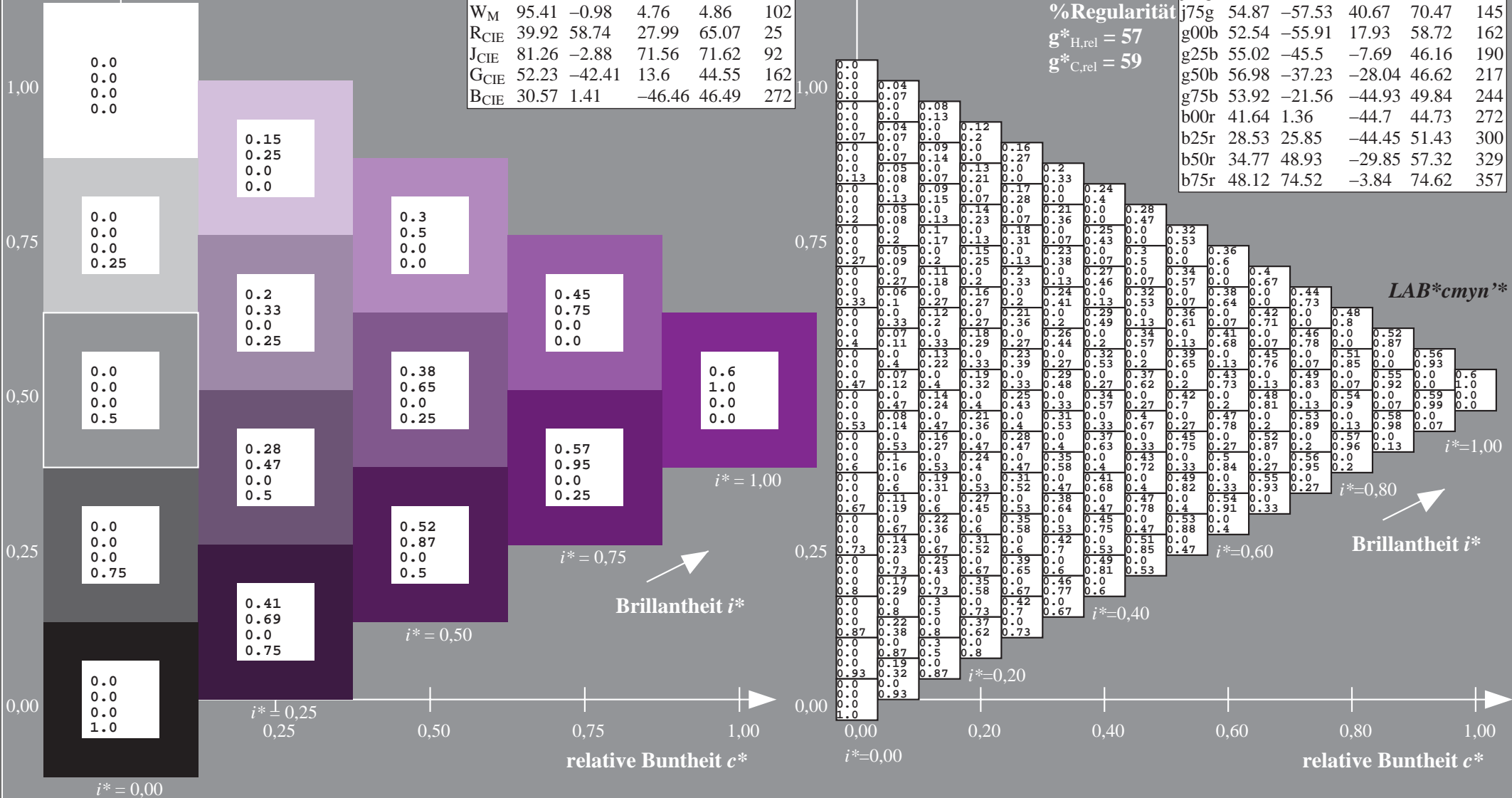
%Regularität

$g^*_{H,rel} = 57$

$g^*_{C,rel} = 59$

$LAB^*cmy^n^*$

ORS18_95aM; adaptierte CIELAB-Daten					
	$L^*=L^*_a$	a^*_a	b^*_a	$C^*_{ab,a}$	$h^*_{ab,a}$
r00j	48.0	68.4	32.59	75.77	25
r25j	51.32	59.36	53.8	80.11	42
r50j	62.67	39.12	64.83	75.72	59
r75j	73.73	19.4	75.58	78.03	76
j00g	86.61	-3.55	88.09	88.17	92
j25g	78.07	-26.64	74.05	78.7	110
j50g	65.83	-42.94	56.44	70.93	127
j75g	54.87	-57.53	40.67	70.47	145
g00b	52.54	-55.91	17.93	58.72	162
g25b	55.02	-45.5	-7.69	46.16	190
g50b	56.98	-37.23	-28.04	46.62	217
g75b	53.92	-21.56	-44.93	49.84	244
b00r	41.64	1.36	-44.7	44.73	272
b25r	28.53	25.85	-44.45	51.43	300
b50r	34.77	48.93	-29.85	57.32	329
b75r	48.12	74.52	-3.84	74.62	357



Daten für jede Farbe:

lab^*ch^* und lab^*icu^*

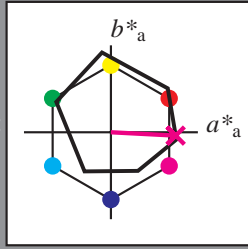
Elementar-Buntontext:

$u^* = b75r$

Kontrastreduzierungsfaktor:

$c_R = 1.0$

Dreiecks-Helligkeit t^*



ORS18_95aM; CIELAB-Daten					
	$L^*=L^*$	a^*	b^*	C^*_{ab}	h^*_{ab}
O _M	47.94	65.31	52.07	83.53	39
Y _M	90.37	-11.15	96.17	96.82	97
L _M	50.9	-62.96	36.71	72.89	150
C _M	58.62	-30.62	-42.74	52.59	234
V _M	25.72	31.45	-44.35	54.38	305
M _M	48.13	75.2	-6.79	75.51	355
N _M	18.01	0.5	-0.46	0.69	317
W _M	95.41	-0.98	4.76	4.86	102
R _{CIE}	39.92	58.74	27.99	65.07	25
J _{CIE}	81.26	-2.88	71.56	71.62	92
G _{CIE}	52.23	-42.41	13.6	44.55	162
B _{CIE}	30.57	1.41	-46.46	46.49	272

Daten für Maximalfarbe (Ma):

$LAB^*LAB^*_{Ma}: 48\ 75\ -3$

$LAB^*LCH^*_{Ma}: 48\ 75\ 357$

$lab^*rgb^*_{Ma}: 1.0\ 0.0\ 0.5$

$lab^*olv^*_{Ma}: 1.0\ 0.0\ 0.92$

Dreiecks-Helligkeit t^*

%Umfang

$u^*_{rel} = 93$

%Regularität

$g^*_{H,rel} = 57$

$g^*_{C,rel} = 59$

$LAB^*cmy^n^*$

ORS18_95aM; adaptierte CIELAB-Daten					
	$L^*=L^*_a$	a^*_a	b^*_a	$C^*_{ab,a}$	$h^*_{ab,a}$
r00j	48.0	68.4	32.59	75.77	25
r25j	51.32	59.36	53.8	80.11	42
r50j	62.67	39.12	64.83	75.72	59
r75j	73.73	19.4	75.58	78.03	76
j00g	86.61	-3.55	88.09	88.17	92
j25g	78.07	-26.64	74.05	78.7	110
j50g	65.83	-42.94	56.44	70.93	127
j75g	54.87	-57.53	40.67	70.47	145
g00b	52.54	-55.91	17.93	58.72	162
g25b	55.02	-45.5	-7.69	46.16	190
g50b	56.98	-37.23	-28.04	46.62	217
g75b	53.92	-21.56	-44.93	49.84	244
b00r	41.64	1.36	-44.7	44.73	272
b25r	28.53	25.85	-44.45	51.43	300
b50r	34.77	48.93	-29.85	57.32	329
b75r	48.12	74.52	-3.84	74.62	357

